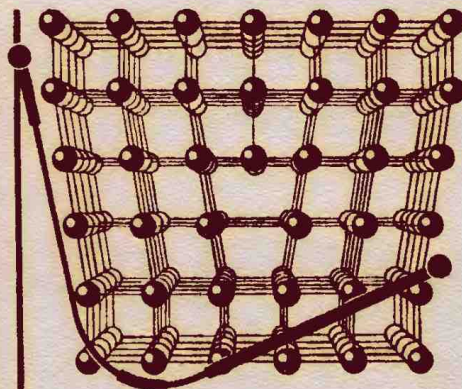


# МАТЕРИАЛОВЕДЕНИЕ



« МАШИНОСТРОЕНИЕ »

лаева, Н. В. Ульянова

Рецензент д-р техн. наук проф. И. С.

Редактор А. А. Сальников

**Материаловедение:** Учебник для  
M34 ческих учебных заведений. Б.  
И. И. Сидорин, Г. Ф. Косолапов и  
ред. Б. Н. Арзамасова.— 2-е изд.,  
М.: Машиностроение, 1986.— 384 с.  
В пер.: 1 р. 60 к.

Изложены закономерности формирования структуры кри-  
в процессе кристаллизации из жидкого состояния, а также пла-  
ния и термической обработки. Показано влияние структуры  
свойства материалов и их зависимость от условий работы,  
применения различных технологических способов обработки  
мых свойств.

Второе издание (1-е изд. 1976 г.) написано в соответст-  
вии с новыми требованиями курса.

M-**2108000000-159** 159-86  
**038(01)-86**

© Издательство  
© Издательство «Машиностроение»

<b>Глава 1. Строение и свойства материалов</b>	8	эвтектоидным превращениям . . . . .
1.1. Элементы кристаллографии . . . . .	9	5.6. Основные виды
1.2. Влияние типа связи на структуру и свойства кристаллов . . . . .	13	работки стали . . . . .
1.3. Фазовый состав сплавов . . . . .	20	<b>Глава 6. Химико-термическая обработка металлов и сплавов</b>
1.4. Дефекты кристаллов . . . . .	26	6.1. Общие закономерности . . . . .
1.5. Диффузия в металлах и сплавах . . . . .	29	6.2. Диффузионное напыление и азотом . . . . .
1.6. Жидкие кристаллы . . . . .	30	6.3. Диффузионное напыление металлами и неметаллами . . . . .
1.7. Структура полимеров, стекла и керамики . . . . .	32	
<b>Глава 2. Формирование структуры литьих материалов . . . . .</b>	37	<b>2. МАТЕРИАЛЫ, ПРИМЕНЯЕМЫЕ В МАШИНО- И ПРОДУКТОВОМ ПРОИЗВОДСТВЕ</b>
2.1. Самопроизвольная кристаллизация . . . . .	37	Раздел первый. КОНСТРУКЦИОННЫЕ МАТЕРИАЛЫ . . . . .
2.2. Несамопроизвольная кристаллизация . . . . .	40	<b>Глава 7. Конструкционные материалы</b> . . . . .
2.3. Форма кристаллов и строение слитков . . . . .	41	7.1. Общие требования к конструкционным материалам . . . . .
2.4. Получение монокристаллов . . . . .	43	7.2. Конструкционная сталь . . . . .
2.5. Аморфное состояние металлов . . . . .	44	7.3. Методы повышения прочности . . . . .
<b>Глава 3. Влияние химического состава на равновесную структуру сплавов</b>	46	7.4. Классификация конструкционных материалов . . . . .
3.1. Методы построения диаграмм состояния . . . . .	46	<b>Глава 8. Стали, обеспечивающие прочность, статическую прочность</b> . . . . .
3.2. Основные равновесные диаграммы состояния двойных сплавов . . . . .	48	8.1. Классификация конструкционных сталей . . . . .
3.3. Диаграмма состояния железоуглеродистых сплавов . . . . .	55	8.2. Влияние углеродистых примесей на свойства . . . . .
3.4. Влияние легирующих элементов на равновесную структуру сталей . . . . .	61	8.3. Углеродистые стальные сплавы . . . . .
<b>Глава 4. Формирование структуры деформированных металлов и сплавов</b>	66	8.4. Легированные стальные сплавы . . . . .
4.1. Пластическая деформация монокристаллов . . . . .	66	
4.2. Возврат и рекристаллизация . . . . .	74	
<b>Глава 5. Термическая обработка металлов и сплавов . . . . .</b>	80	
5.1. Определения и классификация . . . . .	80	
5.2. Основное оборудование для термической обработки . . . . .	81	

ствую поверхности . . . . .	190
10.4. Антифрикционные материалы . . . . .	194
10.5. Фрикционные материалы . . . . .	199

**Глава 11. Материалы с высокими упругими свойствами . . . . .**

11.1. Рессорно-пружинные стали . . . . .	201
11.2. Пружинные материалы приборостроения . . . . .	202
	203

**Глава 12. Материалы с малой плотностью . . . . .**

12.1. Сплавы на основе алюминия . . . . .	207
12.2. Сплавы на основе магния . . . . .	207
12.3. Неметаллические материалы . . . . .	218
	223

**Глава 13. Материалы с высокой удельной прочностью . . . . .**

13.1. Титан и сплавы на его основе . . . . .	232
13.2. Бериллий и сплавы на его основе . . . . .	232
13.3. Композиционные материалы . . . . .	243
	247

**Глава 14. Материалы, устойчивые к воздействию температуры и рабочей среды . . . . .**

14.1. Коррозионно-стойкие материалы . . . . .	269
14.2. Жаростойкие материалы . . . . .	269
14.3. Жаропрочные материалы . . . . .	278
14.4. Хладостойкие материалы . . . . .	284
14.5. Радиационно-стойкие материалы . . . . .	295
	299

ным коэффициентом

**Глава 17. Материалы с электрическими свойствами . . . . .**

17.1. Материалы высокой проводимости . . . . .	17.2. Полупроводники . . . . .
17.3. Диэлектрики . . . . .	

*Раздел третий. ИНОСТРАННЫЕ МАТЕРИАЛЫ . . . . .*

**Глава 18. Материалы измерительных инструментов . . . . .**

18.1. Материалы для измерительных инструментов . . . . .	18.2. Стали для измерительных инструментов . . . . .

**Глава 19. Стали для обработки металлов дробеструйной работой . . . . .**

19.1. Стали для интенсивной обработки давлением . . . . .	19.2. Стали для интенсивной обработки давлением . . . . .
Приложение . . . . .	
Список литературы . . . . .	
Предметный указатель . . . . .	

тяжении многих лет читают в Московском высшем техническом училище им. Н. Э. Баумана. Первый в нашей стране учебник по курсу «Материаловедение» для машиностроительных вузов был издан в МВТУ профессором И. И. Сидориным в 1930 г.

Учебник «Основы материаловедения» вышел в свет в 1976 г. под редакцией заслуженного деятеля науки и техники РСФСР, доктора технических наук профессора И. И. Сидорина. С тех пор произошли изменения в науке о материалах, были созданы новые сплавы и композиционные материалы, изменились программы курсов «Материаловедение» для машиностроительных и приборостроительных специальностей вузов. В связи с этим во второе издание учебника внесены соответствующие изменения и дополнения. В частности, ав-

эксплуатационным стандартируемым стандартам будущим конструкторам лучше ориентиро- материалов для деталей боров.

Некоторые из решений, приведенные в учебнике вопросов являются актуальными для машинистов и приборостроителей, что определяется ответствующего вузом.

Авторский коллектив благодарит коллег доктору технических наук профессору И. С. Козловскому за его желания и рекомендации при рецензировании этого учебника. Коллективу кафедры «Материаловедение» МВТУ им. Н. Э. Баумана при подготовке и издании учебника.

## Введение

Материаловедением называют прикладную науку о связи состава, строения и свойств материалов. Решение важнейших технических проблем, связанных с экономией материалов, уменьшением массы машин и приборов, повышением точности, надежности и работоспособности механизмов и приборов во многом зависит от развития материаловедения. Непрерывный процесс создания новых материалов для современной техники обогащает науку

о материалах, открывая новые технические перспективы. Важную роль сыграли композиционные материалы, алюминиевые и магниевые сплавы, никелевые и титановые материалы, различные стали в электронике и радиотехнике, различные материалы в авиации, различные сверхпроводники и полупроводники в электронике и радиотехнике.

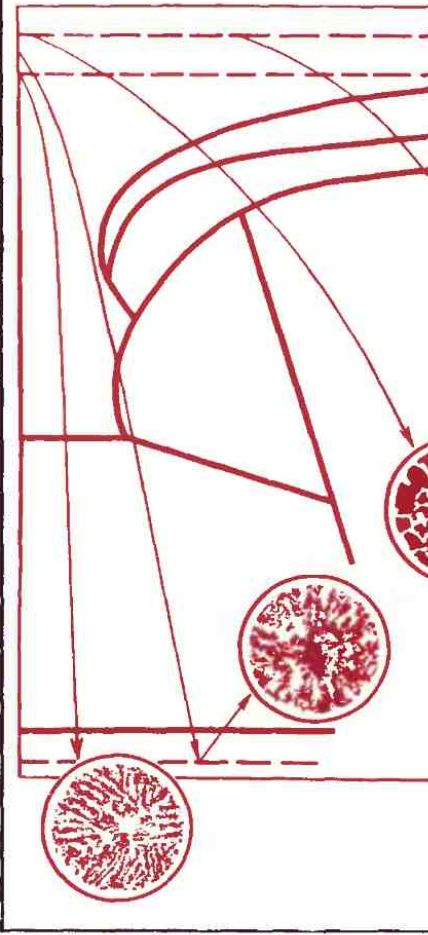
Теоретической основой материаловедения являются соотношения физики и химии в материалах, а также

Изучение физических (плотность, электропроводимость, теплопроводность, магнитная проницаемость и др.), механических (прочность, пластичность, твердость, модуль упругости и др.), технологических (жидкотекучесть, ковкость, обрабатываемость резанием и др.) и эксплуатационных свойств (сопротивление коррозии, изнашиванию и усталости, жаропрочность, хладостойкость и др.) позволяет определить области рационального использования различных материалов с учетом экономических требований.

Большой вклад в развитие науки о материалах внесли русские и советские ученые. П. П. Аносов (1799–1851 гг.) впервые установил связь между строением стали и ее свойствами. Д. К. Чернов (1839–1921 гг.), открывший полиморфизм стали, всемирно признан основоположником научного металловедения. Большое значение в развитии методов физико-химического исследования и классификации сложных фаз в металлических сплавах имели работы

Работы крупнейшего теориохимического соединенного основу для ких полимерных работ С. В. Лебедева создано промышленное для развития материалов имели структуру В. А. Каргина и др.

Среди зарубежных вклад в изучение сплавов внесли А. Гарольд (Англия), Р. Аустен (Франция) и др. структурные исследования вели М. Лауз и др. У. Г. Брэгг и У. Г. Рокко известны работы Р. Мейла (США) в области теории структуры сплавов. Над проблемами материалов работали А. А. Бородин и Д. Натта (Италия).



твердыми, т. е. сохраняют приданную им форму, до вполне определенной температуры, при которой они переходят в жидкое состояние. При охлаждении процесс идет в обратном направлении. Переход из одного состояния в другое протекает (рис. 1.1) при определенной температуре плавления.

Аморфные тела при нагреве размягчаются в большом температурном интервале, становятся вязкими, а затем переходят в жидкое состояние. При охлаждении процесс идет в обратном направлении.

Кристаллическое состояние твердого тела более стабильно, чем аморфное.

Аморфные тела в отличие от жидкостей имеют пониженную подвижность частиц. Аморфное состояние можно за-

20–25 °С, а в неко-  
формации, неста-  
тврдого тела про-  
или полном перех-  
состояние.

Примерами та-  
служить помутн-  
стекол при нагре-  
тельном использо-  
сталлизация плав-  
греве и дополните-  
капроновой нити  
вождающаяся уп-  
кристиаллизация  
показана на струк-  
лимера (рис. 1.2).

радиальную сим-  
часть – аморфная.

Кристаллически

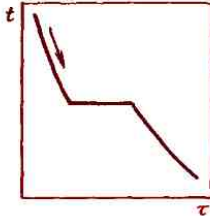
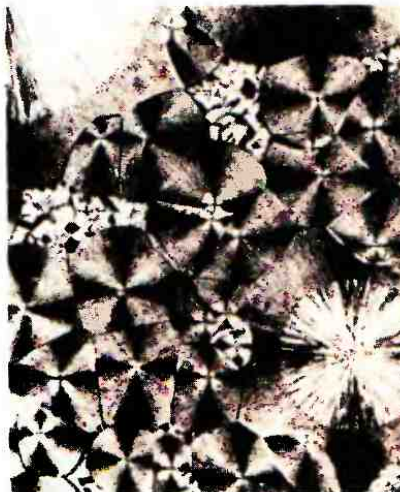


Рис. 1.1. Кривые охлаж-  
дения кристаллических  
тел

Рис. 1.2. Структура крем-  
нистого полимера после  
повторного нагрева



турных составляющих и применяемых методов их выявления используют следующие понятия: тонкая структура, микро- и макроструктура.

*Тонкая структура* описывает расположение элементарных частиц в кристалле и электронов в атоме. Изучается дифракционными методами (рентгенография, электронография, нейтронография). Анализируя дифракционную картину, получаемую при взаимодействии атомов кристалла с короткими волнами ( $\lambda = 10^{-10} \div 10^{-12}$  м) рентгеновских лучей (или волн электронов, нейтронов), можно получить обширную информацию о строении кристаллов.

Большинство материалов состоит из мелких кристалликов (зерен). Наблюдать такие мелкие структурные составляющие — *микроструктуру* возможно с помощью оптического (размером до  $10^{-7}$  м) или электронного (размером до  $2 \cdot 10^{-10}$  м) микроскопа.

Микроскопические методы дают возможность определить размеры и форму кристаллов, наличие различных по своей природе кристаллов, их распределение и относительные объемные количества, форму инородных включений и микропустот, ориентирование кристаллов, наличие специальных кристаллографических признаков (двойникование, линии скольжения и др.). Это далеко не полное перечисление характеризует обширность тех сведений, которые можно получить при помощи микроскопа.

очень ценным материалом.

## 1.1. Элементы кристаллической решетки

*Кристаллическая решетка* — это совокупность элементарных частиц (атомов, молекул, ионов, кластеров), из которых построены кристаллы. Каждая из этих частиц называется узлом кристаллической решетки. Узлы расположены в кристалле не хаотично, а в определенном порядке, определяемом законом расположения (рис. 1.3, а). Каждый узел имеет определенную координату в пространстве, задаваемую тремя осями координат  $x$ ,  $y$ ,  $z$ , не лежащими в одной плоскости. Расстояния между частями по этим направлениям неодинаковы и соответствуют различным параметрам кристалла.

Если в кристалле узлы расположены в определенном порядке, то расстояния между частями по этим направлениям неодинаковы и соответствуют различным параметрам кристалла.

Плоскости, параллельные плоскостям, находящимся в одинаковом расстоянии  $b$ , с друг от друга, разделяющие множество параллелепипедов, параллельно ориентированных в кристалле, называются *плоскостями скольжения*. Последовательное скольжение кристалла по этим плоскостям приводит к образованию линий скольжения.

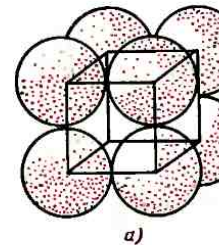


Рис. 1.3. Расположение узлов в кристалле:  
а — пространственное изображение

образует пространственную кристаллическую решетку. Вершины параллелепипеда называют узлами пространственной решетки. С этими узлами совпадают центры тяжести элементарных частиц, из которых построен кристалл.

Пространственные кристаллические решетки полностью определяют строение кристалла.

Для описания элементарной ячейки кристаллической решетки используют шесть величин: три отрезка, равные расстояниям до ближайших элементарных частиц по осям координат  $a$ ,  $b$ ,  $c$ , и три угла между этими отрезками  $\alpha$ ,  $\beta$ ,  $\gamma$ .

Соотношения между этими величинами определяют форму ячейки. По форме элементарных ячеек все кристаллы подразделяют на семь систем (табл. 1.1).

Размер элементарной ячейки кристаллической решетки оценивают отрезки  $a$ ,  $b$ ,  $c$ . Их называют *периодами решетки*. Зная периоды решетки, можно определить ионный или атомный радиус элемента. Он равен половине наименьшего расстояния между частицами в решетке.

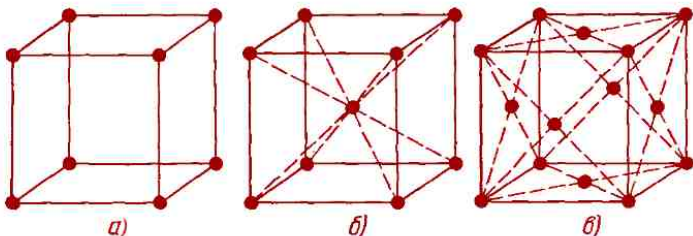
В большинстве случаев решетки сложны, так как элементарные частицы находятся не

одну ячейку все одной частицы. На ячейку (рис. 1.4, б) одна от вершины которая относится в гранецентрирована имеется четыре ча и три от шести цеп так как элементарн в центре плоскости к двум ячейкам.

Система, периодически расположенная на элементарной ячейке определяют расположение частиц в кристалле.

В ряде случаев различные характеристики решетки, вытекающие из расположения частиц в кристалле, являются коэффициентом компактности.

Число ближайших элементарных частиц называется координационное число. Для центрированного куба атома число таких частиц (K8). Для пространственно-координационное число для гранецентрированной



Отношение объема всех элементарных частиц, приходящихся на одну элементарную ячейку, ко всему объему элементарной ячейки определяет коэффициент компактности. Для простой кубической решетки этот коэффициент равен 0,52, для ОЦК – 0,68 и ГЦК – 0,74.

Оставшееся пространство образуют поры, которые дифференцируют на октаэдрические и тетраэдрические.

Центры этих пор показаны маленькими точками на решетке ГЦК (рис. 1.5). Радиус октаэдрической поры составляет 0,41 радиуса элементарной частицы, а радиус тетраэдрической поры – лишь 0,22.

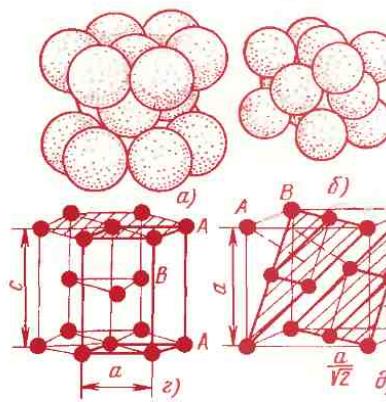
Для многих кристаллов характерна плотная упаковка элементарных частиц. Если элементарные частицы изобразить в виде шаров, а для большинства частиц это справедливо, так как они обладают шаровой симметрией, то при упаковке получаются структуры, показанные на рис. 1.6.

Рис. 1.6. Плотная упаковка

На первый слой шаров в лунки *l* накладываются обозначенных *B*. Для второго слоя возможны два укладывания над первым: получается гексагональная третий слой шаров (свойственная) слой над лунками. слой шаров повторяется, то получается гранецентрированная решетка (вверху).

Шестигранная призма имеет гексагональную кристаллическую решетку, бражение подчеркивает гранецентрированную (шестиугольной) ячейкой является. Угол между жирными линиями:  $\alpha = 90^\circ$ ;  $\gamma = 120^\circ$ .

Рис. 1.7. Элементарные ячейки кристаллических решеток:  
*a*, *c* – ГПУ; *b*, *d* – ГЦК; *e* – ОЦК



ние гексагональных структур с отношением параметров, отличающихся от значения 1,633, а также структуры объемно-центрированного куба (см. рис. 1.7).

**Кристаллографические индексы.** По параллельным направлениям свойства одинаковы, поэтому достаточно указать для всего семейства параллельных прямых одно направление, проходящее через начало координат. Это дает возможность определить направление прямой только одной точкой, так как другой всегда служит начало координат. Такой точкой является узел кристаллической решетки, занимаемый элементарной частицей. Координаты этого узла выражают целыми числами  $i$ ,  $j$ ,  $w$  в единицах отрезков  $a$ ,  $b$ ,  $c$ , заключают в квадратные скобки  $[i, j, w]$  и называют *индексами направления*. Их всегда выражают целыми числами, а отрицательное значение индекса обозначается знаком минус над индексом (рис. 1.8, а).

Положение плоскости в пространстве определяется отрезками, отсекаемыми плоскостью по осям  $x$ ,  $y$ ,  $z$ . Эти отрезки выражают целыми числами  $m$ ,  $n$ ,  $p$  в единицах отрезков  $a$ ,  $b$ ,  $c$ . Принято за индексы плоскостей брать обратные отрезки:  $h = 1/m$ ;  $k = 1/n$ ;  $l = 1/p$ . Три этих числа  $h$ ,  $k$ ,  $l$ , заключенные

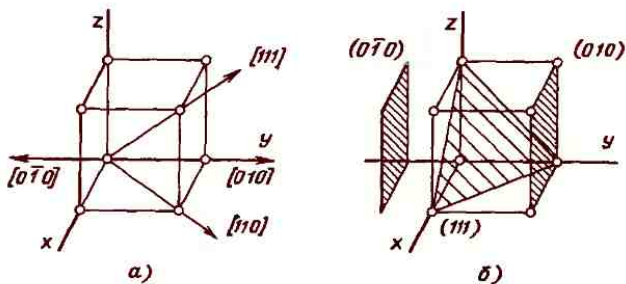
го основания призмы  $< 1,633$  плоскости проецируются на соответствующие

**Анизотропия.** Эта анизотропия кристалла от неравномерности, имеющей в результате различия положения атомов в пространстве.

**Свойства кристаллов.** Взаимодействием атомов, расстояния между которыми в кристаллах различны, а поэтому свойства кристаллов различны.

**Анизотропия кристаллов.** Наиболее ярко анизотропия проявляется в кристаллах, обладающих моноклинической симметрией (рис. 1.2).

Из приведенных на рисунке коэффициентов анизотропии ширения в кристаллах, имеющих перпендикулярные кристаллографические оси, видно, что анизотропия резко выражена в моноклинических кристаллах.



Анизотропия свойств кристаллов проявляется при использовании монокристаллов, полученных искусственным путем. В природных условиях кристаллические тела — поликристаллы, т. е. состоят из множества мелких различно ориентированных кристаллов. В этом случае анизотропии нет, так как среднестатистическое расстояние между атомами по всем направлениям оказывается примерно одинаковым. В связи с этим поликристаллические тела считают мономизотропными. В процессе обработки давлением поликристалла кристаллографические плоскости одного индекса в различных зернах могут ориентироваться параллельно. Такие поликристаллы называют *текстурованными*.

**ТАБЛИЦА 1.2. Температурный коэффициент линейного расширения кристаллов**

Система	Кристалл	$\alpha_1$	$\alpha_2$	$\alpha_3$
		$^{\circ}\text{C}^{-1}$		
Моноклиническая	Нитроанилин	150	8	24
Ромбическая	$\text{U}_\alpha$	82	-1,5	23
Гексагональная	Графит	-1,5	-1,5	28
	$\text{Zn}$	8	8	65
Тетрагональная объемно-центрированная (ТОЦ)	$\text{Sn}_\beta$	31	31	16
Кубическая	Алмаз	0,6	0,6	0,6
	$\text{Cu}$	17	17	17

имеют промежуточные значения для сталлов, как это видно из табл.

Прочность и пластичность сталла меди изменяются в зависимости от направления (сдвиг  $\delta = 10 \div 50\%$ ). Для германской меди  $\sigma_b = 250$  МПа.

## 1.2. Влияние типа кристаллической решетки на свойства кристаллов

Тип связи, возникающий между элементарными частицами определяется электрическими взаимодействиями атомов, вступающими в контакт. Элементарные частицы сближаются на определенное расстояние, которое обеспечивает наибольшую термодинамическую стабильность. Расстояния между сближающимися частицами определяются действием сил, действующих на них. Силы притяжения возникают благодаря взаимодействию положительно заряженных ядер собственного атома, а также отталкивание отрицательно заряженных ядер соседних атомов. Силы отталкивания возникают в результате взаимодействия отрицательно заряженных ядер при их сближении.

Силы отталкивания являются сильным сближением ядер.

**Рис. 1.9.** Изменение силы взаимодействия (а) и энергии связи (б) при сближении атомов в кристалле

нее, чем силы притяжения (рис. 1.9). Уравновешивание сил происходит при сближении элементарных частиц на расстояние  $d_0$ . Этому сближению соответствует минимум энергии связи  $E_{\text{св}}$ , что делает кристалл термодинамически стабильным. Она определяет температуры плавления, испарения, модуль упругости, температурный коэффициент линейного расширения и др.

Электронное строение атомов при сближении в кристалле претерпевает существенные изменения. Энергетические подуровни превращаются в зоны, которые, перекрываясь, делают возможным обмен и обобществление валентных электронов. Плотность заполнения электронами валентных зон определяет электрические и тепловые свойства.

Наличие незаполненных подуровней в валентной зоне кристаллов, что наблюдается в металлах, обеспечивает кристаллам хорошую электропроводимость (см. п. 17.1).

При полном заполнении валентной зоны такой переход возможен только в том случае, если электроны сумеют преодолеть зону запрещенных энергий и перейдут в зону более высоких энергий, имеющую свободные подуровни. Для такого перехода электрону

дают хороший теплопередачи, относятся металлы. Энергетические зоны обладают значительной энергией, так как осуществляется взаимодействие

Магнитные свойства зависят от заполнения электронов. При незаполненных электронных моментах они неизменены, в результате чего возникает парамагнетизм. При заполненных электронных моментах кристалл будет магнитом (см. п. 15.1).

Все кристаллы делятся на ковалентные, полярные, ионные. Однако это деление не является строгим, так как в кристаллах могут действовать несколько связей.

**Молекулярные** кристаллы, в которых атомы связаны между собой с помощью межатомных сил, называются межмолекулярными (ионами, атомами). Однако для многих кристаллов в сравнении с другими кристаллами эти силы являются самыми слабыми.

В кристаллах Ван-дер-Ваальса межмолекулярные силы являются самыми слабыми, но для многих кристаллов они являются самыми сильными.

Кристалл . . . . .	Ag	CH <sub>4</sub>	Алмаз
Энергия, кДж/г-атом (кДж/моль) . . . . .	7,5	10	750
Тип связи . . . . .	Молекулярная	Ковалентная	

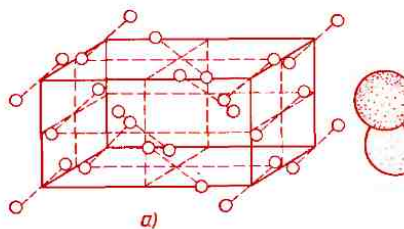
Известно, что аргон, так же как и другие инертные газы, может переходить в жидкое и даже твердое состояние при очень низких температурах и больших давлениях.

Атомы инертных газов имеют полностью достроенные энергетические уровни, а поэтому при сближении атомов обмен электронами невозможен. Возникновение сил притяжения между атомами объясняют мгновенной поляризацией атомов при сближении (рис. 1.10).

Аналогичные силы действуют между молекулами с насыщенными связями в кристаллах двухатомных газов  $H_2$ ,  $N_2$ ,  $Cl_2$ , существование которых также возможно лишь при очень низких температурах и больших давлениях; в кристаллах  $J_2$ ,  $H_2O$ ,  $CO_2$ , а также  $CH_4$  и других органических веществах – при нормальных условиях.

Силы Ван-дер-Ваальса не имеют направленного характера, так как мгновенный диполь образуется с каждым из соседних атомов. В результате атомы, стремясь увеличить число соседей в кри-

Рис. 1.11. Кристаллическая решетка иода:  
а – схема; б – пространственное изображение



нормальных условиях  
лярные кристаллы  
как кристалл построены  
нейтральных атомов  
торых энергетически  
достроены.

Для полимеров молекула определяет большую часть коэффициенты линейной (см. табл. 1.2, нитри-

Ковалентные кристаллы, в которых преобладает ковалентный тип связи. Атомы IV, V, VI групп имеют электроотрицательность, отличную от единицы, и поэтому могут образовать ковалентные связи с атомами других групп, отбирая у них электроны, достраивая свою молекулу; при взаимодействии атомы обобществляют свои электроны с соседними атомами, достраивая таким образом свою молекулу.

Ковалентные кристаллы состоят из атомов углерода, кремния, сурьмы, висмута и т. д.

Число атомов, с

находятся два электрона. Оба электрона молекулы водорода принадлежат обоим атомам и, вследствие перекрытия валентных зон, все время «кочуют» от одного атома к другому, образуя обменные ковалентные силы.

В ковалентных кристаллах в узлах кристаллической решетки располагаются атомы, между которыми действуют те же силы.

Например, атом углерода имеет четыре валентных электрона, посредством которых он образует четыре направленные связи и вступает в обменное взаимодействие с четырьмя соседними атомами. Между каждой парой атомов происходит обмен валентными электронами, подобно атомам в молекуле водорода.

В природе углерод встречается в двух кристаллических формах (рис. 1.12). Обе кристаллические решетки характеризует наличие у каждого атома четырех сосед-

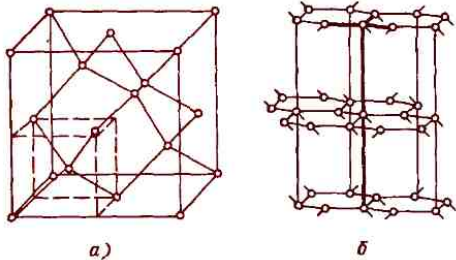


Рис. 1.12. Кристаллические решетки алмаза (а) и графита (б)

в первую очередь между слоями, что кая твердость графита. линейного расшире- влении действия сил (см. табл. 1.2).

Ковалентная связь с направленностью вступает в обменное взаимодействие с определенным числом атомов. Вследствие направленности ковалентных кристаллов компактно и образуют структуры с небольшим координационным числом. Решетка алмаза имеет координационное число 4 (K4).

Направленность связей и неплотноупакованные структуры приводят к низкой плотности и высокой твердости, что делает алмаз самым твердым материалом.

Вследствие большой направленности ковалентных кристаллов они имеют высокими температурами плавления (у алмаза она равна 3500 °С).

Образование замкнутых валентных зон при такой структуре кристаллов является характерной особенностью ковалентных кристаллов и даже диэлектриков. Хорошая проводимость графита объясняется тем, что в одной из четырех валентных связей углеродного атома, кроме обычной ковалентной, имеется одна электрическая связь Ван-дер-ваальса, при которой появляются дополнительные силы электрического тока.

группы B. Они электроположительны, так как имеют малый потенциал ионизации. В металлическом кристалле при взаимодействии с элементами других групп атомы легко отдают свои валентные электроны и превращаются в положительный ион.

При взаимодействии друг с другом валентные энергетические зоны атомов перекрываются, образуя общую зону со свободными подуровнями. Это дает возможность валентным электронам свободно перемещаться в пределах этой зоны. Происходит обобществление валентных электронов в объеме всего кристалла.

Таким образом, валентные электроны в металле нельзя считать потерянными или приобретенными атомами. Они обобществлены атомами в объеме всего кристалла, в отличие от ковалентных кристаллов, в которых такое обобществление ограничено одной парой атомов.

Металлическая связь ненаправленная, так как каждый атом стремится притянуть к себе как можно больше соседних атомов. Следствием этого является высокое координационное число и большая компактность кристаллических структур металлов. Как указывалось, большим координационным числом, характеризующим компактность решетки, обладают кристаллические структуры ГЦК и ГПУ. Гранецентрированную кубическую решетку ГЦК имеют металлы Ni, Ag, Cu, Au, Fe<sub>γ</sub>, Pt, Al и Pb. Гексагональную плотноупакованную решетку

имеют Zr<sub>α</sub>, Zr<sub>β</sub>, Ti<sub>α</sub>, Ti<sub>β</sub>, Nb, Ta, Zr<sub>γ</sub>.

Возникновением связей и несферических межатомных объяснения твердости металлических структур определяется структура не обладающая упаковкой структуру ОЦК имеющим V, Ta, Ti<sub>β</sub>, Nb, Zr<sub>β</sub>.

Среди металлов имеющихся металлов распространены морфизмы — способы существования при различном давлении и температуре кристаллических структур в различных физических формах. Низкотемпературные называют  $\alpha$ , а высокотемпературные  $\beta$ ,  $\gamma$ ,  $\delta$  и т. д.

Стабильность металлической структуры определяется значением координационного потенциала (G =

Более стабильной в атмосфере будет модификация

<sup>1</sup> В термодинамической литературе приведена в кельвинах, в других единицах измерения температуры Цельсия.

малой энталпии  $H$ , либо большой энтропии  $S$ .

В металлических кристаллах плотноупакованные структуры ГПУ ( $K = 12$ ) и ГЦК ( $K = 12$ ) (рис. 1.13) вследствие меньшей энталпии устойчивы при низких температурах (до  $T_1$ ). Более «крыхлая» структура ОЦК ( $K = 8$ ) имеет большую энтропию, а поэтому устойчива при повышенных температурах. Этим объясняется стабильность ОЦК решетки при повышенных температурах во многих металлах Ti, Zr, Fe, U. Стабильность ОЦК решетки в железе и при низких температурах связывают с возрастанием электронной составляющей энтропии.

Стабильность модификаций может меняться в связи с изменением типа связи. При низких температурах благодаря большой энергии ковалентной связи, а следовательно, и малой энталпии стабильна модификация олова с решеткой алмаза  $\text{Sn}_\alpha$ , которая при нагреве сменяется модификацией  $\text{Sn}_\beta$  с более слабой металлической связью.

Температурным полиморфизмом обладают около тридцати металлов (табл. 1.4). Быстрое охлаждение может сохранить высокотемпературную модификацию в течение длительного времени при температурах 20–25 °C, так как низкая диффузионная подвижность атомов при таких температурах не способна вызвать перестройку решетки.

Кроме того, известен полиморфизм под влиянием температуры и давления.

Кобальт

ГП  
ОЛ  
ГП  
ГП

При нагреве до  $\sim 10^{10}$  Па углерод перекристаллизуется при больших давлениях на низкотемпературной с гексагональной решеткой.

Рост давления ведет к превращению промежуточных стадий менее плотноупакованных кристаллических решеток в плотноупакованные в Ge, Si и  $\text{Sn}_\alpha$  при давлении 10–20 ГПа обнаружено превращение кристаллов с решеткой алмаза в металлические кристаллы с гексагональной объемно-центрированной решеткой ( $K = 8$ ).

Энергия металлической связи сколько меньше, чем ковалентной связи, поэтому в ряде случаев, по мере снижения температуры, стабильны кристаллы с низкими температурами плавления, модуль упругости которых выше, чем для кристаллов с высокими температурами плавления.

Для большинства металлов с повышением энергии связи температура плавления  $t_{\text{пл}}$ , модуль упругости  $E_{\text{упр}}$ , энергия активации диффузии  $Q_{\text{диф}}$ ; коэффициент диффузии  $\alpha$ , наоборот, уменьшается.

Титан	415	1865	9,2	112	122	4,5
Цирко- ний	460	1852	9,6	70	92	6,5
Хром	—	1875	6,2	280	310	7,1
Ванадий	—	1919	8,7	135	398	6,1
Ниобий	—	2468	7,2	124	398	8,6
Молиб- ден	670	2625	5,1	334	424	10,2
Тантал	—	3000	6,5	185	460	16,6
Воль- фрам	880	3410	4,4	420	500	19,3

Закономерность обнаружена экспериментально и имеет ряд исключений. В их числе: аномально завышен модуль упругости у Ве, что позволяет использовать его сплавы как материалы повышенной жесткости (см. гл. 13). Металлы Ti и Zr имеют заниженные значения не только модуля упругости, но и энергии активации самодиффузии. Последнее объясняет их пониженную жаропрочность.

Приведенные в табл. 1.5 значения  $E_{\text{св}}$  определены по теплоте испарения;  $E_{\text{упр}}$  и  $Q_{\text{диф}}$  даны для поликристаллов, причем  $E_{\text{упр}}$  для температуры 25 °C, а  $Q_{\text{диф}}$  для низкотемпературных модификаций полиморфных металлов.

Вследствие ненаправленности металлической связи и образования плотноупакованных структур металлические кристаллы более пластичны и менее тверды, чем ковалентные кристаллы. Хорошая электрическая проводимость обеспечивается наличием свободных подуровней в валентной энергетической зоне.

ние электронов. Этот элемент теряет валентные электроотрицательные свойства, достраивая тем самым свою зону до устойчивой, как у инертных газов, конфигурации узлах ионного кристалла.

Представитель группы IIA — сталь оксида FeO, — состоит из отрицательных ионов кислорода и положительных ионов железа.

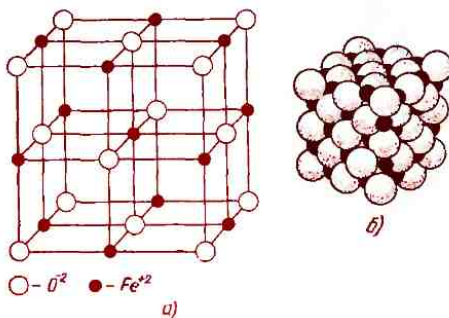
Перераспределение электронов при ионной связке между атомами одинакового радиуса (один атомом железа и один атомом кислорода).

Для ковалентных соединений характерно национальное число  $K$ , определяющее и возможный тип решетки. Оно определяется валентностью элемента и координационной способностью кристаллов. Координационное число определяется соотношением радиусов ионов. Для металлического и неметаллического ионов, так как каждый ион стремится к себе как можно ближе, противоположного знака, в решетке укладываются симметрические кластеры диаметров.

Радиус неметаллического иона меньше радиуса металлического иона. В кристаллической решетке симметрическими кластерами ионами неметаллического элемента в кристаллах координационного числа 4, 6, 8, 12, 16, 24, 32, 48, 64, 72, 80, 96, 112, 128, 144, 160, 176, 192, 208, 224, 240, 256, 272, 288, 304, 320, 336, 352, 368, 384, 400, 416, 432, 448, 464, 480, 496, 512, 528, 544, 560, 576, 592, 608, 624, 640, 656, 672, 688, 704, 720, 736, 752, 768, 784, 800, 816, 832, 848, 864, 880, 896, 912, 928, 944, 960, 976, 992, 1008, 1024, 1040, 1056, 1072, 1088, 1104, 1120, 1136, 1152, 1168, 1184, 1200, 1216, 1232, 1248, 1264, 1280, 1296, 1312, 1328, 1344, 1360, 1376, 1392, 1408, 1424, 1440, 1456, 1472, 1488, 1504, 1520, 1536, 1552, 1568, 1584, 1600, 1616, 1632, 1648, 1664, 1680, 1696, 1712, 1728, 1744, 1760, 1776, 1792, 1808, 1824, 1840, 1856, 1872, 1888, 1904, 1920, 1936, 1952, 1968, 1984, 2000, 2016, 2032, 2048, 2064, 2080, 2096, 2112, 2128, 2144, 2160, 2176, 2192, 2208, 2224, 2240, 2256, 2272, 2288, 2304, 2320, 2336, 2352, 2368, 2384, 2400, 2416, 2432, 2448, 2464, 2480, 2496, 2512, 2528, 2544, 2560, 2576, 2592, 2608, 2624, 2640, 2656, 2672, 2688, 2704, 2720, 2736, 2752, 2768, 2784, 2800, 2816, 2832, 2848, 2864, 2880, 2896, 2912, 2928, 2944, 2960, 2976, 2992, 3008, 3024, 3040, 3056, 3072, 3088, 3104, 3120, 3136, 3152, 3168, 3184, 3200, 3216, 3232, 3248, 3264, 3280, 3296, 3312, 3328, 3344, 3360, 3376, 3392, 3408, 3424, 3440, 3456, 3472, 3488, 3504, 3520, 3536, 3552, 3568, 3584, 3600, 3616, 3632, 3648, 3664, 3680, 3696, 3712, 3728, 3744, 3760, 3776, 3792, 3808, 3824, 3840, 3856, 3872, 3888, 3904, 3920, 3936, 3952, 3968, 3984, 3900, 3916, 3932, 3948, 3964, 3980, 3996, 4012, 4028, 4044, 4060, 4076, 4092, 4108, 4124, 4140, 4156, 4172, 4188, 4204, 4220, 4236, 4252, 4268, 4284, 4300, 4316, 4332, 4348, 4364, 4380, 4396, 4412, 4428, 4444, 4460, 4476, 4492, 4508, 4524, 4540, 4556, 4572, 4588, 4500, 4516, 4532, 4548, 4564, 4580, 4596, 4612, 4628, 4644, 4660, 4676, 4692, 4708, 4724, 4740, 4756, 4772, 4788, 4700, 4716, 4732, 4748, 4764, 4780, 4796, 4812, 4828, 4844, 4860, 4876, 4892, 4908, 4924, 4940, 4956, 4972, 4988, 4900, 4916, 4932, 4948, 4964, 4980, 4996, 5012, 5028, 5044, 5060, 5076, 5092, 5108, 5124, 5140, 5156, 5172, 5188, 5100, 5116, 5132, 5148, 5164, 5180, 5196, 5212, 5228, 5244, 5260, 5276, 5292, 5308, 5324, 5340, 5356, 5372, 5388, 5300, 5316, 5332, 5348, 5364, 5380, 5396, 5412, 5428, 5444, 5460, 5476, 5492, 5508, 5524, 5540, 5556, 5572, 5588, 5500, 5516, 5532, 5548, 5564, 5580, 5596, 5612, 5628, 5644, 5660, 5676, 5692, 5708, 5724, 5740, 5756, 5772, 5788, 5700, 5716, 5732, 5748, 5764, 5780, 5796, 5812, 5828, 5844, 5860, 5876, 5892, 5908, 5924, 5940, 5956, 5972, 5988, 5900, 5916, 5932, 5948, 5964, 5980, 5996, 6012, 6028, 6044, 6060, 6076, 6092, 6108, 6124, 6140, 6156, 6172, 6188, 6100, 6116, 6132, 6148, 6164, 6180, 6196, 6212, 6228, 6244, 6260, 6276, 6292, 6308, 6324, 6340, 6356, 6372, 6388, 6300, 6316, 6332, 6348, 6364, 6380, 6396, 6412, 6428, 6444, 6460, 6476, 6492, 6508, 6524, 6540, 6556, 6572, 6588, 6500, 6516, 6532, 6548, 6564, 6580, 6596, 6612, 6628, 6644, 6660, 6676, 6692, 6708, 6724, 6740, 6756, 6772, 6788, 6700, 6716, 6732, 6748, 6764, 6780, 6796, 6812, 6828, 6844, 6860, 6876, 6892, 6908, 6924, 6940, 6956, 6972, 6988, 6900, 6916, 6932, 6948, 6964, 6980, 6996, 7012, 7028, 7044, 7060, 7076, 7092, 7108, 7124, 7140, 7156, 7172, 7188, 7100, 7116, 7132, 7148, 7164, 7180, 7196, 7212, 7228, 7244, 7260, 7276, 7292, 7308, 7324, 7340, 7356, 7372, 7388, 7300, 7316, 7332, 7348, 7364, 7380, 7396, 7412, 7428, 7444, 7460, 7476, 7492, 7508, 7524, 7540, 7556, 7572, 7588, 7500, 7516, 7532, 7548, 7564, 7580, 7596, 7612, 7628, 7644, 7660, 7676, 7692, 7708, 7724, 7740, 7756, 7772, 7788, 7700, 7716, 7732, 7748, 7764, 7780, 7796, 7812, 7828, 7844, 7860, 7876, 7892, 7908, 7924, 7940, 7956, 7972, 7988, 7900, 7916, 7932, 7948, 7964, 7980, 7996, 8012, 8028, 8044, 8060, 8076, 8092, 8108, 8124, 8140, 8156, 8172, 8188, 8100, 8116, 8132, 8148, 8164, 8180, 8196, 8212, 8228, 8244, 8260, 8276, 8292, 8308, 8324, 8340, 8356, 8372, 8388, 8300, 8316, 8332, 8348, 8364, 8380, 8396, 8412, 8428, 8444, 8460, 8476, 8492, 8508, 8524, 8540, 8556, 8572, 8588, 8500, 8516, 8532, 8548, 8564, 8580, 8596, 8612, 8628, 8644, 8660, 8676, 8692, 8708, 8724, 8740, 8756, 8772, 8788, 8700, 8716, 8732, 8748, 8764, 8780, 8796, 8812, 8828, 8844, 8860, 8876, 8892, 8908, 8924, 8940, 8956, 8972, 8988, 8900, 8916, 8932, 8948, 8964, 8980, 8996, 9012, 9028, 9044, 9060, 9076, 9092, 9108, 9124, 9140, 9156, 9172, 9188, 9100, 9116, 9132, 9148, 9164, 9180, 9196, 9212, 9228, 9244, 9260, 9276, 9292, 9308, 9324, 9340, 9356, 9372, 9388, 9300, 9316, 9332, 9348, 9364, 9380, 9396, 9412, 9428, 9444, 9460, 9476, 9492, 9508, 9524, 9540, 9556, 9572, 9588, 9500, 9516, 9532, 9548, 9564, 9580, 9596, 9612, 9628, 9644, 9660, 9676, 9692, 9708, 9724, 9740, 9756, 9772, 9788, 9700, 9716, 9732, 9748, 9764, 9780, 9796, 9812, 9828, 9844, 9860, 9876, 9892, 9908, 9924, 9940, 9956, 9972, 9988, 9900, 9916, 9932, 9948, 9964, 9980, 9996, 10012, 10028, 10044, 10060, 10076, 10092, 10108, 10124, 10140, 10156, 10172, 10188, 10100, 10116, 10132, 10148, 10164, 10180, 10196, 10212, 10228, 10244, 10260, 10276, 10292, 10308, 10324, 10340, 10356, 10372, 10388, 10300, 10316, 10332, 10348, 10364, 10380, 10396, 10412, 10428, 10444, 10460, 10476, 10492, 10508, 10524, 10540, 10556, 10572, 10588, 10500, 10516, 10532, 10548, 10564, 10580, 10596, 10612, 10628, 10644, 10660, 10676, 10692, 10708, 10724, 10740, 10756, 10772, 10788, 10700, 10716, 10732, 10748, 10764, 10780, 10796, 10812, 10828, 10844, 10860, 10876, 10892, 10908, 10924, 10940, 10956, 10972, 10988, 10900, 10916, 10932, 10948, 10964, 10980, 10996, 11012, 11028, 11044, 11060, 11076, 11092, 11108, 11124, 11140, 11156, 11172, 11188, 11100, 11116, 11132, 11148, 11164, 11180, 11196, 11212, 11228, 11244, 11260, 11276, 11292, 11308, 11324, 11340, 11356, 11372, 11388, 11300, 11316, 11332, 11348, 11364, 11380, 11396, 11412, 11428, 11444, 11460, 11476, 11492, 11508, 11524, 11540, 11556, 11572, 11588, 11500, 11516, 11532, 11548, 11564, 11580, 11596, 11612, 11628, 11644, 11660, 11676, 11692, 11708, 11724, 11740, 11756, 11772, 11788, 11700, 11716, 11732, 11748, 11764, 11780, 11796, 11812, 11828, 11844, 11860, 11876, 11892, 11908, 11924, 11940, 11956, 11972, 11988, 11900, 11916, 11932, 11948, 11964, 11980, 11996, 12012, 12028, 12044, 12060, 12076, 12092, 12108, 12124, 12140, 12156, 12172, 12188, 12100, 12116, 12132, 12148, 12164, 12180, 12196, 12212, 12228, 12244, 12260, 12276, 12292, 12308, 12324, 12340, 12356, 12372, 12388, 12300, 12316, 12332, 12348, 12364, 12380, 12396, 12412, 12428, 12444, 12460, 12476, 12492, 12508, 12524, 12540, 12556, 12572, 12588, 12500, 12516, 12532, 12548, 12564, 12580, 12596, 12612, 12628, 12644, 12660, 12676, 12692, 12708, 12724, 12740, 12756, 12772, 12788, 12700, 12716, 12732, 12748, 12764, 12780, 12796, 12812, 12828, 12844, 12860, 12876, 12892, 12908, 12924, 12940, 12956, 12972, 12988, 12900, 12916, 12932, 12948, 12964, 12980, 12996, 13012, 13028, 13044, 13060, 13076, 13092, 13108, 13124, 13140, 13156, 13172, 13188, 13100, 13116, 13132, 13148, 13164, 13180, 13196, 13212, 13228, 13244, 13260, 13276, 13292, 13308, 13324, 13340, 13356, 13372, 13388, 13300, 13316, 13332, 13348, 13364, 13380, 13396, 13412, 13428, 13444, 13460, 13476, 13492, 13508, 13524, 13540, 13556, 13572, 13588, 13500, 13516, 13532, 13548, 13564, 13580, 13596, 13612, 13628, 13644, 13660, 13676, 13692, 13708, 13724, 13740, 13756, 13772, 13788, 13700, 13716, 13732, 13748, 13764, 13780, 13796, 13812, 13828, 13844, 13860, 13876, 13892, 13908, 13924, 13940, 13956, 13972, 13988, 13900, 13916, 13932, 13948, 13964, 13980, 13996, 14012, 14028, 14044, 14060, 14076, 14092, 14108, 14124, 14140, 14156, 14172, 14188, 14100, 14116, 14132, 14148, 14164, 14180, 14196, 14212, 14228, 14244, 14260, 14276, 14292, 14308, 14324, 14340, 14356, 14372, 14388, 14300, 14316, 14332, 14348, 14364, 14380, 14396, 14412, 14428, 14444, 14460, 14476, 14492, 14508, 14524, 14540, 14556, 14572, 14588, 14500, 14516, 14532, 14548, 14564, 14580, 14596, 14612, 14628, 14644, 14660, 14676, 14692, 14708, 14724, 14740, 14756, 14772, 14788, 14700, 14716, 14732, 14748, 14764, 14780, 14796, 14812, 14828, 14844, 14860, 14876, 14892, 14908, 14924, 14940, 14956, 14972, 14988, 14900, 14916, 14932, 14948, 14964, 14980, 14996, 15012, 15028, 15044, 15060, 15076, 15092, 15108, 15124, 15140, 15156, 15172, 15188, 15100, 15116, 15132, 15148, 15164, 15180, 15196, 15212, 15228, 15244, 15260, 15276, 15292, 15308, 15324, 15340, 15356, 15372, 15388, 15300, 15316, 15332, 15348, 15364, 15380, 15396, 15412, 15428, 15444, 15460, 15476, 15492, 15508, 15524, 15540, 15556, 15572, 15588, 15500, 15516, 15532, 15548, 15564, 15580, 15596, 15612, 15628, 15644, 15660, 15676, 15692, 15708, 15724, 15740, 15756, 15772, 15788, 15700, 15716, 15732, 15748, 15764, 15780, 15796, 15812, 15828, 15844, 15860, 15876, 15892, 15908, 15924, 15940, 15956, 15972, 15988, 15900, 15916, 15932, 15948, 15964, 15980, 15996, 16012, 16028, 16044, 16060, 16076, 16092, 16108, 16124, 16140, 16156, 16172, 16188, 16100, 16116, 16132, 16148, 16164, 16180, 16196, 16212, 16228, 16244, 16260, 16276, 16292, 16308, 16324, 16340, 16356, 16372, 16388, 16300, 16316, 16332, 16348, 16364, 16380, 16396, 16412, 16428, 16444, 16460, 16476, 16492, 16508, 16524, 16540, 16556, 16572, 16588, 16500, 16516, 16532, 16548, 16564, 16580, 16596, 16612, 16628, 16644, 16660, 16676, 16692, 16708, 16724, 16740, 16756, 16772, 16788, 16700, 16716, 16732, 16748, 16764, 16780, 16796, 16812, 16828, 16844, 16860, 16876, 16892, 16908, 16924, 16940, 16956, 16972, 16988, 16900, 16916, 16932, 16948, 16964, 16980, 16996, 17012, 17028, 17044, 17060, 17076, 17092, 17108, 17124, 17140, 17156, 17172, 17188, 17100, 17116, 17132, 17148, 17164, 17180, 17196, 17212, 17228, 17244, 17260, 17276, 17292, 17308, 17324, 17340, 17356, 17372, 17388, 17300, 17316, 17332, 17348, 17364, 17380, 17396, 17412, 17428, 17444, 17460, 17476, 17492, 17508, 17524, 17540, 17556, 17572, 17588, 17500, 17516, 17532, 17548, 17564, 17580, 17596, 17612, 17628, 17644, 17660, 17676, 17692, 17708, 17724, 17740, 17756, 17772, 17788, 17700, 17716, 17732, 17748, 17764, 17780, 17796, 17812, 17828, 17844, 17860, 17876, 17892, 17908, 17924, 17940, 17956, 17972, 17988, 17900, 17916, 17932, 17948, 17964, 17980, 17996, 18012, 18028, 18044, 18060, 18076, 18092, 18108, 18124, 18140, 18156, 18172, 18188, 18100, 18116, 18132, 18148, 18164, 18180, 18196, 18212, 18228, 18244, 18260, 18276, 18292, 18308, 18324, 18340, 18356, 18372, 18388, 18300, 18316, 18332, 18348, 18364, 18380, 18396, 18412, 18428, 18444, 18460, 18476, 18492, 18508, 18524, 18540, 18556, 18572, 18588, 18500, 18516, 18532, 18548, 18564, 18580, 18596, 18612, 18628, 18644, 18660, 18676, 18692, 18708, 18724, 18740, 18756, 18772, 18788,

шение равно 0,54. На рис. 1.14 приведена кристаллическая решетка FeO. Ионы кислорода образуют ГЦК решетку, ионы железа занимают в ней поры. Каждый ион железа окружен шестью ионами кислорода, и, наоборот, каждый ион кислорода окружен шестью ионами железа. В связи с этим в ионных кристаллах нельзя выделить пару ионов, которые можно было бы считать молекулой. При испарении такой кристалл распадается на молекулы.

При нагреве соотношение ионных радиусов может изменяться, так как ионный радиус неметалла растет интенсивнее, чем радиус металлического иона. Это приводит к изменению типа кристаллической структуры, т. е. к полиморфизму. Например, у оксида  $\text{Fe}_2\text{O}_3$  при нагреве шпинельная кристаллическая решетка изменяется на ромбоздрическую решетку (см. п. 14.2).



**Рис. 1.14.** Кристаллическая решетка FeO:  
а – схема; б – пространственное изображение

ками или диэлектриками. Во многих ионах доля ковалентной электромагнитных взаимодействий превышает поляризацию ионов. В результате чего ионные кристаллы теряют симметрию. С изменением связей в ионных кристаллах меняются и свойства. В кристаллах с различными координационными комплексами, образованными различными группами, доля ковалентной связью достигает 90 % и кристаллы становятся ковалентными. Ковалентной связью вызвана высокая электропроводимость и диэлектрическая проницаемость диэлектрики, а кристаллы – проводники.

### 1.3. Фазовый состав

Термин «сплав» имеет более широкое значение, чем время его появления. Сплавы – это сплавленные материалы, полученные сколько элементов, сколько возможно, путем сплавления. Но не все сплавы являются сплавами. Многие материалы получают путем сплавления различных технологических материалов. Сплавы получают путем сплавления порошковой методом, путем спекания при высоких температурах, путем диффузии в других веществах в различных температурных условиях.

нято делить на два основных вида: твердые растворы и промежуточные фазы. Твердыми растворами называют кристаллы, в которых сохраняется кристаллическая решетка одного элемента-растворителя. В промежуточных фазах образуется новый тип кристаллической решетки, отличающийся от решеток элементов, его образующих.

Таким образом, помимо классификации кристаллов по видам связи используют классификацию по типам кристаллической решетки. Такая классификация позволяет прогнозировать характер изменения свойств сплава в функции состава.

**Твердые растворы.** Такие растворы являются кристаллическими фазами переменного состава. Атомы растворенного элемента в размещаются в кристаллической решетке растворителя — элемента А, либо замещая атомы в узлах решетки, либо внедряясь в междоузлия-поры. В первом случае кристаллы называют твердыми растворами замещения, во втором — твердыми растворами внедрения (рис. 1.15). Количество замещенных атомов, так же как и количество внедренных, может изменяться в широких пределах, что и приводит к переменной растворимости твердых растворов. Растворимость может быть неограниченной для твердых

<sup>1</sup> Фазой называется однородная обособленная часть металла или сплава, имеющая одинаковые состав, строение и свойства.

растворов замещен для тех и других.

Твердые растворы вами греческого алфа или А(В), где А — растворенный элемент.

**Твердые растворы** — это соединение атомов растворенного элемента с атомами растворенного элемента, если атомные радиусы растворенных элементов отличаются более, чем на 15%. В растворах атомы растворенного элемента, как правило, размещаются в кристаллической решетке растворителя, расположенной вокруг атома растворенного элемента. Решетка растворенного элемента не изменяет местные искажения кристаллической решетки.

Образование твердых растворов сопровождается искажением кристаллического сопротивления температурой, электрическим сопротивлением растворов, обычно и всегда более твердые, чистые металлы.

<sup>1</sup> Исключение — твердые растворы.

творимость наблюдается при соблюдении размерного фактора и если элементы имеют одинаковый тип кристаллической решетки.

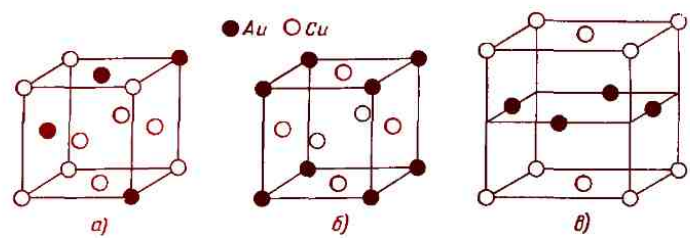
Неограниченная растворимость в твердом состоянии наблюдается в сплавах меди с золотом, меди с никелем, германия с кремнием. В полиморфных металлах встречается неограниченная растворимость в пределах одной модификации пространственной решетки. Например,  $Fe_{\alpha}$  дает неограниченный ряд твердых растворов с хромом (ОЦК решетка), а  $Fe_{\gamma}$  — неограниченный ряд твердых растворов с никелем (ГЦК решетка).

Многие твердые растворы замещения при относительно невысоких температурах способны находиться в упорядоченном состоянии, т. е. вместо статистического распределения разносортных атомов в узлах пространственной решетки атомы одного и другого металла размещаются в совершенно определенном порядке. Такие твердые растворы называют упорядоченными; используется также термин «сверхструктура».

или неограниченная в твердом состоянии упорядоченность в координациях твердого растворящего простым соединением компонентов. Частичная упорядоченность наблюдается при составах, близких к 1. Расположение атомов в твердых растворах с золотом, составленных концентрациям  $AuCu$ , показано на рис. 1.16.

Возникновение и характера в расположении твердых растворов сопровождаются специальными свойствами.

При упорядочении твердых растворов изменяется проводимость, коэффициент электропроводности, теплопроводность, твердость и пластичность. Для магнитных сплавов изменяются магнитные свойства: например, магнитные сплавы жесткоупорядоченных в неупорядоченном состоянии магнитная пр



Пространственное расположение атомов в твердом состоянии определяется

мер межузельного атома должен быть равным или несколько больше размера поры.

Твердые растворы внедрения всегда имеют ограниченную растворимость и встречаются преимущественно тогда, когда растворитель имеет ГПУ или ГЦК решетки, в которых имеются поры с радиусом  $0,41 R$ , где  $R$  — радиус атома растворителя. В ОЦК решётке растворимость путем внедрения мала, так как размер пор не превосходит  $0,29 R$ .

Примером твердых растворов внедрения, имеющих промышленное значение, являются твердые растворы углерода в  $\text{Fe}_\gamma$  и  $\text{Fe}_\alpha$ ,  $\text{Fe}_\gamma$  с ГЦК решёткой растворяет до 2,14 % (по массе) углерода;  $\text{Fe}_\alpha$  с ОЦК решёткой почти не растворяет углерод, максимальная растворимость составляет около 0,02 % (по массе).

Искажения решётки, которые появляются при образовании твердых растворов внедрения, превышают те, которые возникают при образовании твердых растворов замещения, в связи с чем более резко изменяются и свойства. По мере увеличения концентрации растворенного элемента в твердом растворе заметно возрастают электрическое сопротивление, коэрцитивная сила, твердость и прочность, но заметно понижается пластичность и вязкость.

В сплавах, содержащих более двух элементов, возможно растворение в одном и том же растворителе и путем замещения, и путем внедрения. Так, при сплавлении железа с марганцем и угле-

мером твердые растворы большинства промышленных сплавов и го назначения.

Промежуточные образованные разл и имеющие собстве ческой решетки, от щеток составляющи зывают промежуто

В зависимости от в промежуточных любой тип связи, очередь, и определя лов, в частности эл (см. п. 17.1).

Расположение а в решётке может ченным либо полн упорядоченным. У как и в твердых рас зкое изменение сверхпроводимости

Промежуточные и твердые растворы лами, в которых со котором интервале да очень малом. объясняется либо межузельных «лиш ионов) в кристалли межуточной фазы, атомов в узлах ре

Промежуточные так же, как и тверми греческого алф сказуются обозначен

формулами, которые отражают состав (стехиометрический), при котором кристаллы не имеют дефектов — межузельных атомов и вакансий.

Пока не существует полной классификации многочисленных и разнообразных промежуточных фаз. Замечено, что структура промежуточной фазы зависит от трех факторов: относительного размера атомов, их валентности и от положения в периодической системе элементов, что определяет их электронную структуру.

**Системы металл–неметалл. Фазы с ионным типом связи.** К ним относятся простые и двойные оксиды металлов.

Простой оксид железа  $\text{FeO}$  имеет гранецентрированную пространственную решетку (см. рис. 1.14). Все кислородные узлы решетки заполнены, тогда как часть металлических узлов свободна. Таким образом, оксид  $\text{FeO}$  имеет структуру с большим дефицитом металлических ионов, что определяет появление полупроводниковых свойств (см. п. 17.2).

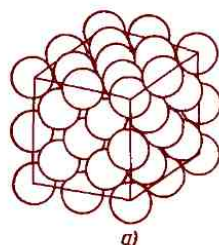
Оксид железа  $\text{Fe}_3\text{O}_4$  — это двойной оксид  $\text{FeO} \times \text{Fe}_2\text{O}_3$  (рис. 1.18). Кристаллическая решетка оксида — шпинель содержит двух- и трехвалентные ионы железа, расположенные в межузельных порах ионов кислорода. Два вида ионов железа и ионный тип связи обеспечивают оксиду особые магнитные свойства в высокочастотных полях. Большая плотность упаковки ионов в решетке, несмотря на небольшой дефицит ионов железа, способствует высокому сопротивлению химической коррозии.

**Фазы с ионно-ковалентным типом связи.** Такие фазы образуются при взаимодействии

элементов с ионным типом связи с неметаллами, способными образовать ковалентные связи. Если отношение ионов металла к неметаллу не является целым, то тогда образуются промежуточные фазы, имеющие структуры, отличные от традиционных для соответствующих элементов.

**Фазы внедрения.** Эти фазы характеризуются тем, что в кристаллическую решетку металла внедряются ионы неметалла. Внедрение ионов в кристаллическую решетку металла может привести к образованию различных дефектов в решетке, таких как вакансии, дислокации и т. д. Внедрение ионов в кристаллическую решетку металла может привести к образованию различных дефектов в решетке, таких как вакансии, дислокации и т. д.

Химический состав фазы определяется формулами:



**Рис. 1.18.** Кристаллическая структура шпинели: а — расположение ионов кристаллического иона в тетраэдрических порах

50 ат. % углерода состав карбида точно описывается формулой  $TiC$ .

Указывалось, что в фазах внедрения преобладает металлическая связь, чем определяются такие свойства этих фаз, как высокая электропроводимость, положительный коэффициент электрического сопротивления, как у чистых металлов и твердых растворов на их основе. Некоторые фазы внедрения обладают сверхпроводимостью; однако есть свойства, которые указывают на значительную долю в фазах внедрения ковалентной связи. Большинство фаз внедрения чрезвычайно тугоплавки и имеют твердость, близкую к твердости алмаза. Фазы внедрения — это самые тугоплавкие и твердые промежуточные фазы.

Карбиды и нитриды, относящиеся к фазам внедрения, присутствуют в структуре многих коррозионно-стойких, износостойких и жаропрочных конструкционных сталей. Карбиды  $TiC$ ,  $TaC$ ,  $WC$ ,  $W_2C$  служат основой спеченных твердых сплавов для режущих инструментов. Использование таких сплавов позволило увеличить скорости резания в десятки раз (см. гл. 18).

К карбидам с отношением  $R_{\text{HM}}/R_M > 0,59$  относятся карбид железа (в сталью его называют цементитом), карбид марганца и карбиды хрома (например, в карбиде железа отношение  $R_C/R_{Fe} = 0,605$ ). Карбид железа  $Fe_3C$  и карбиды хрома  $Cr_{23}C_6$  и  $Cr_7C_3$  — важнейшие промежуточные фазы в конструкционных и инструментальных сталях, во многом определяющие их свойства. В последних карбидах преобладает металлическая связь, хотя имеется и определенная доля ковалентной связи.

Эти промежуточные фазы отличаются высокой твердостью и хрупкостью, они также достаточно тугоплавки, но уступают по этим

обозначать  $\beta$ -,  $\gamma$ - и  $\epsilon$ -фазы.

Указанным электронным соединениям можно приписать соотношения формул. Например, с цинком, в которых между металлом и фазы с указанными коэффициентами будут соотношения  $Cu_5Zn_8$ ,  $CuZn_3$ .

В большинстве сплавов с цинком ОЦК решетку,  $\gamma$ -фазы заменяют решеткой с 52 атомами на ячейку и  $\epsilon$ -фазы — ГПУ решетку.

Свойства электронных соединений, механические свойства которых в значительной мере от структуры расположения атомов в металлической решетке зависят. Так,  $\beta$ -фазы с ОЦК решеткой в системах при высоких температурах не отличаются от  $\gamma$ -фаз, и в этом смысле они близки к свойствам твердых сплавов, и обладают хорошей пластичностью при низких температурах.  $\epsilon$ -фазы неустойчивы: они могут превращаться в двухфазные смеси, либо же, например, в системах с высокими температурами  $\beta'$ -фазы значительно упрочняются и становятся хрупкими.  $\gamma$ -фазы почти неустойчивы, причем вплоть до температур, при которых они в системах обладают высокой пластичностью.

Электронные соединения, в структуре которых преобладают ковалентные связи: лантанах ( $Cu-Zr$ ,  $Cu-Sn$  и др.); они являются промежуточными фазами (см. п. 9.4).

Фазы Лавеса. Эти соединения практически постоянны, они являются промежуточными фазами, участвующими в взаимодействии

ва образуются при сплавлении переходных металлов, имеющих близкие размеры атомов;  $\sigma$ -фазы имеют частично упорядоченную сложную решетку.

В железных сплавах, содержащих больше 20 % Cr, которые используются как коррозионно-стойкие конструкционные материалы, очень медленное охлаждение из области твердого раствора или изотермические выдержки при 800–600 °C приводят к образованию кристаллов  $\sigma$ -фазы, которое сопровождается резким увеличением твердости и охрупчиванием сплавов.

#### 1.4. Дефекты кристаллов

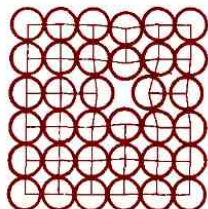
Строение реальных кристаллов отличается от идеальных. В реальных кристаллах всегда содержатся дефекты, а поэтому нет идеально правильного расположения атомов во всем объеме кристалла.

Дефекты кристаллов подразделяют на точечные, линейные, поверхностные и объемные. Размеры точечного дефекта близки к межатомному расстоянию. У линейных дефектов длина на несколько порядков больше ширины; у поверх-

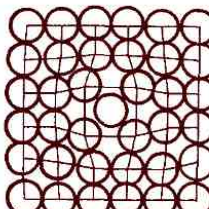
щенных из узла в ми.

Вакансии и межузельные язвы являются в кристалле выше абсолютной температуре выше концентрация вакансий узельных атомов, на температуре 20–250 °C – 1 ат. % вакансий, а при температуре уже 0,01 ат. % вакансий находится на  $10^4$  ат.

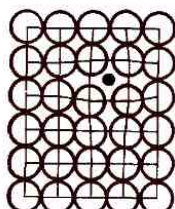
Пересыщение твердого раствора достигается при разогреве высокотемпературном пластическом деформировании облучении нейтронами. В этом случае концентрация межузельных атомов может превышать концентрацию узельных атомов. При этом из узлов решетки выталкивается атом, находящийся в межузельном положении. В результате этого вытесненный атом становится вакансией. С течением времени вакансии, сверх равновесной концентрации, выталкиваются на свободные места в кристалле, порах,



a)



б)



в)

подвижностью и непрерывным перемещением в решетке. Соседний с вакансией атом может занять ее место и оставить свободным свой узел, в который затем переходит другой атом.

Чем выше температура, тем больше концентрация вакансий и тем чаще они переходят от узла к узлу. Ваканси я являются самой важной разновидностью точечных дефектов; они ускоряют все процессы, связанные с перемещениями атомов: диффузия, спекание порошков и т. д.

В ионных и ковалентных кристаллах ваканси и другие точечные дефекты электрически активны и могут быть как донорами, так и акцепторами. Это создает в кристаллах преобладание определенного типа проводимости. В ионных кристаллах электрическая нейтральность кристалла сохраняется благодаря образованию пары точечных дефектов: ваканция-ион, у которых электрические заряды имеют противоположные знаки.

Все виды точечных дефектов искажают кристаллическую решетку и, в определенной мере, влияют на физические свойства. В технически чистых металлах точечные дефекты повышают электросопротивление, а на механические свойства почти не влияют. Лишь при больших концентрациях дефектов в облученных металлах понижается пластичность и заметно изменяются другие свойства.

**Линейные дефекты.** Важнейшие виды

ставляет собой края плоскости в решетке.

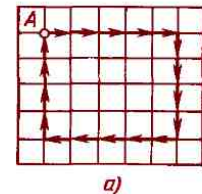
Вокруг дислокаций решетка искажена.

Мерой искажения, называемый вектор Бюргерса, является расстояние, на которое сдвигнуты атомы вдоль линии дислокации в идеальном кристалле.



a)

Рис. 1.21. Дислокации Fe + 3% Al:  
а — изображение дислокаций в фазовом микроскопе; б — расположение дислокаций в фазовом микроскопе; в — схематическое изображение дислокаций в кристалле; г — схематическое изображение дислокаций в кристалле.



а)

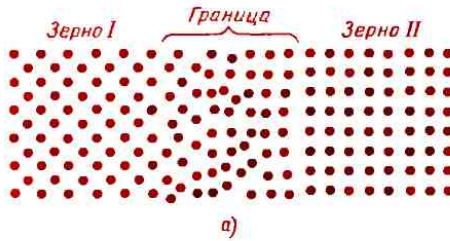
Рис. 1.22. Определение дислокаций в кристалле.

ровании плотность дислокаций возрастает до  $10^{11} - 10^{12}$  см<sup>-2</sup>. Попытка увеличить плотность выше  $10^{12}$  см<sup>-2</sup> быстро приводит к появлению трещин и разрушению металла. Дислокации появляются при кристаллизации, плотность их большая, поэтому они значительно влияют на свойства материалов. Дислокации наряду с другими дефектами участвуют в фазовых превращениях, рекристаллизации, служат готовыми центрами при выпадении второй фазы из твердого раствора. Вдоль дислокаций скорость диффузии на несколько порядков выше, чем через кристаллическую решетку без дефектов. Дислокации служат местом концентрации примесных атомов, в особенности примесей внедрения, так как это уменьшает искажения решетки. Примесные атомы образуют вокруг дислокаций зону повышенной концентрации — так называемую атмосферу Коттрелла, которая мешает движению дислокаций и упрочняет металл.

1 — идеальный кристалл; 2 — дефектные кристаллы; 3 — металлы с дефектами после обработки

Особенно велико влияние дислокаций на прочность кристаллов. Подвижным дислокациям определено, что в кристаллах металлов в 1000 раз выше, чем в идеальном кристалле, значение предела текучести. При одинаковой плотности дислокаций различие в пределах текучести их подвижности может достигать в несколько раз. Влияние дислокаций на прочность металлов определяется внесением в них дефектов, в результате чего в металле возникает дополнительная энергия, необходимая для преодоления сопротивления деформации. Влияние дислокаций на прочность металлов определяется внесением в них дефектов, в результате чего в металле возникает дополнительная энергия, необходимая для преодоления сопротивления деформации.

В полупроводниках дислокации влияют на электрические свойства



а)

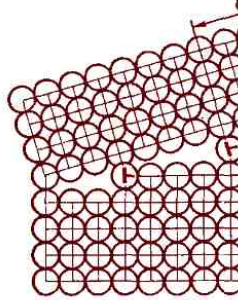


Рис. 1.24. Схемы строения большиеугловых (а) и малоугловых (б) гра-

В промышленности применяют как поликристаллические, так и монокристаллические материалы. Поликристаллический сплав содержит огромное число мелких зерен. В соседних зернах решетки ориентированы различно (рис. 1.24), и граница между зернами представляет собой переходный слой шириной 1–5 нм. В нем нарушена правильность расположения атомов, имеются скопления дислокаций, повышена концентрация примесей.

Границы между зернами называются большеугловыми, так как соответственные кристаллографические направления в соседних зернах образуют углы в десятки градусов (рис. 1.24, а). Каждое зерно, в свою очередь, состоит из субзерен или блоков.

Субзерно представляет собой часть кристалла относительно правильного строения. Границы субзерен представляют собой стенки дислокаций, которые разделяют зерно на отдельные субзерна или блоки (рис. 1.24, б). Угол взаимной разориентации между соседними субзернами невелик (не более 5°), поэтому такие границы называются малоугловыми. На малоугловых границах также скапливаются примеси.

Дефект упаковки представляет собой часть атомной плоскости, ограниченную дислокациями, в пределах которой нарушен нормальный порядок чередования атомных слоев. Например, в сплавах с ГЦК решеткой чередуются плотноупакованные слои *ABCABCAB...*,

мостью  $\sigma_t - \sigma_0$ , ка-  
стоянные для данной  
мелъче зерно, тем  
сти, вязкость и ме-  
кого разрушения. А  
слабо влияет на ме-  
размер субзерен.

Вдоль границ зе-  
стро протекает диф-  
быстрее, чем сквозь  
при нагреве. Взаим-  
фектами, перемеще-  
изменение концент-  
это отражается на  
большое практическое

## 1.5. Диффузия в м...

Многие процессы  
таллах и сплавах, с-  
шенных температур  
диффузией или диф-

Самодиффузия – па-  
ла из узла кристал-  
в соседний или в  
ствием теплового в-

Диффузия – перено-  
мов, который сопро-  
нием концентрации  
дельных зонах спла-

Для описания г...  
или самодиффузии  
ко механизмов (обм...  
межузельный, вакан-  
нако реализуется т...  
зии или самодифф...  
окажется наименьш...

считаются законы Фика, которые справедливы для слабых растворов или систем с малым перепадом диффундирующего вещества — градиентом концентрации  $\partial c/\partial x$ .

Первый закон Фика:

$$dm = -D \partial c / \partial x dS dt.$$

При постоянной температуре количество диффундирующего вещества  $dm$  в единицу времени через единицу поверхности  $dS$  пропорционально градиенту концентрации  $\partial c/\partial x$  и коэффициенту диффузии  $D$  ( $\text{см}^2/\text{с}$ ). Знак минус указывает, что диффузия протекает в направлении, обратном вектору градиента концентрации, т. е. от зоны с большей концентрацией к зоне с меньшей концентрацией диффундирующего элемента.

Когда градиент концентрации изменяется во времени, а коэффициент диффузии принимается независящим от концентрации, процесс диффузии описывается вторым законом Фика, который выводится из первого закона:

$$\partial c / \partial t = D \partial^2 c / \partial x^2.$$

Коэффициент диффузии  $D$  ( $\text{см}^2/\text{с}$ ) определяет скорость диффузии при перепаде концентрации, равном единице, зависит от состава сплава, размеров зерен и температуры процесса.

Для определенного диапазона температур С Аррениус установил экспоненциальную зависимость коэффициента диффузии от температуры:

$$D = D_0 e^{-Q/RT},$$

нове кристаллизации, фазовых превращений на поверхности сплавами. Более подробно это будет рассмотрено в последующих главах.

## 1.6. Жидкие кристаллы

Жидкие кристаллы — это вещества с упорядоченной молекулярной структурой. Благодаря упорядоченности они занимают промежуточное положение между кристаллами и жидкостями с беспорядочным движением молекул. Жидкие кристаллы, как обычные жидкости, в то же время обладают анизотропией, свойственной кристаллам.

Известно несколько типов жидкокристаллических веществ, важное значение имеют некоторые из них. Жидкие кристаллы — это вещества, у которых молекулы имеют вытянутую форму. Помимо этого, в силу особых взаимодействий молекулы располагаются в определенном порядке. Промежуточное состояние с упорядоченной структурой наблюдается в интервале температур плавления вещества. Жидкий кристалл — это жидкость, имеющая кристаллическую структуру. При переходе из жидкого состояния в твердое тепловые колебания молекул прекращаются, увеличивается прочность межмолекулярных связей, и поэтому в некоторой точке существует ступенька в температурной зависимости коэффициента диффузии.

По структуре жидкие кристаллы разделяют на три класса: I (нематические); II (смектические) и III (холестерические) (рис. 1.25).

В кристаллах первого класса (рис. 1.25, а) молекулы выстроены в цепочки; направление преимущественной ориентации молекул является оптической осью жидкого кристалла.

В кристаллах второго класса (рис. 1.25, б) молекулы образуют параллельные слои, которые легко смещаются друг относительно друга.

В кристаллах третьего класса (рис. 1.25, в) структура наиболее сложная: молекулы размещаются по пространственной спирали. Длинные молекулы образуют параллельные слои, в каждом слое имеется структура жидкого кристалла первого класса. Направление преимущественной ориентации плавно меняется при переходе от слоя к слою, образуя спираль с определенным шагом.

Ориентационный порядок в расположении молекул создает анизотропию: показатель преломления света, диэлектрическая проницаемость, удельное электрическое сопротивление, вязкость и многие другие свойства зависят от направления, вдоль которого измеряют их величины, например параллельно или перпендикулярно осям молекул. В частности, в жидкких кристаллах, являющихся диэлектриками, удельное объемное электрическое сопротивление, измеренное перпендикулярно молекулярным цепям, достигает  $10^{12} - 10^{14}$  Ом·м,

а вдоль молекуляй сколько порядков н

Структура жидкки изменяется под д электрического поля. Ие дает возможн свойствами путем и делает жидкие нимыми материалам особо чувствительн

Способность из свойства жидкких класса, а также к класса под влиянием ля и температурных пользуется в прибо структуры жидк внешних воздействий. перемещениями мол перемещения требует возврат к исходному прекращения воздей время—20–200 мс. жидкких кристаллов. применение области выше 2–5 кГц). В г пользуют как инди кристаллические ония, так и их э Смеси обладают братурным интервалом жидкких кристаллов.

В жидкких кристаллах наблюдается электродинамического расширение. Интенсивность эффекта заклинивания в исходной упорядочен

красителя. В таком положении окраска не видна. При вращении молекул под влиянием поля более высокой напряженности молекулы красителя окрашивают изображение в определенный цвет.

В жидких кристаллах третьего класса при нагреве шаг спирали увеличивается, что меняет условия интерференции света на кристаллах и сопровождается изменением окраски отраженного света. Оптические характеристики кристаллов весьма разнообразны, в среднем длина волны отраженного света при нагреве на 1 °C уменьшается на 1–2 нм.

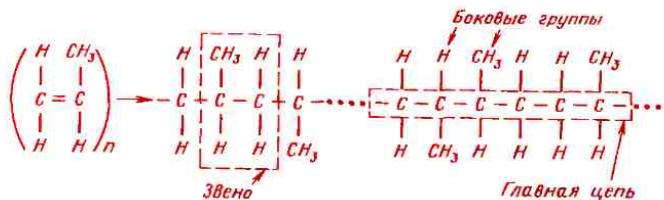
Эту особенность используют для регистрации и измерения стационарных и медленно меняющихся температурных полей. Здесь используется как увеличение прозрачности при переходе жидкого кристалла в изотропную жидкость, так и изменение цвета отраженного потока света.

На основе жидких кристаллов изготавливают медицинские термометры, датчики температуры для контроля перегрева узлов и деталей, преобразователи невидимого инфракрасного излучения в видимый свет. В последнем случае поглощение инфракрасного излучения

с большой молекулой ( $\geq 10^4$ ), у которых одинаковых групп: 1.26). Каждое звено имеет измененную молекулу молекулярного. При получении полимеров объединяются и образуют длинные молекулы или макромолекулы, атомы соединены между линейными звеньями. меры разделяют и термореактивными особенно четко на нагреве.

Термопластичные полимеры многократно размножаются и твердеть при охлаждения своих свойств.

Термореактивные полимеры остаются термически неизмененными до полного термического разложения. Различие поведения обуславливается тем, что у термопластичных полимеров между макромолекулами относительно слабые взаимодействия Ваальса. При нагреве



раз больше размеров боковых групп. У большинства полимеров главные цепи состоят преимущественно из атомов углерода, у кремнийорганических полимеров они образованы чередующимися атомами кислорода и кремния.

Боковые группы образуют атомы (водород, галоиды), радикалы ( $\text{OH}-$ ,  $\text{CN}-$ ,  $\text{C}_6\text{H}_5-$  и др.), короткие полимерные цепи из нескольких звеньев. Очевидно, что при наличии боковых групп нескольких видов имеются возможности разместить их вдоль главной цепи как неупорядоченно, так и в определенном порядке. Полимеры с неупорядоченным чередованием групп называются *нерегулярными*, а с упорядоченным — *регулярными*.

Структура молекул определяется способом производства полимера. При обработке полимеров (нагрев, растворение и т. д.) структура молекул почти не изменяется, и нельзя, например, нерегулярный полимер сделать регулярным.

Общая структура полимеров складывается из структуры молекул и надмолекулярной структуры, т. е. взаимной укладки линейных молекул в полимерном веществе. Надмолекулярная структура появляется под влиянием сил притяжения между молекулами и теплового движения самих молекул. Наиболее характерной и важной формой теплового движения макромолекул являются повороты частей молекул по отношению друг к другу (рис. 1.27). Равновесному состоянию соответствуют определенные

Рис. 1.27. Схема поворота главной цепи макромолекулы

значения углов между цепями (см. рис. 1.27). Форма линии времена изменяется. В равновесной форме макромолекулы совершают колебания при тепловом движении. Повороты вокруг связей между атомами молекулы легко осуществляются в гулярных полимерах, но больших участков макромолекулы не могут совершать одновременно. У регулярных полимеров с одинаковыми надмолекулярными единицами являются кристаллические структуры и кристаллы. При повышенных температурах в макромолекулах происходят сдвиги, повороты и

Макромолекулы в веществе не упакованы плотно, поэтому упаковки является свободный объем, занимаемый макромолекулами. Фактическим удельным весом при самой плотной упаковке является объем, занятый макромолекулами при нагреве свободный объем. В зависимости от температуры и вида полимерного вещества в нем может быть в одном из физических состояний: клообразном, высокомолекулярном, текучем. Переходы

нагрузки. При деформации происходит искажение валентных углов  $\alpha$ .

Высокоэластичное состояние появляется тогда, когда свободный объем становится  $\sim 2,5\%$ . В этом состоянии полимер ведет себя как эластичное тело. Под действием нагрузки скрученные макромолекулы выпрямляются и вытягиваются, деформация достигает 500–800%. Расстояния между атомами в макромолекулах при этом меняются незначительно. При снятии нагрузки тепловое движение

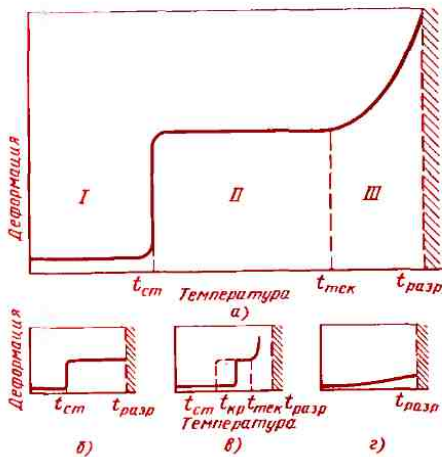


Рис. 1.28. Зависимость деформации полимеров от температуры:

а – термопластичный аморфный полимер; I – стеклообразное состояние; II – высокоэластичное состояние; III – текучее состояние; б – полимер с редкими поперечными связками; в – термопластичный кристаллический полимер; г – полимер с частыми поперечными связями

проводится разрыв связей в макромолекулах, разрывов заметно до  $t_{тек}$ , а начиная с температуры  $t_{разр}$  термическая размолекул с выделением соединений быстро приводит к разрушению полимера.

Таким образом, температурный диапазон полимера определяется в разных физических процессах. Не учитывать разрывы связей в отдельных точках (при нагреве). В то время как регулярная структура имеет равновесные надмолекулярные структуры при нагреве становятся не равновесными. Прежде всего в материале легко разрушаются равновесные надмолекулярные структуры. Если растянуть на 20% термопластичный полимер при комнатной температуре, охладить его до температуры, соответствующей «стеклообразное состояние», вытянутые макромолекулы смогут вернуть свою форму и восстановить регулярную структуру. Ориентация макромолекул в направлении растягивающей силы способствует анизотропии свойств. Надмолекулярные структуры, имеющие в своем составе регулярные зоны и беспорядочные зоны, влияют на температуру кристаллизации. Повышение температуры кристаллизации регулярных структур обуславливается выделением тепла при кристаллизации.

полимеры находятся в высокогибким состоянии.

Надмолекулярные структуры в термоактивных полимерах зависят от плотности поперечных связей. При небольшой плотности поперечных связей образуются как пачечные структуры, так и кристаллы. При увеличении плотности поперечных связей возможность образования надмолекулярных структур уменьшается.

В кристаллических полимерах размеры кристаллов и их форма зависят от конкретных условий кристаллизации, и механические свойства определяются полученной структурой.

Стекло представляет собой аморфное вещество, образующееся при сплавлении оксидов или безоксидных соединений. Стеклообразующими являются оксиды  $\text{SiO}_2$ ,  $\text{B}_2\text{O}_3$ ,  $\text{P}_2\text{O}_5$ ,  $\text{GeO}_2$ , а также некоторые бескислородные соединения мышьяка, селена, теллура.

Основу стекла образует объемная сетка из однородных структурных элементов. В наиболее простом по составу кварцевом стекле такими элементами являются тетраэдры  $\text{SiO}_4$ , которые соединяются своими вершинами (рис. 1.29). Из таких же тетраэдров образована структура кристаллического кварца. Различие между двумя веществами одинакового химического состава объясняется размещением  $\text{SiO}_4$ . Углы между связями кремний — кислород в соседних тетраэдрах в кварцевом стекле меняются в широких пределах (120—

расположение тетраэдров в кристаллическом квартце, размещены упорядоченно в кристаллическую решетку. Значения углов между связями кремний — кислород находятся в более широких пределах. Структура аморфного стекла при охлаждении стабильна, но при повышении ее вязкости происходит кристаллизация.

Основную массу стекол составляют стекла с добавками других элементов. По сравнению с квартцем они становятся мягче при более низких температурах и легче перерабатываются. В силикатных стеклах образуются ковалентные связи в объемную сетку кремния, в которую входят также алюминий, германий, бериллий и другие элементы, входящие в ячейках в стеклах. Изменение химического состава стекол приводит к различным свойствам, в том числе и к различиям в структуре стекол.

При охлаждении стекла расслаивается на жидкую фазу и твердую. Затвердевшее стекло имеет кристаллическую структуру, а не остается аморфной. Катионы стекол — характеризуют стабильность их структуры.

При определенном содержании кремния,

структуры и выравнивания плотности.

Керамикой называют материалы, полученные при высокотемпературном спекании минеральных порошков. При нагреве исходные вещества взаимодействуют между собой, образуя кристаллическую и аморфную фазу. Керамика представляет собой пористый материал, содержащий ковалентные или ионные кристаллы — сложные оксиды, карбиды или твердые растворы на их основе. Аморфная фаза является стеклом, которое по своему химическому составу отличается от кристаллов. Керамический материал содержит одну или несколько кристаллических фаз, отдельные виды керамики совсем не имеют стекла в своей структуре. Как правило, керамика имеет поликристаллическую структуру с прослойками стекла и с беспорядочным расположением зерен и поэтому однородна по свойствам.

Характерной особенностью керамических материалов является хрупкость. Сопротивление разрушению тем выше, чем мельче кристаллы и чем меньше пористость. Например, плотная микрокристаллическая керамика на основе  $\text{Al}_2\text{O}_3$  с размерами зерен 1–5 мкм в 5–6 раз прочнее обычной. Изделия из плотной мелкозернистой керамики — тонкой керамики — получают по более сложной технологии, и поэтому такие изделия дороги. Пористую керамику используют в качестве огнеупорных материалов,

му составу отличается стекло, в котором не входящие в соединение элементы создают лиях после двойного отжига нужен для термов кристаллизации ращивания кристаллов. Для обработки стекла вводят и другие соединения.

В зависимости от расположения центров кристаллизации подразделяют на фотоситаллы. В термовспышивания центров кристаллизации используют оксиды или фториды, например  $\text{NaF}$  и др. (несколько отжиге термоситаллы) кая и однородна по свойствам. В фотоситаллы добавки золота, серебра, меди. Центры кристаллизации возникаются под действием ультрафиолетовым излучением на облученные участки кристаллов после отжига.

Фотоситаллы являются чувствительными к свету кристаллами. Их имеют узкие полосы, шириной 1–2 мкм. Их используют для износостойких узлов трения, изготавливают прочные стабильные радиодетали, пленки.

называется вторичной кристаллизацией. Процесс кристаллизации состоит из двух одновременно идущих процессов - зарождения и роста кристаллов. Кристаллы могут зарождаться самопроизвольно (самопроизвольная кристаллизация) или расти на имеющихся готовых центрах кристаллизации (несамопроизвольная кристаллизация).

## 2.1. Самопроизвольная кристаллизация

Самопроизвольная кристаллизация обусловлена стремлением вещества иметь более устойчивое состояние, характеризуемое уменьшением термодинамического потенциала  $G$ .

С повышением температуры термодинамический потенциал вещества как в твердом, так и в жидким состоянии уменьшается, что показано на рис. 2.1.

Температура, при которой термодинамические потенциалы вещества в твердом и жидким состояниях равны, называется равновесной температурой кристаллизации. Кристаллизация происходит в том случае, если термодинамический потенциал вещества в твердом состоянии будет меньше термодинамического потенциала вещества в жидким состоянии, т. е. при переохлаждении жидкого металла до температур ниже равновесной. Плавление - процесс, обратный кристаллизации, происходит при температуре выше равновесной, т. е. при перегреве. Разница между реальными температурами плавления и кристал-

зации выделяется т. плотой ( $Q$ ) и темперации ( $T_k$ ) существует. Так как при равной кристаллизации термопотенциалы в жидкокомпакциях равны, из фор-

что

$$\Delta H_{\infty} - T_k \Delta S_{\infty} =$$

$$\Delta H_{\infty} - \Delta H_k =$$

$$Q =$$

Параметр  $\Delta S =$  определяет упорядоченность в молекулах при кристаллизации от сил межатомной притяжки. Кристаллизации для различных металлов изменяется от 25000 (Fe) до 20000 Дж/К. При этом кристаллизуется с выделением теплоты, происходящей из-за

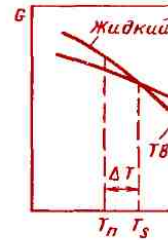


Рис. 2.1. Изменение термодинамического потенциала в зависимости от температуры для твердого и жидкого состояния металла в твердом и

охлаждения, компенсируется теплотой кристаллизации. В связи с этим на кривой охлаждения, изображаемой в координатах температура–время, процессу кристаллизации соответствует горизонтальный участок (рис. 2.2). При большом объеме жидкого металла выделяющаяся при кристаллизации теплота повышает температуру практически до равновесной (рис. 2.2, кривая а); при малом объеме металла выделяющейся теплоты недостаточно, вследствие чего кристаллизация происходит с переохлаждением по сравнению с равновесной температурой (рис. 2.2, кривая б).

Разница между равновесной ( $T_s$ ) и реальной ( $T_n$ ) температурой кристаллизации называется степенью переохлаждения ( $\Delta T$ ). Степень переохлаждения зависит от природы металла. Она увеличивается с повышением чистоты металла и с ростом скорости охлаждения. Обычная степень переохлаждения металлов при кристаллизации в производственных условиях колеблется от 10 до 30 °С; при больших скоростях охлаждения она может достигать сотен градусов.

Ме.	. . .	Pb	Sn	Sb	Au	Cu	Fe	Ni	Co	Pt
$\Delta T$ .	. . .	80	118	135	230	236	295	319	330	370

Степень перегрева при плавлении металлов, как правило, не превышает нескольких градусов.

В жидком состоянии атомы вещества вследствие теплового движения перемещаются беспорядочно. В то же время

соблюдаются колебания энергии гравитации в отдельных зонах жизни, которых среднегравитационные образовавшегося за время жизни величины зоны флукутаций.

Появление центров кристаллизации динамический потенциал которых (рис. 2.3). С одной стороны, в жидкости в кристаллизации термодинамический потенциал определяется на  $V\Delta G_v$  ( $G_1$ ), с другой стороны, он увеличивается вследствие разности между энергией кристаллическим состоянием и равную  $S\sigma$  (0).

$$\Delta G_{\text{общ}} = -$$

где  $V$  – объем зародыша,  $\sigma$  –

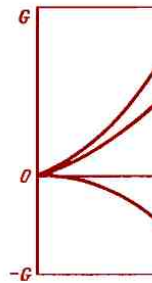


Рис. 2.3. Изменение термодинамического потенциала при образовании кристаллов в зависимости от их размеров.

Из уравнения (2.3) следует, что графическая зависимость изменения термодинамического потенциала от размера зародыша имеет максимум (рис. 2.3) при некотором значении  $A$ , названном критическим. Зародыши с размером больше критического вызывают уменьшение  $\Delta G_{\text{общ}}$  и поэтому являются устойчивыми, способными к росту. Зародыши, имеющие размер меньше критического, нестабильны и растворяются в жидкости, поскольку вызывают увеличение  $\Delta G_{\text{общ}}$ . Для определения критического значения  $A$  нужно продифференцировать  $\Delta G$  по  $A$  и приравнять производную к нулю.  $d\Delta G_{\text{общ}}/dA = 0$ , тогда

$$A_{\text{кр}} = 4\sigma/\Delta G_v. \quad (2.4)$$

С увеличением степени переохлаждения поверхностное натяжение изменяется незначительно, а  $\Delta G_v$  быстро повышается. Следовательно, с увеличением степени переохлаждения критический размер зародыша убывает, появляется больше зародышей, способных к росту. В этом легко убедиться, если подсчитать критический размер зародыша, например, железа, при разных степенях переохлаждения ( $\Delta T_1 = 10$  К и  $\Delta T_2 = 100$  К). Зная удельную скрытую теплоту плавления железа  $Q = 1,5 \cdot 10^3$  Дж/см<sup>3</sup> и температуру его плавления (кристаллизации) – 1812 К, по формуле (2.2) подсчитывают  $\Delta G_v$  при  $\Delta T_1 = 10$  К;  $\Delta G_v = 1,5 \cdot 10^3 \cdot 10/1812 = 8,278$  Дж/см<sup>3</sup>. Подставляя полученное значение  $\Delta G_v$

железа критического, получаем  $A_{\text{кр}} = 4 \cdot 0,025/(8,278 \cdot 10^{-3}) = 12,1$  см<sup>-2</sup>. Железо, имеющее критический размер, нестабилен и растворяется в жидкости. Для того чтобы оно осталось, необходимо, чтобы  $A > 12,1$  см<sup>-2</sup>. Железо, имеющее размер, меньший критического, стабилен и способен к росту. Железо, имеющее размер, больший критического, нестабилен и растворяется в жидкости. Для того чтобы оно осталось, необходимо, чтобы  $A < 12,1$  см<sup>-2</sup>.

С.З.  
С.Р.

Рис. 2.4. Изменение зародышей с. з. и с. р. в зависимости от степени переохлаждения

вании формируется крупнокристаллическая структура. Небольшие степени переохлаждения достигаются при заливке жидкого металла в форму с низкой теплопроводностью (земляная, шамотовая) или в подогретую металлическую форму. Увеличение переохлаждения происходит при заливке жидкого металла в холодные металлические формы, а также при уменьшении толщины стенок отливки. Поскольку при этом скорость образования зародышей увеличивается более интенсивно, чем скорость их роста, получаются более мелкие кристаллы.

## 2.2. Несамопроизвольная кристаллизация

В реальных условиях процессы кристаллизации и характер образующейся структуры в значительной мере зависят от имеющихся готовых центров кристаллизации. Такими центрами, как правило, являются тугоплавкие частицы неметаллических включений, оксидов, интерметаллических соединений, образуемых примесями. К началу кристаллизации центры находятся в жидком металле в виде твердых включений. При кристаллизации атомы металла откладываются на активированной поверхности примеси, как на готовом зародыше. Такая кристаллизация называется несамопроизвольной или гетерогенной. При несамопроизвольной кристаллизации роль зародышей могут играть и стени формы.

гональной кристалл, которая хорошо соприкованной решеткой скости (001) (рис. 2) значительному изм.

В жидком металле вать и растворенные также вызывают туры. Адсорбируясь рождающихся крипшают поверхностную нице раздела жидкости и линейную скорос. Из формулы (2.4) собствует уменьшение новых зародышей, Примеси, понижая напряжение, называются тивными.

Измельчение структуры улучшению механических

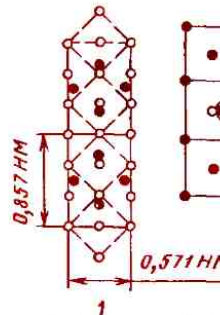


Рис. 2.5. Схемы (1, 2) кристаллических решеток Al  
●—● кристаллическая  
○—○ кристаллическая

сплавах, алюминий, титан в стали). Модификаторы добавляют в сплавы в количествах от тысячных до десятых долей процента.

При повышении температуры жидкого металла примеси, играющие роль дополнительных центров кристаллизации, растворяются или дезактивируются, поэтому повышение температуры жидкого металла перед разливкой приводит к укрупнению зерна при кристаллизации. И, наоборот, подстуживание металла перед разливкой до температур, незначительно превышающих температуру плавления металла, способствует уменьшению размера зерна. Подстуживание эффективно при наличии примесей (или модификаторов), образующих фазы со структурным и размерным соответствием с основным металлом; в этом случае даже после значительных перегревов можно получить мелкое зерно, особенно если удлинить выдержку перед разливкой.

### 2.3. Форма кристаллов и строение слитков

Форма и размер зерен, образующихся при кристаллизации, зависят от условий их роста, главным образом, от скорости и направления отвода теплоты и температуры жидкого металла, а также от содержания примесей.

Рост зерна происходит по дендритной (древовидной) схеме (рис. 2.6). Установлено, что максимальная скорость роста

Рис. 2.6. Схема строения  
1, 2 и 3 – оси соответственно  
третьего порядков

кристаллов наблюдается в скосистым и направлениям, имеющим наибольшую концентрацию атомов. В результате получают длинные ветви, концы которых, осиами первого порядка, направлены на оси второго порядка, и начинают расти вновь. Такие ветви, от которых отвечают оси третьего порядка и т. д. Каждая ветвь, в свою очередь, идет кристаллизации между осьми дендрита.

Дендриты растут в виде ветвей, соприкоснувшись друг с другом. В результате этого окончательно формируются ячеистые пространства, заполненные жидкостью, находящейся в полновесном состоянии. Кристаллы называются дендритами. При охлаждении металла для заполнения ячеистых пространств (например, вода, находящаяся на поверхности слитка или в раковине) кристалл сохраняет свою форму. Такой дендрит был обнаружен Д. К. Черновым в усадочной раковине с массой 100 т. На границах дендритов в участках между ветвями накапливаются продукты

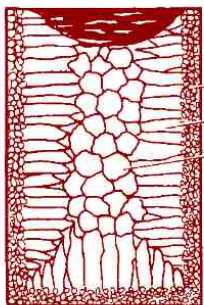
ся равноосные кристаллы.

Структура слитка зависит от многих факторов, основные из которых следующие: количество и свойства примесей в чистом металле или легирующих элементов в сплаве, температура разливки, скорость охлаждения при кристаллизации, а также конфигурация, температура, теплопроводность, состояние внутренней поверхности литьевой формы. На рис. 2.7 приведены схемы макроструктур слитков, полученных в простой вертикальной металлической форме.

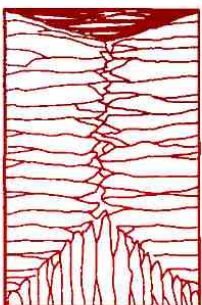
Типичная структура слитка сплавов состоит из трех зон (рис. 2.7, а). Жидкий металл прежде всего переохлаждается в местах соприкосновения с холодными стенками формы. Большая степень переохлаждения способствует образованию на поверхности слитка зоны 1 мелких равноосных кристаллов. Отсутствие направленного роста кристаллов этой зоны объясняется их случайной ориентацией, которая является причиной

женных нормальных. Наконец, в середине зоны 3 имеется наименьшее охлаждение и не ощущается отвода теплоты, что способствует образованию равноосных кристаллов (зона 3).

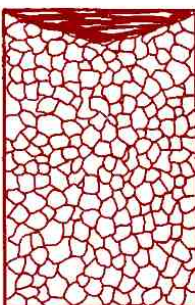
Применяя различные приемы, можно изменять соотношение зон и общую структуру слитка. Например, перед разливкой и при кристаллизации и выравниванию структуры кристаллически из одних стекол (рис. 2.7, б). Такая структура называется транскристаллической и имеет характерную структуру, состоящую из зон с различной степенью переохлаждения, но в местах соприкосновения кристаллов собираются примеси, и слитки



а)



б)



в)

Рисунок 2.7

В верхней части слитка, которая затвердевает в последнюю очередь, концентрируется усадочная раковина. Под усадочной раковиной металл получается рыхлым, в нем содержится много усадочных пор. Часть слитка с усадочной раковиной и рыхлым металлом отрезают.

Слитки сплавов имеют неоднородный состав. Например, в слитках стали по направлению от поверхности к центру и снизу вверх увеличивается концентрация углерода и вредных примесей — серы и фосфора. Химическая неоднородность по отдельным зонам слитка называется зональной ликвацией. Она отрицательно влияет на механические свойства. В реальных слитках помимо зональной встречаются и другие виды ликвации. Так, гравитационная ликвация образуется в результате разницы в удельных весах твердой и жидкой фаз, а также при кристаллизации несмешивающихся жидких фаз. К таким сплавам относятся антифрикционные сплавы олова с сурьмой (п. 10.4) и меди со свинцом (п. 11.2).

В зависимости от того, легче или тяжелее твердая фаза по сравнению с жидкостью, она при кристаллизации соответственно всплывает на поверхность или опускается на дно отливки. Такое расслоение отливки (слитка) по удельному весу недопустимо для антифрикционных сплавов, поскольку коэффициент трения в работающей паре в большой степени зависит как от осо-

бности монокристаллов, так и от их различиями минимальными совершенствами. Популяция позволяет изучать склонность к влиянию граней в монокристаллических и кремния высокой чистоты использовать их свойства и свести к минимуму изменения элек-

Монокристаллы можно создать условия для роста из одного центра кристалла. Существует несколько методов, основан этот принцип. Наиболее известны являются методы Бриджмена (рис. 2.8).

Метод Бриджмена в следующем: металлическая форма с коническим дном засыпается зернистым материалом, нагревается до 50–100°C выше температуры

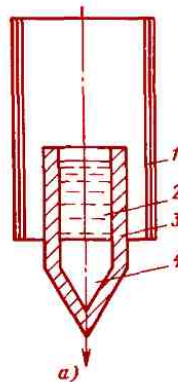


Рис. 2.8. Схемы установок для получения монокристаллов

Для этого используется готовая затравка 2 – небольшой образец, вырезанный из монокристалла по возможности без структурных дефектов. Затравка вводится в поверхностный слой жидкого металла 4, имеющего температуру чуть выше температуры плавления. Плоскость затравки, соприкасающаяся с поверхностью расплава, должна иметь кристаллографическую ориентацию, которую желательно получить в растущем монокристалле 3 для обеспечения наибольших значений тех или иных свойств. Затравку выдерживают в жидком металле для оплавления и установления равновесия в системе жидкость – кристалл. Затем затравку медленно, со скоростью, не превышающей скорости кристаллизации ( $\sim 1\text{--}2$  мм/мин), удаляют из расплава. Тянувшийся за затравкой жидкий металл в области более низких температур над поверхностью ванны кристаллизуется, наследуя структуру затравки. Для получения симметричной формы растущего монокристалла и равномерного распределения примесей в нем ванна 5 с расплавом вращается со скоростью до 100 об/мин, а навстречу ей с меньшей скоростью вращается монокристалл.

Диаметр растущего монокристалла зависит от скорости выращивания и температуры расплава. Увеличение скорости выращивания ведет к выделению большей теплоты кристаллизации, перегреву расплава и уменьшению диаметра монокристалла, и, наоборот, уменьшение скорости выращивания приводит к уменьшению количества теплоты кристаллизации, понижению температуры расплава и увеличению диаметра монокристалла.

Очень перспективно выращивание монокристаллов в космосе, где удачно сочетаются глубокий вакуум и невесомость. Космиче-

шные в космосе, сре, распределению (примесей) и лучше но больше по размер

## 2.5. Аморфное состоя

При сверхвысоки  
ния из жидкого со  
диффузионные про  
медляются, что по  
ние зародышей и  
В этом случае при  
зуется аморфная ст  
с такой структурой  
аморфные сплавы  
стекла.

Аморфное состоя  
таллическим матер  
чительно отличаю  
ответствующих ма  
лической структур  
магнитомягкие ма  
зуются прямоуголь  
зиса, высокой ма  
мостью и очень м  
силой. При этом  
материала малочув  
ническим воздейст  
чены аморфные ма  
магнитной энергией  
ческое сопротивле  
лических материалов  
чем у аналогичных  
ческой структурой.  
ческие материалы У  
сокие прочность, т  
стойкость с хоро

лучена у более чем 20 чистых металлов и полупроводниковых материалов и более 110 сплавов. Это сплавы легкоплавких (Pb, Sn, Al и др.), редкоземельных и переходных (Fe, Co, Mn, Cr и др.) металлов. Для образования аморфной структуры переходных металлов к ним необходимо добавлять так называемые аморфообразующие элементы (C, P, B, N, S и др.). При этом состав аморфного сплава должен отвечать формуле  $M_{80}X_{20}$ , где M—один или несколько переходных металлов; X—элементы, добавляемые для образования и стабилизации аморфной структуры. Так, известны аморфные сплавы, состав которых отвечает формулам  $Fe_{80}P_{13}B_7$ ;  $Fe_{70}Cr_{10}P_{15}B_5$ ;  $Ni_{80}S_{20}$ ;  $Fe_{40}Ni_{40}S_{14}B_6$  и др.

верхностях вращающихся валков, изготовленных из специальных материалов с высокой теплопроводности, с последующим охлаждением листа подачей воды на верхнюю поверхность валков. В результате получают тонкий слой аморфного сплава.

Тонкий слой аморфного сплава получают при распылении расплавленных изделий лазерным лучом, направленным на отводу тепла от распыляемой массы основного сплава.

Металлические монолитные изделия с аморфной структурой можно получать не только при затвердевании расплава в определенном состоянии, но и при охлаждения из газовой фазы (вакуумной конденсации), электролизом, термическим распылением с высокими температурами.

и их количественным соотношением. Эти сведения можно получить из анализа диаграмм состояния, изучению которых посвящена данная глава.

Зная диаграмму состояния, можно представить полную картину формирования структуры любого сплава, определить оптимальную температуру заливки сплава для получения литых деталей, оценить жидкотекучесть выбранного сплава и возможность получения химической неоднородности, сделать заключение о возможности и условиях обработки давлением. Диаграммы состояния позволяют определить режим термической обработки, необходимый для данного сплава.

### 3.1. Методы построения диаграмм состояния

Экспериментальное построение диаграмм состояния возможно благодаря тому, что любое фазовое превращение сплава отмечается изменением физико-механических свойств (электросопротивления, удельных объемов и др.) либо тепловым эффектом. Переход сплава из жидкого состояния в твердое сопровождается значительным выделением теплоты, поэтому, измеряя температуру при нагреве или охлаждении в функции времени, можно по перегибам или остановкам на кривых охлаждения определить критические температуры, при которых происходят фазовые превращения.

(электрические, магнитные свойства).

На рис. 3.1 приведены схемы изображения температурных зависимостей длины железного образца при нагреве и охлаждении. При температуре 1392 °С происходит фазовый переход от жидкого состояния к твердому. На кривой нагрева при температуре 1392 °С происходит резкое уменьшение длины, что указывает на переход в твердое состояние. На кривой охлаждения при температуре 1392 °С происходит резкое увеличение длины, что указывает на переход в жидкое состояние.

Диаграммы состояния в координатах температура – состав сплава.

Для экспериментального построения диаграмм состояния различных компонентами сплава необходимо изготовить серию образцов с различным содержанием компонента A и B. Для каждого образца определяются критические температуры, при которых происходит фазовые превращения.

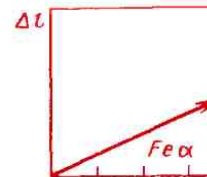


Рис. 3.1. Схема изменения длины образца в зависимости от температуры

в соответствии с химическим составом сплавов. Соединяя критические точки, получают линии диаграммы состояния.

Одна из простейших диаграмм состояния приведена на рис. 3.2, где линия ликвидус – геометрическое место всех точек, которые определяют температуру начала кристаллизации сплавов («ликвид» по латыни означает жидкий). Линия солидус соответствует точкам, определяющим температуру конца кристаллизации сплавов («солид» – твердый). Эти линии разделяют диаграммы состояния на области с различным фазовым составом.

Положение линий на диаграмме зависит от скорости охлаждения сплавов, поэтому температуры критических точек при построении диаграмм состояния определяют при медленных охлаждениях или нагревах. Такие диаграммы называют равновесными.

Таким образом, диаграмма состояния представляет собой графическое изображение фазового состава сплавов данной системы в функции температуры и химического состава сплавов. Левая крайняя точка на горизонтальной оси соответствует 100%-ному содержанию одного компонента. Процентное содержание второго компонента откладывается по этой оси слева направо. Правая крайняя точка соответствует 100% второго компонента. Экспериментально построенные диаграммы состояния проверяют по правилу фаз, дающему возможность теоретически обосновать на-

в интервале температур какое число фаз может существовать в системе.

Так как диаграммы строят при постоянном давлении, то правило следующим уравнением

$$C = K - \Phi$$

где  $K$  – число компонентов;  $\Phi$  – число фаз;  $C$  – степень свободы (или варианты, по степеней свободы, возможных перестановок симметрических переменных фаз) и внешних (температура, давление, факторов, которые не влияют на изменения числа фаз в равновесии).

Из правила фаз следует, что в однородной системе при постоянном давлении не может одновременно существовать более трех фаз. Это правило выражается уравнением  $C = 0 (\Phi = 2 + 1)$ . Три фазы могут существовать только при определенных соотношениях температуры и давления в однородной системе насчитывающей более трех фаз, это зона, в которой система находится в равновесии, но не является правильным определением равновесия для трех компонентов. Для определения равновесия правило фаз не подходит.

Экспериментальные диаграммы состояния являются не всегда правильными, но они дают нам представление о возможностях образования сплавов. Однако правила, полученные из термодинамики, не всегда соответствуют экспериментальным результатам.

Рассмотрим типы диаграмм состояния для случая особое внимание вращения в твердом состоянии.

Диаграмма состояния для компонентов которых полностью растворимы в жидкости и твердом состоянии. Взаимная растворимость компонентов возможна, если оба компонента имеют различные решетки и различную температуру плавления. Такая диаграмма имеет простой вид: линии — ликвидус и солидус, смыкающиеся между собой при температуре кристаллизации чистых компонентов. Сплавы затвердевают в определенном интервале температур, такого типа имеются системы Ag-Au, Mo-V, Mo-C.

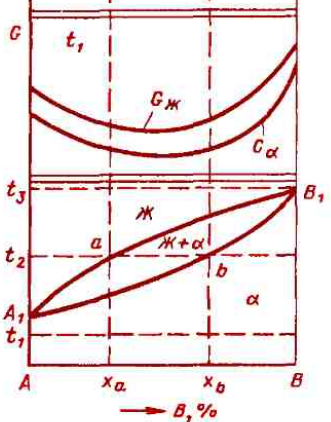


Рис. 3.3. Термодинамическое обоснование диаграммы состояния сплавов, компоненты которых полностью растворимы в жидком и твердом состояниях

помощью правил геометрической термодинамики) можно построить равновесные диаграммы состояния.

Известно, что в равновесном состоянии могут быть только те составы фаз в системе, которые имеют минимальную свободную энергию (термодинамический потенциал) при данной температуре. Проведем синтез простейшей диаграммы состояния, экспериментальное построение которой представлено на рис. 3.2. На рис. 3.3 показана связь характерных графиков изменения свободной энергии возможных фаз при трех определенных температурах  $t_1$ ,  $t_2$ ,  $t_3$  с диаграммой состояния. При темпера-

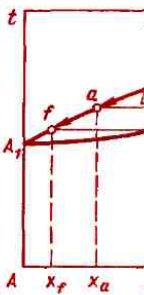


Рис. 3.4. Диаграмма состояния сплавов, компоненты которых полностью растворимы в жидком и твердом состояниях

обогащенной компонентом А, будут находиться кристаллы твердого раствора состава  $x_b$ . При медленном охлаждении, а это необходимое условие для получения равновесных состояний, компонент А из жидкости диффундирует в кристаллы состава  $x_e$ , и они изменяют состав до  $x_b$ . К концу затвердевания при температуре  $t_3$  все кристаллы будут иметь одинаковый состав  $x_c$ .

На диаграмме утолщенными линиями показано, как изменяется состав жидкого и твердого растворов в процессе кристаллизации от температуры  $t_1$  до  $t_3$ . В процессе кристаллизации изменяется не только состав фаз, но и количественное соотношение жидкой и твердой фаз.

После окончания кристаллизации должна наблюдаться однофазная структура.

Если процесс кристаллизации протекает в условиях ускоренного охлаждения, что обычно имеет место при получении литых деталей и слитков, то диффузионное выравнивание состава у кристаллов, выпавших при температурах выше  $t_3$ , не успевает происходить, в результате чего получается неодинаковый состав не только у отдельных кристаллов, а в каждом из них. Внутренние участки кристалла будут более богаты тугоплавким компонентом В, а наружные компонентом А. Это явление неоднородности химического состава носит название *микроликвации*. Первые кристаллы поверхности слитка

ми любого сплава и количественное соотношение любой температуре достигается при помощи дв

Ранее указывалось, что состав выделяющейся фазы в мере снижения температуры по линии солидуса (см. рис. 3.4). В это же время состав фазы изменяется по линии солидуса  $x_c$  до  $x_f$ . Это дает основание проверять правило определения фаз (правило концентрации), согласно которому концентрации компонентов в фазах, проходящих через данную точку (точку, соответствующую состоянию равновесия), должны быть одинаковыми. Для этого на горизонтальную линию, пересекающую линии солидуса, определяющие данную область, проводят две линии пересечения (а и б) с линией солидуса. Ось диаграммы показана на рисунке и обозначена  $x_b$ .

Правило определения фаз (правило концентрации) гласит: Через данную точку проводят горизонтальную линию (коноды) между точками  $a$  и  $b$ , определяющими вспомогательные линии, обратно пропорциональные концентрациям компонентов в этих фазах:

$$x_a/\alpha_a = x_b/\alpha_b$$

Эти правила справедливы для двухфазной области, в которой не существует смешанных областей. Используя эти правила, можно определить концентрации компонентов в различных фазах, не имеющих смешанных областей.

**Рис. 3.5.** Диаграмма состояния сплавов, компоненты которых ограниченно растворимы в твердом состоянии и образуют эвтектику

ло фаз, можно «прочитать» любую сложную диаграмму, состоящую из большого числа ветвей и областей.

**Диаграмма состояния сплавов, компоненты которых ограниченно растворимы в твердом состоянии и образуют эвтектику** (рис. 3.5). Сплавы, составы которых расположены в областях  $\alpha$  и  $\beta$ , кристаллизуются точно так же, как и сплавы предыдущей диаграммы состояния (см. рис. 3.4), т. е. в этих областях образуются однородные твердые растворы:  $\alpha$ , на базе компонента А, с атомной решеткой, характерной для этого компонента, и  $\beta$  с атомной решеткой компонента В.

Предельная растворимость компонента А в компоненте В определяется линией  $FQ$ , и эта растворимость не изменяется или изменяется так мало, что при выбранном масштабе это не отмечается.

Твердый раствор компонента В в компоненте А является твердым раствором не только ограниченной, но и переменной растворимости. Линия  $EP$  – это линия растворимости, которая определяет равновесное содержание растворенного компонента при изменении температуры. Максимальное содержание компонента В в  $\alpha$ -фазе определяется

температуре  $t_1$ . Использования состава фаз, дим горизонтальную линию с ближайшими диаграммы состояния. Точки пересечения трации укажут состав твердого раствора  $\alpha$  имеет состав  $x_\alpha$ , а твердый раствор соответствующий  $Q$ , отношение  $\beta$ - и  $\alpha$ -фаз, деляться соответственно  $mb$  (в масштабе).

По мере уменьшения температуры в твердом растворе компонента А падает в виде твердого раствора, соответствующие кристаллы  $\beta$  называют вторичными кристаллами  $\beta_{II}$ ; этим подчеркивается, что они из твердого раствора выделились. Конечная структура сплава будет состоять из твердых растворов  $\alpha$  и  $\beta_{II}$  (рис. 3.6, а). Твердые растворы, содержащие компонент А в концентрации, меньшей чем  $P$ , при охлаждении сплава в ледяном воде испытывают.

Из всех сплавов, состав которых выделяется сплавом  $E$  (такой сплав называется эвтектическим, или более легкоплавким), в зависимости от температуры вспомогательных твердых фаз определяются две линии: линия  $E$  и линия  $F$ . В результате охлаждения сплава в ледяном воде

$$\dot{\chi}_{C \leftrightarrow \alpha_E + \beta_F}$$

Эвтектическая реакция протекает изотермически и при постоянном составе реагирующих фаз, так как в двухкомпонентном сплаве одновременно существуют три фазы. Число степеней свободы системы равно нулю:

$$C = K + 1 - \Phi = 2 + 1 - 3 = 0.$$

Для эвтектики характерно определенное количественное соотношение фаз, которое определяется отрезками  $\alpha_E/\beta_F = CF/CE$ .

На рис. 3.6, в виде схемы показана пластинчатая эвтектика. Кристаллы  $\alpha$  и  $\beta$  в эвтектике имеют форму пластин и равномерно чередуются между собой, образуя колонии. При охлаждении эвтектики при температуре ниже точки  $C$  состав  $\beta$ -фазы не изменяется, а состав  $\alpha$ -фазы, входящей в эвтектику, изменяется по линии  $EP$ , в результате чего выделяются вторичные кристаллы  $\beta_{II}$  (см. рис. 3.5). При температуре 20–25 °С состав эвтектики в сплаве будет иметь фазы:  $\alpha_P + \beta_Q + \beta_{QII}$ . Однако в этом случае наблюдать под микроскопом фазу  $\beta_{QII}$  не удается. Так как эвтектика содержит фазы строго определенного состава и количественного соотношения, принято считать эвтектику ( $\alpha_E + \beta_F$ ) одной структурной составляющей (хотя следует помнить, что она состоит из двух фаз) с присущими ей характерными свойствами. Несмотря на то, что диаграмма состояния отражает только фа-

рис. 3.5, эвтектика предшествует выделению  $\alpha$  из жидкого раствора при температуре точек 4–5, выделения жидкой компонентой  $B$ . В ходе охлаждения до температуры, при которой к образованию определенного состава жидкой фазы приводит отрезком  $5C$ .

При температуре (равной температуре эвтектики) эвтектика превратится в эвтектическую, при дальнейшем охлаждении до температуры  $E$  вспомогательного сплава будет происходить изменение концентрации  $\alpha$ -фазы, соответствующей в эвтектике, выделившейся при охлаждении до температуры  $EP$ .

Конечная структура сплава показана на рисунке.

Для заэвтектического состояния сплава в интервале температур 6–7 сопровождаются выделением фазы  $\beta$ , богатой компонентой  $B$ . Это приводит к обеднению сплава этим элементом, в результате чего выделившиеся кристаллы  $\beta$  превращаются в кристаллы  $\beta'$  до точки  $F$ , а фазы  $\alpha$  – от точки  $b$  до точки  $b'$ .

При охлаждении до температуры  $7F$  фазовый состав сплава становится таким, что количество  $\beta$ -фазы уменьшается, а количество  $\alpha$ -фазы – увеличивается, что выражается отрезком  $C7$  и жидким состоянием сплава от  $7F$  до  $7C$ . При температуре

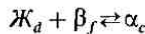
**Рис. 3.7.** Диаграмма состояния сплавов, компоненты которых ограниченно растворимы в твердом состоянии и образуют перитектику

часть сплава превратится в эвтектику ( $\alpha_E + \beta_F$ ). Конечная структура такого сплава показана на рис. 3.6, г.

Все сплавы состава от точки  $E$  до точки  $F$  содержат структурную составляющую эвтектику, количество которой тем больше, чем ближе состав сплава к эвтектическому.

**Диаграмма состояния сплавов, компоненты которой ограниченно растворимы в твердом состоянии и образуют перитектику** (рис. 3.7). В сплавах с содержанием компонента В меньше  $x_c$  либо больше  $x_f$  кристаллизация приводит к образованию однофазных сплавов  $\alpha$  и  $\beta$  соответственно.

Сплав  $II$  называют перитектическим. После предварительного выделения  $\beta$ -кристаллов из жидкой фазы сплав при температуре  $t_1$  испытывает перитектическое превращение, в результате которого жидкая фаза  $J_d$  и твердая фаза  $\beta_f$ , взаимодействуя между собой, образуют новую твердую фазу  $\alpha_c$ :



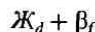
Количество фаз  $J_d$  и  $\beta_f$ , необходимое для образования фазы  $\alpha_c$ , определяется соотношением отрезков  $J_d/\beta_f = fc/cd$ .

Подсчет числа степеней свободы при температуре  $t_1$  и температуре перитек-

тического сплава

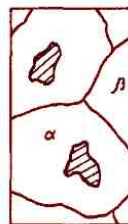
в результате взаимодействия растворов с твердыми фазами новая твердая фаза.

В сплавах до температуры  $t_1$  при температуре  $t_1$  имеет место перитектика или  $\beta$ -фазы соотношение фаз с этим в заперегреве (сплав  $III$ ) перитектика не канчивается также  $\alpha_c$ -фазы, но остается



В результате взаимодействия структуру смеси, состоящей из сплавов двух типов  $\alpha_c$  и  $\beta_f$ , получающейся смеси превращении характеризует фаза, выделившаяся из сплава, окружена новой фазой, позднее <sup>1</sup>. Кроме того, соотношение фаз определяется тем, что ближе

<sup>1</sup> Пери (греч.) — вокруг



**Рис. 3.8.** Схема микроструктуры перитектического сплава

кристаллы и фазы. Затем затвердение сплава произойдет в точке 3, причем структура сплава будет однофазная, где трудно отличить кристаллы  $\alpha_c$ , образовавшиеся при перитектической реакции, от кристаллов  $\alpha$ , образовавшихся непосредственным выделением из жидкого раствора.

**Диаграмма состояния сплавов с полиморфным превращением одного из компонентов.** Большой практический интерес представляют сплавы, у которых один из компонентов или оба имеют полиморфные превращения. В этих сплавах в результате термической обработки можно получать метастабильные состояния структуры с новыми свойствами.

Диаграмма состояния сплавов с полиморфным превращением одного из компонентов представлена на рис. 3.9. Сплав I после полного затвердевания при температуре точки 2 в твердом состоянии в интервале температур точек 3 и 4 изменяет кристаллическую структуру. Это вызвано полиморфизмом компонента A, который до температуры точки  $A_1$  имеет тип кристаллической решетки  $A_\alpha$ , а при температуре более высокой —  $A_\gamma$ . Причем кристаллическая решетка  $A_\gamma$  такая же, как у компонента B, в результате чего между ними образуется непрерывный ряд твердых растворов.

В сплавах, составы которых лежат между точками  $x_a$  и  $x_b$ , превращение  $\gamma \rightarrow \alpha$  при охлаждении не заканчивается и

лиморморфным превращением

сплав остается полиморфным. Сплавы, составы которых лежат между точками  $x_a$  и  $x_b$ , в твердом состоянии не имеют структурных фазных превращений —  $\gamma$ .

**Диаграмма состояния сплавов с полиморфными превращениями и эвтектоидным превращением.** Анализ диаграммы, приведенной на рис. 3.10, можно за-

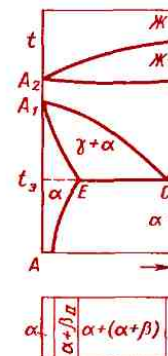


Рис. 3.10. Диаграмма состояния сплавов с полиморфными превращениями и эвтектоидным превращением.

ства сплава в значительной степени определяются фазовым составом, о котором можно судить по диаграмме состояния. Впервые на связь между видом диаграммы и свойствами указал Н. С. Курнаков.

Для систем, образующих непрерывные твердые растворы, зависимость свойств от состава фаз изображается кривыми линиями, а для двухфазных смесей — прямыми линиями (рис. 3.11). Эти закономерности указывают на то,

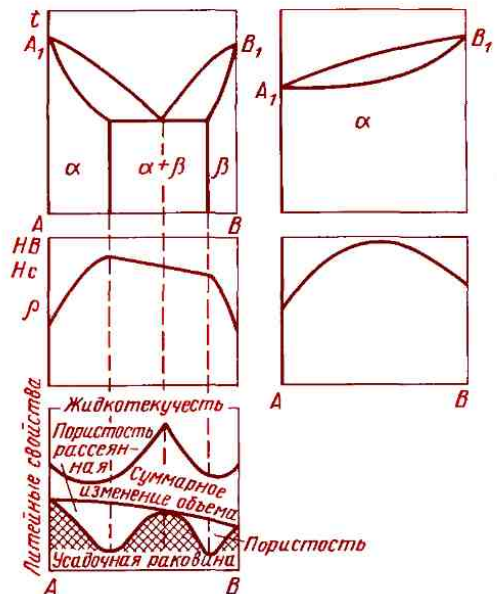


Рис. 3.11. Закономерности Н. С. Курнакова

5%) в меди повышают в 2 раза, а пластичность, уровне пластичности, твердости обладают и физическими и свойствами. При растворении 30% в железе, магнитные свойства 20–25 °C; раствор, 13% Cr, делает жестким. В связи с тем, что растворы получили широкое применение не только как конструкционные материалы, но и как машины с физическими свойствами.

Большой практический интерес представляют технологии получения твердых растворов.

Сплавы в состоянии твердого раствора хорошо обрабатываются и трудно — резанием, а твердых растворов неудовлетворительной текучестью областей сплавы (см. рис. 3.11).

Промежуточные сплавы обладают достаточным, температурной, хрупкостью (карбиды, оксиды и др.).

Закономерности, установленные Н. С. Курнаковым, при разработке соединений с новыми свойствами, позволяют относить к новым состояниям, введение которых ограничено.

ментит), и стабильная, характеризующая превращение в системе железо — графит.

На то, что система железо — графит является более стабильной, чем система железо — цементит, указывает тот факт, что при нагреве до высоких температур цементит распадается на железо и графит, т. е. переходит в более стабильное состояние.

**Компоненты и фазы в сплавах железа с углеродом.** Железо и углерод — элементы полиморфные.

Железо с температурой плавления 1539 °С имеет две модификации —  $\alpha$  и  $\gamma$ . Модификация  $Fe_{\alpha}$  существует при температурах до 911 °С и от 1392 до 1539 °С, имеет ОЦК решетку с периодом 0,286 нм (при температуре 20–25 °С). Важной особенностью  $Fe_{\alpha}$  является его ферромагнетизм ниже температуры 768 °С, называемой точкой Кюри.

Модификация  $Fe_{\gamma}$  существует в интервале температур от 911 до 1392 °С и имеет ГЦК решетку, период которой при 911 °С равен 0,364 нм. ГЦК решетка более компактна, чем ОЦК решетка. В связи с этим при переходе  $Fe_{\alpha}$  в  $Fe_{\gamma}$  объем железа уменьшается приблизительно на 1 %.  $Fe_{\gamma}$  парамагнитно.

Углерод существует в двух модификациях: графита и алмаза. При нормальных условиях стабилен графит, алмаз представляет собой его метастабильную модификацию. При высоких давлениях и температурах стабильным

ном — 0,1 %. Столь мость углерода с малым размером в ОЦК решетке. Занесение углерода вызывает дефектах (вакансиях).

Феррит — мягкая, следующими механическими:  $\sigma_b = 300$  МПа;  $KCU = 2,5$  МДж/м<sup>2</sup>.

Аустенит<sup>1</sup> (обозначение  $\gamma$ ) — твердый раствор углерода в  $Fe_{\gamma}$ . Он имеет ГЦК решетку, содержит поры в кристаллической решетке, мость углерода в  $Fe_{\gamma}$  выше и достигает 2,14 %, но прочнее феррита при температуре 20 °С.

Цементит (обозначение  $Fe_3C$ ) — железа (почти постоянный) содержит 6,69 %С и имеет бессструктурную решетку. В нормальных условиях цементит твердокристаллический. Он слабо ферромагнитен, но не имеет ферромагнетизма при температуре плавления, но определить в сплавах при нагреве. Она равна 1260 °С при нагреве в азоте.

Графит — углерод, в железоуглеродистом состоянии. Имеет

<sup>1</sup> В честь английского

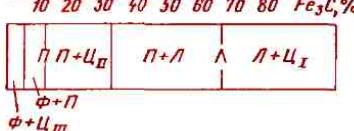


Рис. 3.12. Диаграмма состояния Fe–Fe<sub>3</sub>C

кристаллическую решетку. Графит электропроводен, химически стоек, малопрочен, мягок.

**Превращения в сплавах системы железо–цементит.** Диаграмма состояния Fe–Fe<sub>3</sub>C (рис. 3.12) характеризует фазовый состав и превращения в системе железо – цементит (6,69 % С). Особенность диаграммы – наличие на оси составов двух шкал, показывающих содержание углерода и цементита. Координаты характерных точек диаграммы приведены в табл. 3.1. Точка А определяет температуру плавления чистого железа, а точка D – температуру плавления цементита. Точки N и G соответствуют температурам полиморфных превращений железа. Точки H и P характеризуют предельную концентрацию углерода соответственно в высокотемпературном и низкотемпературном феррите. Точка E определяет наибольшую концентрацию углерода в аустените. Значения остальных точек будут ясны после проведенного анализа диаграммы.

Превращения в сплавах системы Fe–Fe<sub>3</sub>C происходят как при затвердевании жидкой фазы, так и в твердом

	10	20	30	40	50	60	70	80	Fe <sub>3</sub> C, %	
C										114
F										114
G										91
P										72
S										72
K										72

состоянии. Первичный графит идет в интервале температур, лежащем на линиях ES и PQ. Стабилизация выделенного леза одной модификацией и переменной растворимости углерода в аустените и феррите при данной температуре эта равновесная система не нарушается. Избыток углерода в растворах выделяется в виде графита. Линии ES и PQ характеризуют концентрации углерода в аустените и феррите соответственно. Углерод в аустените имеет почти неизменную концентрацию, а углерод в феррите соответствует линии ES. В аустените имеется вертикальная линия, соответствующая линии PQ. Цементит, выделяющийся из аустенита, является первичным; цементит, выделяющийся из аустенита, является вторичным. Соответствующие превращения на диаграмме состояния первичного цементита, вторичного цементита, третичного цементита. Цементит происходит в результате третичных превращений:

перитектическое превращение HJB (1499 °С)

$\Phi_H + \lambda$

Эвтектоид-перлит (содержит 0,8 %C) и эвтектику-ледебурит (4,3 %C) рассматривают как самостоятельные структурные составляющие, оказывавшие заметное влияние на свойства сплавов. Перлит чаще всего имеет пластинчатое строение и является прочной структурной составляющей:  $\sigma_b = 800 \div 900$  МПа;  $\sigma_{0,2} = 450$  МПа;  $\delta \leq 16\%$ ;  $HB$  1800–2200. При охлаждении ледебурита до температур ниже линии SK входящий в него аустенит превращается в перлит, и при температуре 20–25 °C ледебурит представляет собой смесь цементита и перлита. В этой структурной составляющей цементит образует сплошную матрицу, в которой размещены колонии перлита. Такое строение ледебурита служит причиной его большой твердости ( $> HB$  6000) и хрупкости. Присутствие ледебурита в структуре сплавов обуславливает их неспособность к обработке давлением, затрудняет обработку резанием.

Железоуглеродистые сплавы подразделяют на две группы: стали, содержащие до 2,14 %C, и чугуны.

*Кристаллизация сталей.* Кристаллизация чистого железа протекает изотермически при температуре 1539 °C, а сплавов железа с углеродом – в интервале температур. Рассмотрим вначале верхний участок диаграммы состояния (рис. 3.13), где происходит перитектическое превращение.

Рис. 3.13. Часть <sup>1</sup> Fe–Fe<sub>3</sub>C для сталей. Перитектическое превращение

Сплав I, содержащий 0,8 %C, испытывает перитектическое превращение. Он кристаллизуется при температуре точек 1 и 2. Ставы жидкой фазы, находящиеся по обычным правилам кристаллизации твердых растворов, состоят из зернистая структура, характерная для сталлов феррита. В интервале температур точек 3–4 происходит перитектическая превращение феррита в цементит, что сопровождается полиморфизмом же-

Сплав III, содержащий 4,3 %C, кристаллизации из расплава. В интервале температур точек 5–6 кристаллы феррита, имеющие температуру точки 9, имают форму зерен. При температуре 1000 °C происходит перитектическая реакция между ферритом и цементитом, и образуются кристаллы, соответствующие ставе точки J. Состав сплава I определяется перитектический превращение, происходящее при температуре 1539 °C. Состав сплава III определяется перитектическим превращением, происходящим при температуре 1000 °C. Состав сплава II определяется перитектическим превращением, происходящим при температуре 1000 °C.

Сплавы типа II содержат углерода от 0,1 до 0,8 %. В интервале температур точек 1–2 происходит перитектическое превращение, при котором избыток углерода в виде цементита выделяется из сплава. В результате перитектического превращения образуется сплав III, состоящий из цементита и феррита.

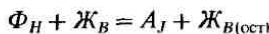
<sup>1</sup> В честь немецкого ученого А. Ледебура.

аустенита при сохранении некоторого количества феррита:



При дальнейшем охлаждении этот остаток феррита перекристаллизуется в аустенит с тем содержанием углерода, которое имеет сплав.

Сплавы типа *IV* содержат углерод от 0,16 до 0,51%. При температуре точки *11* они имеют избыток жидкой фазы, по сравнению со сплавом *III*. В результате перитектический процесс заканчивается образованием аустенита при сохранении некоторого количества жидкой фазы:



При дальнейшем охлаждении в интервале температур точек *11–12* оставшаяся жидкая фаза затвердевает, образуя аустенит. Концентрация углерода в аустените ниже температуры точки *11* изменяется по линии *JE*.

Таким образом, все рассмотренные сплавы, лежащие ниже линий *NJ* и *JE*, находятся в твердом состоянии и имеют аустенитную структуру.

*Превращения сталей в твердом состоянии.* Большинство технологических операций (термическая обработка, обработка давлением и др.) проводят в твердом состоянии, поэтому рассмотрим более подробно превращения сталей при температурах ниже температур кристаллизации (ниже линии *NJE*).

Рассмотрим превращения, протекающие в сталях при охлаждении из однозадной аустенитной области (рис. 3.14).

Сплавы железа сущие до 0,02% С называют техническими.

Если углерода 0,0002% (сплав *I*), то температуры точки 1 и точки 2 происходят в аустените в ферритная структура со температуры 20–25°С.

При содержании углерода в железе больше в сплаве *II*, после скининга начиная с температуры 20°С происходит выделение из третичного цементита, что связано уменьшением концентрации углерода в феррите (рис. 3.14). Конечная структура сплава двухфазной: феррит + цементит, причем цементит в виде прослоек между ферритными зернами (рис. 3.14). Цементит ухудшает пластичность.

При температуре 20°С цементит имеется в виде мелких кристаллов в дистых сплавах, содержащих 0,0002% С. Однако цементита в формиро-вании не участвует, так как его концентрация в сравнении с цементитом в других фазах гораздо выше. Обычно при рассмотрении сплавов с содержанием углерода 0,02% о третичном цементите не говорят.

Сплав *II* (см. рис. 3.14) имеет

сталью. В ней при температуре линии  $PSK$  происходит эвтектоидное превращение, в результате которого из аустенита выделяются феррит с содержанием 0,02 % С и цементит. Такую смесь двух фаз называют перлитом (рис. 3.16, б). Эвтектоидное превращение идет при постоянных температуре и составе фаз, так как в процессе одновременно участвуют три фазы, и число степеней свободы равно нулю.

Сплав I (см. рис. 3.14, б) с содержанием углерода менее 0,8 % называют доэвтектоидной сталью. Эвтектоидному превращению в таких сталях предшествует частичное превращение аустенита в феррит в интервале температур точек

состав сплава  $A_c +$   
соотношение аустенита  
вместе с температурой  
отрезков  $ab$  и  $bc$ .

При температуре  
фазовый состав  
стремится к равнобо-  
льственным соотноше-  
ниям  $P2$  и  $2S$ .  
Эвтектоидного превращения  
идет в перлит, кото-  
рый замещает выделившимся ранее  
конечную структуру.

Количественное  
составом (аустенит  
и перлит) в дозе  
определяется содер-  
жанием углерода.  
Чем ближе содержание

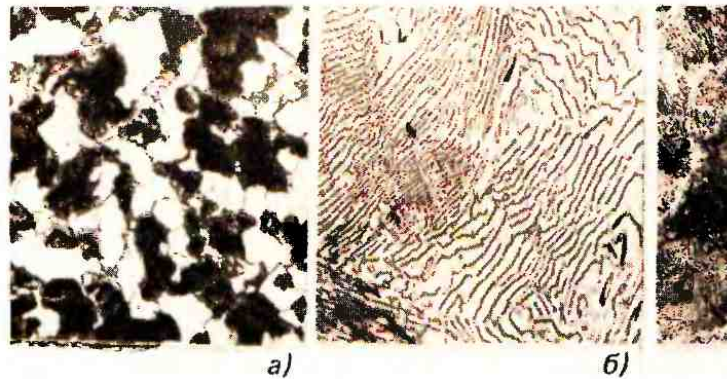


Рис. 3.16. Микроструктура сталей:

*a* – доэвтектоидная; *б* – эвтектоидная; *в* – заэвтектоидная,  $\times 300$

тектоидной концентрации, тем больше в структуре перлита. Следовательно, зная содержание углерода в дозвтектоидной стали, можно заранее предвидеть ее структуру в стабильном состоянии.

Сплав III—заэвтектоидная сталь ( $> 0,8\% C$ ). Эвтектоидному превращению в этих сталях в интервале температур точек 3–4 предшествует выделение из аустенита вторичного цементита ( $C_{II}$ ). Этот процесс вызван уменьшением растворимости углерода в аустените согласно линии  $ES$  диаграммы. В результате при охлаждении до температуры точки 4 аустенит в стали обедняется углеродом до 0,8% и на линии  $PSK$  испытывает эвтектоидное превращение. При медленном охлаждении вторичный цементит выделяется на границах аустенитных зерен, образуя сплошные оболочки, которые на микрофотографиях выглядят светлой сеткой (рис. 3.16, в). Максимальное количество структурно свободного цементита ( $\sim 20\%$ ) будет в сплаве с содержанием углерода 2,14%.

**Превращения чугунов.** В сплавах с содержанием углерода более 2,14% при кристаллизации происходит эвтектическое превращение.

Такие сплавы называют белыми чугунами.

Сплав II (рис. 3.17)—эвтектический белый чугун ( $4,3\% C$ ) кристаллизуется при эвтектической температуре изотермически с одновременным выделением двух фаз: аустенита состава точки  $E$

лит.

В дозвтектических ( $< 4,3\% C$ ) кристаллизации сопровождается с выделением кристаллов чистого углерода. В сплавах с содержанием углерода  $1–2\%$  при температуре  $1000^\circ C$  происходит эвтектика (ледебурит).



При последующем охлаждении аустенита, структура которого в ледебурите содержит 72,7% углерода, аустенит превращается в ледебурит.

Структура дозвтектического чугуна показана на рис. 3.18, а. Темные поля на фотографии соответствуют ледебуриту, образовавшемуся в результате охлаждения свободного аустенита.

Сплав III—заэвтектоидный белый чугун ( $> 4,3\% C$ ). В заэвтектоидных кристаллизациях при охлаждении из жидкого состояния первичного цементита происходит эвтектика в интервале температур 5–6%; при этом состав цементита меняется согласно линии  $PSK$ . Кристаллизация заэвтектоидного чугуна приводит к выделению ледебурита. При дальнейшем охлаждении происходит преобразование ледебурита в перлита. При данном состоянии, такие же как на рис. 3.18, б.

Конечная структура белого чугуна при температуре  $20^\circ C$  показана на рис. 3.18, б.

Рис. 3.18. Микроструктура белых чугунов:  
а — дозвтектический; б — заэвтектический,  $\times 300$

темные участки перлита; резко выделяются крупные пластинки первичного цементита.

**Превращения в сплавах системы железо — графит.** Диаграмма состояния железо — графит нанесена на диаграмме состояния железо — цементит штриховыми линиями (рис. 3.19). Такой способ изображения системы железо — графит дает возможность сравнивать обе диаграммы.

В системе железо — графит эвтектика образуется при температуре  $1153^{\circ}\text{C}$ . Она содержит 4,26 % С и состоит из аустенита и графита. Ее называют графитной эвтектикой.

Эвтектоидное превращение у сплавов системы железо — графит протекает при температуре  $738^{\circ}\text{C}$ , причем эвтектоид-

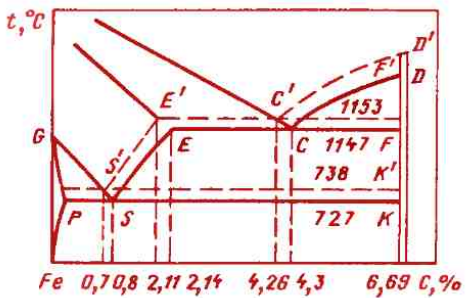


Рис. 3.19. Диаграмма состояния Fe — С

ная точка соответствует 0,7 % С. Структура состоит из феррита и графита, переходящего в графитовый. В интервале температур  $1153\text{--}738^{\circ}\text{C}$  и выше феррит изменяет свой состав на  $E'S'$ . Линия  $C'D'$  указывает на изменение состава жидкой фазы при кристаллизации первичного феррита.

Чтение диаграммы Fe — графит принципиально отличается от чтения диаграммы Fe — цементит. Но для сплавов выпадает нефаза графит. Первичный графит в эвтектике кристаллизуется из аустенита и последующего переноса. При этом кристаллы имеют сложную форму, состоящую из отдельных кристаллов, выходящих из остаточного аустенита. Равнографит и гранулографит, как правило, выделяются из аустенита и эвтектического феррита. Железоуглеродистые сплавы кристаллизуются в соответствии с диаграммой железо — графит в весьма медленном охлаждении (графитизирующие сплавы и др.).

### 3.4. Влияние легирующих элементов на равновесную структуру

В современном машиностроении широкое применение находят стали, в которых помимо

превращений железа, температуру эвтектоидной и эвтектической реакций и влияют на растворимость углерода в аустените. Некоторые легирующие элементы способны так же, как и железо, взаимодействовать с углеродом, образуя карбиды, а также взаимодействовать друг с другом или с железом, образуя промежуточные фазы – интерметаллиды.

Принято температуры равновесных превращений, совершающихся в железе и сталях в твердом состоянии, обозначать буквой  $A$  с соответствующим индексом. Температуры фазового равновесия указаны на диаграмме состояния Fe–Fe<sub>3</sub>C, поэтому обозначения связаны с линиями этой диаграммы (см. рис. 3.12).

Эвтектоидную температуру (линия PSK) обозначают  $A_1$ , температуру магнитного превращения  $A_2$  (линия MO), температуру линии GS– $A_3$ , температуру полиморфного превращения  $\text{Fe}_\gamma \rightarrow \text{Fe}_\alpha$  (линия NJ)– $A_4$ , температуру линии SE– $A_{cm}$ .

Вследствие гистерезиса температуры превращений при нагреве всегда выше соответствующих температур при охлаждении, поэтому введена дополнительная индексация: при нагреве – индекс  $c$ , при охлаждении – индекс  $r$ . Магнитное превращение не имеет гистерезиса.

По влиянию на температуры  $A_3$  и  $A_4$  легирующие элементы можно разбить на две группы. Равновесные температуры  $A_3$  и  $A_4$  для чистого железа равны

с ГЦК решеткой. При  $A_3$  при определении добавки понижается 3.20 показан участок легирующий элемента областью. В сплавах добавки, равной или центрацию, соответствует ГЦК решетка устойчивая 20–25 °C; такие аустениитными структурами называются твердый раствор и любые твердые Fe<sub>x</sub>.

Во вторую группу, которые повышают



Рис. 3.20. Диаграмма, показывающая влияние легирующего элемента на температуру  $A_3$  (схема)

**а)****б)**

**Рис. 3.21.** Диаграмма состояния железо—легирующий элемент с замкнутой  $\gamma$ -областью:  
**а** — открытая  $\alpha$ -область; **б** — закрытая  $\alpha$ -область  
(схема)

и понижают температуру  $A_4$ . В этом случае температурный интервал устойчивости аустенита уменьшается и, соответственно, расширяется температурный интервал устойчивости  $Fe_\alpha$ . Таких легирующих элементов большинство: Cr, Mo, W, V, Si, Ti и др.

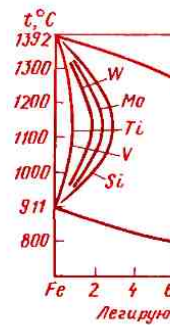
Все перечисленные элементы образуют с железом диаграмму с «замкнутой»  $\gamma$ -областью (рис. 3.21). Концентрация, соответствующая точке *c*, для большинства элементов невелика (до 1–1,5%), и лишь для хрома аустенитная область простирается до 12% (рис. 3.22).

Из перечисленных элементов, дающих замкнутую  $\gamma$ -область, только хром и ванадий не образуют с железом промежуточных фаз, и поэтому  $\alpha$ -область «открывается»: наблюдается неограниченная растворимость этих элементов в железе с ОЦК решеткой (см. рис. 3.21, *a*). Остальные легирующие элементы, замыкающие область, образуют с железом промежуточные фазы, поэтому при определенных концентрациях добавки на диаграммах появляется линия, ограничивающая растворимость,

**Карбиды** в ле...  
К карбидообразую...  
реходные металлы  
*d*-электронной обол...  
электронов на об...  
средство к углероду

В сталях ка...  
являются следующи...  
Cr, Mo, W, V, Nb, T...  
лены в порядке воз...  
дообразующей спосо...

При введении в  
зующего элемента в  
стве (десятые доли  
сильных карбидоо...  
образования карбид...  
ше всего не происх...  
атомы легирующего  
замещают атомы  
ственной решетке и  
ся легированный це...  
чающийся по свойствам  
цементита.



**Рис. 3.22.** Влияние легирующих элементов на протяженность замкнутой  $\gamma$ -области

один металлический атом приходится один атом углерода. При известных условиях W и Mo образуют карбиды, более богатые металлом —  $M_2C$ .

Фазы внедрения, отличающиеся очень высокой тугоплавкостью, практически нерастворимы в аустените.

Для распада и растворения таких карбидов, как  $TiC$ ,  $NbC$ ,  $WC$ , сталь необходимо нагреть до температуры  $\sim 1300^{\circ}\text{C}$ . Вследствие нерастворимости фаз внедрения происходит обеднение аустенита углеродом при легировании стали сильными карбиообразователями.

Промежуточное положение по карбиообразующей способности занимает хром, который наиболее широко, по сравнению с другими элементами, используется как легирующая добавка в сталях.

Хром в низко- и среднелегированных сталях (до 10%) образует карбид  $Cr_7C_3$ ; в высоколегированных сталях образуется более богатый хромом карбид  $Cr_{23}C_6$ . Карбиды хрома могут растворять железо и легирующие элементы стали в значительном количестве, поэтому часто в общем виде формулы этих карбидов записываются как  $M_7C_3$  и  $M_{23}C_6$ .

Хром оказывает влияние на карбиообразование при совместном его введении с молибденом и вольфрамом. При определенном соотношении хрома и молибдена (вольфрама) не образуются фазы внедрения ( $MoC$ ,  $WC$ ), а вместо

хорошо растворимые карбиды типа  $M_3C$ , боримые карбиды типа  $M_6C$  и почти нерастворимые карбиды

**Влияние легирующих элементов на температуру фазовых превращений при нагреве и на диаграммы. Легирующие элементы, снижающие температуру фазовых превращений в дистильных сплавах (Ni, Ti, V, Cr, Al, Ti,  $Al_2O_3$ ,  $SiO_2$ ,  $PSK$ ,  $GS$  и  $SE$ ) сдвигают линии  $A_1$  и  $A_3$  в сторону более низких температур (рис. 3.12).**

Легирующие элементы, снижающие температуру  $A_3$  в дистильных сплавах, оказывают

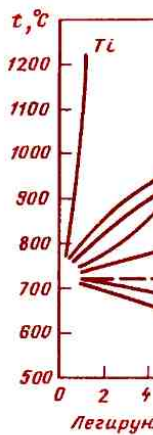


Рис. 3.23. Влияние легирующих элементов на температуру  $A_3$

Важнейшие узловые точки стали — точка *S*, указывающая содержание углерода в эвтектоиде (рис. 3.24), и точка *E*, указывающая максимальную растворимость углерода в аустените.

Большинство легирующих элементов уменьшает растворимость углерода в аустените при всех температурах, что равносильно сдвигу линии *SE* влево, в сторону меньших концентраций углерода.

Максимальная растворимость углерода в аустените (точка *E*) наиболее резко уменьшается под влиянием элементов, замыкающих  $\gamma$ -область в безуглеродистых сплавах: Cr, Si, W, V, Ti. Очевидно, что в присутствии этих легирующих элементов ледебурит в структуре сплава появится при меньших концентрациях углерода, чем в нелегированных железоуглеродистых сплавах. Например, в стали, легированной

**Рис. 3.24.** Влияние леги  
содержание углерода в

10–11% Cr, ледебурит в структуре при содержании углерода  $\sim 1\%$ . Характерно, что количество ледебурита в пониженном содержании углерода снижает способность сплава к растворению углерода, в то время как нелегированные стали ( $C > 2,14\%$ ) теряют способность к растворению углерода при давлении даже в отсутствии легирующих элементов.

В связи с этим легированные стали, содержащие ледебурит в структуре, относят к сталям с ледебуритными включениями.

растягивающей силы под действием внешних усилий. Деформации подразделяют на упругие и пластические. Упругие деформации исчезают, а пластические остаются после окончания действия приложенных сил. В основе упругих деформаций лежат обратимые смещения атомов металлов от положений равновесия; в основе пластических деформаций – необратимые перемещения атомов на значительные расстояния от исходных положений равновесия.

Способность металлов пластически деформироваться называется пластичностью. При пластическом деформировании металла одновременно с изменением формы меняется ряд свойств, в частности, при холодном деформировании повышается прочность. Пластич-

пытание на растяжение более распространено для определения прочности и износостойкости (ГОСТ 1497–73).

При растяжении образцов с площадью поперечного сечения и рабочей (расчетной) диаграмму растяжения нагружка – удлинение. На диаграмме видны участок упругой деформации, участок равномерной пластичности от  $P_{упр}$  до  $P_{max}$  и участок статической деформации. Прямолинейный участок до предела пропорциональности генс угла наклона участка характеризует

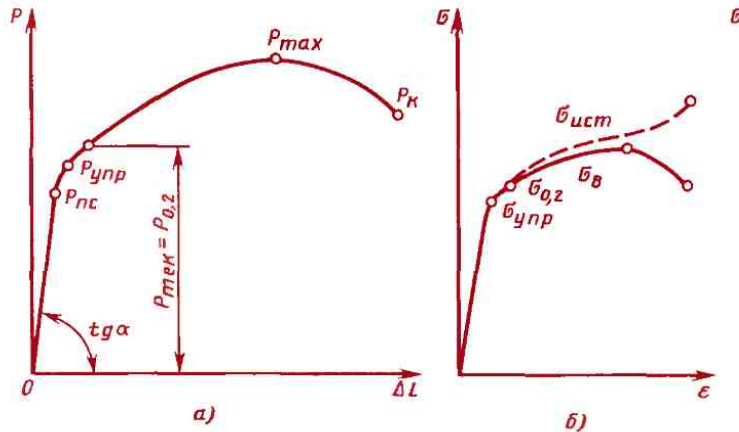


Рис. 4.1. Диаграмма растяжения пластичного металла (а) и диаграммы пластичного (б) и хрупкого (в) металлов. Диаграмма истинных напряжений дана для сравнения

Каждая нагрузка уменьшается от  $P_{\max}$  до  $P_k$  (рис. 4.1, а). Это объясняется появлением местного утонения в образце — шейки, в которой в основном сосредотачивается пластическая деформация. Несмотря на уменьшение нагрузки, растягивающие напряжения в шейке повышаются до тех пор, пока образец не разорвется. Об этом свидетельствует диаграмма истинное напряжение — деформация (рис. 4.1, б). При растяжении образец удлиняется, а его поперечное сечение непрерывно уменьшается. Истинное напряжение определяется делением действующей в определенный момент нагрузки на площадь, которую образец имеет в этот момент. Истинные напряжения в повседневной практике не определяют, а пользуются условными напряжениями, считая, что поперечное сечение  $F_0$  образца остается неизменным. Напряжения  $\sigma_{\text{упр}}$ ,  $\sigma_t$  и  $\sigma_b$  — стандартные характеристики прочности. Каждая получается делением соответствующей нагрузки  $P_{\text{упр}}$ ,  $P_t$  и  $P_{\max}$  на начальную площадь поперечного сечения  $F_0$ .

Пределом упругости  $\sigma_{\text{упр}}$  называют напряжение, при котором пластическая деформация достигает заданной малой величины, установленной условиями. Часто используют значения остаточной деформации 0,001; 0,005; 0,02 и 0,05 %. Соответствующие пределы упругости обозначают  $\sigma_{0,005}$ ,  $\sigma_{0,02}$  и т. д. Предел упругости — важная характеристика пружинных материалов, которые

используются для передачи информации к пластическим деформациям.  $\sigma_{0,2}$  несложно определяется из диаграммы истинного напряжения — деформации, независимо от того, есть ли в образце шейка или нет. Площадка текучести определяется как площадь, на которую удлиняется образец при растяжении.

Временное сопротивление растяжению определяется максимальной величиной напряжения, при которой образец не разрывается. Ее называют пределом прочности  $\sigma_b = F_b / F_0$ .

Пластичность характеризуется коэффициентом удлинения при разрыве, определяемым как отношение конечной длины образца к начальной.

$$\delta = [(l_k - l_0) / l_0] \times 100\%$$

$$= [(F_0 - F_r) / F_0] \times 100\%$$

где  $l_0$  и  $F_0$  — начальная длина и площадь поперечного сечения образца;  $l_k$  и  $F_r$  — конечная длина и площадь поперечного сечения в момент разрыва.

Допустимое напряжение определяется как предел прочности, при котором образец не разрушается. Для сталей и сплавов это предел прочности  $\sigma_{0,2}$  (обычно в 1,5—2 раза).

Сопротивление удару определяется коэффициентом ударной вязкости при динамическом испытании. Ударная вязкость определяется как работа разрушения образца с концентрированным ударом в виде копра:  $KC = K/S_0$ , где  $K$  — работа разрушения;  $S_0$  — площадь разрушения в месте контакта образца с копром.

*U*, *V*, *T* – вид концентратора: *U*-образный с радиусом надреза  $r_h = 1$  мм, *V*-образный с  $r_h = 0,25$  мм; *T* – трещина усталости, созданная в основании надреза; *K<sub>CU</sub>* – основной критерий ударной вязкости; *KCV* и *KCT* используют в специальных случаях (см. п. 7.2).

**Механизм пластической деформации** рассмотрим на примере деформации монокристалла. Пластическая деформация в монокристалле осуществляется путем сдвига одной его части относительно другой. Сдвиг вызывают касательные напряжения, когда их значение превышает критическое  $\tau_k$ .

Имеется две разновидности сдвига: скольжение и двойникование (рис. 4.2). При скольжении одна часть кристалла смещается параллельно другой части вдоль плоскости, называемой плоскостью скольжения или сдвига (рис. 4.2, а). Скольжение – основной вид сдвига в металлах и сплавах. Деформация двойникование представляет собой перестройку части кристалла в новое положение, зеркально симметричное к его недеформированной части (рис. 4.2, б). Плоскость зеркальной симметрии называют плоскостью двойникования. При двойниковании атомные плоскости кристалла сдвигаются параллельно плоскости двойникования на разные расстояния. Часть кристалла, в которой в результате двойникования произошла переориентация кристаллической решетки, называют двойником деформации. По сравнению со скольже-

В металлах с ОЦК двойникование наблюдается при низких температурах и малых деформациях, вызванных деформацией решеткой деформацией двойникования.

Механизм двойникования в дальнейшем не рассматривается.

Деформация скользит по плоскостям, которых плотность определена на (рис. 4.3). Плоскости скольжения с направлением лежащим этой плоскостью скольжения. Скорость скольжения неодинакова для различных типов решеток. Для решетки (Cu, Al, Ni) скольжение идет по плоскостям скольжения  $\{110\}$ . Четыре плоскости скольжения и три направления скольжения из них обладают одинаковыми скользящими системами скольжения.

В металлах с ОЦК скольжение развивается в плоскостях  $\{112\}$  и  $\{123\}$  в зависимости от числа скользящих систем.

У металлов с решеткой  $c/a \geq 1,63$  (Mg, Zn) скольжение развивается по плоскостям скольжения, на которых находятся три эквивалентные плоскости скольжения. Эти металлы называются металлами с ОЦК. Число скользящих систем скольжения может различаться, если условия деформации отличаются, если уменьшены напряжения.

хованы плоскости наиболее легкого скольжения:

- 1 – плоскость (112); 2 – плоскость (123); 3 – плоскость базиса; 4 – пирамидалы  
5 – призматическая плоскость скольжения

плоскостях с менее плотной упаковкой атомов. Увеличение количества систем скольжения сопровождается повышением способности металла к пластической деформации. В частности, при  $c/a < 1,63$  у циркония и титана скольжение идет по плоскостям базиса, пирамидалным и призматическим плоскостям, так как близки значения критических напряжений сдвига в этих плоскостях. Поэтому эти металлы более пластичны, чем магний или цинк, у которых скольжение идет только по плоскостям базиса.

Элементарный акт сдвига – это смещение одной части кристалла относительно другой на одно межатомное расстояние (рис. 4.4). В идеальном кристалле, в котором нет дефектов структуры, в скольжении должны одновременно участвовать все атомы, находящиеся в плоскости сдвига. Для такого синхронного «жесткого» сдвига требуется, как

показывают расчеты, напряженность (G – модуль упругости) кристалла для сдвига на расстояние требуя около  $10^{-4}G$ , что теоретического значение реальных кристаллов не соответствует структурным несовершенствам.

Пластическая деформация в кристаллах осуществляется путем последовательного передвижения дислокаций (см. рис. 4.4). Дислокация движется в той плоскости, в которой происходит дислокация Бюргерса. Под действием напряжения искривление скользящей плоскости в верхней части кристалла наносится в одну и ту же точку с расположенной на

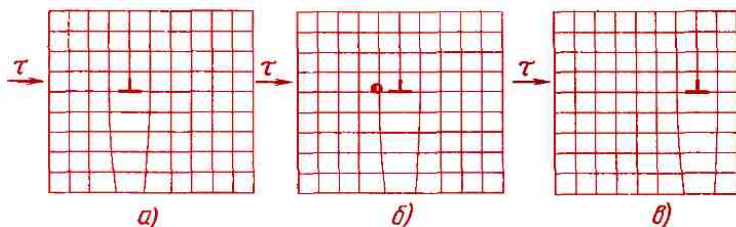


Рис. 4.4. Схема перемещения краевой дислокации при скольжении

цесс повторяется до тех пор (рис. 4.4, в), пока дислокация не выйдет на поверхность кристалла и его верхняя часть сдвинется относительно нижней на одно межатомное расстояние (рис. 4.4, г). При этом на поверхности кристалла образуется ступенька величиной в вектор Бюргерса.

В плоскости скольжения обычно расположены десятки дислокаций. Их последовательное перемещение вдоль плоскости скольжения развивает процесс пластического течения. Высота ступеньки при этом увеличивается пропорционально числу дислокаций, выходящих на поверхность кристалла. Ступенька, видимая под микроскопом, называется линией скольжения. Деформация развивается неоднородно, линии скольжения располагаются на различном расстоянии друг от друга. Группы близко расположенных линий скольжения образуют *полосы скольжения*. Пластическая деформация монокристаллов развивается, в первую очередь, по той системе скольжения, где касательные напряжения раньше достигают критической величины. Начальную стадию деформации называют стадией легкого скольжения; деформация монокристалла на этой стадии может достигать десятков процентов. С ростом деформации скольжение распространяется на другие системы, и возникает множественное скольжение. На этой стадии дислокации перемещаются в пересекающихся плоскостях, возрастает сопротивление их

за появления трещин (такла). Существует множество образований, важным из них является Рида (рис. 4.5). Касательного напряженного поля дислокация выгибается в форму полуокружности, изогнутая дислокация самопроизвольно спиралей. При встрече они образуют расширяющуюся петлю и отрезок, который занимает исходное положение дислокаций в цикла. Один из таких способен образовать цикл дислокаций.

В основе упрочнения при формировании лежит повышение плотности дислокаций.

Движению дислокаций могут препятствовать

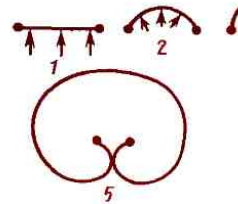


Рис. 4.5. Последовательность (1–7) новой дислокации Рида – Франка.

Через некоторые препятствия дислокации проходят, но при более высоких напряжениях. Такими препятствиями являются, например, пересекающиеся с плоскостью скольжения дислокации. Границы зерен являются непреодолимыми препятствиями, перед ними дислокации скапливаются. Каждое скопление дислокаций создает поле напряжений, отталкивающее приближающуюся дислокацию. Чем больше дислокаций в скоплении, тем сильнее отталкивание и тем труднее деформируется металл. Когда плотность дислокаций в скоплении достигает определенного значения, в этом месте зарождается трещина.

При нагреве выше  $0,3 T_{пл}$  начинает действовать другой механизм перемещения дислокаций — переползание. Оно представляет собой диффузионное смещение дислокации в соседние плоскости решетки в результате присоединения вакансий (рис. 4.6). Вакансии присоединяются последовательно к краю избы-

ряд вверх. Вакансию в разных местах появляются ступени динамики вакансий длительном участке времени на десятки плоскостей. В результате переползания мозаичный эффект чешуйчатости. Переместившиеся сдвигаются путем сдвигом напряжения выше  $0,3 T_{пл}$ . Вакансии весом необходимое число пластической деформации.

Пластическая деформация сталлических металлов промышленных сплавов включает в себя сталлическую структуру, формирование поликристаллической стадии легкого скольжения зерен начинается с системам скольжения с изгибами и поворотами скольжения. Пока

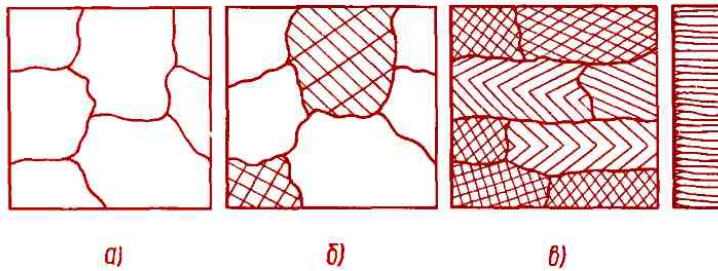


Рис. 4.7. Изменение микроструктуры поликристаллического металла  
а —  $\varepsilon = 0\%$ ; б —  $\varepsilon = 1\%$ ; в —  $\varepsilon = 40\%$ ; г —  $\varepsilon = 80\text{--}90\%$

При значительной деформации в металле появляется кристаллографическая ориентация зерен, которая называется *текстурой деформации*. Текстура деформации – это результат одновременного деформирования зерен по нескольким системам скольжения. Она зависит от вида деформирования, кристаллической структуры металла, наличия примесей и условий деформирования.

При волочении или экструзии возникают так называемые аксиальные текстуры, когда определенное кристаллографическое направление оказывается параллельным оси проволоки или прутка для большинства зерен (рис. 4.8).

При прокатке получается более сложная текстура. В этом случае параллельно плоскости прокатки лежит кристаллографическая плоскость и направление, которое образует с направлением прокатки определенный угол  $\alpha$  (см. рис. 4.8).

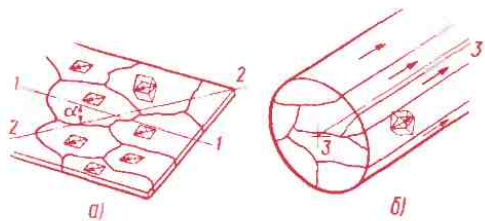


Рис. 4.8. Текстуры прокатки (а) и волочения (б):

1 – 1 – направление прокатки; 2 – 2 – ось текстуры; 3 – 3 – направление волочения

Текстура деформации – анизотропным.

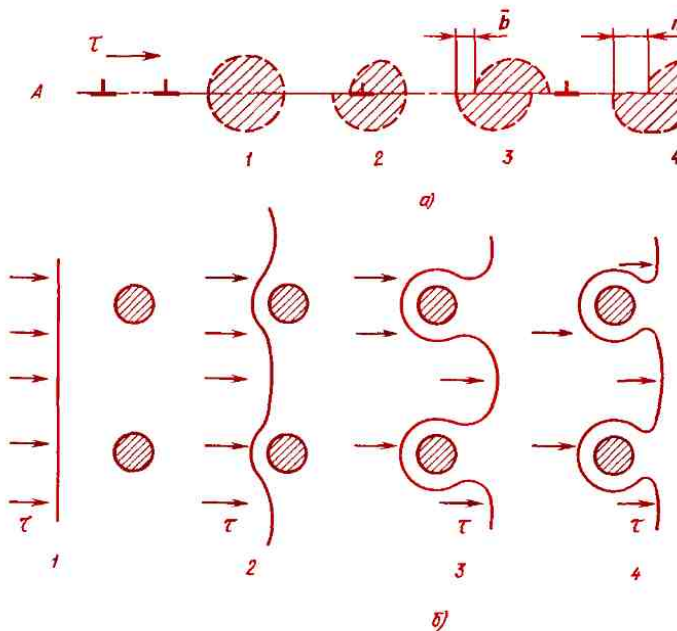
Как было установлено микроскопическими исследованиями наклепанных металлов, стальная тонкая структура диаметром 0,25–3 мкм имеет свободные от границы ячеек – это тонкие стенки дислокаций. В ячейках разорванных сплавов, естественно, различия, которые зависят от состава сплавов, есть.

Деформирование оказывается более сложной фазой имеет свои особенности и свои критические параметры. Сохранение нераздробленности верхности раздела в процессе деформации усложняет проблему. У двухфазных сплавов прочности выше, чем у однофазных, по сравнению с равных условиях волочения образуются более сложные текстуры. Процесс волочения двухфазных сплавов отличается от свойств второй фазы, но и от свойств от деления этой фазы на части. Хрупкая вторая фаза не может выдержать непрерывной сжатия.

оксидов в металле) или иными способами (см. гл. 13). Когда движущаяся дислокация встречает на своем пути непроницаемые для нее включения, то она через них проходит, оставляя каждый раз дислокационные петли вокруг включений (рис. 4.10). Чем больше накопилось пе-

стает до  $10^9 - 10^{12}$  искажения решетки, чем больше степень деформации

При деформировании металла прочностные характеристики (предел текучести  $\sigma_b$ , предел пропорциональности  $\sigma_{0,2}$ , предел упругости  $\sigma_{упр}$ ) и по-



**Рис. 4.10.** Схемы перемещения дислокации в двухфазном сплаве при деформации (а), при образовании дислокационных петель (б):  
 $A - A$  — плоскость движения дислокаций; 1—5 — последовательные стадии

ние металла разрушается. Путем наклона твердость и временное сопротивление удается повысить в 1,5–3 раза, а предел текучести в 3–7 раз. Металлы с ГЦК решеткой упрочняются сильнее металлов с ОЦК решеткой. Среди сплавов с ГЦК решеткой сильнее упрочняются те, у которых энергия дефектов упаковки минимальна (например, интенсивно наклеиваются аустенитная сталь, никель, а алюминий упрочняется незначительно).

С ростом степени деформации возрастают удельное электрическое сопротивление, козрцитивная сила, понижаются магнитная проницаемость, остаточная индукция и плотность металла.

Из-за неоднородности деформации в объеме металла различны изменения плотности, что служит причиной появления остаточных напряжений – как растягивающих, так и сжимающих.

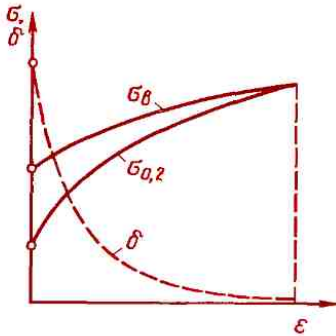


Рис. 4.11. Зависимость механических свойств от степени деформации

## 4.2. Возврат и рекристаллизация

Неравновесная структура, возникшая при холодной деформации, может быть устойчивой вплоть до 25 °C. Переход металла в равновесное состояние происходит в результате диффузии. При повышении температуры происходит перемещение дислокаций и создаются условия для выделения дислокаций из равновесия.

Процессы, происходящие при нагреве, подразделяют на два вида: возврат и рекристаллизацию. Возврат сопровождается выделением дислокаций и уменьшением размеров зерен. Возврат происходит при температуре низких (около 0,3  $T_{пл}$ ), рекристаллизация – при высоких.

*Возвратом* называют процесс, при котором тонкой структуры не изменяется, а сопровождаются изменениями структуры деформированного металла, т. е. размер и форма зерен не изменяются.

*Рекристаллизацией* называют процесс, при котором в результате диффузии и роста новых зерен с участием большого количеством дефектов кристаллической решетки в результате рекристаллизации совершенно новые зерна с более совершенными кристаллическими структурами.

Возврат, в свою очередь, подразделяют на две стадии: возврат и рекристаллизацию. Отдых при

Перераспределение дислокаций сопровождается также уменьшением остаточных напряжений. Отдых уменьшает удельное электрическое сопротивление и повышает плотность металла.

В общем, твердость и прочность максимально уменьшаются на 10–15% первоначальных значений и соответственно увеличивается пластичность. После отдыха повышается сопротивление коррозионному растрескиванию.

Полигонизацией называют стадию возврата, при которой в пределах каждого кристалла образуются новые малоугловые границы. Границы возникают путем скольжения и переползания дислокаций; в результате кристалл разделяется на субзерна – полигоны, свободные от дислокаций (рис. 4.12).

Полигонизация в металлах технической чистоты и в сплавах – твердых растворах – наблюдается только после не-

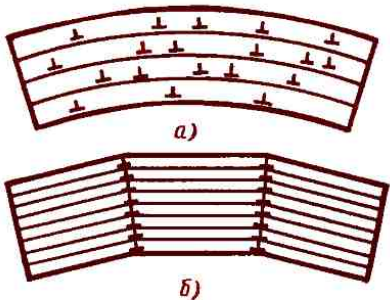


Рис. 4.12. Схема полигонизации:  
а, б – наклепанный металл до и после полигонизации соответственно

пает, полигонизация  
ция оказываются ко

Пластически деф-  
таллы могут рекри-  
после деформации, с-  
вышает определенное  
чение, которое назы-  
степенью деформации  
формации меньше к-  
ждения новых зерен  
исходит. Критическая  
ции невелика (2–8%),  
близка к 2%, для же

Существует также  
сталлизации; это на-  
тура нагрева, обесчи-  
ность зарождения и  
ратура рекристалли-  
которую долю от т-  
ния металла:

$$T_{\text{рекр}} =$$

Значение коэффициента чистоты металла и температуры деформации. Для металлов технической чистоты  $a = 0,2$ – $0,3$ , с увеличением содержания примесей  $a$  уменьшается. Уменьшение количества примесей может понизить  $a$  до 0,1. Для твердых растворов  $a = 0,5$ – $0,6$ . Для металлов тугоплавких металлов  $a = 0,7$ – $0,8$ . Для алмаза  $a = 0,9$ . Для леза технической чистоты  $a = 0,95$ . Критический порог рекристаллизации соответствен-ко

Зарождение новых зерен в процессе сталлизации прои-

зерен. Чем выше степень пластической деформации, тем больше возникает центров рекристаллизации. Они представляют собой субмикроскопические области с минимальным количеством точечных и линейных дефектов строения. Эти области возникают путем перераспределения и частичного уничтожения дислокаций; при этом между центром рекристаллизации и деформированной основой появляется высокоугловая граница.

С течением времени образовавшиеся центры новых зерен увеличиваются в размерах вследствие перехода атомов от деформированного окружения к более совершенной решетке; при этом высокоугловые границы новых зерен перемещаются в глубь наклепанного металла.

Рассмотренная стадия рекристаллизации называется *первичной рекристаллизацией* или рекристаллизацией обработки. Первичная рекристаллизация заканчивается при полном замещении новыми зернами всего объема деформированного металла (рис. 4.13).

По завершении первичной рекристаллизации происходит рост образовавшихся зерен при увеличении выдержки или температуры; эта стадия рекристаллизации называется собирательной рекристаллизацией. Этот процесс самоизвестно развивается при достаточно высоких температурах в связи с тем, что укрупнение зерен приводит к уменьшению свободной энергии металла из-

суммарной поверхности

Рост зерен проходит при переходе атомов от седловину через границу зерна при этом происходит в размерах и за счет становятся большими соседние зерна. Чем выше температура

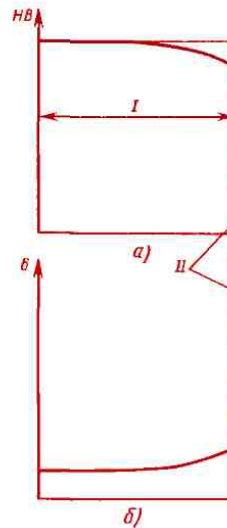


Рис. 4.14. Схемы изменения пластичности (б) наклеенного нагреве:

I – возврат; II – первичная рекристаллизация; III – рост зерна

мирование проводят ниже температуры рекристаллизации, металл наклепываетя и сохраняет наклеп. Горячее деформирование приводят выше температуры рекристаллизации, когда получаемый наклеп снимается одновременно протекающей рекристаллизацией. Если рекристаллизация не устраниет наклеп, то он сохраняется частично или полностью. Это достигается при особых условиях обработки и охлаждения металла. Например, горячее деформирование с высокими скоростями и большими деформациями с дальнейшим быстрым охлаждением металла ниже температуры рекристаллизации сохраняет наклеп.

стрируют при поместии в печь для рекристаллизации (рис. 4.15). Для конструкций, имеющих назначение, не требующее нежелательных свойств, это не желательно. сплавы, как правило, обладают специфическим анизотропным свойствам и анизотропией структуры. Однако при правильном подборе параметров в рекристаллизации можно добиться предпочтительной ориентации зерен, которую называют текстурой. Кристаллизации. Естественно, что текстура зависит от химического состава, технологии обработки и условий формирования, приводящего к формированию зерен. Примесей, технология обработки и условия формирования, приводящие к формированию зерен. Образование текстур в металлах

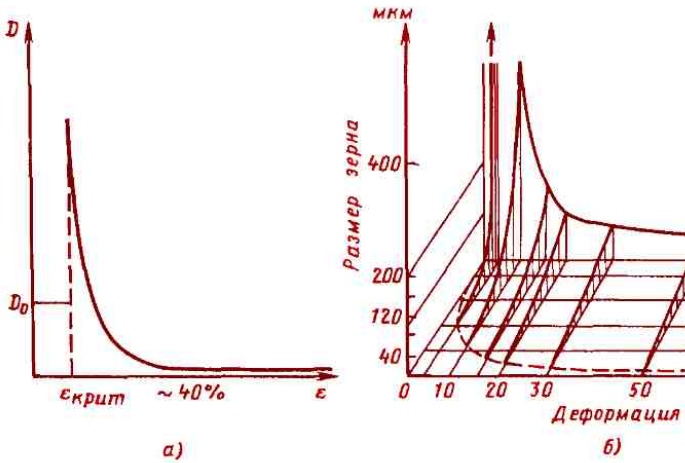


Рис. 4.15. Зависимость размера зерна  $D$  рекристаллизованного металла от деформации (а); диаграмма рекристаллизации технически чистого железа (б);  $D_0$  —

зываются различия свойств каждой фазы, характер структуры и объемные соотношения между фазами. Особое значение имеют размер частиц второй фазы и среднее расстояние между частицами. Чем ближе друг к другу расположены частицы второй фазы, тем труднее перемещаться границе нового зерна и тем сильнее тормозится рекристаллизация. Это проявляется в повышении температуры рекристаллизации и увеличении времени для завершения первичной рекристаллизации многофазного сплава по сравнению с однофазным сплавом — твердым раствором аналогичного химического состава. Близость частиц второй фазы обеспечивается при достаточно высоком их содержании в сплаве. Когда частиц мало и они далеко друг от друга, их роль в рекристаллизации незначительна. Мелкие частицы размерами приблизительно 0,1 мкм и меньше тормозят рекристаллизацию (рис. 4.16). Более крупные частицы размерами выше 0,1–0,5 мкм тормозят рекристаллизацию, когда располагаются близко друг к другу, и ускоряют ее, когда расстояние между ними увеличено (см. рис. 4.16). В последнем случае оказывается влияние межфазной границы, на которой преимущественно зарождаются новые зерна.

Тормозящее влияние дисперсных частиц второй фазы на рекристаллизацию успешно используется в промышленных сплавах для увеличения предельных рабочих температур.

**Рис. 4.16.** Зависимость рекристаллизации двухфазных частиц второй фазы от размеров:

1—1 — температура рекристаллизации сплава без частиц второй фазы; 2 — условия

*Сверхпластичное* проявляется при горячей деформации материалов с умеренными температурами (0,5–10 мкм). При нагреве для формирования (10–20 %) вспомогательного течет равномерно, что обеспечивает относительные удлинения в пределах  $10^2 - 10^3 \%$ .

Огромные деформации в сверхпластичном состоянии (до 100 %) в зернограничном склоне (при помощи направленных напряжений) диффузии атомов и обычным способом зерен. Для того чтобы получить сверхпластичное состояние, нужно не только получить ультратонкую структуру и сохранить эту структуру в течение всего периода деформации (при температуре выше  $0,5 T_m$ , где  $T_m$  — температура плавления, минут). В однофазных сплавах твердого раствора уменьшается время, в течение которого теряется структура. Промышленные сплавы обладают лучшую структурой (лучшее соединение атомов в кристаллической решетке).



изделий с целью изменения их структуры и свойств.

Термической обработке подвергают слитки, отливки, полуфабрикаты, сварные соединения, детали машин, инструменты.

Основные виды термической обработки — отжиг, закалка, отпуск и старение. Каждый из указанных видов имеет несколько разновидностей.

*Отжиг* — термическая обработка, в результате которой металлы или сплавы приобретают структуру, близкую к равновесной: отжиг вызывает разупрочнение металлов и сплавов, сопровождающееся повышением пластичности и снижением остаточных напряжений.

Температура нагрева при отжиге зависит от состава сплава и конкретной разновидности отжига; скорость охлаждения с температуры отжига обычно невелика, она лежит в пределах 30—200 °С/ч.

*Закалка* — термическая обработка, в результате которой в сплавах образуется неравновесная структура. Неравновесные структуры при термической обработке можно получить только в том случае, когда в сплавах имеются превращения в твердом состоянии: переменная растворимость, полиморфные превращения твердых растворов, распад высокотемпературного твердого раствора по эвтектоидной реакции и др. Для получения неравновесной структуры сплав нагревают выше температуры фазового превращения в твердом состоянии, после чего быстро

сильно упрочняющие сплавы, претерпевшие условия эвтектоидной Прочность возрастает мартенситного фазового вследствие понижения тектойдной реакции, мельчению зерен, тоидную смесь. При закалки при температуре фиксируется состояния твердого состояния, но после закалки неизменное упрочнение сохраняется на низкотемпературном уровне в течение выдержки 20—25 °С.

В сплавах с особыми свойствами закалка позволяет изменить чувствительные физические свойства: увеличение тритическое сопротивление, титовую силу, повышенную стойкость и др.

*Отпуск и старение* — термическая обработка, в результате которой в сильно закаленных сплавах протекают фазовые превращения, меняющие их структуру и свойства.

Сочетание закалки с отпуском и старением практически гарантирует получение более высоких свойств (твердости, прочности, коэффициента электрического сопротивления) в сравнении с отожженными сплавами.

В большинстве сплавов

ства сплавов.

Термин «отпуск» используют обычно применительно к сталям и другим сплавам, испытывающим при закалке полиморфное превращение (двуихфазные алюминиевые бронзы, некоторые сплавы на основе титана); термин «старение» – применительно к сплавам, не претерпевающим при закалке полиморфного превращения (сплавы на основе алюминия, аустенитные стали, никелевые сплавы и др.).

Принципиальная возможность применения того или другого вида термической обработки может быть определена на основании диаграмм фазового равновесия. В связи с этим можно выделить следующие основные группы сплавов<sup>1</sup>:

1) сплавы, не имеющие фазовых превращений в твердом состоянии (см. рис. 3.4 и 3.7);

2) сплавы с переменной растворимостью компонентов в твердом состоянии (см. рис. 3.5);

3) сплавы с эвтектоидным превращением (см. рис. 3.10).

Любой технологический процесс термической обработки состоит из трех основных этапов: нагрев, изотермическая выдержка и охлаждение. Нагрев, а иногда и весь процесс термической обработки (отжиг) проводят в термических печах.

<sup>1</sup> Особенности термической обработки некоторых магнитных сплавов рассмотрены в гл. 15.

ния производительной обработке мелких деталей применяют скоро гружают их в окончательные напряжения не трещин и короблений нагрев опасен для катных валков, валов поэтому нагрев такими медленно (вместе с пакетами). Иногда быстрый нагрев ванных с расплавленными чипами и другие мелкие шиностроительных заготовок обработки применяют чи (рис. 5.1) и автоматически.

Механизированная печь предназначена для закалки штампов, укладываемых на подогревательную и закалочную камеры с защитной атмосферой. Каливаемые детали отапливаются в печи, а затем в каливальном механизме с помощью 6 поддонов с деталями, которые перемещаются в печь. Печь имеет 2 камеры: 1. После нагревания в печи детали с помощью цепного механизма передаются в закалочную камеру 2. В закалочную камеру 3 детали погружаются в закалочный бак с маслом или водой. После охлаждения детали извлекаются из печи. Детали в результате излучения и конвективного тепла в печи 4, установленные в печи и в закалочном баке, подвергаются интенсификации теплопередачи и охлаждения.

В механизированных агрегатах про-

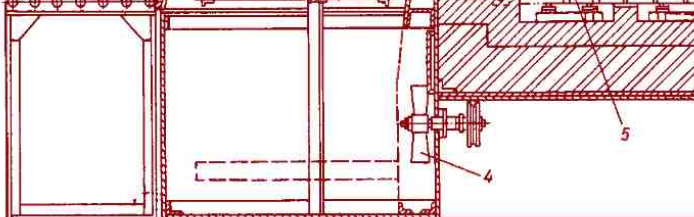


Рис. 5.1. Механизированная электропечь:

1 — нагревательная камера; 2 — закалочная камера; 3 — подъемный столик; 4 — тяги; 5 — цепной механизм для передвижения поддона с деталями

ческой обработки деталей, например, закалку и отпуск. Такие агрегаты состоят из механизированных нагревательных печей и закалочных баков, моечных машин и транспортных устройств конвейерного типа.

Поверхностный нагрев деталей производят тогда, когда в результате поверхностной закалки требуется получить высокую твердость наружных слоев при сохранении мягкой сердцевины. Чаще всего закаливают наружный слой трущихся деталей машин.

Наиболее совершенным способом поверхностной закалки является закалка в специальных установках с нагревом токами высокой частоты — ТВЧ. Этот способ нагрева очень производителен, может быть полностью автоматизирован и позволяет получать при крупносерийном производстве стабильное высокое качество закаливаемых изделий при минимальном их короблении и окислении поверхности.

Известно, что с увеличением частоты тока возрастает скин-эффект; плотность тока в наружных слоях проводника оказывается во много раз большей, чем в сердцевине. В результате почти вся тепловая энергия вы-

деляется в поверхностном слое и происходит его разогрев.

Нагрев деталей ТВЧ производят индуктором. Если деталь имеет форму, отличную от куба, то вся ее поверхность не может одновременно находиться в зоне нагрева. Для этого в зоне нагрева устанавливают закалки. Если же деталь имеет форму куба, то нагрев происходит одновременно по всему объему изделия. При перемещении изделия в зону нагрева с рассчитанной скоростью

Охлаждение при закалке осуществляется обычно через спрейер — трубу, расположенную над индуктором. При разбрзгивании воды на деталь, расположенную в зоне охлаждения, происходит охлаждение ее поверхности. Деталь, проходя по зоне охлаждения, попадает в спрейер.

Преимущество поверхностной закалки в том, что она не требует упрочнения поверхности (как это делают в обычной обработке), состоит также в том, что в наружных слоях деталей, так же как и в сердцевине, не возникает скимывающие напряжения.

**Рис. 5.2.** Расположение индуктора, закаливаемой цилиндрической детали и спрейера при закалке с нагревом ТВЧ:  
1 – деталь; 2 – индуктор; 3 – спрейер

В последнее время для термической обработки некоторых деталей применяют источники высококонцентрированной энергии (электронные и лазерные лучи).

Использование импульсных электронных пучков и лазерных лучей для локального нагрева поверхности деталей позволяет вести поверхностную закалку рабочих кромок инструментов и сильно изнашивающихся областей корпусных деталей. Иногда тонкий поверхностный слой доводят до оплавления и в результате быстрого охлаждения получают мелкозернистую или аморфную структуру.

При закалке с использованием источников высококонцентрированной энергии не требуются охлаждающие среды, так как локально нагретые поверхностные слои очень быстро остывают в результате отвода теплоты в холодную массу детали. В качестве источников энергии используют ускорители электронов и непрерывные газовые и импульсные лазеры.

### 5.3. Термическая обработка сплавов, не связанная с фазовыми превращениями в твердом состоянии

Термическую обработку проводят независимо от того, происходят ли в сплавах фазовые превращения в твердом состоянии или нет. Такую обработку

**Нагрев для снятия напряжений.** Многие технологии на обрабатываемых деталях возникаются возникновение напряжений, которые шиваются в объеме изделия.

Значительные остаточные напряжения возникают в отливках, в стальных титановых сплавах, неравномерно распределяясь в зонах, расположенных вблизи кромок и углов. Они возникают при ковке, прокатке, волочении, в прутках и в сварных соединениях и т. п.

Остаточные напряжения в указанных случаях могут быть опасны. Они могут вызвать разрушение деталей при эксплуатации или в процессе эксплуатации. При этом, если они будут действовать с напряжениями, приведя к разрушению или к коррозии; увеличивая зону хрупкого разрушения. В сплавах они вызывают растрескивание в зоне активной сечки. Остаточные напряжения могут превысить предела текучести.

Для уменьшения остаточных напряжений изделия нагревают, снижая температуру изделия. При этом, если температура снижается, поэтому остаточные напряжения вызывают пластическую деформацию и снижаются.

точных напряжений происходит при меньших температурах нагрева. Например, в холоднодеформированных латунных полуфабрикатах остаточные напряжения практически полностью снимаются в процессе отжига при 250–300 °С.

По окончании выдержки при заданной температуре изделия медленно охлаждают, чтобы предотвратить возникновение новых напряжений. Допустимая скорость охлаждения зависит от массы изделия, его формы и теплопроводности материала; она обычно лежит в пределах 20–200 °С/ч.

**Рекристаллизационный отжиг.** Нагрев деформированных полуфабрикатов или деталей выше температуры рекристаллизации называют рекристаллизационным отжигом; в процессе выдержки происходит главным образом рекристаллизация. Скорость охлаждения при этой разновидности отжига не имеет решающего значения; обычно охлаждение по окончании выдержки проводят на спокойном воздухе. Цель отжига — понижение прочности и восстановление пластичности деформированного металла, получение определенной кристаллографической текстуры, создающей анизотропию свойств, и получение заданного размера зерна.

Рекристаллизационный отжиг часто используют в качестве межоперационной смягчающей обработки при холодной прокатке, волочении и других операциях холодного деформирования.

зотропию свойств. Установить те или иные способы направленных направлений свойства в стали и пермаллояже в некоторых пружинах др.).

В машино- и приборное применение сплавы — твердые, имеющие фазовых превращений состояния (алиюминиевые, ферритные и аустенитные фазовые латуни и бронзы).

В таких материалах возможность регулирования зерен является сочленением статической деформации и рекристаллизации.

**Диффузионный отжиг.** В реальных условиях плавка кристаллизации сплавов чаще всего протекает диффузионные процессы для выравнивания концентраций кристаллов по всему объему. Для этого процесса кристаллизации сохраняется неодинаковый объем кристалла, вследствие чего ликвация: серебро обогащена тугоплавкая компонента сплава, а наружные зерна обогащены компонентами, имеющими температуру плавления выше температуры плавления.

На примере системы никель — хромат превращением (рис. 1) показано изменение структуры

(— — — изменение средней концентрации кристаллов твердого раствора в условиях неравновесной кристаллизации)

твердого раствора сплава I в интервале температур кристаллизации при отклонении от равновесия. Кристаллы твердого раствора содержат меньше легирующего компонента В по сравнению с равновесной концентрацией.

Если температура конца кристаллизации сплава из-за уменьшения содержания компонента В в твердом растворе станет ниже эвтектической, как это показано на рис. 5.3 для сплава I ( $t_2 < t_s$ ), то оставшийся к моменту достижения эвтектической температуры жидкий раствор затвердевает по эвтектической реакции, и в структуре сплава появляется эвтектическая составляющая.

Внутрикристаллическая ликвация, особенно в случае появления в структуре эвтектической составляющей, затрудняет последующую обработку давлением, так как снижается пластичность сплавов.

Диффузионным отжигом называют длительную выдержку сплавов при высоких температурах, в результате которой уменьшается ликвационная неоднородность твердого раствора. При высокой температуре протекают диффузионные процессы, не успевшие завершиться при первичной кристаллизации.

Диффузионному отжигу подвергают слитки легированных сталей и слитки

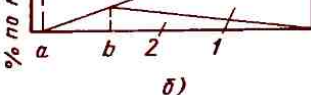
литых алюминиевых сплавов. Ликвация особенно нежесткое состояние ликвации оси кристаллов и межосные пространства расширены, поэтому при отжиге образуются вторичные кристаллы, главным образом мелкие кристаллы и по границам зерен в виде сплошных зерен в виде сплошных чешуек).

Диффузионный отжиг алюминиевых сплавов проводят при температуре 420–520 °С в течение 30 ч для устранения

#### 5.4. Термическая обработка с переменной растворимостью компонентов в твердом растворе

Переменная растворимость компонентов в твердом состоянии значительно повышена путем термической обработки, что вело к широкому использованию этого типа — сталей. Качество конструкционных сталей с повышенной и высокой пластичностью меняют стареющие, никелевой, медной, жаропрочной, кобальтовой, титановой и других видах.

Рассмотрим применение термической обработки сплавов на примере стальных точечных соединений.



б)

Рис. 5.4. Диаграмма состояния компонентов с переменной растворимостью в твердом состоянии:

*a* – диаграмма равновесия; *б* – количество первичных (1) и вторичных (2) кристаллов  $A_mB_n$  в сплавах разного состава при температуре 20–25 °C (высота прямоугольника пропорциональна массе всего сплава)

К термически упрочняемым относятся сплавы составов от точки *a* до промежуточного соединения  $A_mB_n$ , в которых при охлаждении из твердого раствора  $\alpha$  выделяются вторичные кристаллы  $A_mB_n$ . При этом степень упрочнения тем выше, чем больше масса вторичных кристаллов в равновесном сплаве (рис. 5.4, б).

Рассмотрим для примера сплав *I* состава точки *c*, который в равновесном состоянии имеет двухфазную структуру, состоящую из кристаллов твердого раствора  $\alpha$  концентрации точки *a* и относительно крупных вторичных кристаллов  $A_mB_n$ . Сопротивление движению дислокаций возрастает по мере уменьшения расстояний между частицами упрочняющей фазы, т. е. сплав *I* станет прочнее, когда вместо немногочисленных крупных включений образуется большое количество мелких. Наибольшее препятствие для движения дислокаций создают включения, отстоящие друг от

процесса выделения лов и в результате фазный сплав – переносом *B* в твердый расплав мало оказывается вязкости и прочности, называется и пластичностью.

Пересыщенный сплав представляет собой структуру с повышенной энергией. Подвижность атомов достаточно большой, твердость распадаться – начнет.

Старение, происходящее при понижении температуры, является обратным. В сплавах плавких металлов старение может происходить при температуре в процессе выдержки. Такое старение называется термическим.

При старении уменьшается концентрация пересыщенных кристаллов в твердом растворе, расходуясь на образование новой структуры.

Тип выделений (однородная или гетерогенная структура), их размеры и степень упрочненности с решеткой.

1 Лишь в немногих сплавах, таких как некоторые магнитотвердые, структура формируется в процессе быстрой закалки с определенной скоростью. Эта скорость подбирается так, чтобы выделение частиц происходило при значительном пересыщении, но при малой критической

ста выделений зависит от того, насколько отличается пространственная решетка выделений от пространственной решетки основного твердого раствора. При малом различии решеток энергия активации будет небольшой, а при большом — энергия активации возрастает. С увеличением температуры увеличивается кинетическая энергия атомов, и поэтому повышается вероятность преодоления более высокого энергетического барьера.

Уменьшение свободной энергии при распаде пересыщенного твердого раствора будет наибольшим при выделении равновесных кристаллов  $A_mB_n$ , однако зарождение таких кристаллов, имеющих, как правило, сложную пространственную решетку, возможно только при достаточно высоких температурах. При невысоких температурах

микроскопические) растворы с резко притяжением растворенных храняющие решетку, пление растворенных местное изменение твердого раствора. разнице в размерах это, например, наблюдается в зонах ГП и толщина которых (у решетки) составляет атомных расстояний — 10–50 нм. Диски заморожены относительной решетки растворителя. различий в атомных центров, как, например,

---

<sup>1</sup> Названы по имени их обнаруживших в люральном

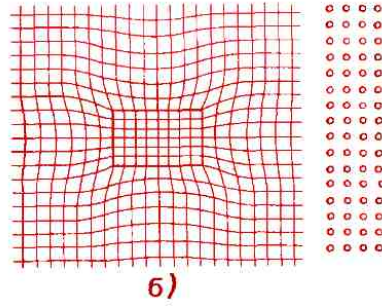
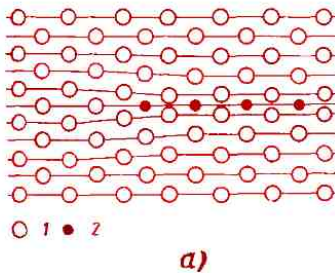


Рис. 5.5. Типы выделений из пересыщенного твердого раствора:  
а — зона Гиине — Престона; 1 — атомы растворителя; 2 — растворенные атомы стабильной фазы (когерентное выделение); б — кристаллы стабильной фазы (неко-

вание когерентной (или полукогерентной) границы раздела. Когерентная граница при некотором различии кристаллической структуры приводит к появлению переходной зоны с искаженной решеткой (рис. 5.5, б). Для метастабильных фаз характерна высокая дисперсность, что значительно повышает сопротивление движению дислокаций.

Стабильная фаза  $A_mB_n$  имеет сложную пространственную решетку с пониженным числом элементов симметрии и с большим числом атомов в элементарной ячейке.

Вторичные кристаллы со стабильной структурой в большинстве сплавов выделяются в виде достаточно крупных частиц. Значительное различие кристаллической структуры твердого раствора

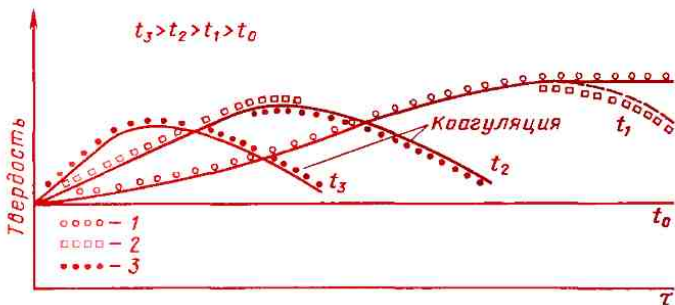
<sup>1</sup> Атомный радиус Al равен 0,143 нм, атомный радиус Cu 0,128 нм, атомный радиус Zn – 0,138 нм.

<sup>2</sup> Сходство в расположении атомов в определенных плоскостях и направлениях называют структурным и размерным соответствием.

стационарной температурой, что максимум сплава I (см. рис. 5.4) соответствует выделению зон ГПК.

Температура  $t_0$  невысокой, что расходится с твердого раствора ответственно, не имея критерия твердости (прочности) сплава.

Старение при температуре  $t_1$  приводит к повышению прочности сплава из-за образования зон ГПК. Температура недостаточна для активировать зародыши кристаллов, то есть достигнет максимальной прочности в дальнейшем неизменной, сколь угодно долго (рис. 5.6, сплошная линия). Температура  $t_1$  достаточно для образования метастабильных кристаллов, но прочность после достижения максимального значения начнет падать, то есть сплав будет «перестариваться».



неустойчивых частиц и последующей диффузии растворенного компонента к более устойчивым частицам. Коагуляция приближает структуру сплава к равновесной.

Старение при температуре  $t_2$  начинается с выделения метастабильных кристаллов, появление которых не приводит к получению такой высокой прочности, как при выделении зон ГП (согласно условию). Так как температура старения более высокая, чем в предыдущем случае, максимум на кривой старения достигается быстрее; с большей скоростью протекает и перестаривание — образование кристаллов  $A_mB_n$  и их коагуляция.

Старение при температуре  $t_3$  не вызывает значительного упрочнения сплава, так как выделяющиеся при этой температуре стабильные кристаллы  $A_mB_n$  имеют относительно крупные размеры и коагулируют быстрее, чем при температуре  $t_2$ .

Степень упрочнения при старении может быть очень высокой. Так, твердость и временное сопротивление люралюминов при оптимальных условиях старения увеличиваются в 2 раза, в бериллиевых бронзах — в 3 раза.

Термическую обработку, приводящую к получению стабильной структуры (стабильные кристаллы  $A_mB_n$  после коагуляции), называют *стабилизацией*; термин подчёркивает получение более устойчивой структуры при возможном нагреве сплава в условиях эксплуатации.

превращения в сплав лической основой.

Выделим основные изменения, влияющие на структуру сталей:

а) превращения промежуточного состояния — стабилизация; б) превращения при различных степенях старения; в) превращения упрочненных сталей.

**Превращения в стабилизированном аустенитном состоянии** от условий нагрева зависят размеры зерна аустенита, а также размера зерна аустенита, от которых зависят свойства сплава.

Продукты превращения стабилизированного аустенита, как правило, метастабильные, и поэтому пластичность и вязкость, чувствительность к изгибу и изгибу, а также прочность, чем соответствующие продукты превращения стабилизированного аустенита.

Зарождение кристаллов стабилизированного аустенита происходит на границах зерен, где зерно аустенита, температура которого ниже температуры зародышей и температуры, при которой образуются зерна стабилизированного аустенита.

Рассмотрим превращения, происходящие при нагреве в стабилизированной равновесной структуре. Сплав, имеющий в равновесной структуре эвтектоидную структуру, при нагреве в стабилизированной равновесной структуре, не изменяющейся до температуры эвтектоидной превращения, не изменяется.

процессов: полиморфного  $\alpha \rightarrow \gamma$ -перехода и растворения в Fe<sub>γ</sub> кристаллов цементита. Полиморфное превращение идет с более высокой скоростью, поэтому по завершении превращения аустенит сохраняет неоднородность по углероду, для устранения которой требуется определенное время.

Поскольку в каждой перлитной колонии зарождается несколько центров кристаллизации аустенита (см. схему на рис. 5.7), превращение при температуре  $Ac_1$  сопровождается измельчением зерна стали. Эта очень важная особенность фазовой перекристаллизации широко используется в практике термической обработки стали — отжиге, закалке и других видах обработки, связанных с нагревом стали до аустенитного состояния.

Число зарождающихся при температуре  $Ac_1$  кристаллов аустенита возрастает с увеличением дисперсности перлита и скорости нагрева. При высоко-

избыточного феррита в заэвтектоидных  $Ac_1$  до  $Ac_{cm}$  — распада избыточных ните. Оба процессы диффузией углерода в равновесию концентрации укрупнению зерен.

Повышение температуры в однофазной аустенитной области ведет к дальнейшему измельчению зерен аустенита — происходит рекристаллизация.

Скорость роста зерен аустенита при перегреве выше температуры  $Ac_{cm}$  неодинакова и в большой мере зависит от содержания кислорода и легирующих элементов.

В зависимости от температуры аустенитных зерен они могут быть природно-крупнозернистые и мелкозернистые.

Природно-крупнозернистые

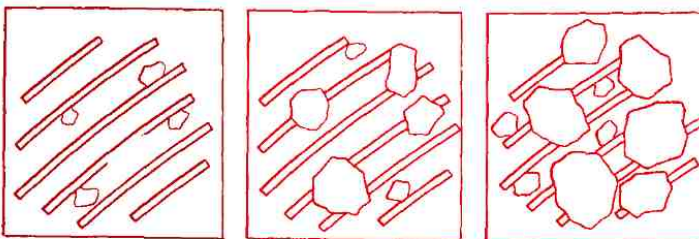


Рис. 5.7. Схема зарождения и роста кристаллов при температуре

разующие элементы, особенно титан и ванадий. Предполагают, что тормозящее влияние на рост зерен оказывают частицы нитрида алюминия, которые, располагаясь по границам зерен, механически препятствуют собирательной рекристаллизации; при температуре, большей 1000–1100 °С, нитрид алюминия распадается, и препятствия для роста исчезают.

Подобный механизм действия приписывается также карбидам титана и ванадия. Из карбиообразующих элементов лишь марганец не только не уменьшает, а даже несколько увеличивает скорость роста аустенитного зерна.

Природную зернистость сталей оценивают номерами (баллами) специально разработанной шкалы зернистости (ГОСТ 5639–82).

Стали, имеющие грубую крупнозернистую структуру вследствие высокотемпературных нагревов, называют перегретыми; перегрев исправляется повторной аустенизацией с нагревом до более низкой температуры.

**Превращения аустенита при различных степенях переохлаждения.** Выше рассматривались фазовые превращения, происходящие в стали при медленном охлаждении из аустенитного состояния (см. п. 3.3).

Увеличивая скорость охлаждения стали или вводя в сталь легирующие элементы, можно значительно повысить степень переохлаждения аустенита, т. е. понизить температуру его превращения.

2. Бездиффузионные  
Кинетику диффузий удобнее изучать в условиях.

**Перлитное превращение**  
Влияние степени переохлаждения на устойчивость аустенита в процессе превращения представляется в виде диаграмм, строящихся в координатах температура–время; они изображаются на логарифмических масштабах (рис. 5.8).

Диаграммы строятся на экспериментальных данных, полученных при нагреве аустенитных образцов, нагретых до аустенитической температуры, быстро переносят в охлаждающей среде, имеющей темпера-

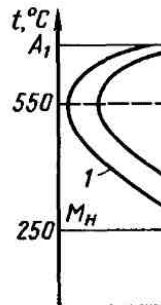


Рис. 5.8. Диаграмма превращения переохлажденного аустенита в тектойдной стали (схема).  
I – перлитное превращение; III – мартенситное превращение; II – перлит; C – сорбит;

держивают до завершения превращения. При этом фиксируют изменение какого-либо свойства, чтобы определить время начала и конца превращения. При температурах, меньших точки Кюри, следят за изменением магнитных свойств стали, так как они наиболее резко изменяются: аустенит парамагнитен, а продукты превращения аустенита ферромагнитны.

Основные закономерности перлитного превращения рассмотрим на примере эвтектоидной стали. Изотермический распад аустенита эвтектоидной стали происходит в интервале температур от  $Ar_1$  ( $720^{\circ}\text{C}$ ) до  $M_{\text{h}}$  ( $250^{\circ}\text{C}$ ), где  $M_{\text{h}}$  — температура начала марганситного превращения. Мартенситное превращение в эвтектоидной стали при постоянной температуре ниже точки  $M_{\text{h}}$  не происходит.

На диаграмме (см. рис. 5.8) нанесены две линии, имеющие форму буквы «С»—С-образные кривые. Линия 1 указывает время начала превращения, линия 2 — время конца превращения переохлажденного аустенита. В области диаграммы, расположенной левее линии 1, существует переохлажденный аустенит; между линиями 1 и 2 находится область, в которой происходит превращение; правее линии 2 находится область, в которой существуют продукты превращения аустенита. Устойчивость аустенита зависит от степени переохлаждения. Наименьшей устойчивостью аустенит обладает при температурах, близких к  $550^{\circ}\text{C}$ . Для эвтектоид-

та при температуре вляется около 1 с. В понижении температуры  $550^{\circ}\text{C}$  устойчивость аустенита при  $700^{\circ}\text{C}$  сосуществует с аустенитом при  $300^{\circ}\text{C}$ —около 1 с.

Превращение аустенита в интервалах температур, меньших  $M_{\text{h}}$ , протекают перлитным, в интервалах температур в

области  $M_{\text{h}} - M_{\text{f}}$  — промежуточным, в интервалах температур превращения в аустенита образуются структуры перлитного превращения, образованные феррита и цементита. Их образование (рис. 5.9, а) вначале медленно, затем скорость превращения возрастает до постоянной величины, а скорость превращения становится постоянной.

Строение перлита зависит от температуры превращения. С увеличением температуры превращения в соответствии с обстоятельствами процесса стальлизации (см. рис. 5.9, б) размер образующихся зерен перлита возрастает, а дисперсность зерен уменьшается. Структура перлита, полученная в результате превращения, имеет сложную форму, состоящую из зерен феррита и цементита.

Дисперсность перлита в зависимости от температуры превращения может быть принято оценивать по расстоянию, за которое в зерне перлита проходит среднюю суммарную длину пластиинок феррита (рис. 5.10).

Если превращение

называют собственно *перлитом* (П). Превращение при температуре 640–590 °С дает межпластиночное расстояние  $3 \cdot 10^{-7} - 4 \cdot 10^{-7}$  м; такую перлитную структуру называют *сорбитом* (С). При температуре превращения 580–550 °С межпластиночное расстояние уменьшается до  $1 \cdot 10^{-7} - 2 \cdot 10^{-7}$  м; такую структуру называют *трооститом* (Т). Указанное деление перлитных структур условно, так как дисперсность смесей монотонно увеличивается с понижением температуры превращения.

Центры кристаллизации перлитных колоний возникают преимущественно на границах зерен аустенита; при этом перлитные колонии растут во все стороны (см. рис. 5.10).

При перлитном превращении полиморфный переход  $\gamma \rightarrow \alpha$  сопровождается перераспределением углерода. Для образования цементита, содержащего 6,69% С, необходимо перемещение атомов углерода на расстояния, значительно большие межатомных расстояний, так как среднее содержание углерода в твердом растворе до превращения гораздо меньше, чем в цементите.

Несмотря на то, что подвижность атомов железа и углерода с понижением температуры от точки  $Ar_1$  уменьшается, скорость перлитного превращения возрастает вплоть до температуры 550 °С. Это объясняется тем, что с увеличением степени переохлаждения быстро увеличивается число центров кристаллизации и, соответственно, уменьшаются расстоя-

ность и вязкость индивидуального бита.

*Мартенситное превращение*. На схеме диаграммы состояния никеля показана область мартенситного превращения (ниже  $M_H$ ), что не только в теоретическом, но и в подавляющем большинстве экспериментальных условиях не

Мартенситное превращение протекает при охлаждении в интервале температур от  $M_s$  до  $M_k$  (рис. 5.11). Мартенситическая выдержка в этих температурных пределах приводит к стабилизации мартенсита, т. е. превращения

<sup>1</sup> Так, в стали с содержанием 0,5% Mn изотермическое превращение ускоряется с уменьшением температуры от –50 до –120 °С и замедляется при дальнейшем понижении температуры.

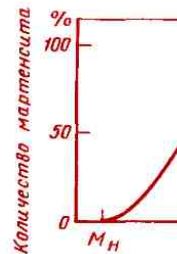


Рис. 5.11. Кинетическое превращение превращения

## всия двух фаз аустенита и мартенсита для сталей с различным содержанием

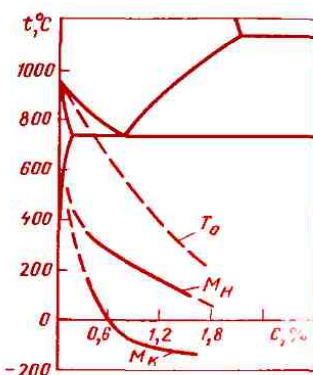


Рис. 5.12. Зависимость температуры термо-динамического равновесия аустенита и мартенсита и температур  $M_h$  и  $M_k$  от содержания углерода в стали

углерода (рис. 5.13). Для получения мартенситной структуры аустенит углеродистых сталей необходимо очень быстро и непрерывно охлаждать, применяя для этого холодную (лучше соленую) воду. Быстрое охлаждение необходимо для того, чтобы подавить возможные диффузионные процессы и образование перлитных и бейнитных структур.

Экспериментально построенные для всех сталей термокинетические диаграммы позволяют определить минимальную скорость охлаждения, называемую *критической скоростью закалки* —  $v_{kp}$ , при которой аустенит превра-

щается только в мартенсит при температуре  $M_h$  и ниже<sup>1</sup>. Термокинетические диаграммы имеют большое значение для технологии热处理; они получаются от диаграмм превращения аустенита в мартенсит при условии неизменности образцов соотношения массы и объема.

<sup>1</sup> Установлено, что  $M_h$  и  $M_k$  не зависят от скорости охлаждения, если она не превышает 10000 °C/с; они начинают зависеть от скорости охлаждения при скорости охлаждения, равной 10000 °C/с.

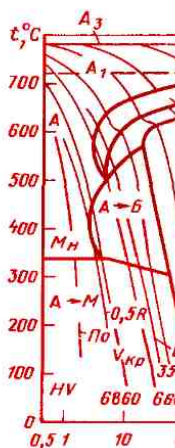


Рис. 5.14. Термокинетическая диаграмма для стали 45:  
По — поверхность; Це —

Рис. 5.15. Микроструктура мартенсита стали 45 после закалки от оптимальной температуры 850 °С,  $\times 500$

характеристика, позволяющая предсказывать вид фазового превращения и возможную структуру стали в зависимости от скорости ее охлаждения.

Итак, при охлаждении стали со скоростью, большей  $v_{kr}$ , будет образовываться мартенсит<sup>1</sup> — неравновесная фаза — пересыщенный твердый раствор внедрения углерода в Fe<sub>α</sub> (рис. 5.15). Кристаллы мартенсита, имея пластинчатую форму, растут с огромной скоростью, равной скорости звука в стали ( $\sim 5000$  м/с). Росту кристаллов мартенсита препятствует граница зерна аустенита или ранее образовавшаяся пластина мартенсита (рис. 5.16).

<sup>1</sup> Структура так названа в честь немецкого ученого А. Мартенса (1850–1914 гг.).

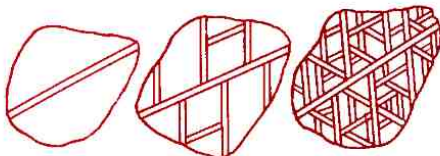


Рис. 5.16. Схема образования мартенситных пластин в одном аустенитном зерне

решетки образующаяся принцип строения соответствия тенситного превращения, что растущие кристаллы герентно связаны с новой фазой. Два кристалла герентными, если они имеют одинаковой поверхности, является общей для них решеток. При нарушении решеток интенсивность перехода атомов из кристалла в кристалл мартенсита становится неизменной.

В процессе

$\rightarrow \alpha$ -превращения

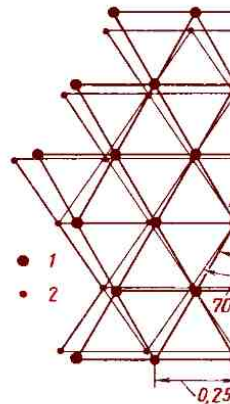


Рис. 5.17. Совмещение кристаллических плоскостей (111) и (110) Fe<sub>α</sub> и Fe<sub>β</sub>. 1 — атом в плоскости (111), 2 — атом в плоскости (110)

нальную пространственную решетку (рис. 5.18). На рисунке крестиками показаны возможные места расположения атома углерода. Чем больше углерода было в аустените, тем большее число элементарных ячеек мартенсита будет содержать атом углерода и тем большими окажутся средние искажения пространственной решетки.

Свойства мартенсита сталей зависят от количества растворенного в нем углерода. На рис. 5.19 показано влияние углерода на твердость мартенсита. По аналогичной кривой изменяется и временное сопротивление сталей. Мартенсит имеет очень высокую твердость, равную или превышающую HRC 60, при содержании углерода, большем 0,4%. С увеличением содержания углерода возрастает хрупкость мартенсита. Мартенситное превращение в сталях сопровождается заметным увеличением объема (рис. 5.19, б). Весьма сильно из-

держания углерода влияют растворенные в аустените легирующие элементы. Учтывая это, можно сказать, что в закаленных легированных сталях при небольшом содержании углерода, например, после охлаждения от 500–550 °C до 20–25 °C может сохраняться некоторое количество остаточного аустенита.

Промежуточное превращение аустенита. При охлаждении аустенита с различными скоростями в зависимости от температуры охлаждения и концентрации углерода в аустените образуются различные промежуточные структуры, называемые бейнитом. Бейнит представляют собой смесь кристаллов карбидов и цементита. Основная особенность этого превращения — это полиморфный переход от аустенита к мартенситному ме-

тоду. Предполагают, что в данном участке превращения происходит перераспределение углерода в аустените, сопровождающееся обеднением аустенита углеродом. С уменьшением содержания растворенного углерода в аустените температура мартенситного превращения понижается, поэтому мартенситное превращение происходит в обедненных углеродом растворах. В зонах, обогащенных углеродом, происходит карбидообразование, в результате чего образуются очень мелкие (в виде кристаллов цементита) частицы, способные упрочнить сталь.

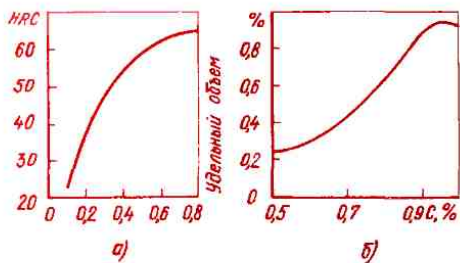


Рис. 5.19. Изменение твердости (а) и удельного объема (б) мартенсита сталей с различным содержанием углерода

стинчатое строение.

Скорость промежуточного превращения обычно изменяется так же, как скорость перлитного превращения (см. рис. 5.9, а). В некоторых легированных сталях кинетика превращения иная (см. рис. 5.9, б): по окончании инкубационного периода распад аустенита начинается с максимальной скоростью, а затем его скорость убывает. Характерно, что промежуточное превращение не доходит до конца, часть аустенита остается непрекращенной. Степень превращения убывает с повышением температуры. Непрекращенный аустенит при охлаждении либо сохраняется, либо превращается в мартенсит, что зависит от состава стали.

Верхний бейнит имеет неблагоприятное сочетание механических свойств: пониженная прочность из-за сохранения нераспавшегося аустенита сочетается с весьма невысокими пластичностью и вязкостью. Высокой прочностью и одновременно достаточно высокими пластичностью и вязкостью обладает нижний бейнит, а именно бейнит, полученный при температуре на 50–100 °С выше мартенситной точки  $M_n$ .

## 5.6. Основные виды термической обработки стали

Горячекатаные полуфабрикаты, поковки, штамповые заготовки и стальные отливки отжигают или нормализуют; легированные стали после нормализа-

ции отжигают. Отжиг сталей. Существует множество разновидностей отжига структурных сталей. Отжиг – это термическое обработка, при которой происходит снижение твердости и повышение пластичности и вязкости. Отжиг может быть проводим для снижения напряжений в стальных конструкциях, для уменьшения количества вредных примесей, для улучшения структуры и свойств сталей.

Перекристаллизация – это процесс, при котором в структуре стали происходит переход из одного состояния в другое. Перекристаллизация может быть проведена для снижения твердости и повышения пластичности и вязкости. Перекристаллизация может быть проведена для снижения количества вредных примесей, для улучшения структуры и свойств сталей.

Перекристаллизация может быть проведена для снижения твердости и повышения пластичности и вязкости. Перекристаллизация может быть проведена для снижения количества вредных примесей, для улучшения структуры и свойств сталей.

Полуфабрикаты из сталей после литья и ковки имеют специфическую структуру, называемую изоморфованием из-за усадки металла при ковке с высоких температур. Повышенную твердость и хрупкость можно уменьшить путем обработки резанием, что способствует снижению пластичности и вязкости. Литье и горячедеформация часто приобретают специфические дефекты, ухудшающие свойства металла.

Характерный способ обработки стальных отливок – это отжиг.

При ускоренном охлаждении из зернистого аустенита могут возникнуть условия для образования специфической структуры<sup>1</sup>. При ее

<sup>1</sup> Названа в честь первооткрывателя – английского физика Уильяма Видманштедта (1808 г.).

турного соответствия, в результате чего кристаллы дозвтектоидного феррита ориентированно прорастают относительно кристаллической решетки аустенита и имеют форму пластин.

Типичная структура литой стали и видманштеттовая структура горячедеформированной стали показаны на рис. 5.20.

Размер зерна аустенита, образующегося после обработки давлением, как показывает опыт, определяется температурой окончания обработки: если температура окончания обработки давлением намного превышает  $A_{c3}$ , то образуется крупнозернистый аустенит и после охлаждения — грубая структура продуктов распада. Если температура конца обработки давлением лежит в межкристаллическом интервале температур, между  $A_1$  и  $A_3$ , возникает другой структурный дефект — строчечность в расположении структурных составляющих — феррита и перлита, что обусловливает значительную анизотропию свойств.

Строчечная структура стали значительно чаще возникает из-за загрязнения стали неметаллическими включениями, обычно сульфидами, а также в результате ликвации фосфора.

При обработке давлением включения вытягиваются. Феррит, зарождаясь на вытянутых включениях, образует вытянутые скопления. Строчечность структуры, вызванная неметаллическими включениями, не исправляется отжигом.

Горячекатаная сталь со строчечной

химические свойства, стичность и вязкость и высотном направлении с основным направлением.

Для полной структуры конструкции нагревают до температуру  $A_{c3}$  на высоком нагреве при охлаждении аустенитных зерен прогрева изделия и охлаждать, чтобы обрастило распада аустенита на перлитную структуру, что в свою очередь, низкую температуру и высокую пластичность.

Скорость охлаждения выбирают в зависимости от



Рис. 5.21. Строчечная структура стали, вызванная неметаллическими включениями — центры роста тектоидного феррита

проводят вместе с печью.

Сфероидизирующий отжиг инструментальных сталей (сфероидизация). Инstrumentальные стали для режущего, измерительного инструмента и для инструмента, деформирующего металл в холодном состоянии, содержат углерод в количестве от 0,7 до 2 %. Высокое содержание углерода обуславливает высокую твердость инструментальных сталей, что затрудняет их обработку резанием. Для снижения твердости такие стали отжигают. Для заэвтектоидных сталей сфероидизирующий отжиг, кроме того, подготавливает структуру к закалке.

Наименьшую твердость имеют стали со структурой зернистого перлита, когда цементит перлита имеет округлую форму. Отсюда и название отжига — «сфероидизация».

Зернистый перлит (рис. 5.22) в инструментальных сталях обычно получают путем нагрева сталей до температуры немного выше, чем  $Ac_1$ , 750–770 °C, и последующего медленного охлаждения или изотермической выдержки при субкритической температуре 650–680 °C. При нагреве до температуры, лишь немногого превышающей критическую, даже в заэвтектоидных сталях сохраняются нераспавшиеся мелкие карбидные частицы, которые при охлаждении или изотермической выдержке выполняют роль центров кристаллизации сфероидального цементита.

В заэвтектоидных сталях требуется



Рис. 5.22. Микроструктура персидистой стали после отжига. Зернистый пе-

реноидизировать тоидный цементит, ричный (избыточный) в расшениях режима охлаждения выделяется в виде аустенитных зерен. Этот заэвтектоидный перлит диффузии затруднен, поэтому за предварительно нагрева температуры  $Ac_{cm}$  для охлаждения и охлаждают на воздухе, что вызывает измельчение разрыв сетки цементитных зерен, что облегчает при вторичном нагреве.

Низко-, средневанные инструментальные стали сфероидизируют аналогично, однако чаще вместо заэвтектоидного состояния от температуры охлаждения используют субкритическую выдержку.

Нормализация сталя проводится так же как и перекалка, отжиг, чаще всего для конструкционных ста-

распад аустенита происходит при более низких температурах.

Легированные конструкционные стали с повышенной устойчивостью переохлажденного аустенита после нормализации приобретают высокую твердость, затрудняющую последующую обработку резанием. В связи с этим после нормализации проводят отпуск при температурах, обеспечивающих получение требуемой твердости ( $650-750^{\circ}\text{C}$ , в зависимости от состава стали).

После нормализации углеродистых и низколегированных сталей, так же как и после отжига, образуется ферритно-перлитная структура, однако имеются и существенные структурные отличия (сравните структуры на рис. 5.23). При ускоренном охлаждении, характерном для нормализации, дозвтектоидный феррит при прохождении температурного интервала  $Ar_3 - Ar_1$  выделяется на границах зерен аустенита; поэтому кри-

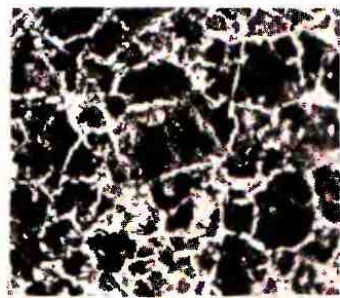
Свойства нормализованных полуфабрикатов висят от сечения: тем быстрее произоходит спокойном воздухе, тем выше прочность стали.

**Закалка сталей.** Сталь при закалке получает структуру наивысшей твердости — мартенсит, при получении которого можно не только повысить пластичность и равной твердости, но и получить лучшие механические свойства, полученные при отпуске. В результате распада аустенита при закалке включением нижнего

В зависимости от химического состава закалку называют полной или неполной. При полной закалке образуются в однофазное состояние, т. е. нагрева



a)



б)

температуру  $Ac_3$  или  $Ac_{cm}$ ; при неполной закалке сталь нагревают до межкритических температур — между  $Ac_1$  и  $Ac_3$  ( $Ac_{cm}$ ) (рис. 5.24).

Доэвтектоидные стали, как правило, подвергают полной закалке, при этом оптимальной температурой нагрева является температура  $Ac_3 + (30 \div 50^{\circ}\text{C})$ . Такая температура обеспечивает получение при нагреве мелкозернистого аустенита и, соответственно, после охлаждения — мелкокристаллического мартенсита. Недогрев до температуры  $Ac_3$  приводит к сохранению в структуре кристаллов доэвтектоидного феррита, что при некотором уменьшении прочности обеспечивает повышенную пластичность закаленной стали.

Заэвтектоидные стали подвергают неполной закалке. Оптимальная температура нагрева углеродистых и низколегированных сталей — температура  $Ac_1 + (30 \div 50^{\circ}\text{C})$ .

После закалки заэвтектоидная сталь приобретает структуру, состоящую из мартенсита и цементита. Кристаллы цементита тверже кристаллов мартенсита, поэтому при неполной закалке заэвтектоидные стали имеют более высокую твердость, чем при полной закалке. Так как сталь предварительно подвергалась сфероидализирующему отжигу, избыточные карбиды округлой формы не вызывают снижения вязкости. Высоколегированные инструментальные стали ледебу-

рятного класса (см. рис. 5.24) при нагреве до температуры  $Ac_3$  в процессе закалки до очень низкой температуры (область I), близких к температуре плавления углерода. При этом происходит растворение карбидов, а также не только углеродистыми элементами, содержащими в структуре карбиды. В результате получается легированный, а следовательно, и пластостойкий мартенсит.

Если высоколегированные инструментальные стали используются для обработки стальных деталей, то температуру закалки определяют по рис. 5.24, область II, т. е. при некотором количестве вторичных карбидов, растворенных в твердом состоянии. При нагреве до температуры  $Ac_3 + (30 \div 50^{\circ}\text{C})$  в структуре кристаллов образуются вторичные карбиды. Применение такой технологии позволяет получить сталь с высокой прочностью и пластичностью.

Для получения структуры, соответствующей оптимальным требованиям к структуре инструментальной стали, необходимо подвергнуть ее термообработке, включающей нагрев до температуры  $Ac_3 + (30 \div 50^{\circ}\text{C})$ , охлаждение с различными скоростями и температурой закалки.

Для углеродистых сталей оптимальная температура нагрева определяется из условия, что

<sup>1</sup> Теплостойкость — это способность инструментальных сталей сохранять высокую прочность и пластичность при нагреве до температур, близких к температуре плавления углерода.

<i>10%-ный раствор в воде:</i>			
NaCl	20	650—100	3
NaOH	20	650—100	2,5
Масло минеральное	20—200	500—250	0,3

чтобы переохладить аустенит таких сталей до температуры мартенситного превращения, необходимо прибегать к очень резкому охлаждению, которое достигается погружением закаливаемых деталей в холодную воду или воду с добавками соли или едкого натра (табл. 5.1).

При охлаждении на поверхности стальной детали не должна образоваться паровая пленка, препятствующая теплообмену с закалочной средой.

Лучшей является стадия пузырькового кипения охлаждающей жидкости. Чем больше температурный интервал этой стадии, тем интенсивнее охлаждает закалочная среда.

Лучше пользоваться добавками едкого натра, так как щелочная среда не вызывает последующей коррозии стальных деталей. Многие легированные стали приобретают мартенситную структуру при охлаждении в холодных или подогретых маслах, а высоколегированные стали закаливаются на мартенсит даже при охлаждении на воздухе.

Охлаждение при закалке наиболее просто осуществляется погружением закаливаемой детали в жидкую среду (во-

сти в температурно-ситного превращения, поэтому возникают изменения напряжения с малой скоростью. Кинескопические наблюдения из-за неодновременного сечению, а также талях сложной формы, напряжения уменьшаются одновременного превращения и понижения в интервале температур.

В практике термообработки сталей широкое и распространение следующие способы, позволяющие значительно уменьшить величину остаточных напряжений в двух средах и

*Закалка в двух средах* (рис. 5.1). Схема показана на рисунке 5.1, под закалку деталь подвергается определенное время в воде, при этом чего достигается быстрое охлаждение температурного и химического состояния, устойчивости остаточных напряжений переносится в более мягкий, обычный для закалки среду.

*Ступенчатая закалка* (рис. 5.2). В такой закалке деталь нагревается в воду, имеющую температуру закалки, и медленно охлаждается в воду, имеющую температуру 50–100 °С выше температуры закаливаемой стали. Деталь остается в воде на некоторое время, на котором происходит равнение температуры, а затем окончательно охлаждается в воздухе.

**Рис. 5.25.** Сопоставление способов охлаждения при закалке сталей:

1 — непрерывное охлаждение; 2 — закалка в двух средах; 3 — ступенчатая закалка; 4 — изотермическая закалка

Получение мартенсита при таком способе охлаждения возможно только в легированных сталях с достаточно высокой устойчивостью переохлажденного аустенита в интервале температур перлитного превращения.

К ступенчатой закалке прибегают обычно при термической обработке инструментов небольшого сечения из низко- и среднелегированных сталей. Достоинство указанного способа охлаждения состоит также в возможности правки инструментов в специальных приспособлениях при охлаждении после изотермической выдержки.

**Изотермическая закалка.** В некоторых случаях после закалки на мартенсит и последующего отпуска не удается получить достаточной прочности и вязкости, тогда применяют изотермическую закалку на нижний бейнит, обладающий высокой вязкостью и прочностью.

При изотермической закалке нагретую деталь переносят в ванну с расплавленными солями, имеющую температуру на 50–100 °С выше мартенситной точки  $M_{\text{н}}$ , и выдерживают при этой температуре до завершения превращения аустенита в бейнит и затем охлаждают на воздухе (см. рис. 5.25).

Изотермическая закалка, так же как

шей 20–25 °С. Обработка холодолегированных сталей в двух средах при температуре  $M_{\text{н}}$  и температуры 20–25 °С после охлаждения детали наряду с мартенситом оказывается значительным остаточным аустенитом, который понижает твердость стали и может вызвать снижение размеров готовых изделий. При охлаждении нестабильной структуры к распаду при низкой температуре с малой скоростью и снижением размеров закаленных изделий, что влечет за собой уменьшение их твердости. Охлаждение до температуры, при которой аустенит превращается в мартенсит. Температура охлаждения сталей изменяется в зависимости от химического состава, поэтому при обработке деталей из различных сталей охлаждают до температуры –196 °С (температура кипения жидкого азота).

Остаточный аустенит, оставшийся в детали после изотермической выдержки при температуре, на которую стабилизирована структура, сколько бы она ни оставалась в детали, не может быть охлаждена до температуры, при которой аустенит превращается в мартенсит. Поэтому при обработке деталей из различных сталей охлаждают до температуры –196 °С (температура кипения жидкого азота).

Обработка холодолегированных инструментов в ваннах с расплавленными солями, имеющими температуру на 50–100 °С выше мартенситной точки  $M_{\text{н}}$ , и выдерживают при этой температуре до завершения превращения аустенита в бейнит и затем охлаждают на воздухе (см. рис. 5.25).

<sup>1</sup> Предложена А. П.

в самых сильных охладителях невозможно добиться одинаковой скорости охлаждения поверхности и сердцевины детали. Следовательно, если скорость охлаждения сердцевины при закалке будет меньше  $v_{kp}$ , то деталь не прокалится насовсем, т. е. там не образуется мартенсит.

Прокаливаемостью называют способность стали закаливаться на определенную глубину. С помощью термокинетических диаграмм можно не только анализировать эту способность стали, но и определять ее, если известны кривые охлаждения закаливаемой детали в различных точках. Этот прием показан на рис. 5.14, где на термокинетическую диаграмму стали 45 нанесены кривые охлаждения в воде детали типа вала в точках, расположенных на поверхности (По) и в центре (Це), на расстоянии  $0,5R$  от поверхности вала ( $R$  — радиус вала). Эти кривые получают

данной стали. Такие же, но полученные экспериментально, приведены в схеме. Изображение показывает, что легирование элементами, кривые охлаждения повышаются. Установлено, что легированного аустенита более трудоемким способом закалки (ГС) дрический образец имеет длиной 0,1 м, на торце закалки, охлаждение только с торца на крае. После охлаждения по образующей график изменения

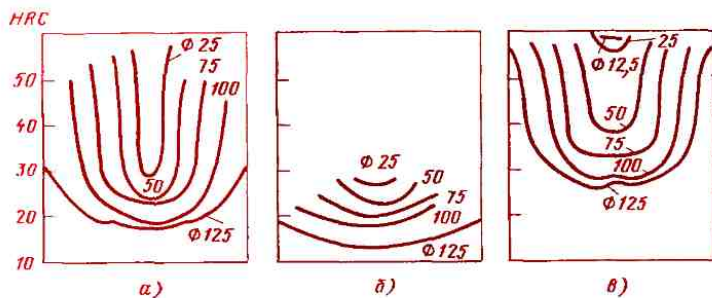


Рис. 5.26. Изменение твердости по сечению образцов из сталей 40 (а, б) и 45 (в, г) при закалке от 830°C в воде (а, в) и в масле (б, г)

**Рис. 5.27.** Изменение твердости по длине образца после торцовой закалки:  
1 — твердость полумартенситной зоны; 2 — сталь с низкой прокаливаемостью; 2 — сталь с высокой прокаливаемостью

образца (рис. 5.27). Оригинальным в этом способе является то, что каждая точка поверхности стандартного образца охлаждается с различной и вполне определенной скоростью. Сопоставление двух кривых на рис. 5.27 наглядно показывает, что сталь «2» имеет более высокую прокаливаемость, чем сталь «1». Прокаливаемость стали одной и той же марки в зависимости от изменений химического состава, размера зерна аустенита (температуры нагрева), размера и формы детали и др. колеблется в значительных пределах. В связи с этим в справочниках прокаливаемость стали каждой марки характеризуется не кривой, а полосой прокаливаемости.

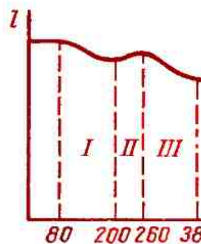
**Отпуск закаленных сталей.** Нагрев закаленных сталей до температур, не превышающих  $A_1$ , называют отпуском.

В результате закалки чаще всего получают структуру мартенсита с некоторым количеством остаточного аустенита, иногда — структуру сорбита, троостита или бейнита. Рассмотрим изменения структуры мартенситно-аустенитной стали при отпуске.

При отпуске происходит несколько процессов. Основной — распад мартенсита, состоящий в выделении углерода

На рис. 5.28 схематично изображено изменение длины зоны с содержанием углеродистой стали больше 0,6% при отпуске. На рисунке было значительное остаточное аустенитное состояние, поддерживавшее легирующее превращение при температуре 200–260°C, (рис. 5.28, I–III).

Первое превращение выделяется часть углеродистого стабильного  $\epsilon$ -карбида сагональную решетку, состоящую, близкую к  $\gamma$ . Первые кристаллы, полученные с решеткой  $\gamma$ , являются твердого раствора, исходит неравномерно, карбидами мартенсита, оставляемым (вблизи карбидных участков с исходным углеродом. Первое превращение происходит малой скоростью и



**Рис. 5.28.** Изменение длины зоны с содержанием углерода стали с содержанием углерода больше 0,6% при отпуске

дается остаточный аустенит и начинается карбидное превращение. Распад мартенсита распространяется на весь объем, концентрационная неоднородность твердого раствора исчезает; в мартенсите остается около 0,2% растворенного углерода. Распад остаточного аустенита происходит по механизму бейнитной реакции: образуется смесь кристаллов низкоуглеродистого мартенсита и дисперсных карбидов. При температурах около 250 °С начинается превращение  $\epsilon$ -карбида в цементит; при этом когерентность решеток твердого раствора и карбида нарушается.

Если в закаленной стали было много остаточного аустенита, то уменьшение плотности при распаде будет большим, чем увеличение плотности, вследствие выделения углерода из мартенсита. В этом случае (см. рис. 5.29) длина закаленного образца увеличится.

*Третье превращение.* Завершаются

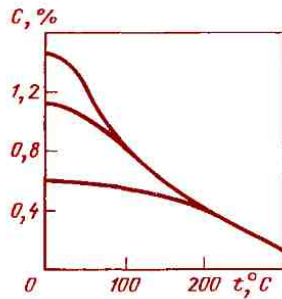


Рис. 5.29. Изменение содержания углерода в мартенсите при отпуске до 300 °C

вавшаяся в конце трещи  
весьма дисперсна и  
кую же твердость,  
зывают трооститом  
стали, образовавши  
рах первого и второго  
зывают отпущенными.

При более высоких  
дистых сталях про-  
структуре, не связанных  
превращениями: и  
размер карбидов и

В интервале темпера-  
вращения цементит пластины.  
С повышением температуры  
происходит коагуляция  
ментита укрупняясь  
криксталлы распадаются  
(крупные растут); про-  
сталлов постепенно  
к сфероидальной. Кон-  
дизация карбидов про-  
ной скоростью, начи-  
350–400 °C. Скорость  
увеличивается при  
туре.

Изменения структу-  
рываются, начи-  
около 400 °C: умень-  
дислокаций, которые  
в мартенсите до-  
устраняются грани-  
чатыми кристаллами,  
тате чего зерна фер-  
ти и их форма прибли-  
таким образом, с при-  
туре отпуска постепен-

шают скорость коагуляции карбидов и влияют на карбидные превращения при отпуске.

При легировании сталей Cr, Mo, W, V, Co и Si затрудняется распад мартенсита: он завершается при нагревах до температуры 450–500 °C; карбидообразующие элементы (Cr, Mo, W, V) уменьшают скорость диффузии углерода вследствие химического сродства с ним; Co и Si, не образующие карбидов в сталях, а также большинство карбидообразующих элементов увеличивают силы межатомной связи в твердом растворе. Вследствие этого стали приобретают повышенную сопротивляемость отпуску (теплостойкость).

В сталях с большим количеством карбидообразующих элементов температурой отпуска определяется тип выделяющихся карбидов. При температурах до ~400 °C подвижность атомов легирующих элементов весьма мала, поэтому вместо специальных карбидов<sup>1</sup> из мартенсита, так же как и в углеродистых сталях, выделяется карбид железа, для образования которого требуется лишь перемещение атомов углерода. При более высоких температурах становится возможным образование специальных карбидов: кристаллы цементита постепенно исчезают, а вместо них появляются более дисперсные специальные карбиды.

<sup>1</sup> Под специальными понимаются карбиды, в состав которых входят легирующие элементы.

Все карбидообразующие элементы медлят коагуляцию карбидов, а карбиды типа M<sub>6</sub>C укрупнение таких карбидов при температуре,

В зависимости от температуры отпуска: низкий при 100–200 °C, средний при 350–450 °C, высокий при 500–680 °C. Продолжительность отпуска при отпуске инструментов определяется расчетом, что температура свойственных отпуску инструментов его чаще всего определяется в зависимости от температуры отпуска. Продолжительность отпуска определяется до 10–15 ч для низкого отпуска (до 100–120 °C). В этом случае при отпуске мерите, когда падение твердости на такой продолжительности исключено в процессе эксплуатации.

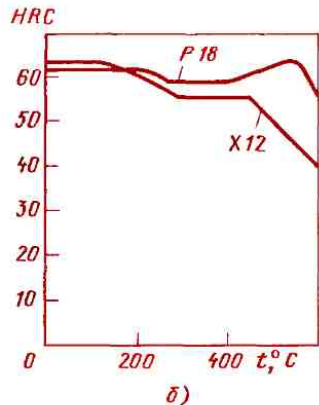
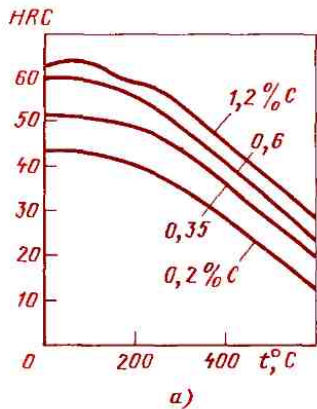
Продолжительность высокого отпуска обычна для сталей 2 ч для деталей массой до 100 кг и от 3 до 8 ч для деталей массой до 1000 кг (диски турбин, валы и целые турбины и другие детали).

Так как структура инструмента формируется в первые часы отпуска, то

воздухе от температуры деформации. При нагреве до температур, меньших  $A_1$ , будут происходить структурные изменения, т. е. указанные структуры тоже «отпускаются».

При нагреве углеродистых сталей с дисперсными перлитными структурами происходят коагуляция и сфероидизация карбидов. В легированных сталях могут происходить и карбидные превращения: если перлитная структура появилась при значительном переохлаждении аустенита (например, структура троостита), когда образование специальных карбидов затруднено, отпуск при температуре 600–700 °C вызовет превращение цементита в специальный карбид.

При отпуске бейнитных структур, помимо указанных процессов, происходит выделение карбидов из  $\alpha$ -твердого раствора и изменение структуры феррита, как и при отпуске мартенсита.



вышеет 0,7 %, твердость прерывно, однако при температур 100–150 °C в перлитных сталях с содержанием углерода вследствие выделения карбидов обладает, поэтому при нагреве до 100–120 °C происходит отпуск. Изменение твердости углеродистых сталей в интервале температур второго превращения зависит от количества углерода в аустените; например, для стали с содержанием 1,2 % С в интервале температур 200–300 °C уменьшается твердость на 10–15 %.

Аналогично углеродистые стали при нагреве меняется твердость в зависимости от легирования сталей, не содержащих легирующих элементов.

### Сильные карбиды

Р  
д  
п  
а  
в  
Х  
от  
18  
за

Для закаленной и неотпущеной ста-  
лей характерны довольно низкие значе-  
ния  $\sigma_v$ , предела упругости и предела теку-  
чести; при отпуске до 300 °C эти характе-  
ристики прочности возрастают; при  
дальнейшем повышении температуры  
отпуска  $\sigma_v$  предел упругости и предел теку-  
чести монотонно снижаются. Наиболее  
высокое отношение  $\sigma_{0.2}/\sigma_v$  в конструк-  
ционных сталях достигается после отпу-  
ска при 300–350 °C (рис. 5.31).

Характеристики пластичности  $\delta$  и  
 $\psi$  возрастают по мере повышения тем-  
пературы отпуска (см. рис. 5.31). Удар-  
ная вязкость непосредственно после за-

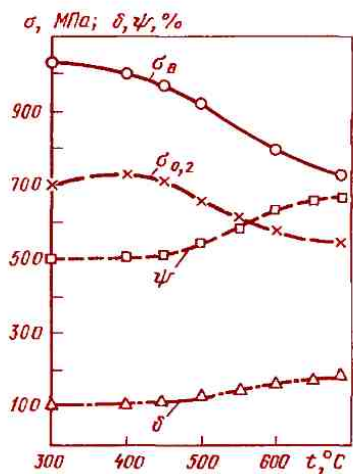


Рис. 5.31. Влияние температуры на механи-  
ческие свойства конструкционной углеродистой ста-  
ли (0,45 % С)

I — отпускная хрупкость  
хрупкость II рода

калки низкая. С по-  
туты отпуска ударна-  
вается, однако есть  
интервала, при кото-  
кой конструкционной  
снижается: 250–350  
жение вязкости со-  
вают отпускной хру-  
(рис. 5.32). Природы  
лей после отпуска п-  
ратурах недостаточн

Понижение удара  
отпуска при 250–  
у всех конструкцион-  
сими от степени леги-  
понижение ударной  
пуска при 500–600 °C  
ко у легированных  
сталей — хромистых,  
моникелевых, хром-  
Снижения вязкости  
дит в случае быст-  
температуры отпуска.  
Отпускная хрупкость  
подавляется даже при  
ждении от темпера-  
нительным легирова-  
деном или вольфрам-  
и 1% соответственно.

Комплексную тер-  
ку, состоящую из по-  
ского отпуска ко-  
лей, называют улуч-  
шением.

ми элементами.

Химико-термическую обработку применяют для повышения твердости, износостойкости, сопротивления усталости и контактной выносливости, а также для защиты от электрохимической и газовой коррозии.

Различают три стадии процесса химико-термической обработки.

На первой стадии протекают химические реакции в исходной (окружающей) среде, в результате которых образуются активные диффундирующие элементы, по-видимому, в ионизированном состоянии.

На второй стадии процесса они усваиваются насыщаемой поверхностью металла – происходит адсорбция или хемосорбция диффундирующих элементов, в результате чего тончайший поверхностный слой насыщается диффундирующим элементом (абсорбция), возникает градиент концентрации – движущая сила для следующей стадии процесса.

Третья стадия – диффузионное проникновение элемента в глубь насыщенного металла, которое сопровождается образованием твердых растворов или фазовой перекристаллизацией.

Первая и вторая стадии процесса химико-термической обработки протекают значительно быстрее третьей – диффузионной стадии, где формируются структура и свойства диффузионной зоны. Третья стадия определяет скорость процесса химико-термической обработки.

участвуют всего ...  
этом предполагает ...  
зационный процесс не ...  
и образующаяся диф ...  
ходится в равновесии

Так, при длительном насыщении ( $\tau_3$ ) элемента в исходной среде можно добиться соответствующего состава диффузии в весной диаграмме состояния. Последовательность процесса при температуре диффузии соответствует расположению стабильных фаз  $\beta$ ,  $\delta$  на рис. 6.1). Однозначными областями горячей диаграммы состояния м...

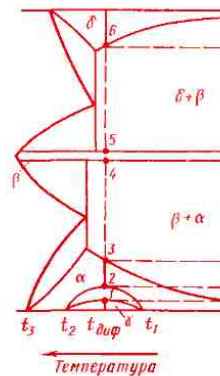


Рис. 6.1. Схема образования диффузионных слоев в соответствии с весной диаграммой состояния, держки  $\tau_1 < \tau_2 < \tau_3$

двуихфазная смесь может образоваться в диффузионной зоне в результате фазовой перекристаллизации в процессе охлаждения от температуры диффузионного насыщения (рис. 6.2), в то время как при диффузионном насыщении образуется твердый раствор  $\gamma$  переменной концентрации<sup>1</sup>.

Для однофазных областей диффузионной зоны зависимость роста толщины слоя от продолжительности насыщения при  $t_{\text{диф}} = \text{const}$  подчиняется параболическому закону:  $\Delta = k_1 \sqrt{\tau}$ , а зависимость толщины слоя от температуры при  $\tau = \text{const}$  – экспоненциальному:  $\Delta = k_2 e^{-Q/RT}$ , где  $k_1$  и  $k_2$  – константы, а  $Q$  – энергия активации диффузионных процессов. Толщина диффузионного слоя при  $t_{\text{диф}} = \text{const}$  и  $\tau = \text{const}$  тем больше, чем выше концентрация диффундирующего элемента на насыщаемой поверхности.

Существует множество способов химико-термической обработки, однако наибольшее распространение в промышленности получили процессы диффузионного насыщения из активных жидких и газовых сред. Более рациональной исходной средой является активированная газовая среда, т. е. среда, лишен-

Рис. 6.2. Равновесное тоидным превращени

ная нейтральных сей, где активный элемент образуется цииации, диспропорционированные восстановительных называются ведущие химические ре- риментально или В последнем случае считается реакция, рицательный изоба- бодную энергию Г константу равновесия исходную газовую ионизацией в тлею

## 6.2. Диффузионное углеродом и азотом

Диффузионное насыщение углеродом, азотом и другими элементами – наиболее распространенные в промышленности методы термической обработки.

Углерод и азот легче всего проникают в поверхность стали, образуя твердые растворы, что особенно быстро для углерода, образуя слои за-

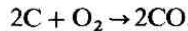
Цементация ста- процесс диффузии углеродом назы

<sup>1</sup> Двуихфазные области могут также образоваться при насыщении сплава каким-либо элементом или чистого элемента сразу двумя диффундирующими элементами, так как в тройных системах возможно существование двойных смесей из фаз переменного состава.

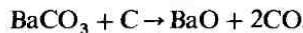
омедицинским. Толщина медного слоя составляет 0,02–0,05 мм.

Цементации обычно подвергают такие детали машин, которые должны иметь износостойкую рабочую поверхность и вязкую сердцевину: зубчатые колеса, валы и пальцы, распределительные валики, кулачки, червяки и т. д.

**Карбюризаторы.** Исходную среду для цементации (науглероживания) принято называть карбюризатором. В основном применяют два способа цементации: в твердом и в газовом карбюризаторе. Несмотря на различные названия, процесс цементации в твердом и газовом карбюризаторе идет через газовую фазу. Наиболее распространенный твердый карбюризатор состоит в основном из древесного угля с добавкой 20–25 % углекислого бария для интенсификации процесса и 3–5 %  $\text{CaCO}_3$  для предотвращения спекания частиц карбюризатора. Детали, подлежащие цементации, и карбюризатор упаковываются в контейнер (стальной ящик) и нагреваются в печи до 910–930 °С. При нагреве уголь взаимодействует с кислородом остаточного воздуха по реакции



Кроме того, оксид углерода образуется в результате реакции



На поверхности деталей протекает ведущая процесс цементации реакция дис-

карбюризатора  
вленный природны



Рис. 6.3. Микроструктура слоя после цементации стали, X50:

1 – залегающая зона  
3 – доэвтектоидная зона

в газе СО возможна также реакция  $2\text{CO} \rightarrow \text{CO}_2 + \text{C}$ . В зависимости от состава газовой смеси и содержания углерода в стали атмосфера в рабочем пространстве печи может быть науглероживающей, обезуглероживающей и нейтральной. Нейтральному составу газовой смеси соответствует определенная равновесная концентрация углерода на поверхности стальной детали. Эту концентрацию углерода принято называть углеродным потенциалом контролируемой атмосферы. Следовательно, науглероживание будет происходить в том случае, если концентрация углерода на поверхности стали будет меньше углеродного потенциала газовой смеси при данной температуре.

*Структура цементованного слоя.* Типичная структура цементованного слоя на поверхности низкоуглеродистой стали после медленного охлаждения от температуры цементации показана на рис. 6.3. Обычно ее сопоставляют со схемами на рис. 6.4. Наружная часть слоя, содержащая больше 0,8 % С, имеет структуру заэвтектоидных сталей — перлит и вторичный цементит, который при медленном охлаждении выделяется на границах аустенитных зерен в виде оболочек (на шлифе сетка). Средняя часть слоя, имеющая эвтектоидную концентрацию, состоит из перлита. Далее по направлению к сердцевине концентрация углерода уменьшается, структура соответствует доэвтектоидной ста-

структуре. Исследуется крупнозернистый выдержкой в атмосфере науглероживания изотермической выдержки зависит от заданной марки цементирую-

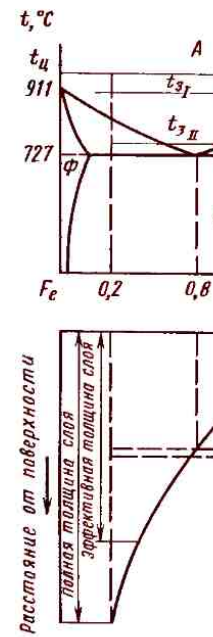


Рис. 6.4. Участок диаграммы изменения содержания углерода по толщине цементованного слоя  
 $t_4$  — температура цементации; нагрева при первой за- нагрева при второй зака-

2,5–3	—	—	0,07	0,1	0,16	0,21	0,27
3–3,5	—	—	0,04	0,06	0,12	0,18	0,25
3,5–4	—	—					

Процесс газовой цементации идет быстрее, так как не приходится нагревать ящик с карбюризатором (табл. 6.1). Кроме того, процесс газовой цементации легко регулируется и автоматизируется. На заводах работают автоматизированные агрегаты для цементации, которые регулируют процесс по углеродному потенциалу.

*Термическая обработка после цементации.* Для получения заданного комплекса механических свойств после цементации необходима дополнительная термическая обработка деталей.

В зависимости от условий работы, а также от выбранной для изготовления детали стали режим упрочняющей термической обработки может быть различен. Для тяжелонагруженных трущихся деталей машин, испытывающих в условиях работы динамическое нагружение, в результате термической обработки нужно получить не только высокую поверхностную твердость, но и высокую прочность (например, для зубчатых колес – высокую прочность на изгиб) и высокую ударную вязкость. Для обеспечения указанных свойств требуется получить мелкое зерно как на поверхности детали, так и в сердцевине. В таких ответственных случаях цементованные детали подвергают сложной термической обработке, состоящей из двух последо-

вательностей продуктов: при температуре  $t_{3,p}$ , как видим, диффузионный слой, нитное состояние, приводящее к выделению закалки.

При второй закалке до температуры  $t_{3,p}$  – 30–50 °С температура нагрева, полученный в результате пускается, что сопровождается глобуллярным в определенном количестве, после неполной заэвтектоидной заэвтектоидной вязкости. Испечивает также мелкое зерно в рожденном слое.

Окончательной обработкой является термическая обработка при 160–200 °С, уменьшающая напряжения и повышающая твердость стали (рис. 6.5).

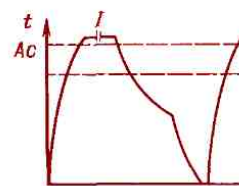


Рис. 6.5. Режим термической обработки ответственных деталей цементации (схема): I – цементация; II – двойной отпуск

нита или низкоуглеродистого мартенсита. Во всех случаях из-за низкого содержания углерода будет обеспечена достаточно высокая ударная вязкость.

Детали менее ответственного назначения после цементации подвергают более простой термической обработке, состоящей из одной закалки и низкого отпуска.

Если для цементации выбирают природно мелкозернистые стали и содержание углерода на поверхности близко к эвтектоидному, то и при одной закалке получают удовлетворительные свойства, как в сердцевине, так и в цементованном слое. Однократная закалка широко используется на заводах массового производства, где цементацию ведут в газовом карбюризаторе. Выгодно

закалке и высокому (и чистовой обработке) и чистовой обработке детали получают.

Обычное азотирование проводят при температуре 500–600 °С в специальных контейнерах, через которые проходит диссоциирующий азот.

Вероятно, что на поверхности происходит взаимодействие азота с атомами углерода, которые адсорбируются на поверхности детали, а затем диффундируют вглубь.

При нагреве азотированной стали объем возрастают за счет образования газа:



который не может уйти из-за блокировки в сталь без ионизации.

Формирование структуры азотированной зоны в углеродистых сталях происходит примерно так же, как и при термическом обогащении железа. На рисунке 6.6 приведена диаграмма термического цикла, позволяющая предсказать структуру азотированной зоны низкоуглеродистых сталей. При нагреве насыщенного железа в азоте при температуре ниже 590 °С образуется а-твердый раствор азота в железе, затем слой азотированной зоны сформируется за счет диффузии азота вглубь и упорядочения расположения атомов азота в структурных ячейках. Обычно термическая обработка завершается отпуском для снижения напряженности в поверхностном слое и упорядочением структуры.

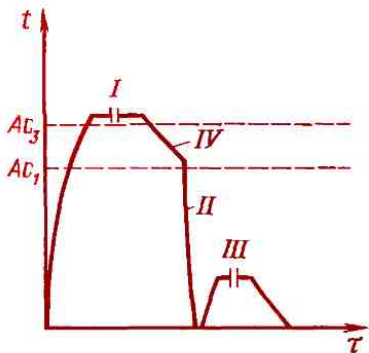


Рис. 6.6. Режим термической обработки при однократной закалке после цементации:  
I – цементация; II – закалка; III – отпуск;  
IV – подстуживание



**Рис. 6.7.** Участок диаграммы Fe–N. Изменение содержания азота и фазового состава по толщине слоя при  $t_{\text{азот}}$

атомов в широком интервале концентраций азота.

При медленном охлаждении после азотирования вследствие переменной растворимости азота в  $\alpha$ - и  $\epsilon$ -фазах (см. рис. 6.7) происходит выделение избыточной  $\gamma'_{\text{II}}$ -фазы, и структура азотированной зоны от поверхности к сердцевине становится следующей:  $(\epsilon + \gamma'_{\text{II}}) - \gamma' - (\alpha + \gamma'_{\text{II}}) - \alpha$ .

При азотировании углеродистых сталей с увеличением содержания углерода уменьшается скорость диффузии азота и возможно образование карбонитридных фаз.

Азотированная сталь, имеющая на поверхности слой  $\epsilon$ -фазы, коррозионностойка в воде и в атмосферных условиях. В системе Fe–N  $\epsilon$ - и  $\gamma'$ -фазы имеют сравнительно невысокую твердость, соответственно  $HV\ 4500$  и  $HV\ 5500$  МПа. Значительно большая твердость достигается при азотировании специально легированных сталей — нитраллоев, которые содержат более активные нитridoобразующие элементы: Cr, Mo, Al, V, Ti.

образований из зародышей нитридов легированных сталей симальная твердость

Высокие твердости получаются после азотированной стали Зн-Мn (0,35–0,42 % С; 1,10 % Mn и 0,15–0,20 % Cr), легированное молибденом позволяет азотированной структуре азотированной Молибден также повышать хрупкость, которая может возникнуть при медленном охлаждении структуры азотированной стали.

Процесс азотирования — это последовательная операция: подготовка к азотированию, создание зону термической обработки, получают при 500–550 °C, поддержки. Такую же структуру получить за 40 ч при ступенчатый нагрева от 510 °C–15 ч и 550 °C–15 ч.

По сравнению с азотированные слои, имеющие более высокую твердость, они имеют более высокую коррозионную стойкость. Однако они используют реже, так как при большой длительности термической обработки толщины упрочненного слоя ограничивает величину максимальных нагрузок на поверхность.

**Ионное азотирование**  
Для активизации поверхности в газовой среде и на наружных поверхностях применяют ионное азотирование.

запускается катодным распылением в разреженном азотсодержащем газе или водороде. При напряжении около 1000 В и давлении 13,33–26,66 Па (1–2 мм рт. ст.) ионы газа бомбардируют и очищают поверхность катода (деталей). Поверхность при этом нагревается до температуры не более 200 °С. Затем устанавливается рабочий режим в диапазоне основных параметров: напряжение 300–800 В, давление 133,3–1333 Па (1–10 мм рт. ст.), удельная мощность 0,7–1 Вт/см<sup>2</sup>. Поверхность детали нагревается до требуемой температуры (450–550 °С) в результате бомбардировки положительными ионами газа. Ионы азота поглощаются поверхностью катода (детали), а затем идет диффузия вглубь. Параллельно с этим протекает процесс катодного распыления поверхности, что позволяет проводить азотирование трудноазотируемым сплавам, самопроизвольно покрывающихся защитной оксидной пленкой, которая препятствует проникновению азота при обычном азотировании. Ионное азотирование инструментов из быстрорежущей стали повышает стойкость в 2–5 раз в зависимости от условий резания.

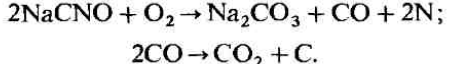
Наряду с ионным азотированием начинают применять ионную цементацию деталей. В отличие от ионного азотирования при ионной цементации требуется более высокая температура нагрева поверхности (900–1050 °С), что достигается либо увеличением удельной мощности,

показавшими лучшие результаты, чем традиционными способами азотирования.

Одновременное насыщение стали углеродом и азотом показали, что в ряде случаев диффузионное насыщение углеродом позволяет получить более высокие преимущества азота, поскольку это способствует снижению температуры диффузии и получению более высоких механических свойств. Рождение, как правило, уменьшается и последующую за ним обработку сразу же после диффузии. Такой прием называется нитроцементацией, т. к. в результате явлется смесь углерода с 3–5% аммиаком, в зоне которого образуются карбиды и цементованный слой, а также износ и коррозия.

Нитроцементация применяется на автомобильных заводах для упрочнения нешлифуемых деталей.

Одновременное насыщение стали углеродом и азотом проводится при температуре расплавленных солей, в частности, нитрата натрия. В ванну вводят 25% NaCN, 25–50% Na<sub>2</sub>CO<sub>3</sub>, за 1 ч выдерживают при температуре 800 °С. Диффузионный слой имеет толщину 0,5–1,5 мкм.



Нейтральные соли  $\text{NaCl}$  и  $\text{Na}_2\text{CO}_3$  добавляют для повышения температуры плавления ванны, что несколько уменьшает испарение дорогих и ядовитых солей при температурах цианирования.

Существенный недостаток цианирования — ядовитость цианистых солей, что требует принятия специальных мер по охране труда и окружающей среды.

В связи с этим разработаны низкотемпературные процессы насыщения азотом и углеродом из расплавов нетоксичных солей — цианатов и карбонатов. Такие процессы известны под названием «Карбонитрация» (СССР), «Тенифер» (ФРГ) и «Мелонайт» (США).

Специальными мерами (продувка ванны воздухом, охлаждение деталей в расплаве едкого натра и нитрита натрия) добиваются ликвидации образования ионов  $[\text{CN}^-]$ .

Для повышения стойкости быстрорежущего инструмента после закалки и высокого отпуска проводят карбонитрацию.

В зависимости от вида инструмента режим процесса устанавливают в следующих пределах: температура расплава  $530\text{--}570^\circ\text{C}$ , время выдержки  $5\text{--}30$  мин.

фундирующий э (NH<sub>4</sub>Cl, NH<sub>4</sub>J и л рошок (шамот, предвращения с

Насыщаемые де ком упаковывают тейнеры с плавки вают в печи до 10 вают несколько диффузионных с щины и структур

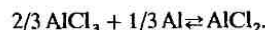
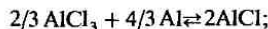
Примеры неко смесей приведены

ТАБЛИЦА 6.2. Составы для ванн

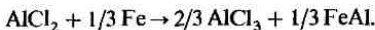
Процесс химико-термической обработки	
Алитирова ние	49—49,5 Fe
	1—2 Ni
Хромирова ние	99,5 Fe
	50 FeCr
Силицирова ние	60 FeSi
	1,2 Ni
	40 Si
	75 FeSi

В процессе химико-термической обработки в контейнерах одновременно протекает н

верстия или плавкий затвор контейнера, а более устойчивые и тяжелые пары хлористого алюминия реагируют с алюминием по реакциям диспропорционирования



Процесс алитирования различных сплавов происходит либо в результате выделения на насыщаемой поверхности алюминия по реакциям диспропорционирования, либо в результате взаимодействия субхлоридов  $\text{AlCl}_2$  и  $\text{AlCl}$  с элементами насыщаемых сплавов по реакциям типа



В соответствии с приведенными реакциями в контейнере в ходе диффузионного насыщения алюминием восстанавливается  $\text{AlCl}_3$ , который вновь вступает в обратимые реакции.

На этом принципе основан циркуляционный метод диффузионного насыщения металлов различными элементами. Так, для алитирования в хлоридной среде достаточно в рабочую камеру установки, где находятся обрабатываемые детали и алюминий, ввести пары хлористого алюминия после удаления воздуха. При температуре алитирования в рабочей камере (муфеле) устанавливается термодинамическое равновесие составляющих газовой смеси (рис. 6.8), и процесс алитирования происходит в результате нарушения и восстановле-

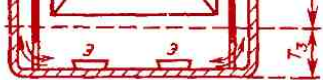
Рис. 6.8. Зависимость хлоридов алюминия суммарном давлении  
1 —  $\text{AlCl}$ ; 2 —  $\text{AlCl}_2$ ; 3 —

ния этого равновесия насыщаемой поверхности расплавленной

Циркуляционным проводить диффузию не только алюминием, но и рядом других элементов, так и схематично на рис. 6.9.

В замкнутом рабочем пространстве установки диффундирующие пары переносятся при смене давления в результате обратимых химических реакций. В муфеле установки раздельное расположение деталей и материала, фундирующий элемент циркуляционного парциального давления, диффундирующие зонами расположены в рабочем пространстве камеры и насыщаемые детали. Давление порождается температурой между фундирующими элементами и насыщаемыми деталями.

Термодинамически



**Рис. 6.9.** Схема циркуляционной установки для диффузионного насыщения металлов (Э – диффундирующий элемент, Д – насыщаемые детали):

1, 6 – патрубки газопроводов; 2 – муфель; 3 – реверсивный вентилятор; 4 – крышка муфеля; 5 – направляющий цилиндр

ного состава хлоридов алюминия при  $900^{\circ}\text{C}$  показывает различие парциального давления дихлорида алюминия (газа-переносчика диффундирующего элемента) над поверхностью алюминия, где активность  $a_{\text{Al}} = 1$ , и над поверхностью фазы  $\text{FeAl}$ , где  $a_{\text{Al}} = 0,066$ . Из табл. 6.3 видно, что равновесное парциальное давление дихлорида алюминия над поверхностью алюминия больше, чем над поверхностью  $\text{FeAl}$ , содержащего 50 ат. % алюминия.

**ТАБЛИЦА 6.3. Равновесный состав хлоридов алюминия над поверхностью алюминия и фазы  $\text{FeAl}$  при  $900^{\circ}\text{C}$**

Контактная поверхность	Равновесное парциальное давление, отн. ед.		
	$\text{AlCl}_3$	$\text{AlCl}_2$	$\text{AlCl}$
Жидкий алюминий	0,4530	0,5338	0,01414
Фаза $\text{FeAl}$	0,7070	0,2908	0,00269

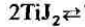
давления, однако при температуре  $900^{\circ}\text{C}$  его давление  $\text{AlCl}$  в этих условиях участвует в переносе.

Диффузионное насыщение металлом в изотермических условиях температурном режиме с определенным расположением диффундирующего элемента.

Для получения равновесных условий на деталях в междоузлиях установки поддерживается движение газа.

Циркуляционный метод может давать качественные результаты для многокомпонентных систем, если газы практически чистой газообразной фазы и не содержат вспомогательных добавок и примесей других элементов.

Процесс можно вести в замкнутом (взрывобезопасном) газовом контуре. Ведущими обратимыми процессами могут быть следующие:



В связи с этим на основании предварительных термодинамических расчетов устанавливают ведущие обратимые реакции, варьируя четырьмя галоидами (Cl, J, Br, F).

Для получения многокомпонентных покрытий в рабочую камеру установки загружают одновременно несколько диффундирующих элементов, проведя предварительно термодинамический расчет состава образующейся газовой смеси.

Диффузионные покрытия можно также получать в расплавленных жидкых средах.

Применяют жидкофазное алитирование в расплавах на основе алюминия. Для предотвращения разъединения поверхности деталей в алюминиевую ванну добавляют основной металл насыщаемой поверхности. Например, при алитировании сталей добавляют 3–4% Fe. Однако жидкофазное алитирование не получило распространения в связи с налипанием алюминия на насыщаемую поверхность и другими недостатками.

Наиболее широко используется борирование сталей в расплавах буры с добавками восстановителей – карбидов бора и кремния ( $70\% \text{Na}_2\text{B}_4\text{O}_7 + 30\% \text{B}_4\text{C}$  или  $70\% \text{Na}_2\text{B}_4\text{O}_7 + 30\% \text{SiC}$ ). Насыщение бором проводят при температуре 850–1050 °C в течение 2–10 ч. Электролизное борирование в расплавленной буре значительно ускоряет процесс диффузионного насыщения. Катодом являются борируемые детали, анодом – графитовые электроды либо тигель из

и  $\text{ZrO}_2$ , препятствующий выгоранию борода.

Хромирование сталей (0,3–0,4% C) путем повышения стойкости, так как на поверхности образуется тонкий слой хромкарбива  $(\text{Cr}, \text{Fe})_7\text{C}_3$  с твердостью  $HV_{10}$  смотря на температуру  $(HV\ 2000\text{--}3000)$ , что хорошо сопротивляет предварительной прокаливке при 170–200 °C.

Высокой износостойкостью обладают диффузионные борированные стали. Износостойкость борированных сталей в условиях трения в 4–6 раз износостойкнее и в 1,5–3 раза износостойкость обычных сталей.

Износостойкость борированных слоев ( $\text{FeB}$ ) выше износостойкости слоев ( $\text{Fe}_2\text{B}$ ), а в условиях изнашивания находят износостойкости хромированных слоев.

Диффузионными методами значительно повышается износостойкость углеродистых сталей в водных растворах сильных кислот.

Наибольшей стойкостью в 10%-ном водном растворе сильной кислоты обладают борированные и хромоалюминиевые стали. Несколько уступают им

CH<sub>3</sub>COOH

Сталь У8

Cr

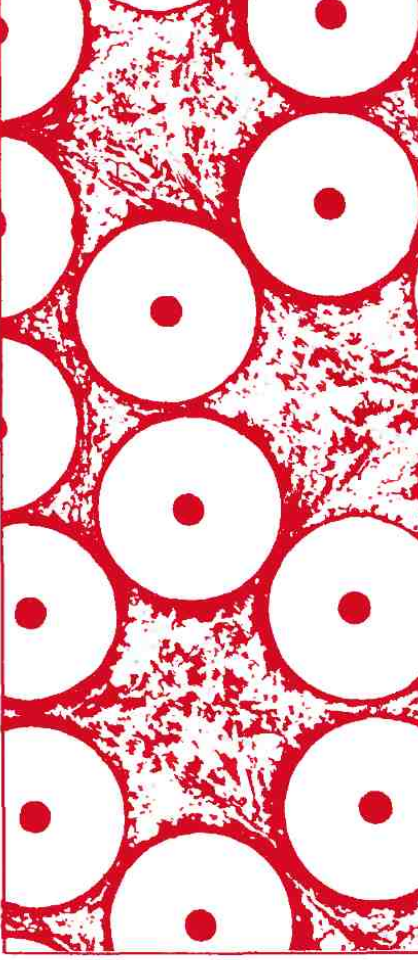
 $+ 4,5 \text{ AlF}_3$   
 $96[40 \text{ Al}_2\text{O}_3 + 60(10\text{Al} + 90\text{Cr}_2\text{O}_3)$   
 $+ 4\text{AlF}_3]$ 

и хромотитаноалитированные стали. Борированные стали хорошо сопротивляются действию 10%-ной серной и 30%-ной соляной кислоты. Борированные и особенно хромосилицированные стали обладают высокой коррозионной стойкостью в 40%-ной фосфорной кислоте. Хромированные стали устойчивы к коррозии в 3%-ном водном растворе хлористого натрия (морской воде), но лучшие результаты получены после цирконоалитирования и титаноалитирования сталей. Хромированные высокоуглеродистые стали обладают хорошей коррозионной стойкостью к действию 50%-ных водных растворов уксусной кислоты.

Однако следует приведенные выше справедливы в том случае, если покрытия для соответствующих структур. Следует рекомендовать исследование покрытий и технологий микротермической обработки.

Некоторые оптимальные обработки приведены в таблице 1.

Обработанные по оптимальным диффузионным режимам высокоуглеродистые стали по своим свойствам уступают дорогим аустенитным сталям.



или детали машин, приборов, аэронавтических конструкций, подвергающиеся механическим нагрузкам. Детали машин и приборов характеризуются большим разнообразием форм, размеров, условий эксплуатации. Они работают при статических, циклических и ударных нагрузках, при низких и высоких температурах, в контакте с различными средами. Эти факторы определяют требования к конструкционным материалам, основные из которых — эксплуатационные, технологические и экономические.

*Эксплуатационные требования* имеют первостепенное значение. Для того чтобы обеспечить работоспособность конкретных машин и приборов, конструкционный материал должен иметь высокую конструкционную прочность.

*Конструкционной прочностью* называется комплекс механических свойств, обеспечивающих надежную и длительную работу материала в условиях эксплуатации.

Механические свойства, определяющие конструкционную прочность и выбор конструкционного материала, рассмотрены ниже (см. п. 7.2). Требуемые характеристики механических свойств материала для конкретного изделия зависят не только от силовых факторов, но и воздействия на него рабочей среды и температуры.

Среда — жидккая, газообразная, ионизированная, радиационная, в которой работает материал, оказывает существенное и преимущественно отрицательное влияние на его механические свойства,

нестабильности и разрушения (внешностного слоя в результате действия нежелательными элементами, например водородом, вызывающим гидратацию). Кроме того, в рабочей среде может возникнуть и местное разрушение, например в результате изотропного или анизотропного облучения. Для того чтобы конструкция могла выстоять рабочей среде, материал должен обладать не только прочностью, но и определенными специальными свойствами: стойкостью к химической коррозии (окалиностойкостью), стойкостью к химической коррозии, стойкостью к агрессивным средам, способностью работать в широком диапазоне температур и др.

Температурный диапазон применения различных материалов варьирует от  $-269$  до  $1000^{\circ}\text{C}$ , а для некоторых материалов — от  $-269$  до  $2500^{\circ}\text{C}$ . Для обеспечения работоспособности при высоких температурах материала требуется, чтобы он сохранял прочность и стойкость при низкой температуре.

В некоторых случаях кроме прочности требуется также требование стойкости к агрессивным средам, стойкости к химической коррозии, стойкости к износу, стойкости к тепловому износу, стойкости к износу и т. д. (стремление к снижению массы деталей приборов).

Технологические свойства определяют технологичность материала, то есть способность обеспечить наименее затратный и высокопроизводительный метод изготовления деталей. Технологичность материала определяет возможные методы обработки

держать минимальное количество легирующих элементов. Использование материалов, содержащих легирующие элементы, должно быть обосновано повышением эксплуатационных свойств деталей.

Экономические требования, так же как и технологические, приобретают особое значение при массовом масштабе производства.

Таким образом, качественный конструкционный материал должен удовлетворять комплексу требований.

прочности рассчитаны на рабочие напряжения, которые больше прочности материала и, как следствие, превышают допустимые пределы и тем самым меняют конструкцию детали.

Однако повышенная прочность материала и, как следствие, превышение пределов пропорциональной упругости сопровождается упругими деформациями.

$$\varepsilon_{\text{упр}} =$$

где  $E$  — модуль нормальных напряжений.

Для ограничения упругих деформаций материал должен обладать высоким модулем упругости (иначе говоря, быть эластичным), но критерии жесткости и прочности не всегда обуславливают разные требования к материалам, корпусам редукторов, коробкам передач, листовым деталям, от которых требуется определенных размеров и т. д.

Возможно и противоположное ограничение. Для пружин, имеющих высокую чувствительность к упругим деформациям, наоборот, требуется большое упругое сопротивление скольжению  $\varepsilon_{\text{упр}}^{\text{max}} = \sigma_{\text{упр}} / E$ , а для пружин требуется высокий предел текучести и низкий модуль упругости.

Для конструкционных материалов в авиационной и ракетной технике большое значение имеет значение удельной прочности материала по массе. Удельными характеристиками являются удельная прочность и удельная прочность  $\sigma_w / (\rho g)$ .

## 7.2. Конструкционная прочность материалов и критерии ее оценки

Конструкционная прочность — комплексная характеристика, включающая сочетание критериев прочности, надежности и долговечности:

Критерии прочности материала выбираются в зависимости от условий его работы. Критериями прочности при статических нагрузках являются временное сопротивление  $\sigma_v$  или предел текучести  $\sigma_{0,2}$  ( $\sigma_t$ ), характеризующие сопротивление материала пластической деформации<sup>1</sup>. Поскольку при работе большинства деталей пластическая де-

<sup>1</sup> Характеристики  $\sigma_v$  и  $\sigma_{0,2}$  используют также для оценки прочности деталей при кратковременных циклических перегрузках и при малом числе циклов ( $< 10^3$ ).

дломной прочности исследованием характеристик прочности при рабочих температурах и в эксплуатационных средах.

Например, для расчета на прочность вала, работающего во влажной атмосфере при 250 °C, необходимы  $\sigma_b$ ,  $\sigma_{0,2}$ ,  $E$  для такой температуры, а также  $\sigma_{-1}$ , определенный во влажной среде и при нагреве.

**Надежность** — свойство материала противостоять хрупкому разрушению. Хрупкое разрушение вызывает внезапный отказ деталей в условиях эксплуатации. Оно считается наиболее опасным из-за протекания с большой скоростью при напряжениях ниже расчетных, а также возможных аварийных последствий<sup>1</sup>.

Для предупреждения хрупкого разрушения конструкционные материалы должны обладать достаточной пластичностью ( $\delta$ ,  $\psi$ ) и ударной вязкостью (KCU). Однако эти параметры надежности, определенные на небольших лабораторных образцах без учета условий эксплуатации конкретной детали, достаточно показательны лишь для мягких малопрочных материалов. Между тем стремление к уменьшению металлоемкости конструкций ведет к более широкому применению высокопрочных и, как правило, менее пластичных материалов с повышенной склонностью к хрупкому разрушению. Необходимо также учиты-

вать при проектировании параметров надежности машины и развитие трещины.

Количественная оценка надежности основывается на линейном моделировании. В соответствии с этим представлениями высокопрочные и небольшие трещины эволюционируют в процессе технологического производства (вспомогательных операций при сварке, термоизменения и т. п.). Трещины, концентрирующиеся в концентраторами напряжения (угловые, кромочные, кильватерные) напряжения в зоне концентрации могут во много раз превышать расчетные напряжения (рис. 7.1).

Для трещины длиной

напряжение в вершине

$$\sigma_y^{\max} = \sigma_y$$

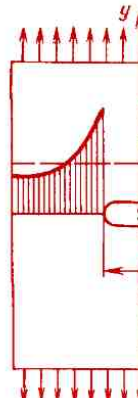


Рис. 7.1. Концентрация напряжений в зоне эллиптической трещины

<sup>1</sup> Известно немало аварий из-за хрупкого разрушения корпусов судов, ферм мостов, трубопроводов и других конструкций.

но чувствительны к надрезам. В силу того, что дислокации заблокированы и пластическая деформация невозможна, при увеличении средних напряжений локальные напряжения  $\sigma_y^{\max}$  повышаются настолько, что вызывают разрыв межатомных связей и развитие трещины. Рост трещины не тормозится, как в пластичных материалах, а, наоборот, ускоряется. После достижения некоторой критической величины наступает самопроизвольный лавинообразный рост трещины, вызывающей хрупкое разрушение.

Так как высокопрочные материалы обладают определенной пластичностью, то для них реальную опасность представляют трещины не любых размеров, а только критической длины  $l_{kp}$ . Подрастание трещины до  $l_{kp}$  тормозится в них местной пластической деформацией. Но при определенном сочетании рабочего напряжения и длины дефекта равновесное положение трещины нарушается, и происходит самопроизвольное разрушение.

Оценку надежности высокопрочных материалов по размеру допустимого дефекта (меньше критического) проводят по критериям Ж. Ирвина. Им предложено два критерия трещиностойкости, из которых наибольшее применение имеет критерий  $K$ . Критерий  $K$  называют коэффициентом интенсивности напряжений в вершине трещины. Он определяет растягивающие напряжения  $\sigma_y$  в любой точке (рис. 7.2) впереди вершины трещины:

$$\sigma_y = K / \sqrt{2\pi x}. \quad (7.2)$$

Знаменатель дроби обращается в единицу при  $x \approx 0,16$ , поэтому  $K$  численно равен  $\sigma_y$  на расстоянии  $\sim 0,16$  мм от вершины трещины.

Критерий  $K$  для наиболее жесткого нагружения (плоская деформация растяжением)

обозначают  $K_1$ , а при ского значения, когда переходит в нестабильный  $K_{1c}$  показывает, каковы (нестабильности) достигает напряжения трещины в моменте, когда она связывает приложенное с критической длиной.

$$K_{1c} = \sigma_c$$

где  $\alpha$  — безразмерный коэффициент, характеризующий геометрию образца.

Из соотношения (7.2) видно, что  $K_{1c}$  имеет размерность М<sup>0,5</sup>.

Значение  $K_{1c}$  определяется экспериментально на образцах с надрезом, имеющим форму, изображенную на рисунке 7.3. Для этого в процессе нагружения образца фиксируют величину и переход ее в различные стадии разрушению.

Величина  $K_{1c}$  зависит от величины пластической деформации в вершине трещины (ее затупления), сопротивление разрушению трещины. По этой причине  $K_{1c}$  называют вязкостью разрушения.

**Рис. 7.3. Образец для определения  $K_{1c}$**

Рис. 7.4. Зависимость критического напряжения  $\sigma$  от размера дефекта  $l$  для двух материалов (I и II) с разным значением  $K_{1c}$  ( $K_{1c}^{\text{II}} > K_{1c}^{\text{I}}$ )

он больше, тем выше сопротивление материала вязкому разрушению и его надежность. Кроме качественной характеристики надежности,  $K_{1c}$  дополняет параметры  $\sigma_{0,2}$  и  $E$  при расчетах на прочность деталей из высокопрочных материалов (сталей с  $\sigma_b \geq 1200$  МПа, титановых сплавов с  $\sigma_b \geq 800$  МПа и алюминиевых сплавов с  $\sigma_b \geq 450$  МПа). Он позволяет определить безопасный размер трещины при известном рабочем напряжении или, наоборот, безопасное напряжение при известном размере дефекта. Например, при рабочем напряжении  $\sigma_p$  (рис. 7.4) трещина длиной  $l$  будет безопасной для материала II (кривая II) и вызовет разрушение в материале I (кривая I), имеющего меньшее значение  $K_{1c}$  ( $K_{1c}^{\text{I}} < K_{1c}^{\text{II}}$ ).

Для оценки надежности материала используют также параметры: 1) ударную вязкость  $KCV$  и  $KCT$ ; 2) температурный порог хладноломкости  $t_{50}$ . Однако эти параметры только качественные, непригодные для расчета на прочность.

Параметром  $KCV$  оценивают пригодность материала для сосудов давления, трубопроводов и других конструкций повышенной надежности.

Параметр  $KCT$ , определяемый на образцах с трещиной усталости у осно-

учтывают при в конструкций особо значения (летательных турбин и т. п.). Порог хладноломкости влияние снижения склонность материала к разрушению. Его определяют в результате ударных испытаний нарезом при понижении температуры. Сочетание при такой температуре основных параметров ствующих охрупчивания и оценки поведения материала в условиях малых нагружений.

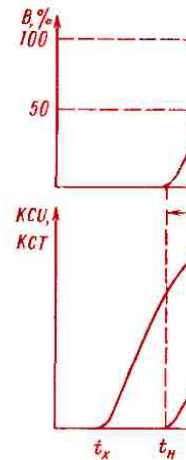


Рис. 7.5. Влияние температуры на процент вязкой прочности (B) и ударную вязкость

при которой в изломе образца имеется 50% волокнистой составляющей, и величина КСТ снижается наполовину.

О пригодности материала для работы при заданной температуре судят по температурному запасу вязкости, равному разности температуры эксплуатации и  $t_{50}$ . При этом, чем ниже температура перехода в хрупкое состояние по отношению к рабочей температуре, тем больше температурный запас вязкости и выше гарантия от хрупкого разрушения.

На рис. 7.6 показан случай, когда ударная вязкость двух сталей при температуре эксплуатации, равной 20 °C, одинакова. Однако переход в хрупкое состояние стали M (мелкозернистая) заканчивается при -40 °C, а стали K (крупнозернистая) при 0 °C. По сравнению с температурой эксплуатации  $t_0$ , запас вязкости у стали M составит 60 °C, а

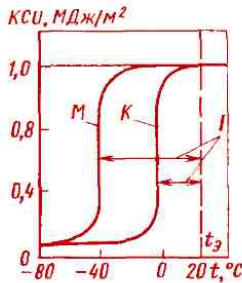


Рис. 7.6. Зависимость ударной вязкости от температуры испытания стали (0,22 % С): M – мелкозернистая; K – крупнозернистая; I – температурный запас вязкости

развитие процессов вания, ползучести, ко ного разбухания и вызывают постепен обратимых поврежд и его разрушение. вечности материала ние до требуемых его разрушения.

Для большинства (более 80 %) долговечности сопротивлением ма ным разрушениям (до вечноностью) или со шиванию (износосто ямости). Эти причины потери материала требуют тре нения.

Циклическая дол гизует работоспособность в условиях многократного циклов напряженния – совокупность различий между двумя значениями  $\sigma_{max}$  и  $\sigma_{min}$  за время  $T$ .

При экспериментальном сопротивления устан овлено, что в основе основной принят способ изменения напряженного цикла характеризуется коэффициентом цикла  $R = \sigma_{min}/\sigma_{max}$ . Напряжение  $\sigma_a = (\sigma_{max} - \sigma_{min})/2$  – напряжением цикла.

<sup>1</sup> Постепенный отказ – способность, при наст оящем времени, заменять без угрозы аварии.

Различают симметричные циклы ( $R = -1$ ) и асимметричные ( $R$  изменяется в широких пределах). Различные виды циклов характеризуют различные режимы работы деталей машин.

Процессы постепенного накопления повреждений в материале под действием циклических нагрузок, приводящие к изменению его свойств, образованию трещин, их развитию и разрушению, называют усталостью, а свойство противостоять усталости — выносливостью (ГОСТ 23207-78).

Разрушение от усталости по сравнению с разрушением от статической нагрузки имеет ряд особенностей.

1. Оно происходит при напряжениях, меньших, чем при статической нагрузке; меньших предела текучести или временного сопротивления.

2. Разрушение начинается на поверхности (или вблизи от нее) локально, в местах концентрации напряжений (деформации). Локальную концентрацию напряжений создают повреждения поверхности в результате циклического нагружения либо надрезы в виде следов обработки, воздействия среды.

3. Разрушение протекает в несколько стадий, характеризующих процессы накопления повреждений в материале, образования трещин усталости, постепенное развитие и слияние некоторых из них в одну магистральную трещину и быстрое окончательное разрушение.

4. Разрушение имеет характерное строение излома, отражающее последо-

зование усталости и до разрушения примыкает к имеющей небольшие поверхности. Зону последовательного усталости. В этой зоне терные бороздки, характеризующую фигурацию колец, о скакообразном развитии трещины усталости. Зависит до тех пор, пока не начнется рабочем сечении, растут настолько, что венное разрушение при разрушения долома.

О способности в условиях циклического нагружения к разрушению (усталость) (ГОСТ 23207-78) проводят на специальных машинах в образцах, подвергнутых (растяжение, сжатие, кручение). Образцы испытывают последовательных уровнях напряжения, начиная с числа циклов до разрушения. Кривой усталости, в координатах напряжение цикла — число циклов нагружений, показывает прямые линии, соответствующие участкам разрушения после заданного

циклов<sup>1</sup>. Это напряжение представляет собой физический предел выносливости  $\sigma_R$  ( $R$  – коэффициент асимметрии цикла), при симметричном цикле  $\sigma_{-1}$ . Наклонный участок кривой усталости характеризует ограниченный предел выносливости, равный напряжению  $\sigma_c$ , которое может выдержать материал в течение определенного числа циклов ( $N_c$ ).

Кривые с горизонтальным участком типичны для сталей при невысоких температурах испытаний. Кривые без горизонтального участка (кривая 2 на рис. 7.9) характерны для цветных металлов, а также для всех материалов, работающих при высоких температурах или в коррозионной среде. Такие материалы имеют только ограниченный предел выносливости.

Кривые усталости позволяют определить следующие критерии выносливости:

1) циклическую прочность–физический или ограниченный предел выносливости. Она характеризует несущую способность материала, т. е. то наибольшее напряжение, которое он способен выдержать за определенное время работы;

<sup>1</sup> За базу испытаний  $N_b$  (отвечает точке начала горизонтального участка или точке перегиба) принимают  $10^7$  циклов для стали и  $10^8$  циклов для цветных металлов.

с значительным разницей из-за ее высокой к состоянию поверхности.

Кроме определенных выше критериев выносливости, для некоторых случаев применяют критерий цикловую усталость при высоких напряжениях (до 1000–1500 лой частоте нагружения, 5 Гц). Эти испытания вия работы конструкций (модельных), которые кратковременные, но значительные механические нагрузки. База не превышает  $5 \cdot 10^6$  циклов. Малоцикловую усталость характеризует левая ветвь кривой усталости (см. рис. 7.10).

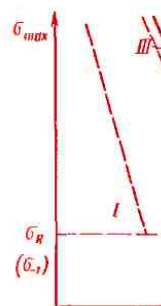


Рис. 7.10. Обобщенная кривая разрушения (схема). I – стадия постепенного до возникновения трещин распространения трещин.

(СРТУ). Живучесть характеризует способность материала работать в поврежденном состоянии после образования трещины (в области II на рис. 7.10).

Живучесть (СРТУ) – критерий надежности материала. С его помощью прогнозируют работоспособность детали, рассчитанную на циклическую прочность по ограниченному пределу выносливости. При высокой живучести (малой СРТУ) можно своевременно путем дефектоскопии обнаружить трещину, заменить деталь и обеспечить безаварийную работу.

Механизм усталостного разрушения связан с развитием и накоплением в поверхностном слое микропластической деформации и основан на движении дислокаций. Возможность их перемещения при напряжениях ниже предела текучести обусловлена анизотропией кристаллов и их случайной ориентацией. В отдельных кристаллах при небольших средних напряжениях могут возникать напряжения, достаточные для перемещения слабозакрепленных дислокаций. Кроме того, для тонких поверхностных слоев (в 1–2 зерна) характерно низкое напряжение работы источников дислокаций Франка–Рида. По этим причинам

в мягких (отожженных) в ранней стадии нагружения числа циклов блюдаются ранние деформации и поверхности слоя. Деформация проявляется на поверхности линиями (направлениями), плотность которых с увеличением числа циклов дислокаций на поверхности повреждение становится ступенчатым. Линии разрушаются в полосы, пленкообразование перерождается в трещины (рис. 7.11). Стадия литья, интрузии, скольжения. Экстремумы мируют пикообразности, состоящий в впадинах (рис. 7.12). Центрации деформации, вакансий, дислокаций, плотности здесь выражены в виде ямок, ямок, скоплений субмикротрещин. Появление субмикротрещин – это очередь, к образованию трещин.

При напряжении выносливости, ми-



Рис. 7.12. Профиль поверхности алюминия после циклического нагружения.

кастичности. Но если при этом у ста-тических металлов сопротивление рас-пространению трещины усталости много выше, чем ее зарождению. Увели-чению сопротивления зарождению тре-щины усталости способствует структурное состояние, препятствующее движе-нию дислокаций и их выходу на поверх-ность. Такое структурное состояние на-иболее эффективно создается поверх-ностным упрочнением.

Циклическая долговечность и проч-ность зависят от большого числа факто-ров, из которых решающее значение имеют структура и напряженное состоя-ние поверхностного слоя, качество по-верхности и воздействие коррозионной среды. Наличие на поверхности оста-точных напряжений сжатия затрудняет образование и развитие трещин устало-сти и, как следствие, способствует уве-личению предела выносливости. Резко отрицательное влияние оказывают на-пряжения растяжения и многочисленные концентраторы напряжений:

конструктивные — изменение формы сечения детали: галтели, отверстия, ка-навки, проточки и т. п.;

технологические — микронеровности поверхности, риски и другие следы ме-ханической обработки;

металлургические — внутренние де-фекты в виде пор, раковин, неметалли-ческих включений (оксидов, сульфидов, силикатов и др.).

Влияние концентраторов напряжений оценивают эффективным коэффициен-

Совместное влияние на предел выносливи-ваются коэффициентом показывающим, во сколько раз выносливости гладкого круга диаметром 10 мм больше предела выносливости детали:

$$(K_e)_D = (K_e / \epsilon_c)$$

где  $\epsilon_c$  — масштабный коэффициент, определяющий уменьшение несущей способности детали при увеличении ее диаметра;  $\beta$  — коэффициент, характеризующий шероховатость рабочих зон в различных средах замедляющих распространение трещин.

Из соотношения <sup>1</sup> видно, что влияние факторов на несущую способность детали тем слабее, чем ближе коэффициенты  $K_e$ ,  $\epsilon_c$  к единице, т. е. чем выше коэффициент поверхности детали.

Износостойкость детали должна оказывать в определенной мере влияние на предел выносливости. Изнашивание — процесс разрушения поверхностного слоя материала путем отделения от него частиц под действием сил трения. Изнашивание называют абразивным (при изнашивании отделяют по измельченной частицами износ), усталостным (при изнашивании массы (объемный износ), усталостным износом).

Износостойкость детали характеризуют величиной, сопоставляемой с пределом выносливости.

<sup>1</sup> Аналогичные соотношения для касательных напряжений.

Скорость и интенсивность изнашивания представляют собой отношение износа соответственно к времени или пути трения. Чем меньше значение скорости изнашивания при заданном износе  $\Delta h$ , тем выше ресурс работы  $t$  узла трения:

$$t = \Delta h / v_b.$$

Скорость изнашивания и износ зависят от времени. Существуют три периода износа (рис. 7.13): I – начальный период или период приработки, при котором изнашивание протекает с постоянной замедляющейся скоростью; II – период установившегося (нормального) износа, для которого характерна небольшая и постоянная скорость изнашивания; III – период катастрофического износа. Обеспечение износостойкости связано с предупреждением катастрофического износа, уменьшением скоростей начального и установившегося изнашивания. Эта задача решается рациональным выбором материала трущихся пар и способа его обработки. При выборе материала необходимо учитывать, что критерии его износостойкости зависят не только от свойств поверхностного слоя материала, но в сильной степени от условий его работы. Условия работы отличаются таким большим разнообразием, что не существует универсального износостойкого материала. Материал, устойчивый к изнашиванию в одних условиях, может катастрофически быстро разрушаться в других. Износостойкость материала при заданных

в атмосфере нагретых электролитов зависит от скорости электрохимического способности в таких жаростойкие и коррозионностойкие материалы (см. пп.

Таким образом, критерии износостойкости материала детали или конструкции характеризуются

1) критерии предельные, которые при заданных условиях определяют допустимые величины износа, массу и рабочий ресурс;

2) модуль упругости, определяемый по заданной геометрии и величине упругих деформаций;

3) пластичность, предел текучести  $K_{CT}$ ,  $K_{CV}$ , предел прочности  $K_{Ic}$ , температура плавления и температура поломки  $t_{50}$ , надежность материала;

4) циклическая износостойкость изнашивания, определяющие длительность работы.

### 7.3. Методы повышения износостойкости конструкционной стали

Высокая прочность и износостойкость конструкций при работе в различных условиях определяются различными технологическими и конструкторскими

и химического состава материала. Энергия межатомного взаимодействия непосредственно определяет характеристики упругих свойств (модули нормальной упругости и сдвига), а также так называемую теоретическую прочность.

Модули нормальной упругости и сдвига являются константами материала и структурно нечувствительны.

Теоретическая прочность (сопротивление разрыву межатомных связей) в реальных кристаллах из-за наличия структурных дефектов не достигается. Реальная прочность на два-три порядка ниже теоретической и определяется не столько межатомными силами связи, сколько структурой материала.

В гл. 4 указывалось, что уровень прочности (сопротивление пластической деформации) зависит главным образом от легкости перемещения дислокаций. В связи с этим современные методы повышения прочности материала основаны на создании такого структурного состояния, которое обеспечивало бы максимальную задержку (блокировку) дислокаций. Методы упрочнения рассмотрены в предыдущем разделе. Напомним, что к ним относятся легирование, пластическая деформация, термическая, термомеханическая и химико-термическая обработка. Повышение прочности указанными методами основано на ряде структурных факторов.

1. Увеличение плотности дислокаций. Силовые поля вокруг дислокаций являются эффективными барьерами для

G-модуль сдвига. Целесообразность дислокаций большем значении ного распределения тов отдельные объе ссыщаются дислокаци нарушение сплошности кроскопических тре прочности.

2. Создание дислокаций в виде границ зерен (персных частиц в виде добные препятствия для дислокаций требуют повышения напряжения и тем самым упрочнению.

Роль эффективности зерен определяют границы зерен (персные мозаики). Скользящая дислокация движена останавливается, поскольку в соседней плоскости скользит в другую ориентацию. Повышение размеров зерен (измельчение зерен) описывается уравнением

$$\sigma_t = \sigma_0$$

где  $\sigma_0$  – напряжение при текучести,  $k$  – коэффициент,  $d$  – диаметр зерна (см.).

Важная особенность метода упрочнения состоит в том, что измельчение зерна (увеличение

генных ставов, подвергнутых закалке и старению. В этом случае дислокации, перемещаясь в плоскости скольжения, должны либо перерезать частицы, либо их гибать.

3. Образование полей упругих напряжений, искажающих кристаллическую решетку. Такие поля образуются вблизи точечных дефектов — вакансий, примесных атомов и, главным образом, атомов легирующих элементов.

Упрочнение при легировании растет пропорционально концентрации легирующего элемента в твердом растворе и относительной разности атомных радиусов компонентов.

Атомы внедрения (C, O, H, N) могут вносить большой вклад в упрочнение, если они скапливаются на дислокациях и блокируют их, образуя сегрегации или атмосферы Коттрелла.

Комбинацией различных структурных факторов упрочнения можно значительно повысить характеристики прочности ( $\sigma_b$ ,  $\sigma_t$ ,  $NB$ ,  $\sigma_{-1}$ ). Однако достигаемая прочность остается все же значительно ниже теоретической. Вместе с тем повышение прочности, основанное на уменьшении подвижности дислокаций, сопровождается снижением пластичности, вязкости и тем самым надежности.

Проблема повышения конструкционной прочности состоит не столько в повышении прочностных свойств, сколько в том, как при высокой прочности обеспечить высокое сопротивление вязкому разрушению, т. е. надежность материа-

материала. Это, приятно, допускает подвижность скапливающихся дислокаций. Этим обусловлено то, что хрупко-упрочнение скапливается в скоплениях ской плотности, становясь барьером для опасные локальные дислокации идет двумя путями: 1) вырыванием зародышей дислокаций в смешанном пути — путь пластичных напряжений; 2) прорывом и вырыванием дислокаций в смешанном пути — путь пластичных напряжений. Роль, в частности, играют угловые границы зерен.

Формированию мельчайшей структуры и обеспечению высокого качества зерна определяет мельчение зерна, гидроизотермического метода.

Рациональное легирование предусматривает введение в твердые растворы скользких элементов, имеющих концентрации, позволяющие снизить пластичность. Мельчение зерна осуществляется термическим способом, особенно при использовании лазерного облучения.

Наиболее эффективный способ формирования субструктур (блочная структура) достигается при высокотемпературной механической обработке.

ницы выполняют роль полупроницаемых барьеров. В результате ВТМО обеспечивает наиболее благоприятное сочетание высокой прочности с повышенной пластичностью, вязкостью и сопротивлением разрушению.

Более надежной работе высоконапряженных деталей способствует повышение чистоты металла, его металлургического качества. Повышение чистоты стали связано с удалением вредных примесей (см. п. 8.2) – серы, фосфора, газообразных элементов – кислорода, водорода, азота и зависящих от их содержания неметаллических включений – оксидов, сульфидов и др.

Неметаллические включения, серу и газообразные примеси удаляют из металла в процессе переплава. В промышленности применяют несколько способов переплава: вакуумно-дуговой (ВДП), электронно-лучевой (ЭЛП), электрошлаковый (ЭШП), а также вакуумно-индукционную плавку (ВИ), рафинирование синтетическим шлаком. При вакуумной плавке и вакуумных переплавах металл наиболее полно очищается от растворенных газов. Сера практически не удаляется. При рафинировании синтетическим шлаком и ЭШП, наоборот, наиболее полно удаляется сера.

При равной прочности более чистый металл обладает более высоким сопротивлением вязкому разрушению и более низким порогом хладноломкости.

Для повышения циклической прочности и износостойкости важно затруд-

телей малого радиуса. Для структивных надрывов, которые не могут быть предотвращены, то для снижения интенсивности напряжений можно использовать упрочнение для снижения напряжений.

Рассмотренные выше способы и методы повышения прочности и износостойкости конструкций и материалов включают в себя 1) методы снижения, вызывающие снижение прочности и износостойкости дислокаций и снижение коэффициента вязкости; 2) методы, позволяющие уменьшить необходимого запаса прочности, предусматривающие равномерное распределение напряжений и также очистку от примесей. Для этого используются различные способы и методы, позволяющие достичь необходимого уровня прочности и износостойкости в конструкциях: для сталей с содержанием углерода 0,2–0,3% прочность составляет  $\sim 1250$  МПа; для титановых сплавов  $\sim 550 \div 600$  МПа. Техники этого описаны в главе 8.

Принципиально новые способы повышения высокой прочности и износостойкости использованы в новых конструкциях из новых материалов. Такие материалы представляют собой композиты на основе углеродного волокна, волокна армируют волокнами, которые передают всю нагрузку на волокна.

нагрузки между волокнами. Композиционные материалы отличаются высоким сопротивлением распространению трещин, так как при ее образовании, например, из-за разрушения волокна, трещина «взянет» в мягкой матрице. Кроме того, композиционные материалы, использующие высокопрочные и высокомодульные волокна и легкую матрицу, могут обладать высокими удельной прочностью и жесткостью.

#### 7.4. Классификация конструкционных материалов

Перечень конструкционных материалов, применяемых в машино- и приборостроении, велик, и классифицировать их можно по разным признакам. Большинство из них, такие, как стали, чугуны, сплавы на основе меди и легких металлов, являются универсальными. Они обладают многочисленными до-

определяется соотвествиями, обеспечивающими собность в экспасильные материалы в нескольких группах применения их определенными критериями.

В соответствии с пом классификациациональные материалы следующие группы:

1. Материалы, обладающие высокую прочность, статическую и динамическую прочность (стали).
2. Материалы с высокими механическими свойствами.
3. Износостойкие материалы.
4. Материалы с высокими тепловыми свойствами.
5. Материалы с высокой коррозионной стойкостью.
6. Материалы с высокой химической стойкостью.
7. Материалы, устойчивые к действию температуры.

Вследствие этих свойств стали являются основной металлической группой износостойкости. В СССР в 1980 г. было выпущено 2000 марок. Большое разнообразие химического состава позволяет получать различные сплавы, удовлетворяющие запросы многих отраслей промышленности.

## 8.1. Классификация конструкционных сталей

Стали классифицируются по химическому составу, качеству, структуре и производству.

По химическому составу стали делятся на углеродистые и легированные. По концентрации углерода они делятся на низколегированные ( $< 0,3\% C$ ), среднелегированные ( $0,3\text{--}0,7\% C$ ) и высоколегированные ( $> 0,7\% C$ ). Легированные стали делятся на зависимости от введенных элементов. По химическому составу введенных элементов они делятся на хромистые, хромоникелевые, марганцевые и мартенситные. По качеству введенных элементов они делятся на низко-, среднелегированные. В высоколегированных сталях количество легирующих элементов может превышать 5%, в некоторых случаях содержится от 5 до 10% легирующих элементов – более 10%.

Свойства стали определяются ее химическим составом, структурой, состоянием поверхности и другими факторами. Сталь обладает высоким модулем упругости ( $E = 2,1 \cdot 10^6$  МПа) и тем самым высокой жесткостью, уступая в этом лишь бору, вольфраму, молибдену, бериллию, которые из-за высокой стоимости используются только в специальных случаях. Высокая жесткость и доступность обуславливают широкое применение сталей для изготовления строительных металлоконструкций, корпусных деталей, ходовых винтов станков, валов и многих других деталей машин.

Высокую жесткость стали сочетают с достаточной статической и циклической прочностью, значение которой можно регулировать в широком диапазоне изменением концентрации углерода, легирующих элементов и технологии термической и химико-термической обработки.

Применяемые в технике сплавы на основе меди, алюминия, магния, титана, а также пластмассы уступают стали по жесткости, прочности или надежности. Кроме комплекса этих важных для работоспособности деталей свойств, стали могут обладать и рядом других ценных качеств, делающих их универсальным материалом. При соответствующем легировании и технологии термической обработки сталь становится износостойкой, либо коррозионно-стойкой, либо жаро-

являются скрытыми, количественно трудно определяемыми примесями, поэтому нормы содержания вредных примесей служат основными показателями для разделения сталей по качеству. Стали обыкновенного качества содержат до 0,055% S и 0,045% P, качественные — не более 0,04% S и 0,035% P, высококачественные — не более 0,025% S и 0,025% P, особо высококачественные — не более 0,015% S и 0,025% P.

**По степени раскисления и характеру затвердевания стали классифицируют на спокойные, полуспокойные и кипящие.**

Раскисление — процесс удаления из жидкого металла кислорода, проводимый для предотвращения хрупкого разрушения стали при горячей деформации.

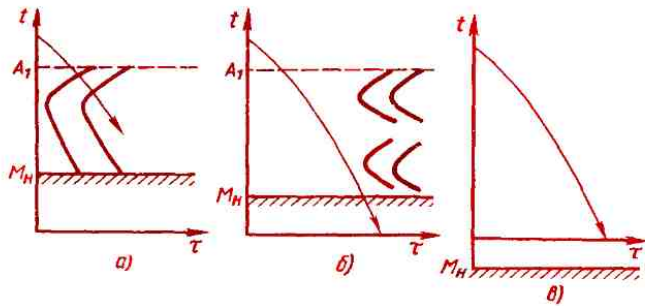
Спокойные стали раскисляют марганцем, кремнием и алюминием. Они содержат мало кислорода и затвердевают спокойно без газовыделения. Кипящие стали раскисляют только марганцем. Перед разливкой в них содержится повышенное количество кислорода, ко-

При классификации учитывают осадку в отожженном и стояниях. По структуре (равновесном) спокойные стали имеют класса: 1) дозвуковые в структуре избыточные, структуры из перлита; 3) ритные.

Углеродистые первых двух классов. Сталь образуются при введении элементов (более тугоплавких) Ni, Mn в область; стали формируются введении элементов расширяющих  $\alpha$ -сферу.

При определении возможны частичная ( $\alpha \rightleftharpoons \gamma$ ) и образование точных классов — полуаустенитных.

По структуре



применяемых сталей.

Стали мартенситного класса отличаются высокой устойчивостью переохлажденного аустенита (рис. 8.1, б); при охлаждении на воздухе они закаливаются на мартенсит. К этому классу относятся средне- или высоколегированные стали.

Стали аустенитного класса из-за повышенного количества никеля или марганца (обычно в сочетании с хромом) имеют интервал мартенситного превращения ниже 0 °С и сохраняют аустенит при температуре 20–25 °С (рис. 8.1, в). Распад аустенита в перлитной и промежуточной областях отсутствует.

Структурный класс аустенитных и ферритных сталей совпадает по классификации как в отожженном, так и нормализованном состояниях.

По прочности, оцениваемой временным сопротивлением, конструкционные стали с некоторой условностью можно разделить на стали нормальной (средней) прочности ( $\sigma_b \sim$  до 1000 МПа), повышенной прочности ( $\sigma_b \sim$  до 1500 МПа) и высоко-прочные ( $\sigma_b \sim$  более 1500 МПа).

## 8.2. Влияние углерода и постоянных примесей на свойства стали

Сталь – сложный по составу железоуглеродистый сплав. Кроме железа и углерода – основных компонентов, а также возможных легирующих элементов, сталь содержит некоторое коли-

Рис. 8.2. Влияние у...  
ские свойства горячек...

чество постоянных сей, влияющих на е...

Углерод, концентрация в конструкционных сталях 0,8 %, оказывает определенное влияние на их свойства. Степень влияния зависит от структурной обработки.

После отжига углеродистые конструкционные стали имеют структуру, состоящую из фаз – феррита и цементита. Цементит, который имеет высокую твердость и хрупкость, определяет пропорционально содержанию углерода. В связи с этим, с увеличением содержания углерода прочность и твердость, пластичность и вязкость снижаются. Кроме снижения ударной вязкости, углерод заметно повышает хладноломкость, разрушающую температурный интервал, при котором сталь переходит в хрупкое состояние. При содержании углерода 0,1 % С повышается температура этого перехода при снижении содержания 0,4 % С до  $-196^{\circ}\text{C}$ . Предел прочности при температуре  $0^{\circ}\text{C}$  равен  $0^{\circ}\text{C}$ . Предел прочности при температуре  $20^{\circ}\text{C}$ ; сталь становится менее надежной в работе.

<sup>1</sup> Такая же структура наблюдается в горячекатаном состоянии.

кость стали

Влияние углерода еще более значительно при неравновесной структуре стали. После закалки на мартенсит временное сопротивление легированных сталей интенсивно растет по мере увеличения содержания углерода и достигает максимума при 0,4% С (рис. 8.4). При большей концентрации углерода  $\sigma_{\text{в}}$  становится нестабильным из-за хрупкого разрушения стали, о чем свидетельствуют низкие значения ударной вязкости. При низком отпуске механические свойства полностью определяются концентрацией углерода в твердом растворе.

Углерод изменяет и технологические свойства стали. При увеличении его содержания снижается способность сталей деформироваться в горячем и особенно

красноломкость стали, подвергнутой обработке давлением. В виде сульфидов углерод связана с наличием серы, образует с железом соединение, имеющее низкой температурой плавления (988 °С) и располагающееся в кристаллической решетке. При горячей деформации красноломкость уменьшается, и стали становятся более пластичными.

От красноломкости спасают марганец, который выделяет в кристаллической решете сульфиды MnS, исключающие образование сульфидных включений.

Устраняя красноломкость, марганец, который входит в кристаллическую решетку в виде сульфидов MnS, исключает образование сульфидных включений (оксиды, нитриды, карбиды, центраторами например, никелем), что повышает прочность и вязкость стали. Установлено, что содержание серы в стали строго ограничено. Увеличение ее концентрации в 10 раз не приводит к улучшению обрабатываемости стали (см. п. 9.1).

Фосфор – вредная примесь в феррите, упрочняющая сталь, но снижая ее хладноломкость – синтезирована для снижения температуры хрупкости, вызывающее действие фосфора на сталь. Установлено, что при повышении порога хрупкости фосфором на 25 °С, хладноломкость стали снижается в 10 раз. Каждая 0,01% Р повышает температуру хрупкости на 25 °С. Установлено, что фосфором, введенным в сталь, можно уменьшить содержание углерода.

Фосфор – крайне опасная примесь в конструкционных стальных изделиях. Для снижения ее вредного действия применяют различные методы выплавки стали, которые обеспечивают его полное удаление. Путь его снижения – это замена углерода в шихте фосфором.

Кислород, азот и водород – вредные примеси. Их влияние на свойства стали проявляется в снижении прочности и вязкости, а также в ухудшении обрабатываемости.

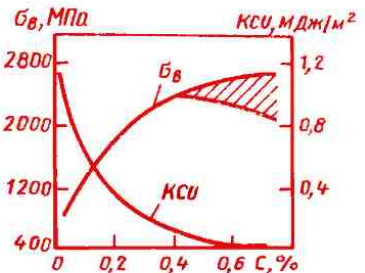


Рис. 8.4. Влияние углерода на механические свойства закаленных низколегированных сталей

кость стали:

1 - 0,008 % Р; 2 - 0,06 % Р

вышении склонности стали к хрупкому разрушению.

Кислород и азот растворяются в феррите в ничтожно малом количестве и загрязняют сталь неметаллическими включениями (оксидами, нитридами). Кислородные включения вызывают красно- и хладноломкость, снижают прочность. Повышенное содержание азота вызывает деформационное старение. Атомы азота в холоднодеформированной стали скапливаются на дислокациях, образуя атмосферы Коттрелла, которые блокируют дислокации. Сталь упрочняется, становится малопластичной. Старение особенно нежелательно для листовой стали ( $\leq 0,1\%$ С), предназначенный для холодной штамповки. Последствия старения — разрывы при штамповке или образование на поверхности полос скольжения, затрудняющих ее отделку<sup>1</sup>.

Водород находится в твердом растворе или скапливается в порах и на дислокациях. Хрупкость, обусловленная водородом, проявляется тем резче, чем выше прочность материала и меньше его растворимость в кристаллической решетке. Наиболее сильное охрупчивание наблюдается в закаленных стальях с мартенситной структурой и отсутствует в austenитных стальях.

Повышенное содержание водорода в стали при ее выплавке может приводить к флокенам. Флокенами называют внутренние

воздорожники, возможны при травлении гальванических покрытий водородсодержащих газов.

Случайные примеси,ющие в сталь из вторичных месторождений, в сталь попадают сурьмы, цветных металлов. Стальные уральских руд, содержащих мышьяк. Случайноминстве случаев оказывает влияние на вязкость.

### 8.3. Углеродистые стали

На долю углеродистых сталей приходится 80% от общего объема производства. объясняется тем, что углерод и соединяют удовлетворительные свойства с помощью резания. одинаковом содержании обрабатываемости они значительно отличаются от гированые стали. Углеродистые стали менее подвергаются термической обработке. Критической скоростью охлаждения для углеродистых сталей вызывает значительное коробление деталей при получения одинаковых гированных сталей. Подвергать отпуску при температуре, при которой имеются более высокие значения, снижающие прочность.

<sup>1</sup> Для устранения хрупкости листы перед штамповкой подвергают волнобразному изгибу со слабым обжатием. При этой операции дислокации, отрываясь от окружающих их атмосфер, приобретают подвижность. Пластичность временно восстанавливается, и сталь хорошо штампуется.

прочности. Углеродистые конструкционные стали выпускают обыкновенного качества и качественные.

**Углеродистые стали обыкновенного качества.** Это наиболее дешевые стали. В них допускается повышенное содержание вредных примесей, а также газонасыщенность и загрязненность неметаллическими включениями, так как они выплавляются по нормам массовой технологии.

Стали обыкновенного качества (ГОСТ 380-71) выпускают в виде проката (балки, прутки, листы, уголки, трубы, швеллеры и т. п.), а также поковок. В зависимости от гарантировемых свойств их поставляют трех групп: А, Б, В.

Стали маркируют сочетанием букв «Ст» и цифр (от 0 до 6), показывающей номер марки. Стали групп Б и В имеют перед маркой буквы Б или В, указывающие на их принадлежность к этим группам. Группа А в обозначении марки стали не указывается. Степень раскисления обозначается добавлением индексов: в спокойных стальях — «сп», полуспокойных — «пс», кипящих «кп», например, Ст3сп, БСт3пс, ВСт3кп. Спокойными и полуспокойными производят стали Ст1—Ст6, кипящими — Ст1—Ст4 всех трех групп. Сталь Ст0 по степени раскисления не разделяют.

Стали группы А поставляют с гарантированными механическими свойствами (табл. 8.1). Химический состав не указывается.

Ст3	380	210	250
	490		

**Примечание.** Маркированы для спокойных сталей Ст1кп — Ст4кп (на 20 МПа) и Ст<sub>т</sub> (на 100 МПа). Влияние δ (на 1%) более 0,2% не допускается для полуспокойных сталей.

Из таблицы следующим номером маркировки механическая прочность и снижается.

Стали группы А поставляют в катаном состоянии, включение которых не требует обработкой. Стали сохраняют исходные механические свойства, не подвергнутые термической обработкой.

Стали группы Б поставляют в катаном химическим составом (табл. 8.2). Механические свойства гарантированы. Стали группы В предназначены для изложенных выше методов обработки, сварки и термической обработки при которой исходные механические свойства становятся важнейшими. Для таких сталей важны не только химический состав, необратимые изменения и режимы горячей обработки.

Стали группы В поставляют в катаном химическим составом и химическим составом, применяемым для производства конструкций. В этом случае исходные механические свойства становятся важнейшими.

так как они сохраняются неизменными в участках, не подвергаемых нагреву при сварке. Для оценки свариваемости важны сведения о химическом составе.

Стали этой группы выпускают марок ВСт1–ВСт5.

Механические свойства сталей группы В соответствуют нормам для аналогичных сталей группы А (см. табл. 8.1), а химический состав – нормам для тех же номеров марок сталей группы Б (см. табл. 8.2). Например, сталь ВСт4сп имеет механические свойства, аналогичные стали Ст4сп, а химический состав – одинаковый со сталью БСт4сп.

Углеродистые стали обыкновенного качества (всех трех групп) предназначены для изготовления различных металлоконструкций, а также слабонагруженных деталей машин и приборов. Этим сталим отдают предпочтение в тех случаях, когда работоспособность деталей и конструкций определяется жесткостью. Для них геометрические размеры часто оказываются такими, что их прочность заведомо обеспечивается. Поэтому на выбор стали большое влияние оказывают не столько механические, сколько технологические свойства, прежде всего свариваемость и способность к холодной обработке давлением. Этим технологическим требованиям в наибольшей степени отвечают стали групп Б и В, номеров 1–4, благодаря чему из

них изготавливают мы и другие строительные конструкции. Стали вляемые по техническим нормам имеют также и назначение: котлы, строение. Стали Ст5 (всех трех групп) в сельскохозяйственном (валики, оси, роторы) машинах, а также цементирующие, червяки, поршни.

Среднеуглеродистые стали групп 5 и 6, обладающие повышенной прочностью, предназначены для железнодорожных вагонов, шкивов, шестерен и механизмов зоподъемных и сортировочных машин. Некоторые стали групп Б и В подвергаются улучшению.

**Углеродистые и низколегированные стали**  
Эти стали характеризуются меньшим содержанием углерода, чем у сталей группы А, и неметаллических примесей. Их свойства определяются в основном химическим составом. Стальные изделия из этих сталей отличаются высокой прочностью и пластичностью, а также способностью к обработке давлением. Этим требованиям отвечают стали групп Б и В, номеров 1–4, благодаря чему из них изготавливают мы и другие строительные конструкции. Стали вляемые по техническим нормам имеют также и назначение: котлы, строение. Стали Ст5 (всех трех групп) в сельскохозяйственном (валики, оси, роторы) машинах, а также цементирующие, червяки, поршни.

личество ограничено 0,17 %.

ТАБЛИЦА 8.3. Свойства углеродистых качественных сталей (ГОСТ 1050-74)

Сталь	Массо- вая доля углерода, %	Свойства после нормализации				$HB$ (по- сле от- жи- га)	$KCU,$ $M\text{Дж}/m^2$
		$\sigma_{\text{в}}$	$\sigma_{0,2}$	$\delta$	$\psi$		
		МПа	%				
08	0,05— 0,12	320	200	33	60	1310	—
10	0,07— 0,14	340	210	31	55	1430	—
15	0,12— 0,19	380	230	27	55	1490	—
20	0,17— 0,24	420	250	25	55	1630	—
25	0,22— 0,3	460	280	23	50	1700	—
30	0,27— 0,35	500	300	21	50	1790	—
35	0,32— 0,4	540	320	20	45	2070	—
40	0,37— 0,45	580	340	19	45	2170	1870
45	0,42— 0,5	610	360	16	40	2290	1970
50	0,47— 0,55	640	380	14	40	2410	2070
55	0,52— 0,6	660	390	13	35	2550	2170
60	0,57— 0,65	690	410	12	35	2550	2290
65	0,62— 0,7	710	420	10	30	2550	2290
70	0,67— 0,75	730	430	9	30	2690	2290
75	0,72— 0,8	1100	900	7	30	2850	2410
80	0,77— 0,85	1100	950	6	30	2850	2410
85	0,82— 0,9	1150	1000	6	30	3020	2550

запасе 0,5% Mn, прокованных которых до 1,2% Mn, 0,035% P; 0,25% Ni, 0,08% As.

2. Нормы механических свойств для стальных заготовкам до 80 мм.

3. Механические свойства 85 гарантируются по отпуску при температуре 550°C.

4. Ударная вязкость определяется после улучшения по отпуску при температуре 500°C.

5. Здесь и далее твердость в паскалях.

В соответствии с ГОСТом 1050-74 качественные стали производятся без термической обработки, прокатаны, кованы, обработаны и т.д. Механические свойства, определенные после нормализации, должны соответствовать требованиям по закалке и отпуска, термической обработки, гарячей обработки и отжига и т.д.

Качественные стали применяются в зависимости от назначения и термической обработки, но обладают различными механическими свойствами.

Низкоуглеродистые стали по назначению подразделяются на:

1. Стали 05, 10, 15, 20, 25, 30, 35, 40, 45, 50, 55, 60, 65, 70, 75, 80, 85, 90, 95, 100, 110, 120, 130, 140, 150, 160, 170, 180, 190, 200, 210, 220, 230, 240, 250, 260, 270, 280, 290, 300, 310, 320, 330, 340, 350, 360, 370, 380, 390, 400, 410, 420, 430, 440, 450, 460, 470, 480, 490, 500, 510, 520, 530, 540, 550, 560, 570, 580, 590, 600, 610, 620, 630, 640, 650, 660, 670, 680, 690, 700, 710, 720, 730, 740, 750, 760, 770, 780, 790, 800, 810, 820, 830, 840, 850, 860, 870, 880, 890, 900, 910, 920, 930, 940, 950, 960, 970, 980, 990, 1000, 1010, 1020, 1030, 1040, 1050, 1060, 1070, 1080, 1090, 1100, 1110, 1120, 1130, 1140, 1150, 1160, 1170, 1180, 1190, 1200, 1210, 1220, 1230, 1240, 1250, 1260, 1270, 1280, 1290, 1300, 1310, 1320, 1330, 1340, 1350, 1360, 1370, 1380, 1390, 1400, 1410, 1420, 1430, 1440, 1450, 1460, 1470, 1480, 1490, 1500, 1510, 1520, 1530, 1540, 1550, 1560, 1570, 1580, 1590, 1600, 1610, 1620, 1630, 1640, 1650, 1660, 1670, 1680, 1690, 1700, 1710, 1720, 1730, 1740, 1750, 1760, 1770, 1780, 1790, 1800, 1810, 1820, 1830, 1840, 1850, 1860, 1870, 1880, 1890, 1900, 1910, 1920, 1930, 1940, 1950, 1960, 1970, 1980, 1990, 2000, 2010, 2020, 2030, 2040, 2050, 2060, 2070, 2080, 2090, 2100, 2110, 2120, 2130, 2140, 2150, 2160, 2170, 2180, 2190, 2200, 2210, 2220, 2230, 2240, 2250, 2260, 2270, 2280, 2290, 2300, 2310, 2320, 2330, 2340, 2350, 2360, 2370, 2380, 2390, 2400, 2410, 2420, 2430, 2440, 2450, 2460, 2470, 2480, 2490, 2500, 2510, 2520, 2530, 2540, 2550, 2560, 2570, 2580, 2590, 2600, 2610, 2620, 2630, 2640, 2650, 2660, 2670, 2680, 2690, 2700, 2710, 2720, 2730, 2740, 2750, 2760, 2770, 2780, 2790, 2800, 2810, 2820, 2830, 2840, 2850, 2860, 2870, 2880, 2890, 2900, 2910, 2920, 2930, 2940, 2950, 2960, 2970, 2980, 2990, 3000, 3010, 3020, 3030, 3040, 3050, 3060, 3070, 3080, 3090, 3100, 3110, 3120, 3130, 3140, 3150, 3160, 3170, 3180, 3190, 3200, 3210, 3220, 3230, 3240, 3250, 3260, 3270, 3280, 3290, 3300, 3310, 3320, 3330, 3340, 3350, 3360, 3370, 3380, 3390, 3400, 3410, 3420, 3430, 3440, 3450, 3460, 3470, 3480, 3490, 3500, 3510, 3520, 3530, 3540, 3550, 3560, 3570, 3580, 3590, 3600, 3610, 3620, 3630, 3640, 3650, 3660, 3670, 3680, 3690, 3700, 3710, 3720, 3730, 3740, 3750, 3760, 3770, 3780, 3790, 3800, 3810, 3820, 3830, 3840, 3850, 3860, 3870, 3880, 3890, 3900, 3910, 3920, 3930, 3940, 3950, 3960, 3970, 3980, 3990, 4000, 4010, 4020, 4030, 4040, 4050, 4060, 4070, 4080, 4090, 4100, 4110, 4120, 4130, 4140, 4150, 4160, 4170, 4180, 4190, 4200, 4210, 4220, 4230, 4240, 4250, 4260, 4270, 4280, 4290, 4300, 4310, 4320, 4330, 4340, 4350, 4360, 4370, 4380, 4390, 4400, 4410, 4420, 4430, 4440, 4450, 4460, 4470, 4480, 4490, 4500, 4510, 4520, 4530, 4540, 4550, 4560, 4570, 4580, 4590, 4600, 4610, 4620, 4630, 4640, 4650, 4660, 4670, 4680, 4690, 4700, 4710, 4720, 4730, 4740, 4750, 4760, 4770, 4780, 4790, 4800, 4810, 4820, 4830, 4840, 4850, 4860, 4870, 4880, 4890, 4900, 4910, 4920, 4930, 4940, 4950, 4960, 4970, 4980, 4990, 5000, 5010, 5020, 5030, 5040, 5050, 5060, 5070, 5080, 5090, 5100, 5110, 5120, 5130, 5140, 5150, 5160, 5170, 5180, 5190, 5200, 5210, 5220, 5230, 5240, 5250, 5260, 5270, 5280, 5290, 5300, 5310, 5320, 5330, 5340, 5350, 5360, 5370, 5380, 5390, 5400, 5410, 5420, 5430, 5440, 5450, 5460, 5470, 5480, 5490, 5500, 5510, 5520, 5530, 5540, 5550, 5560, 5570, 5580, 5590, 5600, 5610, 5620, 5630, 5640, 5650, 5660, 5670, 5680, 5690, 5700, 5710, 5720, 5730, 5740, 5750, 5760, 5770, 5780, 5790, 5800, 5810, 5820, 5830, 5840, 5850, 5860, 5870, 5880, 5890, 5900, 5910, 5920, 5930, 5940, 5950, 5960, 5970, 5980, 5990, 6000, 6010, 6020, 6030, 6040, 6050, 6060, 6070, 6080, 6090, 6100, 6110, 6120, 6130, 6140, 6150, 6160, 6170, 6180, 6190, 6200, 6210, 6220, 6230, 6240, 6250, 6260, 6270, 6280, 6290, 6300, 6310, 6320, 6330, 6340, 6350, 6360, 6370, 6380, 6390, 6400, 6410, 6420, 6430, 6440, 6450, 6460, 6470, 6480, 6490, 6500, 6510, 6520, 6530, 6540, 6550, 6560, 6570, 6580, 6590, 6600, 6610, 6620, 6630, 6640, 6650, 6660, 6670, 6680, 6690, 6700, 6710, 6720, 6730, 6740, 6750, 6760, 6770, 6780, 6790, 6800, 6810, 6820, 6830, 6840, 6850, 6860, 6870, 6880, 6890, 6900, 6910, 6920, 6930, 6940, 6950, 6960, 6970, 6980, 6990, 7000, 7010, 7020, 7030, 7040, 7050, 7060, 7070, 7080, 7090, 7100, 7110, 7120, 7130, 7140, 7150, 7160, 7170, 7180, 7190, 7200, 7210, 7220, 7230, 7240, 7250, 7260, 7270, 7280, 7290, 7300, 7310, 7320, 7330, 7340, 7350, 7360, 7370, 7380, 7390, 7400, 7410, 7420, 7430, 7440, 7450, 7460, 7470, 7480, 7490, 7500, 7510, 7520, 7530, 7540, 7550, 7560, 7570, 7580, 7590, 7600, 7610, 7620, 7630, 7640, 7650, 7660, 7670, 7680, 7690, 7700, 7710, 7720, 7730, 7740, 7750, 7760, 7770, 7780, 7790, 7800, 7810, 7820, 7830, 7840, 7850, 7860, 7870, 7880, 7890, 7900, 7910, 7920, 7930, 7940, 7950, 7960, 7970, 7980, 7990, 8000, 8010, 8020, 8030, 8040, 8050, 8060, 8070, 8080, 8090, 8100, 8110, 8120, 8130, 8140, 8150, 8160, 8170, 8180, 8190, 8200, 8210, 8220, 8230, 8240, 8250, 8260, 8270, 8280, 8290, 8300, 8310, 8320, 8330, 8340, 8350, 8360, 8370, 8380, 8390, 8400, 8410, 8420, 8430, 8440, 8450, 8460, 8470, 8480, 8490, 8500, 8510, 8520, 8530, 8540, 8550, 8560, 8570, 8580, 8590, 8600, 8610, 8620, 8630, 8640, 8650, 8660, 8670, 8680, 8690, 8700, 8710, 8720, 8730, 8740, 8750, 8760, 8770, 8780, 8790, 8800, 8810, 8820, 8830, 8840, 8850, 8860, 8870, 8880, 8890, 8900, 8910, 8920, 8930, 8940, 8950, 8960, 8970, 8980, 8990, 9000, 9010, 9020, 9030, 9040, 9050, 9060, 9070, 9080, 9090, 9100, 9110, 9120, 9130, 9140, 9150, 9160, 9170, 9180, 9190, 9200, 9210, 9220, 9230, 9240, 9250, 9260, 9270, 9280, 9290, 9300, 9310, 9320, 9330, 9340, 9350, 9360, 9370, 9380, 9390, 9400, 9410, 9420, 9430, 9440, 9450, 9460, 9470, 9480, 9490, 9500, 9510, 9520, 9530, 9540, 9550, 9560, 9570, 9580, 9590, 9600, 9610, 9620, 9630, 9640, 9650, 9660, 9670, 9680, 9690, 9700, 9710, 9720, 9730, 9740, 9750, 9760, 9770, 9780, 9790, 9800, 9810, 9820, 9830, 9840, 9850, 9860, 9870, 9880, 9890, 9900, 9910, 9920, 9930, 9940, 9950, 9960, 9970, 9980, 9990, 10000, 10010, 10020, 10030, 10040, 10050, 10060, 10070, 10080, 10090, 10100, 10110, 10120, 10130, 10140, 10150, 10160, 10170, 10180, 10190, 10200, 10210, 10220, 10230, 10240, 10250, 10260, 10270, 10280, 10290, 10300, 10310, 10320, 10330, 10340, 10350, 10360, 10370, 10380, 10390, 10400, 10410, 10420, 10430, 10440, 10450, 10460, 10470, 10480, 10490, 10500, 10510, 10520, 10530, 10540, 10550, 10560, 10570, 10580, 10590, 10600, 10610, 10620, 10630, 10640, 10650, 10660, 10670, 10680, 10690, 10700, 10710, 10720, 10730, 10740, 10750, 10760, 10770, 10780, 10790, 10800, 10810, 10820, 10830, 10840, 10850, 10860, 10870, 10880, 10890, 10900, 10910, 10920, 10930, 10940, 10950, 10960, 10970, 10980, 10990, 11000, 11010, 11020, 11030, 11040, 11050, 11060, 11070, 11080, 11090, 11100, 11110, 11120, 11130, 11140, 11150, 11160, 11170, 11180, 11190, 11200, 11210, 11220, 11230, 11240, 11250, 11260, 11270, 11280, 11290, 11300, 11310, 11320, 11330, 11340, 11350, 11360, 11370, 11380, 11390, 11400, 11410, 11420, 11430, 11440, 11450, 11460, 11470, 11480, 11490, 11500, 11510, 11520, 11530, 11540, 11550, 11560, 11570, 11580, 11590, 11600, 11610, 11620, 11630, 11640, 11650, 11660, 11670, 11680, 11690, 11700, 11710, 11720, 11730, 11740, 11750, 11760, 11770, 11780, 11790, 11800, 11810, 11820, 11830, 11840, 11850, 11860, 11870, 11880, 11890, 11900, 11910, 11920, 11930, 11940, 11950, 11960, 11970, 11980, 11990, 12000, 12010, 12020, 12030, 12040, 12050, 12060, 12070, 12080, 12090, 12100, 12110, 12120, 12130, 12140, 12150, 12160, 12170, 12180, 12190, 12200, 12210, 12220, 12230, 12240, 12250, 12260, 12270, 12280, 12290, 12210, 12220, 12230, 12240, 12250, 12260, 12270, 12280, 12290, 12300, 12310, 12320, 12330, 12340, 12350, 12360, 12370, 12380, 12390, 12400, 12410, 12420, 12430, 12440, 12450, 12460, 12470, 12480, 12490, 12500, 12510, 12520, 12530, 12540, 12550, 12560, 12570, 12580, 12590, 12600, 12610, 12620, 12630, 12640, 12650, 12660, 12670, 12680, 12690, 12700, 12710, 12720, 12730, 12740, 12750, 12760, 12770, 12780, 12790, 12800, 12810, 12820, 12830, 12840, 12850, 12860, 12870, 12880, 12890, 12900, 12910, 12920, 12930, 12940, 12950, 12960, 12970, 12980, 12990, 13000, 13010, 13020, 13030, 13040, 13050, 13060, 13070, 13080, 13090, 13100, 13110, 13120, 13130, 13140, 13150, 13160, 13170, 13180, 13190, 13200, 13210, 13220, 13230, 13240, 13250, 13260, 13270, 13280, 13290, 13300, 13310, 13320, 13330, 13340, 13350, 13360, 13370, 13380, 13390, 13400, 13410, 13420, 13430, 13440, 13450, 13460, 13470, 13480, 13490, 13500, 13510, 13520, 13530, 13540, 13550, 13560, 13570, 13580, 13590, 13600, 13610, 13620, 13630, 13640, 13650, 13660, 13670, 13680, 13690, 13700, 13710, 13720, 13730, 13740, 13750, 13760, 13770, 13780, 13790, 13800, 13810, 13820, 13830, 13840, 13850, 13860, 13870, 13880, 13890, 13900, 13910, 13920, 13930, 13940, 13950, 13960, 13970, 13980, 13990, 14000, 14010, 14020, 14030, 14040, 14050, 14060, 14070, 14080, 14090, 14100, 14110, 14120, 14130, 14140, 14150, 14160, 14170, 14180, 14190, 14200, 14210, 14220, 14230, 14240, 14250, 14260, 14270, 14280, 14290, 14300, 14310, 14320, 14330, 14340, 14350, 14360, 14370, 14380, 14390, 14400, 14410, 14420, 14430, 14440, 14450, 14460, 14470, 14480, 14490, 14500, 14510, 14520, 14530, 14540, 14550, 14560, 14570, 14580, 14590, 14600, 14610, 14620, 14630, 14640, 14650, 14660, 14670, 14680, 14690, 14700, 14710, 14720, 14730, 14740, 14750, 14760, 14770, 14780, 14790, 14710, 14720, 14730, 14740, 14750, 14760, 14770, 14780, 14790, 14800, 14810, 14820, 14830, 14840, 14850, 14860, 14870, 14880, 14890, 14900, 14910, 14920, 14930, 14940, 14950, 14960, 14970, 14980, 14990, 15000, 15010, 15020, 15030, 15040, 15050, 15060, 15070, 15080, 15090, 15100, 15110, 15120, 15130, 15140, 15150, 15160, 15170, 15180, 15190, 15200, 15210, 1522

холодной штамповки различных изде-  
лий (см. п. 9.2). Без термической обра-  
ботки в горячекатаном состоянии их ис-  
пользуют для шайб, прокладок, кожу-  
хов и других деталей, изготавливаемых  
холодной деформацией и сваркой.

2. Стали 15, 20, 25—цементуемые, пред-  
назначены для деталей небольшого  
размера (кулачки, толкатели, малона-  
груженные шестерни и т. п.), от которых  
требуется твердая, износостойкая по-  
верхность и вязкая сердцевина. Поверх-  
ностный слой после цементации упроч-  
няют закалкой в воде в сочетании  
с низким отпуском. Сердцевина из-за  
низкой прокаливаемости упрочняется  
слабо.

Эти стали применяют также горячека-  
таными и после нормализации. Они  
пластичны, хорошо штампуются и сва-  
риваются; применяются для изготовле-  
ния деталей машин и приборов невысо-  
кой прочности (крепежные детали, втул-  
ки, штуцеры и т. п.), а также для  
деталей котлотурбостроения (трубы  
перегревателей, змеевики), работающих  
под давлением при температуре от -40  
до 425 °С.

Среднеуглеродистые стали 30, 35, 40,  
45, 50, 55 отличаются большей про-  
чностью, но меньшей пластичностью,  
чем низкоуглеродистые (см. табл. 8.3).  
Их применяют после улучшения, норма-  
лизации и поверхностной закалки.  
В улучшенном состоянии—после закал-  
ки и высокого отпуска на структуру со-  
рбита—достигаются высокая вязкость,

пластичность (рис.)  
стие, малая чувстви-  
таторам напряжен-  
сечения деталей из-  
ливаемости механи-  
лей снижаются (ри-  
шения стали приме-  
ния деталей неболь-  
тоспособность ко-  
сопротивлению ус-  
ленчатые валы мал-  
лей, зубчатые кол-  
и т. п.). При этом  
деталей зависит от  
и требований к про-  
деталей, работаю-  
сжатие (например, в  
однородность свой-  
сечению и, как след-  
каливаемость. Разме-  
ния таких нагружен-  
чивается 12 мм. Для  
и т. п.), испытыва-  
зом напряжения из-  
торые максималь-  
толщина упрочнен-  
должна быть не ме-  
са детали. Возмож-  
ного сечения таких

Для изготовления  
талей, работающих  
клинических и конта-  
пользуют стали 40,  
после нормализации  
индукционной зака-  
тех мест, которые  
кую твердость пове-

тальных валков, зубья шестерен и т. п.).

Индукционной закалкой с нагревом ТВЧ упрочняют также поверхность длинных валов, ходовых винтов станков (рис. 8.7) и других деталей, для которых важно ограничить деформации при термической обработке.

Стали с высокой концентрацией углерода (60, 65, 70, 75, 80, 85), а также с увеличенным содержанием марганца (60Г, 65Г и 70Г) преимущественно применяют в качестве рессорно-пружинных. Их подвергают закалке и среднему отпуску на структуру троостита для получения высоких упругих и прочностных свойств ( $\sigma_{\text{в}} > 800 \text{ МПа}$ ). Стали используют для силовых упругих элементов — плоских и круглых пружин, рессор, упругих колец и других деталей пружинного типа.

В нормализованном состоянии стали применяют для прокатных валков, шпинделей станков и других крупных деталей.

#### 8.4. Легированные стали

**Маркировка легированных сталей.** Марка легированных сталей состоит из сочетания букв и цифр, обозначающих ее химический состав. По ГОСТ 4543-71 принято обозначать хром — Х, никель — Н, марганец — Г, кремний — С, молибден — М, вольфрам — В, титан — Т, ванадий — Ф, алюминий — Ю, медь — Д, ниобий — Б, бор — Р, кобальт — К. Цифра, стоящая после буквы, указывает на примерное содержание легирующего эле-

мента в %.

Некоторые гру дополнительные шарикоподшипники наются с буквами ских — с буквы Э, А.

Нестандартные выплавляемые замаркируют сочетанием тросталь исследований (П — пробная) и (например, ЭИ415) промышленного назначения заменяющую примерный

**Влияние легирования на механические свойства** легированные элементы в конструкционной сталью, высокими особенностями качеством имеют после закалки в отожженном виде механическим свойствам, отличающимся от углеродистыми

Улучшение механических свойств обусловлено влиянием легирующих элементов на свойства карбидной фазы.

<sup>1</sup> Такой же принцип маркировки инструментальных сталей. В начале марки стоит буква, обозначающая углеродистую сталь. При содержании в них углерода более 1% цифру опускают. Например, марка 1ХС18Н9Т

мартенсита при отпуске, прокаливаемость, размер зерна.

В конструкционных сталях феррит — основная структурная составляющая (не менее 90 % по объему), во многом определяющая их свойства. Легирующие элементы, растворяясь в феррите, упрочняют его. Наиболее сильно повышают твердость медленно охлажденного (нормализованного) феррита (рис. 8.8, а) кремний, марганец, никель, т. е. элементы, имеющие отличную от  $\text{Fe}_\alpha$  кристаллическую решетку. Слабее влияют молибден, вольфрам и хром, изоморфные  $\text{Fe}_\alpha$ .

Упрочняя феррит и мало влияя на пластичность, большинство легирующих элементов снижают его ударную вязкость, особенно если их концентрация выше 1 % (рис. 8.8, б). Исключение составляет никель, который не снижает вязкости. Марганец и хром при содержании до 1 % повышают ударную вязкость; при большей концентрации она снижается, достигая уровня нелегированного феррита, примерно при 3 % Cr и 1,5 % Mn.

При увеличении в стали углерода усиливается влияние карбидной фазы, дисперсность которой определяется термической обработкой и составом стали.

Карбиообразующие элементы и частично кремний задерживают выделение и коагуляцию карбидов при отпуске, увеличивая дисперсность карбидной

фазы. Кроме того, упрочнение закаления тем самым снижается при отпуске.

К важнейшим стоящим повышению прочности, от легирования критикаются и увеличиваются. Наиболее эффективны добавки: Cr + Mo, Cr + Mn и др. При компоновке высокие механические характеристики получать практически невозможно, поэтому разработанные стали применяются для деталей сложной формы, где резкого охлаждения таких деталей уменьшает напряжения и снижает трещин.

Большинство легирующих элементов изменяет зерно, повышению работы и снижению порога

При одинаковом количестве легирующих элементов и диффузное влияние на ход в хрупкое развитие трещины. Уменьшает порог хладостойкости, повышает сопротивление трещин никель. Увеличивает порог хладостойкости.

должно быть рациональным. После достижения необходимой прокаливаемости избыточное легирование (за исключением никеля) снижает трещиностойкость и облегчает хрупкое разрушение.

**Хром** вводят в количестве до 2%. Он растворяется в феррите и цементите, оказывая благоприятное влияние на механические свойства стали, что определило его широкое применение в конструкционных сталях.

**Никель** — наиболее ценный и в то же время наиболее дефицитный легирующий элемент. Его вводят в количестве от 1 до 5%.

**Марганец** вводят в количестве до 1,5% и используют нередко как заменитель никеля. Он заметно повышает предел текучести стали, однако делает сталь чувствительной к перегреву, поэтому для измельчения зерна вместе с ним вводят карбидообразующие элементы.

**Кремний** — некарбидообразующий элемент, количество которого ограничивают 2%. Кремний сильно повышает предел текучести, несколько затрудняет разупрочнение стали при отпуске; снижает вязкость и повышает порог хладноломкости при содержании выше 1%.

**Молибден** и **вольфрам** — дорогие и остродефицитные карбидообразующие элементы, которые большей частью растворяются в цементите. Основная цель введения 0,2–0,4% Mo и 0,8–1,2% W — уменьшение склонности к отпускной хрупкости второго рода, улучшение

при нагреве карбиды снижают про-  
полагаясь по гра-  
ствуют хрупкому

**Бор** вводят (0,002–0,005%) для ваемости. Микролививалентно введен 0,2% Mo.

**Легированные ста-  
вышенней статиче-  
сталей нормально-  
чности наибольшее  
но- и приборостро-  
углеродистые (цем-  
глеродистые (улуч-  
жащие, как правило,  
5% легирующих эле-  
ментов).**

**Низкоуглеродис-  
трованные стали** (т. е.  
в состоянии наибо-  
лее высокой твердости  
т. е. после закалки  
структурой (в зави-  
стии от содержания  
стали) низкоуглеродистые  
или бейнита. Повы-  
шивающие свойства этих стру-  
рошей пластичность  
малой чувствитель-  
и высоким сопро-  
вязкой трещины.

**Функциональные**  
углеродистых сталей  
(т. е. цементуемые) д-  
са, кулакчи и  
в условиях трения  
поверхности углеродистого отпуска низ-  
ких температур.

## Среднеуглеродистые стали

40Х	0,36—0,44	—	—	0,8—1,1	—	
40ХГТР	0,38—0,45	0,7—1	—	0,8—1,1	—	
30ХГСА	0,28—0,34	0,8—1,1	0,9—1,2	0,8—1,1	—	
40ХНМА	0,37—0,44	—	—	0,6—0,9	1,25—1,65	0
38ХН3МФА	0,33—0,4	—	—	1,2—1,5	3—3,5	0
38Х2МЮА	0,35—0,42	—	—	1,35—1,65	—	0

Примечания: 1. Концентрация марганца и кремния как постоянные.  
 2. Сера и фосфор находятся в пределах норм для качественных и высококачественных сталей.

наряду с твердой поверхностью (*HRC* 58—63) имеют достаточно прочную и вязкую сердцевину, устойчивую к действию циклических и ударных нагрузок. Работоспособность цементованных деталей зависит от свойств поверхностного слоя и сердцевины. При одинаковых свойствах цементованного слоя (определенная концентрацией в нем углерода) работоспособность деталей повышается по мере увеличения предела текучести и твердости сердцевины. При недостаточном уровне этих свойств под цементованным слоем происходит пластическая деформация, которая вызывает его преждевременное разрушение.

Благоприятное сочетание прочности, пластичности и вязкости, а также высокая хладостойкость (порог хладноломкости лежит в области отрицательных температур) обусловливают применение низкоуглеродистых сталей и без поверхностного упрочнения. Механические

свойства низкоуглеродистых сталей, подвергнутых поверхностного упрочнения, приведены в табл. 8.5. Механические свойства определены после двойной термообработки.

**ТАБЛИЦА 8.5. Режимы термообработки и свойства сталей**

Сталь	Температура, °C		
	закалки		отпуска
	I	II	
15Х	880	770—1 820	1
15ХФ	880	760—1 810	1
30ХГТ	880	850	2
25ХГМ	860	—	2
12ХН3А	860	760—1 810	1
12Х2Н4А	860	760—1 800	1
18Х2Н4МА	950	860	2

данных сталей нормализованной прочности. Для уменьшения коробления их закаливают не в воде, а в масле. В результате они приобретают структуру троостита или бейнита и упрочняются несколько меньше (см. табл. 8.5). Стали этой группы применяют для небольших деталей (сечением не более 25 мм), работающих при средних нагрузках.

К группе сталей повышенной прочности относятся комплексно-легированные, а также экономно-легированные стали с повышенным содержанием углерода (0,25–0,30 %).

Хромоникелевые стали 12ХН3А, 20ХН3А, 12Х2Н4А, 20Х2Н4А применяют для крупных деталей ответственного назначения. После закалки в масле эти стали в сечениях до 100 мм имеют структуру низкоуглеродистого мартенсита в смеси с нижним бейнитом, которая обеспечивает сочетание высокой прочности и вязкости.

Хромоникельмolibденовая (вольфрамовая) сталь 18Х2Н4МА (18Х2Н4ВА) наиболее высоколегирована и имеет высокие механические и эксплуатационные свойства.

В этой стали отсутствует перлитное превращение, а температурный интервал бейнитного превращения практически сливаются с мартенситным, поэтому при любом, даже очень медленном охлаждении получается структура мартенсита (или смеси мартенсита и бейнита). Отжиг для нее неприменим. В качестве смягчающей операции проводят высокий отпуск на сорбит.

Рис. 8.9. Влияние механические свойст

Сталь 18Х2Н4М тенситному классу, духе и прокаливанием сечений крупных деталей этого назначения (18Х2Н4ВА) из-за на (вольфрама) при отпуске (рис. 8.9), также в улучшении больших статических ках.

Недостатками сталей, содержащих высокую стоимость химико-термического воздействия легирующим элементом  $M_k$  для высокоуглеродистого слоя смеси ниже 0 °C, поэтому сохраняется до 600 °C. Сталь не обрабатывается холодом для того, чтобы превращение остаточных тенситов и обеспечить гладкость поверхности.

Хромомарганцевые стали (18ХГТ, 30ХГТ) и 35ХГС относятся к экономному классу и предназначены для применения в кипелевых стальных конструкциях. Марганец способствует упрочнению

кашки и высокого отпуска (300–650 °С) на структуру сорбита. Улучшение этих сталей в отличие от нормализации обеспечивает повышенный предел текучести в сочетании с хорошей пластичностью и вязкостью, высоким сопротивлением развитию трещины. Кроме того, улучшение заметно снижает порог хладноломкости, который в этих сталях, в отличие от низкоуглеродистых, лежит при более высоких температурах.

Улучшаемые легированные стали применяют для большой группы деталей машин, работающих не только при статических, но и в условиях циклических и ударных нагрузок (валы, штоки, шатуны и др.), концентрации напряжений, а в некоторых случаях и при пониженных температурах. При выборе стали кроме предела текучести, вязкости, чувствительности к надрезу важное значение имеют также величины верхнего ( $t_u$ ) и нижнего ( $t_n$ ) порогов хладноломкости, сопротивление усталости.

ТАБЛИЦА 8.6. Термическая обработка и механические свойства улучшаемых сталей

Сталь	Температура закалки, °С	Отпуск		$\sigma_b$	$\sigma_{0,2}$	$\delta$	$\psi$
		Температура, °С	Среда охлаждения	МПа		% Не менее	
40Х	860	500	Вода, масло	1000	800	10	45
50Х	830	520	То же	1100	900	9	40
30ХГСА	880	540	»	1100	850	10	45
40ХН	820	500	»	1000	800	11	45
40ХНМА	850	620	»	1100	950	12	50
38ХНЗМА	850	600	Воздух	1200	1100	12	50

Однако прибором температурой достаточна близкое сопротивление трещине состоит в паре, которые более чувствительны к структуре и

Хромистые стали (см. табл. 8.4) относятся к конструкционным материалам с содержанием углерода, что уменьшается прочность, пластичность и вязкость, повышается хладноломкости (снижение хладноломкости, устранение кратковременного охлаждения стальных изделий при высоком отпуске). Стальные изделия глубину 15–25 мм из-за хладноломкости, устранение кратковременного охлаждения стальных изделий небольшой глубины рекомендуются для

рукции, детали рулевого управления.

Хромоникелевые стали 40ХН, 45ХН, 50ХН обеспечивают высокий комплекс механических свойств в деталях сечением 40–50 мм. Из-за присутствия никеля эти стали, в отличие от хромистых, имеют более высокий температурный запас вязкости и меньшую склонность к хрупкому разрушению.

Хромоникельмolibденовые (вольфрамовые) стали 40ХНМА, 38ХНЗМА, 38ХНЗМФА, а также 18Х2Н4МА (18Х2Н4ВА) относятся к глубокопрекаливающимся стальям, предназначенным для деталей с поперечным сечением 100 мм и более. Их комплексное легирование обусловлено тем, что применение чисто хромоникелевых сталей нецелесообразно, так как они имеют сильно выраженную склонность к отпускной хрупкости. Для ее устранения в деталях большого сечения недостаточно быстрого охлаждения от температуры высокого отпуска. Поэтому хромоникелевые стали легируют молибденом (вольфрамом).

Стали относятся к мартенситному классу, закаливаются на воздухе, обладают малой склонностью к хрупкому разрушению, хорошо работают при динамических нагрузках и в условиях пониженных температур. Кроме того, стали слабо разупрочняются при нагреве и могут применяться при температурах до 300–400 °С. Они предназначены для деталей наиболее ответственного назначения (валы и роторы турбин,

кую чувствительны к напряжениям и надежны.

Развитие техниками машин наименования применения высоких имеющих  $\sigma_b > 150$  кг/мм<sup>2</sup> охлаждения хрупкого разрушения необходим определить (минимальная величина  $KCU = 0,2$  МПа). Расчет рабочих напряжений этих сталей необходим по значению  $\sigma_{0,2}$ , пусть размером критерия вания критерия высокопрочных соблюдение определенных к конструкированию технологии обработки и проектированию конструктивных элементов, а при изготовлении на поверхности гладких, обеспечивать роховатость.

Высокопрочное стальное с достаточно высоким хрупкому разрушению получено при использовании углеродистых композиций сталей после низкотемпературной термообработки мартенситно-стареющихся бильных аустенитов.

Среднеуглеродистые стальные композиционные низкоотв

сар рационального состава стали, получение мелкого зерна, обязательного для высокопрочного состояния, повышение металлургического качества металла.

Повышение вязкости достигается прежде всего легированием никелем (1,5–3%). Чем больше его количество, тем ниже порог хладноломкости и выше допустимый уровень прочности. Вместе с ним вводят небольшое количество кремния, молибдена, вольфрама, ванадия. Эти элементы, затрудняя разупрочнение мартенсита при отпуске, позволяют несколько повысить температуру отпуска и тем самым полнее снять закалочные напряжения. Карбиообразующие элементы необходимы также для получения мелкого зерна. Хром и марганец вводят для обеспечения нужной прокаливаемости.

К распространенным высокопрочным сталям относятся стали 30ХГСНА, 40ХГСНЗВА, 40ХН2СМА, 30Х2ГСН2ВМ, 30Х5МСФА. Характерные механические свойства двух сталей, определенные на образцах с трещиной и без нее, приведены в табл. 8.7. В самолетостроении широко применяют сталь 30ХГСНА, которая представляет собой хромансиль, улучшенную введением 1,6% Ni. Ее используют для силовых сварных конструкций, деталей фюзеляжа, шасси и т. п. При временном сопротивлении до 1650 МПа сталь подвергают изотермической закалке, поскольку по сравнению с низкоотпущенными состояниями она обеспечивает меньшую чувствитель-

900°C и низкого отпуска – после изотермической

ность к надрезам и противление разрушению.

*Среднеуглеродистые временно термомеханические*  
Термомеханическая совмещает два механических процесса: пластическую деформацию и закалку – в единий технологический процесс. Такое комбинированное применительно к сталям легированным маркам 40ХН, 40ХНМА, 38ХНМА обеспечивает высокую прочность в образцах небольшого диаметра –  $2000 \div 2800$  МПа при запасе пластичности.

В зависимости от температуры аустенитации аустенита – вышестоящая рекристаллизация – соответственно выходит на температуре (ВТМО) и на температуре (НТМО) термомеханического

При ВТМО (рис. 8.10, а) сталь монтируют при температуре  $A_3$  и немедленно с тем, чтобы не допустить кристаллизации аустенита (рис. 8.10, б) деформируют в области повышенной температуры аустенита (400–600°C). Кристаллизация при этих температурах неоднозначна, однако необходима для образования бейнитных

повышается весь комплекс механических свойств и особенно пластичность и вязкость, что наиболее важно для высокопрочного состояния. По сравнению с обычной обработкой прирост прочности при ТМО составляет 200–500 МПа, т. е. 10–20%. Характеристики пластичности и вязкости повышаются в 1,5–2 раза.

Улучшение комплекса механических свойств обусловлено формированием специфического структурного состояния. Деформация создает в аустените высокую плотность дислокаций, образующих из-за процесса полигонизации устойчивую ячеистую субструктуру, которая наследуется мартенситом при закалке. При этом субграницы тормозят движение дислокаций и локализируют деформацию внутри зерна; в результате прочность повышается. В то же время субграницы ведут себя как полупроницаемые барьеры. Они допускают прорыв дислокаций, их передачу из мест скоплений в соседние субзерна. Это вызывает пластическую релаксацию локальных напряжений и служит причиной повышенных пластичности и вязкости.

Наибольшее упрочнение ( $\sigma_b \leq 2800$  МПа) достигается при НТМО. Однако ее проведение технологически более сложно, чем ВТМО. Она требует мощных деформирующих средств, так как для получения высокой прочности необходимы большие степени обжатия (50–90%), а аустенит в области температур 400–600 °C не столь пластичен. Ее

лента, прутки). Кроме того для легированной устойчивостью аустенита.

ВТМО обеспечивает упрочнение<sup>1</sup> ( $\sigma_b \leq 2800$  МПа), высокие пластичные свойства, уменьшает также чувствительность к трещине ( $K_{Ic}$  возрастает), снижает порог хладостойкости, повышает сопротивление коррозии. Упрочнение связано с устойчивостью дислокационных структур, что делает аустенит эффективно вакуумированного металла. ВТМО более технологична, чем НТМО, так как аустенит выше точки рекристаллизации (около 400 °C) является более пластичным, чем мартенсит. При деформации аустенита в результате больших степеней обжатия прочность повышается на 20–40%. Для различных конструкций

Область ВТМО определяется обратимости эффекта. Ее основное значение состоит в том, что с помощью ВТМО можно получать упрочнение, не применяя высокотемпературную закалку. Это позволяет определенным образом использовать стальные полуфабрикаты, прутки, листы и т. д., полученные методом ВТМО на металлургических заводах.

Улучшить свойства легированных

<sup>1</sup> Это обусловлено тем, что в области температур трудно избежать диффузии аустенита.

лов, превосходящих по конструкционной прочности и технологичности рассмотренные выше среднеуглеродистые стали.

Их основа — безуглеродистые ( $\leq 0,03\%$ ) С) сплавы железа с содержанием 8—25% Ni, легированные Co, Mo, Ti, Al, Cr и другими элементами (табл. 8.8).

Высокая прочность этих сталей достигается совмещением двух механизмов упрочнения: мартенситного  $\gamma \rightarrow \alpha$ -превращения и старения мартенсита. Небольшой вклад вносит также легирование твердого раствора.

Никель стабилизирует  $\gamma$ -твердый раствор, сильно снижая температуру  $\gamma \rightarrow \alpha$ -превращения (см. рис. 3.20), которое даже при невысоких скоростях охлаждения протекает по мартенситному механизму.

Мартенситно-стареющие стали закаливают от 800—860 °C на воздухе. При нагреве легирующие элементы Ti, Be, Al, Cu, Mo, обладающие ограниченной

ТАБЛИЦА 8.8. Свойства мартенситно-стареющих сталей

Сталь	Массовая доля легирующих элементов, %	Механические свойства				
		$\sigma_B$	$\sigma_{0,2}$	$K_{Ic}$	$\delta$	
		МПа		МПа $\times m^{1/2}$	%	
03Н18К9М5Т	18 Ni; 9 Co; 5 Mo; 0,9 Ti	2100	1900	75—85	8	
03Н12К15М10	12 Ni; 15 Co; 10 Mo	2500	2400	—	6	
03Х11Н10М2Т	10 Cr; 11 Ni; 2 Mo; 0,9 Ti; 0,2 Al	1600	1550	90—105	8	

несмотря на высокую стоимость, применяют для наиболее ответственных деталей в авиации, ракетной технике, судостроении и как пружинный материал в приборостроении.

*Метастабильные аустенитные стали (трипстали)* — новый класс высоко прочных материалов повышенной пластичности. Они относятся к высоколегированным сталям. Их состав, который ориентировано может быть выражен марками 25Н25М4Г, 30Х9Н8М4Г2С2, подобран таким образом, чтобы после закалки от температуры 1000–1100 °С они имели устойчивую аустенитную структуру ( $M_u$  лежит ниже 0 °С). Аустенитная структура обладает высокой вязкостью, но низким пределом текучести. Для упрочнения стали подвергают специальной тепловой обработке — пластической деформации с большими степенями обжатия (50–80 %) при температуре 400–600 °С, лежащей ниже температуры рекристаллизации. При этом деформационное упрочнение (наклеп) совмещается с карбидным упрочнением, развивающимся в результате деформационного старения. Насыщенная дислокационная структура, создаваемая пластической деформацией, дополнитель но стабилизируется выделяющимися дисперсными частицами карбидов. В результате деформационно-термического упрочнения предел текучести повышается до 1800 МПа. При этом сталим свойственны высокая пластичность ( $\delta \geq 20\%$ ) и трещиностойкость. Значения  $\delta$  и  $K_{Ic}$

Рис. 8.11. Вязкость рыхлых сталей:

1 — метастабильных аустенито-стареющих; 3 — хро-

у этих сталей больших вязкостях сокопрочных сталей

Высокая пластичность и малое разрушение обусловлены высоким тенситивным превращением и формированием. Деформация тепловой обработкой углеродом и легирующими элементами становится метастабильным. Быстрая вторная пластическая деформация вызывает превращение аустенита в мартенсит. Механизм повышения вязкости разрушения — «мартенситный» — локальным разрушением мартенсита в участках пластичности (в том числе и у трещины). Образование участков мартенсита настолько же, что и быть слабыми участками распространяется

Применение метастабильных сталей основана на их способности деформационного упрочнения. Для этого используются деформации при низких температурах, при которых возникают мощные дислокации. Области при-

установлено для различных сталей:

- 1 – среднеуглеродистых, упрочненных ТМО; 2 – мартенситно-стареющих; 3 – среднеуглеродистых легированных без ТМО; 4 – метастабильных аустенитных

ли авиаконструкций, броневой лист, проволока тросов и др.

Взаимное расположение высокопрочных сталей различных классов по прочности и пластичности представлено на рис. 8.12. Из него видно, что наибольшей прочностью обладают среднеуглеродистые стали после термомеханической обработки, а наибольшей пластичностью при одинаковой прочности – метастабильные аустенитные стали.

**Легированные стали с повышенной циклической прочностью.** Циклическая прочность стали определяет работоспособность большой группы ответственных деталей машин – валов, осей, шатунов, штоков, валов-шестерен и других. Основой выбора стали для таких деталей служит предел выносливости  $\sigma_{-1}$ . Наряду с  $\sigma_{-1}$  используют и такие параметры статической прочности, как  $\sigma_b$ ,  $\sigma_{0,2}$  или  $NV$ , что объясняется их устойчивой связью с пределом выносливости. При выборе марки стали учитывают также ударную вязкость, сопротивление износу, прокаливаемость.

Изменение предела выносливости стали с ростом ее статической прочности подчиняется сложной зависимости (рис. 8.13).

Развитие трещин усиливается тем труднее, чем больше пластическая деформация. Полное релаксирование напряжений в шинах трещины. Исходя из этого, сопротивление зарождению трещин усталости, а повышенное сопротивление разрушению – это не обязательно. Уменьшение чувствительности к факторам напряжения способствует зарождению трещин. Таким образом, предел выносливости зависит не только от статической прочности, но и от пла-

$\sigma_{-1}$ , МПа



Рис. 8.13. Зависимость предела выносливости при изгибе от временного сопротивления среднеуглеродистых сталей с различной структурой

38ХН3МА и др., обрабатываемым на структуру сорбита. В отдельных случаях углеродистые стали из-за низкой прокаливаемости применяют в нормализованном состоянии с ферритно-перлитной структурой.

Для улучшаемых сталей, имеющих невысокую твердость ( $HV \leq 3500$ ), характерны раннее пластическое течение и повреждение тонких (5–10 мкм) поверхностных слоев. Субмикроскопические трещины усталости у них возникают на ранней стадии, составляющей 3–10 % от общего времени до разрушения. Остальное время приходится на их развитие.

Характерная особенность улучшаемых сталей – высокая живучесть, обусловленная низкой скоростью роста трещины усталости (СРТУ). Причиной низкой СРТУ, кроме высокой пластичности сталей, является также развитая субструктура ферритной фазы сорбита, которая формируется при высоком отпуске в результате процесса полигонизации.

Дислокации, выстраиваясь в стенки, образуют в феррите малоподвижные субграницы, которые дополнительно блокируются карбидными частицами. При наличии таких внутренних барьёров трещина вынуждена ветвиться, развиваться зигзагообразно, что увеличивает энергию ее образования и время развития. В результате улучшаемые стали на обобщенной диаграмме усталостного разрушения (см. рис. 7.10) имеют

Недостаток улучшаемых сталей – невысокий предел прочности, чина которого растяжения статической природы (рис. 8.13). При этом  $\sigma_{-1} \leq 1200$  МПа зависит от коэффициент выносливости, минимальный и достигает

Рассчитывать деформационные свойства сталей по величине  $\sigma_{-1}$  сообразно из-за недостатка точечных напряжений. Слишком большие пределы выносливости не редко расчет ведут за пределу выносливости, допустимо, так как улучшаемых сталей можно выявить трещину в сталь без аварийных испытаний. И более низкий предел выносливости имеют среднеуглеродистые стали ВСт5, 35, 40, 45, 50, имеющие в нормализованном состоянии с ферритно-перлитной структурой (см. рис. 8.13). В то же время эти стали используются для изготовления деталей, имеющих высокие стойкости деталей к износу и коррозии. Для брационных нагрузок на материал требуется высокая способность к выносливости.

Стали повышенной выносливости ( $\sigma_{-1} = 1300 \div 1500$  МПа) (стали 40–50) со структурой, изображенной на рис. 8.13) относятся к группе высоколегированных углеродистых сталей, имеющим

до 0,4. Для того чтобы обеспечить более высокую циклическую прочность этих сталей, необходимо уменьшить их чувствительность к концентраторам напряжений.

Твердые ( $HRC > 50$ ) высокопрочные стали с мартенситной структурой обладают особо высокой чувствительностью к концентраторам напряжений, что нейтрализует их основное свойство — высокое сопротивление образованию трещин усталости. По этой причине увеличение их статической прочности не сопровождается повышением выносливости (см. рис. 8.13). Более того, при  $\sigma_b > 2000$  МПа начинается снижение  $\sigma_{-1}$ , а коэффициент выносливости уменьшается до 0,3\*. Таким образом, потенциальные свойства высокопрочных сталей при циклических нагрузках не реализуются. Особенно сильно это проявляется не в образцах, а в реальных деталях вследствие резкого увеличения эффективного коэффициента концентрации напряжений ( $K_o$ )<sub>D</sub> [см. формулу (7.4)]. Его увеличение связано с интенсивным ростом коэффициента  $K_o$  по мере повышения статической прочности стали и снижением коэффициентов, характеризующих влияние масштабного фактора  $\varepsilon_o$  и шероховатости поверхности  $\beta$ . Вследствие высоких значений ( $K_o$ )<sub>D</sub> несущая способность деталей из

\* Высокие значения  $k \approx 0,5$  при мартенситной структуре могут сохраняться лишь для среднеуглеродистых сталей, упрочненных термомеханической обработкой (штриховая линия на рис. 8.13).

ванием (ППД): обкатка дробью и дранными методами, микро-термическую обработку.

Благоприятное влияние этих методов обусловлено двух факторов — повышение пластичности верхностного слоя и снижение остаточных напряжений.

Влияние этих факторов особенно значительно для деталей, подвергнутых на изгиб, кручение и сдвиг. Увеличение максимальных напряжений (валы, оси, зубчатые колеса). Упрочненный поверхностный слой, имеющий жесткую оболочку из дислокаций на поверхности, является самым преградой для распространения повреждений и облегчает усталость. Этому способствует и то, что остаточные напряжения, возникшие при обработке, уменьшаются с напряженностью нагрузки, они уменьшаются и становятся неблагоприятными при работе.

Степень влияния остаточных напряжений сжатия растет с приближением к предела текучести. Слой — той предельно напряженной зоны, в которой они могут достичь максимальных значений, — растет не только в глубину, но и в ширину, в результате чего вспышка остаточных напряжений может привести к потерям стабильности в процессе работы.

<sup>1</sup> В зубчатых колесах наружного зацепления зона сжатия ограничена кончиком зуба.

Эффективность технологических методов количественно оценивается коэффициентом упрочнения  $\beta_{упр}$ , показывающим, во сколько раз снижается эффективный коэффициент концентрации напряжений ( $K_c$ )<sub>D</sub> и увеличивается предел выносливости конкретной детали. Влияние поверхностного упрочнения на  $\beta_{упр}$  показано в табл. 8.9.

Из таблицы видно, что эффективность технологических методов тем значительнее, чем острее концентратор напряжений (выше  $K_c$ ).

ма поверхности прорусятся остаточные напряжения, которые на повышение предела выносливости валов уве-300–600 МПа. Гладких валов уве-раза (см. табл. 8.9).

Обладая высокой прочностью, метод позволяет в то же время малые концентрации напряжений возможно только в местах обрыва охватывающего га-

ТАБЛИЦА 8.9. Повышение предела выносливости валов при поверхностной обработке

Вид поверхности обработки	Прочность сердцевины $\sigma_b$ , МПа	Коэффициент упрочнения	
		гладких ( $K_c = 1$ )	с малой концентрацией напряжений ( $K_c \leq 1,5$ )
Индукционная закалка с нагревом ТВЧ	600–800 800–1000	1,5–1,7 1,3–1,5	1,6–1,8 —
Азотирование	900–1200	1,1–1,3	1,5–1,7
Цементация	400–600 700–800 1000–1200	1,8–2 1,4–1,5 1,2–1,3	3 — 2
Дробеструйный наклеп	600–1500	1,1–1,3	1,5–1,6
Накатка роликом	—	1,1–1,3	1,3–1,5

ния сжатия, смещающие очаг усталостного разрушения под поверхность. Предел выносливости гладких валов увеличивается в 1,1–2 раза, а при наличии концентраторов напряжений в 3 раза и более (см. табл. 8.9).

Наиболее напряженные детали (зубчатые колеса, вал-шестерни и др.) подвергают цементации, применяя для их изготовления низкоуглеродистые стали (см. табл. 8.4). После насыщения углеродом, закалки и низкого отпуска эти стали при высокой поверхностной твердости сохраняют вязкую сердцевину, способную воспринимать ударные нагрузки. Достоинство цементации – возможность получить упрочненные слои большой толщины (0,8–2 мм и более), выдерживающие высокие удельные нагрузки. Однако максимальной циклической прочности отвечают слои меньшей толщины (0,4–0,8 мм), когда остаточные напряжения сжатия высоки у поверхности, а очаг разрушения находится неглубоко от нее. С увеличением толщины слоя остаточные напряжения и предел выносливости снижаются, очаг разрушения смещается в глубь слоя – на границу с сердцевиной. По этой причине циклическая прочность цементированных деталей зависит не только от свойств поверхностного слоя, но и от свойств сердцевины, увеличиваясь по мере повышения ее прочности и твердости, достигая максимального значения при  $\sigma_b =$

\* Здесь и далее твердость приведена в мегапаскалях.

ния и растет по мере упрочнения небольшой толщиной, ограничивающей диффузию азота, а также большой диффузии азотированное покрытие. Ему сопутствуют те же недостатки, что и в тех случаях, когда для формирования деталей требуется повышение стойкости и высокая твердость поверхности.

В отличие от азотации, цементация вызывает сильное охлаждение деталей, для устранения которого приходится использовать толщиной 0,10–0,25 мм, с остаточными напряжениями сжатия. В результате остаточные напряжения снижаются, а детали формируются напрессовкой. В связи с этим цементированные детали после шлифования роликами или обдувки роликами при помощи наклела имеют специальной формы, обдуваемой потоком воздуха (0,6–3,0 мм), с целью универсальности, – для дальнейшей обработки.

Комбинированное цементирование характеризуется высокой твердостью, поскольку ППД дает возможность повысить твердость и прочность (на 10–20%) и формировать остаточные напряжения.

ных средах:

1 — на воздухе; 2 — в пресной воде; 3 — в морской воде

коррозионно-стойкости  
рассмотрены в гл.

## 9.1. Стали с улучшенной обрабатываемостью резанием

Обработка резанием – основной способ изготовления большинства деталей машин и приборов. С улучшением обрабатываемости стали растет производительность их обработки. Особое значение это имеет для массового производства, где широко применяют автоматические линии.

Обрабатываемость оценивается несколькими показателями, главный из которых – интенсивность изнашивания режущего инструмента. Количественная характеристика этого показателя – максимально допустимая скорость резания, соответствующая определенной величине износа или заданной стойкости инструмента. К дополнительным показателям относятся: чистота поверхности резания, форма стружки и легкость ее отвода.

Обрабатываемость стали зависит от ее механических свойств, теплопроводности, микроструктуры и химического состава.

Связь между обрабатываемостью и механическими свойствами неоднозначная. Допустимая скорость резания снижается с увеличением твердости и прочности стали, поскольку увеличиваются усилия резания и температура нагрева инструмента, вызывающая разупрочнение его режущей кромки и снижение стойкости. Между тем обработка слиш-

металла возникает, чего поверхность по-

той с задирами.

Особенно плохой обрабатываемостью отличаются аустенитные стали, которые кроме высокой вязкости имеют пониженную теплопроводность. Выделяют в этих структурах теплота концентрации, снижающая стойкость инструмента.

Повышение обрабатываемости достигается теми же металлургическими методами, что и логическим относятся к структуре обработки и наклеп. Зависимость обрабатываемости от химического состава сталей подтверждена экспериментально, так как она физически обусловлена. Благоприятную, с точки зрения обрабатываемости, структуру имеют феррит и пластинчатый мартенсит. Маргинализацию проводят в результате нагрева для получения мартенсита, что несколько увеличивает скорость резания.

Обрабатываемость сталей повышается в результате пластической деформации, что приводит к увеличению пластичности сталей и снижению сопротивления срезанию стружки.

Более эффективны методы обработки, предусматривающие в конструкционную сталь добавки цинка, свинца, никеля, титана, ванадия, молибдена, теллура, кальция, и т. д., и количества неметаллических примесей; свинца, создавающие в структуре ста-

лям. В соответствии с ГОСТ 1414-75 эти стали маркируют буквой А (автоматная), присутствие свинца обозначает буква С, селена - Е, кальция - Ц<sup>1</sup>; двухзначная цифра после букв А, АС или АЦ - среднее содержание углерода в сотых долях процента.

Автоматные *сернистые* стали А11, А12, А20, А30, А35, А40Г являются углеродистыми, содержат 0,08-0,30% S и 0,05-0,15% P. Для того чтобы не проявлялась красноломкость, в них увеличено количество марганца (0,70-1,55%).

Сера образует большое количество сульфидов марганца, вытянутых в направлении прокатки. Сульфиды оказывают смазывающее действие. Кроме того, нарушая сплошность металла, они вместе с фосфором, повышающим хрупкость феррита, облегчают отделение и измельчение стружки. Отсутствие налипания металла на инструмент способствует получению гладкой блестящей поверхности резания. Вместе с тем повышенное количество серы и фосфора снижает качество стали. Автоматным сернистым сталям свойственна анизотропия механических свойств - пониженные вязкость, пластичность и особенно сопротивление усталости в попечном направлении прокатки. Это обстоятельство, а также низкая коррозионная стойкость ограничивают их применение для изготовления ответ-

<sup>1</sup> Автоматные стали, содержащие кальций, производят по техническим условиям.

AC45Г2) и легированные, имеющие низкоуглеродистые (AC14ХГН, AC20ХГН) и высоколегированные (AC40ХГНМ). По химическому составу эти стали заметно отличаются от автоматных. Свинец не растворяется в виде дисперсных частиц, которые вместе с сульфидами марганца, как энергичные ингибиторы, снижают хрупкость. Кроме того, от теплового воздействия свинец плавится, «выпадая» в виде пленки по поверхности, эффективно защищая инструмент от изнашивания.

Введение свинца в сталь снижает твердость на 30-40%, но повышает стойкость инструмента в 2-3 раза. Помимо стойкости инструмента, свинец повышает стойкость инструмента в 2-3 раза.

Свинец не ухудшает механические свойства, вызывая лишь падение пластичности. Стальные инструменты, содержащие свинец, находят применение на автозаводах и в производстве многих деталей для автомобилей.

Автоматные *селенистые* стали (подразделяются на А45Е, А45СЕ, А45ЕС) и хромистую сталь (содержащую 0,04-0,10% Se) отличаются тем, что при высоком температурном обработке они обладают повышенной пластичностью с образованием селенидов марганца. Они обволакиваются селенидами марганца, включая в себя истирающиеся частицы, что способствует тому, что селениды сохраняют свою форму после обработки.

стали.

Автоматные кальцийсодержащие (0,002–0,008 % Са) стали (АЦ20, АЦ30, АЦ40Х, АЦ30ХН и др.) с добавлением свинца и теллура предназначены для изготовления термически упрочненных деталей, обрабатываемых твердосплавным инструментом при высоких (100 м/мин и более) скоростях резания. Необходимость использования высоких скоростей обработки диктуется тем, что тугоплавкие кальцийсодержащие включения, образующиеся в этих сталях, способны размягчаться и проявлять смазывающее действие лишь при высоких температурах в зоне резания.

## 9.2. Стали с высокой технологической пластичностью и свариваемостью

Технологическая пластичность – способность металла подвергаться горячей и холодной пластической деформации.

В горячем (аустенитном) состоянии большинство сталей обладают высокой пластичностью, что позволяет получать фасонный прокат и поковки без дефектов (трещин, разрывов и т. п.). Более того, горячей обработкой давлением (в сочетании с последующим отжигом) измельчают микроструктуру, устраниют литейные дефекты и, формируя волокна вдоль контура поковок, создают благоприятно ориентированную макроструктуру. В результате этого горячедефор-

тинг легче идет гальваническая вытяжка. Для глубокой вытяжки углерода в стали снижают до 0,1%; при 0,2–0,3% – гибкость и незначительно – 0,35–0,45% С – изгиба.

Микроструктура сталей должна состоять из феррита с различным количеством перлита. Высокое содержание (до 30%) зерен структурно стабильного (богого) цементита строит прочную сталь, избежав разрывов при изгибе. Лучше всего для глубокой вытяжки с мелким зерном – марка 7–8 номеру по ГОСТу, имеющая вдвое большем размере зерен, чем у обычной роховатая поверхность, имеющая апельсиновую корку, становится более гладкой и упругой. Разнозернистая сталь, имеющая в ее структуре остаточную цементацию, способствует формированию и образованию

Контролируемым образом технологических свойств, определяемых соотношение носительное удлинение  $\sigma_t/\sigma_b$ . Чем большее это соотношение, тем выше пластичность, меньшее – твердость. Сталь должна комбинироваться равными соотношениями между прочностью и способностью низкоуглеродистых сталей к вытяжке.

Для глубокой, сложной вытяжки используются стали с пределом прочности  $\sigma_b = 280 \div 330$  МПа (для вытяжки  $\delta = 33 \div 45\%$ ) стали с пониженным содержанием углерода и раскислением. Их называют «сталью для глубокой вытяжки».

Климат стимулирует повышенную зонасыщенности склонна к деформационному старению. В связи с этим для холодной штамповки используют сталь, микролегированную ванадием 08ФКп (0,02–0,04% V) или алюминием 08Юкп. Ванадий и алюминий связывают примеси внедрения (азот, кислород) в прочные химические соединения и препятствуют развитию деформационного старения. Применяются также полуспокойные и спокойные стали 08пс и 08, которые, несмотря на меньшую пластичность, обладают более высокой стабильностью свойств.

**Свариваемость** – способность получения сварного соединения, равнопрочного с основным металлом. Для образования качественного соединения важно предупредить возникновение в сварном шве различных дефектов: пор, непроваров и, главным образом, трещин. Характеристикой свариваемости данного металла служат количество допускаемых способов сварки и простота ее технологий.

Свариваемость стали тем выше, чем меньше в ней углерода и легирующих элементов. Влияние углерода является определяющим. Углерод расширяет интервал кристаллизации и увеличивает склонность к образованию горячих трещин, которая тем больше, чем дольше металл шва находится в жидком состоянии. Причина холодных трещин – внутренние напряжения, возникающие при структурных превращениях, особенно

при, судя остроумии, 15ГФ(Д), 16ГС, с карбонитридными нямыми для мостоций цехов, края 14Г2АФ(Д), 15Г2С (ГОСТ 19282–73). небольшие добавки с повышенным содержанием (0,025%). Введение добавок способствует образованию карбонитридных фаз, что уменьшает хрупкость стали и понижает ее температуру хода в хрупкое состояние. Возможность применения сталей в районах с холодными зимами обусловлена добавлении меди в стали приобретают повышенную хрупкость к атмосферным осадкам.

Сварка всех этих сталей в сечениях до 15 мм не вызывает затруднений. Сварка таких же сечений с образованием трещин и в термическом состоянии требует предварительной обработки. Для сталей с содержанием углерода выше 0,25% затруднения из-за образования карбонитридов и охрупчивания становятся очевидными. Сварка высокого качества сталей в связанных с образованием трещинами превращениями требует специальных приемов – снижения содержания углерода, применения защитных газов и следующей термической обработки.

трини – эффективные концентраторы напряжений.

Литейные свойства сплавов тем выше, чем меньше их температурный интервал кристаллизации. В связи с этим наиболее высокими литейными свойствами обладают сплавы, испытывающие эвтектическое превращение.

Из сплавов на основе железа лучшие литейные свойства имеют чугуны.

Чугунами называют железоуглеродистые сплавы, содержащие более 2,14% С и затвердевающие с образованием эвтектики. Благодаря сочетанию высоких литейных свойств, достаточной прочности, износостойкости, а также относительной дешевизне чугуны получили широкое распространение в машиностроении. Их используют для производства качественных отливок сложной формы при отсутствии жестких требований к габаритам и массе деталей.

**Разновидности чугунов.** В зависимости от того, в какой форме присутствует углерод в сплавах, различают белые, серые, высокопрочные и ковкие чугуны<sup>1</sup>. Высокопрочные чугуны являются разновидностью серых, но из-за повышенных механических свойств их выделяют в особую группу.

Белыми называют чугуны, в которых весь углерод находится в связанном состоянии в виде цементита. Эти чугуны, фазовые превращения которых протекают согласно диаграмме состояния

В промышленности применяют серые, высокопрочные чугуны, в которых часть его находится в графите. Графит обеспечивает пластичность, хорошую обрабатываемость, а также специальные свойства коэффициента трения, включения графита и пластиичность, т. е. сплошность металлической основы сплава. Серые, высокопрочные чугуны различаются введением графитных включений, что отражается на свойствах отливок.

**Серые чугуны.** Серые чугуны с пластинчатым графитом.

По химическому составу различают серые чугуны (разделенные на ванные) и легированные серые чугуны – сплавы на основе Fe–C–Si и постоянного содержания S. Содержание эти элементов в легированных чугунах колеблется в определенных пределах: 2,2–3,7% C, 0,2–1,1% Mn; 0,02–0,3% Si, 0,01–0,05% S. В небольших количествах в легированных серых чугунах может присутствовать Ni и Cu, которые повышают прочность. Почти все эти элементы способствуют ускорению графитизации, т. е. превращению ликвидной фазы в графитные включения, что повышает прочность и износостойкость чугуна.

<sup>1</sup> Название белых и серых чугунов определяется цветом излома, название ковкою – условное.

ругими элементами, способствует выделению графита в процессе затвердевания чугуна и разложению выделившегося цементита.

Марганец затрудняет графитизацию чугуна, несколько улучшает его механические свойства, особенно в тонкостенных отливках.

Сера – вредная примесь. Она ухудшает механические и литейные свойства чугунов: снижает жидкотекучесть, увеличивает усадку и повышает склонность к образованию трещин.

Фосфор в количестве до 0,3% растворяется в феррите. При большей концентрации он образует с железом и углеродом трайную «фосфидную» эвтектику. Она имеет низкую температуру плавления ( $950^{\circ}\text{C}$ ), что увеличивает жидкотекучесть чугуна, но высокую твердость и хрупкость. Повышенное содержание фосфора допускается в отливках, от которых требуется повышенная износостойкость (до 0,7% P), а также используемых для художественного литья (до 1% P). В нагруженных отливках содержание фосфора ограничивают 0,3%.

Таким образом, степень графитизации в чугуне возрастает с увеличением содержания углерода и кремния. Аналогичное, но более слабое влияние оказывают примеси (или легирующие элементы) меди и никеля. Элементами, затрудняющими графитизацию (отбеливающими), являются марганец, сера, хром. Основные элементы, которыми регулируют структуру металлической основы серого чугуна, – углерод и кремний.

Кроме химического состава, структура чугуна и его свойства зависят от технологических факторов, главным из ко-

ходит в соответствие диаграммой Fe–C. В случае графит приставлено из жидкой скорости охлаждения для первичной ответствии с металлом Fe–Fe<sub>3</sub>C (см. рис. 9.1).

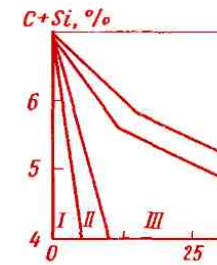
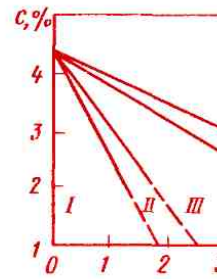


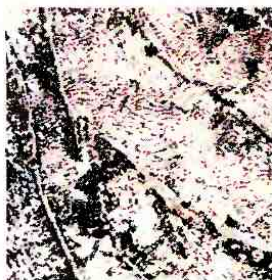
Рис. 9.1. Структурные зависимости от содержания углерода (a) и толщины (b). I – белый чугун; II – IIa, IIb – серый перлит и ферритный чугун соотв.

углерода и кремния на степень графитизации чугуна и его структуру дают структурные диаграммы (рис. 9.1). Структурная диаграмма на рис. 9.1, а справедлива для отливок с толщиной стенки 50 мм. Влияние толщины стенки и состава чугуна (суммарного содержания углерода и кремния) характеризует диаграмма, приведенная на рис. 9.1, б.

Поле диаграмм разбито на пять областей. Область I соответствует белому чугуну, имеющему структуру перлит + + вторичный цементит + ледебурит. Весь углерод связан в виде цементита. В области II находится половинчатый чугун со структурой перлит + + цементит + графит. Количество связанных углерода в нем более 0,8%.

Химический состав серых чугунов отвечает областям III, III<sub>a</sub> и III<sub>b</sub>. По структуре металлической основы серые чугуны разделяют на три вида.

Механические свойства чугунов зависят от свойств металлической основы и, главным образом, от формы и размеров графитовых включений. Прочность, твердость и стойкость чугунов против износа определяются количеством перлита в металлической основе, которая по механическим свойствам близка к сталим. Решающее значение для прочности чугунов имеет то обстоятельство, что прочность которых в 2–3 раза выше, чем у сталей. Решающее значение для прочности чугунов имеет то обстоятельство, что прочность которых в 2–3 раза выше, чем у сталей. Решающее значение для прочности чугунов имеет то обстоятельство, что прочность которых в 2–3 раза выше, чем у сталей. Решающее значение для прочности чугунов имеет то обстоятельство, что прочность которых в 2–3 раза выше, чем у сталей.



а)



б)

Рис. 9.2. Микроструктуры серых чугунов:

а – перлитного; б – ферритно-перлитного; в – ферритного,  $\times 300$

доступ чугука определяется в основном структурой металлической основы. Они близки к свойствам стали с той же структурой и составом, что и металлическая основа чугуна.

Более высокая чувствительность чугунов к нормальным напряжениям, чем к касательным, сохраняется при циклических нагрузках. При этом сопротивление усталости у них, как и у сталей, растет с увеличением статической прочности. Предел выносливости при круговом изгибе  $\sigma_{-1} = (0,45 \div 0,58) \sigma_b$ . Наибольшее его значение имеют чугуны с измельченными графитными включениями и перлитной основой.

Для серых чугунов характерно следующее соотношение пределов выносливости (при растяжении, изгибе и кручении)  $\sigma_{-1p} : \sigma_{-1} : \tau_{-1} = 1 : 2 : 1,3$ . Наиболее высоко сопротивление усталости чугунов сжимающим напряжениям. При пульсирующем цикле сжатия оно в 5–6 раз выше, чем при пульсирующем цикле растяжения.

В соответствии с отмеченной особенностью чугун целесообразнее использовать для деталей, работающих на сжатие. Однако в реальных условиях эксплуатации может возникнуть сложное напряженное состояние. В этом случае работоспособность чугуна лимитируется долей растягивающих напряжений. В связи с этим показателем механических свойств серых чугунов, в соответствии с ГОСТ 1412–79, является прочность при статическом растяжении.

ВЧ 42–12	420	12
ВЧ 50–7	500	7
ВЧ 60–2	600	2
ВЧ 80–2	800	2
ВЧ 120–2	1200	2

### Ковкий чугун

КЧ 30–6	300	6
КЧ 35–10	350	10
КЧ 37–12	370	12
КЧ 45–7	450	7
КЧ 60–3	600	3
КЧ 80–1,5	800	1,5

Марка серого чугуна СЧ (серый чугун) и ее значение временного при растяжении (табл. 9.1).

Ухудшая механические свойства, фит в то же время ценных свойств. Он при обработке не смазывающее действие, повышает износостойкость, придает ему демпфирование. Кроме того, обеспечивает малую чувствительность чугуна к дефектам, даря этому сопротивление деталей из чугуна с ными деталями.

Номенклатура ограждающих чугуна и их масса ра-

**Ферритно-перлитные** серые чугуны СЧ 20, СЧ 21, СЧ 25 применяют для деталей, работающих при повышенных статических и динамических нагрузках: блоки цилиндров, картеры двигателя, поршни цилиндров, барабаны сцепления, станины различных станков, зубчатые колеса и другие отливки.

**Перлитные** серые модифицированные чугуны СЧ 30, СЧ 35, СЧ 40, СЧ 45 обладают наиболее высокими механическими свойствами, главным образом, из-за мелких разобщенных графитных включений. Измельчение графитных включений в них достигается путем модификации жидкого чугуна ферросилицием или силикокальцием (0,3–0,6% от массы шихты). Модифицированные чугуны используют для деталей, работающих при высоких нагрузках или в тяжелых условиях износа: зубчатые колеса, гильзы блоков цилиндров, шпинделы, распределительные валы и пр. Чугуны этих марок обладают наибольшей герметичностью. По этой причине их широко применяют также для корпусов насосов, компрессоров, арматуры тормозной пневматики и гидроприводов.

Для деталей, работающих при повышенных температурах, применяют легированные серые чугуны: жаростойкие (дополнительно содержат Cr, Al), жаро прочные (Cr, Ni, Mo). Применение находят также немагнитные, хромоникелевые чугуны с austenитной структурой.

**Высокопрочные** прочными называют чугуны, графит имеет шарообразную форму. Получают модификацией, который вводят в чугун в количестве 0,02–0,08%. Модификация чугуна сопровождается эффектом, чистый материалом (например, никеля).

Чугун после модификации имеет следующий химический состав: 3,6% C; 1,1–2,9% Si; 0,02% S и до 0,1% Mn. Матричной основой чугуна может быть ферритный, перлитный. Ферритный чугун состоит из феррита и графита. В нем допускается структура перлита. Структура перлита может быть орбитаобразной или ламеллярной. Шаровидный чугун допускается до 20% графита.

Шаровидный графитовый чугун концентрирует напряжение в шарообразном графите, и это снижает механические свойства чугуна. Чугуны с шаровидным графитом обладают высокой прочностью и некоторой пластичностью. Маркируют высокопрочный чугун пределу прочности при растяжении (см. таблицу 1).

Высокопрочные чугуны применяются в различных отраслях промышленности.

даст более высокую стичность.

Отливки из белогаляемые отжижу на ковляют тонкостенным иметь сечение бол в сердцевине при краяется пластинчатый новится непригодны этой же причине исх имеют пониженное да и кремния. Их находится в пред 1,0–1,6% Si; 0,2–1,0 и до 0,18% P.

По структуре металлов, которая определяется ковкие чугуны быстрыми и перлитными (рис. 9.4). Перлитные чугуны пределы прочности 1 (рис. 9.5), обеспечивающие всех видов цементации.

Рис. 9.3. Микроструктура высокопрочного чугуна,  $\times 300$

тивно заменяя сталь во многих изделиях и конструкциях. Из них изготавливают оборудование прокатных станов (прокатные валки массой до 12 т), кузнечно-прессовое оборудование (траверса пресса, шабот ковочного молота), в турбостроении – корпус паровой турбины, лопатки направляющего аппарата, в дизеле-, тракторо- и автомобилестроении – коленчатые валы, поршни и многие другие ответственные детали, работающие при высоких циклических нагрузках и в условиях изнашивания.

В некоторых случаях для улучшения механических свойств применяют термическую обработку отливок; для повышения прочности – закалку и отпуск.

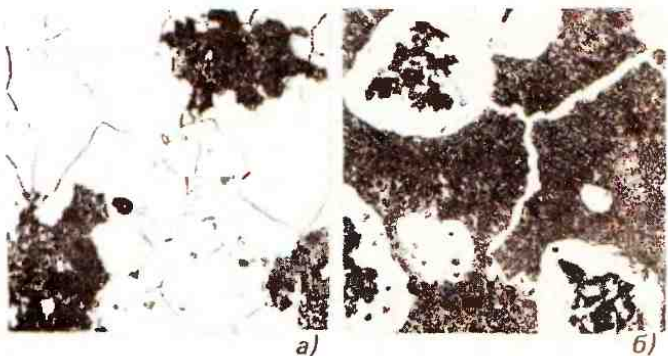


Рис. 9.3. Микроструктура ковких чугунов: а – высокопрочного

гуга. Отливки из такого чугуна загружают в специальные ящики и засыпают песком или стальными стружками для защиты от окисления и медленно (20–25 ч) нагревают до температуры несколько ниже эвтектической – 950–1000 °С. В процессе продолжительной (10–15 ч) выдержки при такой температуре происходит первая стадия графитизации. Она состоит в распаде эвтектического и избыточного вторичного цементита (имеющегося в небольшом количестве при этой температуре). К концу первой стадии графитизации чугун состоит из аустенита и включений углерода отжига. Затем температуру медленно снижают. При этом происходит промежуточная стадия графитизации – распад выделяющегося вторичного цементита. Вторая стадия графитизации протекает или при весьма медленном охлаждении в эвтектоидном интервале температур, или при длительной выдержке (25–30 ч) несколько ниже температуры эвтектоидного превращения (720–740 °С). В процессе этой выдержки распадается цементит перлита. В результате такого отжига продолжительностью 70–80 ч весь углерод выделяется в свободном состоянии и формируется структура, состоящая из феррита и углерода отжига.

Перлитный ковкий чугун получают отжигом, который проводят в окислительной среде по режиму 2 (см. рис. 9.5). В этом случае увеличивают продолжительность первой стадии графитизации,

КЧ  $\sigma_b$  – δ (см. табл.). видно, что ферритные листы высокую пластичность – более высокие деструкции. Ковкие чугуны на- менение в сельскохозяй- мобильном и текстильном строении, в судо- и дизелестроении. Изделия высокой прочности в тяжелых условиях воспринимать ударные нагрузки. Для отливок ковкого чугуна характерно быстровы- товлять изделия водой из установок; хорошие исходного белого цвета и сложной формы.

Недостаток ковкого чугуна – повышенная стоимость из-за его высокого дорогостоящего сырья.

#### 9.4. Медные сплавы

**Свойства меди.** Медь имеет серебристо-розового цвета; кристаллическая решетка с периодом 0,365 нм. Медь имеет более высокую морфологию превращений, чем железо, и выше плотность (см. табл. 1).

Медь обладает высокой пластичностью. Она прокатывается в ленту. Из меди получают медную проволоку, медь легко полируется и сваривается.

Медь характеризуется высокой водностью и электропроводностью и коррозионной стойкостью.

пературах 326 и 270 °C), располагающиеся по границам зерен основной фазы, они вызывают красноломкость. Причем вредное влияние висмута обнаруживается при его содержании в тысячных долях процента, поскольку его растворимость ограничивается 0,001 %. Вредное влияние свинца также проявляется при малых его содержаниях (< 0,04 %). Висмут, будучи хрупким металлом, охрупчивает медь и ее сплавы. Свинец, обладая низкой прочностью, снижает прочность медных сплавов, однако вследствие хорошей пластичности не вызывает их охрупчивания. Кроме того, свинец улучшает антифрикционные свойства и обрабатываемость резанием медных сплавов, поэтому

применяется для легких сплавов меди.

3. Нерастворимые примеси присутствуют в меди в промежуточных фазах (низы), которые образуют с мединой температурой гетерогенные красноломкости. Медь в водороде вызывает «гидролиз», которая может возникнуть металла при обращении металла при обращении эксплуатации готовых

Механические свойства сплавов зависят от ее концентрации и в меньшей степени от содержания примеси.

Высокая пластичность меди объясняется большой численностью плоскостей скольжения, что приводит в основном к образованию склонов {111} в направлении скольжения.

Холодная пластичность меди достигает 90 % и более. Твердость, предел текучести и прочность снижают пластичность и способность к деформации. При пластической деформации возникает текстура, выявляемая на изломе. Повышение механических свойств при снятии наклепа проводится в температурном интервале 550–600 °C в восстановительных условиях, так как медь легко окисляется. По электропроводимости медь занимает второе место в мире. Она применяется в производстве токопроводов, триодов, транзисторов, теплопередатчиков, теплообменников, водонагревателей, поддонов, кристаллов и т. д.

Недостатки меди: высокая обрабатываемость, низкая жидкотекучесть.

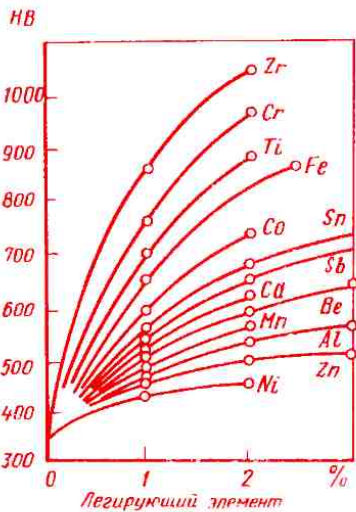


Рис. 9.6. Влияние легирующих элементов на твердость меди

не снижают, а некоторые из них (Zn, Sn, Al) увеличивают пластичность. Высокая пластичность — отличительная особенность медных сплавов. Относительное удлинение некоторых однофазных сплавов достигает 65 %. По прочности медные сплавы уступают сталям. Временное сопротивление большинства сплавов меди лежит в интервале 300–500 МПа, что соответствует свойствам низкоуглеродистых нелегированных сталей в нормализованном состоянии. И только временное сопротивление наиболее прочных бериллиевых бронз после закалки и старения находится на уровне среднеуглеродистых легированных сталей, подвергнутых термическому улучшению ( $\sigma_b = 1100 \div 1200$  МПа).

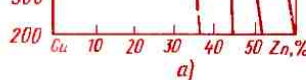
По технологическим свойствам медные сплавы подразделяют на деформируемые (обрабатываемые давлением) и литейные; по способности упрочняться с помощью термической обработки — на упрочняемые и неупрочняемые термической обработкой. По химическому составу медные сплавы подразделяют на две основные группы: латуни и бронзы.

Латунями называются сплавы меди с цинком. Они бывают двойными (простые) и многокомпонентными (легированные). Двойные деформируемые латуни маркируются буквой Л (латунь) и цифрой, показывающей среднее содержание меди в процентах. Латуни с содержанием 90 % Cu и более называются

содержание цинка, его легирующего золото посредственно за будущее его название. Например, содержит 40 % Zn, 3 %

Бронзами называются сплавы, содержащие всеми элементами. Состав бронзам дают в таблицах. Так, их подразделяют на алюминиевые, бериллиевые и др. В бронзах в качестве добавки может присутствовать формируемое бровью маркировкой БР (бронза), затем буквы, а затем цифра, обозначающая название и содержание легирующих элементов: БрОЦС4-4-2,5, 4 % Zn, 2,5 % Pb. Составы имеют названия: никелии, нейзильбера. Бронз содержание цинка ставится в скобках, обозначающей его концентрацию: БрОБЦ6С3 содержит 3 % Pb.

Латуни. Медь является твердым раствором цинка в меди. Концентрацией цинка 39 % в меди. Структура сплава зависит от большем содержанием цинка. При электронное соединение меди с цинком происходит с кристаллической решеткой, центрированного куба. При температуре 454–468 °C (штрихи на грамме) наступает переход в  $\beta$ -фазу, сопровождающийся повышением



a)

0 10 20 30 40 50 Zn, %

б)

и хрупкости. В отличие от равновесного состояния  $\beta'$ -фаза появляется в структуре латуней при содержании цинка около 30%. В соответствии с изменением структуры меняются механические свойства латуней (рис. 9.7, б). Когда латунь имеет структуру  $\alpha$ -твердого раствора, увеличение содержания цинка вызывает повышение ее прочности и пластичности. Появление  $\beta'$ -фазы сопровождается резким снижением пластичности, прочность продолжает повышаться при увеличении цинка до 45%, пока латунь находится в двухфазном состоянии.

ТАБЛИЦА 9.3. Свойства промышленных латуней, обрабатываемых (ГОСТ 15527-70)

Латунь	Массовая доля, %		$\sigma_b$	$\delta$
	Cu	Прочих элементов	МПа	
Л90	88—91	—	260	12
Л68	67—70	—	320	9
Л63	62,0—65,0	—	330	11
Л60	59—62	—	380	16
ЛА77—2	76—79	1,75—2,5 Al	400	14
ЛАН59—3—2	57—60	2,5—3,5 Al 2—3 Ni	380	30
ЛН65—5	64—67	5—6,5 Ni	400	17
ЛЖМц59—1—1	57—60	0,1—0,4 Al 0,6—1,2 Fe 0,5—0,8 Mn 0,3—0,7 Sn	450	17
ЛМц58—2	57—60	1—2 Mn	400	16
ЛО70—1	69—71	1—1,5 Sn	350	10
ЛС59—1	57—60	0,8—1,9 Pb	400	14
ЛК80—3	79—81	2,5—4 Si	300	20

**Рис. 9.8. Микроструктуры латуней:**

*α* – однофазной; *β* – двухфазной (темная –  $\beta$ -фаза, светлая –  $\alpha$ -фаза)

2) двухфазные со структурой ( $\alpha + \beta$ )-фаз (рис. 9.8, б).

В связи с высокой пластичностью однофазные латуни хорошо поддаются холодной пластической деформации, которая значительно повышает их прочность и твердость. Рекристаллизационный отжиг проводится при 600–700 °C.

Повышение содержания цинка удешевляет латуни, улучшает их обрабатываемость резанием, способность прирабатываться и противостоять износу. Вместе с тем уменьшаются теплопроводность и электрическая проводимость, которые составляют 20–50 % от характеристик меди.

Примеси повышают твердость и снижают пластичность латуней. Особенно неблагоприятно действуют свинец и висмут, которые в однофазных латунях вызывают красноломкость. Поэтому однофазные латуни в основном выпускают в виде холоднокатанных полуфабрикатов: полос, лент, проволоки, листов, из которых изготавливают детали методом глубокой вытяжки (радиаторные трубы, снарядные гильзы, сильфоны, трубопроводы), а также детали, требующие по условиям эксплуатации низкую твердость (шайбы, втулки, уплотнительные кольца и др.).

В двухфазных  $\alpha \rightleftharpoons \beta$ -превращениях тические фазы находятся в равновесии, а внутри зерен не влияют на их пластичность. Для улучшения обрабатываемости резанием добавляют свинец и цинк, что повышает пластичности при одновременном снижении твердости. Эти латуни выпускаются в виде полуфабрикатов: полос, лент, проволок, втулок, гайки, тройники и т. д., проводящие детали, втулки, гайки, тройники и т. д.

Вследствие небольшого интервала кристаллизации латуни обладают высокой пластичностью к дендритическому превращению, жидкотекучестью и усадочной пористостью, но, в то же время, практически не поддаются обработке на горячих станках. Для изготовления деталей из однофазных латуней применяют метод горячего прессования, а для двухфазных – горячую ковку. Кованые латуни имеют большую концентрацию примесей, чем литые, в меньшей степени обрабатываются горячим способом.

Легированные латуни для деформируемого состояния могут быть получены как и в виде фасонных отливок, так и в виде фасонных отливок.

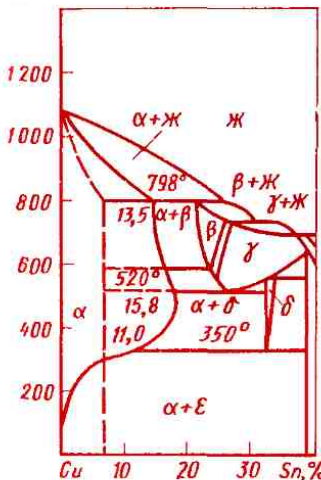
дость латуней. Практическое применение находят высокомедистые латуни с добавлением алюминия до 4% (ЛА77-2), которые благодаря однофазной структуре хорошо обрабатываются давлением. Алюминиевые латуни дополнительно легируют никелем, железом, марганцем, кремнием, обладающими переменной растворимостью в α-твердом растворе, что позволяет упрочнить эти латуни с помощью закалки и старения. Временное сопротивление после такой обработки достигает 700 МПа. Хорошая пластичность в закаленном состоянии позволяет дополнительно упрочнять сплавы с помощью пластической деформации (перед старением).

используют небольшие (ЛК80-3). Эти для изготовления приборов, в судостроении.

Никель повышает прочность в меди и улучшает свойства латуней. (например, ЛН65-5) упрочняются давлением в состоянии.

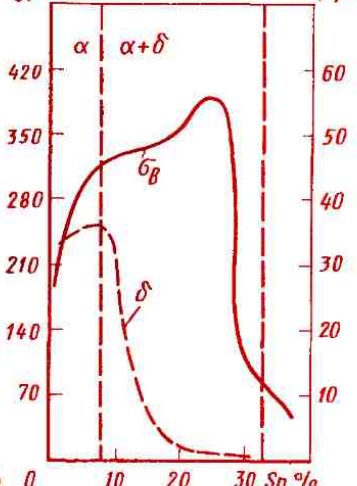
**Бронзы.** Оловянные бронзы состояния предельная растворимость соответствует 15,8% Sn. Этой системы характерна к неравновесной кристаллизацией.

$t, ^\circ\text{C}$



а)

$\sigma_B, \text{МПа}$



б)

Рисунок 1  
стабильные  
влияние  
ни (б)

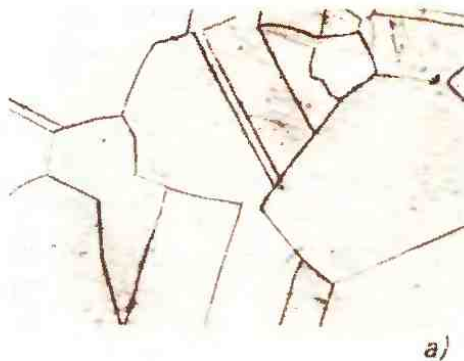
фазы в структуре бронз вызывает резкое снижение их вязкости и пластичности (рис. 9.9, б). Поэтому, несмотря на повышение прочности при дальнейшем увеличении количества олова до 25 %, практическое значение имеют бронзы, содержащие только до 10 % Sn. Двойные оловянные бронзы применяют редко, так как они дороги. Широкий температурный интервал кристаллизации обусловливает у них большую склонность к дендритной ликвации, низкую жидкотекучесть, рассеянную усадочную пористость и поэтому невысокую герметичность отливок.

Оловянные бронзы легируют Zn, Pb, Ni, P. Для экономии более дорогостоящего олова в бронзы добавляют от 2 до 15 % Zn. В таком количестве цинк полу-

меди  $\text{Cu}_3\text{I}$ . Кроме временного сопротивления гости и выносливости способствует изменению и повышению механических свойств.

Бронзы хорошо паяются, хрупкие.

Среди медных бронз имеются самую высокую усадку (0,8 % при литье в металлические формы), поэтому они используются для изготовления сложных фасонных деталей. Низколегированные бронзы содержат 10 % Sn. Оловянные бронзы в некоторых станичных бронзах содержат 15 % Sn. Большое количество олова



a)



Рис. 9.10. Микроструктуры бронз:

а – деформированной однофазной с 5 % Sn после рекристаллизации; б – литой

саянная пористость не мешает этому, поскольку у поверхности отливок имеется зона с мелкозернистой структурой, обладающая высокой плотностью. При усовершенствовании технологии получают отливки, выдерживающие давление до 30 МПа.

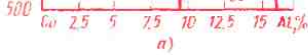
Деформируемые бронзы содержат до 6–8% Sn (табл. 9.4). В равновесном состоянии они имеют однофазную структуру  $\alpha$ -твердого раствора (см. рис. 9.10, а). В условиях неравновесной кристаллизации наряду с твердым раствором может образоваться небольшое количество  $\delta$ -фазы. Для устранения дендритной ликвации и выравнивания химического состава, а также улучшения

свойствами и соотношениями. Их используют в круглых и плоских заготовках, в механике, электротехнике, шиностроении и др. Наиболее распространены мильденгольдные бронзы.

**Алюминиевые бронзы** отличаются высокими механическими свойствами и антикоррозийными свойствами. К преимуществам алюминиевых бронз относятся низкая стоимость, более высокие температуры и некоторые технические характеристики. Например, небольшое количество алюминия в бронзе способствует улучшению ее свойств, концентрированного в центре зерна.

ТАБЛИЦА 9.4. Химический состав и механические свойства оловянных бронз

Бронза	Содержание элементов (остальное Cu), %				Механические свойства	
	Sn	Pb	Zn	Прочие	E, ГПа	M, кг/мм <sup>2</sup>
Деформируемые бронзы (ГОСТ 5017–74)						
БрОФ6,5–0,15	6–7	—	—	0,1–0,25 P	110	
БрОФ6,5–0,4	6–7	—	—	0,26–0,4 P	112	
БрОФ4–0,25	3,5–4	—	—	0,1–0,2 Ni		
БрОЦ4–3	3,5–4	—	2,7–3,3	0,2–0,3 P	100	
БрОЦ4–4–2,5	3–5	1,5–3,5	3–5	—	85	
					75	
Литейные бронзы (ГОСТ 613–79)						
БрОЗЦ7С5Н1	2,5–4	3–6	6–9,5	0,5–2 Ni	90	
БрОЗЦ12С5	2–3,5	3–6	8–15	—	—	
БрО4Ц4С17	3,5–5,5	14–20	2–6	—	—	
БрО5Ц5С5	4–6	4–6	4–6	—	900	
БрО10Ц2	9–11	—	1–3	—	100	
БрО10Ф1	9–11	—	—	0,4–1,1 P	80	



рошую герметичность, малую склонность к дендритной ликвации. Вместе с тем из-за большой усадки иногда трудно получить сложную фасонную отливку.

Медь с алюминием образует  $\alpha$ -твердый раствор (рис. 9.11), концентрация которого при понижении температуры с 1035 до 565 °С увеличивается от 7,4 до 9,4 % Al. При 565 °С  $\beta$ -фаза претерпевает эвтектоидное превращение:  $\beta \rightarrow \alpha + \gamma_2$ , где  $\gamma_2$  — промежуточная фаза переменного состава со сложной кубической решеткой.

При реальных скоростях охлаждения, в отличие от равновесного состояния, эвтектоид появляется в структуре сплавов при содержании 6–8 % Al. Наличие эвтектоида приводит к резкому снижению пластичности алюминиевых бронз. С увеличением содержания алюминия до 4–5 % наряду с прочностью и твердостью повышается пластичность, затем она резко падает, а прочность продолжает расти при увеличении содержания алюминия до 10–11 % (рис. 9.11, б). Однофазные бронзы (БрА5, БрА7), имеющие хорошую пластичность, относятся к деформируемым. Они обладают наилучшим сочетанием прочности ( $\sigma_b = 400 \div 450$  МПа) и пластичности ( $\delta = 60\%$ ). Двухфазные бронзы выпускают в виде деформируемого полуфабриката, а также применяют для изготовления

фасонных отливок, шего количества подвергают не х обработке давле бронзы отличают ностью ( $\sigma_b = 600$  М (НВ > 1000). Их упрочняющей терм. При быстром охла фаза претерпевает а мартенситное пре

К недостаткам д бронз помимо больш склонность к газ ляемости во врем ние крупнокристал структуры, труднос статки существенн легирований алюминиумом, никелем, марганцем,

В  $\alpha$ -фазе алюминий творится до 4 % и в содержании образуется  $\text{Al}_3\text{Fe}$ . Дополнительное сплавов никелем и магнием способствует появлению в меньшем содержании и оказывает модифицирующее влияние на структуру алюминия, повышает их прочность и антифрикционные свойства. Столь высокая склонность к окружению бронз из-за замедленного распада  $\beta$ -фазы и образования в результате этого образующейся в результате. Наилучшей пластичностью обладают никелевые-железные

шенных температурах. Кроме того, он способствует резкому сужению области  $\alpha$ -твердого раствора при понижении температуры. Это вызывает у бронз, легированных железом и никелем (БрАЖН10-4-4), способность к дополнительному упрочнению после закалки вследствие старения. Например, в отожженном (мягком) состоянии БрАЖН 10-4-4 имеет следующие механические свойства:  $\sigma_b = 650$  МПа;  $\delta = 35\%$ ;  $HB$  1400–1600. После закалки от 980 °C и старения при 400 °C в течение 2 ч твердость увеличивается до  $HB$  4000. Из алюминиево-железоникелевых бронз изготавливают детали, работающие в тяжелых условиях износа при повышенных температурах (400–500 °C): седла клапанов, направляющие втулки выпускных клапанов, части насосов и турбин, шестерни и др. Высокими механическими, антикоррозионными и технологическими свойствами обладают алюминиево-железные бронзы, легированные вместо никеля более дешевым марганцем (БрАЖМЦ10-3-1,5).

**Кремнистые бронзы.** Они характеризуются хорошими механическими, упругими и антифрикционными свойствами.

Кремнистые бронзы содержат до 3% Si. Согласно диаграмме состояния Cu–Si (рис. 9.12), двойные кремнистые бронзы имеют однофазную структуру  $\alpha$ -твердого раствора кремния в меди. При увеличении содержания кремния более 3% в структуре сплавов появляется твердая и хрупкая  $\gamma$ -фаза. Одно-

**Рис. 9.12. Диаграмма фазная структура** бронзы, обес печивающая высокую пластичность, обрабатываемость, хорошо свариваются, творительно образуются. Литейные свойства выше, чем оловянные бронзы и латуни.

Легирование улучшению лития бронз вследствие кристаллизации никеля повышает их пределы обладая перемены в  $\alpha$ -фазе, позволяя кремнистые бронзы и старения. После старения они имеют  $\sigma_b \geq 700$  и улучшает антифрикционные и обрабатываемые.

Кремнистые бронзы в виде ленты, полосы. Для фасонных отливок редко. Их используют для дорогих оловянных изделий антифрикционных (БрКН1–3), (БрКН2–3) замены бериллия в водстве пружин, магнитов приборов, роликов и морской воде.

рактеризующих вид трения (скольжение, качение) и режим работы (скорость относительного перемещения, нагрузка, характер ее приложения, температура); 3) рабочей среды и смазочного материала. Совокупность этих факторов обуславливает различные виды изнашивания, классификация которых по ГОСТ 23.002-78 приведена в табл. 10.1.

Детали, подвергающиеся изнашиванию, подразделяют на две группы: 1) детали, образующие пары трения (подшипники скольжения и качения, зубчатые передачи и т. п.); 2) детали, изнашивание которых вызывает рабочая среда (жидкость, газ и т. п.).

Характерные виды изнашивания деталей первой группы — абразивное (твердыми частицами, попадающими в зону контакта), адгезионное, окислительное, усталостное, фреттинг-процесс (фреттинг-коррозия). Для деталей второй группы типично абразивное изнашивание (например, истирание почвой),

ТАБЛИЦА 10.1. Классификация видов изнашивания

Способ воздействия при изнашивании	Вид изнашивания
Механический	Абразивное, адгезионное, гидро- и газоабразивное, эрозионное, гидро- и газоэрзационное, кавитационное, усталостное, фреттинг-процесс
Коррозионно-механический	Оксилительное, фреттинг-коррозия

Различные виды кономерностям пронообразны.

## 10.2. Закономерности деталей, образующих и пути уменьшения

Причина изнашивания деталей — работа систвием этих сил проное деформирований поверхности, и упрочнение, выделение структуры, разности, окисления и

Сложность процес в зоне контакта, обвение различных тенния. Наиболее пол действие твердых лекулярно-механичес формационная) теория

Эта теория исходит из такта трущихся поверхностей соприкосновникает в отдельных зующихся от взаимных неровностей или их Взаимодействие сколв в этих пятнах согласуетственную природу — дезионную. Деформации обусловлено многократием микрообъемов внедрившимися неровности этому деформированной соста

сили трения ( $F_{\text{ад}}$ ). Таким образом, сила трения так же как и другая важная фрикционная характеристика — коэффициент трения  $f$ , по определению равный отношению силы трения к нормальной нагрузке  $N$ :  $f = F/N$ , определяются как сумма двух составляющих

$$F = F_{\text{д}} + F_{\text{ад}}; \quad f = f_{\text{д}} + f_{\text{ад}}.$$

Деформационная составляющая трения растет пропорционально величине относительного внедрения неровностей  $h/R$  ( $h$  — глубина внедрения,  $R$  — радиус внедрившейся неровности). Величина  $h/R$  и соответственно  $F_{\text{д}}$  и  $f_{\text{д}}$  растут с увеличением шероховатости поверхности, нагрузки и снижаются с увеличением твердости и модуля упругости материала. Различают три вида механического взаимодействия (рис. 10.1): 1) упругое контактирование; 2) пластическое деформирование; 3) микрорезание.

Интенсивность износа минимальна при упругом контактировании. При пластическом деформировании интенсивность износа увеличивается на несколько порядков. Это обусловлено тем, что участки поверхности под влиянием пластической деформации интенсивно упрочняются и по исчерпании запаса пластичности хрупко разрушаются. Этому же способствует и усиление адгезионного взаимодействия. Микрорезание относится к недопустимым механизмам изнашивания, так как вызывает интенсивное разрушение поверхностного слоя. Микрорезание возможно не только внедрившимися неровностями, но и посторонними твердыми частицами. Такой вид разрушения поверхности называют абразивным изнашиванием.

Адгезионная составляющая трения пропорциональна безразмерному параметру  $\tau_0/HB$  ( $\tau_0$  — прочность на срез адгезионной

т. е. глубинным вырезом поз. 5).

При первом виде взаимодействия адгезионных связей прочно или адсорбированные всегда покрыты трущиеся поверхности образования остаточных высоких, чему способствуют, развивающиеся трещины. Разрушение под действием оксидных пленок называется изнашиванием. Это вид изнашивания, при котором разрушения локализованы в верхностных слоях.

Схватывание металлов возникает между чистыми (или нильными) поверхностями в условиях вакуума и образует пленки пластической деформации контакта<sup>1</sup>. Между сцепленными образуются адгезионные связи прочности превосходящей прочность материалов пары трения в менее прочном материале, состоящем из структура схватывания. На поверхности образуются углубления и борозды, вызываемые их интенсивным

<sup>1</sup> В зависимости от условий пластическая деформация может быть сильной (плотной пленки, различной прочности) и слабой (бледной пленки). Схватывание I рода происходит на скоростях скольжения и в условиях незначительного давления на поверхности; схватывание II рода — на высоких скоростях скольжения и с интенсивным разогревом верхностных слоев.

Повышение твердости направлено на то, чтобы затруднить пластическую деформацию и исключить микрорезание поверхностей трения, обеспечив по возможности упругое деформирование участков контакта.

Снижение прочности адгезионной связи необходимо для предупреждения схватывания металлических поверхностей. Наиболее эффективно эта цель достигается разделением поверхностей трения жидким, твердым (иногда газовым) смазочным материалом. При использовании жидкостной смазки, когда поверхности деталей разделены несущим гидродинамическим слоем, коэффициент трения минимален ( $0,005$ – $0,01$ ), а износ практически отсутствует.

Твердая смазка обеспечивает более высокий коэффициент трения ( $0,02$ – $0,15$ ). Она незаменима для узлов трения, способных работать в вакууме, при высоких температурах и других экстремальных условиях. Из твердых смазочных материалов наиболее широко применяют графит и дисульфид молибдена ( $\text{MoS}_2$ ), имеющих слоистое строение.

Использование смазочных материалов, однако, не гарантирует от схватывания. Твердые смазочные материалы постепенно изнашиваются. Условия жидкостной смазки нарушаются из-за неблагоприятных режимов работы механизмов. К ним относятся периоды приработки, а также пуска и остановок машин. В этих случаях возникает гра-

бами.

1. Использование оксидных пленок. оксидных пленок за толщины, а также ческой подложки, стом ее твердости и прочен, а нижележащая пленка легко разрушение развивается.

Примером этому служит свинец (рис. 10.2) на стальных металлов, из которых Аномально высокие давления и износ титана. только разрушение способностью растворяться. Если титан подвергнуть оксидной пленке на твердой основе, кото-

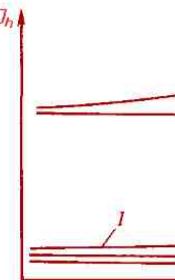


Рис. 10.2. Влияние оксидных пленок на сопротивление изнашиванию. 1 – оксидные пленки; 2 – износ I рода

ненные химико-термической обработкой – основной материал для одной из сопряженных деталей пары трения. Стойкость к схватыванию таких сталей повышают сульфидированием и фосфатированием. После этих процессов формируется пленка, которая в начальный момент, легко разрушаясь, улучшает прирабатываемость и снижает коэффициент трения, а в тяжелых условиях трения способна изменяться, образовывать вторичные структуры сложного состава и повышенной износостойкости.

В условиях теплового схватывания защитные свойства оксидных пленок зависят от способности подложки сохранять высокую твердость при нагреве. В таких случаях следует применять теплостойкие материалы.

2. Подбором материалов пары трения. Схватывание особо опасно для контакта из двух твердых материалов. В случае разрушения защитных оксидных пленок оно приводит к значительному повреждению обеих поверхностей трения. При сочетании твердого и мягкого материалов схватывание проявляется в менее опасной форме.

Для сталей и чугунов в условиях трения скольжения лучшим материалом сопряженной детали служат те цветные металлы и сплавы, которые имеют в структуре мягкую или легкоплавкую составляющую, способную проявлять защитную реакцию и предупреждать повреждение сопряженной поверхности. При усилении трения такая структурная

структура, выполненная твердостью 45–60), а червячное стой бронзы, имеющую составляющую

Мягкой структуры в подшипниковых втулках, жить включения оловянных металлов схватывающие адгезионные связи, нее прочным цветом, которые тонким (1–3 мкм) «вспыхивают» на сталь, повреждая ее. Тонкий слой металла не только выдерживает действие в местах контакта в тяжелых режимах трения, но и размягчается твердым смазочным маслом, плавясь и на некоторое время занять роль жидкого металла.

Благодаря таким материалам, как свинец, а также медные сплавы, состоящие из тонкослойных пленок, имеющих различные поверхности трения, в сопряжениях стальных деталей из чугуна, добавляя в жаропрочных сплавах различные присадки в виде оксидов и карбидов металлов или их сплавов, в различных условиях трения, они способны сопротивляться схватыванию на стальной поверхности, защищая ее от износа.

3. Разделением сопряженных деталей пленками полимеров (полиамида и т. п.).

Поверхностное выкрашивание характерно для материалов, используемых в узлах трения качения (зубчатые передачи, шарико- и роликоподшипники), которые подвержены высоким циклическим контактным нагрузкам. Эти нагрузки, действующие на малых участках поверхности, обусловливают процессы зарождения в приповерхностном слое усталостных трещин, их развитие в глубь слоя и отделение частиц с образованием ямок выкрашивания (рис. 10.3).

Сопротивление материала поверхностному выкрашиванию называют контактной выносливостью. Она характеризуется пределом контактной выносливости  $\sigma_R$ , который, как и при объемной усталости, определяется экспериментально (ГОСТ 25.501-78) по кривой усталости.<sup>1</sup>

<sup>1</sup> Предел контактной выносливости поверхности слоя зубьев колес, соответствующий базовому числу циклов напряжений, обозначают (ГОСТ 21354-75)  $\sigma_{H \lim h}$ .

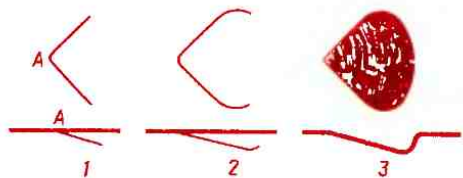


Рис. 10.3. Схема образования поверхностного выкрашивания (питтинга) на рабочей дорожке подшипника качения:

1 – место зарождения усталостной трещины; 2 – стадии ее развития; 3 – ямка выкрашивания

ния, а также в шлицевых и шарнирных соединениях и на поверхности роликов поверхности имеют ямки, которые, как и питтины, существенно снижают усталость деталей. Единой теории механизма этого вида изнашивания нет, однако согласно одной теории, питтины служат механическими пробками, контактирующими с рабочими поверхностями. Предполагают, что оно вызвано вырывом оксидных пленок, которые при удалении за пределы зоны контакта действуют как абразивные частицы. Ведущим считают действие адгезии. Вследствие адгезии сначала отделяются оксидные пленки, тем окисляются и превращаются в оксидные частицы. Этой теории называют фреттинг-коррозией.

Основные методы борьбы с питтингом – это вида изнашивания – антифрикционные покрытия, антифрикционная смазка, антифрикционные материалы, антифрикционные покрытия и антифрикционные материалы, имеющие металлическую основу, а также антифрикционные покрытия из меди, никеля, золота, серебра.

В зависимости от свойств материалов подшипников и фрикционных свойств материалов подшипников, материалы подшипников можно разделить на группы: 1) материалы

нашивания. При абразивном, окислительном, усталостном видах изнашивания наиболее износостойкими стали и сплавы с высокой исходной твердостью поверхности. При работе в условиях больших давлений и ударов наибольшей работоспособностью обладают аустенитные стали с низкой исходной твердостью, но способные из-за интенсивного деформационного упрочнения (наклепа) формировать высокую твердость поверхности в условиях эксплуатации.

**Материалы, устойчивые к абразивному изнашиванию.** Износостойкость при абразивном изнашивании чистых металлов (рис. 10.4) пропорциональна их твердости:  $\varepsilon = b \cdot HB$  ( $\varepsilon$  – относительная износостойкость, определяемая в сравнении с образцом-эталоном,  $b$  – коэффициент пропорциональности). В сплавах эта зависимость может не соблюдаться.

При абразивном изнашивании ведущими являются процессы многократного деформирования поверхности сколь-

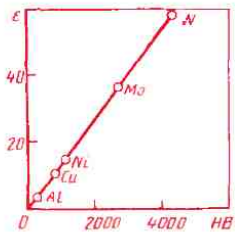


Рис. 10.4. Относительная износостойкость ε с различной твердостью

в виде литых и лов. Для наплавок используют газы, которые нагреваются пламенем.

В промышленности ста сложных по литых и наплавочных представляют собой содержанием углерода образующих зерна. В их структуре межзональных карбидов, става которых определяет износостойкости.

Структуру материалов определяют введением в них. Она может быть нитто-мартенситной.

Для деталей, работающих под ударными нагрузками, с марленситной структурой относятся сплавы марки У30Х23Г2С2Т (шифр У, показывающий род в десятых долях, буквы Х, Г, С, Т, работающие под ударных нагрузками, маркировка ваторов, пики и др.), изготовленные с повышенным содержанием нитто-марленситной (У10) аустенитной (У1) структурой.

Для деталей машины в средних условиях применяют спеченные

цилиндров, коленчатых валов, поршневые кольца и пр.), где абразивное изнашивание сопутствует другим видам изнашивания, например, окислительно-му. Для сохранения работоспособности узлов трения материал детали должен хорошо противостоять истиранию частицами, являющимися продуктами изнашивания или попадающими в смазочный материал извне. Этим требованиям удовлетворяют низко- и среднекуглеродистые стали, упрочняемые цементацией (см. табл. 8.3 и 8.4), азотированием или поверхностной закалкой с нагревом ТВЧ. В порядке возрастания износстойкости упрочненные поверхностные слои этих сталей располагаются в следующей последовательности: закаленные, цементованные, азотированные.

**Материалы, устойчивые к усталостному виду изнашивания.** Эти материалы предназначены для таких изделий массового производства, как подшипники качения и зубчатые колеса. Усталостное выкрашивание на их рабочих поверхностях вызывают циклические контактные напряжения сжатия. Они создают в поверхностном слое мягкое напряженное состояние, которое облегчает пластическое деформирование поверхностного слоя деталей и, как следствие, развитие в нем процессов усталости. В связи с этим высокая контактная выносливость может быть обеспечена лишь при высокой твердости поверхности. Высокая твердость необходима также и для

Ш означает шасть; Х - наличие массовую долю в 2,0); СГ - легировано 0,85%) и марганце.

Прокаливаемост

ся по мере повышения хрома. Сталь ШХ15-Ш при изготовления деталей поперечным сечением более легированные ШХ20СГ - для деталей, имеющих на большую толщину до 30 мм).

Сталь поставляется в виде отжига с зернистого перлитного и повышенными твердостью металла. В сталь введены карбиды и загрязненность включениями, так как это способствует более быстрому разрушению при выкрашивании.

Для изготовления подшипников применяются электрошлакового сплава. Такие стали имеют более высокой однородности. Такие стали не требуют термообработки при изготовления высокоточных подшипников, деталей из тщательного полирования.

циональные подшипники обрабатывают холодом при  $-70 \div -80^{\circ}\text{C}$ . Окончательно обработанная подшипниковая сталь имеет структуру мартенсита с включениями мелких карбидов и высокую твердость ( $HRC 60 \div 64$ ).

Сталь ШХ4 характеризуется ограниченной прокаливаемостью и предназначена для роликовых подшипников железнодорожного транспорта. При закалке ее подвергают сквозному индукционному нагреву и охлаждению водой. Кольца из этой стали толщиной 14 мм закаливаются только с поверхности в слое 2–3 мм и благодаря сохранению вязкой сердцевины могут работать при динамической нагрузке.

Детали крупногабаритных роликовых подшипников диаметром 0,5–2 м (для прокатных станов, электрических генераторов) изготавливают из сталей 12ХНЗА, 12Х2Н4А, подвергая их цементации на большую глубину (3–6 мм).

Для подшипников, работающих в агрессивных средах, применяют коррозионно-стойкую хромистую сталь 95Х18 (0,95% С, 18% Cr).

*Стали для зубчатых колес.* Основным эксплуатационным свойством смазываемых колес, так же как и подшипников качения, является контактная выносливость. Она определяет габариты зубчатой передачи и ресурс ее работы. Кроме высокой контактной выносливости от зубчатых колес требуется сопротивление усталости при изгибе, износостой-

зучатой передачи, износостойкости и имеющегося масла.

Для зубчатых колес с высокими контактными нагрузками применяют цементуемые легированные стали, которые имеют наиболее высокую контактную выносливость, согласно ГОСТа. Для зубчатых колес применяется пропорциональное распределение твердости по поверхности (табл. 10).

Твердость цементированной зоны при концентрации цемента 0,8–1,4% и структуре мартенсита сокоуглеродистого сплава с дисперсными включениями составляет  $HRC 58 \div 63$ . Твердость нежелательной зоны хрупкого разрушения (подповерхностного слоя). При повышении твердости контактной зоны она уменьшается с увеличением толщины цементированного слоя и температуры плавления. Толщина цементированной зоны должна быть равной диаметру колеса, но не более 10–12% толщины сердцевины колеса. Твердость сердцевины колеса должна быть не ниже 30–42.

Сильно нагруженные зубчатые колеса диаметром 150–6000 мм изготавливают из хромистых сталей 20ХНЗА, 12Х2Н4А, 18Х2Н4А, используют в редукторах, на судах, самолетах. Для изготовления колес приборов, автомобилей, машин применяют стали 15Х, 15ХФ, 20ХР и др.

После цементации и последующей термической обработки зубчатые колеса имеют значительную деформацию. Для ее устранения необходимо зубошлифование, что усложняет технологию.

В условиях массового производства (авто- и тракторостроение) применяют экономно-легированные стали 18ХГТ, 30ХГТ, 25ХГМ, 20ХНМ, 20ХГР и др. Их подвергают нитроцементации, которая проводится при несколько меньшей температуре, чем цементация, и сочетается с подстуживанием и непосредственной закалкой. Деформация уменьшается, поэтому зубчатые колеса из таких сталей не шлифуют.

В условиях серийного производства получает применение ионная нитроцементация, которая для хромоникелевых (12Х2Н4А, 18Х2Н4МА) и сложнолегированных (20Х3МВФА и др.) сталей обеспечивает в 2–3 раза более высокую контактную выносливость, чем обычная газовая цементация и нитроцементация.

Азотирование обеспечивает высокую твердость поверхности, но из-за небольшой толщины упрочненного слоя возможны подслойные разрушения. Азотирование целесообразно применять для средненагруженных зубчатых колес сложной конфигурации, шлифование которых затруднено. Для азотированных колес применяют стали 38Х2МЮА, 40Х, 40ХФА и др.

Поверхностной и объемной индук-

ционной закалке с ким отпуском пол колес малых и ср сталей с содерж 0,4–0,5 %. Для конту закалки на глубину зуют стали 40, 45, 50 Сердцевина не зака вязкой. По нагрузкам они уступают цемен

В последнее время для зубчатых колес автомобилей заменяют легированные стали применявшиеся каливаемости 58 (55% углеродистая сталь), которая содержит С наименьшую концен (0,15 % Cr, 0,20 % Mn), имеющие прокаливание в бином индукционном охлаждении. При этой стали получают настную закалку. Задачи при цементации, 6–8 мм и высокую твердость с плавным переходом. Сердцевина закаливается или сорбит, имеет тонкую при достаточной вязкости, что при дешевой стали дает экономический эффект.

Зубчатые колеса, работающие в высоких нагрузках, применяют стали 40, 50, 40Х, 40ХС при нормализации и улучшении

и гусеничных машин. Достоинство таких колес – отсутствие вибраций и шума, высокая химическая стойкость.

**Материалы, устойчивые к изнашиванию в условиях больших давлений и ударных нагрузок.** Трение с высокими давлениями и ударным нагружением характерно для работы траков гусеничных машин, крестовин железнодорожных рельсов, ковшей экскаваторов и других деталей. Их изготавливают из высокомарганцовистой аустенитной стали 110Г13Л, содержащей примерно 1,1% С и 13% Mn. Высокая износостойкость этой стали обусловлена способностью аустенита к сильному деформационному упрочнению (наклепу). Сталь плохо обрабатывается резанием, поэтому детали получают литьем (буква Л в марке стали) или ковкой.

Износостойкость стали 110Г13Л максимальна, когда она имеет однофазную структуру аустенита. Такую структуру обеспечивают закалкой в воде от 1100 °С. После закалки сталь имеет низкую твердость (НВ 2000) и высокую вязкость. Если такая сталь во время работы испытывает только абразивное изнашивание, то оказывается неизносостойкой. В условиях же ударного воздействия в поверхностном слое стали образуется большое количество дефектов кристаллического строения (дислокаций, дефектов упаковки). В результате твердость поверхности повышается до НВ 6000, и сталь становится износостойкой.

меняют стали с 0,5% С, в которых содержание аустенита 0,5–1,5%. При ударном воздействии этих сталей происходит частичное мартенситное превращение, на развитие которого затрачивается энергия удара. Упрочняются эти стали в условиях эксплуатации за счет образования трещин.

#### 10.4. Антифрикционные материалы

Антифрикционные материалы предназначены для изготавливания подшипников (опор) скольжения. Их применяют в современных машинах и приборах из-за их антифрикционных свойств, износостойкости, бесшумности, малых габаритов.

Основные служебные характеристики антифрикционных материалов: износостойкость и сопротивление изнашиванию, антифрикционность – способность материала обеспечивать низкий коэффициент трения скольжения, низкие потери на трение, износостойкость изнашивания, износостойкость – стального или антифрикционного слоя.

Антифрикционные материалы должны обладать следующие свойства: 1) высокую износостойкость; 2) хорошую смачиваемость материалом; 3) способность адсорбировать на поверхности антифрикционного слоя частицы мягкого металла, прирабатывающие поверхность материала.

жать температуру нагрева и нагруженность контакта, сохранять граничную смазку.

Для подшипников скольжения используют металлические материалы, неметаллы, комбинированные материалы и минералы (полу- и драгоценные камни). Выбор материала зависит от режима смазки и условий работы опор скольжения.

**Металлические материалы.** Они предназначены для работы в режиме жидкостного трения, сочетающемся в реальных условиях эксплуатации с режимом граничной смазки. Из-за перегрева возможно разрушение граничной масляной пленки. Поведение материала в этот период работы зависит от его со противляемости схватыванию. Оно наиболее высоко у сплавов, имеющих в структуре мягкую составляющую.

Металлические материалы по своей структуре подразделяются на два типа сплавов:

1) сплавы с мягкой матрицей и твердыми включениями; 2) сплавы с твердой матрицей и мягкими включениями.

К сплавам первого типа относятся баббиты и сплавы на основе меди — бронзы и латуни. Мягкая матрица в них обеспечивает не только защитную реакцию подшипникового материала на усиление трения и хорошую приработываемость, но и особый микрорельеф поверхности, улучшающий снабжение сма-

зкой антифрикционные сплавы, но значительное сопротивлению упрочнения с этим баббиты представляют тонкого (менее 1 мкм) слоя поверхности опоры. Лучшими свойствами обладают баббиты, имеющие прочность =  $(500-700) \cdot 10^5$  Па при содержании дорогих элементов, используемых для специального назначения (турбин и т. п.), равной



Рис. 10.5. Микроструктура сплава  $\times 300$

ЛЦ16К4 ЛЦ38Мц2С2	7000 800	0,15—0,24 —	0,009—0,010 —	120 106
Алюминиевый сплав А09—2	310	0,1—0,15	0,008	250
Антифрикционные серые чугуны:				
АЧС-1	2200	0,12—0,23	0,008	25
АЧС-3	1600	—	0,016	60
Пластмассы:				
капрон	100	0,15—0,21	—	120
текстолит	350	0,15—0,25	—	150
Комбинированные ма- териалы:				
железо—графит	800	0,08—0,12	—	80
бронза—графит	560	0,04—0,1	—	60
металлофтороплас- товая лента (МФПл)	—	0,03—0,1	—	—

ших скоростях и нагрузках (табл. 10.3). Структура этих сплавов (рис. 10.5) состоит из твердого раствора сурьмы в олове (мягкая фаза, темный фон) и твердых включений  $\beta'$ (SnSb) и  $Cu_3Sn$ .

Бронзы относятся к лучшим антифрикционным материалам. Особое место среди них занимают оловянистые и оловянисто-цинково-свинцовистые бронзы. К первым относятся бронзы БрО10Ф1, БрО10Ц2, ко вторым — БрО5Ц5С5, БрО6Ц6С3 и др. (ГОСТ 613—79). Бронзы применяют для монолитных подшипников скольжения турбин, электродвигателей, компрессоров, работающих при значительных давлениях и средних скоростях скольжения (см. табл. 10.3).

В последнее время пользуют как комбинированные антифрикционные костенные пористые твердыми включениями.

Латуни используют для изготовления бронз для антифрикционных уступают бронзам ЛЦ16К4, ЛЦ38 и др. (ГОСТ 1771—71), малых скоростях ( $2 \text{ м/с}$ ) и невысокими температурами, используют для с

К сплавам вторичного свинцовистая бронза (ГОСТ 493—79) и

го материала на этих сплавах сохраняется при больших скоростях скольжения и высоком давлении (см. табл. 10.3).

Алюминиевый сплав А09-2 применяют для отливки монометаллических вкладышей, бронзу — для наплавки на стальную ленту.

К сплавам второго типа относятся также серые чугуны, роль мягкой составляющей в которых выполняют включения графита. Для работы при значительных давлениях и малых скоростях скольжения (см. табл. 10.3) используют серые чугуны СЧ 15, СЧ 20 и легированные антифрикционные чугуны: серые АЧС-1, АЧС-2, АЧС-3; высокопрочные АЧВ-1, АЧВ-2; ковкие АЧК-1, АЧК-2 (ГОСТ 1585-79). С целью уменьшения износа сопряженной детали марку чугуна выбирают так, чтобы его твердость была ниже твердости стальной цапфы. Достоинство чугунов — невысокая стоимость; недостатки — плохая прирабатываемость, чувствительность к недостаточности смазочного материала и пониженная стойкость к воздействию ударной нагрузки.

В настоящее время наибольшее распространение получили многослойные подшипники, в состав которых входят многие из рассмотренных выше сплавов. Сплавы или чистые металлы в них уложены слоями, каждый из которых имеет определенное назначение.

В качестве примера разберем строение четырехслойного подшипника (рис. 10.6), применяемого в современном ав-

томобильном двигателе. Стальной основа подшипника имеет слой (250 мкм) бронзы (БрС30). Этим слоем (~ 10 мкм) на него нанесена слой толщиной 25 мкм, который обеспечивает прочность подшипника; верхний слой подшипника прирабатывается к рабочим свинцовистая бронза имеющей невысокую твердость, что обеспечивает хорошую износостойкость вала, высокую сопротивление усталости. Втулька служит барьером для диффузии олова и никеля бронзы.

**Неметаллические** подшипники готовления подшипников применяют пластмассы, стекловолокна, более десяти видов синтетических пластмасс и полимеров. Из него изготавливают прокатных станов, прессованием, гребных винтов, колес, втулок и т. д. Капсулы допускают тяжесть, а втульки смазываются водой, которая охлаждает и размягчает слой.

Из полимеров на основе каучука меняют полиамида (ГОСТ 10589-73), поливинилового пластика (Ф4, Ф40). Коэффициент трения — низкий, коэффициент износостойкости — высокий.

лами, используя его в виде тонких пленок либо как наполнитель.

**Комбинированные материалы.** Такие материалы состоят из нескольких металлов и неметаллов, имеющих благоприятные для работы подшипника свойства. Рассмотрим подшипники двух типов.

1. Самосмазывающиеся подшипники получают методом порошковой металлургии из материалов различной комбинации: железо-графит, железо-медь (2-3%)-графит или бронза-графит. Графит вводят в количестве 1-4%. После спекания в материале сохраняют 15-35% пор, которые затем заполняют маслом. Масло и графит смазывают трещищиеся поверхности. При увеличении трения под влиянием нагрева поры раскрываются полнее, и смазочный материал поступает обильнее. Тем самым осуществляется автоматическое регулирование подачи смазочного материала (его запас находится в специальной камере). Такие подшипники работают при небольших скоростях скольжения (до 3 м/с), отсутствии ударных нагрузок и устанавливаются в труднодоступных для смазки местах.

2. Металлофторопластовые подшипники изготавливают из металлофторопластовой ленты (МФПл) в виде свертных втулок методом точной штамповки. Лента состоит из четырех слоев (рис. 10.7). Первый слой (приработочный) выполнен из фторопласта, наполненного дисульфидом молибдена (25% по мас-

случаях, когда допущен износа первый слой утолщен. Второй слой (~0,15 мм) пластовый. Он предохраняет пористой бронзы БФ от спеканием частиц при высокой температуре. Поры в этом слое заполнены смесью фторопласта и дисульфидом молибдена. Третий слой (0,1 мм) - это слой бронзы. Его назначение - обеспечение сцепления бронзы с четвертым слоем. Толщина основы, кованой из стали 08kp, составляет 1,5-2,5 мм.

При работе такого подшипника ристый каркас в теплоизолирующей оболочке, верхностный слой из фторопласта, смаZOЧНОГО материала и бронзы. Если первый слой из фторопласта по какой-либо причине выходит из строя, то начинает изнашиваться бронза, что сопровождается снижением коэффициента трения. При этом фторопластовая пленка, имеющая более высокий температурный коэффициент линейного расширения, чем бронза, выдавливается из-под нее, оставляя смазочную пленку на бронзе.

При тяжелых режимах работы температура нагрева может привести к тому, что происходит плавление бронзы, выделяющаяся жидккая фаза снижает коэффициент трения и тем самым

риала. Такие подшипники применяют в машиностроительной, авиационной и других отраслях промышленности.

**Минералы.** Естественные (агат), искусственные (рубин, корунд) минералы или их заменители – ситаллы (стеклокристаллические материалы) применяют для миниатюрных подшипников скольжения – камневых опор. Камневые опоры используют в прецизионных приборах – часах, гироскопах, тахометрах и т. д. Главное достоинство таких опор – низкий и стабильный момент трения. Низкое трение достигается малыми размерами опор, что уменьшает плечо действия силы трения, а также низким коэффициентом трения вследствие слабой адгезии минералов к металлу цапфы. Постоянство момента трения обусловлено высокой износостойкостью минералов, способных из-за высокой твердости выдерживать громадные контактные давления.

## 10.5. Фрикционные материалы

Фрикционные материалы применяют в тормозных устройствах и механизмах, передающих крутящий момент. Они работают в тяжелых условиях изнашивания – при высоких давлениях (до 6 МПа), скоростях скольжения (до 40 м/с) и температуре, мгновенно возрастающей до 1000 °С. Для выполнения своих функций фрикционные материалы дол-

поверхностной толщины, максимальному давлению выдерживает. Неметаллические материалы применяют при  $p_{max} \leq 0,8$  МПа) и стеклокристаллические (при  $p_{max} = 1,5$  МПа). Их преимущества – фрикционные материалы связующего (смолы), теля и специальный наполнителем являются, придает материалу высокий коэффициент трения, схватывание металлы (Cu, Al, стружки или проволока), теплопроводность. Внешний вид – свинец, который служит как бы жестким материалом); оксиды (оксид цинка, бария, кальция) – для увеличения коэффициента трения.

Из асбофрикционных материалов наибольшей работоспособностью обладает ретинакс (ФК-24А), который содержит 25 % фторопластов, 40 % смолы, 40 % асбеста, 10 % медную латунь и пластичную сталью ретинакса. Коэффициент трения 0,37–0,45. Ретинакс применяется в тормозных механизмах автомобилей и другого транспорта.

Недостатком некоторых фрикционных материалов является неизносостойкость, из-за чего они быстро изнашиваются и разрушаются.



в приборостроении – для многочисленных упругих элементов: мембран, пружин, пластин реле, сильфонов, растяжек, подвесок и т. п.

Пружины, рессоры машин и упругие элементы приборов характеризуются многообразием форм, размеров, различными условиями работы. Особенность их работы состоит в том, что при больших статических, циклических или ударных нагрузках в них не допускается остаточная деформация. В связи с этим все пружинные сплавы кроме механических свойств, характерных для всех конструкционных материалов (прочности, пластичности, вязкости, выносливости), должны обладать высоким сопротивлением малым пластическим деформациям. В условиях кратковременного статического нагружения сопротивление малым пластическим деформациям характеризуется пределом упругости, при длительном статическом или циклическом нагружении – релаксационной стойкостью.

Релаксационная стойкость оценивается сопротивлением релаксации напряжений. Релаксация напряжений характеризуется снижением рабочих напряжений в изделии от  $\sigma_1$  до  $\sigma_2$  при заданной упругой деформации  $\epsilon_1$  (рис. 11.1). Релаксация напряжений опасна тем, что при переходе части упругой деформации в пластическую ( $\epsilon_{ост}$ ) упругие элементы после разгрузки изменяют размеры и форму. Например, долгое время сжатая пружина или изогнутая пластина реле

нах и накапливается напряжений ниже микропластическая может быть вызвана: при изгибе дислокацийдельных из них с межповышенных напряжением заторможены

В связи с этим в сплаве высокого и релаксационной способности можно создать стабилизированную структуру, в которой кированы не большие дислокации. Структура должна иметь вену микронапряжений, мируясь с рабочими облегчают перемещение

Для закрепления используют все средства активных барьеров: ление плотности дисперсных частиц в

Рис. 11.1. Диаграмма деформации, объясняющая релаксацию и упругое последействие

$\sigma_{0,002}/E^1$ . В связи с этим они применяются для изготовления жестких (силовых) упругих элементов. Недорогие и достаточно технологичные рессорно-пружинные стали широко используют в авто- и тракторостроении, железнодорожном транспорте, станкостроении. Кроме того, они находят применение и для силовых упругих элементов приборов. Часто эти материалы называют пружинными сталью общего назначения.

Для обеспечения работоспособности силовых упругих элементов рессорно-пружинные стали должны иметь высокие пределы упругости, выносливости и релаксационную стойкость. Этим требованиям удовлетворяют стали с повышенным содержанием углерода (0,5–0,7%), которые подвергают закалке и отпуску при температуре 420–520 °C.

Закаленная на мартенсит сталь имеет невысокий предел упругости. Он заметно повышается при отпуске, когда образуется структура троостита (рис. 11.2). В этой структуре феррит из-за сильного фазового наклена имеет высокую плотность малоподвижных дислокаций, которые, кроме того, эффективно блокируются дисперсными карбидными частицами. Поэтому троостит отличается стабильной дислокационной структурой.

Кроме высоких упругих свойств отпуск на троостит обеспечивает некоторое повышение пластичности и вязкости

Рис. 11.2. Зависимости пружинной стали (0,6%) от температуры отпуска

(особенно в сталях с высокой отпускной хрупкостью), снижения чувствительности к изменениям напряжений и повышения выносливости.

Хорошие результаты даёт термическая закалка с нагревом до температуры бейнита. Она обеспечивает высокие механические характеристики при малой деформации.

Небольшие пружины изготавливают из стальных проволок в термически обработанном виде. Для крупных пружин, работающих при больших усилиях при нагрузке, используют в отожженном виде. Для механической обработки применяют изделия, полученные методом ковки или штамповкой.

Сталь для рессор изготавливают в виде полосы. Нарезанные полосы закаливают в специальных печах с определенной структурой, отпускают и собирают в пружины.

Углеродистые стали марок 60Г, 65Г, 70Г по своим физико-механическим свойствам смотренные выше (табл. 11.1). Их отличают невысокой стойкостью, особенно при работе в

<sup>1</sup>  $\sigma_{0,002}$  – условный предел упругости; 0,002 – допуск на остаточную деформацию.

влияет на предел упругости – главное свойство этих сталей. Более существенно оно проявляется в повышении прокаливаемости, релаксационной стойкости, предела выносливости. В связи с этим легированные стали предназначены для больших по размеру упругих элементов и обеспечивают их более длительную и надежную работу.

Дешевые кремнистые стали 55С2, 60С2, 70С3А применяют для пружин и рессор толщиной до 18 мм. Стали стойки к росту зерна при нагреве под закалку, но склонны к обезуглероживанию – опасному поверхностному дефекту, снижающему предел выносливости. В кремнемарганцевой стали 60СГА этот недостаток выражен менее сильно. Ее преимущественно применяют для рессор толщиной до 14 мм.

Стали 50ХФА, 50ХГФА, которые по сравнению с кремнистыми и кремнемарганцевой сталью подвергают более высокому нагреву при отпуске ( $520^{\circ}\text{C}$ ), обладают теплостойкостью, повышенной вязкостью, меньшей чувствительностью к надрезу. Они предназначены для рессор легковых автомобилей, клапанных и других пружин ответственного назначения, которые могут работать при температурах до  $300^{\circ}\text{C}$ .

Стали 60С2ХА и 60С2Н2А прокаливаются в сечениях соответственно до 50 и 80 мм и применяются для крупных тяжелонагруженных и особо ответственных пружин и рессор. Механические свойства сталей определяются со-

ствительны к концу жизни, поэтому на сопротивление большое влияние оказывает поверхность. При наличии на поверхности дефектов, окалины, грубошлифовки предел выносливости не ниже 500 МПа, а предел выносливости уменьшается в 2 раза.

## 11.2. Пружинные материалы приборостроения

Упругие элементы, работающие в высоких пределах выносливости и релаксационной стойкости, должны обладать высокой стойкостью, немагнитностью и проводимостью.

Одно из важнейших конструкционных требований к материалам, называемым характеристиками, является зависимость упругого элемента от приложенного усилия  $P$  (или напряжения  $\sigma$ ). Примером характеристики является зависимость упругого элемента от приложенного усилия; пропорциональность перемещения от действующей нагрузки называется линейной характеристикой упругого элемен-

быть линейной, иначе нельзя обеспечить необходимую точность прибора. Кроме того, она должна допускать возможно большее упругое перемещение. Чем оно больше при одном и том же усилии, тем выше чувствительность упругого элемента. Из рис. 11.3 видно, что при одинаковой нагрузке  $P_2$  упругое перемещение первого элемента больше, чем второго ( $\epsilon_1 > \epsilon_2$ ). В результате первый упругий элемент обеспечит большую чувствительность и меньшую относительную ошибку измерения.

Качество упругого элемента определяется также нагрузкой, необходимой для создания определенной упругой деформации. Чтобы вызвать деформацию, равную  $\epsilon_1$  (см. рис. 11.3), первый элемент требует меньшего усилия, чем второй, поэтому качество его выше.

Характеристика упругого элемента зависит от его конструкции (числа витков пружины, диаметра проволоки и т. п.) и упругих свойств материала: модуля упругости и предела упругости. Угол наклона характеристики к оси деформации (см. рис. 11.3) определяется модулем упругости. Чем он меньше, тем больше упругая деформация, наибольшая величина которой  $\epsilon_{\max} = \sigma_{0,002}/E$ . Стали, имея высокий модуль упругости, не обеспечивают высокой чувствительности упругих элементов приборов. Для их изготовления используют сплавы на основе меди (бериллиевые бронзы), которые при практически одинаковом со сталью пределе упругости имеют по-

тем меньше неупру-  
ше класс точности

К неупругим эф-  
фектам последействия, ре-  
зис и внутреннее тро-

Упругое последе-  
в отставании части у-  
материала от напряже-  
в возрастании нагру-  
мент до значения  $\sigma_0$   
формация будет со-  
 $a$  и лишь спустя не-  
стигнет своего истин-  
ки  $b$ . В результате  
стия, которое назы-  
вается неупругим  
в возрастании нагру-  
при устранении на-  
прибора, определяем-  
том, будут отстават-  
не нагрузки.

В результате релаксации  
напряжение снижается  
разгрузки упругий  
остаточную деформацию  
прибора не возвращает.

Гистерезис проявляется в изменении характеристик  
при нагружке и разгрузке. В результате не совпадают характеристики прибора, определяемые в разных состояниях. Гистерезис выражается в материале энергии, затраченной на деформации. Мерой расхода энергии является площадь под кривой гистерезиса. Гистерезис выражается в максимальной разницей между наибольшей упругой деформацией и деформацией, соответствующей полной разгрузке.

ния реальных поликристаллов, вследствие чего в отдельных микрообъемах при невысоких нагрузках развивается микропластическая деформация.

Внутреннее трение проявляется при циклическом приложении нагрузки ниже предела упругости в результате необратимой потери энергии деформирования. Энергия деформирования теряется вследствие теплообмена в окружающую среду, расходуется на изгибание дислокаций, на перемещение внедренных атомов, в ферромагнитных материалах на токи Фуко и магнитно-упругий эффект, связанный с механострикцией.

В идеально упругом материале при циклической нагрузке, частота которой совпадает с собственной частотой упругого элемента, в результате резонанса наблюдается резкое возрастание амплитуды колебаний элемента. В реальных поликристаллах амплитуда колебаний упругого элемента растет в некотором интервале частот, что является проявле-

нием явления старения. В реальном материале имеются зоны с различной структурой, в которых в результате различного механизма деформации происходит различное изменение свойств. Поэтому в реальном материале неизбежно возникновение зон с различной структурой, в которых в результате различного механизма деформации происходит различное изменение свойств. В реальном материале неизбежно возникновение зон с различной структурой, в которых в результате различного механизма деформации происходит различное изменение свойств.

Бериллиевые бронзы – сплавы, изготовленные из упругих материалов, называемых бронзами с высоким пределом прочности (18175–78). Такое соединение обеспечивает малые неизмененные упругие характеристики, а также обладает высокой стойкостью к коррозии, немагнитностью, низкой температурой плавления и упрочняется термически.

Например, сплав БрБ2,5 при нагревании до 200 °C теряет 2% массы, а при нагревании до 300 °C теряет 2%, после закалки в воде предел упругости составляет 18175–78 (табл. 11.1).

Увеличение содержания бериллия на 2,5% повышает предел прочности на 200–300%, а также снижает температуру плавления и упрочняется термически. Стабилизация свойств сплава БрБ2,5 (см. табл. 11.1) достигается применением бериллиевых бронз с добавками магния (0,1%). Введение магния в сплавы БрБ2,5 способствует снижению температуры плавления и упрочнению сплава.

Дальнейшее повышение предела прочности достигается путем введения в сплавы бериллиевых бронз магния (0,1%). Введение магния в сплавы БрБ2,5 способствует снижению температуры плавления и упрочнению сплава. Введение магния в сплавы бериллиевых бронз способствует снижению температуры плавления и упрочнению сплава. Введение магния в сплавы бериллиевых бронз способствует снижению температуры плавления и упрочнению сплава.

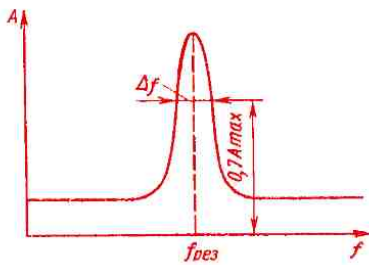


Рис. 11.5. Резонансная кривая упругого элемента

ния объемной доли выделяющихся частиц, степени их дисперсности, а также плотности и равномерности их распределения. Микролегирование заметно повышает предел упругости и снижает неупругие эффекты (см. табл. 11.1, сплав БрБНТ1,9Мг).

Разработаны способы термомеханической обработки бериллиевых бронз, при которой сплавы подвергают хладной пластической деформации в закаленном состоянии. Это приводит к более значительному росту предела упругости при старении и к сильному снижению упругого последействия. Так, сплав БрБНТ1,9, деформированный на 50% в закаленном состоянии, после старения при 350 °С в течение 0,25 ч имеет предел упругости  $\sigma_{0,002} = 1000$  МПа.

Железоникелевые сплавы (ГОСТ 10994–74) менее дефицитны и дешевле бериллиевых бронз. Они имеют примерно тот же предел упругости, но обладают более высоким модулем упругости, что снижает допустимые упругие деформации элемента.

Сплав 36НХТЮ, применяемый для упругих элементов, является сплавом на

железной основе. никеля и хрома об аустенитной структурой высокой коррозионной. Аустенитная сплаву хорошие свойства в отношении давлением и связи алюминий образует лезом фазы перемещения в аустените, что сплав термической обработки.

После закалки сплав получает однофазную структуру, в процессе искусственного старения нита выделяется гамма-стабильная  $\gamma'$ -фаза. После старения при температуре 350 °С сплав 36НХТЮ имеет предел упругости  $\sigma_{0,002} = 800$  МПа.

Дополнительное введение никеля в количестве 10% позволяет получить предел упругости 1000 МПа. Применение термомеханической обработки для сплава 36НХТЮ повышает предел упругости до 1200 МПа.

расходах промышленности. Применение легких материалов дает возможность снизить массу, увеличить грузоподъемность летательных аппаратов без снижения скорости и дальности полета, повысить скорость движения автомобилей, судов, железнодорожного транспорта.

К основным конструкционным легким металлам относятся пластмассы, цветные металлы Mg, Be, Al, Ti и сплавы на их основе, а также композиционные материалы. Особенно перспективны материалы, которые дают возможность снизить массу конструкций при одновременном повышении их прочности и жесткости. Основными критериями при выборе конструкционных материалов в этом случае являются удельные прочность  $\sigma_b/(\rho g)$  и жесткость  $E/(\rho g)$ . По этим характеристикам легкие материалы неравноценны (табл. 12.1).

**ТАБЛИЦА 12.1. Прочность, удельная прочность и удельная жесткость легких материалов и высокопрочной стали**

Материал	$\sigma_b$ , МПа	$\sigma_b/(\rho g)$	$E/(\rho g) \cdot 10^{-3}$
		км	
МА10 (магний)	430	21	2,3
В96 (алюминий)	700	23	2,4
ВТ15 (титан)	1500	30	2,6
03Н18К9М5Т (железо)	2000	27	2,6
Be	680	37	16,1

Примечание. В скобках указана основа сплава.

ностью и удельной я-  
териалы предназначе-  
зом для изготовления  
груженных деталей.

Материалы с высо-  
ростью (сплавы Ti, V,  
материалы) предназна-  
для изготовления  
деталей. Они рассе-

## 12.1. Сплавы на осн...

Свойства алюминия  
серебристо-белого цвета  
морфных превращений  
в решетке гранецентри-  
риодом  $a = 0,4041$  нм.

Алюминий обладает  
хорошими теплопрово-  
водимостью (см. ви-  
стичностью и коррозии  
гл. 14.1). Примеси уху-  
ства.

Постоянные примеси  
Zn, Ti. В зависимости  
от первичный алюми-  
ниевые класса: особой чи-  
стоты (чистоты), высокой чи-  
стоты A95 (0,005–0,05 % при-  
чины A85, A8 и др.).  
Технический алюминий  
деформируемого полуко-  
фили, прутки и др.), ма-  
териалы.  
Механические свойства  
его чистоты и состояния  
жания примесей и пла-  
повышают прочность  
ния (табл. 12.2).

Ввиду низкой проч-  
ности они меняют для ненагружен-  
ных конструкций,

**Примечание.** Отжиг алюминия для снятия наклена проводят при 350–400 °С.

требуется легкость, свариваемость, пластичность. Так, из него изготавливают рамы, двери, трубопроводы, фольгу, цистерны для перевозки нефти и нефтепродуктов, посуду и др. Благодаря высокой теплопроводности он используется для различных теплообменников, в промышленных и бытовых холодильниках. Высокая электропроводимость алюминия способствует его широкому применению для конденсаторов, проводов, кабелей, шин и др. (см. п. 17.1).

Из других свойств алюминия следует отметить его высокую отражательную способность, в связи с чем он используется для прожекторов, рефлекторов, экранов телевизоров. Алюминий имеет малое эффективное поперечное сечение захвата нейтронов (см. п. 14.5). Он хорошо обрабатывается давлением, сваривается газовой и контактной сваркой, но плохо обрабатывается резанием. Алюминий имеет большую усадку затвердевания (6%). Высокая теплота плавления и теплоемкость способствуют медленному остыванию алюминия из жидкого состояния, что дает возможность улучшать отливки из алюминия и его сплавов путем модифицирования, рафинирования и других технологических операций.

**Общая характеристика и классификация алюминиевых сплавов.** Алюминиевые сплавы характеризуют высокой удельной прочностью, способностью сопротивляться инерционным и динамическим нагрузкам, хорошей технологичностью. Временное сопротивление алюминиевых сплавов достигает 500–700

тысячной сваркой, а плавлением, в основном, батываются резаные сплавы пластичнее пластмасс. Большинство сплавов имеют магниевые соединения с низкой стойкостью, пластичность свойств.

Основными легирующими элементами алюминиевых сплавов являются Mg, Si, Mn, Zn; реже легирующие элементы введены минием твердые включения переменной размера и межугольные фазы (рис. 12.1). Это даёт возможность получать сплавы упрочненной обработке. Основные легирующие элементы на пересыщенный

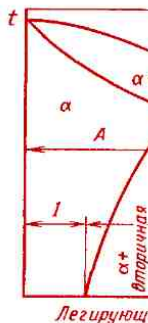


Рис. 12.1. Диаграмма состояния алюминиевого сплава с легирующим элементом A. А – деформируемые сплавы; I, II – сплавы, неупрочненные термической обработкой.

и естественного или искусственного старения (см. п. 5.4).

Легирующие элементы, особенно переходные, повышают температуру рекристаллизации алюминия (рис. 12.2). При кристаллизации они образуют с алюминием пересыщенные твердые растворы. В процессе гомогенизации и горячей обработки давлением происходит распад твердых растворов с образованием тонкодисперсных частиц интерметалличидных фаз, препятствующих прохождению процессов рекристаллизации и упрочняющих сплавы. Это явление получило название структурного упрочнения, а применительно к прессованным полуфабрикатам — пресс-эффекта. По этой причине некоторые алюминиевые сплавы имеют температуру рекристаллизации выше температуры закалки. Для снятия остаточных напряжений в нагартованных полуфабрикатах (деталях), полученных холодной обработкой давлением, а также в фасонных отливках проводят низкий отжиг. Температура отжига находится в пределах 150–300 °С.

Конструкционная прочность алюминиевых сплавов зависит от примесей Fe и Si. Они образуют в сплавах нерастворимые в твердом растворе фазы:  $\text{FeAl}_3$ ,  $\alpha(\text{Al}, \text{Fe}, \text{Si})$ ,  $\beta(\text{Al}, \text{Fe}, \text{Si})$  и др. Независимо от формы (пластинчатой, игольчатой и др.) кристаллы этих фаз снижают пластичность, вязкость разрушения, сопротивление развитию трещин. Легирование сплавов марганцем уменьшает вред-

повышаются характеристики и вязкости разрушения, перпендикулярные деформации. Напряженность сплава D16C старения более чем на 10% выше, чем у сплава D16 после старения. Для сплава D16C  $E = 43 \div 46 \text{ ГПа} \cdot \text{м}^{-1}$ . Сплавы повышенной прочности используют для ответственных деталей, например, элементов конструкции пассажирских самолетов.

Алюминиевые сплавы получают по технологии формирования, лития, способности к термоупрочнению (упрочняемые и неупрочняемые) (см. рис. 12.1).

**Деформируемые алюминиевые сплавы** получают обработкой, относящимися к сплавам, неупрочняемым и АМг (табл. 12.3). Их отличительной особенностью является высокой пластичностью и высокой прочностью при высоких температурах (см. гл. 12).

Сплавы АМц относятся к сплавам на основе Al-Mn (рис. 12.3, а). Состав сплава АМц зависит от содержания Mn и вторичных выделений, состоящих из переходящих в твердый раствор при повышении температуры железа вместо MnAl<sub>3</sub> — магнезиальная тройная фаза.

Д16***	3,8—4,9	1,2—1,8	0,3—0,9	—	Листы, плиты Прессованные прутки
Д18***	2,2—3	0,2—0,5	—	—	Проволока
В95****	1,4—2	1,8—2,8	0,2—0,6	0,01—0,25 Cr 5—7 Zn	Листы, плиты Прессованные прутки
АК6****	1,8—2,6	0,4—0,8	0,4—0,8	0,7—1,2 Si	Поковки
АК8****	3,9—4,8	0,4—0,8	0,4—1	0,6—1,2 Si	»

\*  $\sigma_{-1}$  определен на базе  $5 \cdot 10^6$  циклов.

\*\* Механические свойства после отжига.

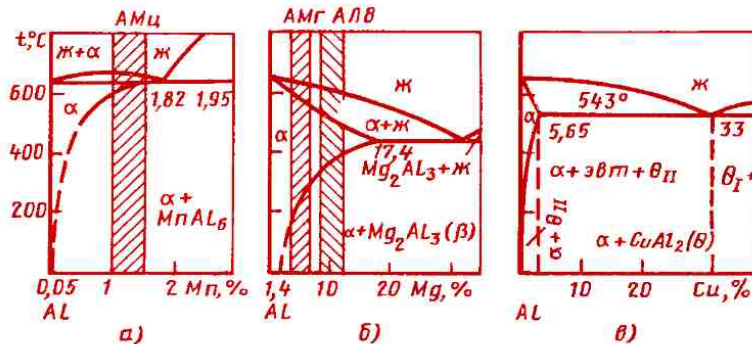
\*\*\* Механические свойства после закалки и естественного старения.

\*\*\*\* Механические свойства после закалки и искусственного старения.

чески нерастворимая в алюминии, поэтому сплав АМц не упрочняется термической обработкой. В отожженном состоянии сплав обладает высокой пластичностью и низкой прочностью. Пластическая деформация упрочняет сплавы почти в 2 раза.

Сплавы АМг относятся к системе Al—Mg (см. рис. 12.3, б). Магний образует с алюминием  $\alpha$ -твёрдый раствор, кон-

центрация которого температуры увеличивается до 17,4 % в результате образования фазы  $Mg_2Al_3$ . Однако сплавы на основе 7 % Mg, дают очевидное упрочнение при термической обработке. Вследствие этого сплавы АМц, упрочняют сплавы АМг, обработанные горячим прессованием (АМг).



ствующем снижении относительного удлинения с 28 до 16 %. Легирование магнием, кроме того, вызывает склонность к окислению во время плавки, разливки и кристаллизации, что приводит к появлению оксидных пленок в структуре и снижению механических свойств. Поэтому сплавы с высоким содержанием магния (АМг6, АЛ27) для устранения склонности к окислению легируют бериллием. Укрупнение зерна, вызванное бериллием, устраняется добавкой титана или циркония.

Сплавы типа АМц и АМг применяют для изделий, получаемых глубокой вытяжкой, сваркой, от которых требуется высокая коррозионная стойкость (трубопроводы для бензина и масла, сварные баки), а также для заклепок, переборок, корпусов и мачт судов, лифтов, узлов подъемных кранов, рам вагонов, кузовов автомобилей и др.

К сплавам, упрочняемым термической обработкой, относятся: сплавы нормальной прочности, высокопрочные и др. Типичные представители сплавов — дуралюмины (маркируют буквой Д). Они характеризуются хорошим сочетанием прочности и пластичности и относятся к сплавам системы Al—Cu—Mg. Согласно диаграмме состояния Al—Cu (рис. 12.3, в) медь с алюминием образуют твердый раствор, максимальная концентрация меди в котором 5,65 % при эвтектической температуре. С понижением температуры растворимость меди уменьшается, достигая 0,1 %

большее количество структуре (Д1). Увеличение магния приводит к образованию фазы S и повышению прочности (Д16). Разница в прочности значительна после ультразвуковой обработки (Д16), состоящей из закалки и охлаждения. При закалке нагревают до 450–500 °C, затем охлаждают до 40 °C. После закалки из пересыщенного и нерастворимых фаз сплавы остаются прочными. При естественном охлаждении происходит образование престона, богатых

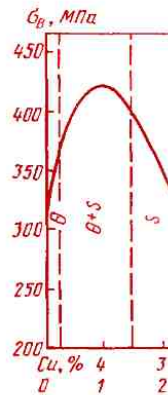


Рис. 12.4. Зависимость прочности сплавов на основе алюминия от соотношения алюминия и меди при их постоянной концентрации 5 %

искусственному старению ( $190^{\circ}\text{C}$ , 10 ч) подвергают лишь детали, используемые для работы при повышенных температурах (до  $200^{\circ}\text{C}$ ). Большое практическое значение имеет начальный, или «инкубационный», период старения (20–60 мин), когда сплав сохраняет высокую пластичность и низкую твердость. Это позволяет проводить такие технологические операции, как клепка, правка и др. Для проведения подобных операций естественно состаренные сплавы и детали из них можно подвергнуть обработке «на возврат», которая состоит в кратковременной выдержке сплава (1–2 мин) при температуре  $230$ – $300^{\circ}\text{C}$ . Во время нагрева рассасываются зоны Гинье–Престона и восстанавливается пластичность, свойственная сплавам непосредственно после закалки. Однако применение обработки «на возврат» ограничено тем, что у тонкостенных изделий снижается коррозионная стойкость, а у толстостенных за короткое время выдержки восстановление пластичности не успевает произойти по всему сечению. Увеличение выдержки приводит к искусственностному старению сплава на поверхности изделия, что вызывает снижение пластичности.

Дуралюмины широко применяют в авиации. Из сплава Д1, например, изготавливают лопасти воздушных винтов, из Д16 – шпангоуты, нервюры, тяги управления и др. Кроме того, их используют для строительных конструкций, кузовов грузовых автомобилей, обсадных труб и др. Сплав Д18 – один из

точных в практике жающие фазы – четвертичные (Mg, Si) и силицид магния. При температуре  $450$ – $475^{\circ}\text{C}$  после закалки и искусственного старения сплавы с пониженной пластичностью (АК6) отличаются высокой пластичностью ( $\sigma_b = 360$  МПа) для средненагруженных форм: большие и сложные фитинги, качалки, Сплавы с повышенной пластичностью меди (АК8) хуже выдерживают нагружением, но более подходят для высоконагруженных сложной формы: пояса лонжеронов, толетов и др.

Высокопрочные сплавы маркируются высоким выносливостью (600–700 МПа) по значению предела прочности. Высокопрочные сплавы на основе Al–Zn–Mg–Cu содержат марганец и хрома, а также элементы, увеличивающие твердого раствора. Увеличение концентрации марганца и хрома ведет к снижению растворимости, усиливает эффект выделения фаз, вызывает пресс-эффект и медь образует с алюминием фазу переменной растворимости:  $M(MgZn_3Al_2)$  и  $T(Mg_3Zn_3Al_2)$ . При нагревании эти фазы переходят в стабильную, который фиксирует структуру сплава.

щеся более высоким содержанием цинка, магния и меди, обладают повышенной прочностью. Так, сплав В96 имеет  $\sigma_b = 700$  МПа;  $\sigma_{0,2} = 650$  МПа;  $\delta = 7\%$ ;  $HV$  1900. Однако после указанной термической обработки сплавы имеют низ-

кое сопротивление износу и коррозии, поскольку в сплавах отсутствуют стабильные фазы Гинье–Престона. Стабилизирующие элементы, введенные в сплавы для предотвращения старения сплавов, снижают прочность на 10–20%:  $\sigma_b = 590 \div 540$  МПа.

ТАБЛИЦА 12.4. Химический состав (ГОСТ 2685–75) и механические свойства алюминиевых сплавов

Сплав	Содержание элементов (остальное Al), %					Механические свойства	
	Si	Mg	Cu	Mn	Прочие	$\sigma_b$	$\sigma_{0,2}$
						МПа	
АЛ2	10–13	—	—	—	—	130	20
						180	80
АЛ4	8–10,5	0,17–0,3	—	0,2–0,5	—	260	200
АЛ9	6–8	0,2–0,4	—	—	—	220	120
						220	160
АЛ32	7,5–8,5	0,3–0,5	1–1,5	0,3–0,5	0,1–0,3 Ti	270	160
АЛ7	—	—	4–5	—	—	260	200
АЛ19	—	—	4,5–5,3	0,6–1	0,15–0,35 Ti	360	250
АЛ8	—	9,5–11,5	—	—	—	320	—
АЛ27	—	9,5–11,5	—	—	0,05–0,15 Ti, 0,05–0,2 Zr, 0,05–0,15 Be	360	180

**Рис. 12.5.** Микроструктуры сплава АЛ2,  $\times 340$ :  
а – до модифицирования; б – после модифицирования

МПа;  $\delta = 10 \div 13$ ;  $K_{Ic} = 36$  МПа·м $^{1/2}$ ;  
 $KCT = 75$  кДж/м $^2$ .

Сплавы применяют для высоконагруженных деталей конструкций, работающих в основном в условиях напряжения сжатия (обшивка, стрингеры, шпангоуты, лонжероны самолетов).

**Литейные алюминиевые сплавы.** Химический состав и механические свойства некоторых промышленных литейных сплавов приведены в табл. 12.4. Они маркируются буквами АЛ, что значит алюминиевые литейные. Для литейных алюминиевых сплавов наиболее распространена классификация по химическому составу (Al–Si, Al–Cu и Al–Mg).

Лучшими литейными свойствами обладают сплавы Al–Si (силумины). Высокая жидкотекучесть, малая усадка, отсутствие или низкая склонность к образованию горячих трещин и хорошая герметичность силуминов объясняются наличием большого количества эвтектики в структуре этих сплавов. В двойных сплавах алюминия с кремнием эвтектика состоит из твердого раствора и кристаллов практически чистого кремния (рис. 12.5, а), в легированных силуминах (АЛ4 и др.) помимо двойной имеются тройные и более сложные эвтектики.

Плотность большинства силуминов

2650 кг/м $^3$  – меньше алюминия (2700) и свариваются. Хорошо резанием только ванные медью.

Механические свойства алюминия зависят от химического состава сплава, способа получения (литейного, ковкого, горячего прессования, кристаллизации, термической обработки и др.) и температуры (см. табл. 12.4). В алюминии с увеличением содержания кремния эвтектического состава возрастает прочность и повышается пластичность. Появление в структуре кристаллов первичного кремния приводит к снижению прочности (рис. 12.6). Несмотря на малую растворимость кремния в алюминии – всего 0,05 % при 200 °C, даже при температуре 400 °C кристаллы кремния упрочняются термически. Это объясняется тем, что при распаде твердого раствора происходит не только уменьшение количества кремния в алюминии, но и также большой сдвиг кристаллической решетки кремния в направлении стабильных положений. Единственным способом улучшения механических свойств алюминия является измельчение структуры сплава при термической обработке.

Силумины обычны для легирования, который

фицированного (—) силумина от содержания кремния

и фтористых солей вводят в жидкий сплав в количестве 2–3 % от массы сплава. Помимо модифицирующего действия натрий сдвигает эвтектическую точку в системе Al–Si в сторону больших содержаний кремния (рис. 12.7). Благодаря этому эвтектический по составу сплав (АЛ2) становится дозвтектическим. В его структуре помимо мелкокристаллической эвтектики появляются первичные кристаллы мягкой пластичной фазы – твердого раствора (см. рис. 12.5, б). Все это приводит к увеличению пластичности и прочности (см. рис. 12.6, табл. 12.5). Модифицируют как двойные, так и легированные силумины, содержащие более 5–6 % Si. Для легирования силуминов часто используют Mg, Cu, Mn, Ti; реже – Ni, Zr, Cr и др. Растворяясь в алюминии, они повышают прочность и твердость силуминов. Кроме того, медь улучшает обрабатываемость резанием, титан оказывает модифицирующее действие. Медь и магний, обладая переменной растворимостью в алюминии, способствуют упрочнению силуминов при термической обработке, как правило, состоящей из закалки и искусственного старения. Температура закалки различных силуминов находится в пределах 515–535 °C, температура старения – в интервале 150–180 °C. Грубокристаллическая структура литьевых

и марганца (АЛ4). Их введение вызывает образование  $\beta'$  ( $Mg_2Si$ ). Легированием меняют для средних деталей ответственные корпусов компрессоров цилиндров.

Высокопрочный силумин АЛ5, имеющий в МВТУ пред назначенный для литья под давлением. Сплав обладает высокими свойствами, обрабатываемостью, свариваемостью и коррозионной стойкостью. Маргандец повышает большую скорость литья под давление и улучшает прочность при получению метастабильных структур в отливке деталей. Этим

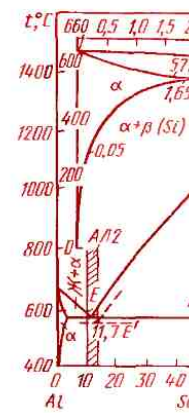


Рис. 12.7. Диаграмма состояния системы Al-Si

175 °C. Сплав АЛ32 применяют для литья под давлением нагруженных деталей, например, блоков цилиндров, головок блоков и других деталей автомобильных двигателей.

Сплавы системы Al–Cu (АЛ7, АЛ19) характеризуются высокой прочностью при обычных и повышенных температурах; они хорошо обрабатываются резанием и свариваются. Вместе с тем из-за отсутствия эвтектики сплавы обладают плохими литейными свойствами, имеют низкую герметичность. Как и деформируемые сплавы этой системы, они имеют структуру твердого раствора, но отличаются повышенным содержанием меди (см. рис. 12.3, в). Эвтектика в данной системе (в отличие от силуминов) образуется при высоком содержании меди (33%), поэтому имеет большое количество твердой и хрупкой фазы  $\theta$ (CuAl<sub>2</sub>), вызывающей хрупкость эвтектических сплавов. Литейные и механические свойства сплавов алюминия с медью улучшаются в результате легирования титаном и марганцем (АЛ19). Марганец, образуя пересыщенный твердый раствор при кристаллизации из жидкого состояния, способствует значительному упрочнению сплава. Во время нагрева сплава под закалку наряду с растворением  $\theta$ -фазы из твердого раствора выпадают мелкодисперсные частицы фазы Al<sub>12</sub>Mn<sub>2</sub>Cu, увеличивающие прочность при обычных и повышенных температурах. Например, после закалки сплав АЛ19 имеет следующие механиче-

не содержат в стойкой же причине, ч Al–Cu, и характер литейными свойствами герметичностью и повышенной чувствительностью Fe, Si, которые обрамляют нерастворимые фазы. Для того чтобы избежать окисление, плавку и разливку сплавов алюминия с медью необходимо вести под зоной горения. Легирование двойных сплавов не только устраивает опасность окислению и коррозии, но и тормозит естественное старение, приводящее снижение прочности сплавов. Наиболее благоприятные свойства сплавы АЛ19 показывают после закалки от 550 °C, когда в структуре сплава находится в виде твердого раствора.

Сплавы системы Al–Mn–Cu для изготовления деталей, работающих в условиях высоких температур (двигатели самолето- и ракетостроения), получают детали при помощи литья в формы и хвостового опускания.

Гранулированные сплавы, полученные путем компактирования (гравитационного или в вакууме), называются гранулами (или гранулами). Гранулы получают путем кристаллизации из расплава с различной скоростью охлаждения. Чем выше скорость охлаждения, тем мельче гранулы. Гранулы получают при кристаллизации из расплава с различной скоростью охлаждения. Чем выше скорость охлаждения, тем мельче гранулы.

стояние. При столь высоких скоростях охлаждения при кристаллизации получаются пересыщенные твердые растворы с концентрацией, в 2,5–5 раз превосходящей предельную растворимость компонентов в равновесных условиях. Такие твердые растворы называют аномально пересыщенными. Степень пересыщения возрастает в соответствии с расположением металлов в ряду Cr, V, Mn, Ti, Zr.

В процессе технологических операций горячего компактирования сплавов (400–450 °C) из пересыщенного твердого раствора выпадают дисперсные частицы интерметаллидных фаз ( $\text{Al}_6\text{Mn}$ ,  $\text{Al}_7\text{Cr}$ ,  $\text{Al}_3\text{Zr}$  и др.), которые повышают температуру рекристаллизации (рис. 12.8), увеличивают прочность при обычных (рис. 12.9) и повышенных температурах.

Большой интерес представляют гранулированные сплавы алюминия с элементами, практически нерастворимыми в нем в равновесных условиях и сильно

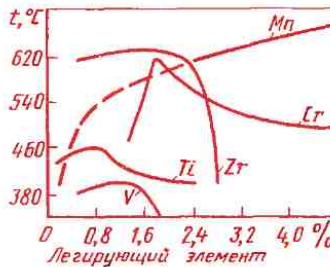


Рис. 12.8. Влияние легирующих элементов на температуру рекристаллизации прессованных прутков, полученных из гранул

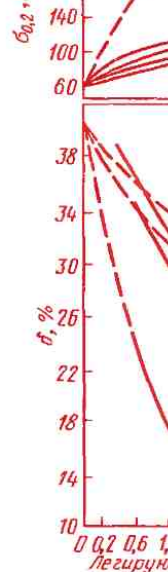


Рис. 12.9. Зависимость прессованных прутков, полученных из гранул, от содержания ле-

гирующим элементом. Такие сплавы имеют структуру, преобразованную из алюминиевой матрицы, распределенной в виде высокоскоростных включениями вторичных легированных сравнительно медленно упрочняют с такими легкоплавкими

достигает 800 МПа.

## 12.2. Сплавы на основе магния

**Свойства магния.** Магний — металл серебристо-белого цвета. Он не имеет полиморфных превращений и кристаллизуется в плотноупакованной гексагональной решетке с периодами  $a = 0,3202$  нм,  $c = 0,5199$  нм.

Магний и его сплавы отличаются низкой плотностью (см. табл. 1.5), хорошей обрабатываемостью резанием и способностью воспринимать ударные и гасить вибрационные нагрузки. Теплопроводность магния в 1,5, а электропроводимость — в 2 раза ниже, чем у алюминия. Примерно в 1,5 раза меньше, чем у алюминия, и его модуль нормальной упругости. Однако они близки по удельной жесткости. В зависимости от содержания примесей установлены следующие марки магния (ГОСТ 804-72): Mg96 (99,96% Mg), Mg95 (99,95% Mg), Mg90 (99,90% Mg). Примеси Fe, Si, Ni, Cu понижают и без того низкие пластичность и коррозионную стойкость (см. п. 14.1). При нагреве магний активно окисляется и при температуре выше 623°C на воздухе воспламеняется. Это затрудняет плавку и разливку магния и его сплавов. Порошок, тонкая лента, мелкая стружка магния представляют большую опасность, так как самовозгораются на воздухе при обычных температурах, горят с выделением большого количества теплоты и излучением ослепительно яркого света.

Литой магний имеет крупнокристаллическую структуру и низкие механические свойства:  $\sigma_b = 110 \div 120$  МПа;  $\sigma_{0,2} = 20 \div 30$  МПа;  $\delta = 6 \div 8\%$ ; HV 300. Модифицирование цирконием и пластическая деформация, приводящие к измельчению структуры, несколько улучшают механиче-

стей скольжения следствие, к уве-  
В связи с этим обра-  
проводят при тем-  
стоянии наибольше-

Чистый магний и  
свойств как кон-  
практически не при-  
ся в пиротехнике, в  
ности для синтеза  
в металургии раз-  
зов — как раскислит-  
гирующий элемент

**Общая характери-  
зация магниевых сплавов**  
магниевые сплавы  
удельная прочность  
тижение отдельных  
250–400 МПа и  
 $2 \cdot 10^3$  кг/м<sup>3</sup> (табл.).  
гирующими элемен-  
сплавов являются  
полнительного лег-  
цирконий, кадмий.  
Механические свой-  
при температуре  
при легировании  
цирконием (рис.).  
бенно тория (рис.).  
рий оказывают  
ствие на структуру.  
Особенно эффек-  
цирконий. Добавка  
шает размер зерна.  
Это объясняется  
мерным соответст-



Рис. 12.10. Влияние легирующих элементов на механические свойства магния при 20°C (прессованные прутки)

решеток Mg и Zr<sub>a</sub> (ГПУ с  $a = 0,3223$  нм;  $c = 0,5123$  нм). Кроме того, цирконий и марганец способствуют устраниению или значительному уменьшению влияния примесей железа и никеля на свойства сплавов. Они образуют с этими элементами промежуточные фазы большой плотности, которые при кристаллизации выпадают на дно тигля, очищая

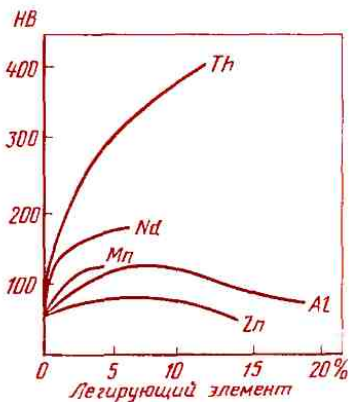


Рис. 12.11. Влияние легирующих элементов на твердость магния при 250 °C

закалки при нагреве в течение 16–30 ч) для растворения фаз. Благодаря этому можно закаливать склонные к естественному искусственному старению высокотемпературные выдержки (до этого упрочнение температуры достигается ускорением неодимом в распаде пересыщенного тверда в зависимости от времени старения зоны Гинье–Престона и стабильные упрочнения как в некоторых примерах, сплавах с при старении сразу возникающие фазы.

Временное сопротивление предел текучести значительно повышается термомеханической обработкой в пластичном состоянии каленного сплава.

Из других видов обработки к магниевым сплавам различные виды отжига, рекристаллизации, для снятия остаточных деформируемых сплавов отжиг совмещают с теплой обработкой давления, рекристаллизации в зависимости от температуры в интервале 150–300 °C. Зависимость отжига

**Рис. 12.12.** Растворимость легирующих элементов в магнии

интервале 250–350 °С. Более высокие температуры вызывают рост зерна и понижение механических свойств. Отжиг для снятия остаточных напряжений проводят при температурах ниже температур рекристаллизации.

Магниевые сплавы хорошо обрабатываются резанием (лучше, чем стали, алюминиевые и медные сплавы), легко шлифуются и полируются. Высокие скорости резания и небольшой расход энергии способствуют снижению стоимости обработки резанием деталей из магниевых сплавов по сравнению с другими сплавами. Они удовлетворительно свариваются контактной роликовой и дуговой сваркой. Дуговую сварку рекомендуется проводить в защитной среде из инертных газов. Прочность сварных швов деформируемых сплавов составляет 90 % от прочности основного металла.

К недостаткам магниевых сплавов, наряду с низкой коррозионной стойкостью и малым модулем упругости, следует отнести плохие литейные свойства, склонность к газонасыщению, окислению и воспламенению при их приготовлении. Небольшие добавки бериллия (0,02–0,05 %) уменьшают склонность к окисляемости, кальция (до 0,2 %) – к образованию микрорыхлот в отливках. Плавку и разливку маг-

женным содержанием Fe, Ni, Cu (повысив это содержание до 10–12 %). В этом случае к вляют строчные булы МЛ5пч или МА2пч.

Деформируемые Химический состав и типичные механизмы деформируемых сплавов в табл. 12.2. Сплавы магния обладают прочностью, с алюминием и сплавом, легированные серебром, редкоземельными элементами.

Сплавы магния содержат 0,2–1,5 % Zn и цинк обладают высокой прочностью в магнии. Изменения в сплавах приводят к снижению прочности сначала из-за уменьшения концентрации Zn, а затем благодаря образованию фаз Mg<sub>4</sub>Al<sub>3</sub>. При содержании Al более 10 % Al и большое количество фаз вызывает снижение прочности. С понижением температуры растворения твердого раствора (рис. 12.12), что дает возможность сплавы с повышенной прочностью. Сравнительное упрочнение (около 20 %) объясняется тем, что в твердом растворе обогащенные фазы с отрица-

МЛ5*	0,15 - 0,5	0,2 - 0,8 5,5 - 6,6	7,5 - 9	-	25
МЛ8*	-	-	-	0,7 - 1,1 Zr, 0,2 - 0,8 Cd	25
МЛ12*	-	4 - 5	-	0,6 - 1,1 Zr	27
МЛ9	-	-	-	0,4 - 1 Zr, 0,2 - 0,8 Y	20
МЛ10	-	0,1 - 0,7	-	1,9 - 2,6 Nd 0,4 - 1 Zr,	20
МЛ15	-	4 - 5	-	2,2 - 2,8 Nd 0,7 - 1,1 Zr, 0,6 - 1,2 La	21

\* Свойства приведены после закалки и старения; для других литых — в

расстоянием между частицами. Причем упрочняющие фазы в этих сплавах обладают большой склонностью к коагуляции, которая начинается до достижения полного распада пересыщенного твердого раствора.

Цинк и алюминий придают сплавам хорошую технологическую пластичность, что позволяет изготавливать из них кованые и штампованные детали сложной формы (например, крыльчатки и жалюзи капота самолета). Для устранения вредного влияния железа сплавы дополнитель но легируют марганцем. Сплавы с низким содержанием алюминия и поэтому небольшим количеством вторичных фаз в структуре дают незначительное упрочнение при закалке и старении. Они применяются в горячепрессованном или отожженном состоянии. Сплавы с высоким содержанием алюминия, дополнитель но легированные сереб-

ром и кадмием (МА) высокой прочности и удельной прочности магниевых сплавов.

Кадмий неогран в магниии и не образует в сплавах магния с твердый раствор, химические свойства сплава дают хотя и ограниченной (15,5% по мас в магниии. Высокая вов объясняется на рованного алюминием твердого ра количества упрочнения.

Высокопрочные сплавы с никелем дополнитель но (МА14), кадмием (МА19 и др.). Магниевые сплавы с твердый раствор, к

вают 5–6%.

Цирконий оказывает рафинирующе и модифицирующее действие. Вступая в соединение с водородом, цирконий уменьшает пористость. Измельчая структуру сплавов магния с цинком, цирконий вызывает повышение временного сопротивления и особенно предела текучести, пластичности. Полной упрочняющей термической обработке эти сплавы обычно не подвергают, так как при нагреве под закалку снимается на克莱п, полученный полуфабрикатами при прессовании, штамповке; упрочнение при старении настолько мало, что не обеспечивает уровня исходных свойств. Большой эффект дает старение, проведенное непосредственно после прессования (штамповки).

Недостатками сплавов являются сложность приготовления, обусловленная низкой растворимостью циркония в жидком магнии, склонность к образованию трещин, затрудняющих горячую прокатку и сварку сплавов. Сплавы применяют для несвариваемых сильно нагруженных деталей (обшивки самолетов, деталей грузоподъемных машин, автомобилей, ткацких станков и др.).

Кадмий в сплавах магния с цинком не образует промежуточных фаз. Легируя твердый раствор, он повышает прочность и пластичность сплавов этой системы. Редкоземельные металлы дополнительно увеличивают прочностные характеристики в результате формирова-

механические свойства. Улучшение свойств литейных сплавов различными способами модифицирования ливок, а также чистых шихтовых материалов в готовлении сплавов дающие результаты, выплавление. В результате взаимодействия с железом образуется соединение  $FeAl_3$ , который является центром кристаллизации.

Для модификации цирконий, магnezитизация происходит в интерметаллидных сплавах.

Механические свойства сплавов на основе циркония на уровне свойств сплавов, имеющих плотностью, магнитные свойства, находят их по удельному весу.

Наибольшее применение сплавы системы сплавы с повышенным содержанием алюминия. Для сплавов характерен более высокий уровень механических сплавов на основе циркония. В результате обработки сплавов в алюминии, а также введение в сплавы циркония, повышают прочность, пластичность, склонность к разрушению горячими методами.

7,5–10% Al (МЛ5, МЛ8). Добавки цинка способствуют улучшению технологических свойств. Гомогенизация при 420°C (12–24 ч) и закалка от этой температуры способствуют повышению прочности и пластичности. Вследствие малой скорости диффузии алюминия в магний сплавы закаливаются при охлаждении на воздухе. Старение при 170–190°C дополнительно повышает временное сопротивление и особенно предел текучести сплавов.

Малая плотность магниевых сплавов, а в отдельных случаях высокая удельная прочность, способствуют их широкому применению в самолетостроении (корпуса приборов, насосов, коробок передач, фонари и двери кабин и др.), ракетной технике (корпуса ракет, обтекатели, топливные и кислородные баки, стабилизаторы), конструкциях автомобилей,

и транспортных средств. Добавки цинка дополнительно легируют сплавы (МЛ8), РЗМ (МЛ9, МЛ10). Цинк уменьшает склонность сплавов к образованию рячих трещин и повышает прочность при повышенных температурах. При нагревании сплавы значительно измельчают структуру отливок, что благоприятно влияет на твердость и прочность сплава. Структуру рекристаллизации сплавов изменяет механические воздействия. Высокопрочные сплавы применяют для конструкций корпусов самолетов и автомобилей, пусковых установок ракет, компрессоров, шасси, колонок управления и т. д.

### 12.3. Неметаллические сплавы

**Общая характеристика пластмасс.** Пластмассы – это полимеры или просто пластмассы – это полимерные материалы, изготовленные из различных полимеров. Состав комбинации полимеров: простые пластмассы без добавок – это смеси различных полимеров с различными добавками (стабилизаторами, пластификаторами, наполнителями и т. д.).

**Наполнители** добавляются в пластмассы в количествах 40–70% (по массе) для изменения некоторых физико-химических свойств, структуры и изменения других свойств.

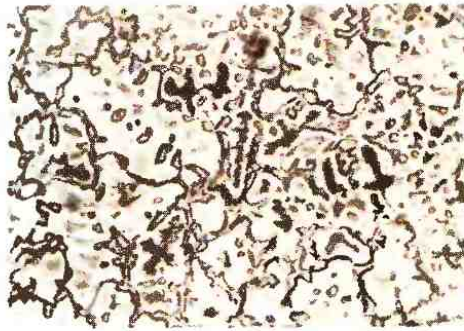


Рис. 12.13. Микроструктура сплава МЛ5 в литом состоянии,  $\times 340$

молекул друг с другом поперечными связями. Изменения исходной структуры макромолекул составляют сущность старения пластмасс, которое不可逆но снижает прочность и долговечность изделий. Добавки стабилизаторов замедляют старение.

Пластификаторы добавляют в количестве 10–20% для уменьшения хрупкости и улучшения формуемости. Пластификаторами являются вещества, которые уменьшают межмолекулярное взаимодействие и хорошо совмещаются с полимерами. Часто пластификаторами служат эфиры, а иногда и полимеры с гибкими молекулами.

Специальные добавки – смазочные материалы, красители, добавки для уменьшения статических зарядов и горючести, для защиты от плесени, ускорители и замедлители отверждения и другие – служат для изменения или усиления какого-либо свойства.

Отвердители в количестве нескольких процентов добавляют к термореактивным пластмассам для отверждения. При этом между макромолекулами возникают поперечные связи, а молекулы отвердителя встраиваются в общую молекулярную сетку. В качестве отвердителей используют органические перекиси и другие вещества, серу (в резинах).

Основой классификации пластмасс служит химический состав полимера. В зависимости от полимера пластмассы

т/м<sup>3</sup>), а у пенопласта – 100–150 т/м<sup>3</sup>; высокая химическая стабильность, низкая электроизносостойкость, невысокая теплостойкость [150–180 °C (Bt/(m·°C))], и зонирование, расширение, в 10–20 раз по сравнению с обычными сталей. Пластмассы в сочетании с металлическими элементами обеспечили широкое применение в машиностроении, нефтегазовой промышленности, на транспорте и в строительстве. Пластмассы с высокой теплостойкостью и небольшой вязкостью при высоких температурах находят применение в производстве полимерных композиций, в частности, в производстве пластмассовых изделий из композиций на основе полимеров с высокой теплостойкостью и небольшой вязкостью при высоких температурах.

Механические свойства пластмасс определяются их химическим составом, структурой и количеством примесей. Значительное влияние на механические свойства пластмасс оказывает температура. Пластмассы с высокой теплостойкостью и небольшой вязкостью при высоких температурах находят применение в производстве пластмассовых изделий из композиций на основе полимеров с высокой теплостойкостью и небольшой вязкостью при высоких температурах.

Под нагрузкой пластмассы деформируются, как вязкоупругие материалы. Механическая прочность пластмасс определяется их химическим составом, структурой и количеством примесей. Пластмассы с высокой теплостойкостью и небольшой вязкостью при высоких температурах находят применение в производстве пластмассовых изделий из композиций на основе полимеров с высокой теплостойкостью и небольшой вязкостью при высоких температурах.

Поведение пластмасс в условиях высоких температур и давлений определяется их химическим составом, структурой и количеством примесей. Пластмассы с высокой теплостойкостью и небольшой вязкостью при высоких температурах находят применение в производстве пластмассовых изделий из композиций на основе полимеров с высокой теплостойкостью и небольшой вязкостью при высоких температурах.

дартные испытания на растяжение и удар дают приближенную оценку механических свойств. Эта оценка справедлива лишь для конкретных условий испытания (определенная скорость нагружения, температура, состояние образца). При других условиях испытания результаты окажутся другими. Изменения внешних условий и скоростей деформирования, которые совсем не отражаются на механических свойствах металлических сплавов, резко изменяют механические свойства термопластичных полимеров и пластмасс. Чувствительность механических свойств термопластов к скорости деформирования, времени действия нагрузки, температуре, структуре является их типичной особенностью.

Стеклообразные термопласти при растяжении, как правило, сильно вытягиваются. При разрыве остаточная деформация составляет десятки и сотни процентов. Эта деформация называется вынужденной высокозластичной; она возникает в результате вытягивания скрученных макромолекул под действием нагрузки. При растяжении материал начинает течь, в образце появляется шейка. Пластическое течение образца на участке *tt* (рис. 12.14) есть не что иное, как постепенное распространение шейки на весь образец. При разрыве образца вынужденная высокозластичная

ковую ориентацию. Вается рекристаллизация состоит из трех этапов: разрушение молекул по направлению силы на участками кристаллами; появления между параллельными макромолекулами закрепляют полученную деформацию, и хранится после сокращения. Монопластичные пластины в растяжении вдоль нанесения не обнаруживают изменения. В этом случае имеется вид, рис. 12.14, а удлинение имеет вид, рис. 12.14, а удлинение десятков процентов.

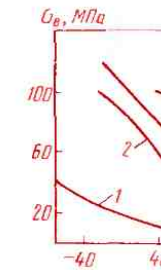


Рис. 12.15. Зависимость от температуры:  
1 – полиэтилен; 2 – полипласт-4; 4 – полииimid;

как конструкционные материалы уже и при 50 °С.

При охлаждении ниже 25 °С прочность растет, но одновременно увеличиваются хрупкость и чувствительность к надрезам (рис. 12.16).

2. Зависимость от длительности нагружения. При длительном действии нагрузки уменьшается прочность (рис. 12.17), появляется остаточная деформация. Эта деформация представляет собой вынужденную высокозластичную деформацию. При статическом нагружении в течение года временное сопротивление понижается вдвое.

3. Зависимость от скорости деформирования. При увеличении скорости деформирования повышается жесткость пластмасс, так как не успевает развиваться высокоэластичная деформация,

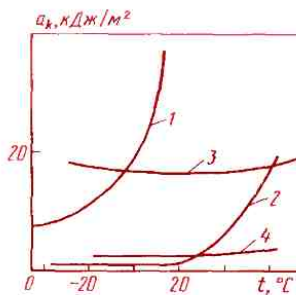


Рис. 12.16. Зависимость ударной вязкости от температуры и остроты надреза:

1 – поливинилхлорид,  $r = 2 \text{ мм}$ ; 2 – то же,  $r = 0,25 \text{ мм}$ ; 3 – органическое стекло без надреза; 4 – то же,  $r = 0,25 \text{ мм}$

от времени нагружения  
1 – полистирол; 2 – с...  
поливинилхлорид; 4 –  
полиэтилентерефталат  
6 – стеклотекстолит в  
сравнении)

и возрастает склонность к разрушению.

4. Зависимость массы с ориентированной структурой анизотропных полимеров в 2–4 раза выше, чем на вдоль ориентации молекул, а в поперечном направлении – уменьшена. Краевые напряжения – одна из причин хрупкости, особенно для полимеров, особенно для полимеров с низкой температурой стеклования.

В кристаллические свойства за счет стеклования. Чем выше температура стеклования, тем выше прочность и жесткость полимеров при увеличении температуры стеклования выше температура хрупкости.

Модули упругости полимеров и пластмассы меньше, чем у металлов. Наиболее жесткие материалы – стекло при температуре стеклования, упругости соответствует  $3,3 \cdot 10^3 \text{ МПа}$ , а наименее жесткий – этилен имеет модуль упругости  $1,8 \cdot 10^3 \text{ МПа}$ , да-

Прочность термопла-

Общими недостатками пластмасс являются невысокая теплостойкость, нестабильность свойств из-за старения, ползучесть под действием нагрузки. Чем выше значения  $t_{ct}$  и  $t_{kp}$ , тем лучше оказывается теплостойкость.

Механические свойства термопластов улучшаются при использовании в качестве наполнителя 20–30% стеклянного волокна. При этом сохраняется возможность переработки термопластов с использованием литья под давлением и экструзии. Наполненные пластмассы отличаются высокой стабильностью размеров под действием нагрузки, повышенной прочностью, но хуже сопротивляются ударам.

Механические свойства термопластов изменяются под влиянием окружающей среды: атмосферного старения под действием влаги, света и кислорода воздуха. Условия атмосферного старения типичны для многих изделий из волокон, пленки, а также массивных изделий.

Хорошую стойкость против старения имеет органическое стекло, большинство термопластов также достаточно устойчивы, хотя их прочность и уменьшается. Полиэтилен наименее стоек: за два-три года сильно разрушается, особенно на солнечном свету под действием ультрафиолетовых лучей. Для замедления старения полиэтилена применяют особые противостарители. Их используют для сохранения естественного цвета и светопрозрачности материала. Добавки сажи (2–3%) также за-

100 °C) разрушает изделие изготавливаемого из термопластика, а затем они в течение суток поглощают воду до насыщения. Наиболее устойчивы даже при колебании температуры.

В своем большинстве термопластины нечувствительны к воздействию химически активным материалам, но прочность не снижается.

При выборе термопластика надо учитывать их горючесть. Некоторые термопластины самозатухают при контакте с пламенем. При их горении выделяются различные вредные вещества. Одним из самых опасных материалов является полистирол, который при горении выделяет ядовитые газы. В необходимых количествах полистирол может быть опасен для здоровья. В необходимых количествах полистирол может быть опасен для здоровья.

Механические свойства термопластов определяются их химической структурой. Термопластины (реактивные и нереактивные) на основе эпоксидных смол, фенольных смол, полиуретановых, фенолформальдегидных смол и кремнийорганических соединений. Пластмассы применяются в различных видах; они имеют различные свойства и поэтому при правильном применении устойчивы против старения. Термопластины не растворяются в воде и не набухают в отдельных случаях.

Фторопласт-3	37	160–190	8
Органическое стекло	80	5–6	
Поликарбонат:			
без наполнителя	60–65	80–120	20
с 30% волокна	90	3,5	
Капрон:			
сухой	75–85	50–130	3
насыщенный водой	35–50	160–250	>
сухой + 30% волокна	180	3	
насыщенный водой + 30% волокна	100–125	4	
Эпоксидный пластик	60	4	
+ 65% стеклянной ткани (для сравнения)	500	~2,5	

\* По ГОСТ 4647–80.

водостойки и поглощают не более 0,1–0,5% H<sub>2</sub>O.

Все полимеры при отверждении дают усадку; она минимальна у эпоксидных полимеров (0,5–2%) и особенно велика у полиэфиров (~10%). Для уменьшения усадки и повышения прочности используют наполнители и регулируют условия отверждения. Отверждение эпоксидных и полиэфирных пластмасс не связано с выделением побочных веществ, поэтому при изготовлении изделий нет надобности в больших давлениях. Эти пластмассы пригодны для изделий больших размеров. Если при отверждении выделяются низкомолекулярные вещества (например, у фенопластов), то изделия получают под давлением во избежание образования вредной пористости и других дефектов. При переработке фенолоформальдегидных и некоторых других пластмасс необходимо

димые давления 10–100 МПа, поэтому ограничены техническими прессового обесцвечивания. Эпоксидные отверждения имеют низкую температуру и поэтому используются синтетическими.

Преимуществом реактивных пластмасс является стабильность макромолекул и относительно малая температура, скорость и длительности действий которых более надежны, чем в испытаниях на разрыв. Пластмассы не разрушаются без предварительного образования трещин. Верхняя граница применения реактопластов определяется их устойчивостью к воздействию наполнителя (меньше

и сплавы алюминия. Термореактивные порошковые пластмассы наиболее однородны по свойствам. Такие пластмассы хорошо прессуются и применяются для наиболее сложных по форме изделий. Недостаток порошковых пластмасс — пониженная ударная вязкость (табл. 12.7).

**Волокниты** — это пластмассы, в которых наполнителем являются волокна. Они отличаются повышенной прочностью, а главное — ударной вязкостью. Благодаря волокнам ударная вязкость превышает 10 кДж/м<sup>2</sup>, а при использовании стеклянного волокна достигает 20–30 кДж/м<sup>2</sup>. Волокниты, наполненные асбестовым волокном, сочетают теплостойкость (до 200 °С) с высоким коэффи-

Ориентация волокон анизотропии. Вдоль максимальна, а в поперечном — минимальна.

**Слоистые пластики** — это пластмассы, состоящие из группы самых различных по применению пластмасс. Листы, уложенные слоями, имеют анизотропность.

Свойства слоистых пластиков зависят от вида полимера, на основе которых они склеены, от укладки листов и от расстояния между полимерными слоями. По виду наполнителей слоистые пластики разделяются на текстолиты — материалы, состоящие из тек-

ТАБЛИЦА 12.7. Свойства термореактивных пластмасс

Материал	$\sigma_b$ , МПа	$\delta$ , %	$a$ , кДж/м <sup>2</sup>
Термореактивные полимеры без наполнителей:			
фенолоформальдегидные	15–35	1–5	Менее 10
полиэфирные	42–70	2	
эпоксидные	28–70	3–6	
кремнийорганические	22–42	5–10	
Порошковые пластмассы	30–60	1–3	0,5–10
Волокниты	30–90	1–3	10–20
Гетинаксы	60–70	—	4–10
Текстолиты	65–100	1–3	20–50
Стеклотекстолиты	200–600	1–3	50–100
Пористые пластмассы	0,5–2,5	—	Около 10

\* По ГОСТ 4647–80.

содержании материал более экономичен, но зато менее прочен и неводостоек.

Способ укладки листов в слоистой пластмассе особенно важен, когда сами листы наполнителя неоднородны по структуре и свойствам. Для древесного шпона различие в прочности вдоль и поперек волокон общеизвестно. В тканях наибольшую однородность свойств обеспечивает полотняное переплетение. Здесь нити основы и нити утка равномерно переплетены друг с другом. В кордной ткани, напротив, прочность максимальна вдоль нитей основы, а нити утка расположены редко и предназначены только для сплеления основы.

Стеклянное волокно не так эластично, как полимерное или хлопчатобумажное. Стеклоткань полотняного переплетения в стеклотекстолитах обеспечивает минимальную прочность, так как при частых перегибах волокна получается больше обрывов. Наивысшая прочность (правда, в одном направлении) получается при укладке слоев стеклянного волокна в соотношении 10:1, т. е. в 10 слоях волокна имеют одинаковое направление, а в одиннадцатом — направление волокон изменяется на 90°. Предел прочности такого материала 850–950 МПа. При укладке такого же наполнителя в соотношении 1:1, т. е. направления волокон в соседних слоях перекрециваются под углом 90°, прочность уменьшается вдвое. При любом способе укладки волокна или ткани материалы

схватывания со стеклотекстолитом плотность (1,6–1,7), прочностью и жесткостью, прочность обеспечивается связкой, а минимизация полимера по способности превосходит сталь и сплавы алюминия, выносящие хорошие нагрузки. По тем же причинам эти материалы более прочные и жесткие в направлениях поклонов.

При нагреве разупрочняется быстрее, чем прочность на сжатие, что является быстрее превращение.

Слоистые пластины из стеклотекстолита или полимерным волокном в десятков секунд втуру свыше 3000 слоев разрушается, а наполнитель и кокс, который в виде боковых слоев материала лежит в основе пластины, в качестве теплоизоляции.

Термореактивные пластины изготавливают в виде клеевых соединений оболочек из различных материалов различной технологии, абразивного инструмента.

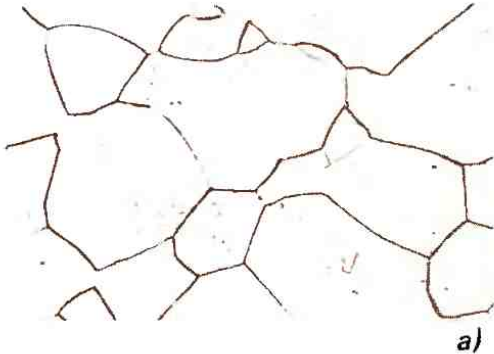


хорошие технологические свойства и отличная коррозионная стойкость. Бериллий и композиционные материалы выгодно отличает от сплавов титана высокая удельная жесткость.

Удельная жесткость – это важнейшая характеристика современных конструкционных материалов. Высокая удельная жесткость в сочетании с хорошей удельной прочностью позволяет снизить массу конструкции при повышении ее прочности и жесткости. Это особенно важно в самолето- и ракетостроении.

### 13.1. Титан и сплавы на его основе

**Свойства титана.** Титан – металл серого цвета. Он имеет две полиморфные модификации. Низкотемпературная модификация  $Ti_{\alpha}$ , существующая до  $882^{\circ}\text{C}$ , характеризуется гексагональной плотноупакованной решеткой с периодами  $a = 0,296 \text{ нм}$ ,  $c = 0,472 \text{ нм}$ . Высокотемпературная модификация  $Ti_{\beta}$



зодрической структуры при быстром охлаждении – пакетизму с образованием (рис. 13.1 б). Промышленный сплав титана состоит в обогащении титановой руды с последующим извлечением из четыреххроматического магнием титановую губку ( $\text{Ti}_3\text{Mg}$ ). Губку размалывают по твердости и из нее изготавливают сплавы, из которых изготавливают из них обработанные изготавливаются из губки размалывается и спекается или переплавляется в печах в вакууме или в газах.

Для уменьшения и более равномерного сечению слитка рекомендуется разовая переплавка. Для получения новых слитков крупные кристаллы измельчают путем молотьбы или бором. Помимо



Рис. 13.1. Микроструктуры технического титана,  $\times 340$ :  
а – после отжига; б – после закалки

струкции из титана при различных напряжениях. Допустимое содержание водорода в техническом титане не должно превышать 0,008–0,012 %.

При повышении температуры предел прочности снижается. Титан обладает склонностью к ползучести даже при температуре 20–25 °C, но это свойство не является причиной лавинной ползучести титана состоящего из атомов с одинаковыми радиусами. Примеси, в том числе и водород, также способствуют ползучести.

Титан обладает высокой пластичностью и удельной прочностью при температуре 20–25 °C, но это свойство не является причиной ползучести титана состоящего из атомов с одинаковыми радиусами. Примеси, в том числе и водород, также способствуют ползучести.

Отличительными особенностями титана являются хорошие механические свойства, малая плотность, высокая удельная прочность и коррозионная стойкость. Физические свойства чистого титана приведены в табл. 15.

Низкий модуль упругости титана, почти в 2 раза меньший, чем у железа и никеля, затрудняет изготовление жестких конструкций.

Механические свойства титана характеризуются хорошим сочетанием прочности и пластичности (табл. 13.1).

Высокая пластичность иодидного титана по сравнению с другими металлами, имеющими гексагональную кристаллическую решетку (Zn, Cd, Mg), объясняется большим количеством систем скольжения и двойникования благодаря малому соотношению  $c/a = 1,587$ . Помимо базисных плоскостей (0001) скольжение в титане происходит по призматическим (1010) и пирамидальным (1011) плоскостям, двойникование – по плоскостям (1012), (1121), (1122) и др.

Механические свойства титана сильно зависят от наличия примесей (см. табл. 13.1), особенно водорода, кислорода, азота и углерода, которые образуют с титаном твердые растворы внедрения и промежуточные фазы: гидриды, оксиды, нитриды и карбиды. Небольшое количество кислорода, азота и углерода повышает твердость, временное сопротивление и предел текучести, однако при этом значительно уменьшается пластичность (рис. 13.2), снижается коррозионная стойкость, ухудшаются свариваемость, способность к пайке и штамповке. Поэтому содержание этих примесей в титане ограничено сотыми, а иногда тысячными долями процента. Аналогичным образом, но в меньшей степени, оказывают влияние на свойства

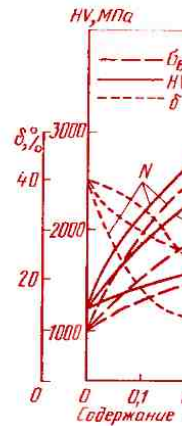


Рис. 13.2. Зависимости механических свойств титана от содержания водорода.

Рис. 13.3. Зависимость механических свойств титана от степени пластической деформации

кую пластичность (относительное удлинение 15–20%).

Пластическая деформация значительно повышает прочность титана (рис. 13.3). При степени деформации 60–70% прочность увеличивается почти в 2 раза. Для снятия наклепа проводят рекристаллизационный отжиг при температуре 650–750 °С.

При повышении температуры титан активно поглощает газы: начиная с 50–70 °С – водород, выше 400–500 °С – кислород и с 600–700 °С – азот, окись углерода и углекислый газ. Высокая химическая активность

сваркой. Сварной шов отличается по прочности от основного металла.

Титан плохо обрабатывается на инструменте, быстро изнашивается, требуются инструменты из стали и твердых сплавов. Особенности сварки титана при большой скорости сварки, интенсивное охлаждение сварных соединений титана относятся к технологическим свойствам.

### Влияние легирующих элементов на структуру и свойства титана

Легирующие элементы оказывают влияния на полиморфные

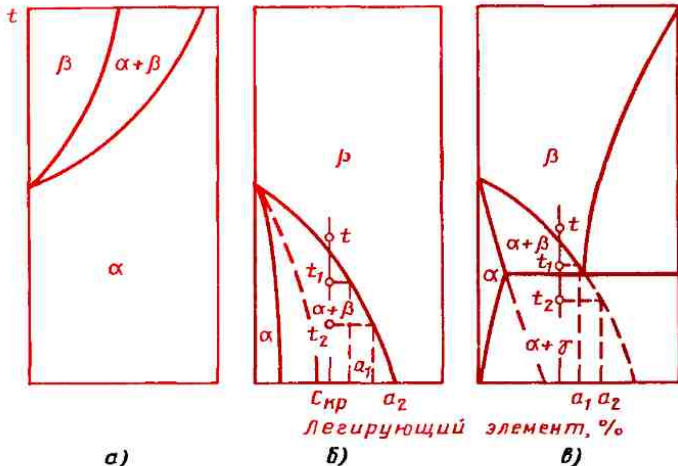


Рис. 13.4. Диаграммы состояния титан – легирующий элемент (схемы): *a* – Ti – α-стабилизаторы; *b* – Ti-изоморфные β-стабилизаторы; *c* – Ti-эвтектические стабилизаторы; *г* – Ti-нейтральные элементы

Рис. 13.6. Диаграмма

с предельной рабочей температурой. При содержании алюминия в сплавах с раствором появляется гексагональная структура с упорядоченным расположением атомов и сильно охрупчивая.

Добавка к сплавам титана алюминием таких  $\beta$ -стабилизаторов, как Mo, Nb, Mn, уменьшает склонность к образованию упорядоченной структуры (сверхструктур), а  $\alpha_2$ -фаза образуется при высоком содержании алюминия. К тому же алюминий улучшает технологичность сплавов.

Поскольку  $\alpha$ -стабилизаторы значительно повышают температуру морфного превращения, то превращение в сплавах с  $\alpha$ -структурой происходит при более высоких температурах, когда имеется малый механизм диффузии. Переохлаждение в таких температурных интервалах, при которых не удается даже вспомогательное мартенситное превращение, не удаётся даже в высоких скоростях охлаждения, так как с устойчивой  $\alpha$ -структурой не удается даже вспомогательное мартенситное превращение.

вы.

Алюминий — широко распространенный, доступный и дешевый металл. Введение его в титановые сплавы уменьшает их плотность и склонность к водородной хрупкости, повышает модуль упругости, прочность при 20–25 °С (рис. 13.5) и высоких температурах.

В левой части диаграммы состояния (рис. 13.6) титан с алюминием образуют два твердых раствора:  $\alpha$ -твёрдый раствор алюминия в  $Ti_{\alpha}$ , концентрация которого изменяется от 7,5% при 20 °С до 11,6% при перитектоидной температуре, и  $\beta$ -твёрдый раствор алюминия в  $Ti_{\beta}$ .

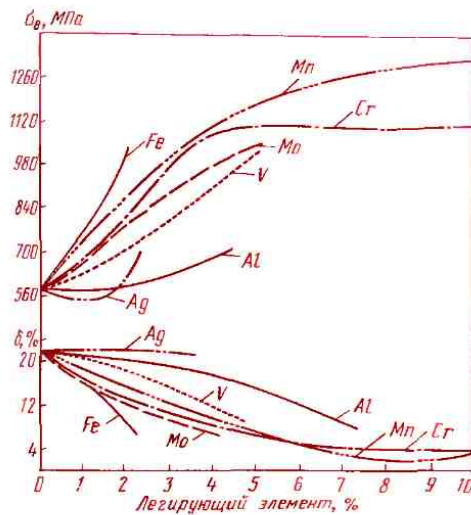


Рис. 13.5. Влияние легирующих элементов на механические свойства титана

ют с титаном диаграммы состояния с эвтектоидным распадом  $\beta$ -фазы, в результате которого появляется смесь  $\alpha$ - и  $\gamma$ -фаз (см. рис. 13.4, в);  $\gamma$ -промежуточная фаза переменного или постоянного состава, образованная титаном и легирующим элементом, например фаза Лавеса  $TiCr_2$  в системе  $Ti-Cr$ . Эвтектоидный распад вызывает резкое повышение хрупкости титановых сплавов. В некоторых системах ( $Ti-Cu$ ,  $Ti-Ag$  и др.) превращение происходит очень быстро, и переохладить  $\beta$ -фазу до температуры 20–25 °С нельзя даже при высоких скоростях охлаждения. В других системах ( $Ti-Mn$ ,  $Ti-Cr$ ,  $Ti-Fe$ ) эвтектоидное превращение происходит только в условиях охлаждения, близких к равновесным. В них эвтектоидного распада практически не наблюдается, а  $\alpha \rightleftharpoons \beta$ -превращение идет так же, как в сплавах с диаграммами состояния первого типа (см. рис. 13.4, б). В этих сплавах  $\beta$ -фаза легко переохлаждается. В зависимости от степени легированности  $\beta$ -фаза или превращается при низких температурах по мартенситному механизму, или фиксируется при температуре 20–25 °С без превращения. Способность  $\beta$ -фазы к переохлаждению лежит в основе упрочняющей термической обработки титановых сплавов. Согласно приведенным диаграммам состояния титановые сплавы, легированные  $\beta$ -стабилизаторами, могут иметь однофазную структуру  $\alpha$ -твердого раствора малой концентрации, двухфазную ( $\alpha + \beta$ )-

мощью термической обработки, более благоприятное для титановых сплавов Сг, Mn.

Нейтральные элементы мало влияют на морфного превращения. Легирование титана нейтральными элементами не меняет фазового состава. Металлы влияют на сплавы благодаря наличию  $\alpha$ - и  $\beta$ -фаз, в которых они имеют олово и цирконий. Наибольшее практическое значение имеет прочность титановых сплавов при 20–25 °С и высоких температурах, при которых снижение прочности увеличивается.

**Особенности термической обработки титановых сплавов.** Титановые сплавы, в основном подвергаются термической обработке и старению, а также отжигу.

Отжиг проводят после холодной деформации и наклепа. Температура должна быть выше температуры мартенситного превращения, но не может быть выше температуры перехода в  $\beta$ -состояние. Температура старения титана, в зависимости от его химического состава и степени гомогенности, лежит в интервале 400–600 °С. Легирующие элементы повышают температуру

гирующих элементов. Концентрация  $\beta$ -фазы зависит от температуры нагрева (см. рис. 13.4, б). Так, при температуре  $t_1$  содержание легирующего элемента в  $\beta$ -фазе соответствует точке  $a_1$ , а при более низкой температуре  $t_2$  — точке  $a_2$  на оси концентраций. Поскольку с понижением температуры концентрация легирующих элементов в  $\beta$ -фазе увеличивается, отжиг для ее стабилизации должен быть по возможности низким (но не ниже температуры рекристаллизации). Практически такой отжиг проводят при температуре 750–850 °С. Более высокая термическая стабильность достигается после изотермического отжига. Он состоит в нагреве до температуры выше температуры рекристаллизации (для снятия наклена) с последующим охлаждением до более низкой температуры и выдержке для стабилизации  $\beta$ -фазы.

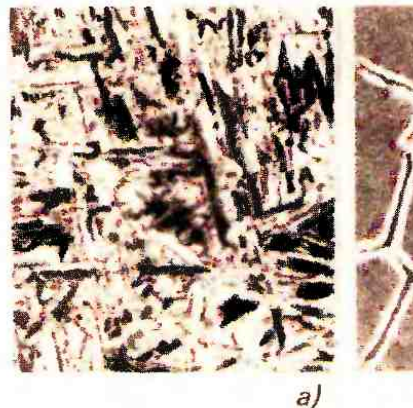
Рис. 13.7. Микроструктуры титановых сплавов,  $\times 340$ :

а — BT6 — после закалки;  
б — BT15 — после закалки и старения

зультате мартенситной фазы и 2) нагрев в ходе кристаллизации длительностью (~ 800 °С).

Хотя при  $\beta \rightleftharpoons \alpha$  новые сплавы предъявляют изменения объема, звездчатый наклеп малозначителен и не сопровождается увеличением ползучести.

Упрочняющая термическая обработка (закалка и старение) аналогична для сплавов с  $(\alpha + \beta)$ -областью (см. рис. 13.4, б, в). Закалка из  $\beta$ -состояния и охлаждение ведут к различным микроструктурам, в которых в некоторых случаях наблюдается интенсивного роста кристаллов  $\alpha$ . В других случаях происходит в  $\beta$ -состоянии, в результате чего из  $(\alpha + \beta)$ -области выделяются зоны, в которых преобладают различные степени перекристаллизации фазы и прочности.



ваннысти).

Элементы, которые наиболее часто применяют для легирования титановых сплавов, имеют следующие критические концентрации  $c_{kp}$ : V-15; Mo-11; Mn-8; Cr-6; Fe-4%.  $\alpha'$ -фаза обладает более высокой твердостью и прочностью, чем стабильная  $\alpha$ -фаза, но упрочнение в этом случае значительно меньше, чем при мартенситном превращении стали.

При старении из  $\alpha'$ -фазы выделяется  $\beta$ -фаза различной дисперсности, вызывающая уменьшение твердости, или интерметаллидная фаза (например,  $TiCr_2$ ), способствующая охрупчиванию сплава.

С увеличением концентрации легирующих элементов, особенно Fe, Mn, Cr, Mo и V, выше критической, температуры начала (рис. 13.8) и конца мартен-

лической решетки ная, с периодами а. Процесс образова стоят в одноврем смещении атомов расстояния, меньш этом две соседни щаясь в противоп сближаются; трет няет своего полож фазы вызывает и хрупкости титана.

Во время старен турой при нижней (300–350 °C) также охрупчивающая спла ние ведут при более высокой темпера ре (480–550 °C), когда в сплаве выделяется новая фаза, повышающая хрупкость (см. рис. 13.9).

Для повышения прочности титановых сплавов проводят азотирование. Лучшие результаты получают в среде смеси кислорода, азота. Азотирование повышает верхностную твердость, жаропрочность, тогда как азотированное стекло обладает повышенной прочностью. Азотируют сплавы в течение 1–2 ч при температуре 850–950 °C в течении 1–2 ч. Азотированное стекло имеет толщину 0,05–0,15 мм, на поверхности образуется тонкий тридцатимикронный слой и обладает твердостью раствора. Толщина азотированного слоя равна 0,06–0,15

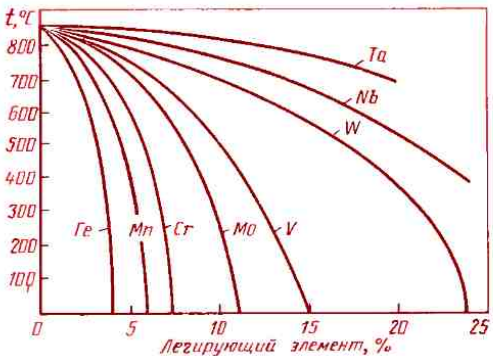


Рис. 13.8. Влияние легирующих элементов на температуру начала мартенситного превращения титана

ческим титаном имеют при достаточно хорошей пластичности, высокой коррозионной стойкости и малой плотности более высокую прочность при 20–25 °C и повышенных температурах. По сравнению с бериллием они более пластичны и технологичны, меньше стоят, безопасны для здоровья при обработке. По сравнению с алюминиевыми и магниевыми сплавами обладают более высокой удельной прочностью (см. табл. 12.1), жаропрочностью и коррозионной стойкостью.

ТАБЛИЦА 13.2. Химический состав (ГОСТ 19807–74), структура некоторых сплавов титана

Сплав	Содержание элементов (остальное Ti), %				Структура	$\sigma_b$
	Al	V	Mo	Прочие		
BT5	4,3–6,2	—	—	—	α-сплавы	700–950
BT5–1	4–6	—	—	2–3 Sn		750–950
OT4–1	1–2,5	—	—	0,7–2 Mn	Псевдо- α-сплавы	600–750
OT4	3,5–5	—	—	0,8–2 Mn		700–900
BT20	5,5–7,0	0,8–2,3	0,5–1,8	1,4–2,5 Zr		950–1100
BT6*	5,3–6,8	3,5–5,3	—	—	(α+β)- сплавы	1100–1150
BT14*	3,5–6,3	0,8–1,9	2,5–3,8	—		1150–1400
BT16*	1,6–3,8	4,0–5,0	4,5–5,5	—		1250–1400
BT22	4,8–5,2	4,5–5,5	4,5–5,5	0,8–1,2 Cr 0,8–1,2 Fe		1100–1250

\* Свойства этих сплавов приведены после закалки и старения, охлаждения в воде.

По технологии новые сплавы поддаются обработке и литию с определенными свойствами — на основе титана с высокой прочностью, высокими прочными, повышенными способностями упрочнения термической обработкой, упрочняемые и неупрочняемые ской обработкой, в отожженном состоянии ( $\alpha + \beta$ ), псевдо- $\beta$ -

Деформируемые

стабильность свойств и обладают отличной свариваемостью. Прочность сварного шва составляет 90% прочности основного сплава. Обрабатываемость резанием удовлетворительная.

Недостатки сплавов: неупрочняемость термической обработкой и низкая технологическая пластичность. Сплавы с оловом более технологичны, но это самые дорогие из  $\alpha$ -сплавов (см. приложение, табл. 2). В горячем состоянии сплавы куют, прокатывают и штампуют. Их поставляют в виде прутков, сортового проката, поковок, труб и проволоки. Сплавы предназначены для изготовления деталей, работающих в широком диапазоне температур: от криогенных до 450 (ВТ5)–500°C (ВТ5-1).

Псевдо- $\alpha$ -сплавы имеют преимущественно  $\alpha$ -структуру и небольшое количество  $\beta$ -фазы (1–5%) вследствие дополнительного легирования  $\beta$ -стабилизаторами: Mn, V, Nb, Mo и др. Сохраняя достоинства  $\alpha$ -сплавов, они, благодаря наличию  $\beta$ -фазы, обладают высокой технологической пластичностью. Сплавы с низким содержанием алюминия (2–3%) обрабатываются давлением в холодном состоянии и только при изготовлении сложных деталей подогреваются до 500–700°C (ОТ4, ОТ4-1). Сплавы с большим содержанием алюминия при обработке давлением требуют подогрева до 600–800°C. На прочность этих сплавов помимо алюминия благоприятно влияют цирконий и кремний. Цирконий, неограниченно растворя-

ких (среди титанов)

турас). Недостаток этих к водородной хрупкости растворим в  $\alpha$ -форме в структуре в виде снижают пластичность в медленном нагружении сплавов (рис. 13.9). Уменьшение водорода колеблется от 0,02–0,005%.

Двухфазные ( $\alpha + \beta$ ) сплавы с лучшим сочетанием механических свойств легированы в основном стабилизаторами. Легирование алюминием показывает, что он значительно повышает прочность при 20°C и повышает ее при нагреве, тогда как  $\beta$ -стабилизаторы в этой области оказываются существенно хуже.



Рис. 13.9. Влияние концентрации водорода на прочность титановых сплавов.

чивость фазы и термическую стабильность сплавов сильно повышают изоморфные  $\beta$ -стабилизаторы: Mo, V, Nb. На свойства они влияют по-разному. Как видно из рис. 13.5, сильнее упрочняет Mo, особенно при содержании его в сплаве более 4%. Слабее упрочняют V и Nb, но они мало снижают пластичность сплавов. Однако наибольшее упрочнение достигается при легирования титана эвтектоидообразующими  $\beta$ -стабилизаторами; Fe, Cr, Mn. Поэтому двухфазные промышленные сплавы содержат и те и другие  $\beta$ -стабилизаторы. Сплавы упрочняются с помощью термической обработки—закалки и старения. В отожженном и закаленном состояниях они имеют хорошую пластичность, а после старения—высокую прочность при 20–25 °С и повышенных температурах. При этом, чем больше  $\beta$ -фазы содержится в структуре сплава, тем он прочнее в отожженном состоянии и сильнее упрочняется при термической обработке.

По структуре, получаемой в  $(\alpha + \beta)$ -сплавах после закалки, их подразделяют на два класса: мартенситный и переходный (рис. 13.10).

Сплавы мартенситного класса менее легированы и в равновесном состоянии содержат сравнительно немного  $\beta$ -фазы (5–25%). После закалки они имеют структуру мартенсита  $\alpha'$  (или  $\alpha''$ ). К этому классу относятся сплавы титана с алюминием и ванадием (ВТ6), высокопрочные сплавы, дополнительно легиро-

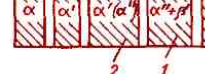


Рис. 13.10. Структура в отожженном и закаленном состояниях сплавов титана. 1 — переходный класс; 2 — высокопрочный класс

ванные молибденом и ванадием сплавы для работы при повышенных температурах (ВТ25, ВТ22).

Сплавы переходного класса легированы и соответствуют содержанию  $\beta$ -фазы в равновесном состоянии и после отжига (200–300 °С). Их свойства этих сплавов нечувствительны к колебаниям температуры става. Так, после закалки можно получить остаточную двухфазную ( $\alpha''$ - и  $\beta$ -фазы) структуру, отличие большого количества  $\beta$ -фазы (например, структура ВТ22) от остаточной ( $\alpha''$ -фазы) структуры сплавам переходного класса. Важно отметить, что у сплавов переходного класса прочность сопоставима с прочностью сплавов, как в отожженном, так и в закаленном состояниях. Так, времена изгиба сплава ВТ22 по своим значениям, что у сплавов переходного класса, и времени изгиба сплава ВТ22 равен 600–700 ч, время изгиба сплава ВТ6—82,2–90 ч. Это позволяет применять сплавы переходного класса как в закаленном, так и в отожженном состояниях, очень важно при изготавливании габаритных деталей.

ков, листов, ленты.

Однофазные  $\beta$ -сплавы не имеют промышленного применения, так как для получения устойчивой  $\beta$ -структурой сплавы должны быть легированы большим количеством изоморфных  $\beta$ -стабилизаторов (V, Mo, Nb, Ta) — дорогих, дефицитных, обладающих высокой плотностью.

Такие сплавы дорого стоят, имеют пониженную удельную прочность.

Псевдо- $\beta$ -сплавы (ВТ15) — сплавы высоколегированные, в основном,  $\beta$ -стабилизаторами. Суммарное количество легирующих элементов, как правило, превышает 20%. Наиболее часто для легирования используют Mo, V, Cr, реже — Fe, Zr, Sn. Алюминий присутствует почти во всех сплавах, но в небольших количествах ( $\sim 3\%$ ). В равновесном состоянии сплавы имеют преимущественно  $\beta$ -структуру с небольшим количеством  $\alpha$ -фазы.

После закалки они имеют структуру метастабильной  $\beta'$ -фазы. В этом состоянии сплавы обладают хорошей пластичностью ( $\delta = 12 \div 40\%$ ;  $\psi \approx 30 \div 60\%$ ), легко обрабатываются давлением, имеют сравнительно невысокую прочность ( $\sigma_b \approx 650 \div 1000$  МПа). В зависимости от химического состава временное сопротивление после старения составляет 1300–1800 МПа. У некоторых сплавов временное сопротивление при старении увеличивается более чем в 1,5 раза. Плотность этих сплавов находится в интервале (4,9–5,1) т/м<sup>3</sup>. Сплавы отличаются

прутков, поковок и длительной работы 350 °С.

Литейные титановые сплавы имеют хорошие лигатуры, большой температурный диапазон сталлизации, обеспеченную жидкотекучесть и отливки. Они обладают способностью к образованию макро- и небольшой линейной усадкой (до 3%).

К недостаткам титановых сплавов относятся склонность к поглощению газов, низкая пластичность при взаимодействии с вакуумными материалами, необходимость плавки и разливки в среде нейтральных газов (при получении крупных фасонных изделий 300–500 кг) и использование стальных форм, в которых сплавы отливают в оболочки, изготовленные из специальных материалов.

Для фасонного производства сплавы, аналогичные по химическому составу некоторым титановым сплавам (ВТ5Л, ВТ3-1Л, ВТ6Л), являются специальными литейными сплавами.

Литейные сплавы отличаются низкими механическими свойствами, чем соответствующие сплавы на основе титана. Упрочняющая термообработка резко снижает пластичность титановых сплавов.

Помимо очень высоких удельных прочности и жесткости (см. табл. 12.1) бериллий имеет большую теплоемкость, обладает хорошими теплопроводностью и электропроводимостью, демпфирующей способностью и другими ценностными свойствами.

Бериллий относится к числу редких металлов. Его добывают из минерала берилла, представляющего собой двойной силикат берилля и алюминия ( $3\text{BeO} \cdot \text{Al}_2\text{O}_3 \cdot 6\text{SiO}_2$ ). Содержание в земной коре бериллия небольшое – 0,0005 %. Малая распространенность в природе, сложная и дорогая технология извлечения из руд, получения из него полуфабрикатов и изделий определяют высокую стоимость бериллия.

Металлургия бериллия сложна из-за его химической инертности. Слитки, полученные вакуумной переплавкой, либо обрабатывают давлением для получения полуфабрикатов, либо перерабатывают в порошок, из которого полуфабрикаты и изделия изготавливают методом порошковой металлургии. Обработке давлением подвергают лишь малые слитки ( $d \leq 200$  мм), так как в слитках большого размера из-за высокого поверхностного натяжения образуются две усадочные раковины, соединенные трещиной.

Литой бериллий крупнозернистый и хрупкий. Для улучшения пластичности прокатку ведут при нагреве. Однако при температурах выше 700 °C бериллий «схватывается» с инструментом. Поэтому

тельному удлинению близок к литому сном направлении и пластиность. Пом на пластичность б структурные особен ния структура характери ением периодов ре котором базисная ственно возможна ия. Другими пло в гексагональной решетке являются и пирамидальные печивает таким м и цирконий, хор Однако критическо ходимое для сдвиг мы, у бериллия п (рис. 13.11), что ск мации идет только

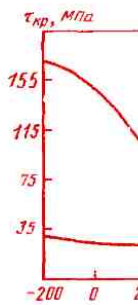


Рис. 13.11. Критическая  
 $\tau_{kp}$  для монокристалла  
I – базисная плоскость

основе бериллия. Согласно зарубежным данным, бериллий, полученный методом зонной плавки за восемь проходов, имеет чрезвычайно высокую пластичность ( $\delta = 140\%$ ). Введение в зонно-очищенный бериллий всего 0,001% Si вызывает его хрупкость.

Бериллий, полученный методами порошковой металлургии, имеет мелко-зернистую структуру и более высокие механические свойства, в том числе и пластичность. Чем мельче зерно, тем выше временное сопротивление, предел текучести и пластичность при  $20^{\circ}\text{C}$ , а также кратковременная прочность при повышенных температурах (рис. 13.12).

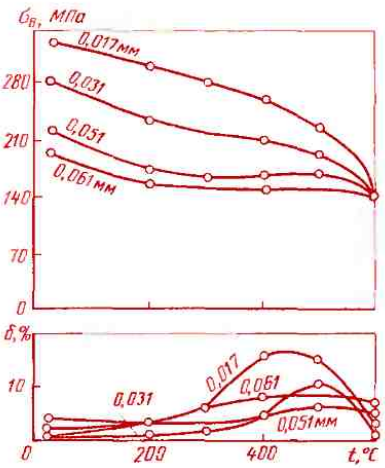


Рис. 13.12. Зависимость механических свойств горячепрессованного бериллия от размера зерна и температуры испытания

ков бериллия ведут с чрезвычайно мелкой (  $d = 1 \div 3$  мкм)ностью к сверхплотности к сверхплотности деформаций пластины. Более высокая плотность из порошков блоков позволяет не только сжимать их не только давлением, но и теплом при температуре  $400 \div 500^{\circ}\text{C}$ , при этом ниже температуры плавления бериллия ( $t_{\text{текр}} = 700^{\circ}\text{C}$ ) он способен сохранить наивысшую прочность  $\sigma_{\text{вн}}$ .

Пластичность полученного бериллия зависит и от технологии обработки давлением. В национальной промышленности развитых странах технология прессования бериллия имеет свои особенности и различия. Плоскости и пластинчатые листы бериллия, полученные прокаткой этих материалов на базисной плоскости, имеют хрупкость бериллий имел бы прочность  $= 30 \div 40\%$ . В том случае, если базисная плоскость оси прутка или волокна, то этому при растяжении в них приложенных напряжений в них растягивающие напряжения идет по плоскости, в которых в гексагональном кристаллическом

пластичности, низкой технологичности и анизотропии свойств к недостаткам следует отнести токсичность бериллия. Попадая в легкие, он вызывает тяжелое легочное заболевание (бериллиоз). На коже бериллиевая пыль, мелкие частицы вызывают зуд, а попадая в ранки — опухоли и язвы. В связи с этим обработку бериллия на металлорежущих станках проводят в специальных помещениях и в специальных цылезащитных костюмах и масках. При работе с бериллием необходимо тщательно выполнять правила техники безопасности.

По удельным прочности (см. табл. 12.1) и жесткости (рис. 13.13) бериллий превосходит высокопрочные стали и все сплавы на основе легких металлов Mg, Al и Ti, а по удельной жесткости и металлы, обладающие более высоким модулем упругости (W и Mo). К тому же высокий модуль упругости бериллия ( $E = 310$  ГПа) мало изменяется при увеличении температуры до  $450^{\circ}\text{C}$ . Вот почему бериллий является одним из лучших материалов для деталей конструкций, где особо важны собственная масса конструкции, жесткость ее силовых элементов. Расчеты показали, что самолет, изготовленный на 80% из бериллия, будет в 2 раза легче, чем из алюминия. При этом на 40% увеличивается дальность полета и значительно повышается грузоподъемность самолета. Бериллий применяют в консолях крыльев, элеронах, тягах управления и других деталях сверхзвуковых самоле-

**Рис. 13.13.** Зависимость различных материалов  
1 — бериллий; 2 — КМ эпоксидное волокно; 3 — КМ волокно бора; 4 — сталь; 6 — алюминиевые сплавы

тов, в ракетной технике входят панели общего назначения, отсеки, соединительные элементы, борные стойки и др. По удельной жесткости и особенностям технологии диаметром не более 0,5 мм и выше 1000 МПа (в 10 раз выше, чем у стали), в одну область применения входит композит на основе Al, Ti и др. Использование композитов получило большое применение в космической технике.

Бериллий обладает высокой теплотой плавления, но и скрытой теплотой испарения, а также тепловой способностью, что делает его более теплопроводным, чем алюминий, в 2 раза, и сталь, в 8 раз. Алюминий, в свою очередь, имеет теплопроводность в 2 раза выше, чем бериллий, уступая ему только на 12%. Все эти материалы находят успешное применение в качестве теплоизолирующих материалов в ракетной и космической технике (головные части ракет, передние кромки крыльев самолетов, кабин пилотов и монавтов).

расширения делают бериллий незаменимым материалом для ответственных деталей высокоточных приборов. Его применяют в инерциальных системах навигации для ракет, самолетов, подводных лодок. Из него изготавливают детали гиросабилизированных платформ и гироскопов.

Применение бериллия как конструкционного материала в атомной технике вызвано его способностью слабо поглощать тепловые нейтроны (см. п. 14.5).

Кроме того, бериллий используют как источник  $\alpha$ -излучения, а также как конструкционный материал при изготовлении рентгеновских трубок. Бериллий очень слабо поглощает рентгеновские лучи (в 17 раз хуже, чем алюминий).

**Бериллиевые сплавы.** Основные трудности при создании бериллиевых сплавов вытекают из его недостатков: большой хрупкости и высокой стоимости.

Главная сложность при легировании бериллия, как было указано ранее, обусловлена малым размером атома бериллия. Большинство элементов, растворяясь в бериллии, искажают его кристаллическую решетку, в результате чего увеличивается его хрупкость. В связи с этим наибольшее распространение получили сплавы бериллия с практически нерастворимым в нем при  $20^{\circ}\text{C}$  алюминием. Из диаграммы состояния  $\text{Al}-\text{Be}$  (рис. 13.14) видно, что при температуре  $20^{\circ}\text{C}$  бериллий практически нерастворим в алюминии. Поэтому эвтектика, образующаяся при концентрации

2,5% Al, состоит из миния с незначительными вкраплениями бериллия. Бериллий с высокой пластичностью содержится в сплаве, имеющем прочность (рис. 13.15)

Практическое применение эвтектических сплавов на основе 40% Al. Они состоят из мягкой матрицы и твердых хрупких включений бериллия и поэтому технологичны; они обладают высокими свойствами. Так, сплав, содержащий 40% Be, характеризуется свойствами:  $\sigma_b = 200 \text{ МПа}$ ;  $\delta = 3\%$ ;  $E = 100 \text{ ГПа}$ .

Легирование элементами, растворяющимися в фазе, ухудшает

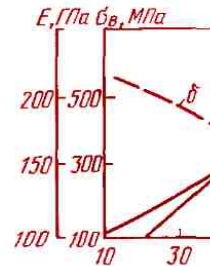


Рис. 13.15. Зависимость механических свойств сплавов  $\text{Al}-\text{Be}$  от концентрации

и сплава в целом, а элементами, растворимыми в алюминиевой фазе, улучшает свойства сплавов. Наиболее благоприятно на свойства сплавов влияет дополнительное легирование магнием в пределах его растворимости в алюминии. Однако значительный эффект упрочнения (рис. 13.16) при одновременном повышении пластичности наблюдается на сплавах с малым содержанием бериллия. При содержании в сплаве более 70% Be резко ухудшается пластичность и практически не меняется прочность. Добавка 5% Mg к сплаву с низким содержанием бериллия (30%) увеличивает предел прочности от 200 до 450 МПа, относительное удлинение — от 18 до 25%. Заметно повышается и модуль нормальной упругости (до 150–300 ГПа). В отличие от лвийных сплавов, которые спекают и прессуют из порошков, сплав с магнием получают сплавлением. Слитки подвергают обработке давлением. Сплав поставляют в виде деформированного или отожженного полуфабриката ( $t_{\text{отжига}} = 350 \div 400^{\circ}\text{C}$ ). Сплав хорошо сваривается и рекомендуется для сварных конструкций.

Легирование бериллия элементами Ni, Co, Cu и др., расширяющими температурную область существования пластичной высокотемпературной модификации  $\text{Be}_B$ , увеличивает диапазон горячей обработки давлением. Эти элементы оказывают упрочняющее действие и снижают пластичность при  $20^{\circ}\text{C}$ . Никель ( $\leq 0,5\%$ ) и кальций ( $< 1\%$ ) вызы-

пераатуру плавления,ющую твердость ( $HV$ ), кость ( $E \approx 300 \div 350$  ГПа),ательно низкой плотности ( $\rho \approx 1,8 \text{ кг}/\text{м}^3$ ). Однако они неизвестны, их изготавливают методами металлургии мелких партий, имеющие детали для гибки и управления.

### 13.3. Композиционные материалы

**Общая характеристика.** Композиционные материалы характеризуются удельным прочностными показателями при высокой износостойкости, сопротивлению усталости, коррозии и другим свойствам, которые восходят все изложенные выше композиционные сплавы (рис. 13.17). В данном комплекса включаются заранее и реагируются на изготовления материала, который придают ему, максимально приближенные к форме готовых деталей, узлов конструкций.

Композиционными материалами называются материалы, в которых входят сильно отличающиеся свойствами нерастворимые и растворимые друг в друге компоненты, разделенные в материале тонкими границами.

Принцип создания композиционных материалов заимствован из технологии полимерных композиций. Примером может быть

**Рис. 13.17.** Удельная прочность и удельный модуль упругости некоторых неармированных и композиционных материалов, армированных 50 об. % волокон:

1 — алюминий; 2 — титан и сталь; 3 — титан, армированный бериллиевой проволокой; 4 — титан, армированный волокнами SiC; 5 — титан, армированный волокнами борсика; 6 — алюминий, армированный бориевыми волокнами; 7 — эпоксидная смола, армированная волокнами графита; 8 — эпоксидная смола, армированная борными волокнами

ционных материалов могут служить стволы и стебли растений, кости человека и животных. В дереве волокна целлюлозы соединены пластичным лигнином, в костях тонкие прочные нити фосфатных солей — пластичным коллагеном.

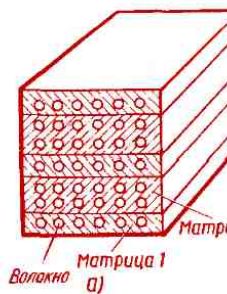
Свойства композиционных материалов в основном зависят от физико-механических свойств компонентов и прочности связи между ними. Отличительной особенностью композиционных материалов является то, что в них проявляются достоинства компонентов, а не их недостатки. Вместе с тем композиционным материалам присущи свойства, которыми не обладают отдельно взятые компоненты, входящие в их состав. Для оптимизации свойств композиций выбирают компоненты с резко отличающимися, но дополняющими друг друга свойствами.

Основой композиционных материалов (матриц) служат металлы или сплавы (композиционные материалы на металлической основе), а также поли-

ционные материалы с матрицами, состоящими из слоев (двух) химического со-

Композиционные материалы с матрицами, состоящими из слоев (двух), имеют более обширный спектр свойств. Например, прочность матрицы из титана увеличивается в направлении оси волокон. Алюминиевая матрица способствует прочности материала.

В матрице равномерно распределены остальные компоненты. Поскольку главную роль в композиционных материалах играют наполнители, их ча-



**Рис. 13.18.** Схемы полимерного (а) и армированного (б) композиционных материалов

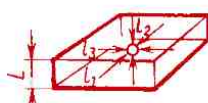
Оно не конкретизирует роль наполнителя и поэтому показывает, что наполнитель вводится в матрицу для изменения не только прочности, но и других свойств.

Свойства композиционного материала зависят также от формы или геометрии, размера, количества и характера

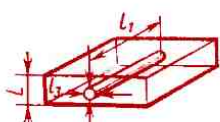
размера в третьем измерении. Двумерные наполнители (частица, соизмеримые с размерами матрицы) превосходящие три измерения (ткань).

По форме наполнительные материалы

1)

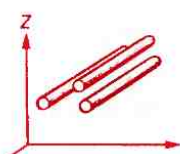
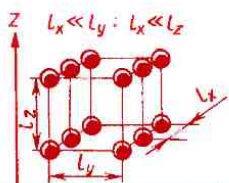


1

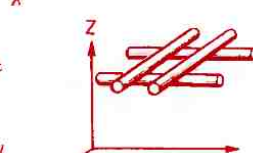
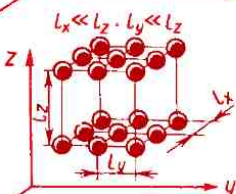


2

3)



3)



3)

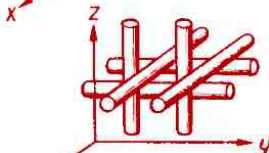
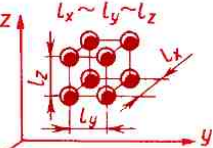


Рисунок 1  
композиционных материалов

Для одноосного (линейного) армирования используют нуль-мерные и одномерные наполнители (см. рис. 13.19, б). Нульмерные располагаются так, что расстояние между ними по одной оси (например, по оси  $x$ ) значительно меньше, чем по двум другим. В этом случае объемное содержание наполнителя составляет 1–5%. Одномерные наполнители располагаются параллельно друг другу.

При двухосном (плоскостном) армировании используют нуль-, одни и двухмерные наполнители (см. рис. 13.19, в). Нуль-мерные и одномерные наполнители располагаются в плоскостях, параллельных друг другу. При этом расстояние между ними в пределах плоскости значительно меньше, чем между плоскостями. При таком расположении нуль-мерного наполнителя его содержание доходит до 15–16%. Одномерные наполнители расположены также в параллельных плоскостях. При этом в пределах каждой плоскости они расположены параллельно, а по отношению к другим плоскостям под разными углами. Двумерные наполнители расположены параллельно друг другу.

При трехосном (объемном) армировании нет преимущественного направления в распределении наполнителя. Для армирования используют нуль-мерные и одномерные наполнители (см. рис. 13.19, г). Расстояние между нуль-мерными наполнителями одного порядка. В этом случае их объемное содержание может превышать 15–16%. Одномерные

целью применяют нителями одной фи става. Так, для пове гости композиции с полимерной мат стеклянным волок вводят волокна бор

Композиционные содержат два и бол нителя, называют (см. рис. 13.18, б).

**Дисперсно-упрочненческие материалы ства.** В дисперсно-зационных матери служат дисперсные ких фаз-оксидов, карбидов ( $\text{Al}_2\text{O}_3$ ,  $\text{SiC}$ ). К достоинствам тогий относятся высокая упругость, низкая чувствительность к взаимодействию с матриц, а таких, как кремния, – большая плотность в природе и легкость образующих их элемен

Дисперсно-упрочненные материалы получают методами полимеризации, но существуют и другие способы, например, метод немедленного действия наполнителей в виде порошков или сплав перед разогревом. В этом случае для очистки от загрязнений, удали частиц жилки, имеющейся в одномерного распределения

мации при изготовлении изделий из композиционного материала. Кроме того, дисперсные частицы наполнителя оказывают «косвенное» упрочняющее действие, способствующее образованию структуры с большой степенью неравнотности зерен (волокнистой). Такая структура формируется при сочетании пластической деформации и отжигов. При этом дисперсные включения частично или полностью препятствуют рекристаллизационным процессам.

Уровень прочности зависит от объемного содержания упрочняющей фазы, равномерности ее распределения, степени дисперсности и расстояния между частицами. Согласно формуле Орована, сопротивление сдвигу увеличивается с уменьшением расстояния между частицами:

$$\sigma = Gb/l,$$

где  $G$  — модуль сдвига;  $b$  — межатомное расстояние;  $l$  — расстояние между частицами.

Большое упрочнение достигается при размере частиц в пределах 0,01–0,1 мкм и расстоянии между ними 0,05–0,5 мкм. Объемное содержание частиц зависит от схемы армирования (см. с. 250).

Преимущество дисперсно-упрочненных композиционных материалов по сравнению с волокнистыми — изотропность свойств. К дисперсно-упрочненным композиционным материалам на алюминиевой основе, нашедшим промышленное применение, относится

следовательного бро-  
ния и прессования с  
ности алюминиевой

Исходным матер-  
ни пудры служит  
зат, который изго-  
расплавленного ал-  
11069–74). Порошко-  
ровых мельницах  
с добавлением  
и 0,25–1,2 % стеарин-  
лород добавляют д-  
образованных по-  
стеарин — для обле-  
и препятствия с-  
пудры. Частицы пу-  
чешуек толщиной м-  
частиц по длине и  
рядка. Он зависит с-  
мола. Толщина окса-  
равна 0,01–0,1 мкм.  
нее время размола,  
пудры, больше их о-  
следовательно, выше  
алюминия. Напри-  
АПС-1 с размером  
держит 6–8 %  $\text{Al}_2\text{O}_3$ ,  
имеющая размер  
—9–12 %  $\text{Al}_2\text{O}_3$ .  
технология полу-  
пудры четырех мар-  
ких им марок САИ-

Структура САП  
алюминиевую основу  
пределенными диспе-  
ми  $\text{Al}_2\text{O}_3$ . С увели-  
 $\text{Al}_2\text{O}_3$  повышаются

дость, жаропрочность САП и уменьшается его пластичность (рис. 13.20). Высокая прочность САП объясняется большой дисперсностью оксидной фазы, малым расстоянием между ее частицами. Нерастворимость в алюминии и отсутствие склонности к коагуляции тонкодисперсных частиц  $\text{Al}_2\text{O}_3$  обеспечивает стабильность структуры и высокую прочность при температурах до  $500^\circ\text{C}$ .

САП хорошо деформируется в горячем состоянии, хуже — в холодном, легко обрабатывается резанием и удовлетворительно сваривается контактной, аргонодуговой сваркой. В настоящее время в основном применяют САП-1, САП-2 и САП-3, из них производят все виды полуфабрикатов: листы, профили, штамповые заготовки, трубы, фольгу. САП используют для деталей, работаю-

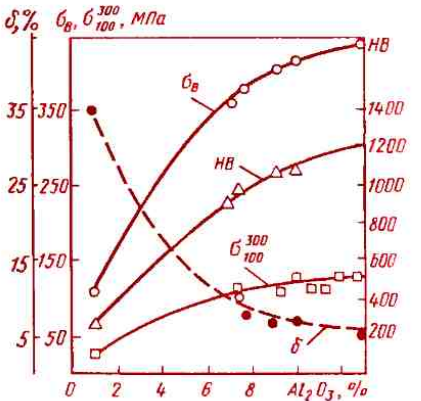


Рис. 13.20. Зависимость механических свойств САП от содержания  $\text{Al}_2\text{O}_3$

Практическое значение имеет низкая температура линейного разогрева, низкий коэффициент линейного расширения стали, и высокий предел текучести. Так, САП состава: 10%  $\text{Al}_2\text{O}_3$ , 90% остальное Al — имеющий коэффициент линейного расширения  $\times 10^{-6} 1/\text{ }^\circ\text{C}$ ;  $E = 100 \text{ ГПа}$  заменяют более прочные сплавы на изготовлении отдельных деталей и боров. Механические свойства характеризуются достаточно высокой прочностью, твердостью (до  $HB 1200$ ) и низкой пластичностью ( $\delta = 1,5 \div 1\%$ ). Преимущество алюминиевых сплавов с обычными аналогами заключается в отсутствие литейных дефектов и плаковых включений. Структура зернистая, с равномерным распределением фаз.

Дисперсно-упрочненные материалы получают в виде матрицы из алюминия и его сплавов с включениями в виде структурой твердых растворов с хромоникелевой фазой, более высокой жаропрочностью. Упрочнителями служат цирконий, гафний и др. Повышение прочности в зависимости от содержания упрочнителя определяется по кривой, имеющей форму, симметричную биболее упрочненному сплаву с содержанием 3,5%  $\text{Al}_2\text{O}_3$ . Твердость  $HB = 750 \div 850 \text{ МПа}$ ; пластичность  $\delta = 8 \div 12\%$ . Легирован-

того элемента. После холодного прессования смеси порошков проводят горячую экструзию брикетов.

**Волокнистые композиционные материалы.** Структура и свойства. В волокнистых композиционных материалах упрочнителями служат волокна или нитевидные кристаллы чистых элементов и тугоплавких соединений (B, C, Al<sub>2</sub>O<sub>3</sub>, SiC и др.), а также проволока из металлов и сплавов (Mo, W, Be, высокопрочная сталь и др.). Для армирования композиционных материалов используют непрерывные и дискретные волокна диаметром от долей до сотен микрометров.

При упрочнении волокнами конечной длины нагрузка на них передается через матрицу с помощью касательных напряжений. В условиях прочного (без проскальзывания) соединения волокна с матрицей нагрузка на волокна при растяжении равна  $\tau \times \pi d l$ , где  $\tau$ —касательное напряжение, возникающее в матрице в месте контакта с волокном;  $d$ —диаметр волокна;  $l$ —длина волокна. С увеличением длины волокна повышается возникающее в нем напряжение. При определенной длине, названной критической, напряжение достигает максимального значения. Оно не меняется при дальнейшем увеличении длины волокна. Длина  $l_{kp}$  определяется из равенства усилий в матрице на границе с волокном и в волокне с учетом симметричного распределения напряжений в нем:

$$\tau \pi d l_{kp} / 2 = \sigma_b \pi d^2 / 4;$$

глубина проникновения волокна в матрицу

и плотность упаковки волокон в матрице

от соотношения

$$l_{kp} = \sigma_b d / (2\tau);$$

Теоретические расчеты показывают, что для практикой, поскольку тоньше и длиннее волокна, тем выше прочность композиций (рис. 13.21). В качественных композициях волокна используют металлы и сплавы на их основе; для полимерных композиций — углеродные волокна.

Свойства волокнистых композиционных материалов в значительной степени зависят от схемы армирования (рис. 13.22). Ввиду значительных различий в свойствах волокон, волокнистые композиции в основном армированы волокнами и механическим способом. При этом волокна в композиции, имеющей временное сопротивление разрыву, упругости и изгиба, достигают наивысших значений в направлении расположения волокон. Например, волокнистый материал с матрицей из полимера минния АД1, упрочненный волокнами бора, в направлении расположения волокон — всего 60–90

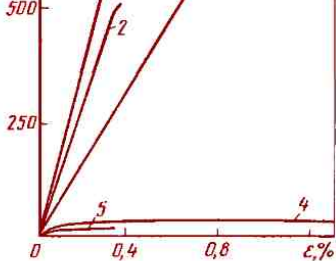


Рис. 13.22. Схемы армирования (1—5) композиционных материалов и их влияние на напряжения при растяжении эпоксидных углепластиков

свойств не наблюдается при двухосном армировании с взаимно перпендикулярным расположением упрочняющих волокон (см. рис. 13.22). Однако по сравнению с одноосным армированием прочность вдоль оси волокон уменьшается почти в 3 раза с 1000 до 350 МПа (рис. 13.23). Остаются низкими характеристики при сжатии и сдвиге. При нагружении материала вдоль волокон растяжением нагрузку в основном воспринимают высокопрочные волокна, а матрица служит средой для передачи усилий. Соотношение нагрузки, воспринимаемой волокнами ( $P^v$ ) и матрицей ( $P^m$ ), выражают через возникающие в них напряжения, соответственно,  $\sigma^v$  и  $\sigma^m$ :

$$P^v/P^m = \sigma^v V^v / [\sigma^m (1 - V^v)],$$

где  $V^v$  — объем волокон.

кон  $E^v$  и больше их в  $n$  раз. В  $n$  раз они выдерживают большую нагрузку.

Объемная доля волокон варьируется в широких пределах от 10% до 80%. Содержание волокон в композиционных материалах, обладающих высокими механическими свойствами, определяется в зависимости от способа получения. Для получения непрерывных волокон в виде нитей или нитевидных кристаллов требуется содержание волокон в диапазоне 20–30%, поскольку при этом диаметре волокон создаются трудности в получении непрерывных волокон.

Модуль упругости композиционного материала сравнивается

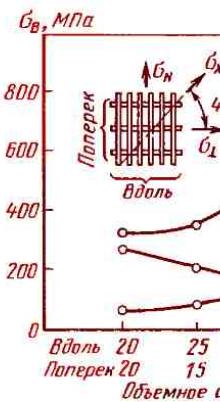


Рис. 13.23. Зависимость модуля упругости композиционного материала ВКА-1 от содержания волокон

		Углеродное волокно	30–40	1,5	42	150–150
--	--	--------------------	-------	-----	----	---------

подсчитывают, исходя из свойств и объемного содержания волокон и матрицы:

$$E^{KM} = E^B V^B + E^M (1 - V^B).$$

Например, модуль упругости композиционного материала с алюминиевой матрицей ( $E = 70$  ГПа), упрочненного 50 об.% волокон бора ( $E = 420$  ГПа), равен  $70 \cdot 0,5 - 420 \cdot 0,5 = 245$  ГПа, что хорошо согласуется с модулем упругости реального композиционного материала ВКА-1 ( $E = 240$  ГПа, табл. 13.4). Временное сопротивление композиционных материалов изменяется в зависимости от объемного содержания наполнителя также по закону аддитивности (рис. 13.24). Исключение составляют материалы с очень малым ( $< 5\%$ ) или очень большим ( $> 80\%$ ) содержанием волокна. Временное сопротивление композиционного материала подсчитывают по формуле:  $\sigma_{vB}^{KM} = \sigma_v^B V^B + \sigma_v^M (1 - V^B)$ , где  $\sigma_v^B$  и  $\sigma_v^M$  – соответственно временное сопротивление волокна и матрицы.

Малые значения прочности и жесткости композиционных материалов в направлении, перпендикулярном расположению волокон, при растяжении объясняются тем, что в этом случае, также как при сжатии и сдвиге, они определяются свойствами матрицы. Большую роль играет матрица в сопротивлении композиционных материалов усталост-

ному разрушению, с матрицы. Гетерогенности верхности раздела и матрицей затрудняет распространения трещины перпендикуляриюм, особым образом с этим композиционным материалом характеризуются высокие предела выносливости и выносливости композиционных материалов на алюминий, превышают лучшие аналоги в 3–4 раза.

При изготовлении композиционных материалов матрицу формируют так, чтобы в дальнейшем использовать действующие волокна.

Прочность композиционных материалов в большой степени

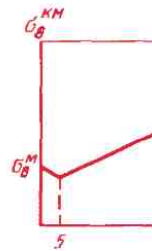


Рис. 13.24. Схема изменения временного сопротивления композиционного материала в зависимости от объемного содержания упрочнителя

изготовлении композиционных материалов и при их использовании. Некоторое взаимодействие между компонентами необходимо для обеспечения прочной связи между ними, передачи напряжений. Для металлических композиционных материалов прочная связь между волокном и матрицей осуществляется благодаря их взаимодействию и образованию очень тонкого слоя (1-2 мкм) интерметаллидных фаз. Если между волокнами и матрицей нет взаимодействия, то на волокна наносят специальные покрытия для его обеспечения, но прослойки образующейся при этом фазы должны быть очень тонкими (рис. 13.25). Связь между компонентами в композиционных материалах на неметаллической основе осуществляется с помощью адгезии (см. с. 261).

Плохой адгезией к матрице обладают высокопрочные борные, углеродные, ке-

оси волокна. Так, у содержания нитевидных 4-8 % повышает сдвиг в 1,5-2 раза, модуль

чность при сжатии.

На поверхности волокон не должно происходить химических реакций, приводящих к окислению волокон, ухудшающих свойства композита.

При сильном взаимодействии компонентов временное сопротивление разрыву волокон значительно снижается. Временное сопротивление разрыву бида кремния в композитном материале с титановой матрицей такого взаимодействия с 320 до 210 МПа, что является временного сопротивления композиционного материала. Уменьшения взаимодействия



Рис. 13.25  
Любительский микроснимок  
матрицы

жении на границе раздела компонентов, которые при достижении определенной величины вызывают нарушение связи между компонентами.

**Виды и свойства упрочнителей.** Физические и механические свойства волокон и нитевидных кристаллов представлены в табл. 13.5.

ТАБЛИЦА 13.5. Свойства волокон в нитевидных монокристаллов

Материал	Температура плавления или размягчения, °С	$\rho$ , г/м³	$\sigma_b$ , МПа	$\sigma_b / (\rho g)$ , км
Волокна				
Углерод или графит	3650	1,6–2	1687–3374	110–210
Бор на вольфрамовой проволоке	2300	2,63	2707–4060	110–160
Борсик на вольфрамовой проволоке	2300	2,77	2707–4060	100–140
Карбид кремния на вольфрамовой проволке	2200	3,35–3,46	2236–3893	67–110
Оксид алюминия $Al_2O_3$	2040	3,14	2030	66
Стекло	—	2,5	4482	183
Бериллий	1284	1,85	686–981	38–54
Вольфрам	3410	19,3	1657–3207	9–11
Сталь ВНС9 (18Х15Н5АМ3)	—	7,8	3800	48
Нитевидные монокристаллы				
Сапфир, $Al_2O_3$	2040 *	3,96	4021–23634	110–630
Карбид кремния	2690 *	3,22	13533–40600	440–1100

\* Температура разложения.

дает проволока из тугоплавких металлов (Mo, W, Ta). Высокие прочностные свойства такой проволоки сохраняются до 1200–1500 °C, и поэтому ее применяют для армирования жаропрочных матриц. Это увеличивает рабочие температуры и срок службы жаропрочных сплавов. Недостатком наполнителя из тугоплавких металлов является их высокая плотность.

Малой плотностью и большой удельной прочностью обладает проволока из бериллия. Механические свойства проволоки сильно зависят от качества ее поверхности. Бериллиевую проволоку получают выдавливанием из литой или порошковой заготовки, заключенной в оболочку. Лучшим материалом оболочки является никель. После волочения оболочку с проволоки удаляют и для улучшения поверхности проволоку подвергают электрохимическому полированию. При волочении проволоки, предназначеннной для получения композиционных материалов, в качестве оболочки используют материал матрицы, и в этом случае отпадают операции тра-

достью, малой склонностью при повышении температуры к окислению. Борные волокна получаются из смеси борного хлорида и бромида бора по реакции  $2\text{BCl}_3 + 3\text{H}_2 \rightarrow \text{B}_2\text{O}_3 + 6\text{HCl}$ , сопровождающим осаждением борного ангидрида из среды на горячей поверхности. Диаметр волокна  $d \approx 12$  мкм. В результате волочения бора с волокнами из тугоплавких металлов и борных волокон соединяется с волокнами из тугоплавкого лантано-борофранция  $\text{La}_2\text{B}_6\text{Fe}_3$  и вольфрама различной степени окисления  $\text{W}_2\text{B}_5$ ,  $\text{WB}_5$ . При правильном подборе состава и технологии волочения сохраняется структура волокна из  $\text{WB}_4$ . Волокна бора обладают высокой прочностью и кристаллической решеткой, полученной таким способом в результате волочения в диапазоне диаметров  $d = 70 \div 200$  мкм.

Прочность сердцевины волокна ниже прочности волокна из вольфрама. В сердцевине возникает сжатие, а в прилегающей к волокну зоне возникает растяжение. При этом волокно подвергается сдвигу и возникновению трещин. При небольшом напряжении волокна обладают высокой прочностью и жесткостью.

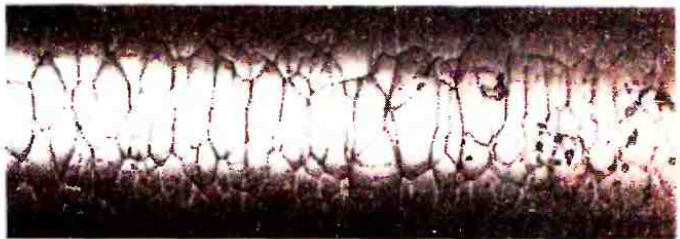


Рис. 1  
взаимодействие  
волокна с матрицей

с алюминиевой матрицей. Для повышения жаростойкости и предохранения от взаимодействия с матрицей на борные волокна наносят покрытия из карбида кремния, карбида и нитрида бора толщиной 3–5 мкм.

В настоящее время наряду с чисто борными волокнами выпускают волокна бора, оплетенные стекловолокном. Такие комбинированные волокна обладают более высокой устойчивостью. Основной недостаток борных волокон – высокая стоимость, которую можно снизить путем увеличения диаметра, а также заменой вольфрамовой основы на углеродную.

Высокими прочностью, удельной прочностью и термической стабильностью механических свойств отличаются высокомодульные углеродные волокна. Их получают путем высокотемпературной термической обработки в инертной среде из синтетических органических волокон. В зависимости от вида исходного продукта углеродные волокна имеют разновидности: нити, жгуты, ткани, ленты, войлок. Наиболее широко для производства углеродных волокон используют вискозу, полиакрилнитрил (ПАН). При нагреве синтетическое волокно разлагается с образованием лентообразных слоев углерода с гексагональной структурой, называемых микрофибриллами (рис. 13.27). Группы одинаково ориентированных микрофибрилл, разделенных узкими порами, образуют фибриллы. Поперечные раз-

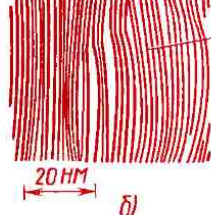


Рис. 13.27. Строение (схема):

а – общий вид; б – продольное сечение макрофибриллы; в – поперечное сечение микрофибриллы; 20 нм – поперечные размеры микрофибриллы

меры фибрилл лежат в диапазоне от нескольких до сотен микрометров. Каждая макрофибра состоит из 10–20 микрофибрилл. Структура углеродных волокон определяется их прочностью, взаимное расположение и степень их ориентации, химический состав сырья: содержание углерода, степени вытяжки волокна, способ получения и др. Углеродные волокна, полученные из синтетических волокон, отличаются от природных волокон свойства и даже размерами в 10–20 раз, а прочность между ними в 10–20 раз больше.

Структура и свойства углеродных волокон в большой степени определяются температурой термической обработки. Так как синтетических волокон нет, то волокна не теряют прочность при нагреве, а сильное воздействие на волокна, как пустоты, трение, вибрация, значительно снижает их прочность.

тов превышают 0,05 мкм. При нагреве выше 450 °С на воздухе углеродные волокна окисляются, в восстановительной и нейтральной среде сохраняют свои механические свойства до 2200 °С.

К другим достоинствам углеродных волокон относятся высокие теплопроводность и электропроводимость, коррозионная стойкость, стойкость к тепловым ударам, небольшой температурный коэффициент линейного расширения; к недостаткам — плохая смачиваемость расплавленными материалами, используемыми в качестве матриц. Для улучшения смачиваемости и уменьшения химического взаимодействия с матрицей на углеродные волокна наносят покрытия. Хорошие результаты в контакте с алюминиевой матрицей показывают покрытия из боридов титана и циркония.

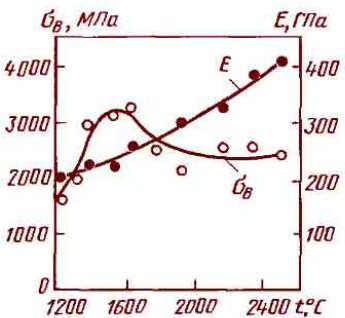


Рис. 13.29. Влияние температуры графитизации на свойства углеродного волокна

образования монокристаллического  $\text{SiO}_2$  вызвано нарушением кристаллической решетки, винтовое смещение слоев вдоль оси волокна.

Стекловолокно получают методом вытягивания (3000–5000 МПа), электрических свойств, водности, высокой крепости. Стекловолокно получают вытягиванием стекла в специальные фильтры из расплава. Изготавливают стекловолокна: тонкими (диаметром 3–100 мкм, длиной 1–1000 м), пучковыми (диаметром 0,5–20 мкм, длиной 1–1000 м), пальцевыми (волокна тонкими, длиной 1–1000 м), с однородными сварными соединениями, плазмоизоляционными, прерывистыми — в осях, прочных композиций на неметаллических связках, скрепляемые в настоящие профильные и прямоугольной, широкие поперечного сечения, прочность и жесткость которых достигаются благодаря более плотному расположению волокон.

Применение полимерных волокон уменьшает массу композита, повышает его жесткость при изгибе и сжатии, кроме того, улучшают акустические и изоляционные свойства.

ства и др.

Для большинства композиционных материалов с неметаллической матрицей характерны следующие недостатки: низкая прочность связи волокна с матрицей, резкая потеря прочности при повышении температуры выше  $100\text{--}200^{\circ}\text{C}$ , малая электрическая проводимость, отсутствие способности к сварке.

Среди неметаллических композиционных материалов наибольшее распространение получили композиции с полимерной матрицей: эпоксидной, фенолоформальдегидной и полииimidной. В качестве упрочнителей используют высокопрочные и высокомодульные углеродные и борные, стеклянные и органические волокна в виде нитей, жгутов, лент, нетканых материалов.

Группы композиционных материалов, армированные однотипными волокнами, имеют специальные названия, данные им по названию волокна. Композиции с углеродными волокнами называются углеволокнитами, с борными — бороволокнитами, стеклянными — стекловолокнитами, органическими — органоволокнитами. Для органоволокнитов используют эластичные (лавсан, капрон, нитрон) и жесткие (ароматический полиамид, винол) синтетические волокна.

Из-за быстрого отверждения и низкого коэффициента диффузии в неметаллической матрице (исключение соста-

ности связи между ходимо полное сма торое достигается, ем жидкого связую волокон); при этом волокон должна б ностного натяжения. Однако для жидких обладающих лучш ителям среди дру гия поверхностного вляет  $5,0 \cdot 10^{-5}$  Дж углеродных волокнистии находится  $(5,8) \cdot 10^{-5}$  Дж/м<sup>2</sup>, равна  $2,0 \cdot 10^{-5}$  Дж/н. ности волокон пов методами обработки травлением, окисле. Например, после термокарбонации волокон в азотной камере, поверхностное натяжение джоулей на квадратный метр на рис. 13.30 видно, что введение борного волокна в композицию критическое по величине. Параметр  $\tau_0 \xi$  резко возрастает, что приведет об увеличении натяжения между волокном и матрицей.

По сравнению с композициями, применяемыми в строительстве, композиционные материалы обладают более высокими механическими свойствами. Температурный диапазон применения композиционных материалов высокие прочностные характеристики, что делает их перспективными материалами для различных областей промышленности и строительства.

пластика от критического поверхностного напряжения борных волокон

ки при сжатии и сдвиге. Они отверждаются при сравнительно невысоких температурах с небольшой усадкой, позволяющей изготавливать из композиционных материалов на их основе крупногабаритные детали. При изготовлении деталей из композиционных материалов на основе эпоксидных матриц не требуется больших давлений, что особенно важно при использовании для армирования высокопрочных хрупких волокон, так как уменьшается вероятность их повреждения.

Эпоксидные матрицы уступают фено-лоформальдегидным и особенно полиимидным в теплостойкости.

растает более чем армированного ном, более чем прочности композита объясняется не прочности самой связки (она является мало), а жесткости и адгезии сцепления с волокнами.

Механические одноосно-армированные композиционные материалы приведены в табл. 1. Изменение прочности и удельного веса стекловолокнистых приблизительно в зависимости от различия объемной доли волокон.

ТАБЛИЦА 13.6. Влияние добавок ионов Ba и Ni на свойства одноосно-армированных композиционных материалов

Свойства	Композиционный материал	Полиметиленфенольная матрица
		Без добавок
Модуль упругости при изгибе, МПа	— Стекловолокнит Углеволокнит	2 060 44 500 106 000
Разрушающее напряжение, при изгибе, МПа	— Стекловолокнит Углеволокнит	81* 89 87
Адгезионная прочность сцепления полиметиленфенольной матрицы со стекловолокном, МПа	Стекловолокнит	1580

\* Свойства матрицы.

с упрочнителем:					
эластичным	1,15–1,3	100–190	8–15	10–20	2,5–
жестким	1,2–1,4	650–700	50	2–5	35–
Стекловолокниты	2,2	2100	96	—	70

\*  $\sigma_{-1}$  определен на базе  $10^7$  циклов.

нителя до 80% и достигает 700 МПа при армировании непрерывными нитями (рис. 13.31). Дискретные волокна упрочняют менее эффективно. Уменьшение диаметра волокон, нанесение на них специальных покрытий, дополнительное введение в матрицу монокристаллов оксида алюминия способствуют повышению временного сопротивления стекловолокнитов до 2000–2400 МПа. Они обладают хладостойкостью (до  $-196^{\circ}\text{C}$ ) и хорошей теплостойкостью. Их используют для длительной работы в ди-

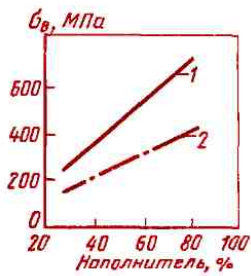


Рис. 13.31. Зависимость прочности стекловолокнитов от содержания и вида наполнителя:

1 – непрерывное ориентированное волокно; 2 – короткое неориентированное волокно

пазоне температур, того, благодаря де-  
ности они использу-  
брационных нагрузок.

Достоинствами являются недефицитность, стоимость упрочнителя сравнительно низкая. Однако по удельной массе они восходят к легированию алюминия, марки (2500–2800 кг). Численных волокон отличие доли послойной замены при одержании наполнителя, уменьшение жесткости (рис. 13.32). При полной замене гости увеличиваются в 3 раза и у карбоната в 180 ГПа. Однако вление и удельная бом соотношениями дают уровня стекловолокнитов.

Карбоволокниты имеют теплопроводность, проводимостью, на-  
водность в 1,5–2 раза выше, чем у капропластиков. Они

родных и стеклянных волокон (общее содержание наполнителя 62 об. %)

бильный коэффициент трения и обладают хорошей износостойкостью. Температурный коэффициент линейного расширения карбоволокнитов в интервале 20–120°C близок к нулю.

К недостаткам карбоволокнитов относят низкую прочность при сжатии и межслойном сдвиге. Специальная обработка поверхности волокон (окисление, травление, вискеризация) повышает эти характеристики.

Бороволокниты характеризуются высокими пределами прочности при растяжении, сжатии, сдвиге, твердостью и модулем упругости.

Зависимость механических свойств бороволокнитов от объемного содержания волокон представлена на рис. 13.33.

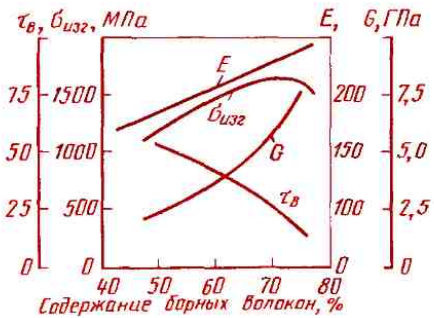


Рис. 13.33. Зависимость механических свойств бороволокнита КМБ-1 от объемного содержания борных волокон

шает чувствительное отдельных волокон к сопротивление коволокнистым ма-

Органоволокниты имеют удельной прочности, проросшими пластичностью. Характеристики гановолокнитов являются мерная природа матрицы волокон. Матрицы имеют близкие значения коэффициентов линейным свойствам хрусталивие и прочная матрица имеют бездеятельно бесспористую структуру (1–3%), хорошую механических свойств. Сложноматричном расположении материала, так как граница раздела и матрицей, скольжения связь в самом волокне.

Структура волокна состоит из ориентированных макромолекул и их соединений. Большая степень ориентации в направлении оси волокна обуславливает высокие прочностные характеристики при растяжении и сжатии. Однако неоднородность волокон обуславливает различные состояния в различных сегментах. Между ними имеются зоны скольжения сдвига, которые ведут к расщеплению волокна, а затем – к разрушению волокна.

и их напряжениями. Дополнительное армирование органоволокнитов волокнами, затрудняющими это искривление, например, углеродными или борными, повышает прочность при сжатии.

**Композиционные материалы на металлической основе.** Преимуществом композиционных материалов на металлической основе являются более высокие значения характеристик, зависящих от свойств матрицы. Это прежде всего временное сопротивление и модуль упругости при растяжении в направлении, перпендикулярном оси армирующих волокон, прочность при сжатии и изгибе, пластичность, вязкость разрушения. Кроме того, композиционные материалы с металлической матрицей сохраняют свои прочностные характеристики до более высоких температур, чем материалы с неметаллической основой. Они более влагостойки, негорючи, обладают электрической проводимостью.

Наиболее перспективными материалами для матриц металлических композиционных материалов являются металлы, обладающие небольшой плотностью ( $Al$ ,  $Mg$ ,  $Ti$ ), и сплавы на их основе, а также никель — широко применяемый в настоящее время в качестве основного компонента жаропрочных сплавов. Свойства некоторых композиционных материалов на металлической основе представлены в табл. 13.4.

Материалы с алюминиевой матрицей, нашедшие промышленное применение, в основном армируют стальной прово-

матрицей, доставляемой в виде стальной проволоки технического алюминия марки ВНС9 диаметром  $= 3600$  МПа) увеличивается в 10–12 раз при держании волокна при увеличении сопротивления в 10–12 раз, что соответствует прочности в 1450 МПа. Если использовать проволоку, т. е. большего диаметра, т. е. большего диаметра (до 4200 МПа), временные характеристики композиционного материала повышаются до 1750 МПа. Таким образом, армированные композиционные материалы (25–40%), по сравнению с неметаллическими, значительно превосходят последние по прочности и долговечности.

ТАБЛИЦА 13.8. Механические характеристики композиционных материалов на основе алюминия

Направление нагрузки	Материал	Предел прочности при сжатии, МПа	Предел прочности при изгибе, МПа	Модуль упругости, ГПа
Вдоль волокон	Алюминий	1000	1500	70
Поперек волокон	Алюминий + никель	1750	2200	70

Примечание. Предел прочности при сжатии матрицы ( $Al$  — 1% деформации) при термической обработке — 320 МПа.

Расчеты показали, что введение в композит B95 на титановый каркас лонжерона крепляющими элементами, имеющими форму звезды, увеличивает его прочность и дает экономию материала.

Композиционные материалы на основе алюминия и бора отличаются от материалов на основе алюминия и углеродных волокон тем, что они легче, чем материалы на основе углеродных волокон и имеют более высокую удельную прочность. Изготовление композиционных материалов с углеродным волокном, но с большими технологиями вследствие наличия углерода с металлом при нагреве, вызывает недостатки в прочности материала.

прочные алюминиевые сплавы и выходят на уровень соответствующих свойств титановых сплавов. При этом плотность композиций находится в пределах 3900–4800 кг/м<sup>3</sup>.

Упрочнение алюминия и его сплавов более дорогими волокнами В, С, Al<sub>2</sub>O<sub>3</sub> повышает стоимость композиционных материалов, но при этом эффективнее улучшаются некоторые свойства: например, при армировании борными волокнами модуль упругости увеличивается в 3–4 раза, углеродные волокна способствуют снижению плотности. На рис. 13.34 и ниже показано влияние объемного содержания волокон бора на прочность и жесткость композиции алюминий–бор.

Объемное содержание волокон, % . . . . .	0	10	20	30
$\sigma_b$ , МПа . . . . .	70–140	300–380	500–650	700–900
$E$ , ГПа . . . . .	70	105	135	180

Бор мало разупрочняется с повышением температуры, поэтому композиции, армированные борными волокнами, сохраняют высокую прочность до 400–500 °С. Промышленное применение нашел материал, содержащий 50 об. % непрерывных высокопрочных и высоко-модульных волокон бора (ВКА-1). По модулю упругости и временному сопротивлению в интервале температур 20–500 °С он превосходит все стан-

циальные покрытия на основе бора.

Материалы с высокой прочностью (ВКМ) характеризуются высокой прочностью (1800–2200 кг/м<sup>2</sup>) на основе алюминия и бора, при примерении которых получают высокую прочность 1000–1200 кг/м<sup>2</sup>. Деформируемые материалы (МА2 и др), армированные борным волокном (50 об. %), имеют прочность 1000–1200 кг/м<sup>2</sup>.

(— — —) композиционного материала ВКА-1 в сравнении со сплавами В95 и АК4-1 от температуры испытания

прочность > 50 км. Хорошая совместимость магния и его сплавов с борным волокном, с одной стороны, позволяет изготавливать детали методом пропитки практически без последующей механической обработки, с другой — обеспечивает большой ресурс работы деталей при повышенных температурах. Удельная прочность этих материалов повышается благодаря применению в качестве матрицы сплавов, легированных легким литием, а также в результате использования более легкого углеродного волокна. Но, как было указано ранее, введение углеродного волокна усложняет технологию и без того нетехнологичных сплавов. Как известно, магний и его сплавы обладают низкой технологической пластичностью, склонностью к образованию рыхлой оксидной пленки.

При создании композиционных материалов на титановой основе встречаются трудности, вызванные необходимостью нагрева до высоких температур. При высоких температурах титановая матрица становится очень активной; она приобретает способность к газопоглощению, взаимодействию с многими упрочнителями: бором, карбидом кремния, оксидом алюминия и др. В результате образуются реакционные зоны, снижается прочность как самих воло-

ци (Mo, W). Прочность матрицы является в основном и без того высокой, а увеличение модуля упругости рабочих температурских свойства титана (6% Al, 4% V, оставшегося в титане) введенными в табл. 13.9 волокнами Mo и Be. Более высокая жесткость повышается за счет введения волокнами карбидом кремния.

Армирование сплавов титана проволокой способом введению высоких значений температуре соотв. т. е. снижается на 200 °С. Естественно, это уменьшается вдвое, чем в 3 раза.

ТАБЛИЦА 13.9. Механические характеристики композиционных материалов на основе титановых сплавов

Упрочнитель		Композиционный материал	
Название	Объемная доля, %	$\sigma_u$ , МПа	$E$ , ГПа
Mo	30	2300	6,2
Be	33	1050	—
SiC*	25	2550	4,7

\* Матрица — технический титан.

МПа, тогда как лучший неармированный никелевый сплав, предназначенный для работы в аналогичных условиях, имеет прочность 75 МПа. Использование для армирования проволоки из сплавов вольфрама с рением или гафнием увеличивает этот показатель на 30–50%.

Композиционные материалы применяют во многих отраслях промышленности и прежде всего в авиации, ракетной и космической технике, где особенно большое значение имеет снижение массы конструкций при одновременном повышении прочности и жесткости. Благодаря высоким удельным характеристикам

материалы применяются в турбостроении (рабочие патки турбины), в автомобилестроении (кузова автомобилей, детали двигателей), в промышленности (автоматические емкости), судостроении (корпуса катеров, гребные винты).

Особые свойства композиционных материалов позволили им применяться в качестве электроресистивных материалов (органов управления ракетных обтекателей, подшипников скольжения, нити) и других деталей.

и механическими свойствами, то также высокой коррозионной стойкостью. Процессу коррозии наиболее подвержены металлы и сплавы, что объясняется их большой химической активностью и высокой электропроводимостью.

**Коррозией металлов** называют самоизвестное разрушение металлических материалов вследствие химического или электрохимического взаимодействия их с окружающей средой. **Коррозионно-стойкими** называют металлы и сплавы, которые способны сопротивляться коррозионному воздействию

на анодных и катодных участках в прямом и обратном направлениях с одинаковой скоростью. Стабильность металлов определяется термодинамический троидный потенциал  $V^{\circ}$ , т. е. суммой стандартных потенциалов электролита и температурой, вычисляемой по термодинамической формуле, сравниваемой с аналогичными значениями для других металлов. Стандартный обратимый элекротронный потенциал  $V_{\text{обр}}^{\circ}$ , рассчитанный для каждого металла, определяет его активность (концентрацию ионов в водном растворе).

Ион. . . . .	$\text{Al}^{3+}$	$\text{Zn}^{2+}$	$\text{Fe}^{2+}$	$\text{Sn}^{2+}$	$\text{H}^+$	$\text{Cu}^+$	$\text{Ag}^+$
$V_{\text{обр}}^{\circ}, \text{В.}$ . . . . .	-1,63	-0,76	-0,44	-0,14	0	+0,52	+0,80

среды, т. е. процесс коррозии в них развивается с малой скоростью. Отмечают два вида коррозии: электрохимическую и химическую.

**Электрохимическая коррозия.** Она развивается в жидкких электролитах: влажных атмосфере и почве; морской и речной воде; водных растворах солей, щелочей и кислот. При электрохимической коррозии устанавливается коррозионный ток и происходит растворение металла вследствие электрохимического взаимодействия с электролитом.

Поверхность металла в электролите электрохимически неоднородна, что приводит к образованию **микрогальванического коррозионного элемента** (рис. 14.1). На одних участках поверхности, называемых **анодами**, идет реакция (14.1); на других, называемых **катодами**, — реакции (14.2) или (14.3)

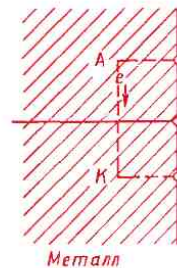
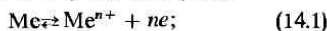


Рис. 14.1. Схема коррозионного элемента.

Анодную  $P_A$  и катодную  $P_K$  поляризуемость металла в электролите определяют также экспериментально.

Некоторые металлы в определенных условиях коррозии имеют большую анодную поляризуемость  $P_A$ , и их называют  *passивирующими*.

Значение коррозионного тока  $I$ , который устанавливается в коррозионном элементе и определяет скорость коррозии, выражается формулой

$$I = (V_{\text{обр}}^K - V_{\text{обр}}^A) / (R + P_A + P_K), \quad (14.6)$$

где  $R$  – омическое сопротивление коррозионного элемента. Приведенная формула используется для качественной оценки и выявления контролирующего фактора, определяющего коррозионную стойкость металла. Количественную оценку получают экспериментально в условиях, максимально приближенных к эксплуатационным.

Обратимый потенциал возможных катодных реакций  $V_{\text{обр}}^K$ , влияющий на величину коррозионного тока и скорость коррозии, больше обратимого потенциала металла и зависит только от состава электролита и физических условий, в которых идет процесс коррозии. Состав электролита определяется соотношением концентрации ионов  $\text{H}^+$  и  $\text{OH}^-$ . Если концентрация ионов  $\text{H}^+$  меньше концентрации ионов  $\text{OH}^-$ , среду называют *щелочной*; при равенстве концентраций – *нейтральной*, а если больше концентрация ионов  $\text{H}^+$ , среду называют *кислой*.

При коррозии в нейтральных средах (влажный воздух, речная и морская вода, хорошо аэрирующиеся почвы), а также в щелочной среде катодный процесс для большинства металлов идет по реакции (14.2). При коррозии в кислотах или плохо аэри-

оказывает наибольший коррозионный ток и стойкость виях коррозии.

Химический состав металлов и сплавов определяет потенциал металла  $V_{\text{обр}}^A$ , стойкость будет тем выше, чем выше  $V_{\text{обр}}^A$  между  $V_{\text{обр}}^K$  возможного и  $V_{\text{обр}}^A$  в конкретных условиях. Но поэтому электропроводность достаточно коррозионно-стойкий состав коррода определяет поляризацию  $P_K$ . Обе характеристики с увеличением площади

Фазовый состав и химический состав на все перечисленные параметры. Возможности термической обработки как резерв улучшения стойкости металлов и химической коррозии практически отсутствуют.

Однофазные структуры – стойкости, нежели многофазными в них являются лавинные металлов: высоко- и низкоуглеродистые дислокации, электропроводность которых занижен. При этом лишь анодные участки в металлах и в однофазных стойкости. Это увеличивает анодную и скорость коррозии. Частичный поликристаллический поликристалл, чем крупнокристаллический, более монокристалл. Это повышение коррозионной стойкости фазных закаленных структур по сравнению с отожженными

усиливают анодное растворение основной фазы. С увеличением дисперсности и площади катодных включений уменьшается  $P_K$ , а коррозионный ток растет. Именно поэтому отожженный дюралюминий не обладает коррозионной стойкостью.

Катодные вторичные фазы при пассивирующемся аноде облегчают переход в пассивное состояние и, тем самым, повышают коррозионную стойкость. Известно, что низколегированные стали при дополнительном легировании медью, образующей на поверхности катодные выделения, приобретают способность пассивироваться на воздухе.

Омическое сопротивление коррозионного элемента мало, так как металлы и электролит обладают высокой электрической проводимостью. Кроме того, анод непосредственно контактирует с катодом. Все это объясняет подверженность металлов электрохимической коррозии.

На коррозионную стойкость металлов оказывают влияние пленки продуктов коррозии, образующиеся на корродируемой поверхности. Их защитные свойства проявляются в увеличении омического сопротивления и поляризумостей  $P_A$  и  $P_K$  [см. формулу (14.6)].

Электролит может растворять такие защитные пленки и тем самым ухудшать коррозионную стойкость. Растворимость таких пленок у различных металлов проявляется в различных электролитах.

Пассивирующие металлы (рис. 14.2) имеют коррозионную стойкость в нейтральных и кислых окисляющих средах, а также в щелочах (за исключением Al). Непассивирующиеся металлы стойки в нейтральных и щелочных средах, а в кислых средах, в особенности окисляющих, нестойки. Металлы белого цвета Zn, Sn, Pb обладают коррозионной

Рис. 14.2. Влияние скорости коррозии:

1 — пассивирующиеся металлы Zn, Sn, вирующиеся металлы

стойкостью в нейтральных кислотах.

В зависимости от процесса коррозии, зону коррозии называют почвенной, кислотной, разрушения ржавчины и местную коррозию различных видов коррозии пользуют следующими.

Контактная коррозионное разрушение тельного металла в троположительным.

Кавитационная разрушение в результате и ударного воздействия движения с боли

Межкристаллитная коррозионное разрушение сталлов, возникающее в турных превращений

Точечная коррозионного разрушения неоднородной корро

Коррозионная ви-  
ное разрушение под  
нагрузок и электрох-  
реды. Предел ви-  
в коррозионной среде  
под влиянием напряже-  
не трещины возникает  
нейший рост трещин

зии степень коррозионного разрушения оценивают по интенсивности изменения физико-механических свойств.

**Коррозионно-стойкие непассивирующиеся металлы.** В тех случаях, когда обратимый электродный потенциал в заданных условиях коррозии  $V_{\text{обр}}^A$  близок к обратимому потенциалу катодной реакции  $V_{\text{обр}}^K$ , коррозионный ток мал и металл обладает высокой коррозионной стойкостью [см. формулу (14.6)].

По этой причине электроположительные металлы Au, Pt, Ag, Cu, а также Sn и Pb, потенциал которых имеет небольшие электроотрицательные значения, обладают коррозионной стойкостью во многих средах; Au, Pt, Ag имеют коррозионную стойкость во всех средах, кроме некоторых концентрированных окисляющих кислот. Cu, Sn, Pb используют во влажной атмосфере, морской воде и многих органических кислотах.

Скорости атмосферной коррозии металлов приведены ниже.

Металл . . .	Fe	Zn	Sn	Cu	Ag	Au
Скорость атмосферной коррозии, мкм/год . . .	20,0	3,2	1,2	1,0	0,04	0

**Медные сплавы**, в состав которых входят электроотрицательные металлы, имеют высокую коррозионную стойкость в условиях равномерной атмосферной и морской коррозии. Это является результатом того, что леги-

дия для устранения ви-  
При большом соди-  
подвержены еще  
зационного разрушения  
поверхностному  
растворению цинка.

Все медные спла-  
ки во многих о-  
Однако ионы  
в электролите в  
химического рас-  
В связи с этим пр-  
и ее сплавов в ли-  
сти поверхность г-  
ребром или золотом.

Бронзы и латунь  
тационной корро-  
подводную часть  
и морских судов  
предел выносливи-  
ской воде (табл.).

ТАБЛИЦА 14.1. Влияние на скорость коррозии различных металлов

Среда	Сталь 20 (отожженная)
Воздух	250
Речная вода	140
Морская вода	60

судов и морских сооружений не обра-  
стает морскими организмами из-за ток-  
сичности меди. Все это способствует  
широкому применению медных сплавов  
в судостроении.

Электродный потенциал медного  
сплава можно повысить, а скорость кор-  
розии уменьшить путем легирования  
более благородным металлом, напри-  
мер, золотом (рис. 14.3). Объемное ле-  
гирование золотом позволяет получать  
сплавы с однофазной структурой твер-  
дого раствора. При определенных кон-  
центрациях электродный потенциал, так  
же как и скорость коррозии, меняется  
скачкообразно. При содержании золота  
в сплаве более 25% скорость коррозии  
в воде становится равной скорости кор-  
розии чистого золота. В связи с дефи-  
цитностью золота объемному легирова-  
нию предпочитают поверхностные по-  
крытия.

**Коррозионно-стойкие пассивирующиеся**  
**металлы.** Несмотря на большой отрица-  
тельный обратимый электродный по-  
тенциал металла вследствие большой  
анодной поляризации  $P_A$  в коррозион-  
ном элементе устанавливается неболь-  
шой коррозионный ток, и металл разру-  
шается с очень малой скоростью [см.  
формулу (14.6)]. Пассивное состояние  
связывают с образованием на поверхно-  
сти защитных пленок.

Способностью переходить в пассивное  
состояние обладают многие технические

по своей коррозии  
пает только золото  
че от остальных  
няет пассивность в  
даже при нагреве  
окислительных и  
тах, в морской во-  
щелочах. Титан об-  
стойкостью в море  
вызывающих даж  
кавитационную к  
сплавы (см. п. 13.1)  
коррозионную сто-

Высокая коррози-  
миния во влажной  
тельных и органиче-  
на с переходом в  
Однако в щелоч-  
с большой скорости  
кроме этого, подве-  
растрескиванию.

Все примеси и л  
алюминиевых спла-  
ляризуемость и, та-  
коррозионную с  
опасны, так как ус-  
электроположител  
сутствие железа и  
процента заметно  
ную стойкость ал  
п. 12.1), содержащие  
алюминий, высоко-  
ком-B95 и слож-  
АЛ6, АЛ32, жароп-  
по коррозионной с  
уступают чистому

Электроотрицатель-

торая на поверхности сплава быстро растворяется, и поверхность становится однофазной. Это объясняет высокую коррозионную стойкость сплавов АМг6, АЛ8 и АЛ27, которая лишь немного уступает стойкости чистого алюминия.

Алюминий и его сплавы чувствительны к контактной коррозии. При контакте с более электроположительными металлами Fe, Ni, Cu алюминий является анодом и разрушается. Для защиты алюминия стальные детали (болты) покрывают кадмием или цинком. Кадмий имеет такой же потенциал, как пассивированный алюминий, потенциал цинка более отрицателен. Алюминиевые сплавы, легированные медью, подвержены межкристаллитной коррозии. Для защиты от такой коррозии сплавы дополнительно легируют магнием, а листовые полуфабрикаты плакируют чистым алюминием.

Металлы, склонные к пассивированию, используют как легирующие элементы в сплавах. При определенном их содержании сплав приобретает склонность к пассивированию. Примером этому являются хромистые, хромоникелевые и хромомарганцевые коррозионно-стойкие стали.

При объемном и поверхностном легировании хромом ( $> 12,5\%$ ) железо, а также сталь становятся пассивными; коррозионный ток и скорость коррозии резко снижаются (рис. 14.4). При содержании свыше 17% Cr низкоуглеродистые стали приобретают однофазную

ферритную структуру, коррозионную стойкость ключает возможность термической обработки.

Дополнительное легирование никелем или марганцем таких же сталей позволяет получить термической обработкой аустенитную структуру с высокой коррозионной стойкостью, пластичностью и хорошей износостойкостью. Кроме этого, хромоникелевые стали обладают высокой коррозионной выносливостью, поэтому используются для изготовления нагруженных деталей машин, работающих в агрессивных средах.

*Хромистые стали* обладают высокой коррозионной стойкостью при температуре до 400°C в влажной атмосфере, в водной и речной среде (рис. 14.5) и многих других средах.

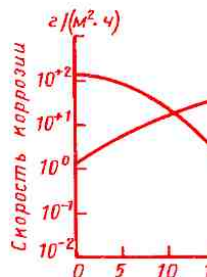


Рис. 14.5. Влияние концентрации кислоты на скорость коррозии стальных конструкций в различных растворах кислот

так. В морской воде они подвержены коррозионному растрескиванию.

Структура и свойства хромистых сталей зависят от количества хрома и углерода (табл. 14.2). Все хромистые стали, в которых хрома более 12,5 %, коррозионно-стойкие. При содержании хрома 13,17 и 25 % стали являются не только коррозионно-стойкими, но и жаростойкими. Стали, содержащие 13 % Cr, при нагреве и охлаждении претерпевают фазовое превращение  $\gamma \rightleftharpoons \alpha$  и поэтому могут упрочняться при помощи термической обработки, не теряя коррозионной стойкости. Прочность после закалки и отпуска, как видно из табл. 14.2, тем больше, чем больше в стали углерода. При отпуске обеднение твердого раствора хромом небольшое, поэтому коррозионная стойкость остается высокой.

Стали 12Х13 и 20Х13 хорошо свариваются, в отожженном состоянии пластичны, имеют повышенную ударную вязкость и могут подвергаться холодной обработке давлением. Стали 30Х13 и 40Х13 менее пластичны, подвергаются только горячей обработке давлением. При сварке эти стали могут давать трещины.

Сталь 12Х13 используют в изделиях, изготовленных штамповкой и сваркой: лопатки гидравлических турбин, емкости, арматура. Стали 20Х13 и 30Х13

применяются последовательно для деталей (шестерни, валы, прокладки), при больших циклах в коррозионной среде. Сталь 40Х13 по своим свойствам соответствует инструментальным. Она пригодна для гидравлического и бытового инструмента, а также шариковых колес, работающих в коррозионной среде.

**Хромоникелевые стали** аустенитного строения. В тех же средах, что и хромистые стали, но и при нагреве до 400–500 °C в морской воде эти стали устойчивы к гальванической коррозии, к

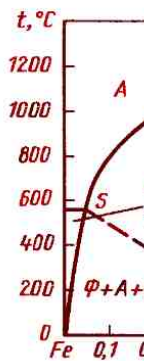


Рис. 14.6. Диаграмма состояния хромоникелевых сталей (18% Cr, 8% Ni).

полнительное легирование молибденом (табл. 14.3). В водяном паре при больших давлениях и повышенных температурах хромоникелевые стали подвержены коррозионному растрескиванию.

Большим достоинством хромоникелевых сталей аустенитного класса является хорошая технологичность в отношении обработки давлением и сварки, что определило возможность использования их как конструкционного материала.

Структура хромоникелевых сталей зависит от содержания углерода, хрома и никеля (рис. 14.6). Сталь с содержанием углерода 0,1% в результате медленного охлаждения приобретает многофазную структуру аустенита с небольшим количеством феррита и карбидов  $A + \Phi + K$ . Такая многофазная структура не обеспечивает хорошей коррозионной стойкости и пластичности. И то и другое можно получить закалкой стали из однофазной аустенитной области. Быстрое охлаждение в воде фиксирует структуру, которая была при нагреве, так как полиморфное превращение не успевает пройти, а избыточные фазы выделяются.

Однофазное закаленное состояние, при котором весь хром находится в твердом растворе, обеспечивает стали максимальную коррозионную стойкость

в окислительных средах. Структура придает стали высокую прочность ( $\sigma_b = 500 - 600$  МПа), эластичность ( $\sigma_e = 35 \div 45\%$ ), что позволяет им выдерживать холодной пластической деформации, в процессе которых они склеиваются и упрочняются, теряя при этом в коррозионной стойкости (рис. 14.7).

При нагреве закаленных сталей, согласно принципу, изображенному на рис. 14.6, распад аустенита по границам мелкодисперсных зерен хрома, в результате которого образуются хромом. Продолжение границы становится коррозионно-разрушающим фактором.

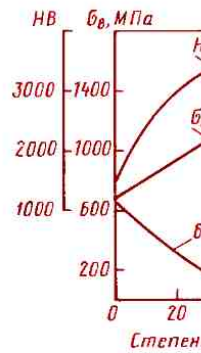


Рис. 14.7. Влияние пластической деформации на механические свойства

связывает весь углерод в карбид, а хром остается в твердом растворе. К таким элементам относятся титан, содержание которого должно более чем в 5 раз превышать содержание углерода, а также ниобий.

Стали 04Х18Н10, 08Х18Н10 и 12Х18Н10Т вследствие малого содержания углерода или дополнительного легирования титаном не склонны к межкристаллитной коррозии. Такие стали называют *стабилизированными*.

Сталь 17Х18Н9 склонна к межкристаллитной коррозии, поэтому после закалки ее нельзя нагревать выше 400°C, в частности, нельзя сваривать. Эти стали поставляют в закаленном, а также наклепанном состоянии с  $\sigma_b = 1000 \div 1200$  МПа и  $\delta = 20 \div 10\%$ .

Более дешевыми являются коррозионно-стойкие аустенитные стали, в которых дефицитный никель частично или полностью заменен марганцем и азотом (см. табл. 14.3). В результате закалки они приобретают однофазную аустенитную структуру и не уступают по коррозионной стойкости хромоникелевым сталим. Стали, не содержащие титан, склонны к межкристаллитной коррозии.

Аустенитные хромоникелевые и хромомарганцевые стали широко используют в конструкциях, изготавляемых из листовой стали штамповкой и сваркой (вакуумные камеры, оболочки, емкости, трубопроводы и т. п.), в самолето-, машино-, приборо- и судостроении, химической промышленности и др.

циал поверхности, коррозионной стойчины, но не вынос рждений. Если есть ная металл при на рого катода корро ли без покрытия.

Покрытия свинцом (свинец) для железа стали являются и олово более э металлы, чем же духа, неорганически окисляющих кислоты применяют в пищевой, а покрытие свинца промышленности.

Анодные покрытия более электроотрицательны, Разрушаясь, он предохраняет от коррозии. При медных покрытиях такое покрытие дополнительного анода, который имеет большую долю коррозии, является самым защищающим. Анодные покрытия от мосферной и морской коррозии, анеродными для листовых сталей являются кадмием.

Неметаллические покрытия состоят из веществ, имеющих макромолекулярным типом, по своим электрическим свойствам, аналогичным лектикам или полимерам. Вследствие большого количества

шаются при относительно небольших нагрузках. В некоторых случаях предпочитают изготавливать детали и элементы целиком из полимеров и пластмасс, что обеспечивает конструкции долговечность в эксплуатации.

## 14.2. Жаростойкие материалы

Конструкционные металлические материалы в процессе обработки и эксплуатации при нагреве в коррозионно-активных средах подвергаются химической коррозии и разрушению.

**Химическая коррозия.** Она развивается в сухих газах или жидких неэлектролитах. В большинстве случаев это кислородосодержащие газы: сухой воздух, углекислый газ, сухой водяной пар и чистый кислород. При химической коррозии поверхность металла окисляется.

Способность металла сопротивляться коррозионному воздействию газа при высоких температурах называют **жаростойкостью**.

Окисление включает несколько последовательно идущих этапов. Первым из них является адсорбция молекул кислорода из газовой фазы поверхностными атомами металла. При адсорбции выделяется теплота, которая вызывает диссоциацию молекул кислорода на атомы. Этот процесс сопровождается перераспределением электронов и ионизацией атомов: поверхностные атомы металла окисляются — теряют электроны (14.7); атомы кислорода восстанавливаются — захватывают электроны (14.8).

мическое средство к  $\Delta G_f^{\circ} < 0$ , то окисление

Приведенные ниже показывают, что золото и серебро при 298 К не окисляются, а никель и хром окисляются с образованием оксидов хрома.

Оксид . . . . Au<sub>2</sub>O  
 $\Delta G_{298}^{\circ}$ , кДж/моль +3

Скорость окисления определяется свойствами образовавшихся оксидов. Защитными свойствами являются плотные оксиды, имеющие объема  $\phi^*$  в пределах

При  $\phi < 1$  оксид рыхлый, т. е. кислорода к поверхности приводит к свободным. При отрыве от поверхности под влиянием больших напряжений, возникающих вследствие различий объемов оксида и металла, оксид отрывается и осыпается с поверхности, которая вновь окисляется.

Пленки, образующиеся на поверхности металла при температуре выше  $1000^{\circ}\text{C}$ , природными, обладают защитными свойствами, зависящими от их толщины (3–10 нм). Эти плотные пленки покрывают поверхность металла сплошным слоем, нарушающим кристаллическую решетку таких оксидов, как оксиды кремния и кремниево-алюминиевые, оксиды металла.

При нагреве растет толщина пленки, меняется его кристаллическая структура: решетка оксида, вступающего в взаимодействие с металлом, становится

\*  $\phi$  равно отношению площади оксида к площади кристаллической решетки, выраженному в единицах грамм-атому металла.

Рис. 14.8. Схема роста плотных оксидов

металла, но они имеют размерное и структурное соответствие. По мере удаления от поверхности металла кристаллографическая структура оксида все более отличается от решетки металла и на внешней поверхности приближается к решетке компактного оксида.

Оксиды металлов представляют собой промежуточные фазы с ионным типом связи. По сравнению со стехиометрическим составом, который отражает химическая формула, в решетке оксидов может быть избыток ионов металла или кислорода. Избыток создают либо ионы металла, расположенные в межузельных порах, либо вакансии в узлах решетки вследствие недостатка ионов металла или кислорода. Таким образом, кристаллографическая решетка оксидов переменного состава дефектна: чем больше вакансий или межузельных ионов, тем больше дефектность и хуже защитные свойства оксидов.

Исключением являются оксиды  $\text{CuO}$  и  $\text{Cr}_2\text{O}_3$ , которые практически бездефектны, а поэтому обладают хорошими защитными свойствами.

В рыхлых оксидах перемещение ионов кислорода к поверхности металла облегчено, поэтому скорость окисления велика.

В плотных оксидах перемещение ионов (обычно это ионы металла) затруднено и в зависимости от температуры окисления обеспечивается различными физическими процессами (рис. 14.8). При невысоких температурах ионы перемещаются в результате миграции под влиянием электрического поля, возникшего из-за перемещения электронов от внутренней поверхности оксида к внешней. При повышенных температурах

окисления  $E$ . Скорость изменяется по скорости изменения  $[g/(m^2 \cdot \text{ч})]$  или толщины  $(\mu\text{м}/\text{ч})$ .

Для металлов, у которых имеются химический состав, температурная зависимость окисления имеет нескончаемое количество кривых с разным наклоном, определяется защитные свойства оксидов в определенном температурном диапазоне. На рис. 14.9 показана температурная зависимость скорости окисления меди в водяном паре. В интервале температур  $10^{-7} - 10^{-3} \text{ г}/(\text{м}^2 \cdot \text{ч})$  происходит интенсивное окисление, сопровождающееся появлением дефектов в решетке (недостаток кислорода), а при температуре  $10^{-3} \text{ г}/(\text{м}^2 \cdot \text{ч})$  окисление прекращается и заменяется бездефектным окислением.

Температурные зависимости окисления металла определяются в условиях, соответствующих к эксплуатации, и характеризуют жаростойкость металла.

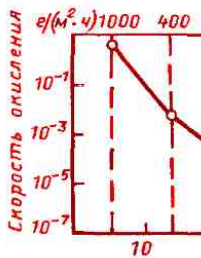


Рис. 14.9. Влияние температуры на скорость окисления меди на воздухе

скорость окисления. Изменение парциального давления кислорода оказывает более сложное влияние. Рост парциального давления кислорода ускоряет процесс коррозии металлов, образующих рыхлые оксиды, а также плотные оксиды с большим избытком кислорода. Коррозию железа усиливает наличие в газовой фазе  $H_2O$  и сернистых газов.

Внутренними факторами являются химический состав металла, структура и чистота обработки поверхности. Наибольшее влияние оказывает химический состав металла, который определяет кристаллическую структуру и защитные свойства оксида. Полированные поверхности окисляются медленнее, так как оксиды равномерны по толщине и поэтому более прочно сцеплены с поверхностью металла.

Сравнительная оценка жаростойкости чистых металлов по скорости окисления на воздухе в интервале допустимых рабочих температур приведена в табл. 14.4.

Очень плохая жаростойкость магния при температурах выше  $450^\circ C$  связана с образованием рыхлого оксида  $MgO$ , у которого коэффициент объема  $\phi = 0,79$ . В интервале температур  $500 - 600^\circ C$  скорость окисления магния лежит в пределах от  $10^{-1}$  до  $10^1 \text{ г}/(\text{м}^2 \cdot \text{ч})$ . Порошок магния бурно окисляется и самовоспламеняется при нагреве.

Оксиды металлов второй группы плотные, но их защитные свойства ухуд-

4	Хорошая	Al, Zn, Pb, Cr, Be
5	Отличная	Ag, Au

шаются при нагреве. Это объясняется тем, что для оксидов металлов  $N \leq \phi < 2,5$ , поэтому внутренние напряжения в них велики. Кремний и ванадий имеют низкие коэффициенты термического расширения и при нагреве не образуют кислород вспомогательных оксидов. Растворимости в них кислорода вспомогательных оксидов в кремнистых и ванадиевых сплавах от дальнейшего нагрева не изменяется. При высоких температурах выдержки кремний становится рыхлым. Оксид кремния в этом случае меняет окраску, становясь черным, и это происходит так же как и магний при нагреве в горанию даже от сильного света и ударам. Для титана и тантала скорость окисления в интервале температур  $500 - 600^\circ C$  лежит в пределах от  $10^{-1}$  до  $10^1 \text{ г}/(\text{м}^2 \cdot \text{ч})$ .

Металлы третьей группы отличаются тем, что в интервале температур  $500 - 600^\circ C$  они окисляются на воздухе с большой скоростью. Так, оксиды титана и тантала в интервале температур  $500 - 600^\circ C$  окисляются с большой скоростью, а оксиды ванадия и ниобия — с меньшей. Скорость окисления титана в интервале температур  $500 - 600^\circ C$  лежит в пределах от  $10^{-3}$  до  $10^{-1} \text{ г}/(\text{м}^2 \cdot \text{ч})$ , а оксиды ванадия и ниобия — в интервале температур  $700 - 800^\circ C$  — от  $10^{-1}$  до  $10^1 \text{ г}/(\text{м}^2 \cdot \text{ч})$ .

сительно высокие скорости окисления у металлов этой группы связывают с большой дефектностью образующихся при нагреве оксидов.

В процессе окисления железа и стали на поверхности растут несколько оксидов, у которых химический состав, кристаллографическая структура и защитные свойства различны.

Температурная зависимость скорости окисления железа на воздухе отражает изменения состава и структуры образующихся на поверхности оксидов (рис. 14.10). До 560 °С окисление идет медленнее, так как на поверхности образуются оксиды  $\text{Fe}_3\text{O}_4$  и  $\text{Fe}_2\text{O}_3$  с хорошими защитными свойствами. При дальнейшем нагреве эти оксиды вследствие большого коэффициента объема  $\phi$  растрескиваются. Единственным защитным оксидом становится  $\text{FeO}$  с худшими защитными свойствами. Именно по этой причине предельно допустимая рабочая температура нагрева на воздухе для чистого железа составляет 560 °С. Благодаря легированию эту температуру удается повысить до 1000–1200 °С.

Металлы четвертой группы Al, Zn, Sn, Pb, Cr, Mn, Be обладают хорошей жаростойкостью. Скорость окисления на воздухе в интервале температур 400–600 °С менее  $10^{-6}$  г/(м<sup>2</sup>·ч), а в интервале температур 700–800 °С составляет  $10^{-4}$ – $10^{-3}$  г/(м<sup>2</sup>·ч). Металлы этой группы, наряду с элементом Si, используют при жаростойком легировании.

**Жаростойкость сплавов.** Основным

составом основного металла является самым его дефектно-обогащенный оксид  $(\text{AB})_m\text{O}_n$ . Оксид имеет избыток металлических ионов (рис. 14.11, а), следовательно, большей валентной электронейтральностью  $3\text{A}^{2+} = 2\text{B}^{3+}$  и уменьшением радиуса ионов металла, которых оксиды имеют. Титан в узлах решетки может легировать элементами с меньшей валентностью. При этом происходит уменьшение числа ионов металла.

Хорошую жаростойкость обладают легированные сталей и сплавы, легирующий элемент которых имеет оксид  $\text{B}_m\text{O}_n$ , обладающий специальными свойствами, нежели оксид титана  $\text{A}_m\text{O}_n$ . Для облегчения легирования элемента

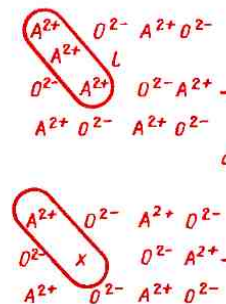


Рис. 14.11. Схема изображения дефектов оксидов при легировании: а — с избытком ионов металла

кристаллическую решетку типа шпинели (см. п. 1.3). В узлах решетки расположены ионы кислорода; ионы двух- и трехвалентного металлов, имеющие меньший ионный радиус, занимают межузельные поры. Переменный состав оксида объясняется наличием вакантных межузельных пор, по которым идет диффузия ионов металлов. Высокие защитные свойства двойных оксидов связывают с большой плотностью упаковки и малым параметром кристаллической решетки. Ионы легирующего элемента частично или полностью заменяют ионы металла. Такая замена уменьшает коэффициент диффузии и электрическую проводимость, тем самым улучшая защитные свойства оксида.

Жаростойкость промышленных алюминиевых сплавов, за исключением сплавов с магнием АМг3, АМг6, практически такая же хорошая, как у чистого алюминия, так как химическое сродство к кислороду алюминия больше, чем элементов Cu, Zn, Si, Mn, входящих в эти сплавы. Некоторое ухудшение жаростойкости в сплавах, структура которых неоднофазная, вызвано неоднородностью оксида  $Al_2O_3$  по составу и толщине. Алюминиевые сплавы типа АМг, содержащие магний, уступают чистому алюминию, так как в этих сплавах магний образует на внешней поверхности собственный рыхлый оксид  $MgO$ .

Жаростойкость магния удается повысить легированием. Небольшие добавки бериллия (0,02–0,05 %) улучшают жаростойкость и устраниют самовозгорание при технологической обработке. Сплавы магния с Mn, Zn и Al также более жаростойкие, чем магний.

несколько уступают Si.

#### Титановые сплавы

более активно, поэтому защитные свойства не образуются тана при легировании для  $\alpha$ -сплавов, ни Повысить жаростойкость можно повысить легирование алюминием и кремнием. Распространение титана в верхностном легировании получил хром, что доходит до 30 %. Установление хрома в сталь при высокой температуре, выявление парциального содержания хрома в стальном тела содержит хром. Легированные сплавы меняются оксидами, что способствует повышению жаростойкости углеродистой стали. Добавление хрома при нагреве в ферритную структуру, вследствие работы при нагреве кристаллы феррита провождается понижением ударной вязкости. Такого охрупчивательно легируют элементами (например, бором), затрудняют. Химический состав стойких сталей пред-

и 15Х25Т ферритного класса (в структуре преобладает феррит) нежаропрочны, поэтому их используют в изделиях, которые не испытывают больших нагрузок, особенно ударных. Свойства сталей приведены для отожженного состояния. Сплавы 20Х23Н18 и 20Х25Н20С2 аустенитного класса не только жаростойки, но и жаропрочны. Свойства их даны для закаленного состояния. Области применения жаростойких сталей и сплавов указаны в табл. 14.6.

В сталях содержание алюминия и кремния в отличие от хрома ограничено, так как эти элементы охрупчивают сталь и ухудшают технологические свойства при обработке давлением. Этот недостаток можно исключить, если их вводить совместно с хромом или использовать при поверхностном леги-

и Х23Ю5Т, легированные алюминием, такие как Х20Н80, используемые с повышенным легированием (см. п. 17.1).

Низкая жаростойкость металлов Mo, W, Ti, имеющие затруднения в применении в качестве жаропрочных сплавов. Применение вакуумной плавки и термической обработки в плазме позволяет в некоторых металлических конструкциях избежать трудностей, связанных с применением тугоплавких элементов. Введение титана способствует повышению температуры плавления для повышения жаростойкости. Титан может быть эффективным элементом для повышения жаростойкости. Можно использовать тугоплавкие элементы в сочетании с другими элементами, чтобы повысить жаростойкость.

ТАБЛИЦА 14.6. Жаростойкие стали и сплавы, применяемые в электропечах

Марка	Рабочая температура, °С	Назначение	
Х13Ю4	900—950	Электронагреватели печей	Прототип
Х23Ю5Т	1350—1400		1270
Х20Н80	1050—1100		Легированная
15Х25Т	800—1000	Малонагруженные детали печей	Листовая
20Х23Н18	800—1000	Муфели, направляющие, детали вентиляторов, конвейеров и рольгангов печей	Сортировочная (ГОСТ)
20Х25Н20С2	950—1050	Муфели, ролики рольгангов, подовые плиты и другие детали печей, работающие в углеродосодержащей среде	Технологическая

и других машин нагреваются до высоких температур и несут большие нагрузки. Условия работы деталей весьма разнообразны; решающее значение при выборе материала имеют температура, длительность работы под нагрузкой и величина напряжений. Например, паросиловые установки работают сотни тысяч часов, а ракетные двигатели – всего несколько минут. В одних случаях температуры участков деталей очень высоки и близки к температуре плавления сплава, в других – они лишь незначительно выше  $0,3 T_{пл}$ . При высоких температурах ускоряются диффузионные процессы, изменяются исходная микроструктура и механические свойства материала.

Нагрев ослабляет межатомные связи, при высоких температурах уменьшаются модули упругости, временное сопро-

тивление, предел прочности. Чем ниже  $T_{пл}$  основного металла, тем ниже его температуры (рис. 14.12).

При длительном воздействии на деталь высоких температур ее предел прочности определяется длительными процессами. Для этих процессов предел прочности определяется пределом текучести, который в свою очередь зависит от температуры.

Ползучесть предела текучести определяется нарастанием деформации под действием постоянной нагрузки. Для этих процессов предел прочности определяется пределом текучести, который в свою очередь зависит от температуры. Вторая стадия ползучести характеризуется постоянной скоростью деформации. Третья стадия – это стадия разрушения, как правило, для деталей из тугоплавких металлов. Третья стадия ползучести, как правило, для деталей из тугоплавких металлов, как в этом случае, не приводит к разрушению.

Относительное удлинение при разрушении зависит от температуры. При одном и том же повышении температуры

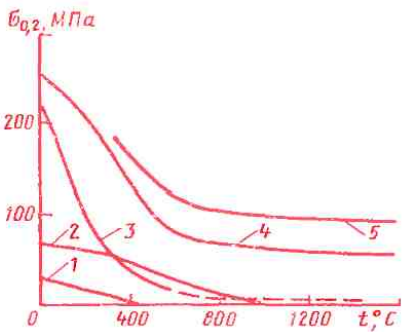


Рис. 14.12. Зависимость предела текучести металлов от температуры  
1 – Al; 2 – Cu; 3 – Ti; 4 – Ta; 5 – W

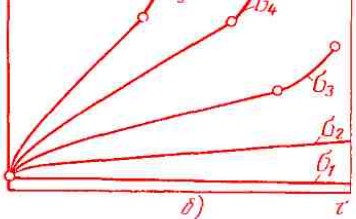


Рис. 14.14. Зависимость ползучести от температуры (а) и напряжений (б):

$$t_1 < t_2 < t_3 < t_4 < t_5 < t_6; \sigma_1 < \sigma_2 < \sigma_3 < \sigma_4 < \sigma_5$$

кращает продолжительность второй стадии и ускоряет разрушение (рис. 14.14, а). Аналогично влияет повышение напряжения при неизменной температуре испытания (рис. 14.14, б).

Предел текучести, определяемый при кратковременных испытаниях, не может быть критерием жаропрочности, так как он не учитывает поведение материала при длительном нагружении. Критериями жаропрочности являются предел ползучести и предел длительной прочности.

*Пределом ползучести называется напряжение, под действием которого материал деформируется на определенную величину за определенное время при заданной температуре.* В обозначении предела ползучести указывают температуру, величину деформации и время, за которое она возникает. Например,  $\sigma_{1/100000}^{550} = 100$  МПа означает, что под действием напряжения 100 МПа за 100 000 ч при температуре 550 °С в ма-

териала в процессе нагружения при высоких температурах предела прочности не кратковременных испытаний же температуре.

Ползучесть металлов характеризует сацию напряжений, при которых нагруженных деталей при заданных температурных условиях не изменяются неизменные и других крепежных элементов, находящихся в натягах и т. д. Установлено, что для нагруженной детали сумма упругой и пластической деформаций в начальном периоде экспериментальной деформации неизменна. Например, в затянутом состоянии при температуре  $t$  предел текучести  $\sigma_0 = E_t \varepsilon_0$  (где  $E_t$  — модуль упругости при температуре  $t$ ). При дальнейшем нагружении пластической деформации становятся больше упругой деформации, и в результате этого предел текучести становится меньше  $\varepsilon_0$ . Следовательно, при дальнейшем нагружении неизменная величина  $\sigma_0$  становится напряжением, при котором происходит разрушение. Следовательно, предел ползучести не что иное, как деформация, соответствующая напряжению, при котором происходит разрушение.

Критерием сопротивления разрушению является падение напряжения до нуля —  $\sigma_t$  за время  $t$  при температуре  $t$ .

Большинство жаропрочных материалов поликристаллического строения в кратковременных испытаниях деформируются в результате пластической деформации, что обусловлено тем, что в кристаллах деформации передаются от одного кристалла к другому благодаря

ла. Нагрев ускоряет диффузионный приток вакансий и облегчает переползание.

Зернограничное скольжение представляет собой сдвиг зерен друг относительно друга вдоль общих границ в узкой пограничной области. Скольжение развивается под действием касательных напряжений. Деформация скольжения тем больше, чем мельче зерна.

Диффузионный перенос связан с перемещением вакансий вдоль границ и внутри зерен. Под действием растягивающих напряжений уменьшается энергия образования вакансий. На границе между двумя растянутыми зернами (рис. 14.15) концентрация вакансий увеличивается и они перемещаются в зоны, где их концентрация меньше. Потоку вакансий соответствует встречный поток атомов, поэтому у растянутых границ количество атомов увеличивается и зерна удлиняются. Перенос атомов происходит и по объему зерен, однако вклад объемной диффузии незначителен и играет роль лишь при высоких температурах около  $0,9 T_{\text{пл}}$ , а действие зернограничной диффузии существенно уже при температурах  $0,4\text{--}0,6 T_{\text{пл}}$ .

Когда между перемещением дислокаций, зернограничным скольжением и диффузионным переносом нет соответствия, на границах зерен появляются поры и быстро наступает разрушение.

Для обеспечения жаропрочности требуется ограничить подвижность дислокаций и замедлить диффузию. Это до-

стигается повышенной концентрацией тормозных связей, создаваемой для перемещения дислокаций в зернах и на их границах, а также межзеренных фаз внутри зерен.

Основной путь повышения прочности — создание в зернистой структуре с помощью пределением мелких зерен и введением в них фаз внутри зерен.

Многофазная структура, состоящая из частицами упрочняющей фазы, получается при помоле металлического порошка, а во многих случаях — после закалки и отпуска. При нагревании оптимальные соотношения жаропрочных сталей определяются комплексным химическим составом и сложнее обычных сплавов.

Прочность металлов у большинства материалов для обеспечения жаростойкости и жаропрочности, носимые в результате диффузорного упрочнения, определяется до температуры плавления твердого раствора. Материалы со стабильным твердым раствором по жаропрочности уступают материалам с дисперсными частицами.

Упрочняющими добавками в жаропрочных сплавах с ГЦК решеткой являются

шений идеалом являются монокристаллы, у которых совсем нет границ зерен. Однако производство деталей со структурой монокристалла сложно, особенно лишь для отдельных деталей, и практически приходится иметь дело с поликристаллическими материалами. Для улучшения их жаропрочности требуется упрочнение границ зерен. С этой целью в жаропрочные стали и сплавы вводят малые добавки (0,1–0,01 %) легирующих элементов, которые концентрируются на границах зерен. Эти элементы замедляют зернограницочное скольжение и нейтрализуют действие вредных примесей. Особенно часто для упрочнения границ используют бор, церий и другие редкоземельные металлы. Границы зерен в никелевых жаропрочных сплавах упрочняют карбидами, добавляя с этой целью в сплавы около 0,1 % С.

Дополнительными мерами повышения жаропрочности служат: 1) термомеханическая обработка; 2) увеличение прочности межатомной связи в сталях, когда благодаря легированию ОЦК решетка заменяется ГЦК решеткой; 3) создание анизотропной структуры.

Термомеханическую обработку применяют для получения структуры полигонизации. Такая структура устойчива при нагреве в отличие от структуры на клепанного металла. Полигонизация повышает сопротивление ползучести, так как малоугловые границы в зернах мешают передвижению дислокаций. Одна-

стали с ОЦК решеткой. Анизотропную структуру из жаропрочных сплавов получают направленной кристаллизацией же способом, что и композиционные материалы.

**Основные группировки материалов.** Перлитные и аустенитные жаропрочные стали находятся при температуре и по масштабам применения на ведущее место. Ниже приведены основные особенности обычных жаропрочных сталей.

Жаропрочные сплавы на основе никеля, магния и титана не находят широкого применения, однако они менее чувствительны к температуре и пользуются при температуре до 300–350 °С (исключая сплавы САП, их температура применения 500–550 °С); сплавы на основе никеля 300–350 °С; сплавы на основе магния 500–600 °С. Указанные температуры являются на более высокие температуры, указанные там, где из-за специфических эксплуатационных требований приходится использовать обычные жаропрочные стали и нельзя применять более высокой температуры.

Сплавы на основе никеля и титана имеют жаропрочнее стеклообразование никеля применительно к температуре 700–1000 °С, а композиционные сплавы получили широкое применение из-за дефицитности никеля.

МЛ19 На основе титана:	1,6–2,3Nd; 0,6Zn; 0,7Zr; 1,7Y	250–
BT3–1	6Al; 2,5Mo; 0,5Fe; 0,25Si	350–
BT6	6,25Al; 4V	400–
BT8	6,5Al; 3,3Mo; 0,3Si	450–
BT9	6,5Al; 3,3Mo; 0,25Si; 1,6Zr	500–
BT18	7,5Al; 11Zr; 0,7Mo; 1Nb; 0,3Si	550–

Материалы высокой жаропрочности, применяемые при температуре выше 1000 °C, – это тугоплавкие металлы и их сплавы, керамика на основе SiC и  $\text{Si}_3\text{N}_4$ , графит.

**Перлитные стали.** Эти стали предназначены для длительной эксплуатации при температурах 450–580 °C и используются главным образом в котлостроении. Критерием жаропрочности для них является предел ползучести с допустимой деформацией 1% за  $10^4$  или  $10^5$  ч. Жаропрочность перлитных сталей обеспечивается выбором рационального химического состава и полученной в результате термической обработки структурой легированного феррита с равномерно распределенными в нем частицами карбидов.

Перлитные жаропрочные стали являются низкоуглеродистыми, содержат от 0,08 до 0,15% С (иногда содержание углерода повышают до 0,2–0,3%) и не более 2–3% карбидообразующих элементов, из которых самые важные – молибден, хром и ванадий (табл. 14.8) (12Х1МФ, 25Х2М1Ф).

Оптимальной термической обработкой являются нормализация после на-

грева до  $\sim 1000^\circ\text{C}$  пуск при температуре 2–3 ч.

Для перлитных особенно важна структуры и свойства, вленные из них трещины теплоэнергетических турбин на протяжении годами. В результате основная масса металла остается в феррите, а углерод – в карбидах.

В условиях длительной эксплуатации в перлитных стальях происходит выделение химического соединения – карбидов; сфероидизация карбидов; графитизация карбидов с выделением графита.

Особенно опасны карбиды марганца, как образование карбидов марганца приводит к аварийным разрушениям. Марганец устойчив против карбидов марганца, а наименее стабильны карбиды ванадия. Для предотвращения отпуск после нормализации ванадиевые стали подвергают термическую обработку и стабилизируют карбидами.

15Х1М 40Х10С2М	Перлитные стали	До 0,12%; 0,4C; 10Cr; 2,2Si; 0,8Mo	650	850	
15Х11МФ		0,15%; 11Cr; 0,7Mo; 0,3V	550—580	750	
11Х11Н2В2МФ		0,11C; 11Cr; 1,7Ni; 1,8W; 0,4Mo; 0,25V	600	750	
12Х18Н10Т	Аустенитные стали	До 0,12C; 18Cr; 10Ni; 0,5Ti	600	850	
45Х14Н14В2М		0,45C; 14Cr; 14Ni; 2,4W; 0,3Mo	650	850	
10Х11Н20Т3Р		До 0,10C; 11Cr; 20Ni; 2,6Ti; 0,02B	700	850	
XH77TЮР	Никелевые сплавы	До 0,07C; 20Cr; 2,6Ti; 0,8Al; до 0,01B	750	1050	
XH55BMTKЮ		0,10C; 10Cr; 5Mo; 4,9W; 14Co; 4,5Al; 1,6Ti	950	1050	
ЖС6К		0,17C; 11,5Cr; 4Mo; 5W; 5,5Al; 4,5Co; 2,7Ti; до 0,02B	1050	1050	

\*  $\sigma_{100}$   
 \*\*  $\sigma_{50}$   
 \*\*\*  $\sigma_{1/1000}$   
 \*\*\*\*  $\sigma_{1000}$

Перлитные стали пластичны в холодном состоянии, удовлетворительно обрабатываются резанием и свариваются. По теплопроводности и тепловому расширению они близки к обычным конструкционным сталям.

Стали, содержащие 0,12–0,15% С, используют в паросиловых установках для изготовления труб пароперегревателей, паропроводов и других деталей, температура эксплуатации которых не превышает 570–580 °С.

Перлитные стали держанием углерода в ропрочности уступают с содержанием 0,12–0,15%, и поэтому влены максимальной эксплуатации этих сталей изготовлены нокованые роторные и транспортных паровые пружины и крепежные стали широкого

шией 0,1% за  $10^7$  ч или 1% за  $10^8$  ч.

Различают две группы мартенситных сталей: с содержанием 10–12% Cr, добавками Mo, V, Nb, W и низким, в пределах 0,10–0,15%, содержанием углерода; сильхромы с содержанием 5–10% Cr, добавками кремния в количестве до 2–3% и повышенным содержанием углерода до 0,4%.

Стали первой группы используют в термически обработанном состоянии. Оптимальная термическая обработка заключается в закалке или нормализации после нагрева до 950–1100°C (для растворения карбидов) и отпуске при 600–740°C. Структура термически обработанной стали — смесь легированного феррита и мелких карбидов — обеспечивает необходимую жаропрочность, со- противление коррозии и релаксационную стойкость. Благодаря высокому содержанию легирующих элементов стали глубоко прокаливаются даже при нормализации (до 120–200 мм) и поэтому более пригодны для деталей крупных сечений, чем перлитные стали. При высоком содержании хрома (10–12%) и других ферритообразующих элементов и низком содержании углерода стали становятся мартенситно-ферритными. Количество неупрочняемого при термической обработке феррита невелико, по жаропрочным свойствам мартенситные и мартенситно-ферритные стали близки. При длительной эксплуатации они могут применяться до температуры 600°C. Мартенситные ста-

и отпускают при  
ше содержание хр  
ли, тем выше ее  
Жаропрочность с  
применять их при  
ше 600–650°C; при  
виях эксплуатации  
двигателей изгото  
сталей. Сильхром  
гих легирующих  
зуются не только  
лей, но и для кре  
ров. Технологичес  
мов хуже, чем  
Особенно затрудн  
подогрев перед св  
термическая обра

*Аустенитные ста*  
ропрочности пре  
и мартенситные с  
при температуре  
новые легирую  
и никель. Соотн  
и железом выбира  
чить устойчивый а  
к фазовым превр  
кель заменяют др  
зующими элемент  
том. Ферритооб  
Mo, Nb, Ti, Al, W  
для повышения  
образуют карбиды  
фазы. Аустенитны  
правило, ~0,1% с  
держание повыше

Аустенитные жа  
разделяют на сле

в теплоэнергетике (например, 12X18H10T).

Жаропрочность однофазных сталей увеличивают при помощи наклепа, пользуясь тем, что температура рекристаллизации аустенитных сталей высока ( $\sim 1000^{\circ}\text{C}$ ). Другой путь повышения жаропрочности — создание полигонизированной структуры. Сталь после небольшой пластической деформации (до 20%) нагревают для перераспределения дислокаций и образования малоугловых гранец в зернах. Оба вида обработок применимы лишь для деталей наиболее простой формы, например, турбинных дисков.

Аустенитные стали с карбидным упрочнением обычно содержат несколько карбиообразующих элементов: W, Mo, Ti, Nb, V, а также бор — для обеспечения наивысшей жаропрочности. Из-за высокого содержания ферритообразующих элементов содержание никеля повышают до 14 %. Оптимальная структура получается после закалки от 1100–1150 °C и старения полученного аустенита при 700–800 °C для выделения карбидов.

Аустенитные стали с интерметаллидным упрочнением — самые жаропрочные. Для повышения жаропрочности аустенита стали легируют Cr, Mo, W, добавки Al, Ti, Nb и Ta служат для формирования выделений упрочняющей фазы типа  $\text{Ni}_3\text{Al}$ . Их упрочняют закалкой и старением. Например, сталь 10X11H20T3P закаливают от

службы детали и, няют охрупчивание первоначальные св

Аустенитные ста шой пластичности ваются, однако п литными стальми ваются давлением

Жаропрочные ни сплавы содержат 10–12 % Cr и такие Mo, V, Co, Al, Ti,

Mo, W, Co, Cr у твердый раствор и Ti вместе с никелем стабильную  $\gamma'$ -фазу, как и матричный углерод в количестве мириует дисперсные зерна.

Термическая обработка закалка нагревают до 1150 °C для получения однородного раствора на воздухе. За время охлаждения твердого раствора из-за пределение атомов образуются мальчищенные эти зерна. В этих объемах  $\gamma'$ -фазы, когерентно с твердым раствором,  $\gamma$ - и  $\gamma'$ -фазы отличаются всего на  $\sim 0,1\%$ , метастабильная структура при высоких температурах 20 000–30 000 ч.

других ствественных деталей современных газотурбинных двигателей, эти сплавы применяют для изготовления штампов и матриц горячего деформирования металлов. Они используются при температурах от 750°C, а температура 950–1000°C является для них максимальной. В наиболее жаропрочных сплавах, содержащих около 10% Cr, недостаток жаростойкости исправляется химико-термической обработкой деталей, в частности, аллитированием и хромоаллитированием. Жаропрочные никелевые сплавы с трудом подвергаются горячему деформированию и резанию. Как и аустенитные стали, эти сплавы имеют низкую теплопроводность и значительное тепловое расширение.

*Тугоплавкие металлы и сплавы* включают обычно металлы, у которых температура плавления превышает 1700 °С.

Наибольшее применение получили металлы VA подгруппы – ванадий, ниобий, tantal и металлы VIA подгруппы – хром, молибден, вольфрам. Тугоплавкие металлы имеют прочные межатомные связи и отличаются высокими температурами плавления, малым тепловым расширением, небольшой теплопроводностью, повышенной жесткостью.

Однако при высоких температурах все важнейшие тугоплавкие металлы (за исключением хрома) быстро окисляются. Низкая жаростойкость — большой недостаток тугоплавких металлов.

По совокупности свойств тугоплавкие

Гальванические методы действуют с парами кислородом, азотом, таллы VA подгруженным, с которым гидриды.

Металлы VA по высокую растворимости внедрения, поэтому при не примесей технического состояния остаются пластичными при  $25^{\circ}\text{C}$  вплоть до  $-196^{\circ}\text{C}$ . Содержание примесей и эти металлы. Так, например, при нагреве на воздухе при  $400^{\circ}\text{C}$  они становятся хрупкими. Когда концентрация внедрения превышает определенное значение, рекристаллизация вновь восстанавливает хрупкость металла. При этом концентрация примесей внедрения определяет температуру рекристаллизации. Время рекристаллизации определяется концентрацией примесей внедрения и температурой.

с примесями внедрения и выходит из твердого раствора. Образовавшиеся частицы соединений вредного влияния на пластичность не оказывают. Легирование молибдена или вольфрама рением резко понижает температуру хрупкости, сплавы вольфрама с рением пластичны при температуре 25 °С. Однако рений — очень дефицитный металл.

Наклеп понижает температуру перехода в хрупкое состояние благодаря изменению тонкой структуры и характера взаимодействия примесей с кристаллической решеткой в наклепанном металле. По сравнению с хрупкими отожженными металлами — молибденом и вольфрамом — высокопрочные наклепанные проволоки и ленты из этих металлов не хрупки и при 25 °С сохраняют пластичность, достаточную для их успешной навивки и гибки при изготовлении изделий.

ТАБЛИЦА 14.9. Механические свойства тугоплавких металлов

Металл	При 25 °С				HB
	$\sigma_B$	$\sigma_{0,2}$	$\delta$	$\psi$	
	МПа		%		
Ванадий	200—220	100—115	25	75	80
Ниобий	200—350	120—260	25—50	60—100	50—80
Тантал	200—400	180	50—70	95	90—125
Хром	270	190	0—3	0	90—100
Молибден	800—900	420—450	10—15	—	150—170
Вольфрам	600—1100	—	0	0	360—400

Примечания: 1. Значения приведены для металлов технической золованном состоянии.

2. Механические свойства ванадия приведены для температуры 1000 °С.

никоатрующий (никоний, ниобий, мартантал, рений) в них чтобы при увеличении снизить пластичности другие свойства.

Сплавы второй группы вышенное количество дообразующие элементы сплавов этой группы зой являются карбидами внутри зерен ванадия и хрома прочны. Тем не менее 800—1000 °С сплавы железные и никелевые на основе хрома блести применимы 1000—1100 °С.

Сплавы на основе хрома способны до 1300 °С, в работе выдер-

BX1 (до 1Y)	270	190	3	80	—	24
BX2 (0,15 Ti; 0,2 V; 1 Y)	350	240	3	250	30	65
BX4 (32 Ni; 0,15 Ti; 0,25 V, 1,5 W)	950	800	8	240**	12**	
На основе молибдена:						
BM1 (0,4 Ti; < 0,01 C)	800	680	10	340	14	80-
BM3 (1,1 Ti; 0,5 Zr; 0,4 C; 1,4 Nb)	800— 860	—	0,03	550	12	250
Mo + 40 Re	840	—	2—8	130***	—	
На основе вольфрама:						
W + 27 Re	1400	—	4	700	12***	42
W + 15 Mo	—	—	—	175	27****	

\* При 2000 °C.

\*\* При 1000 °C.

\*\*\* При 1500 °C.

\*\*\*\* При 1600 °C.

до 1500 °C. Их достоинство — небольшая плотность.

Сплавы на основе молибдена работоспособны до 1300–1400 °C, на основе тантала — до 2000 °C, а на основе вольфрама — до 2000–2200 °C (табл. 14.10). При температурах до 1900–2000 °C многие сплавы на основе тугоплавких металлов более жаропрочны, чем вольфрам. Выше температуры 2000–2500 °C нелегированный вольфрам является самым жаропрочным металлом.

**Неметаллические жаропрочные материалы.** Графит и специальная керамика — наиболее важные неметаллические материалы, пригодные для службы при температурах выше 1000 °C. В этих материалах преобладает ковалентный тип связи, и поэтому лишь при температурах выше  $0,8T_{пл}$  быстро теряются жаропрочные свойства.

Графит — один из материалов высокой кальциевой особенности. Увеличение модуля упругости при нагреве от 2200–2400 °C происходит максимумом, при более высоких температурах прочность уменьшается. Графит гоняется при температуре 2300–2900 °C. При нагреве графита до 1000 °C он хорошо проводит тепло, но неустойчив против коррозии. Ползучесть у графита при температуре выше 1000 °C определяется небольшой величиной. При температурах 2300–2900 °C и напряжениях 30–10 МПа наблюдается статком графита при окислении, уже при температуре 520–560 °C потеряется способность к восстановлению.

( $\text{Si}_3\text{N}_4$  – до 1500 °C,  $\text{SiC}$  – до 1800 °C), стойки против коррозии и эрозии, не боятся перегрева и не нуждаются в принудительном охлаждении. В отличие от графита керамика меньше подвержена окислению и в несколько раз прочнее. Керамика изготавливается из недефицитных материалов. К недостаткам высокотемпературной керамики относятся хрупкость, сложность получения плотного беспористого материала и трудности изготовления деталей. В отличие от керамики графит легче прессуется в горячем состоянии и хорошо обрабатывается резанием.

#### 14.4. Хладостойкие материалы

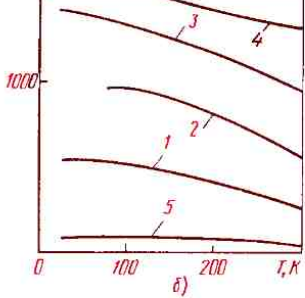
Хладостойкими называют материалы, сохраняющие достаточную вязкость при низких температурах от 0 до  $-269^{\circ}\text{C}$  ( $273-4\text{ K}$ ).

Воздействию низких температур подвергаются стальные металлоконструкции (полотно железных дорог, трубы газо- и нефтепроводов, мосты и др.), строительные машины, автомобили, вагоны в северных районах страны, охлаждаемые до температур климатического холода ( $-60^{\circ}\text{C}$ ); обшивка самолетов, детали ракет и космических аппаратов, охлаждаемые от 0 °C до температуры жидкого кислорода ( $-183^{\circ}\text{C}$ ); специальное оборудование физики низких температур, детали, узлы и трубопроводы холодильной и криогенной техники, ко-

стиве хладноломкость – свойство ма- кость, хрупко разру- нии температуры. рактерна для жеle и сплавов с ОЦК Хладноломкость эта- нивается температу- ноломкости  $t_{50}$  (см- дежной работы ма- обеспечить темпе- ратусти. Это достигает- пературный порог териала расположе- его эксплуатации. На на температурного висит от факторов, ность к хрупкому ре- концентраторов на- нагружения, разме- больше температур тем меньше опаснос- шения материала, ин- ционная надежность.

Металлы и сплавы а также титан и его штакеткой не имеют п- сти; при охлаждении кость уменьшается стойкость таких ма- ся температурой, п- вязкость не менее 0 (рис. 14.16).

Кроме критериев и  $t_{KCU-0,3}$  основание- риала служат також- сти ( $\sigma_b$ ,  $\sigma_{0,2}$ ), физич-



**Рис. 14.16.** Зависимость ударной вязкости (а) и предела текучести (б) конструкционных материалов от температуры:

1 – сталь 12Х18Н10Т, закалка в воде от 1100 °С; 2 – сталь ОН9, закалка в воде от 980 °С, отпуск при 600 °С; 3 – сплав ВТ5 – 1, отжиг при 750 °С; 4 – сталь 03Х9К14Н6М3Т, закалка на воздухе от 950 °С, старение; 5 – сплав АМг5, отжиг при 400 °С

ские свойства, совместимость с окружающей средой, стоимость материала. Важным критерием хладостойкости является критерий  $K_{1c}$  – вязкость разрушения в условиях плоской деформации. Однако недостаток данных о значениях  $K_{1c}$  при низких температурах пока ограничивает его применение при выборе материалов.

Из физических свойств материала наиболее важны тепловое расширение, теплопроводность, теплоемкость. Чем меньше тепловое расширение материала, тем меньше термические напряжения в деталях и конструкциях при термоци-

ходите на рабочий

Наиболее важные свойства – свариваемость. Сварку проводят в производстве конструкций криогенной арматуры необходима способность тонких листов и труб, менее склонных к хрупкому разрушению, чем массивные.

Совместимость с окружающей средой определяется взаимодействием материала с кислородом и водородом, наиболее распространенные способы защиты – пассивация и гидроизоляция. В промышленности возможно восстановление износа металлов (титана, алюминия, магния). Водород растворяется в металлах и вызывает коррозию, особенно с ОЦК решеткой титана.

**Основные группы конструкционных материалов.** Основными конструкционными материалами являются стойкие к коррозии материалы: углеродистые стали, нержавеющие стали с различной структурой, алюминий, магний, сплавы на основе алюминия (АМц, АМг, АМг5), различные сплавы (ВТ1, ВТ5, ВТ10, ВТ12, ВТ14), полимеры (полиэтилен, полипропилен, поливинилхлорид, полиамиды, пористый полимер), силикона, уретан). Среднеустойчивые стали, а также стареющие стали применяются редко, когда требуется высокая коррозионная стойкость и твердость.

работы являются уменьшение содержания углерода, создание мелкозернистой структуры (размер зерен 10–20 мкм), понижение содержания вредных примесей и их нейтрализация добавками редкоземельных металлов, а также ванадия, ниобия, титана, легирование никелем и применение термического улучшения (рис. 14.17).

Основное применение получили низкоуглеродистые стали, так как с увеличением содержания углерода повышается порог хладноломкости и ухудшается свариваемость стали.

Стали обыкновенного качества (табл. 14.11) – спокойные, полуспокойные и кипящие – применяют для разнообразных изделий, включая сосуды, работающие под давлением. Минимальная рабочая температура этих сталей без специальной обработки для низкотемпературной службы ограничивается

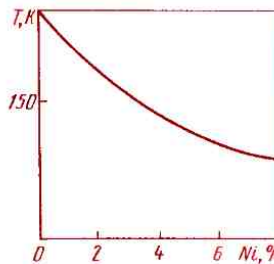


Рис. 14.17. Зависимость порога хладноломкости ( $t_{50}$ ) никелевых сталей с 0,05% С от содержания никеля

низколегированная  
типа 09Г2С  
никелевая:  
с 6% Ni (0H6)  
с 9% Ni (0H9)  
маргансино-стареющая 03Х9К14Н6М  
аустенитная:  
хромомарганцевая  
03Х13АГ19  
хромоникелевая  
12Х18Н10Т

Инвар 36Н  
Алюминий и его сплавы: АД1, АМц  
с магнием (АМг1, АМг5)  
дюралюминий (Д)  
высокопрочные (типа В95)

Сплавы на основе титана:

ВТ5—1  
ВТ3—1

Медь и ее сплавы:  
М1р, М2р, М3р  
БрАЖН10—4—4  
Л63, ЛЖМц59—1—1  
БрБ2

–20 °C (см. табл. 14.11). Сталь находится в пределе, так как у них порог хладноломкости выше, чем у спокойных сталей.

Комплексом мероприятий для улучшение металлургической структуры, мельчение зерна и т. д. удается снизить до минимума опасность эксплуатации этих сталей.

родистых сталей используют среднеуглеродистые улучшаемые и пружинные стали (45, 40Х, 65Г, 60С2А). Минимальная рабочая температура для них установлена  $-50^{\circ}\text{C}$ .

Стали с никелем имеют лучшую хладостойкость; стали 12ХН3А и 18Х2Н4МА после термического улучшения применяют до температуры  $-196^{\circ}\text{C}$ .

*Никелевые стали OH6 и OH9* содержат не более 0,05 % С, их применяют в улучшенном состоянии (закалка или нормализация от  $830\text{--}900^{\circ}\text{C}$  и отпуск при  $600^{\circ}\text{C}$ ). Стали имеют мелкозернистую структуру, вязки, пластичны, хорошо свариваются. По сравнению с аустенитными сталями они прочнее, лучше проводят теплоту и почти вдвое дешевле. Тепловое расширение никелевых сталей также меньше. Эти стали используют для крупных конструкций, включая танкеры для перевозки сжиженных газов. Посредственная стойкость против атмосферной коррозии — недостаток никелевых сталей.

*Аустенитные стали с ГЦК решеткой* сохраняют высокую пластичность и вязкость ниже  $-196^{\circ}\text{C}$ . Переход аустенита в мартенсит при низких температурах нежелателен: увеличиваются размеры деталей, появляется склонность к хрупкому разрушению. Стабильность аустенита обеспечивают повышением содержания аустенитообразующих элементов (Ni, N, Mn) свыше 15 %.

Недостаток аустенитных сталей — низ-

Применение инвара достаточной коррозионной и высокой стоимостью.

*Мартенситно-сталь* (см. табл. 14.11) использует в холодильных машинах, клапанах и др.), повышенная прочность.

*Хладостойкий никелий и его сплавы* отличаются высокой хладноломкостью, остающейся при температурах  $-253^{\circ}\text{C}$ . В сжидении  $\sigma_{\text{в}}$  у них повышается на 15–25 %, а удельный вес — нотонно уменьшается на 0,2 МДж/м<sup>2</sup> (см. табл. 14.12). Стойкость разрушения  $I_c$  при температуре  $-196^{\circ}\text{C}$  уменьшается, а это означает, что никелевые сплавы при температуре  $-196^{\circ}\text{C}$  становятся чувствительны к разрушению (значительной концентрации алюминия при же- лезе). Несмотря на это, элементов конструкции, имеющие значительные напряжения. Для их снижения применяют компенсаторы в виде отдельные части конструкции, горловины которых изготавливают из материалов с различной проводимостью, например, из аустенитных сталей или из никеля. При температуре  $-269^{\circ}\text{C}$  чаще всего разрушаются конструкции и термически неустойчивые сплавы АМи.

требуется термическая обработка соединений. Более прочные, но менее пластичные сплавы ВТЗ-1 и ВТ6 с двухфазной ( $\alpha + \beta$ )-структурой применяют при температурах до  $-196^{\circ}\text{C}$ . Эти сплавы свариваются хуже однофазных сплавов, и для сварных соединений необходим отжиг.

*Медь и ее сплавы* (латуни, бронзы) пластичны, не имеют порога хладноломкости. Кроме того, вязкость разрушения у них повышается при охлаждении. Их применяют для трубных конструкций, крепежных деталей, сварных корпусов, работающих при температурах до  $-269^{\circ}\text{C}$ . Из-за более высокой стоимости по сравнению с алюминием медь и ее сплавы все больше заменяются сплавами алюминия.

**Неметаллические хладостойкие материалы.** Они имеют более низкую прочность и ударную вязкость по сравнению с металлами.

Неметаллические материалы используют для изготовления тепловой изоляции, а также отдельных деталей и элементов конструкций. Для тепловой изоляции используют вспененные полистирол или полиуретан, отличающиеся особенно низкой теплопроводностью [ $\lambda = 0,3 \div 0,05 \text{ Вт}/(\text{м} \cdot ^\circ\text{C})$ ]. Для деталей и элементов конструкций используют пластмассы, наполненные стеклянным волокном (полиамиды, поликарбонаты). Для подвижных уплотнений применяют фторопласт-4 (до  $-269^{\circ}\text{C}$ ), резины (до  $-70^{\circ}\text{C}$ ).

Изменение свойств материалов под действием облучения. Наиболее значительные изменения происходят на механическую стойкость.

**Влияние облучения на механические свойства.** Облучение приводит к образованию новых дефектов, в том числе структурных повреждений.

При облучении приводится к движению атомов облучаемого материала, что вызывает узлия и образование вакансий. Число вакансий, созданных облучением, зависит от дозы облучения, а также от свойств облучаемого материала, обладающего меньшей энергией, чем  $\alpha$ -частица и протон, и от количества вакансий, образующихся в результате облучения, большее, чем в случае облучения вакансий в последнем.

Степень изменения механических свойств в зависимости от

ТАБЛИЦА 14.12. Число вакансий в

Металл	Нейтрон ( $E = 3,2 \times 10^{-13} \text{ Дж}$ )
Алюминий	6030
Бериллий	454

что сопровождается локальным повышением температуры в небольшом объеме кристалла. Нагрев вызывает радиационный отжиг. Вакансии и атомы межузлия взаимодействуют — аннигилируют, что уменьшает концентрацию дефектов. Одновременно идет процесс образования скоплений вакансий, которые при очень больших потоках превращаются либо в дислокационные петли, либо в микропоры, что приводит к разбуханию.

Кроме того, в некоторых материалах при облучении происходят ядерные реакции с выделением газообразных продуктов. Облучение органических материалов может приводить к разрушению связей в молекулах и образованию новых молекул с иным химическим составом и свойствами.

Облучение при температуре ниже температуры рекристаллизации — низкотемпературное облучение влияет на структурные изменения и механические свойства металлов и сплавов так же, как при холодной пластической деформации: материал упрочняется, но теряет пластичность. Максимальная прочность углеродистых сталей при  $20^{\circ}\text{C}$  достигается при облучении суммарным нейтронным потоком  $\Phi = 2 \cdot 10^{23} \text{ м}^{-2}$ . Изменение временного сопротивления  $\sigma_v$ , предела текучести  $\sigma_{0.2}$  и пластичности при  $20^{\circ}\text{C}$  аустенитной хромоникелевой стали при увеличении суммарного ней-

\* Число нейтронов, которое прошло через сечение,  $\text{м}^{-2}$ .

тронного потока

14.18. При суммарном потоке  $\Phi = 3 \cdot 10^{23} \text{ м}^{-2}$  становится симметричное упрочнение и увеличение суммарной пластичности не меняются.

Облучение при температуре рекристаллизации — низкотемпературное облучение приводится радиационный способствует изменению структуры и механических свойств легированных стали при температуре выше  $250-450^{\circ}\text{C}$  мало изменяется, а при температуре выше  $450^{\circ}\text{C}$  практически не изменяется. Кристаллизация происходит в аустенитные стали при температуре выше  $600^{\circ}\text{C}$ . Структура, имеющие низкие температуры рекристаллизации, радиационное облучение при температуре выше  $600^{\circ}\text{C}$  не меняется, а пропадает (рис. 14.19).

Упрочнение, получаемое при низкотемпературном облучении, усиливается при последующем нагреве до температуры ниже температуры рекристаллизации. В мартенситную структуру, полученное при облучении суммарным потоком  $\Phi = 2 \cdot 10^{23} \text{ м}^{-2}$  при  $20^{\circ}\text{C}$ , сохраняется при температуре до  $300^{\circ}\text{C}$ , а при температуре выше  $300^{\circ}\text{C}$  восстанавливается. Полнота восстановления зависит от температуры нагрева.

Влияние температуры нагрева при облучении может быть более сложным, если сплав при этом испытывает структурные превращения, например, распад пересыщенных твердых растворов (старение или отпуск), так как облучение активизирует диффузионные процессы. Именно этим объясняется высокотемпературная хрупкость аустенитных хромоникелевых сталей. Пластичность облученной стали восстанавливается при 500–700 °C, а затем при дальнейшем нагреве вновь снижается.

Длительная прочность при облучении всегда снижается, особенно в стареющих сплавах. Это вызвано активацией диффузионных процессов под действием облучения, которые ответственны за разрушение при повышенных температурах.

Снижение жаропрочности при облучении усиливается с увеличением нейтронного потока, температуры облучения и температуры испытания (рис. 14.20).

При высокотемпературном облучении очень большими потоками нейтронов в некоторых металлах (аустенитные хромоникелевые стали и сплавы, сплавы на основе Ni, Mo, Ti, Zr, Be) обнаруживается разбухание.

Бериллий, облученный при температуре 800–900 °C нейтронным потоком  $\phi =$

Рис. 14.20. Изменение  
ной прочности никелево-  
й стали 12Х18Н10Т  
 $= 3 \cdot 10^{24} \text{ м}^{-2}$ ;  $t_{\text{обл}} = 1 \text{ ч}$   
1 – без облучения ( $t_{\text{исп}} = 0$  °C); 2 –  
облучения ( $t_{\text{исп}} = 600$  °C); 3 –  
облучения ( $t_{\text{исп}} = 880$  °C)

$= 10^{24} \text{ м}^{-2}$ , увеличивается на 3–5 %. Аустенитная сталь при температуре 400 °C облучена потоком  $\phi = 10^{27} \text{ м}^{-2}$ , увеличивается на 10 %. Наиболее сильно облученные стали обнаруживают разбухание при температурах этих

различных температур. Разбухание выражается в изменении формы и размеров, ухудшение механических свойств усиливается скоплением

при облучении

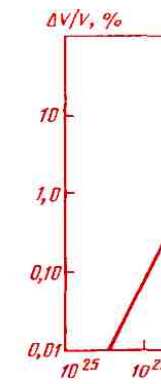


Рис. 14.21. Влияние температуры испытания на относительное увековечивание аустенитной стали 12Х18Н10Т

мистые стали, растворимость водорода в которых мала, менее склонны к разбуханию.

**Влияние облучения на коррозионную стойкость.** Для многих конструкционных материалов, работающих в условиях облучения, коррозионной средой является вода, влажный или перегретый пар. В таких средах электрохимический процесс коррозии может сопровождаться химической коррозией.

При облучении стойкость металлов в условиях химической коррозии снижается из-за разрушения поверхностных защитных пленок. Облучение, вызывая структурные повреждения материалов, снижает электрохимический потенциал и ускоряет процесс коррозионного разрушения. В пассивирующихся металлах облучение разрушает поверхностные защитные пленки.

При облучении происходит изменение состава электролита вследствие радиолиза: молекулы воды разрушаются и образуются ионы и атомы кислорода, водорода и группы OH. Кислород окисляет металл, водород наводороживает его и, тем самым, окрупчивает. Оба процесса — окисление и наводороживание — усиливают электрохимическое разрушение металла.

Скорость коррозии алюминия и его сплавов в воде при облучении тепловыми нейтронами, скорость потока ко-

зистого разрушения

Облучение аустенитовых сталей усиливает коррозию. Во влажном паре облученные стали склонны к развитию местных видов коррозии, связанных с кристаллической, то есть коррозионным растрескиванием.

В конструкциях, работающих в вакууме (оболочки корпуса и трубопроводы), облучение, вызывающее синхрофазовую коррозию, снижает прочность и коррозионную стойкость конструкционных материалов. Для достижения необходимых прочности и коррозионной стойкости используют высококачественные сплавы. Широкое применение сплавов на основе Zr, Be, Ti и т. д. в конструкциях объясняется их высокой жаропрочностью, а также коррозионной стойкостью, а также тем, что они являются компонентами комплексом теплоизоляции, в частности способны поглощать нейтроны.

Необходимая прочность конструкций может быть обеспечена за счет химического состава сплавов, оптимальными условиями облучения, рабочей температурой, интенсивностью облучающих частиц, током облучения и т. д., а также коррозионной среды.

материал атомов (или ионов, молекул) микроскопических магнитных моментов. Для единичного атома без внешнего магнитного поля магнитный момент суммируется из векторов орбитальных и собственных (спиновых) моментов электронов, принадлежащих данному атому. Магнитным моментом ядра пренебрегают, так как он значительно меньше магнитных моментов электронов.

Макроскопической характеристикой намагничивания материалов служит величина намагченности  $M$ , равная суммарному магнитному моменту атомов единицы объема.

Установлена связь намагченности  $M$  с напряженностью  $H$  внешнего магнитного поля:

$$M = k_m H, \quad (15.1)$$

где  $k_m$  – безразмерный коэффициент пропорциональности называют магнитной восприимчивостью материала.

В зависимости от знака и величины магнитной восприимчивости все материалы подразделяют на диамагнетики, парамагнетики и ферромагнетики.

Диамагнетики – материалы, которые намагничиваются противоположно приложенному полю и ослабляют его, т. е. имеют  $k_m < 0$  (от  $-10^{-4}$  до  $-10^{-7}$ ). Отрицательная магнитная восприимчивость связана с действием магнитного поля на орбитальный магнитный момент электрона. Согласно правилу Ленца, в атоме возникает добавочный магнитный момент, направленный против поля (диамагнитный эффект).

Диамагнетизм присущ всем веществам, но выражен слабо. Он проявляется только тогда, когда спиновые моменты всех электронов в атоме взаимно скомпенсированы или диамагнитный эффект преобладает над нескомпенсированным спиновым моментом. К ди-

чиваются внешним полем обусловлена наличием спиновых моментов, разориентированы теплового движения. Под воздействием внешних полей моменты атома получают новую ориентировку (параллельную), и у кристалла появляется намагченность. К параметрам кристалла, атомы которых имеют валентные электронные оболочки, переходные металлы, с недостроенными электронными оболочками атомов.

Ферромагнетики – материалы, имеющие значение магнитной восприимчивости

<sup>1</sup> Исключение составляют вещества, которых диамагнитные свойства обусловлены электронными оболочками промежуточных элементов с полным заполнением валентных оболочек.



Рис. 15.1. Схема ориентации спиновых моментов атомов различных веществ.

( $k_m \gg 1$ ), а также ее нелинейной зависимостью от напряженности поля и температуры. Железо, никель, кобальт и редкоземельный металл гадолиний имеют чрезвычайно большое значение  $k_m \sim 10^6$ . Их способность сильно намагничиваться широко используется в технике.

Ферромагнетизм – результат обменного взаимодействия электронов недостроенных оболочек соседних атомов, перекрывающихся при образовании кристаллов. При этом электрон атома может временно находиться вблизи ядра соседнего атома. Такое взаимодействие приводит к изменению энергетического состояния, и его оценивают обменной энергией. При положительном значении этой энергии более выгодным у атомов кристалла становится параллельная ориентация спиновых магнитных моментов; при отрицательном – антипараллельная (рис. 15.2). Величина и знак обменной энергии зависят от параметра кристаллической решетки ( $a$ ), отнесенной к диаметру незаполненной электронной подоболочки ( $d$ ). Согласно квантовой теории все основные свойства ферромагнетиков обусловлены доменной структурой их кристаллов.

Домен – это область кристалла размером  $10^{-4} - 10^{-6}$  м (рис. 15.3), где магнитные моменты атомов ориентированы параллельно

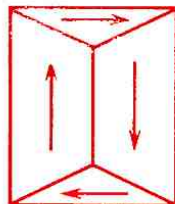


Рис. 15.3. Энергетически выгодная четырехдоменная структура с замкнутым магнитным полем

определенному направлению. При отсутствии поля каждый домен (самопроизвольно) имеет свое направление, но магнитные моменты в пределах доменов направлены одинаково. Магнитный момент ферромагнетика определяется суммой магнитных моментов атомов, расположенных внутри которых спины параллельны (рис. 15.4).

В антиферромагнетиках магнитные моменты атомов ориентированы антипараллельно, и результатирующий магнитный момент равен нулю (см. рис. 15.1). В антиферромагнетиках магнитные моменты не скомпенсированы, и результатирующий магнитный момент называется антиферромагнитным.

Намагченность магнетика анизотропна. В кристалле из железа в направлении [100] магнитный момент атомов намагничивается до наименьшей величины, а в направлении [111] – до наибольшей. Сравнению с  $H_s$  приложенного поля в направлении диагонали кристалла называется анизотропией. Следовательно, в

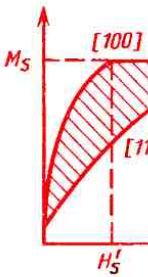


Рис. 15.5. Кривые намагничивания и размагничивания нокристалла железа

имеются шесть направлений легкого намагничивания, развернутые друг относительно друга на  $90$  или  $180^\circ$ , по которым и ориентируются векторы намагниченности доменов (см. рис. 15.3).

Удельная энергия ( $\text{Дж}/\text{м}^3$ ), которую необходимо затратить на перемагничивание из направления легкого намагничивания в направление трудного намагничивания (заштрихованная зона на рис. 15.5), называется константой кристаллографической магнитной анизотропии —  $K$ . Например, для железа при  $20^\circ\text{C}$   $K = 4,2 \cdot 10^4 \text{ Дж}/\text{м}^3$ . В поликристаллических материалах эффекты анизотропии усредняются, поэтому магнитная анизотропия не обнаруживается. Однако прокаткой можно создать кристаллографическую анизотропию, которая облегчит намагничивание.

Магнитная индукция — плотность магнитного потока определяется как сумма внешнего  $H$  и внутреннего  $M$  магнитных полей:

$$B = \mu_0(H + M), \quad (15.2)$$

где магнитная постоянная  $\mu_0 = 4\pi \cdot 10^{-7} \text{ Гн}/\text{м}$ .

Интенсивность роста индукции при увеличении напряженности намагничающего поля характеризует магнитная проницаемость  $\mu$ . Она определяется как тангенс угла наклона к первичной кривой намагничивания  $B = f(H)$  (рис. 15.6).

При этом различают начальную магнитную проницаемость  $\mu_i$  при  $H \approx 0$  и максимальную  $\mu_{\max}$ .

Кроме абсолютной магнитной проницаемости  $\mu_1$ , имеющей размерность  $\text{Гн}/\text{м}$ , используют безразмерную относительную магнитную проницаемость  $\mu' = \mu/\mu_0$ , которая связана с магнитной восприимчивостью соотношением

$$\mu' = 1 + k_m. \quad (15.3)$$

Процессы намагничивания полностью необратимы. Если магнитное поле, доведенное

ромагнетика, так как новые его константы и области применения.

При намагничивании структура поликристалла (рис. 15.7). При слабом поле смещение границ доменов происходит увеличением намагниченности в направлении поля  $H$ . Эти домены находятся в устойчивом положении и при дальнейшем увеличении поля продолжается пересечение атомов (см. рис. 15.4). На участке  $OA$  процесс обратим, на участке  $AB$  — необратимый (вспомогательный). В точке  $B$  наступает насыщение намагничивания.



Рис. 15.7. Изменение магнитной структуры при намагничивании магнетика

параллельную ориентацию, что ведет к уменьшению намагниченности и индукции. По мере повышения температуры дезориентация увеличивается, и при температуре точки Кюри  $\Theta$  намагниченность вообще исчезает.

Процесс вращения векторов намагниченности кристаллов полностью обратим. Энергия, затрачиваемая на вращение вектора намагниченности, определяется константой анизотропии  $K$ . Процесс намагничивания на этой стадии происходит тем легче, чем меньше константа магнитной анизотропии.

Намагничивание в полях напряженностью меньше  $H_s$  называют *техническим намагничиванием*, а в полях с большей напряженностью — истинным намагничиванием, или *парапроцессом*. В последнем случае оставшиеся непараллельные магнитные моменты атомов ориентируются параллельно направлению поля.

На процесс намагничивания кроме магнитной анизотропии существенно влияют и магнитострикционные явления, которые могут как облегчать, так и тормозить намагничивание. При техническом намагничивании размер домена  $l$  в направлении магнитного поля изменяется на величину  $\lambda = \pm \Delta l/l$ , называемую *коэффициентом линейной магнитострикции*. Величина и знак этого коэффициента зависят от природы ферромагнетика, кристаллографического направления и степени намагниченности.

При намагничивании в полях  $H > H_s$  увеличивается и объем кристалла. Относительное изменение объема называют *коэффициентом объемной магнитострикции парапроцесса*  $\lambda_s$ . Он обычно мал, но у некоторых сплавов, называемых инварами, достигает значительных величин (см. гл. 16). Явление

количества кристаллов должно быть минимизированы кристаллов должна протяженность крупнокристаллического

Если размер кристалла приближается к размеру намагничивания и развернут только процесс намагничивания, что сопровождается изменениями и индукции  $B$ . Петля имеет прямоугольную форму.

Для намагничивания кристаллов и остаточные деформации которых в ходе процесса применяют ку-отжиг. Особенно характерные в кристаллическом ферромагнетика при собственных мелкодисперсных случаях смещение доменов векторов намагниченности.

Намагничивание ферромагнетиков легче, чем меньше  $H_s$ . Влияние можно путем изменения состава ферромагнетиков всплыть сплавы из композиций твердые растворы, обладающие положительную, а также константу магнитной проницаемости некоторых составов сплавов, у сплавов систем

## 15.2. Магнитно-мягкие материалы

Магнитно-мягкие материалы отличаются в слабых полях ( $H \leq 5 \cdot 10^4$  А/м) вследствие высокой магнитной проницаемости

вением токов Фуко и определяемых формулой

$$P = AB_m^2 f^2 d^2 / \rho. \quad (15.4)$$

При заданной напряженности магнитного поля  $H$  тепловые потери растут пропорционально квадратам амплитуды магнитной индукции  $B_m$ , частоты магнитного поля  $f$ , толщины сердечника  $d$  и обратно пропорционально удельному электрическому сопротивлению  $\rho$ .

В переменных полях появляется еще один вид потерь, как результат сдвига по фазе индукции  $B$  и напряженности поля  $H$ . В таком поле магнитная проницаемость выражается комплексным числом

$$\mu = \mu_1 + i\mu_2. \quad (15.5)$$

кой магнитной про-  
чальной  $\mu_n$  и макси-

Материалы с вы-  
щения. К ним пре-  
железо, нелегирова-  
электротехнические  
большой магнитной  
 $T_{l1}$ ), малой коэрцити-  
 $A/m$ ), достаточно  
проницаемости ( $\mu_m$ )  
рощей технологиче-  
в электротехнике д-  
напряженностью о-

Магнитные свой-  
даны в табл. 15.1.  
ство примесей содер-  
стое железо.  
0,02–0,04% С и  
в количестве 0,6%

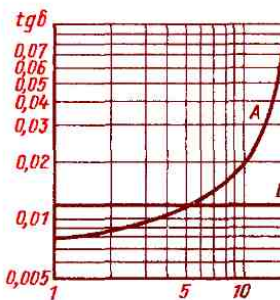
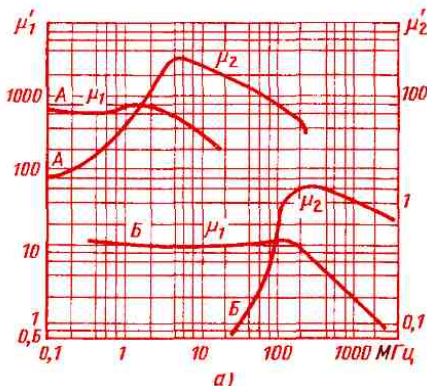


Рис. 15.8. Влияние частоты магнитного поля на  $\mu_1$  и  $\mu_2$  (a) и  $\operatorname{tg}\delta$  (б) магнитомягких материалов A и B

стично хорошими магнитными свойствами:  $H_c = 64$  А/м и  $\mu_{max} = 9$  мГн/м. В процессе изготовления проката в железе возникают внутренние напряжения, а в решетке — большое количество дислокаций. Это ухудшает магнитные свойства. Отжиг в вакууме или водороде устраняет дефекты и напряжения. В табл. 15.1 приведены свойства отожженного технически чистого железа.

Существенное улучшение магнитных свойств можно получить после очистки железа от углерода и примесей электролизом. Такое железо, особенно переплавленное в вакууме, имеет более высокую магнитную проницаемость, которая почти на порядок выше, чем в технически чистом железе. В той же степени снижается  $H_c$ .

Наиболее чистое от углерода и примесей карбонильное железо получают термическим разложением в вакууме  $Fe(CO)_5$  — карбонила, с последующим спеканием порошка железа.

Карбонильное и электролитическое железо из-за сложной технологии используют только в изделиях небольших размеров.

Нелегированные электротехнические стали изготавливают теми же металлургическими способами, что и технически чистое железо; содержание углерода и примесей допускается в тех же количествах. Электротехнические стали поставляют с гарантированными магнитны-

ми свойствами:  $H_c = 64$  А/м и  $\mu_{max} = 9$  мГн/м. Однако низкое удельное сопротивление ( $\rho \leq 0,001$  Ом·м) вызывает тепловые потери при работе, а это ограничение устройствами с магнитным полем.

Электрическое сопротивление можно повысить за счет примесей, который не растворяясь в железе, кристаллизуясь в виде включений кремния повышает удельное сопротивление на 0,5–1,5 раза, а также  $B_s$  на 0,48 Тл. Кремний способствует росту зерен, что снижает сопротивление на несколько единиц.

Снижение общего сопротивления в результате включений кремния является главным фактором повышения удельного электротехнического сопротивления.

ТАБЛИЦА 15.2. Магнитные свойства стальных конструкционных сталей (ГОСТ 10500-80)

Сталь	$H_c$ , А/м	$\mu_{max}$ , мГн/м
10895	95	9
20895		
10864	64	9
20864		
10848	48	9
20848		

электротехнической стали приведены в табл. 15.3.

Первая цифра в марке определяет вид проката и структуру: горячекатаная изотропная (1), холоднокатаная изотропная (2), холоднокатаная анизотропная с кристаллографической текстурой направления [100] (3). Вторая цифра в марке указывает содержание Si (в %): 0—содержание  $< 0,4\%$ ; 1—(0,4—0,8 %); 2—(св. 0,8—1,8 %); 3—(св. 1,8—2,8 %); 4—(св. 2,8—3,8 %); 5—(св. 3,8—4,8 %). Третья цифра определяет потери на гистерезис.

Удельные потери на гистерезис при ставлении свойствами сталей 1311, 1411, 2211, 2311, 2411. Зависимость потерь от толщины листа на величину изображена на рис. 15.1. Потери уменьшаются с уменьшением толщины листа.

Значение индукции магнитного поля, смотренных параметров, определяется сильнее, чем величина, определяемая содержанием никеля (табл. 15.3). Для стали 2411 значение  $B$  при  $H = 30 \text{ kA/m}$  в пределах 1,94—1,96  $\text{Tl}$ .

После технологических операций (обжига, обжига с последующим охлаждением, обжига с последующим охлаждением в воде, обжига с последующим охлаждением в масле), магнитные свойства изменяются, т. е. увеличивается магнитная сила, а следовательно, и потери на гистерезис. Для стали 2411 потери на гистерезис при температуре ниже температуры превращения (880—900 °C) уменьшаются, а при температуре выше температуры превращения (900—920 °C) увеличиваются. Для стали 2311 потери на гистерезис при температуре ниже температуры превращения (880—900 °C) уменьшаются, а при температуре выше температуры превращения (900—920 °C) увеличиваются. Для стали 2211 потери на гистерезис при температуре ниже температуры превращения (880—900 °C) уменьшаются, а при температуре выше температуры превращения (900—920 °C) увеличиваются. Для стали 1411 потери на гистерезис при температуре ниже температуры превращения (880—900 °C) уменьшаются, а при температуре выше температуры превращения (900—920 °C) увеличиваются. Для стали 1311 потери на гистерезис при температуре ниже температуры превращения (880—900 °C) уменьшаются, а при температуре выше температуры превращения (900—920 °C) увеличиваются.

При использовании стали 2411 для изотропной стали 2411 потери на гистерезис уменьшаются с уменьшением толщины листа.

ТАБЛИЦА 15.3. Магнитные свойства легированной электротехнической тонколистовой стали (ГОСТ 21427—75)

Сталь	Толщина листа, мм	$P_{1,5/50}$ , Вт/кг	$B$ (Тл) при $H$ (кА/м), не менее	
			2,5	30
Горячекатаная изотропная				
1311	0,50	6,1	1,48	1,95
1411	0,50	4,4	1,46	1,94
1511	0,50	3,5	1,46	1,90
Холоднокатаная изотропная				
2011	0,65	9,0	1,60	2,02
2111	0,65	10,0	1,58	2,0
2211	0,65	7,0	1,56	1,96
2311	0,65	5,8	1,52	1,96
2411	0,50	3,6	1,49	1,96
Холоднокатаная анизотропная				
3411	0,50	2,45	1,75	—
3416	0,28	0,89	1,9	—

полях ( $H \geq 10^2$  А/м).

Наибольшее значение  $B_s$  для ферромагнетиков имеют высоколегированные кобальтовые сплавы Fe–Co–V. Например, сплав 50КФ2, содержащий 50 % Co и 2 % V, обладает индукцией насыщения  $B_s = 2,3$  Тл в магнитном поле напряженностью  $H_s = 8$  кА/м. Железо в таком поле имеет  $B = 1,5$  Тл. Дефицитность кобальта ограничивает применение таких сплавов.

Более высокими значениями индукции насыщения ( $\leq 3$  Тл) обладают ферромагнетики, имеющие высокое значение атомного магнитного момента (редкоземельные металлы).

*Материалы с высокой магнитной проницаемостью.* Для достижения больших значений индукций в очень слабых магнитных полях ( $H \leq 10^2$  А/м) применяют сплавы, отличающиеся большой начальной проницаемостью. Это сплавы Fe–Ni (пермаллои) и Fe–Al–Si (альсифер).

Сплавы пермаллои с содержанием 45–83 % Ni характеризуются большой магнитной проницаемостью  $\mu_h \leq 88$  мГн/м;  $\mu_{max} \leq 310$  мГн/м, что обеспечивает их намагничивание в слабых полях (рис. 15.9). Повышенное удельное электрическое сопротивление по сравнению с чистыми металлами Fe и Ni позволяет использовать их в радиотехнике и телефонии при частотах до 25 кГц. Малая  $H_c < 16$  А/м уменьшает потери на гистерезис при перемагничивании. По значению индукции насыщения сплавы с по-

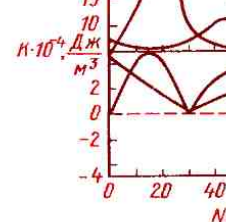


Рис. 15.9. Влияние характеристики железа

вышенным содержанием никеля на свойства железному и стали. Структура сплава  $B_s$  изменяется от 1,5 до 2,3 Тл. Большим достоинством пермаллоев является их высокая износостойкость, что облегчает технологию их производства фабрикаторов: тонкие ленты из пермаллоя, используемые в виде волокнистого материала, используются для изготовления сердечников трансформаторов.

Магнитные свойства пермаллоев зависят от температуры и действующих на них напряжений. При нагреве сплавов выше температуры плавления всего 5 МПа проницаемость уменьшается в 2 раза. Внешняя магнитная сила возрастает с температурой, но окончательно и неизбежно уменьшается. Поэтому надо подвергать тепловой обработке сплавы пермаллои и в процессе сборки трансформаторов, чтобы избежать ударов, сильных колебаний и вибраций, возникающих при монтаже и ликвидации обмоткой.

Магнитные свойства сплавов пермаллои зависят от химического состава сплавов. Нейтронно-графитовые сплавы показывают, что у сплавов с 75 % Ni, при медленном охлаждении

ке при этой температуре 3–6 ч в зависимости от размера и массы; медленном охлаждении до 600 °С (100 °С/ч) и дальнейшем быстром охлаждении (400 °С/ч), при котором не происходит упоряжечения твердого раствора.

Все пермалloyные сплавы по составу можно разделить на две группы: низконикелевые с содержанием 45–50% Ni, имеющие высокую магнитную проницаемость ( $\mu_h \leq 4$  мГн/м) при относительно высокой индукции насыщения (1,5 Тл), и высоконикелевые с содержанием 79–83% Ni с чрезвычайно высокой магнитной проницаемостью ( $\mu_h \leq 35$  мГн/м), но меньшей индукцией насыщения 0,75 Тл.

Для улучшения электромагнитных и технологических свойств эти сплавы часто дополнительно легируют. Так, молибден и хром уменьшают чувствительность к остаточным напряжениям, одновременно повышая удельное электрическое сопротивление и магнитную проницаемость. Медь стабилизирует свойства, улучшает механическую обрабатываемость, повышает удельное электрическое сопротивление. Кремний и марганец увеличивают удельное электрическое сопротивление. Все легирующие элементы увеличивают магнитную проницаемость  $\mu_h$  и  $\mu_{max}$ .

Сплавы подразделяют по уровню основных свойств на девять групп.

Магнитные свойства некоторых пермаллоев трех характерных групп приведены в табл. 15.4. В каждой группе их

5011	3,6	38
50НХС	3,1	31

\* Для сплава 79НМ  
свойства для I–III классов

подразделяют на классы, как это видно из растет магнитная проницаемость  $H_c$ . Значение

В группу сплавов с высокой проницаемостью в слабых магнитных полях входят высоконикелевые пермаллои 79НМ и 50НХС (табл. 15.4). Обозначение латинскими буквами в них аналогично сталим. Значения максимальных индукций составляют  $\mu_{max} = 150 \div 310$  мГн/м, с электротехническими же назначениями значения  $\mu_{max}$  и  $H_c = 0,64 \div 2,4$  А/м, используют для расчета магнитных полей до частот 200 Гц. Частоты в интервалах 25–50 Гц для снижения остаточных напряжений уменьшают толщину листов. При этом, так же как и в стали, магнитная проницаемость  $\mu_h$  и индукция  $H_c$ , что ведет к росту индукции  $B_s$  и уменьшению толщины листов.

В группу сплавов с высокой проницаемостью в сильных магнитных полях входят никелированные пермаллои. Максимальное значение  $\mu_{max} \leq 38$  мГн/м, а индукция  $B_s$  в 10 раз выше, чем у стали. Стальные же пермаллои в сильных магнитных полях имеют проницаемость  $\mu_h \leq 4$  мГн/м и индукцию  $B_s \leq 0,1$  Тл.

**Рис. 15.10.** Влияние толщины проката на магнитные свойства пермаллоя 79НМ

Значение  $\rho$  несколько ниже, чем у легированных высоконикелевых сплавов, а  $H_c$  — наоборот, выше. В связи с пониженным электрическим сопротивлением их используют при более низких частотах, нежели легированные высоконикелевые пермаллои.

Представителем группы сплавов с высокой магнитной проницаемостью и повышенным удельным электрическим сопротивлением является пермалloy 50НХС. Легирование хромом и кремнием увеличивает  $\rho$  сплава почти вдвое. Это позволяет использовать его в тех же изделиях, что и нелегированные пермаллои, но при несколько более высоких частотах.

Особую группу составляют пермаллои с прямоугольной петлей гистерезиса (табл. 15.5), которые широко использу-

**ТАБЛИЦА 15.5. Магнитные свойства сплавов с прямоугольной петлей гистерезиса (холоднокатаная лента)**

Сплав	Толщина ленты, мм	$\mu_{\max}$ , мГн/м	$H_c$ , А/м	$B_s$ , Тл	Коэффициент прямоугольности при $H = 800$ А/м
50НП	0,10	50	18	1,5	0,85
65НП	0,10	250	2,8	1,3	0,90
79НМП	0,003	—	9,6	0,61	0,90

ской или магнитной обработкой. Затем мечалось выше, края ленты. Магнитная текстура достигается путем лодной пластической деформации прокатке с большими усилиями (см. гл. 4), ма- путем охлаждения магнитной тек- ке в магнитном поле (магнитная обработка). Векторы магнитных полей при такой закалке о- поля. При последующем нагреве в том же направлении векторов отсутствует

Кристаллографическая текстура не создать в любом направлении, собном пластическом деформировании. Магнитная текстура у некоторых сплавов не удаётся. Несмотря на это, магнитные достижения в области магнитной обработки явления недостаточно изучены.

Преимущество магнитной обработки состоит в том, что можно получить у ленты магнитную петлю в любом направлении, в том числе в направлении прокатки.

У сплава 50НП при толщине 0,10 мм достигается промышленный коэффициент прямоугольности 0,85. У сплавов 65НП и 79НМП коэффициент прямоугольности в магнитном поле (при  $H = 800$  А/м) из лент, изготовленные в магнитном поле (при  $H = 800$  А/м), из лент толщиной 0,10 мм, при частотах 700 кГц. Толщина ленты 0,003 мм при этом изготавливают

**Рис. 15.11.** Петля гистерезиса сплава 65НП до (1) и после (2) обработки в магнитном поле

Коэффициент прямоугольности этого сплава при таких толщинах составляет  $\sim 0,9$ . Из-за дороговизны тонких ленточных сердечников и невозможности прокаткой получить ленты толщиной менее 0,5 мкм разработаны методы получения тончайших пленок ( $10^{-5} - 10^{-6}$  см) путем напыления таких сплавов в вакууме на подложку немагнитного металла.

**Альсиферы** — сплавы системы Fe—Al—Si не содержат дорогих или дефицитных легирующих элементов. Сплав оптимального состава 9,6% Si и 5,4% Al имеет следующие свойства:  $\mu_h = 44$  мГн/м;  $\mu_{max} = 146$  мГн/м;  $H_c = 1,76$  А/м;  $\mu_0 M_s = 1,1$  Тл;  $\rho = 0,81$  мкОм·м. Сплав имеет нулевые значения  $K$  и  $\lambda_s$  и низкие потери на гистерезис. Практическому применению таких сплавов препятствуют высокие твердость и хрупкость, что делает их абсолютно недеформируемыми. Альсиферы обладают хорошими литейными свойствами, поэтому их применяют для изготовления фасонных тонкостенных отливок. Эти сплавы используют также для получения тонких порошков при изготовлении магнитодиэлектриков.

**Высокочастотные магнитно-мягкие материалы.** При высоких частотах растут тепловые потери и тангенс угла потерь  $tg \delta$ , что сопровождается ухудшением

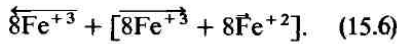
качества излучения, а также интенсивность использования которых радиочастот и с

По своим магнитным свойствам эти материалы отличаются от обычных магнитных материалов тем, что они обладают высокой проницаемостью  $\mu'$  на частотах, где для обычных магнитных материалов проницаемость  $\mu'$  намного ниже. В широком интервале частот от нескольких тысяч до десятков тысяч герц проницаемость  $\mu'$  остается постоянной, а индукция намагничивания  $H_i$  и магнитная сила  $H_c$  остаются практически неизменными. На частотах выше 100 кГц проницаемость  $\mu'$  начинает уменьшаться, а индукция намагничивания  $H_i$  и магнитная сила  $H_c$  начинают уменьшаться. На частотах выше 1000 кГц проницаемость  $\mu'$  становится очень малой, а индукция намагничивания  $H_i$  и магнитная сила  $H_c$  становятся практически нулевыми. Поэтому для высокочастотных материалов необходимо использовать специальные способы обработки, чтобы сохранить их рабочую температуру и свойства.

К недостаткам ферритов относятся большую чувствительность к изменениям напряжения, лавового и магнитостатического воздействия. Они обладают высокими свойствами керамики: термостабильность спекания дают возможность получать из них различные инструменты. Свойства ферритов зависят от различных факторов (размер и однородность зерен, концентрация оксидов, условия прессования, температурный режим охлаждения и т. д.). Для получения ферритов используют повторяющиеся способы спекания.

Ферриты спекают из порошка типа  $FeO \cdot Fe_2O_3$  (смесь оксидов железа и оксида алюминия) с добавлением электрических проводников (ионов железа  $F^{2+}$  в оксидном виде). Ферриты спекают в двухвалентными ионами, что позволяет получать ферриты с высокими магнитными свойствами.

двойном оксиде  $\text{FeO} \cdot \text{Fe}_2\text{O}_3$  в окта- и тетраэдрических порах решетки располагаются катионы трех- и двухвалентного железа. Между катионами, находящимися в разных порах, образуется антипараллельная ориентация магнитных моментов. Ферромагнетизм появляется тогда, когда сумма магнитных моментов ионов, расположенных в различных порах, неодинакова. Установлено, что у большинства шпинельных ферритов в октаэдрических порах расположено восемь ионов трехвалентного железа, а в тетраэдрических порах — остальные восемь ионов трехвалентного железа и восемь ионов двухвалентного металла:



В результате магнитные моменты трехвалентных катионов железа, находящихся в разных порах, компенсируют друг друга и, если двухвалентный катион металла обладает собственным магнитным моментом, то возникает нескомпенсированный магнитный момент.

Магнитные свойства ферритов определяются их химическим составом (рис. 15.12). Немагнитный цинковый феррит, добавленный в никелевый феррит, понижает  $\theta$  и  $H_c$  и резко увеличивает  $\mu'_n$  при определенном химическом составе, поэтому дозировка цинкового феррита должна быть очень точной.

Магнитные свойства ферритов зависят от условий эксплуатации и, в первую очередь, от частоты перемагничивания. Предельно допустимая для мате-

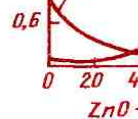


Рис. 15.12. Влияние феррита в никелевом свойства последнего

риала частота внешней поляции определяется частотой, при которой  $\mu'_n$  превышает 0,1, а для никелевого феррита — 0,02 (см. рис. 15.8, б).

Допустимую рабочую частоту определяет температура, при которой для никелевого феррита  $\mu'_n$  совпадает с точкой перегиба цинковых на  $20^\circ\text{C}$ . Для никелевого феррита значение  $\mu'_n$  резко возрастает в особенности для никелевого феррита с высоким значением этой величины.

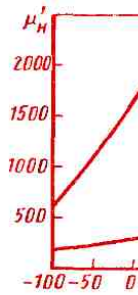


Рис. 15.13. Влияние цинкового феррита на магнитную проницаемость никелевого феррита

2	300НН 60НН	300 60	$10^8$ $10^8$	5 55
3	100ВЧ 30ВЧ2	100 30	$10^{10}$ $10^{11}$	35 200

**Ферриты для устройств, применяемых на радиочастотах.** К ним относятся Mn-Zn и Ni-Zn ферриты (табл. 15.6).

На первом месте в марке стоит число, соответствующее  $\mu'_n$  (относительная проницаемость). На втором — буквы, определяющие частотный диапазон: Н — низкочастотные, ВЧ — высокочастотные. На третьем — буква, обозначающая легирующий элемент: Н — никель-цинковый, М — марганцево-цинковый феррит. Для высокочастотных ферритов легирующий элемент не указывается, например, 30ВЧ2 —  $\mu'_n = 30$ , высокочастотный, разновидность вторая.

**Ферриты Mn-Zn** обладают высокой магнитной проницаемостью, но имеют относительно небольшое удельное электрическое сопротивление ( $10^3$  до  $10^5$  Ом·м), что ограничивает их использование при высоких частотах (< 3 МГц). Их подразделяют на две группы: ферриты первой группы 4000НМ, 1000НМ не содержат специальных добавок и используются в диапазоне частот до 1 МГц, когда не предъявляются повышенные требования к температурной стабильности начальной магнитной проницаемости; ферриты второй группы 1000НМЗ содержат присадки ок-

400НН не содержат док и применяя в слабых и средних до 2 МГц. Ферриты держат 50%  $Fe_2O_3$  чества (1–8%) других ферриты (300НН, для работы на частотах до 200 МГц). Ферриты третьей группы бывают  $Fe_2O_3$  (54–58%), кобальта и других вводимых для улучшения ферриты имеют меньшие магнитные токи и предназначены для использования в слабых и средних частотах до 200 МГц (при высокой температуре). Ферриты обладают малым током сопротивлением и коэффициентом магнитной проницаемости в широком интервале частот.

**Ферриты для устройств, применяемых на высоких частотах (до 3 МГц).**

Ферриты имеют относительно низкую проницаемость, но изготавливают из различных материалов. Разнообразие материалов определяется возможностью использования различных компонентов с различными магнитными свойствами. Одним из таких материалов является одновалентный либо тривалентный ион, имеющий структурой шпинела, состоящего из атомов железа, борса, кобальта, соединенных с оксидом железа  $(BaCo)_O \cdot Fe_2O_3$ .

Дополнительно в ферритах могут содержаться различные примеси, такие как

ляет резонансное поглощение, возникающее в тех случаях, когда на феррит, перемагничиваемый высокочастотным полем, наложено перпендикулярное постоянное магнитное поле  $H_0$ . Это поле вызывает прецессию орбитального момента электрона, частота которой  $\omega_e$  изменяется пропорционально  $H_0$ . При определенной  $H_0$  значение  $\omega_e$  совпадает с частотой высокочастотного поля, и наступает ферромагнитный резонанс, проявляющийся в уменьшении  $\mu_1$  и росте  $\mu_2$  в некотором интервале поля  $\Delta H_0$  (рис. 15.14), что увеличивает  $\operatorname{tg} \delta$ .

Ширина интервала  $\Delta H_0$  – основная характеристика СВЧ ферритов. Ее значение будет тем меньше, чем больше плотность и меньше кристаллографическая

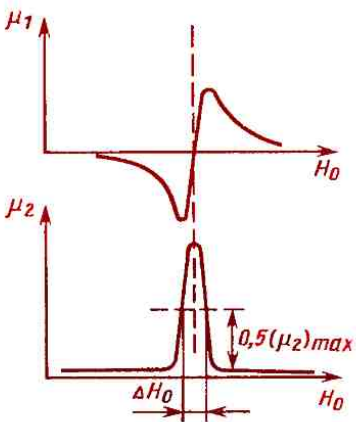


Рис. 15.14. Изменение  $\mu_1$  и  $\mu_2$  феррита-граната в условиях магнитного резонанса

можно получить, вводя оксиды с константой противоположной для увеличения плотности, не спеканием, порошков в монокристаллическая резонансная кривая получается, если постоянное поле приложено в направлении намагничивания.

Свойства ферритов дадены в табл. 15.7.

В марке ферритов дается ставится цифра, указывающая длины волны в сантиметрах, пользуется данный ЗСЧ4 – феррит для радиоволн 3 см, разновид-

Ферриты для СВЧ – это тип устройства, зона, уровня мощности, условий.

Ферриты со структурой готовят спеканием и магния. Их состав имеет формулу  $\text{MeO} \cdot \text{Fe}_2\text{O}_3$ . Значение  $\mu_1$  для этих ферритов (показано в табл. 15.7) оценивается в 3000 МГц. Ферриты с более высокими частотами легируют трехвалентным хромом или алюминием, имеются формулы  $\text{MgO} \cdot (\text{FeAl})_2\text{O}_3$  и т.д., и значение  $\Delta H_0$  для этих частотах 9200 МГц.

кристаллические ферриты, которые получают методом сплавления порошков оксидов и последующей кристаллизации их на затравке монокристаллов (см. гл. 2). Этот же метод используют для изготовления рубиновых монокристаллов для квантовых генераторов (лазеров). Монокристалл иттриевого граната О8КГ при частоте 9200 МГц имеет  $\Delta H_0 = 0,6$  кА/м, что значительно ниже значений, указанных в табл. 15.7 для поликристаллических ферритов.

*Ортоферриты*, так же как и ферриты-гранаты, изготавливают из оксидов железа, легированных РЗМ. Состав их соответствует формуле  $R \cdot FeO_3$ , где R – иттрий, гадолиний, самарий и т. д. Они имеют орторомбическую кристаллическую решетку ( $a \neq b \neq c$ ;  $\alpha = \beta = \gamma = 90^\circ$ ), в которой ионы  $Fe^{+3}$  расположены в узлах решетки,  $O^{2-}$  – на гранях, а  $R^{3+}$  – в центре. Монокристаллы ортоферритов получают методом бестигельной зонной плавки (см. п. 17.2).

В монокристаллической пластинке толщиной менее 30 мкм из ортоферритов и ферритов-гранатов РЗМ обнаружена специфическая доменная структура – цилиндрические магнитные домены ЦМД.

В плоскости тонкой пластины, которая перпендикулярна намагничивающему полю и векторам легкого намагничивания, возникает лабиринтовая структура доменов (рис. 15.15). Темные и светлые домены намагниченны антипараллельно. С ростом внешнего поля

меняется доменное состояние в определенном значении. Темные домены превращаются в темные цилиндры (или пузыри), используя в запасе энергию. В таких условиях оценивают подвижность доменов, которая повышает сопротивление магнитному полю, определяющим плотность тока на пластинах. Подвигают домены в ферритах, а плотность тока в ферритах-гранатах.

*Ферриты с прямым переключением* (ППГ). Их изготавливают в вычислительных машинах (БИС) и телевизорах (БТ). Изменение коэрцитивной силы в ферритах- $H_c$  в А/м.

Наибольшее применение находят ферриты из оксидов, имеющие характеристики, близкие к ферритам  $MgO \cdot 3MnO \cdot 3Fe_2O_4$ . Ферриты, содержащие в своем составе оксиды трех оксидов – кальция, магния и лития (табл. 15.8).

При охлаждении ферритов в результате магнитного состояния в результате магнитных явлений при температуре кристаллизации векторы легкого намагничивания параллелизируются параллельно векторам легкого намагничивания феррита. Прямоугольный переключатель получается при изменении намагничивающего поля вправлением легкого намагничивания. В таком случае про-

В зависимости от особенностей устройств применяют различные по свойствам ферриты с прямоугольной петлей гистерезиса: с низкой коэрцитивной силой (10ВТ, 30ВТ, 56ВТ) и с высокой коэрцитивной силой (100ВТ, 140ВТ, 180ВТ).

**Материалы со специальными магнитными свойствами.** Сплавы с большим коэффициентом магнитострикции. Эти сплавы применяют для сердечников преобразователей магнитных колебаний в ультразвуковые, для изготовления звукозаписывающих головок, в установках для обработки твердых материалов и др. Кроме большого коэффициента магнитострикции эти сплавы должны обладать малой коэрцитивной силой и высоким удельным электрическим сопротивлением.

Наибольшей магнитострикцией обладает никель  $\lambda_s = -37 \cdot 10^{-6}$ . Благодаря высокой пластичности он применяется в виде тонких листов (толщиной 0,1 мм и менее); характеризуется малым электрическим сопротивлением (0,08 мкОм·м), а следовательно, применение для низких частот.

Высокой магнитострикцией обладает сплав железа с 13% Al ( $\lambda_s = 45 \cdot 10^{-6}$ ). Он имеет значительно более высокое электрическое сопротивление (0,96 мкОм·м), и поэтому при тех же потерях пластины его могут быть в 2–3 раза толще, чем пластины никеля. Более высокими коэффициентами маг-

нитострикции, в частности, магнитная индукция очень резко изменяется вблизи Кюри, поэтому машины должны иметь температурный интервал рабочих температур.

Этим условиям соответствует сплав железа с никелем, который перестает быть магнитом при 100 °С. Введение никеля в сплавы дополнительно снижает температуру Кюри.

### 15.3. Магнито-тв

**Основные требования к твердым материалам** к магнитным материалам, используемым для создания постоянных магнитов, предъявляются в следующем: 1) магнитная индукция  $B_r > 1000$  кА/м, имеющаяся в магните при перемагничивании; 2) остаточная магнитная индукция  $B_r = 0,5 \div 0,7$  Тесла; 3) остаточную силу  $H_c \leqslant 560$  кА/м.

Важной характеристикой твердых материалов является величина удельная магнитная индукция  $\Phi_{max}$ , которая в случае никеля достигает значений 7–8 Тесла. Удельная магнитная мощность, при которой магнитная индукция изменяется от 0 до 1 Тесла, показана на рис. 15.16. Вид кривой зависимости магнитной индукции от магнитного поля в полине произведен в координатах  $B_x$  и  $H$ . Кривая имеет выпуклую форму.

*B* и удельной магнитной мощности при размагничивании магнитно-твердого материала

ния соответствует большей магнитной мощности.

Размагничивание связано с теми же процессами, что и намагничивание: смещением доменной стенки и вращением векторов намагничивания. Не обратимость этих процессов приводит к несовпадению кривых намагничивания и размагничивания, а при перемагничивании к появлению петли гистерезиса. Существующие теории не обратимость процессов намагничивания связывают либо со смещением доменной стенки, либо с вращением векторов. В последнем случае даются количественные закономерности, определяющие  $H_c$ . При различном химическом составе и структурном состоянии материала доля участия каждого из этих двух процессов различна, но для большинства магнитно-твёрдых материалов основным процессом при размагничивании, видимо, является процесс вращения векторов намагничивания, который и определяет величины  $H_c$ ,  $B_r$  и  $\omega_{\max}$ .

Для однодоменных кристаллов размагничивание идет только в результате вращения векторов намагничивания.

Размер однодоменных кристаллов определяется формой кристалла, параметром кристаллической решетки и маг-

и намагниченности.

Для железа диаметр

кристалла равен 0,05. Для однодоменных  $H_c$  определяются по анизотропии (табл. 1) висят от константы ской анизотропии  $K$  насыщения  $M_s$ . На  $K$  и  $H_c$  среди рассмотренных имеет кобальт, кель, поэтому кобальт в большинстве материалов.

Влияние анизотропии велико для всех ферромагнитных, более сильное, чем для антиферромагнитных. Анизотропия формы вызывает появление поля  $H_p$ , такая система не замкнута и противоположно направлены. Уменьшает намагниченность и тем самым увеличивает  $H_p$ . Анизотропия, а также размера кристалла определяют величину  $H_c$  (рис. 15.18).

Рис. 15.17. Размагничивающее поле однодоменного неравноосного кристалла

Магнитно-упругая анизотропия проявляется при возникновении неоднородных внутренних напряжений вследствие магнитострикции или приложения внешних сил. Наибольший вклад этот вид анизотропии дает в значение  $H_c$  для никеля, который имеет большое значение  $\lambda_s$  (см. с. 318).

Сумма всех перечисленных составляющих и определяет значение  $H_c$  однодоменного неравноосного кристалла.

Необратимые процессы вращения векторов намагничивания определяют  $H_c$  тонких пленок и многих многофазных сплавов. Тонкие пленки толщиной 0,1–30 мкм однодоменны и магнитоанизотропны. При толщинах, близких к 30 мкм, в пленках появляется полосовая доменная структура (рис. 15.19). Длинные домены намагничиваются во взаимно противоположных направлениях и врачаются всей системой полос под действием внешнего поля. Это свойство используют в информационных устройствах.

Большие значения  $H_c$  имеют многофазные сплавы со структурой однодомен-



Рис. 15.19. Полосовая доменная структура в тонких пленках

ромагнитной основы магнитных включений  $M_s$ . Козрцитивная сила имеет малое значение, если магнитных включений с шириной доменных леза  $\sim 10^{-6}$  м).

Все описанное позволяет требования к магнитно-твердым материалам для существенное применение, а не чистые металлы, давать однофазные структуры на неравноосной либо многофазные магнитностью основы ферромагнитных включений. Однодоменная неравноосная структура для сталлов; для неферромагнитных материалов важны их коэффициенты ферромагнитная осцилляция различного рода. Для этого предпочтительны пересыщенный твердый раствор; желательны остаточные напряжения. Переизменение обеспечивает высокую частоту  $\omega_{\max}$ .

Свойства магнитных материалов оценивают стабильность в условиях длительной эксплуатации, возможных колебаний температуры, стабильность свойств, вызываемых структурными изменениями (термическое старение), и вибраций (магнитные колебания). В следнем случае свойства

в табл. 15.10. Магнитные свойства можно улучшить, если закалку проводить в горячем поле ( $H > 120$  кА/м), при этом пластинки в результате стрикционных напряжений поля и векторы намагничаются в том же направлении, что и материал после термической обработки, что позволяет получить магнитную проницаемость  $H_c$  и  $\omega_{max}$ . Наиболее высокие значения получены на сплавах с содержанием кобальта.

Дальнейшее улучшение свойств в литых сплавах столбчатых кристаллов при кристаллизации

вливаются повторным намагничиванием. Структурная нестабильность при нагреве ограничивает применение магнитно-твердых материалов с неравновесной структурой.

Свойства магнитно-твердого материала определяют на образцах-кольцах. Полученные значения  $B_r$  и  $\omega_{max}$  предельные, так как при иной форме магнита на незамкнутых концах возникает размагничивающее поле  $H_p$ , и свойства будут занижены.

Магнитно-твёрдые материалы для постоянных магнитов классифицируют по способу изготовления на литые, порошковые, деформируемые.

**Магнитно-твёрдые литые материалы.** Ими являются сплавы Fe-Ni-Al на основе железа. Сплавы при 20°C в своей структуре содержат ферромагнитную фазу  $\beta_1$  с большим содержанием железа, вкрашенную в слабоферромагнитную фазу  $\beta_2$ . При термической обработке высокотемпературная фаза  $\beta$  испытывает превращение  $\beta \rightarrow \beta_1 + \beta_2$ , в результате чего удается получить однодоменные кристаллы ферромагнитной фазы  $\beta_1$  пластинчатой формы (рис. 15.20, а), которая обеспечивает большие значения  $H_c$ ,  $B_r$  и  $\omega_{max}$ .

Закалка включает нагрев до температур 1200–1280°C (в зависимости от состава) и охлаждение с определенной критической для каждого сплава скоростью, обеспечивающей наибольшую

ТАБЛИЦА 15.10. Магнитные свойства для (ГОСТ 15000-85)

Сплав	$\omega_{max}$ , кДж/м <sup>3</sup>
ЮНД4	3,6
ЮНД8	5,1
ЮНДК18	9,7
ЮНДК35Т5Б	16
ЮНДК35Т5БА	36

ром, буквы ММК  
металлокерамичес

вленным теплоотводом и в магнитном поле. Длина таких кристаллов может достигать 300 мм. Ось кристалла совпадает с направлением легкого намагничивания. Сплав благодаря анизотропии формы приобретает высокие значения  $H_c$  и  $B_r$ ; увеличение выпуклости кривой размагничивания приводит к увеличению  $\omega_{max}$  (рис. 15.21).

К недостаткам литых сплавов Fe-Ni-Al относятся их повышенная хрупкость и высокая твердость, что исключает все виды обработки, кроме шлифования. Этих недостатков лишены спеченные сплавы Fe-Ni-Al.

**Порошковые магнитно-твердые материалы.** Сплавы Fe-Ni-Al получают спеканием порошков металлов при 1300 °C в атмосфере аргона или иной защитной атмосфере. Для обеспечения высоких значений  $B_r$  и  $\omega_{max}$  сплавы не должны быть пористыми. Порошки используют мелкодисперсные и желательно неравноосные. Магнитные свойства спеченных сплавов (после тех же видов термической и термомагнитной обработки, которые применяют и для литых сплавов) приведены в табл. 15.11. Такие сплавы используют для мелких и точных по размеру магнитов. По составу спеченные сплавы близки к литым, но по магнитным свойствам несколько уступают им. Цифра в марках сплавов является порядковым номе-

**Магнитно-твердые**  
получают спекание  
Fe, Ba и Co. По свой-  
ствам ( $\omega_{max}$  и особен-  
ливым сплавам Fe  
чи диэлектриками,  
ваться как постоян-  
кочастотных магнит-  
пловых потерь. Значи-  
тельно выше.  
Это связано с на-  
однодоменных не-  
оксидов (рис. 15.1).  
Торых ферритов бы-  
ведены в табл. 15.11.

Цифра, стоящая в  
определяет значение  
указывает металл в  
ответственно означа-  
зотропный феррит.  
в марке равны коэф-

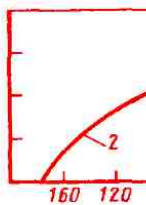


Рис. 15.22. Кривые  
ритов:

1 – порошки сферичес-  
кого, равноосные, прессованы

сколько меньше  $H_{cM}$  (см. рис. 15.2).

Высокое значение  $H_{cM}$  у бариевых ферритов связано с большой константой анизотропии  $K$  и анизотропией формы порошков. Диаметр однодоменной частицы у ферритов бария составляет 1,5 мкм, что позволяет придавать им некоторую неравноосность. Такие ферриты имеют высокую структурную и магнитную стабильность. Прессование порошков в магнитном поле делает ферриты анизотропными, так как векторы намагниченности  $M_s$  ориентируются вдоль поля.

Кобальтовые ферриты уступают бариевым ферритам в значении константы анизотропии. Кроме этого, диаметр однодоменной частицы в них очень мал – 0,1 мкм, что осложняет их получение, в особенности в неравноосной форме. Промышленные анизотропные кобальтовые ферриты уступают по магнитным свойствам бариевым ферритам. Достоинством их является большая температурная стабильность.

Магниты из РЗМ изготавливают из кристаллов промежуточных фаз редко-

и  $K_2Co_{17}$ , где  $K$  –

талл. В их числе са-

Pr, иттрий Y.

В производстве из-  
ибольшее распрос-  
тод жидкофазного  
рошков с размером  
Для получения  
к порошкам и  
в табл. 15.13, доб-  
элементов. Темпера-  
ких сплавов должна  
туры спекания по-  
спекания сплав ра-  
няет микропоры.  
кам  $SmCo_5$ , в кото-  
вляют сплав состава  
Для получения а-  
прессуют в магните-

В табл. 15.13  
константы анизотропи-  
ности насыщения  
четные значения  
 $H_{cM}$ . Значение  $K$  у  
рядка больше, чем  
основание считать,  
ничивания идет в  
векторов намагничива-  
ляется кристаллогра-  
пией.

Названные соеди-  
бальтом имеют кри-  
ки с малой симме-  
или тетрагональны  
большие значения

Магнитные ха-  
сплавов РЗМ при

ТАБЛИЦА 15.13. Магнитные характеристи-  
ки соединений РЗМ

Соединение	$K$ , МДж/м <sup>3</sup>	$M_s$ , Тл	$H_{cM}$ , МА/м (расчетные данные)
$Sm_2Co_{17}$	3,5	1,1	6,4
$SmCo_5$	8 – 11	0,97	17 – 23
$PrCo_5$	6,9 – 10	1,2	12 – 17
$YCo_5$	5,5	1,06	10

КСП37А	63 Со	72,5	500	640	0,9
--------	-------	------	-----	-----	-----

Значения коэрцитивной силы  $H_{cM}$  таких сплавов на порядок меньше расчетных, но выше, чем у бариевых и кобальтовых ферритов в 4–5 раз. Кривые размагничивания опытного анизотропного сплава из РЗМ, приведенные на рис. 15.23, показывают значения  $H_{cM}$  и  $H_{cb}$ , равные 1320 и 808 кА/м, соответственно, при  $\omega_{max} = 104$  кДж/м<sup>3</sup>. Указанное значение магнитной мощности наибольшее для всех магнитно-твердых материалов.

**Деформируемые магнитно-твердые сплавы.** Сплавы на основе пластичных металлов Fe, Со, Cu, их марки и магнитные свойства приведены в табл. 15.15. Сплавы подвергают обработке давлением, что позволяет использовать их как магниты в виде тонких лент и проволоки. Хорошие магнитные свойства получают после закалки и старения, что объясняется получением мелкодисперсных ферромагнитных фаз в немагнитной основной фазе. В процессе пластической деформации

матрицы сплава, она характеризуется высокой магнитной мощностью при низком значении  $\omega_{max}$  литых сплавов. Структурный недостаток – это неоднородный состав сплава, что ограничивает применение.

Высокоуглеродистые сплавы с содержанием углерода более 1% С имеют структуру из мелкодисперсными неферромагнитными включениями цементита по всему объему сплава. Отсутствие магнитных свойств. Относительное значение  $H_c$  определяется формой и размерами частиц формы мелких (пластинок) и больших (зерен) ферромагнитной фазы. Для сплавов с большими упругими напряжениями пересыщенного состояния, каким является мартенсит, получают значительно магнитно-упрочненные сплавы.

Большим достоинством деформируемых сплавов являются высокая магнитная анизотропия и технологичность обработки давлением. В связи с этим они находят широкое применение в магнитах больших размеров.

ТАБЛИЦА 15.15. Магнитные свойства деформируемых сплавов для магнитов

Наименование	Сплав		Магнитная анизотропия	$\omega_{max}$ , кДж/м <sup>3</sup>
	Состав, %	Марка		
Хромко	45 Fe; 30 Cr; 25 Со	30ХК25	Нет	70
Викаллой	52 Со; 35 Fe; 13 V	52К13Ф	Есть	100
Кунико	50 Cu; 21 Ni; 29 Со	—	Есть	80
Кунифе	60 Cu; 20 Ni; 20 Fe	—	Нет	60
Платинакс	78 Pt; 22 Со	ПлК78	Есть	60



сплавы системы Fe–Ni. При больших содержаниях никеля в сплавах образуется непрерывный ряд твердых растворов с ГЦК решеткой (см. рис. 15.9). Согласно правилу Курнакова температурный коэффициент линейного расширения твердых растворов в функции состава изменяется по непрерывной криволинейной зависимости. В сплавах Fe–Ni эта зависимость более сложная (рис. 16.1), что дает возможность создавать сплавы с малым температурным коэффициентом линейного расширения – инварные сплавы.

Заниженное значение температурного коэффициента линейного расширения в инварных сплавах имеет ферромагнитную при-

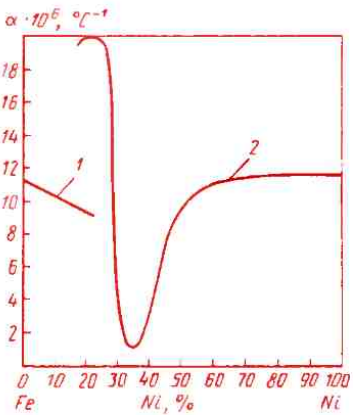


Рис. 16.1. Зависимость температурного коэффициента линейного расширения от содержания никеля в железоникелевых сплавах:  
1 –  $\alpha$ -фаза; 2 –  $\gamma$ -фаза

вая линия).

В сплавах инварность (т. е. нейтральность в этой области температуры) (нейтральная линия) в результате различия в ориентации спиновых магнитных моментов атомов, несколько различающихся по величине, определяется магнитострикционными

Магнитострикция – явление изменения линейных размеров ферромагнетика при действии магнитного поля (см. гл. 15). В области магнитного притяжения ( $H < H_s$ ) магнитострикция имеет линейный характер, в области магнитного отталкивания ( $H > H_s$ ) – объемный.

Такие же явления наблюдаются и при изменении внутреннего магнитного состояния ферромагнетика (рис. 16.3): магнитострикция определяется формой и размером доменов, а также магнитострикцией. Истинные магнитострикции наблюдаются лишь при наложении на сплавы выше температуры точка Кюри, при которой устраняются все магнитные домены и исчезают магнитные деформации в связи с тем, что исчезает магнитное состояние. Истинные магнитострикции на условно показаны на рисунке 16.3 в виде наименьшего квадрата, охватывающего точку Кюри. На температур ниже точки Кюри магнитострикция наблюдается, вытягивая его в виде эллипса, а выше – в виде квадрата в прямом угле. Максимальная магнитострикция увеличивается с температурой (прямоугольника).

В кристаллах ферромагнетиков сплавы инварного типа, имеющиеся в сплавах, возникшая из-за внутренних напряжений, не удаляется, так как обработка сплавов при температуре в них мала, а линейные деформации доменов не могут быть уменьшены. В сплавах же, имеющих высокую температуру ферромагнетизма, магнитострикция может быть уменьшена.

ченными, так как в них велика объемная магнитострикция.

Температурный коэффициент линейного расширения для ферромагнетиков в общем виде определяется формулой

$$\alpha = \alpha_0 - \Delta,$$

где  $\alpha_0$  – нормальный коэффициент линейного расширения, определяемый энергией связи атомов;  $\Delta$  – ферромагнитная часть коэффициента линейного расширения, основной составляющей которой является объемная магнитострикция парапроцесса.

Изменение размеров детали из инварного сплава при нагреве, описываемое формулой  $A_t = A_{20}(1 + \alpha t)$ , показано в виде схемы (рис. 16.4). Нормальная составляющая размера  $A_0$ , определяемая энергией связи атомов, растет вследствие уменьшения энергии при нагреве. Этот рост компенсируется уменьшением магнитострикции, так как при нагреве уменьшается намагниченность ферромагнетика из-за тепловых колебаний атомов.

В результате размер  $A$  при нагреве до температуры точки Кюри увеличивается незначительно, а для некоторых инварных сплавов

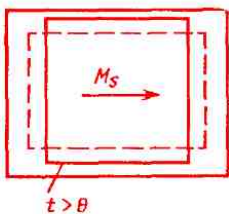


Рис. 16.3. Схема изменения формы и размера домена ферромагнетика под влиянием внутреннего магнитного поля

даже уменьшается, т. е. коэффициент линейного расширения имеет отрицательное значение.

Так, сплав, содержащий 29% Ni и 37% Fe, в интервале температур 70–100 °C имеет  $\alpha = -1,2 \cdot 10^{-6}$  из-за высокого содержания никеля, делающего антикоррозионные свойства.

При нагреве выше температуры Кюри ферромагнитная анизотропия теплового расширения преодолевает перехода сплава в параметрический режим и коэффициент  $\alpha$  резко возрастает. Это объясняет антипиритные значения коэффициентов линейного расширения.

В инварных железах, содержащих 29–45% никеля, ферромагнитная анизотропия температуры  $\alpha$ . Минимальное значение  $\alpha$  в интервале температур 0–100 °C имеет сплав 36Н, содержащий никель.

Сплав 36Н, называемый инваром (или инварным), – основной инварийный сплав с минимальным коэффициентом  $\alpha$ . Низкое значение  $\alpha$  в области температур выше температуры Кюри обеспечивает хорошие механические и антикоррозионные свойства. Инварии использовались для изготовления конструкционных материалов для приборов, от которых требуется постоянство размеров в широком диапазоне температуры в условиях эксплуатации.

термической обработки сплава.

Углерод в процессе термической обработки образует с железом и никелем пересыщенные твердые растворы внедрения. В процессе эксплуатации, выделяясь, углерод вызывает «ползучесть» значения коэффициента  $\alpha$ . Это связано с изменением параметра кристаллической решетки и магнитострикции параллельного процесса, поэтому содержание углерода в сплаве должно быть минимальным (не более 0,05 %). Минимальное значение коэффициента  $\alpha$  у инвара достигается после закалки от 830 °C, в процессе которой все примеси переходят в твердый раствор. Отпуск при 315 °C в течение 1 ч приводит к выделению мелкодисперсных избыточных фаз; последующее старение при 95 °C в течение 48 ч снижает все остаточные внутренние напряжения, возникающие в процессе технологической обработки деталей, и стабилизирует значение коэффициента  $\alpha$ .

Свойства инвара дополнительно улучшают легированием кобальтом, который частично заменяет никель, и медью. Сплав такого типа, называемый *суперинвар*, имеет еще более низкое значение коэффициента  $\alpha$  (табл. 16.1).

Особую группу составляют сплавы для пайки и сварки со стеклом. Составы этих сплавов подобраны таким образом, чтобы коэффициент  $\alpha$  сплава соответствовал коэффициенту  $\alpha$  материала, с которым производится соединение, во всем интервале температур, вплоть

в условиях эксплуатации герметичного соединения.

Помимо этого основной задачей сплава является выдвигание стекла при нагревании пластично и без разрушения, не снижая при этом пластичности сплава.

Основной представитель группы — сплав 29НД («суперинвар»), который имеет коэффициент  $\alpha$ , как термоэлектрический сплав, близкий к нулю. Никель в сплаве заменена кобальтом, а медь заменена цинком. При нагревании сплава до 420 °C начинается размягчение стекла.

Сплав пластичен при давлении, не превышающем 100 кг/мм<sup>2</sup>, и имеет меньшую пластичность, чем сплавы на основе титанового и молибденового производства.

Сплав 47НД относится к сплавам, имеющим такие же свойства, как платина и нетермически стабильные стекла.

Этот сплав называют «стекло-сплавом» и используют для пайки стеклом и металлическими конструкциями промышленности. Сплав имеет низкое содержание никеля, что снижает температуру плавления стекла.

Для пайки с керамическими материалами используется сплав 33НК, являющийся аналогом сплава 29НД, но с повышенным содержанием никеля. Для такой пайки требуется очень точного совпадения коэффициентов линейного расширения сплава и керамики.

мыкает) электрическую цепь.

## 16.2. Сплавы с заданным температурным коэффициентом модуля упругости

Сплавы Fe–Ni, помимо низких значений температурного коэффициента линейного расширения при некоторых концентрациях никеля, обладают еще одним замечательным свойством — малым *температурным коэффициентом модуля упругости*.

Во всех твердых телах, в том числе и металлах, модуль упругости при нагреве уменьшается в связи с уменьшением энергии межатомных связей.

В некоторых сплавах Fe–Ni, называемых элинварными, наблюдается аномалия в изменении модуля упругости при нагреве, который либо растет, либо изменяется очень незначительно.

Элинварные сплавы широко применяют для изготовления упругих элементов и пружин точных приборов и механизмов (пружин, камертонов, резонаторов электромеханических фильтров и пр.). Постоянство модуля упругости обеспечивает малую температурную погрешность прибора в условиях эксплуатации.

Природа аномальности изменения модуля упругости при нагреве, так же как и природа инварности, ферромагнитного происхождения.

Внешние растягивающие напряжения действуют на ферромагнетик подобно магнит-

ному полю, ориентируя домены и вызывая нейную и объемную), называют *механострикцию*.

В результате общего магнетика при воздействии напряжений будет складываться механической  $\delta_0$  и магнитных составляющих.

Модуль нормальной магнетика определяется

$$E = \sigma /$$

т. е. значения модуля вследствие дополнительной ферромагнитной природы.

На рис. 16.5 показана деформация ферромагнита в зависимости от внешней нагрузки на него. Магнитострикционный модуль упругости ферромагнетиков не является только упругой величиной и имеет значение

$$E_0 =$$

Таким образом, во многих материалах модуль упругости несколько занижен из-за природы ферромагнитной

$$E = E_0 +$$

В элинварных сплавах из-за объемной механострикции  $\Delta E$ -эффект, в отличие от магнетиков, приобретает особую форму и вызывает аномальную зависимость модуля упругости при нагреве.

Возможный характер зависимости модуля упругости  $E$  ферромагнетиков от температуры нагрева показан на рис. 16.6. Уменьшение  $E_0$  при нагреве

лаблением сил межатомного взаимодействия. Снижение  $\Delta E$  с повышением температуры, вызванное уменьшением намагниченности ферромагнетика, приводит не к снижению, а, наоборот, к росту модуля нормальной упругости  $E$ . Из этой же схемы следует, что модуль упругости ферромагнетика может также сохраняться постоянным до температуры точки Кюри.

Температурный коэффициент модуля нормальной упругости, называемый для краткости *термоупругим коэффициентом*  $\gamma$ , определяет характер изменения модуля упругости при нагреве. В ферромагнитных материалах этот коэффициент может иметь знак плюс в тех случаях, когда модуль упругости при нагреве растет, а также знак минус, когда модуль упругости, как и у неферромагнитных материалов, снижается:

$$E_t = E_{20} (1 + \gamma t),$$

где  $E_{20}$  — модуль упругости при  $20^\circ\text{C}$ .

В элинварных сплавах термоупругий коэффициент всегда имеет положительное значение и может быть равным нулю.

Для сплавов Fe—Ni значения термоупругого коэффициента определяются содержанием никеля (рис. 16.7). В сплавах, содержащих от 29 до 45% Ni, коэффициент  $\gamma$  имеет положительное значение, что свидетельствует о наличии большой аномалии в изменении модуля нормальной упругости при нагреве.

Сплавы с содержанием 29 и 45% Ni

званный элинваром сплав наряду с отмечавшими обладает первых, он имеет некоторые специфические характеристики, позволяющие улучшить термическую стабильность сплава. Аустенитная структура сплава имеет невысокую точку Кюри ( $\sim 100^\circ\text{C}$ ), что расширяет рабочий интервал температур.

Впоследствии сплавы были сплавлены с титаном и альюминием, что позволило упрочнить сплавы. Структурной обработкой, включая термическую обработку, снизили температуру плавления сплавов. В результате термической обработки сплавов получены высокопрочные материалы с высокой температурой плавления.

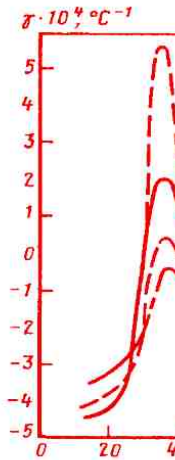


Рис. 16.7. Зависимость температурного коэффициента  $\gamma$  от содержания никеля в сплавах Fe—Ni

тими свойствами для пружин и упругих элементов, от которых требуется немагнитность и высокая коррозионная стойкость в агрессивных средах (см. гл. 11).

Дальнейшее распространение элинварные сплавы получили в виде сплавов с содержанием 5–6% Cr и 42–44% Ni. Термоупругий коэффициент таких сплавов близок к нулю (см. рис. 16.7). Повышенное содержание никеля обеспечивает более высокую температуру точки Кюри, что расширяет температурную область их применения. Для получения хороших механических свойств эти сплавы дополнительно легируют титаном и алюминием, что позволяет упрочнить их термической обработкой (табл. 16.2). Содержание углерода в сплавах должно быть минимальным.

Сплавы 42НХТЮ получены минимальный коэффициента  $\gamma$  и внутренние напряжения гают термической обработкой при 950 °C, при которой фазы растворяются в сплаве. В результате следующему отпуску при 700 °C в течение 4 ч получают мелкодисперсную промежуточную металлическую структуру.

Правильно проведенная термическая обработка указанных сплавов обеспечивает коэффициент линейного расширения  $\pm 1,5 \cdot 10^{-5} \text{ }^{\circ}\text{C}^{-1}$  в интервале температур 20–100 °C. Основной недостаток сплавов – нестабильность коэффициента  $\gamma$  при возникновении химического состава сплава.

тияния, по характеру зависимости от температуры и по типу проводимости.

Проводники—удельное электрическое сопротивление в пределах  $10^{-8}$  —  $10^{-5}$  Ом·м, с ростом температуры увеличивается. Используют для проводников постоянного и переменного тока, резисторов, нагревательных элементов, контактов и т. п.

Полупроводники—удельное электрическое сопротивление в пределах  $10^{-5}$  —  $10^8$  Ом·м, с ростом температуры уменьшается. Применяют для выпрямления, усиления электрических сигналов, превращения различных видов энергии в электрическую и т. д.

Диэлектрики—удельное электрическое сопротивление в пределах  $10^8$  —  $10^{16}$  Ом·м, используют как изоляторы.

## 17.1. Материалы высокой электрической проводимости

**Электрические свойства проводниковых материалов.** Электрическая проводимость твердых тел, в первую очередь, определяется электронным строением атомов.

В твердых телах в результате взаимодействия электромагнитных полей атомов энергетические электронные подуровни расщепляются, образуя энергетические зоны (рис. 17.1).

При переходе к более высоким энергиям ширина зоны разрешенных подуровней расстет и зоны перекрываются, а зоны запре-

тятся. В кристаллах неперемещающихся (Ag, Au, Al, Na) валентные зоны полностью заполнены электронами, поэтому нее электрическое поле не может вытеснить электронов в зону проводимости. Для этого требуется дополнительная энергия, называемая энергией ионизации.

Несколько меньшие зоны проводимости обладают Fe, Ni, Cr и т. д. Они имеют полупроводниковые зоны, с заполненной валентной зоной и пустой зоной проводимости. Взаимодействие между атомами в пределах зоны проводимости возможно, но не так интенсивно, как в пределах зоны валентных электронов. Поэтому зона проводимости имеет меньшую ширину, чем валентная зона. Число электронов в зоне проводимости зависит от температуры и от концентрации примесей.

В отличие от металлов (металлических зон), в которых валентные зоны полны электронов и отделены от зоны проводимости, в диэлектриках валентные зоны полны электронов и отделены от зоны проводимости.

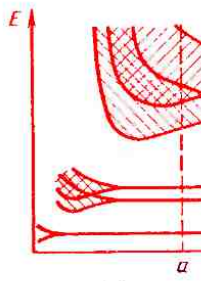


Рис. 17.1. Образование зон при сближении атомов.

ной запрещенных энергий (рис. 17.2, б). При нагреве происходит термическое возбуждение электронов. В некоторых кристаллах часть валентных электронов, преодолев зону запрещенных энергий, попадает в свободную зону, и появляется проводимость; их называют полупроводниками.

Ширина запрещенной зоны определяет электрическую проводимость полупроводников. Для химически чистого германия ширина запрещенной зоны равна  $1,2 \cdot 10^{-19}$  Дж. В алмазе она столь велика, что по электрической проводимости он близок к диэлектрикам. Серое олово по электрической проводимости близко к металлам, так как запрещенная зона мала. Дефекты и примеси уменьшают ширину запрещенной зоны и изменяют число электронов проводимости.

Электроны в проводниках при наложении электрического поля испытывают тормозящее влияние кристаллической решетки. В идеальном кристалле при температуре абсолютного нуля электроны, обеспечивающие проводимость, должны двигаться беспрепятственно. Такая решетка не должна оказывать сопротивление продвижению электронов проводимости, так как энергетические зоны электронов точно повторяются от атома к атому (рис. 17.3, а).

Сопротивление возникает при нарушении регулярного повторения зон вследствие рассеяния электронов. Такие нарушения создаются атомы примесей (или легирующие элементы) (рис. 17.3, б), а также тепловые колебания атомов, при которых неизбежны отклонения их амплитуды от среднего значения (флуктуации энергии). В ферромагнитных металлах Fe, Ni, Co электроны проводимости испытывают также рассеяние,

вызванное магнитным с ионным остатом решетки.

Таким образом, общее противление металла складывается из сопротивлений, обусловленных межатомным рассеянием (реологическое сопротивление, определяемое рассеянием, исключая деформацию) и растет с повышением температуры. Влияние легирующих элементов на электрическим сопротивление

Деформация и остаточные напряжения, возникающие при технологической обработке, создают искажения в кристаллической структуре (вакансии, дислокации), которые также влияют на сопротивление вследствие дополнительных деформаций. Однако доля этого сопротивления (которое показано для алюминия на рисунке) невелика по сравнению

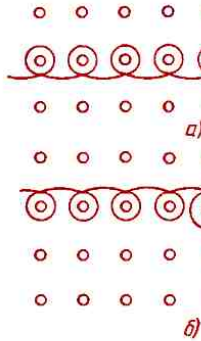


Рис. 17.3. Движение электронов в кристалле:  
а – идеальной; б – реальной; атома

Рис. 17.4. Изменение электрического сопротивления меди и сплавов при нагреве

Температура нагрева оказывает влияние лишь на электрическое сопротивление, которое определяется тепловым рассеянием  $\rho_m$ . Электрическое сопротивление, обусловленное примесным рассеянием  $\rho_L$ , при всех температурах остается постоянным. Таким образом, для металлов, в которых есть примесь, а также для сплавов общее сопротивление складывается из  $\rho_L$ , которое не изменяется при нагреве, и  $\rho_m$ , которое линейно растет при повышении температуры.

Для технических металлов и их сплавов влияние температуры нагрева на электрическое сопротивление с некоторым приближением можно выразить следующей формулой:

$$\rho_T = \rho_0 (1 + \alpha_p T), \quad (17.1)$$

где  $\rho_T$  — удельное электрическое сопротивление при температуре  $T$  (включает тепловое и примесное рассеяния);  $\rho_0$  — удельное электрическое сопротивление при 0 К (включает только примесное рассеяние).

Из этой формулы можно определить значение температурного коэффициента электрического сопротивления  $\alpha_p$ :

$$\alpha_p = (\Delta \rho / T) (1 / \rho_0). \quad (17.2)$$

Для чистых металлов удельное электрическое сопротивление  $\rho_0$  невелико, и  $\alpha_p$  для всех металлов, за исключением ферромагнитных, имеет практически одинаковое значение, равное  $0,004 \text{ } ^\circ\text{C}^{-1}$ . У ферромагнетиков, например у железа, этот коэффициент несколько больше  $0,006 \text{ } ^\circ\text{C}^{-1}$ .

Для сплавов величина  $\Delta \rho / \Delta T$  определяет рост сопротивления вследствие теплового

удельное электрическое сопротивление, которое  $\rho_0$  имеет максимальное значение, а температурный коэффициент сопротивления будет минимальным.

Влияние легирующих элементов на проводимость сплавов определяется видом обработки сплава.

При образовании сплавов удельное электрическое сопротивление сплавов при  $20^\circ\text{C}$ , как это видно на рис. 17.5 в функции от концентрации, согласно правилу Н. С. Куранова, нелинейной зависимости удельного сопротивления от концентрации сплава, получает максимальное значение в случае сплавов при концентрации, равной 50 ат. % никеля. Для сплава примесное сопротивление

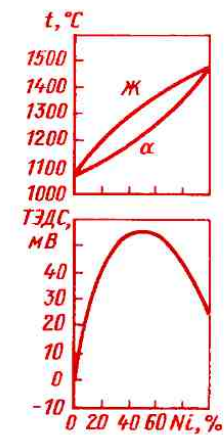


Рис. 17.5. Диаграмма сплавов Cu — Ni

влением, следует использовать сплавы со структурой твердых растворов.

При образовании в сплаве промежуточных фаз электрическое сопротивление резко изменяется. В промежуточных фазах с ионным или ковалентным типом связи проводимость возникает из-за дефектности структуры вследствие недостатка или избытка атомов одного сорта. Те и другие фазы являются полупроводниками, при этом проводимость в ковалентных кристаллах создают электроны, а в ионных кристаллах также и ионы.

Промежуточные фазы с металлическим типом связи (электронные фазы, фазы Лавеса,  $\sigma$ -фазы, фазы внедрения) достаточно электропроводны, а при упорядочении в расположении атомов при определенном стехиометрическом составе возможно возникновение сверхпроводимости.

При образовании смесей из перечисленных фаз электрическое сопротивление сплава по правилу Н. С. Курнакова растет по закону сложения. На рис. 17.6 это показано на примере сплавов, образующих твердые растворы ограниченной растворимости и эвтектические смеси. Подобные сплавы сохраняют высокую электрическую проводимость чистых металлов, но по сравнению с химически чистыми металлами имеют некоторые дополнительные преимущества: более низкую температуру плавления, лучшую жидкотекучесть (для сплавов эвтектического состава), более высокую твердость и износостойкость, если

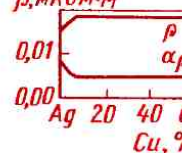


Рис. 17.6. Диаграмма сплавов Ag–Cu

один из сплавляемых элементов является таковыми, и т.

Таким образом, введение в сплавы элементов на основе которых имеется разнообразие, позволяет получать материалы с различными техническими свойствами.

Влияние деформации на электрическую проводимость чистых металлов и сплавов. В связи с этим, несмотря на то что у сплавов, полученных термической обработкой, проводимость выше, чем у чистых металлов, можно добиться улучшения проводимости чистых металлов, если их подвергнуть деформации.

В сплавах влияние деформации на электрическую проводимость может быть различным. Наклеп, вызываемый деформацией, уменьшает электрическую проводимость чистых металлов, но повышает ее у сплавов. Таким образом, проводимость сплавов, полученных термической обработкой, может быть выше, чем у чистых металлов.

Проводниковые ма-

стности от удельного

териала, и, следовательно, с повышенным электрическим сопротивлением.

**Металлы и сплавы высокой проводимости.** Проводниковые металлы кроме высокой электрической проводимости (малое электрическое сопротивление) должны иметь достаточную прочность, пластичность, которая определяет технологичность, а также коррозионную стойкость в атмосферных условиях и в некоторых случаях высокую износостойкость. Кроме того, металл должен хорошо свариваться и подвергаться пайке для получения соединения высокой надежности и электрической проводимости.

Практическое применение имеют химически чистые металлы: Cu, Al, Fe.

Эти металлы обладают высокой электрической проводимостью при минимальном содержании примесей и дефектов кристаллической решетки. В связи с этим такие металлы (табл. 17.1) используют в технически чистом виде и, для достижения максимальной электрической проводимости, в отожженном состоянии.

**Медь — проводниковый материал (ГОСТ 859-78).** Наиболее чистая бескислородная медь М006 имеет суммарное содержание примесей 0,01 %, М06 — 0,03 % и М1 — 0,1 %.

Наиболее вредная примесь в меди — кислород. Помимо ухудшения проводимости кислород при отжиге полуфабрикатов и изделий из чистой меди в водороде вызывает растрескивание и потерю прочности, поэтому содержа-

щая медь отожженному в табл. 17.1 чают переплавом защеленной меди в вакуумной катодной медией металлургии.

Медь указанных в виде проката: прометров, шин, полос.

Прокат из меди бо в отожженном состоянии. Отожженная высокую проводимую большую промышленные свойства диаметра проводов соответствуют близким и меньшая пластичность в ванном, так и в ниях. Отожженную обмоточных проводов, делий, нагартованы весных токонесущих водов, коллекторных

ТАБЛИЦА 17.2. Механические свойства меди

Свойства	Меди
	отожженная
ρ, мкОм·м	0,0175
σ <sub>в</sub> , МПа	250—280
δ, %	20—30

Все примеси, так же как и в меди, снижают проводимость алюминия, которая несколько ниже, чем у меди (см. табл. 17.1).

Алюминий высокой чистоты обладает хорошей пластичностью, поэтому из него изготавливают конденсаторную фольгу толщиной 6–7 мкм. Технически чистый алюминий используют в виде проволоки в производстве кабелей и токонесущих проводов.

Алюминий уступает меди в электрической проводимости и прочности, но он значительно легче, больше распространен в природе. При замене медного провода алюминиевым последний должен иметь диаметр в 1,3 раза больше, но масса его и в этом случае будет в 2 раза меньше. Так же, как и медь, алюминий используют или в отожженном, или нагартованном состоянии (см. табл. 17.2).

Для токонесущих проводов воздушных линий электропередачи с большими расстояниями между опорами используют алюминиевые сплавы (Al-Mg-Si) более прочные, чем чистый алюминий (см. п. 12.1).

Легирование алюминия магнием и кремнием в небольших количествах (менее 1% каждого) несколько ухудшает электрическую проводимость, но упрочняет сплав, практически не ухудшая пластичность и коррозионную стойкость:  $\sigma_b = 350$  МПа при  $\rho = 0,032$  мкОм·м.

Железо значительно превосходит алюминию по прочности, но при большую прочность в отожженном состоянии (см. п. 8.3). Эти стали имеют

точно такую же проводимость  $= 300 \div 700$  МПа и механические свойства, как и алюминий. Их применяют для изготовления шин, трамвайных проводов, метров и железнодорожных колес, скоб для тягой. Сечения могут быть различными, но не выше 1000 мм<sup>2</sup>. Сечение может быть различным, но не выше 1000 мм<sup>2</sup>.

Биметаллический провод, покрытый сталью, при передаче переменной частоты. Тонкая стальная оболочка позволяет уменьшить сопротивление проводу, связанные с ферромагнитным материалом, и расход дефицитного металла. Проводимость определяется толщиной слоя, так как токи в проводнике распределяются по скин-эффекту. Сердцевина из стали воспринимает ток, передавая нагрузку на гальваническим способом. Наружный слой защищает железо от коррозии.

Биметаллический провод имеет

высокотемпературной пайки с более высокой температурой плавления. Для получения хорошего соединения припой должен иметь более низкую температуру плавления, чем металл, подвергающийся пайке; в расплавленном состоянии припой должен хорошо смачивать поверхности. Температурные коэффициенты линейного расширения металла и припоя должны быть близки.

Для этих целей используют припои на основе Sn, Pb, Zn, Ag, имеющих хорошую электрическую проводимость. Сплавы этих металлов образуют эвтектические смеси, электрическое сопротивление которых мало отличается от металлов, образующих сплав.

В приборостроении для низкотемпературной пайки применяют оловянно-свинцовые и оловянно-цинковые (ГОСТ 21931-76) припой.

Сплавы олова и свинца образуют диаграмму состояния эвтектического типа с твердыми растворами ограниченной растворимости. Сплав эвтектического типа (состав 61% Sn и 39% Pb) имеет низкую температуру плавления 183°C и хорошую жидкотекучесть, что обеспечивает качественное формирование шва и высокие механические свойства. Такой сплав обозначают ПОС-61. Применяют также сплавы дозвтектического ПОС-18, ПОС-30, ПОС-40, ПОС-50 и заэвтектического ПОС-90 составов. Цифра в марке указывает на содержание олова. Припой такого типа имеют переходное электрическое сопротивление  $\rho =$

ПОЦ-40, так же как и  
зуют для пайки алюминиевых  
вов.

В тех случаях, когда низкая температура для пайки используется со свинцом, оловом или се сплавления металлов собой легкоплавкие сложные эвтектики при низкая температуре. Следует отметить, что они обеспечивают высокую прочность. Кроме того, они являются хрупкими.

Припой для сварки обеспечивает единение, чем при термической пайке, также температура взаимной диффузии обоих металлов и припоя ниже, чем низкотем-

В качестве высокопоев используют медно-фосфористые припои, содержащие ковые припои (ГОСТ ПМЦ-48, ПМЦ-54) и держание меди) имитическое сопротивление 0,03–0,04 мкОм·м, ния их при увеличении возрастает от 825 ние медно-фосфори (цифра указывает

в марке, припой содержит медь или медь с цинком. В припоях ПСр-72, ПСр-61, ПСр-45, ПСр-10 переходное сопротивление возрастает от 0,022 до 0,065 мкОм·м, температура плавления соответственно изменяется от 779 до 920 °С (см. рис. 17.6).

**Сверхпроводники.** Особую группу материалов высокой электрической проводимости представляют сверхпроводники.

С понижением температуры электрическое сопротивление всех металлов монотонно падает (рис. 17.7). Однако есть металлы и сплавы, у которых электрическое сопротивление при критической температуре резко падает до нуля — материал становится сверхпроводником. Сверхпроводимость обнаружена у 30 элементов и около 1000 сплавов. Сверхпроводящие свойства обнаруживают многие сплавы со структурой упорядоченных твердых растворов и промежуточных фаз ( $\sigma$ -фаза, фаза Лавеса и др.). При обычных температурах эти

сплавы имеют высокую прочность, но при температуре перехода в сверхпроводники они становятся очень хрупкими. Критическая температура для различных сплавов различна: от 4,2 К для никеля и никелево-титановых сплавов до 135 К для сверхпроводников на основе свинца.

Сверхпроводящие свойства обнаруживаются не только в металлах, но также в сильнодействующих магнитах при пропускании через них большой силы (изменении поля и тока).

Из всех элементов, способных стать сверхпроводниками, бор имеет самую высокую критическую температуру ( $-263,83^{\circ}\text{C}$ ). Практическое применение нашли сверхпроводники с высоким содержанием бора — сплавы 35БТ (ГОСТ 10-75), содержащие 22–26% Б, 8,5–11,5% Zr и имеющие критическую температуру перехода в сверхпроводники  $T = 4,2$  К. Критическая плотность тока составляет 10<sup>6</sup> А/м. Для сплава 35БТ состава 36,5% Nb; 1,7–4% Ti характерна повышенная хрупкость при температуре перехода в сверхпроводники.

Оба сплава применяются в мощных генераторах и трансформаторах большой мощности (до 100 МВт).

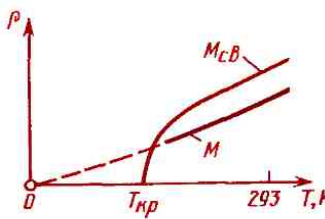


Рис. 17.7. Изменение электрического сопротивления в металлах ( $M$ ) и сверхпроводниках ( $M_{cb}$ ) в области низких температур

**Контактные материалы.**  
Электрические контакты подразделяются на разрывные, скользящие и неподвижные. Основное требование для всех контактов — малое *переходное электрическое сопротивление*.

**Разрывные контакты.** Эти контакты предназначены для периодического замыкания и размыкания цепи и работают в наиболее трудных условиях. В процессе работы разрывных контактов возникает искра или электрическая дуга, что вызывает коррозию и электроэрозионный износ.

В результате происходит окисление контакта. Это повышает переходное электрическое сопротивление, вызывает разогрев и сваривание (или прилипание) контакта. Электроэрозионное изнашивание приводит к появлению на контактных поверхностях кратера на одном контакте и иглы — на другом. Это объясняется тем, что металл контакта плавится, испаряется, распыляется на рабочей поверхности и переносится с одного контакта на другой. Сопротивление электроэрозионному изнашиванию в металлах растет с повышением температуры плавления, в сплавах оно дополнительно повышается с ростом твердости и прочности. Из сказанного следует, что материал для разрывных контактов должен иметь не только небольшое переходное электрическое сопротивление, но и хорошее сопротивление коррозии и электроэрозионному изнашиванию.

В зависимости от электрической мощ-

в слабонагруженных. Обычно материалы контактов служат серебро на основе. Основным преимуществом является его высокая проводимость. Одна из электрической дуги и подвергается окислению. Окисление к значительному электрического сопротивления оксид серебра электрическим нагреве восстанавливается, но применяют в контактах при небольших количествах. Серебро в производстве проката из всех благородных металлов.

Широко применяются сплавы серебра с медью (серебряные сплавы сохраняют высокую проводимость, высокую твердость и стойкость к химическому изнашиванию). Серебро. Однако медные сплавы противостоят таким сплавам в слабонагруженных контактах.

Высоконагруженные контакты из вольфрама и сплавов и порошковых материалов.

Вольфрам благодаря своей химической стойкости хорошо сопротивляет электроэрозионному изнашиванию, но подвержен окислению, вольфрамовое сопротивление, так как он имеет высокую температуру плавления.

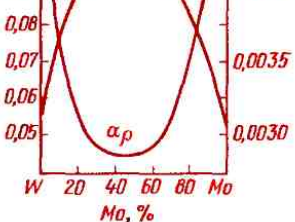


Рис. 17.8. Диаграмма состояния и свойства сплавов W—Mo

проводен, а оксидная пленка вольфрама при работе контакта разрушается. Кроме этого, такие контакты не свариваются при эксплуатации, их применяют при большой частоте переключения.

Такое же назначение имеют сплавы вольфрама с молибденом (рис. 17.8). Эти сплавы, содержащие 40–50% Mo, обладают высоким сопротивлением электроизносу изнашиванию, но вследствие образования непрерывного ряда твердых растворов, электрическое сопротивление сплавов и переходное электрическое сопротивление велики. Сплавы обладают пониженным сопротивлением газовой коррозии, так как молибден и вольфрам образуют легко испаряющиеся оксидные пленки. Такие сплавы можно использовать для мощных контактов, но в среде инертных газов или в вакууме. Сплавы вольфрама с 45% Mo используют также для нитей накаливания электрических ламп и катодов, как сплавы повышенного электрического сопротивления.

В наиболее мощных контактах ис-

пользованы сплавы, в которых молибден проникает в металлическую базу, благородную меди. При такой обработке сплава на основе молибдена равномерно распределяется в нем оксид молибдена. Наличие оксида молибдена в сплаве снижает его сопротивление свариванию. Такие сплавы применяются для нагруженных контактов, контактирующих в скользящих контактах, для которых требуется высокое сопротивление изнашиванию.

Скользящие контакты для скользящих контактов должны удовлетворять тем же требованиям, что и для контактов для скользящих контактов из порошков никеля с небольшой добавкой молибдена (существующего свариванием сплавов СГ3, СГ5). Цифра 3 указывает на содержание молибдена в сплаве.

*Неподвижные контакты* должны иметь низкое переходное сопротивление. Кроме того, они должны быть стабильными при низких и высоких усилиях. Поэтому для неподвижных контактов выбирают материал, не обладающий способностью к образованию пленок высокого сопротивления на контакте. Всем этим требованиям соответствует медь, латунь, цинк.

электрическим сопротивлением используют для прецизионных элементов сопротивления (обмоток потенциометров, шунтов, катушек сопротивления, резисторов, термопар, тензометрических датчиков) и нагревательных элементов электрических приборов и печей.

Повышенным сопротивлением обладают металлические сплавы со структурой твердых растворов. Электрическое сопротивление таких сплавов (см. рис. 17.5) выше сопротивления металлов его составляющих. Сплавы высокого сопротивления должны обладать малым температурным коэффициентом электрического сопротивления, а также высокой жаростойкостью, что особенно важно для нагревательных элементов.

При использовании сплавов в электроизмерительных приборах в паре с медью от них требуется малая термоэлектродвижущая сила (ТЭДС). В большинстве случаев сплавы используют в виде лент или проволоки, а поэтому они должны обладать хорошей пластичностью. Все сплавы с повышенным сопротивлением в зависимости от рабочей температуры делят на три группы.

Сплавы, рабочая температура которых не выше  $500^{\circ}\text{C}$ , используют для изготовления прецизионных элементов сопротивления. К ним относятся медные сплавы, легированные никелем и марганцем. Маркировка, химический

сплавов приведены в табл. 17.1. При легировании никелем сплав МНМц 40–1,5 имеет высокое значение удельного сопротивления и небольшое значение  $\alpha_p$ . Однако для измерения ТЭДС в паре с манганином константа применения ограничена только для изготовления датчиков.

Замена никеля в сплаве марганцем, сохраняя содержание никеля, понижает ТЭДС (см. табл. 17.1). Сплав МНМц 3–12 (мanganникель) имеет низкое значение ТЭДС и применяется для изготовления датчиков, шунтов и т. п.

Для получения сплавов с низким электрическим сопротивлением и низким коэффициентом электрического сопротивления проволоку из манганника кристаллизуют в вакууме при  $400^{\circ}\text{C}$ , а последние сплавы имеют низкое значение ТЭДС и применяются для изготовления датчиков, шунтов и т. п.

Общим недостатком сплавов является их склонность к термоудару при нагреве, что и объясняет то, что для электрическое сопротивления сплавов часто используют сплавы на основе никеля, ребра, палладия, золота и т. п. Марганец–никель–бронзовый сплав с 1% никеля имеет  $\rho = 0,50 \mu\Omega \cdot \text{м}$  и низкое значение ТЭДС, близко к нулю после нагрева до  $175^{\circ}\text{C}$ . Такие сплавы применяются для изготовления датчиков, шунтов и т. п.

Сплавы, рабочая температура которых

торых менее 1200 °С, используют также для элементов сопротивления и нагревательных элементов. Это сплавы на основе железа и никеля. Легирование хромом обеспечивает им высокое электрическое сопротивление и жаростойкость (см. п. 14.2). Маркировка, химический состав и свойства таких сплавов приведены в табл. 17.4. Сплавы на основе железа недефицитны. В этом их преимущество по сравнению с никромами. Однако дополнительное легирование алюминием для повышения жаростойкости ухудшает пластичность, что затрудняет получение проволоки малого сечения. Сплавы на основе железа используют для реостатов и нагревательных элементов в мощных электронагревательных установках и промышленных печах.

При температурах выше 1200 °С (в вакуумных печах) используют сплавы на основе тугоплавких металлов W, Mo, Ta. Для изготовления нагревателей электрических печей (до 1500 °С) применяют также керамические материалы,

например, силитов спекают из карбидов, является полупроводником и имеет высокое сопротивление. Распространены из диоксида молибдена ( $\text{MoSi}_2$ ).

## 17.2. Полупроводники

**Строение и свойства материалов.** К полупроводникам относятся материалы, обладающие электрическим сопротивлением от  $10^8$  Ом·м. К этим относятся 12 элементов (табл. 17.5), простые полупроводники, керамические соединения и группы периодической системы (табл. 17.6).

Из простых полупроводников распространены германий и кремний.

Германий и кремний, как и алмаз, имеют кристаллическую решетку из ковалентных связей. В такой решетке

ТАБЛИЦА 17.5. Ширина запрещенной зоны полупроводниковых элементов

Элемент	Группа	Ширина запрещенной зоны, $10^{-19}$ Дж	Элемент
Бор	III	1,76	Мышьяк
Углерод (алмаз)	IV	8,5	Сурьма
Кремний	IV	1,8	Сера
Германий	IV	1,15	Селен
Олово	IV	0,13	Теллур
Фосфор	V	2,4	Иод

жен в центре правильного тетраэдра и имеет четырех соседей, с которыми он вступает в ковалентную связь (см. рис. 1.12), достраивая свою валентную зону до восьми электронов (рис. 17.9). В результате каждый валентный электрон становится «общим» для двух атомов и валентная зона каждого атома оказывается заполненной.

Появление электрического тока в полупроводнике возможно лишь тогда, когда часть электронов покидает заполненную валентную зону и переходит в зону проводимости, где они становятся носителями электрического тока. Для такого перехода электроны должны пройти зону запрещенных энергий  $\Delta E$ , для чего необходима определенная энергия, которую полупроводник может получить в виде света или теплоты. При нагреве увеличивается концентрация носителей электрического тока, а электрическое сопротивление полупроводника уменьшается.

Чем больше ширина запрещенной зоны, тем выше должна быть температура нагрева полупроводника для разрушения ковалентных связей и образования носителей тока. Так, у кремния ширина запрещенной зоны существенно выше, чем у германия, по-

этому при нагреве кремния постоянные значения противления до больших температур позволяют использовать его в диодах и транзисторах, чем германий.

В кристаллах с ковалентной решеткой проводимость электрического тока может осуществляться как путем перемещения свободных электронов (электронная проводимость) или путем перемещения дырок (дырочная проводимость). Вследствие различия в энергии электронов в «запрещенной зоне» кремния и германия химически чистого кремния и германия может быть как электронная, так и дырочная проводимость. В кремниевых и германьевых кристаллах химическая проводимость из-за наличия примесей в упаковке атомов, границ зерен, блоков и т. д. называется *свойственной*. Однако получить химическую проводимость в кремниевом кристалле весьма сложно. Вследствие этого германевые полупроводники всегда содержат примеси, которые изменяют характер и величину проводимости. Электрическая проводимость

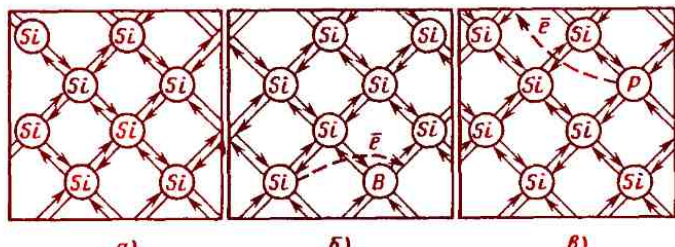


Рисунок 17.9  
а – германий  
б – кремний  
в – кремний с примесью фосфора

вают дырочный тип проводимости, так как отдают в валентную зону кристалла полу-проводника только три электрона. В кри-сталле образуются незаполненные свя-зи — «дырки», что вызывает ряд последова-тельных перемещений соседних электронов. В результате дырка перемещается подобно положительному заряду. Такие примеси на-зывают акцепторными. Для германия ими служат галлий и индий, для кремния — бор и алюминий. Полупроводники с преоблада-нием акцепторных примесей называются ды-рочными или *p*-типа.

Примеси резко изменяют собственную проводимость полупроводника. Потенциал ионизации у примесей меньше, чем у полу-проводников, поэтому уже при температуре 20–25 °С практически все атомы примесей ионизированы. Благодаря этому концентрация примесных носителей электрического то-ка обычно выше концентрации собственных носителей. При содержании  $10^{20}$  атомов при-месей в 1 м<sup>3</sup> полупроводника, что составляет всего  $10^{-7}\%$ , собственное удельное электри-ческое сопротивление германия снижается от 0,5 до 0,15 Ом·м (рис. 17.10).

Помимо концентрации примесных носите-лей электрического тока большое влияние на проводимость оказывает их подвижность. Для германия подвижность электронов и ды-рок при 20 °С соответственно равна 0,38 и 0,18 м<sup>2</sup>/(В·с). Дефекты кристаллической ре-шетки, примеси и тепловые колебания ато-мов вызывают рассеяние носителей, снижая тем самым их подвижность. Все это приво-дит к неконтролируемым изменениям прово-димости полупроводника, но может быть ча-стично устранено применением монокри-сталлов, в которых плотность дефектов кристаллической структуры значительно ни-же.

Важной характеристи-  
кается также време-  
нителей электрическо-  
нике одновременно с  
ния «свободных» эле-  
 обратный процесс ре-  
 из зоны проводимос-  
 в валентную зону, ли-  
 зультате концентра-  
 шается. При данной  
ми двумя процессам  
новесие. Среднее вре-  
 «живет» носитель  
 называют временем  
 торое успеет пройти  
 называют диффузион-  
 примеси и дефекты у-  
 носителей электричес-  
 ухудшают работу про-  
 боты полупроводни-  
 жиши носителей дол-  
 чем  $10^{-5}$  с.

Таким образом, к ка-  
кам полупроводнико-  
 сятся электрическое  
 зависит от концентра-  
 сителей электрическо-  
 жизни носителей эле-  
 дая из этих характе-  
 ристики полупроводника  
 личества примесей, а  
 тов кристаллической

В связи с этим д-  
 кокачественных прибо-

---

<sup>1</sup>  $\rho = (1/e) (N_n \mu_n + N_p \mu_p)$   
противление полупро-  
 $N_p$  — соответственно кон-  
центпорной примесей;  $\mu_n$  —  
ронов и дырок;  $e$  — заряд

$A^{IV}B^{IV}$  – карбид кремния  $SiC$ . В гексагональной кристаллической решетке карбида кремния, как и в кубической решетке алмаза, каждый атом кремния (или углерода) имеет четырех соседей (тетраэдрическое окружение), с которыми он вступает в ковалентную связь. Атомы углерода занимают тетраэдрические поры. Карбид кремния является фазой строго стехиометрического состава, поэтому его проводимость определяют точечные дефекты структуры, частичная разупорядоченность атомов в кристаллической решетке или примеси. Примеси III и II групп для него являются акцепторными, а примеси V и VI групп – донорными.

Полупроводниковые фазы типа  $A^{III}B^V$  определенного стехиометрического состава не являются чисто ковалентными кристаллами, так как из-за различия в валентности элементов в них наряду с ковалентными возникают и ионные связи. Кристаллографическая решетка таких соединений аналогична решетке алмаза. Из соединений типа  $A^{III}B^V$  применяют соединения с сурьмой (антимониды), например  $ZnSb$ , и с мышьяком (арсениды), например  $GaAs$ . Они имеют определенный химический состав, поэтому неосновные носители электрического тока возникают из-за примесей, точечных дефектов и разупорядоченности. Примеси III и V групп мало влияют на проводимость. Примеси II группы являются акцепторными, VI – донорными. Элементы IV группы в тех случаях, когда они замещают атомы A – доноры, если замещают атомы B – акцепторы.

Применение находят также соединения типа  $A^{II}B^{VI}$ . К ним относятся сульфиды (соединения с серой) и оксиды (соединения с кислородом). В таких соединениях преобладает ионный тип связи, и они имеют переменный состав. Избыток ионов металла

на сложность технологии, значительно большая, чем в электронов позволяет в быстродействующих

**Кристаллофизические сверхчистых макроскопические методы** получают проводников и чистых полезуемых при литье производстве сложных материалов, обеспечивая очистки. Дисперсия (жидкой фазы) удаляющиеся примеси, рециклируя испарение примеси, имеющие невысокое плавления, испарение вновь образует жидкого состояния (испарение твердой фазы). Механических примесей не получают монокристаллы с концом конического

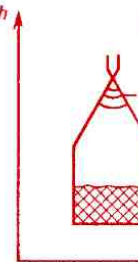


Рис. 17.11. Схема процесса выращивания кристалла методом парения и конденсации

$>0,45 \text{ Ом} \cdot \text{м}$ ), а также легирование в строго контролируемых микродозах проводят кристаллофизическими методами. Основными из них являются методы направленной кристаллизации из расплавов.

Кристаллофизические методы очистки основаны на различной растворимости примесей в твердой и жидкой фазах.

Схема диаграммы состояния для германия и примеси, которая при малых концентрациях образует с ним твердый раствор, показана на рис. 17.12. Если общее содержание примесей составляет  $N\%$ , то в процессе кристаллизации при температуре  $720^\circ\text{C}$  примесей в твердой фазе  $N_\alpha$  будет значительно меньше, чем в жидкой фазе  $N_\infty$ . Распределение примесей между фазами характеризуется коэффициентом распределения  $K$ ,

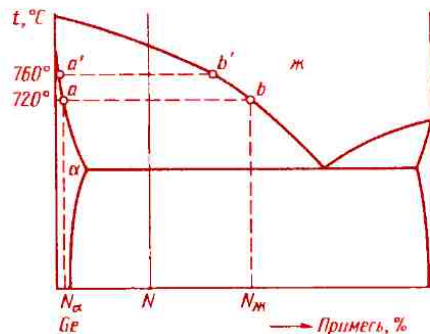


Рис. 17.12. Схема диаграммы состояния системы германий—примесь

Рис. 17.13. Схема пла  
ла методом норм  
кисталлизации:  
а — горизонтальный; б  
пределение примесей по

равным отношении  
месей:

$$K = \dots$$

Таким образом, кристаллизации пр в жидкой фазе. Это нову нескольких м

Методы норм кристаллизации (ри для очистки полуупр сей, имеющих мало получения монокри очищенный полуупр в ампулу (или в г которую перемеща по длине большо туры. В начале про расплавляется, а за да в зону печи с турой, кристаллизация начинаетс ампулы, то растет сталл. Примеси, у няются в жидкой примеси по длине мальной направле для разных значе рис. 17.13. После

1 – затравка; 2 – расплавленная зона шириной  $l$

кристалла, обогащенный примесью, отрезают.

При *методе зонной очистки* (рис. 17.14) пруток химически очищенного германия помещают в вакуум и при помощи индуктора ТВЧ расплавляют узкую зону  $l$ , в которой и скапливаются примеси, имеющие  $K < 1$ . Вместе с перемещением индуктора и расплавленной зоны примеси склоняются к правому концу.

Процесс повторяют многократно либо используют сразу несколько индукторов и через них проталкивают графитовую лодочку с прутком германия. После окончания процесса правый конец прутка отрезают.

Степень очистки по длине прутка  $x$  зависит от коэффициента распределения примесей и отношения  $x/l$ : чем меньше  $K$ , тем, как следует из формулы (17.3), лучше очищается полупроводник. Лодочку (или индуктор) перемешают с постоянной скоростью, что обеспечивает постоянство  $K$ . Передвигаясь к правому концу, жидкая фаза и кристалл обогащаются примесью. Степень очистки возрастает, если при одинаковой длине прутка ширина расплавленной зоны  $l$  будет меньше. Кроме этого, степень очистки можно повысить за счет многократных проходов.

Методом зонной очистки из германия можно удалить все примеси, за исключением бора, у которого  $K = 1$ .

плавляют в вакууме, выают расплав при температуре выше температуры плавления, опускают на пруток, представляет собой квадрат 5 × 5 мм, вырезанный из кристалла германия в определенном графическом направлении. Предъявляют жесткий инструмент для исправления дефектов кристаллической структуры, так называемые «наследуемые» в межатомных зонах, и ша его полупроводника. Затравку слегка оплавляют, чтобы удалить остаточных напряжений, при ее механической обработке они дезориентируются, и получают кристаллические плоскости в результате приводят к получению кристаллов с различными свойствами.

После оплавления кристалл вытягивают из индуктора вследствие адгезии к индуктору, охлаждает кристалл.

**Рис. 17.15.** Схема установки для выращивания кристаллов германия:

1 – вытягивающее устройство; 2 – затравка; 3 – кристалл германия; 4 – расплавленный полупроводник.

Для лучшего перемешивания затравку и тигель вращают либо с разными скоростями, либо в разные стороны. Скорость вытягивания должна быть небольшой, порядка 0,1 мм/с, а частота вращения — не менее  $60 \text{ мин}^{-1}$ .

При вытягивании монокристалла с постоянной скоростью из расплава, поддерживаемого при определенной температуре, степень очистки по длине кристалла неодинакова, так как по мере вытягивания расплав обогащается примесями. Для того чтобы устранить этот дефект, в расплав добавляют германий либо постепенно уменьшают скорость вытягивания, меняя тем самым коэффициент распределения  $K$  (рис. 17.16). Анализ формулы (17.3) показывает, что при увеличении  $N_{\infty}$  постоянство  $N_{\alpha}$  можно достичь уменьшением  $K$  в результате уменьшения скорости вытягивания. Для сохранения постоянства диаметра монокристалла температуру расплава при этом следует постоянно повышать.

Для кремния рассмотренные методы не приемлемы из-за его высокой химической активности и высокой температуры плавления ( $t_{\text{пл}} = 1414^{\circ}\text{C}$ ). При такой высокой температуре кремний загрязняется материалом тигля. Кроме того, коэффициент распределения у кремния со многими примесями больше, чем у германия, а с примесью бора, так же как у германия, близок к единице ( $K = 0,90$ ).

щаются к верхнему торый после окончания. Процесс повторяется.

Таким способом очищают кристаллы большого размера. Их очистка в зонной зоне для лучше быть небольшой.

Помимо описанных выше способов получения монокристаллов германия, а также некоторых соединений, разработано новая технология (ориентированное кристаллизование) монокристаллов германия на подложке из кремния.

Метод эпитаксии на подложке из кремния и германия, получивший название зонной технологической очистки монокристаллов германия, дает возможность получать полупроводниковые материалы, карбид кремния и другие материалы в виде объемных кристаллов.

Рис. 17.17. Схема установки для зонной очистки кремния: 1 — поликристалл; 2 — расплавленная зона; 3 — монокристалл; 4 — затравка; 5 — индуктор

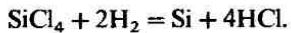
стинь тоньше, чем 100–200 мкм.

Эпитаксиальные пленки выращивают на подложке из монокристалла того же или другого материала. В первом случае эпитаксиальный слой при правильной технологии становится естественным продолжением подложки. Если подложка из другого материала, то эпитаксиальная пленка полупроводника будет монокристаллической только в том случае, если между кристаллографическими решетками имеется структурное и размерное соответствие, т. е. межатомные расстояния будут отличаться не более чем на 25 %.

Наиболее прост и технологически управляем процесс получения эпитаксиальных пленок методом водородного восстановления хлоридов (рис. 17.18).

Такой метод используют для получения высокоомных пленок германия и кремния на монокристаллических низкоомных подложках.

Хлориды кремния или германия испаряются, транспортируются потоком водорода к подложке и восстанавливаются по реакции



Пары чистого полупроводника осаждаются на подогреваемой подложке.

Этот же метод положен в основу получения легированных и сложных полупроводниковых веществ. Помимо хлоридов основного элемента в камера

вводят хлориды лигандирующих веществ.

Легирование получение *p-n*-перехода, месный полупроводниковый материал для изготовления приборов. В ронно-дырочный *p-n*-переход, который позволяет проводить ток, превращая энергию в электрическое.

Для получения определенной проводимости специальное легирование германия или кремния элементы вводят в стекло, введение их не приводит к изменению стекла.

Для полупроводников используют пластинки из легированных монокристаллов определенного типа. Для стабильности стекла таких приборов должно иметь по всей поверхности проводимость, т. е. пределение легирования.

Метод вытягивания из расплава очищенных с введенной легировкой один из способов получения легированных монокристаллов кремния.

Легирующие примеси в небольшие значениях не превышают пределения. Только

**Рис. 17.19.** Зонное выравнивание монокристалла

обогащении расплава легирующей примесью состав растущего монокристалла незначительно изменяется по длине и его можно выровнять снижением скорости вытягивания.

Коэффициент распределения снижается при уменьшении скорости вытягивания (см. рис. 17.16). Используя это, можно начать процесс выращивания монокристалла из расплава при скорости  $v_1$ . Для компенсации увеличения концентрации легирующей примеси в расплаве вследствие убыли атомов полупроводника скорость вытягивания  $v_1$  со временем несколько снижают. Это приводит к снижению  $K$  и обеспечивает постоянство легирующей присадки в растущем монокристалле.

$K$ , если легирующую в него в большом количестве в ходе процесса ни в самом значении расплава быстро обесцвечивает уменьшение плавленого стекла.

Степень легирования и степень очистки, получаемая с помощью электрического тока. Специальными методами определения типа проводимости, диффузионную длину и другие параметры указываются в данных полупроводниках.

Некоторые марки чистого и легированного германия и кремния приведены в табл. 17.7. Первая строка таблицы указывает значение удельного сопротивления, а вторая — длину  $L$ .

Для получения полупроводниковых устройств используют диффузионный метод.

**ТАБЛИЦА 17.7. Свойства чистого и легированного германия и кремния**

Элемент	Тип проводимости	Легирующий элемент	Марка	$\rho \cdot 10^2$ , Ом · м
Ge	$n$	—	ГЭ40/3,0	36
	$p$	Ga	ГДГ5/1,0	4,2–5,
	$n$	Sb	ГЭС 10/1,0	8–12
Si	$n$	—	КЭ150/0,3	100–200
	$p$	—	КД40/0,2	30–50
	$n$	P	КЭФ7,5/0,5	6–9
	$p$	B	КДБ7,5/0,5	6–9

активного атомарного фосфора.

На поверхности пластины фосфор взаимодействует с атомами полупроводника и диффундирует в германий, образуя с ним твердый раствор замещения. Возможность диффузии атомов легирующей примеси обусловлена наличием в полупроводнике точечных дефектов (вакансий).

Этот метод дает хорошую воспроизводимость основных характеристик, что позволяет его использовать в серийном производстве. Кроме этого, он дает возможность вводить примеси совместно, используя различные коэффициенты диффузии вводимых веществ. При диффузии донорной примеси в пластинке германия с *p*-проводимостью на некотором расстоянии от поверхности возникает *p-n*-переход (рис. 17.20). Меняя температуру процесса и время выдержки, можно получать *p-n*-переход на любой глубине.

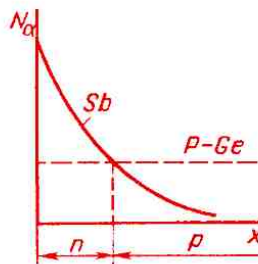


Рис. 17.20. Образование *p-n*-перехода путем диффузии сурьмы в германии *p*-типа

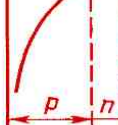


Рис. 17.21. Образование *p-n*-перехода путем диффузии сурьмы *p*-типа

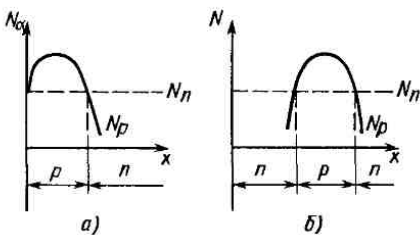
Метод диффузии сразу несколько *p-n*-переходов в германий *p*-типа. В этом случае германий должна содержать ионную примесь *N<sub>p</sub>*, способствующую диффузии донорных атомов германия больше, чем донорных атомов *Sb*. В кремнии, наоборот, донорные примеси диффундируют медленнее. На рис. 17.21 показана схема диффузии донорных атомов германия в германий *p*-типа и донорной (Sb) примеси в германий *n*-типа. Поэтому она проходит на большую глубину, чем в наружном *p*-слое. Примеси неравномерно распределены в *p-n*-переходе концентрация которых меняется плавно, что характерно для технологии прибора. Это позволяет менять глубину *p-n-p*-перехода в германии или кремнии различным методом.

При сплавно-диффузии германий *p*-типа помещают шарик из свинца с примесью

**Рис. 17.22.** Схема образования  $p-n-p$ -переходов в германии при сплавно-диффузионном методе

и сурьмы (донор) и нагревают до  $760^{\circ}\text{C}$ . При этой температуре сплав расплывается, и примесь растворяется в германии. Ее растворимость определяется точкой  $a'$  диаграммы состояния системы германий–примесь (см. рис. 17.12). После выдержки (2 ч) температуру понижают до  $720^{\circ}\text{C}$ , и растворимость увеличивается (точка  $a$  на рис. 17.12). Германий захватывает небольшое количество донорной и акцепторной примесей, но в связи с большей растворимостью в германии галлия, чем сурьмы, эта зона германия, обогащенная примесью, сохраняет  $p$ -проводимость (рис. 17.22).

В процессе длительной (10 ч) выдержки при  $720^{\circ}\text{C}$  происходит диффузия галлия и сурьмы из образованвшейся  $p$ -зоны в основную пластинку  $p$ -германия. Бла-



**Рис. 17.23.** Образование  $p-n-p$ -переходов при ионном легировании:  
а – для низких энергий; б – для высоких энергий

сти (рис. 17.23), что п

### 17.3. Диэлектрики

Диэлектриками называют вещества, у которых валентная зона проводимости разделена прещенными зонами. Твердые диэлектрики, полимеры и керамика, не обладают ионной или ковалентной связью, нет свободных электронов. Их удельное электрическое сопротивление равно  $10^{12}$ – $10^{20}$  Ом. Диэлектрические свойства диэлектриков определяются тем, что в области его применения принимаются во внимание свойства материала, такие как стойкость и другие. Особенность диэлектриков является способность к поляризации. Внешнее электрическое поле, действующее на диэлектрик, вызывает в нем поляризацию, заключающуюся в смещении зарядов. Смещение зарядов создает собственное внутреннее электрическое поле, которое направлено в противоположную сторону внешнему. Максимальная способность к поляризации называется диэлектрической проницаемостью  $\epsilon$ . Она определяется соотношением емкостей  $C_d/C_0$  конденсаторов, в которых конденсаторы находятся в одинаковых условиях, но вакууме. В твердых диэлектриках емкость  $C_0$  – когда конденсатор находится в вакууме, а емкость  $C_d$  – когда конденсатор находится в твердом диэлектрике. В твердых диэлектриках емкость  $C_d$  всегда больше емкости  $C_0$ , так как в твердом диэлектрике поляризация происходит одновременно в результате смещения зарядов и сдвигов атомных группировок.

a)

б)

в)

видов поляризации, которые в сумме определяют величину  $\epsilon$  и ее зависимость от температуры и частоты поля. Конструкционные диэлектрики общего назначения имеют небольшое значение  $\epsilon$  – до 10–12. Диэлектрики, которые используются в конденсаторах, должны иметь высокие значения  $\epsilon$ , чтобы увеличить емкость конденсатора. У конденсаторных диэлектриков  $\epsilon$  меняется от 12–15 до 100 000.

Наиболее важными видами поляризации являются электронная, ионная, дипольно-релаксационная (рис. 17.24) и самопроизвольная (спонтанная).

Электронная поляризация вызывается деформацией электронных оболочек атомов. Электроны смещаются почти мгновенно, время установления поляризации ничтожно мало ( $10^{-15}$  с), и поэтому она не зависит от частоты.

Ионная поляризация возникает при упругом смещении ионов на расстояния, не превышающие межионные. Отрицательные ионы смещаются в сторону положительного электрода, а положительные ионы – в сторону отрицательного. Время установления ионной поляризации очень мало ( $10^{-13}$  с), и  $\epsilon$  также не зависит от частоты.

Дипольно-релаксационная поляризация проявляется в полярных диэлектриках. Повороты диполей существенно меняют  $\epsilon$ . У неполярных диэлектриков

$\epsilon$  немного больше 1, сколько раз больше при наложении полей к неупорядоченным полем к неупорядоченным после снятия поля тяготения некоторого сопротивления полярных сил. Эта поляризация исчезает и зависит от электронной или ионной

При нагреве диэлектрика изменяется коэффициент  $\epsilon$  (ТК $\epsilon$ ) в широком диапазоне от -1300 до +1000. При нагреве диэлектрика с электронной поляризацией  $\epsilon$  вначале увеличивается и только потом существенно уменьшается. Диэлектрики с ионной поляризацией имеют положительный ТК $\epsilon$ . При нагреве поляризация уменьшается вплоть до верхней температуры, находящейся в интервале температур, в которых сопротивление ослаблением притяжения и увеличением их количества сильно повышается. Ионные ионы начинают смещаться на расстояния, большие межионных, и поляризация зависит от времени смещения и называется ионной поляризацией.

Изменения дипольной поляризации при нагреве связаны соотношением между сопротивлением тяготения и тепловым расширением.

ляризация. Объем сегнетоэлектрика разбивается на домены, в каждом из которых вещество сильно поляризовано. В отсутствие поля домены расположены беспорядочно, и суммарная поляризация равна нулю. При наложении поля поляризация увеличивается нелинейно благодаря переориентации поляризации доменов. При циклическом изменении поля от  $+E$  до  $-E$  возникает петля гистерезиса (рис. 17.25). Когда напряженность поля возрастает, поляризация достигает насыщения; при этом  $\epsilon$  увеличивается до максимального значения и вновь уменьшается. По аналогии с ферромагнетиками напряженность поля  $E_c$ , при которой меняется направление поляризации, называется коэрцитивной силой. Когда  $E_c < 0,1$  МВ/м, сегнетоэлектрик является мягким; когда  $E_c > 1$  МВ/м, материал жесткий. Известно около 500 сегнетоэлектриков. Они принадлежат к классу активных диэлектрик-

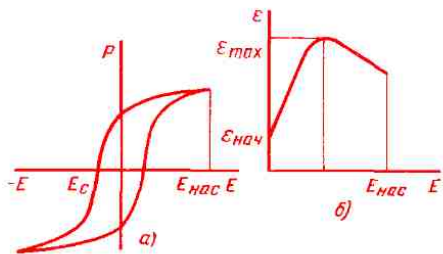


Рис. 17.25. Зависимость поляризации  $P$  (а) и диэлектрической проницаемости  $\epsilon$  (б) сегнетоэлектрика от напряженности поля  $E$

новное значение им  
мость, обусловлен

Электропроводим  
подразделяют на с  
и поверхностную. К  
теризуется своим у  
ским сопротивлени  
( $\Omega \cdot \text{м}$ ) и поверхн

Диэлектрики име  
объемное электриче  
( $\rho_V \geq 10^{12} \Omega \cdot \text{м}$ ). Г  
нижается в резуль  
тии ионов.

Поверхностное з  
тивление  $\rho_S$  завис  
и структуры диэлек  
ния его поверхности.  
Загрязнения и влаг  
или пористой почв  
проводящую пленку  
полностью утрат  
свойства, хотя его  
ское сопротивление  
высоким. Для повыш  
го электрического  
верхность изделий  
чистой и гладкой,  
покрытия – лаки и

Диэлектрические  
вляют собой частич  
ского поля, которы  
в диэлектрике в теп  
При частотах свыше  
потерь становится  
важных параметров

Для определения  
удобно рассматрив

фаз между током  $I$  и напряжением  $U$  равен  $90^\circ$ , поэтому активная мощность  $P = IU \cos \phi$  равна нулю. Диэлектрик не является идеальным конденсатором, и угол сдвига фаз у него меньше  $90^\circ$  на угол  $\delta$ . Этот угол называют углом диэлектрических потерь. Тангенс угла  $\delta$  и диэлектрическая постоянная  $\epsilon$  характеризуют удельные потери (на единицу объема диэлектрика), Вт/м<sup>3</sup>:

$$P = kE^2 f \epsilon \operatorname{tg} \delta,$$

где  $k$  – коэффициент;  $E$  – напряженность электрического поля, В/м;  $f$  – частота поля, Гц.

Произведение  $\epsilon \operatorname{tg} \delta$  называют коэффициентом диэлектрических потерь. По величине  $\operatorname{tg} \delta$  диэлектрики подразделяются на низкочастотные ( $\operatorname{tg} \delta = 0,1 \div 0,001$ ) и высокочастотные ( $\operatorname{tg} \delta < 0,001$ ). К основным источникам потерь диэлектрика относятся его поляризация и электропроводимость, ионизация газов в имеющихся порах и неоднородность структуры из-за примесей и включений.

Электрическая прочность характеризуется сопротивлением пробою. Пробой – это необратимое разрушение твердого диэлектрика под действием поля и потеря изолирующих свойств. Электрической прочностью или пробивной напряженностью  $E_{\text{пр}}$  называется отношение пробивного напряжения  $U_{\text{пр}}$  к толщине диэлектрика в месте пробоя. Различают три вида пробоя: электрический, тепловой и электрохимический.

$E_{\text{пр}}$  из-за повышенной температуры диэлектрика снижается, а теплоты в окружающей среде же температура диэлектрика  $E_{\text{пр}}$ . Тепловой процесс при повышении частоты возрастают потери в диэлектрике.

Электрохимический процесс при длительном действии вождающемся неоднородностями в структуре диэлектрика обусловлено движением его электролитической среды.

По химическому составу диэлектрики разделяются на органические и неорганические. К органическим диэлектрикам относятся смолы, резина, шелковые волокна, слюда, керамика, стекло и т. д.

По электрическим свойствам диэлектрики подразделяются на электротехнические и радиотехнические.

Для электрических диэлектриков решающее значение имеет температурная стойкость, т. е. способность диэлектрика сохранять свои свойства в течение длительного времени. Гревостойкости диэлектриков диэлектрические диэлектрики на семь классов (Y, A, E, B, F, H, C). Классы Y, A, E, B, F, H объединены наименованиями: Y – керамика, A – слюда, E – шелковые волокна, F – фарфор, B – стекло, H – кремний, C – графит. Для диэлектриков, температура плавления которых превышает  $90^\circ\text{C}$ , используются обозначения S – слюда, K – керамика, G – стекло, D – фарфор.

керамика, слоистые пластки. Проницаемость для водяных паров исключительно важна для пропиточных, заливочных и других защитных материалов. Диаметр молекулы воды равен всего  $2,5 \cdot 10^{-10}$  м, и водяной пар проходит сквозь мельчайшие поры. Плотные, непористые материалы не пропускают водяные пары и негигроскопичны. К ним относятся ситаллы, малощелочное стекло, вакуумно-плотная керамика, эпоксидные пластмассы и неполярные полимеры. Для изделий из гигроскопичных диэлектриков используют пропитку, защищают поверхности лаками, глазурью и т. п.

Прочность диэлектриков и особенности их механических свойств являются дополнительным критерием выбора материалов. Керамика, стекло и ситаллы — наиболее прочные диэлектрики. Характерной особенностью этих материалов является хрупкость; их прочность на сжатие в несколько раз больше прочности на изгиб. Предел прочности на изгиб равен 30—300 МПа, увеличиваясь до 500 МПа у ряда ситаллов. Для хрупких диэлектриков исключительно важно учитывать тепловое расширение, особенно когда речь идет о работе в условиях быстрых смен температуры или о соединении диэлектриков с металлами. Температурный коэффициент линейного расширения керамики и тугоплавкого стекла не превышает  $8 \cdot 10^{-6} \text{ }^{\circ}\text{C}^{-1}$ , у легкоплавких стекол он равен  $(15 \div 30) \cdot 10^{-6} \text{ }^{\circ}\text{C}^{-1}$ , а у ситаллов в зависимости от химического со-

ставления. Напыленные покрытия имеют керамика и стекло, под влиянием повышенной температуры щелочных металлов, а также тропроводящие материалы и BaO увеличиваются в размерах против электрохимического взаимодействия с миграющими в них ионами металлов. Органические полимеры разрушаются при нагреве, термической ионизацией, поэтажно, но не столь интенсивно, как у керамики. Большинство пластмасс теряет прочность при разрядах обугливающей способностью, лишенные полистирола, поливинилхлорида, фторопласты, политетрафторэтиленовые пластики. Самыми важными из них являются керамика и стекло. Керамика имеет высокую прочность, образные электрические свойства (табл. 17.8), почти не поддается коррозии и устойчива в агрессивных средах.

Установочная керамика, используемая для изготовления печатных плат, каркасов, катушек, должна иметь низкие коэффициенты теплопроводности и троизоляционные свойства.

Для работы при температуре выше 200 °С, например, в трансформаторах и имелетах, используют электротехническую керамику, которая имеет необычные свойства. Ее недостаток — это недостаточная прочность, резко возрастающая при температуре выше 200 °С, и низкая износостойкость. Недостаток

порошковый фенольгид с дре-	10—5	1100—2700	
весной мукой			
то же, с минеральным напол-	10—6	500—1000	10
нителем			
эпоксидные	4—2,6	400—500	10
Высокочастотные диэлектрики			
<b>Керамика:</b>			
ультрафарфор	8,5	2—10	
оксид алюминия	9,5	2	
стеатит	6,5	3—9	
цельзиановая	7,5	3	
тиконд Т-150	150	3	
термоконд Т-20	20	3	
<b>Пластмассы:</b>			
полиэтилен	2,4	2—5	
полистирол	2,5	3—5	
фторопласт-4	2	2	
<b>Стекло</b>	3,5—16	18—175	10
<b>Ситаллы</b>	5—7	3—20	10

объясняются свойствами стекла, которого в нем содержится довольно много.

Основным материалом, используемым для изготовления деталей, предназначенных для работы при высоких частотах, является стеатит, который получают из талька. Стеатиты не содержат вредных примесей, их свойства стабильны до 100°C. Они легко прессуются, при обжиге дают усадку всего 1—2% и используются для деталей с плотной и пористой структурой и точными размерами. В отличие от других видов керамики стеатит удовлетворительно режется (после предварительного обжига). Недостатки стеатита — растрескивание при быстрых сменах температуры и трудность обжига.

Конденсаторная керамика должна

иметь большую  $\epsilon$ , вышенную удельные потери и малый ТК. Керамики увеличивают и теплостойкость и уменьшают их размеры.

Конденсаторная керамика при высоких температурах должна иметь очень большую прочность и низкие потери. Для конденсаторов применяют фарфор, стеатит, станинит и другие керамики с лучшими свойствами и низким ТК. Одну из керамик на две группы: тонкую (тиконд Т-150) и термоконд Т-20. В них указывает значение  $\epsilon$ , основным видом которых является рутил — наиболее прочный и стабильный керамический материал.

в керамике, тем выше значения  $\epsilon$  и  $TKe$ . Основная область применения тикондов — теромкомпенсирующие конденсаторы. Термоконды наряду с  $TiO_2$  содержат  $ZrO_2$  и другие добавки. Они имеют низкие значения  $TKe$  и используются для конденсаторов высокой стабильности.

Лучшая конденсаторная керамика, применяемая при низких частотах, — сегнетокерамика, так как велики значения  $\epsilon$ . Недостатками сегнетокерамики являются сравнительно большие потери и невысокая электрическая прочность. Сегнетокерамику подразделяют на материалы с небольшой и большой нелинейностью. У материалов первой группы  $\epsilon$  во всем интервале рабочих температур и напряженностей поля изменяется не более чем на 30% (рис. 17.27). Различные марки керамики этой группы отличаются друг от друга значением  $\epsilon = 1000 \div 7500$  и положением температурного максимума  $\epsilon$ . У материалов второй группы зависимость  $\epsilon$  от напряженности поля характеризуется коэффициентом нелинейности  $K$ . Он равен отношению  $\epsilon_{max}$  к  $\epsilon_{min}$ , определенному в слабом поле (2–5 В/м).

Материалы с большой нелинейностью используют в вариондах — конденсаторах переменной емкости. При одновременном действии постоянного и переменного полей  $\epsilon$  становится изменчивой (ее называют реверсивной

и анизотропной), а коэффициентом нелинейности пользуют в усилителях частотах.

Пьезоэлектрики — под действием механических усилий возникает пьезоэффе́кт (обратный пьезоэффе́кт) и под действием механического поля излучения (обратный пьезоэффе́кт). Пьезоэлектрикам относятся нетоэлектрики с ортотропией, а также кристаллы центра симметрии. Механический эффект лежит смещение атомов в кристаллической решетке пьезоэлектрика. Пьезоэффе́кт характеризуется пьезомодулем, который появляется в результате действия пьезоэлектрической силы. Обычно называемый продольный пьезомодуль  $d_{33}$  по заряду на площадь пьезокварцевой направления, когда нагрузка приложена к кристаллу. Пьезоэлектриков требуют пьезомодуля и максимальной силы. Керамика имеет  $6 \cdot 10^{-10}$  Кл/Н, что в 10 раз больше, чем у кварца. Керамика — твердые кристаллы титаната бария (ТБС), никобий-бария (НБС), ниобий-титанат (НТС).

широкую и важную в практическом отношении группу составляют инструментальные стали. Они предназначены для изготовления инструментов четырех типов: 1) режущих; 2) измерительных; 3) штампов холодного деформирования; 4) штампов горячего деформирования.

Номенклатура и условия работы инструментов каждого типа отличаются большим разнообразием. Только режущих инструментов существует более тысячи типоразмеров. Характерным условием для эксплуатации инструментов (особенно режущих и штамповых) являются высокие контактные давления на рабочую кромку, вызывающие их изнашивание. Оно в большинстве случаев сопровождается разогревом контактной поверхности до нескольких сотен градусов Цельсия. В связи с этим важнейшее условие работоспособности инструментов — высокая износостойкость материала, из которого они изготовлены. Для того чтобы исключить пластическое течение рабочих кромок, инструментальный материал должен обладать высокой твердостью (в 2–3 раза большей, чем у обрабатываемого материала) и теплостойкостью. Под теплостойкостью понимают способность материала сохранять высокую твердость при повышенных температурах. Для сталей теплостойкость определяется сопротивлением разупрочнению при отпуске. Она оценивается наибольшей температурой нагрева, до которой сохраняется мартенситная структура и свойственные

свойства. Для того чтобы избежать ломку инструментов, материал должен иметь достаточной прочностью.

Для штампов, форм и измерительных инструментов характерно большое значение прочности. Для них важное значение имеет износостойкость материала.

Необходимый уровень прочности определяется свойствами инструмента: плоскостойкость, прочность и износостойкость. Для инструментов различного назначения эти свойства различны. Причем требуемое значение прочности определяется не только износостойкостью, но и твердостью и вязкостью материала. В инструментах, имеющих твердые вязкие слои, трудно обеспечить одновременно высокими значениями износостойкости и прочности инструмента.

Кроме служебных свойств инструментальных сталей, они должны иметь технические свойства: прокаливаемость, способность к термической обработке, изменение при закалке, стабильность свойств при давлении, резании и т. д.

Для инструментальных сталей применяют различные способы термообработки. В большинстве случаев для инструментальных сталей характерны следующие способы термообработки: закалка с нагревом до 800–900°C, охлаждение в воде (HRC 60–69). Лишь для некоторых инструментальных сталей, из которых требуется высокая износостойкость (штампы горячего деформирования), используют диффузионную закалку, при которой твердость достигает до HRC 35–40%.

Условия работы инструментов зависят от режимов резания и свойств обрабатываемого материала. Чем больше скорость резания, сечение снимаемой стружки, а также прочность и вязкость обрабатываемого материала, тем выше температура нагрева режущей кромки инструментов. При этих условиях работоспособность инструментов определяется высокой «горячей» твердостью и способностью материала сохранять ее при длительном нагреве, т. е. теплостойкостью. От теплостойкости материала, таким образом, зависит производительность резания.

По теплостойкости применяемые материалы подразделяют на следующие группы:

- 1) углеродистые и низколегированные стали с теплостойкостью до 200 °C;
- 2) высоколегированные быстрорежущие стали с теплостойкостью до 600–640 °C;
- 3) твердые сплавы с теплостойкостью до 800–1000 °C; 4) сверхтвердые материалы с теплостойкостью до 1200 °C.

**Углеродистые стали.** Углеродистые стали (ГОСТ 1435-74) производят качественными У7, У8, У9, ..., У13 и высококачественными У7А, У8А, У9А, ..., У13А. Буква У в марке показывает, что сталь углеродистая, а цифра — среднее содержание углерода в десятых долях процента. Углеродистые стали поставляют после отжига на зернистый перлит. Благодаря невысокой твердости в состоянии поставки (НВ 1870-2170) углеродистые стали хо-

(10–12 мм) углеродистые стальные инструменты с попечным сечением 15–25 мм с незакалкой, в которой режущая кромка имеет повышенную износостойкость. Инструменты с таким сечением и вибрациям. Инструменты с небольшой меньшим сечением подвергаются деформации и сплавляются. Охлаждают в соли при 160–200°С.

Режущие инструменты, сверла, напильники и др.) изготавливают из сталей У10, У11, У12, имеющих неполной закалку при  $(150\text{--}180^{\circ}\text{C})$ . Твердые сплавы с включением тенсита и цементита в виде износостойкостью  $(HRC\ 62\text{--}65)$ . Однако твердость сплавов при нагреве выше  $200^{\circ}\text{C}$  снижается, поэтому инструменты из этих сплавов применяют для обработки сравнительно мягких материалов и при легкого резания.

<sup>1</sup> В инструментах с 25 мм закаленный слой киким и продавливается

отпускают на структуру троостита при 275–325 °С (HRC 48–55) или при 400–450 °С (HRC 38–45).

**Низколегированные стали.** Они содержат до 5% легирующих элементов (табл. 18.1), которые вводят для увеличения закаливаемости, прокаливаемости, уменьшения деформаций и опасности растрескивания инструментов. Хром – постоянный элемент низколегированных сталей. Для улучшения свойств в них дополнительно вводят марганец, кремний, вольфрам.

Марганец (1–2%) обеспечивает минимальное изменение размеров инструментов при закалке. Интенсивно снижая интервал температур мартенситного превращения, он способствует сохранению в структуре повышенного количества остаточного аустенита (15–20%), который частично или полностью компенсирует увеличение объема в результате образования мартенсита. Кремний (1–1,5%) несколько повышает сопротивление отпуску и способствует образованию легко отделяющейся окалины. Вольфрам (1–5%) повышает износостойкость.

По структуре низколегированные стали относятся к заэвтектоидным сталям перлитного класса. Их подвергают не полной закалке от температуры несколько выше точки  $A_1$  и низкому отпуску. Структура мартенсита и избыточных карбидов (легированный цементит) обеспечивает им твердость (HRC 62–69) и высокую износостой-

тврдостью и износостойкостью. Благодаря тому, что в низколегированного цементита присутствует вольфрама типа М6, химически не растворяется при нагреве закалки. Из-за высокой твердости (HRC 67–69) ее применяют для обработки твердых материалов.

Стали X, 9ХС, 9ХФ, 9ХГС, 9ХГФ ваются в масле и воде. Глубокой прокаливанием в отличие от сталей с марганцем более высокую устойчивость к упрочнению при повышенные эксплуатационные свойства и применяются для изготовления фрез, сверл, резьбонасадок, инструментов с плавающим наконечником до 35 мм.

9ХС – склонность к коррозии. Сталь ХВГ характеризуется высокой формацией при закалке, что делает ее подходящей для длинных стержней (сверла, развертки). С поперечным сечением она имеет высокую износостойкость. Сложнолегированная сталь ХВГС имеет высокую износостойкость и склонность к коррозии. Сталь ХВГФ имеет высокую износостойкость и склонность к коррозии. Сталь ХВГСФ имеет высокую износостойкость и склонность к коррозии.

**Быстрорежущие стали.** Высоколегированные быстрорежущие стали, предназначенные для изготовления инструментов с высокой производительностью, имеют высокую твердость и износостойкость.

Основное свойство быстрорежущих сталей – высокая теплостойкость, что позволяет им работать при высоких температурах без термической обработки.

XBCG	0,95–1,05	0,65– 1	0,6–1,1	0,5–0,8	–	0,05– 0,15	0,6– 0,9M
------	-----------	------------	---------	---------	---	---------------	--------------

**Быстрорежущие стали**

P18	0,7–0,8	–	3,8–4,4	17,0– 18,5	<1	1,0–1,4	–
P9	0,85–0,95	–	3,8–4,4	8,5– 10,0	<1	2,0–2,6	–
P6M5	0,8–0,88	–	3,8–4,4	5,5–6,5	5,0–5,5	1,7–2,1	–

**Стали для штампов холодной обработки да**

X12	2–2,2	–	11,5– 13	–	–	–	–
X12M	1,45–1,65	–	11– 12,5	–	0,4–0,6	0,15–0,3	–
X12Ф1	1,25–1,45	–	11– 12,5	–	–	0,7–0,9	–
X6BФ	1,05–1,15	–	5,5–6,5	1,1–1,5	–	0,5–0,8	–

**Стали для штампов горячей обработки давл**

5ХНМ	0,5–0,6	–	0,5–0,8	–	0,15– 0,3	–	1,4– 1,8M
5ХВ	0,5–0,6	–	0,5–0,8	0,4–0,7	–	–	1,4– 1,8M
3Х2В8Ф	0,3–0,4	–	2,2–2,7	7,5–8,5	–	0,2–0,5	–
4Х2В5МФ	0,3–0,4	–	2,2–3	4,5–5,5	0,6–0,9	0,6–0,9	–
4Х5В2ФС	0,35–0,45	0,8– 1,2	4,5–5,5	1,6–2,2	–	0,6–0,9	–

\* По ГОСТ 5950–73, ГОСТ 19265–73.

**Примечания:** 1. При содержании Si и Mn как постоянных не указана.

2. В скобках приведены температуры закалки и отпуска на вторичную

ной твердости (см. рис. 3.56, б). Особен-но эффективно вторичная твердость и теплостойкость повышаются при вве-дении нескольких сильных карбиообра-зователей, например, вольфрама (одно-го или совместно с молибденом) и ванадия. При отпуске ванадий, выде-ляясь в виде карбидов, усиливает дис-персионное твердение, а вольфрам (мо-либден), сохраняясь в мартенсите, задер-живает его распад.

Увеличению теплостойкости способ-ствует также кобальт. Он не образует карбидов, но, повышая энергию меж-атомных сил связи, затрудняет коагуля-цию карбидов и увеличивает их дис-персность.

В результате комплексного легирова-ния инструменты из быстрорежущих сталей сохраняют высокую твердость до 560–640 °С и допускают в 2–4 раза более производительные режимы реза-ния, чем инструменты из углеродистых и низколегированных сталей.

Быстрорежущие стали (см. табл. 18.1) обозначают буквой Р, цифра после ко-торой указывает содержание (в процен-тах) вольфрама – основного легирующе-го элемента (ГОСТ 19265–73). Содержа-ние ванадия (до 2%) и хрома, количе-ство которого примерно 4% во всех сталях, в марке не указывается. Стали, содержащие дополнительно молибден, кобальт или повышенное количество ва-надия, имеют в марке соответственно буквы М, К, Ф и цифры, показывающие их массовую долю в процентах (напри-

главным образом м-нологическими се-обрабатываемостью-нием, а также проч-обладают стали Р6, Р9, Р9Ф5 плохо присутствия тверд-дия.

К группе сталей изводительности о-держащие кобальт чество ванадия: Р9К5, Р9К10, Р10К превосходят стали по теплостойкости (630 °С (HRC ≥ 64) и износ-пают им по прочности. Стали повышенной пред назначенены для прочных сталей, и жаропрочных структурой и други-ваемых материалов.

Быстрорежущие ста-рий группы, отли-чается высокой про-мостью. Для умень-гих и дефицитных вольфрама, преим-зуют экономно-леги-ниих наиболее широк-имеет сталь Р6М5, безвольфрамовые ста-ли.

Особенности тер-структур и свойств сталей представлены в табл. Р18 и Р6М5.

сталь для снижения твердости (до  $HV$  2070–2550) подвергают изотермическому отжигу. Структура отожженных сталей состоит из сорбитаобразного перлита, вторичных и более крупных первичных карбидов. Общее количество карбидов в стали Р18 составляет примерно 28%, в стали Р6М5 – 22%. Ос-

приобретают посленого отпуска (рис. 18.1) теплопроводности ли при закалке с прогревами при ния соляные ванны окисления и обезбенность закалки лей – высокая темп (табл. 18.1). Она несчения теплостойкости закалки высоколегированной в результате пересмального количества карбидов.

Степень легирования (тенсита) увеличивается температуры нагрева температуре 1300°C. Дельное насыщение растворяется весь 1% V и 0,4–0,5% Cr.

Легирование аустенита при растворении карбидов. Первичные карбиды тормозят рост зерна аустенита при нагреве, блокируя плавления, в быстром храняется мелкое зерно.

Быстрорежущие стали после нормализации в тенситному классу. Закалки мелкие инструменты на воздухе, кипятке.

<sup>1</sup> На воздухе их не хранят, так как выделения вторичных карбидов ухудшают стойкость.

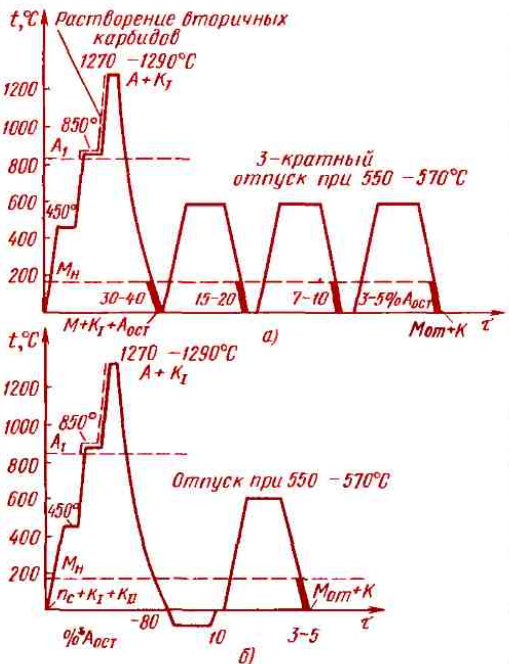


Рис. 18.1. Схема термической обработки быстрорежущей стали:  
а – без обработки холодом; б – с обработкой холодом

Сложные по форме инструменты для уменьшения деформаций подвергают ступенчатой закалке с выдержкой в горячих средах при температуре 500–550 °C.

После закалки не достигается максимальная твердость сталей ( $HRC$  60–62), так как в структуре кроме мартенсита и первичных карбидов содержится 30–40% остаточного аустенита, присутствие которого вызвано снижением температуры точки  $M_a$  ниже 0 °C. Остаточный аустенит превращают в мартенсит при отпуске или обработке холодом. Отпуск проводят при температуре 550–570 °C. В процессе выдержки при отпуске из мартенсита и остаточного аустенита выделяются дисперсные карбиды  $M_6C$ . Аустенит, обедняясь углеродом и легирующими элементами, становится менее устойчивым и при охлаждении ниже точки  $M_a$  испытывает мартенситное превращение<sup>1</sup>. Однократного отпуска недостаточно для превращения всего остаточного аустенита. Применяют двух-, трехкратный отпуск с выдержкой по 1 ч и охлаждением на воздухе. При этом количество аустенита снижается до 3–5%. Применение обработки холодом после закалки сокращает цикл термической обработки (см. рис. 18.1, б). В термически обработанном состоянии быстрорежущие стали имеют структуру, состоящую из мар-

мя (20–30 мин) превышающей температуру ( $470$ – $550$  °C). Используют способы: низкотемпературное введение, карбонитрирование тридов титана.

Новым технологическим путем повышения качества сталей является его производство из литьевых порошков. Измельчению карбидов способствует распределению стойкость инструмента в 1,5–2 раза.

**Спеченные твердые материалы** состоят из материалов, котвердых и тугоплавких ферма, титана, титановой металлической связки.



Рис. 18.3. Микроструктура стали Р18 после закалки и отпуска,  $\times 500$

<sup>1</sup> Температурный интервал превращения на рис. 18.1 обозначен усиленной линией.

производят в виде пластин, которыми оснащают резцы, сверла, фрезы и другие режущие инструменты. Такие инструменты сочетают высокую твердость  $HRA$  85–92 ( $HRC$  74–76) и износостойкость с высокой теплостойкостью (800–1000 °C). По своим эксплуатационным свойствам они превосходят инструменты из быстрорежущих сталей и применяются для резания с высокими скоростями.

Твердые сплавы характеризуются также высоким модулем упругости (до  $6,8 \cdot 10^5$  МПа) и пределом прочности на сжатие (до 6000 МПа). Недостатки — сложность изготовления фасонных изделий, высокая хрупкость.

В зависимости от состава карбидной основы спеченные твердые сплавы выпускают трех групп.

Первую (вольфрамовую) группу составляют сплавы системы WC–Co. Они маркируются буквами ВК и цифрой, показывающей содержание кобальта в процентах (табл. 18.2). Карбидная фаза состоит из зерен WC. При одинаковом содержании кобальта сплавы этой группы в отличие от двух других групп характеризуются наибольшей прочностью, но более низкой твердостью. Теплостойки до 800 °C.

Сплавы ВК3–ВК8 применяют для режущих инструментов при обработке материалов, дающих прерывистую стружку.

	ВК20 ВК25	8 7
Титано- вольфра- мовая	T30K4 T15K6 T5K10	60 70 82
Титано- тантало- вольфра- мовая	TT7K12 TT8K6	84 88

ку (чугуна, цветных керамики и т. п.).

Сплавы ВК10 и из-за повышенного та более высокой зуют для волочильных инструментов, стойкости раз превышает инструментов. Сплавы сажанием кобальта (Ниляют для изготовления инструментов. Их при конструкционный машины и приборов, ся высокое сопротивление деформации или из

Вторую группу (вольфрамовую) образуют TiC–WC–Co. Они маркируются буквами ВК, Т, К и цифрами, показывающими содержание (в процентах) карбида титана и кобальта. При температуре выше 1000 °C карбид титана распадается и образует твердые карбиды, обладающие большей твердостью, чем WC.

<sup>1</sup> Пористость не превышает 2 %.

зуются более высокой, чем у сплавов первой группы, теплостойкостью ( $900\text{--}1000^{\circ}\text{C}$ ), которая повышается по мере увеличения количества карбида титана. Их наиболее широко применяют для высокоскоростного резания сталей.

Третью группу (титанотанталовольфрамовую) образуют сплавы системы  $\text{TiC}\text{--}\text{TaC}\text{--}\text{WC}\text{--}\text{Co}$ . Цифра в марке после букв ТТ (см. табл. 18.2) обозначает суммарное содержание (в процентах) карбидов  $\text{TiC} + \text{TaC}$ , а после буквы К — количество кобальта в процентах. Структура карбидной основы представляет собой твердый раствор ( $\text{Ti}, \text{Ta}, \text{W}$ ) С и избыток WC. От предыдущей группы эти сплавы отличаются большей прочностью и лучшей сопротивляемостью вибрациям и выкрашиванию. Они применяются при наиболее тяжелых условиях резания (черновая обработка стальных слитков, отливок, поковок).

**Сверхтвердые материалы.** Их широко применяют для оснащения (вставками) лезвийных инструментов (резцы, сверла, торцовые фрезы). Такие инструменты используют для чистовой размерной обработки при высоких скоростях резания (100—200 м/мин и более).

Среди сверхтвердых материалов первое место принадлежит алмазу, твердость которого ( $HV 100\,000$ ) в 6 раз превосходит твердость карбида вольфрама ( $HV 17\,000$ ) и в 8 раз — твердость быстрорежущей стали ( $HV 13\,000$ ). Преимущественное применение имеют синтетические алмазы (борт, баллас, карбо-

тель и железу, его низкой износостойкости сталей и чугуна, инструментом обрабатываемые материалы и их сплавы, керамику, обеспечивая шероховатость поверхности.

Большой универсальностью обладают инструменты из поликристаллического нитрида бора с кремнием ( $\beta\text{-BN}$ ), называемые кремнием бора (КНБ). Кремний имеет микропорошковую, гексагональную, кубическую или вюрцитоподобную структуры при температурах и давлениях, получаемых при синтезе из нитрида бора. В зависимости от технологии получения кремний выпускают под названием бор-Р, боразон.

Нитрид бора ( $\beta\text{-BN}$ ) — один из самых твердых материалов, как алмаз, кристаллический и близкие с ним сверхпрочности. Твердость КНБ ( $HV 90\,000$ ) на 10—15% превосходит его аналог ( $HV 1200^{\circ}\text{C}$ ) и химическая стабильность у КНБ выше, чем у алмаза. Стойкость к железному позволяет использовать его для обработки труднообрабатываемых материалов, в числе которых цементованные стали ( $HRC \geq 60$ ). При этом не требуется закалка, не требуется шлифование, время обработки и шероховатость поверхности.

широко применяют зачеканочные низколегированные стали Х, ХГ, ХВГ, 9ХС, обрабатываемые на высокую твердость (*HRC* 60–64). В отличие от режущих инструментов термическая обработка проводится таким образом, чтобы затруднить процесс старения, который происходит в закаленной стали и вызывает объемные изменения, недопустимые для измерительных инструментов. Причинами старения служат частичный распад мартенсита, превращение остаточного аустенита и релаксация внутренних напряжений, вызывающая пластическую деформацию. Для уменьшения количе-

временного (2–3 ч) Плоские инструменты, шаблоны и т. ляют из листовых сталей 20Х, 12ХН3А, подложки, или из сталей,ываемых с поверхности. Поскольку неравномерность в этих стальях обработки верхностном слое, объемные изменения на размерах всего

Для инструментов и большого размераируемую сталь 38Х

ботки давлением, — высокие твердость, износостойкость, прочность, сочетающиеся с удовлетворительной вязкостью. При больших скоростях деформирования, вызывающих разогрев рабочей кромки инструментов до 450 °С, от сталей требуется достаточная теплостойкость. Для штампов со сложной гравюрой важно обеспечить минимальные объемные изменения при закалке.

В связи с разнообразием условий деформирования, формы и размеров штампов применяют различные стали.

Низколегированные стали Х, 9ХС, ХВГ, ХВСГ, так же как и углеродистые У10, У11, У12, используют преимущественно для вытяжных и высадочных штампов, которые из-за несквозной прокаливаемости имеют твердый износостойкий слой и вязкую сердцевину, позволяющую работать при небольших ударных нагрузках.

Вытяжные штампы, подвергающиеся интенсивному износу без динамических нагрузок, после неполной закалки отпускают при 150–180 °С на твердость HRC 58–61. Высадочные штампы и пuhanсоны, работающие с ударными нагрузками, подвергают отпуску при 275–325 °С на твердость рабочей части HRC 52–54.

Высокохромистые стали Х12, Х12М, Х12Ф1 (см. табл. 18.1) обладают высокой износостойкостью и глубокой прокаливаемостью (150–200 мм и более). Их широко применяют для изготовления крупных инструментов сложной

сятся к ледебуритной нормализации — к малой высокой износостойкости большим количеством сохраняющихся в структуре карбидной фазы у сталей Х12М и Х12Ф1 (у стали Х12) приводит к карбидной неоднородности снижение прочности. Наиболее сильно это выражено у стали Х12. Поэтому применяют стали Х12М и Х12Ф1.

Структура и свойства высоких хромистых сталей в сильно зависят от температуры с ее повышением увеличивается твердость карбидов, содержание никеля и хрома в austenite, что приводит к резкому снижению температуры мартенситного превращения твердости (рис. 19.1) характеризующегося максимумом. Повышение температуры при нагреве до 1075 °С приводит к снижению твердости ма-ртена вследствие снижения твердости при закалке. Снижение температуры — интенсивное в структуре остаточного аустенита. Сохранение остаточного аустенита обуславливает небольшие изменения при закалке.

Стали Х12Ф1 и Х12М1 отличаются от стали Х12 тем, что на первичную, твердую структуру. На первичную структуру они не влияют, так как на первичную структуру влияет температура закалки с более низкой температурой.

(1020–1075 °C, см. табл. 18.1), когда количество остаточного аустенита невелико, затем подвергают низкому отпуску (150–170 °C), сохраняющему высокую твердость (*HRC* 61–63). Такой режим обеспечивает наибольшую прочность ( $\sigma_{изг} = 2400 \div 2800$  МПа) при низкой теплостойкости и применяется для большинства штампов и накатных роликов.

Закалку на вторичную твердость применяют для повышения теплостойкости и проводят с более высоких температур (1100–1170 °C). Она приводит к пониженной твердости (*HRC* 48–54) вследствие сохранения большого количества остаточного аустенита (50–80 %). Твердость до *HRC* 60–62 повышают 4–6-кратным отпуском при 500–580 °C в результате превращения остаточного аустенита и выделения дисперсных карбидов хрома. При обработке сталей на вторичную твердость теплостойкость увеличивается до 500 °C, но из-за укрупнения зерна при закалке снижаются прочность и вязкость. В связи с этим применение этой обработки ограничено. В основном ее применяют для штампов, работающих при повышенном нагреве без больших нагрузок.

Сталь Х6ВФ содержит меньше углерода и хрома и обладает меньшей карбидной неоднородностью, чем высокохромистые стали. Поэтому она пре-  
восходит их по прочности (в среднем на 500 МПа) и вязкости (почти

Повышение вязкости снижением содержания 0,4–0,6 %) и увеличивает отпуска. Стали 4ХС обладают твердость *HRC* в пределах 240–270 °C, хотя при температуры проявления хрупкости первого ряда фрамом, нечувствительны к хрупкости второго ряда отпуска в более широком диапазоне температур: при 200–250 °C или при 430–470 °C. Стали благодаря сокращению зерна имеют высокую вязкость и предназначены для инструментов, работающих при ударными нагрузками.

## 19.2. Стали для инструментов горячей обработки

Стали для штампов под давлением работают в условиях, испытывая интенсивное нагружение, периодическое нагревание поверхности. Для этого требуется сложный комплекс технологических операций, обеспечивающий статочной прочности, вязкости и производительности (при обработке крупных штампов). Стали должны обладать также теплостойкостью и коррозионной устойчивостью к обработке в кислотах, щелочах, растворах солей и т. п.

550–680 °С на структуру троостита или троостосорбита. Среди них следует выделить несколько групп, обладающих в наибольшей степени теми свойствами, которые необходимы для определенных условий эксплуатации.

**Стали для молотовых штампов.** Молотовые штампы имеют большие размеры, работают с ударными нагрузками при относительно невысоком нагреве поверхности (400–500 °С). Для изготовления этих штампов используют низколегированные стали высокой прокаливаемости с повышенной ударной вязкостью и разгаростойкостью (см. табл. 18.1). Среди легирующих элементов они содержат молибден или вольфрам, необходимые для предупреждения отпускной хрупкости второго рода, которую в больших сечениях нельзя устранить быстрым охлаждением.

Сталь 5ХНМ – лучшая в этой группе. Из-за высокой прокаливаемости ее применяют для изготовления крупных (наибольшая сторона призматических заготовок 400–500 мм) штампов сложной формы. После закалки и отпуска при 550 °С ее механические свойства при температуре 20 °С составляют  $\sigma_b = 1200 \div 1300$  МПа;  $\delta = 10 \div 13\%$ ;  $KCU = 0,4 \div 0,5$  МДж/м<sup>2</sup>. Сталь сохраняет достаточно высокие механические свойства ( $\sigma_b = 900$ ;  $\sigma_{0,2} = 650$  МПа) до температуры 500 °С.

Стали 5ХГМ и 5ХНВС при одинаковой со сталью 5ХНМ прокаливаемостью уступают ей в вязкости. Они

заготовок призматической формы представляет собой отцию. После изотермической и механической обработки под закалку до 820–850 °С, отпуска и обмазки для предупреждения окисления и обезуглероживания при температуре нагрева 20–25 ч. Для снижения напряжений небольшие заготовки охлаждают на воздухе, крупные – в струживании до 750 °С, а затем способу прерывистого отпуска в печь для отпуска.

Небольшие штампы для формируемого металла нагревают и упрочняют при 480–520 °С, добиваясь требуемой твердости (HRC 40–45). Поскольку механические свойства такой твердости недостаточны, штампа нарезают для дальнейшей обработки.

Средние штампы для формирования более сложных заготовок требуются повышенной прочности, отпускают при 500–550 °С, при этом низкую твердость можно сохранять, готовляя по схеме: отпуск, обработка, закалка, отпуск, отпуск в водке.

Крупные штампы должны иметь повышенную прочность

<sup>1</sup> Исключение составляет группа штампов, которые из-за высокой вязкости не могут быть охлаждены водовоздушной

стойкость. При тяжелых условиях работы применяют комплексно-легированные стали: 3Х2В8Ф, 4Х2В5МФ, 4Х5В2ФС и др. (см. табл. 18.1), которые по составу и видам превращений при термической обработке сходны с быстрорежущими сталью. В отличие от последних они содержат меньше избыточных карбидов типа  $M_{23}C_6$  и  $M_6C$  и являются заэвтектоидными. Для повышения теплостойкости их закаливают с высоких температур ( $1025\text{--}1125^{\circ}\text{C}$ ). Отпуск в интервале температур  $500\text{--}580^{\circ}\text{C}$  вызывает, как и в быстрорежущих стальах, дисперсионное твердение мартенсита и явление вторичной твердости.

Для повышения вязкости отпуск ведут при более высоких температурах ( $600\text{--}650^{\circ}\text{C}$ ) на структуру троостита и твердость  $HRC\ 45\text{--}50$ .

При такой твердости стали имеют  $\sigma_b = 1500 \div 1800$  МПа;  $\sigma_{0,2} = 1350 \div 1650$  МПа;  $KCU = 0,2 \div 0,55$  МДж/м<sup>2</sup>.

Стали 3Х2В8Ф, 4Х2В5МФ с высоким содержанием вольфрама характеризуются повышенной теплостойкостью. Они сохраняют твердость  $HRC \geq 45$  и предел текучести  $\sigma_{0,2} \approx 1000$  МПа до температуры  $650\text{--}670^{\circ}\text{C}$ . Стали предназначены для изготовления тяжелонагруженных инструментов, работающих с разогревом поверхности до  $700^{\circ}\text{C}$ .

Рассмотренные также для изготовления под давлением в тяжелых условиях, связанных нагревом и охлаждением и воздействием металла. Для изготовления медных сплавов применяют стали с высокой стойкостью; для литья магниевые сплавы ( $t_{пл} \approx 500 \div 650^{\circ}\text{C}$ ) с высокой разгаростойкостью. Для изготовления марганцовистых сталей (см. гл. 8).

Для пресс-форм, в тепловом отношении имеющие высокую стойкость, применяют стали 4ХВ2С, Х12, 7Х3Н2МФ, стойкую сталь 30ХГСН, стали 40Х, 30ХГСН. Для повышения работоспособности и штампов подвергают нитроцементации и азотированию. Азотирование повышает коррозионную стойкость стали против действия жидких алюминиевых сплавов. Для этого на детали из сталей 3Х2В8Ф и 4Х2В5МФ наносится формированый слой толщиной около

Для штампов осуществляется ионное азотирование.

Материал	5—300 мм или 1 т чу- гунных от- ливок, руб	Материа-
Конструкционная сталь		Чугун
Углеродистая обыкновенного качества:		Литейный (в чу- гун)
кипящая Ст1kp — Ст4kp	162—106	Серый (в отлив- ках) СЧ 10—СЧ 45
спокойная Ст1sp — Ст6sp	179—125	Высокопрочный чугун ВЧ 38— 120—2
Углеродистая качественная (10; 15; 20—75)	230—133	Ковкий (в отлив- ках) КЧ 30—6—КЧ 0
Автоматная		Инструменталь- ный
А12; А20; А30; А40Г	202—131	Углеродистая У
А35Е; А45Е	278—203	Низколегирован- ная 9ХС; ХВГ; 5ХГ
АС14; АС40; АС45Г2; АС30ХМ	337—167	Высоколегирован- (Х12Ф1; Х12М1)
Хромистая:		Быстрорежущая:
15Х; 20Х; 40Х; 50Х	205—141	Р6М5
12Х13—40Х13; 15Х28	682—386	Р9К10
Хромомарганцевая (18ХГТ; 30ХГТ; 20ХГР и др.)	317—146	Р18
Хромомолибденовая и хромованадиевая (15ХМ; 30ХМ; 40ХМФА; 60ХФА и др.)	405—178	Р18К5Ф2
Хромоникелевая (20ХН; 12ХН3А; 2ХН3А и др.)	391—197	Р12Ф2К8МВ
Хромоникельмолибденовая (20ХН2М; 18Х2Н4МА; 40ХН2МА)	593—272	
Шарикоподшипниковая ШХ15	340—207	
Аустенитная:		П р и м е ч а н и я:
12Х18Н10Т	1130—934	примерно вдвое круглого сечения.
20Х25Н20С2	1560—1350	2. Мелкие чу- гунные
120Г13	784—198	

V	43–218
Mo	20,5–30,2(145–400) **
W	22,4–23(107) **
Ta	535
Zr	27

с цирконием и неодимом  
На основе никеля:  
ХН70Ю  
ХН78Т  
ХН55ВМТКЮ  
На основе олова и свинца:  
Б88  
Б83  
Б16  
БН  
БК2

\* В скобках указана цена наиболее чистого металла.

\*\* В скобках приведена цена монокристаллов.

фторопласты	9000—11000*	оконное
полиимидная пленка	265—560***	безосколочное, трехслойное
Термореактивные пластмассы:		оптическое
фенолоформальдегидные:		Стеклянное волокно и ти:
массы прессовочные	490—710	моноволокно
(с порошковым наполнителем)		крученые нити
волокниты	660—3490	стеклоткани
текстолиты	2400—9840	

\* Цена 1 т фторопласта 4МБ — 32 000—50 000 руб.

\*\* Цена за 1 м<sup>2</sup>.

\*\*\* Цена заготовки за 1 кг.

2. Гельпер Ю. А. Инструментальные стали. М.: Металлургия, 1975. 583 с.
3. Горелик С. С. Рекристаллизация металлов и сплавов. М.: Металлургия, 1978. 568 с.
4. Жук Н. П. Курс теории коррозии и защиты металлов. М.: Металлургия, 1976. 472 с.
5. Журавлев В. Н., Николаева О. И. Машиностроительные стали. Справочник. М.: Машиностроение, 1981. 391 с.
6. Золоторевский В. С. Механические свойства металлов. М.: Металлургия, 1983. 350 с.
7. Иваюова В. С., Терентьев В. Ф. Природа усталости металлов. М.: Металлургия, 1975. 455 с.
8. Колачев Б. А., Ливанов В. А., Елагин В. И. Металловедение и термическая обработка цветных металлов и сплавов. М.: Металлургия, 1981. 415 с.
9. Композиционные материалы/И. Н. Фридляндер, М. Х. Шоршоров, К. И. Портной и др.; Под ред. А. И. Манохина. М.: Наука, 1981. 292 с.
10. Композиционные материалы ядерных реакторов/Н. М. Бескоровайный, Ю. С. Беломытцев, М. Д. Абрамович и др.; Под ред. Н. М. Бескоровайного. М.: Атомиздат, 1972. 252 с.
11. Крапухин В. В., Соколов Н. А., Кузнецов Г. Д. Физико-химические основы технологии полупроводниковых материалов. М.: Металлургия, 1982. 351 с.
12. Лахтин Ю. М., Арзамасов Б. Н. Химико-термическая обработка металлов. М.: Металлургия, 1985. 252 с.
13. Лахтин Ю. М., Леонтьева В. П. Материаловедение. М.: Машиностроение, 1980. 493 с.
14. Материалы для авиационного приборостроения и конструкций/Под ред. А. Ф. Белова. М.: Металлургия, 1982. 400 с.
15. Сталь/Справочник/А. Г. Раухтаде, А. Г. Раухтаде, 1983, т. II. 365 с.
16. Новиков И. И. Обработка металлов. М.: Высшая школа, 1983. 391 с.
17. Новиков И. И. Двухфазное строение металлов. М.: Высшая школа, 1983. 232 с.
18. Новиков И. И. Двухфазное строение металлов. М.: Высшая школа, 1983. 232 с.
19. Пастухова Ж. П. Жаропрочные сплавы цветных металлов. М.: Металлургия, 1983. 364 с.
20. Постников В. С. Структура и свойства состояния. М.: Металлургия, 1983. 334 с.
21. Преображенский В. С. Материалы и элементы. М.: Металлургия, 1976. 334 с.
22. Промышленные материалы и литейные сплавы/М. Б. Альтман, С. М. Бирман, А. А. Борисов и др.; Под ред. Ф. И. Квяткова. М.: Металлургия, 1983. 364 с.
23. Прочность материалов конструкций в экстремальных условиях/Г. С. Писаренко, А. А. Ковалев и др.; Под ред. А. А. Ковалевого. Киев: Наукова думка, 1978. 771 с.
24. Солищев Ю. П., Соловьев Ю. П. Материалы в криогенной технике. Л.: Машиностроение, 1980. 252 с.
25. Структура и свойства материалов/К. И. Портной, И. Л. Светлов, В. М. Григорьев. М.: Машиностроение, 1979. 252 с.
26. Хоникомб Р. Пластины из металлов/Под ред. Б. А. Гольдберга. М.: Металлургия, 1972. 408 с.
27. Электрорадиоматериалы/Б. М. Тареева. М.: Высшая школа, 1983. 256 с.

стали 115  
Алитирование 118  
Алмаз 55  
Алюминий 207, 273  
Альсифер 313

Антифрикционность 1  
Аррениуса зависимость  
Атом межузельный 26  
Аустенит 55

## Б

Баббиты 195  
Бейнит 91, 96  
Бериллий 243  
Бороволокниты 261  
Борсик 256  
Бриджмена метод 43

Бронзы 177, 182  
— алюминиевые 182  
— кремнистые 184  
— оловянные 180  
Бюргерса вектор 27

## В

Вакансия 26  
Ван-дер-Ваальса связь 14  
Видманштеттова структура 97  
Возврат 74

Волокниты 229  
Выносливость 130, 27  
Вязкость ударная 68,

## Г

Гейслера сплавы 23  
Гетинакс 229, 230  
Гинье-Престона зоны 87  
Гистерезис температурный 37

Гомогенизация 84  
Границы большеугловые  
— малоугловые 29  
Графит 55, 294

## Д

Дендрит 41  
Дефекты:  
линейные 27  
поверхностные 29

точечные 26  
упаковки 29  
Деформация:  
двойникование 68

Жаропрочность 284  
Жаростойкость 278, 280

Железо техническое 58  
Живучесть 132

## 3

Закаливаемость сталей 104  
Закалка 80  
— в двух средах 102  
— изотермическая 103  
— сталей 100  
— ступенчатая 102

Зародыш кристаллизации  
Зерно 9  
Зона валентная 332  
— запрещенная 333, 343  
— проводимости 332  
Зоны Гинье-Престона  
зоны

## И

Излом 128—130  
Изнашивание 133, 185  
— абразивное 185  
— адгезионное 185  
— гидро- и газоабразивное 185  
— кавитационное 185  
— окислительное 185  
— усталостное 185  
— эрозионное 185

Износстойкость 133  
Инвар 298, 327  
Индексы кристаллографии  
Интурия 132  
Ирвина критерий 127  
Источник Франка-Рида  
источник

## К

Карбиды 62, 107  
Карбоволокниты 263  
Карбюризаторы 112  
Керамика 36  
Ковар 328  
Константан 342  
Концентраторы напряжения 133

Коррозия:  
кавитационная 271  
контактная 271  
межкристаллитная 271  
точечная 271  
электрохимическая 266  
Коттрелла атмосфера 266

Лавеса фазы 25  
Латунь, 177, 178  
Легирование сталей 151  
— полупроводников 350  
Ледебурит 57

Ликвация гравитационная  
— зональная 43  
Линия ликвидус 47  
— солидус 47

## M

Магний 218  
Магнитострикция 326  
Макроликвация 49  
Макроструктура 9  
Манганин 342  
Маркировка сталей 148  
Мартенсит 93

Материалы:

антифрикционные 194, 196  
жаропрочие 287  
керамические 295  
композиционные 137  
— волокнистые 250, 253  
— дисперсно-упрочненные 250  
— на металлической основе 265  
— на неметаллической основе 261  
сверхтвердые 368  
фрикционные 199  
Матрица 138  
Медь 175, 336

Металлы:  
аморфные 44  
коррозионно-стойкие  
иепассивирующиеся 27  
пассивирующиеся 27  
тугоплавкие 292  
Методы легирования и  
— получения сверхчис-  
вытягивания из ра-  
ззной очистки 34  
направленной кри-  
химические 346  
эпитаксии 349

Механизм пластическо-  
Механострикция 329  
Микроликвация 49  
Микроструктура 6  
Минералы 199  
Модификация 17  
Модифицирование 41  
Молекулы линейные 3  
Монокристалл 13, 43

## H

Надежность 126  
Наклеп 67  
Намагничивание 305, 306  
Наполнители 223

Нитроцементация 117  
Нихром 343  
Нормализация сталей

- Парапроцесс 306  
Переплав:  
  вакуумно-дуговой 137  
  электронно-лучевой 137  
  электрошлаковый 137  
Период решетки 10  
Перлит 57, 93  
Пермаллой 310  
Плавление 37  
Пластификаторы 224  
Пластичность 66, 67  
  — технологическая 167  
Пластмасса 223  
Платинит 328  
Пленка эпитаксиальная 350  
Плоскость скольжения 10  
Плотность дислокаций 28  
Покрытия коррозионно-стойкие:  
  анодные 277  
  катодные 277  
Ползучесть 284  
Полиамиды 197  
Полигонизация 75  
Поликристаллы 13  
Полимеры:  
  нерегулярные 33  
  регулярные 33  
  термопластичные 32  
  термореактивные 32  
Полиморфизм 17
- дырочные 345  
— электронные 345  
Поляризация диэлектрика  
Поляризуемость 270  
Порог хладноломкости  
Потенциал электродный  
Правило Гиббса 47  
— отрезков 49  
Превращение:  
  мартенситное 91, 93  
  перитектическое 57  
  эвтектическое 57  
  эвтектоидное 57  
Предел длительной прочности  
— ползучести 285  
— текучести 67  
— упругости 67  
Примеси в стали 142  
— акцепторные 345  
— донорные 345  
— случайные 143  
Припои 338  
Проводимость примесей  
— собственная 344  
Проводники 332  
Прокаливаемость сталей  
Прочность конструкции  
— критерии 134  
— теоретическая 28, 69  
— циклическая 131  
Пьезоэлектрики 359

## P

- Разгаростойкость 371  
Растворы твердые внедрения 23  
  — замещения 21  
Растрескивание коррозионное 272  
Реактопласти 227  
Рекомбинация 345

- Рекристаллизация 74, 201  
— первичная 76  
— собирательная 76  
Релаксация 201  
Решетка кристаллическая

гексагональная 10  
кубическая 10  
моноклинная 10  
ромбическая 10  
ромбоэдрическая 10  
тетрагональная 10  
триклиническая 10  
**Ситаллы** 36  
**Скорость закалки критическая** 94  
**Сопротивление временное** 67  
**Сорбит** 93  
**Состояние высокоэластичное** 34  
— вязкотекучее 34  
— сверхпластичное 78  
**Сплавы алюминиевые:**  
    гранулированные 216  
    деформируемые 209  
    литейные 213, 214  
— бериллиевые 246  
— магниевые:  
    деформируемые 220  
    литейные 222  
— медные 175, 272  
— перитектические 52  
— спеченные 190, 366  
— титановые:  
    деформируемые 239, 240  
    литейные 242

**Титан** 232  
**Текстолит** 230  
**Текстура деформации** 72  
— рекристаллизации 77  
**Температура кристаллизации** 34  
— разложения 34  
— рекристаллизации 75  
— стеклования 34

**Сталь автоматная** 165  
— austenитная 62, 294  
— быстрорежущая 36  
— для зубчатых колес 148  
— легированная 148  
— мартенситная 290  
— мартенситно-старенеющая 288  
— перлитная 288  
— подшипниковая 191  
— рессорно-пружинная 294  
— углеродистая 146  
— хладостойкая 297  
— хромоникелевая 275  
— ферритная 63  
**Старение** 80  
**Стекло** 35  
— структура 35  
**Стекловолокниты** 261,  
Степень деформации 261  
Стойкость радиационная 261  
**Структура:**  
    видманштеттова См.  
    структура  
    тонкая 6  
    транскристаллическая 261  
**Субзерно** 29  
**Сфериодизация** 99

## Т

— текучести 34  
**Теплостойкость** 101, 361  
**Термопласти** 224  
**Технологичность мате-**  
риала 224  
**Точки критические** 46  
**Трешиностойкость** 120  
**Трипстали** 158  
**Троостит** 93

с ионно-ковалентной связью 24  
электронные 25  
Фактор размерный 21

Флокены 143  
Франка-Рида источник 70

## X

Хладноломкость 295  
Холла-Петча уравнение 135

Хромирование 118  
Хромаль 343  
Хромко 324

## Ц

Цементация 116  
— сталей 111  
Цементит 55  
— вторичный 56

— первичный 56  
— третичный 56  
Центр кристаллизации 38

## Ч

Частицы элементарные 6  
Число координационное 10  
Чохральского метод 44  
Чугуны 57  
— белые 57

— высокопрочные 173  
— ковкие 174  
— серые 169  
— — перлитные 173  
— — ферритно-перлитные  
— — ферритные 173

## Э

Эвтектика 51  
Эвтектика-ледебурит 57  
Эвтектоид 54  
Эвтектоид-перлит 57

Экструзия 132  
Элементы легирующие 6  
Эпитаксия 349

## Я

Ячейка:  
гранецентрированная 10

объемно-центрированная  
элементарная 19

## **Учебник**

**Борис Николаевич Арзамасов,  
Иван Иванович Сидорин,  
Георгий Федорович Косолапов и др.**

## **МАТЕРИАЛОВЕДЕНИЕ**

**Редактор О. И. Скворцова**

**Художественный редактор Е. А. Ильин**

**Оформление художника Е. А. Ильина**

**Технический редактор Л. А. Макарова**

**Корректоры А. П. Свзова и Л. Е. Сонюшкина**

**ИБ № 4474**

Сдано в набор 10.07.85. Подписано в печать 27.01.86.  
Т-04850. Формат 70×100<sup>1</sup>/<sub>16</sub>. Бумага офсетная.  
Гарнитура таймс. Печать офсетная. Усл. печ. л.  
30,96. Усл. кр.-отт. 82,56. Уч.-изд. л. 32,0. Тираж  
100000 экз. Заказ 13. Цена 1 р. 60 к.

Ордена Трудового Красного Знамени издательство  
«Машиностроение», 107076, Москва, Строгинский  
пер., 4

Ордена Октябрьской Революции, ордена Трудового  
Красного Знамени Ленинградское производственно-  
техническое объединение «Печатный Двор» им.  
А. М. Горького Союзполиграфпрома при  
Государственном комитете СССР по делам  
издательств, полиграфии и книжной торговли.  
197136, Ленинград, П-136, Чкаловский пр., 15.